



This is a digital copy of a book that was preserved for generations on library shelves before it was carefully scanned by Google as part of a project to make the world's books discoverable online.

It has survived long enough for the copyright to expire and the book to enter the public domain. A public domain book is one that was never subject to copyright or whose legal copyright term has expired. Whether a book is in the public domain may vary country to country. Public domain books are our gateways to the past, representing a wealth of history, culture and knowledge that's often difficult to discover.

Marks, notations and other marginalia present in the original volume will appear in this file - a reminder of this book's long journey from the publisher to a library and finally to you.

### Usage guidelines

Google is proud to partner with libraries to digitize public domain materials and make them widely accessible. Public domain books belong to the public and we are merely their custodians. Nevertheless, this work is expensive, so in order to keep providing this resource, we have taken steps to prevent abuse by commercial parties, including placing technical restrictions on automated querying.

We also ask that you:

- + *Make non-commercial use of the files* We designed Google Book Search for use by individuals, and we request that you use these files for personal, non-commercial purposes.
- + *Refrain from automated querying* Do not send automated queries of any sort to Google's system: If you are conducting research on machine translation, optical character recognition or other areas where access to a large amount of text is helpful, please contact us. We encourage the use of public domain materials for these purposes and may be able to help.
- + *Maintain attribution* The Google "watermark" you see on each file is essential for informing people about this project and helping them find additional materials through Google Book Search. Please do not remove it.
- + *Keep it legal* Whatever your use, remember that you are responsible for ensuring that what you are doing is legal. Do not assume that just because we believe a book is in the public domain for users in the United States, that the work is also in the public domain for users in other countries. Whether a book is still in copyright varies from country to country, and we can't offer guidance on whether any specific use of any specific book is allowed. Please do not assume that a book's appearance in Google Book Search means it can be used in any manner anywhere in the world. Copyright infringement liability can be quite severe.

### About Google Book Search

Google's mission is to organize the world's information and to make it universally accessible and useful. Google Book Search helps readers discover the world's books while helping authors and publishers reach new audiences. You can search through the full text of this book on the web at <http://books.google.com/>



## Über dieses Buch

Dies ist ein digitales Exemplar eines Buches, das seit Generationen in den Regalen der Bibliotheken aufbewahrt wurde, bevor es von Google im Rahmen eines Projekts, mit dem die Bücher dieser Welt online verfügbar gemacht werden sollen, sorgfältig gescannt wurde.

Das Buch hat das Urheberrecht überdauert und kann nun öffentlich zugänglich gemacht werden. Ein öffentlich zugängliches Buch ist ein Buch, das niemals Urheberrechten unterlag oder bei dem die Schutzfrist des Urheberrechts abgelaufen ist. Ob ein Buch öffentlich zugänglich ist, kann von Land zu Land unterschiedlich sein. Öffentlich zugängliche Bücher sind unser Tor zur Vergangenheit und stellen ein geschichtliches, kulturelles und wissenschaftliches Vermögen dar, das häufig nur schwierig zu entdecken ist.

Gebrauchsspuren, Anmerkungen und andere Randbemerkungen, die im Originalband enthalten sind, finden sich auch in dieser Datei – eine Erinnerung an die lange Reise, die das Buch vom Verleger zu einer Bibliothek und weiter zu Ihnen hinter sich gebracht hat.

## Nutzungsrichtlinien

Google ist stolz, mit Bibliotheken in partnerschaftlicher Zusammenarbeit öffentlich zugängliches Material zu digitalisieren und einer breiten Masse zugänglich zu machen. Öffentlich zugängliche Bücher gehören der Öffentlichkeit, und wir sind nur ihre Hüter. Nichtsdestotrotz ist diese Arbeit kostspielig. Um diese Ressource weiterhin zur Verfügung stellen zu können, haben wir Schritte unternommen, um den Missbrauch durch kommerzielle Parteien zu verhindern. Dazu gehören technische Einschränkungen für automatisierte Abfragen.

Wir bitten Sie um Einhaltung folgender Richtlinien:

- + *Nutzung der Dateien zu nichtkommerziellen Zwecken* Wir haben Google Buchsuche für Endanwender konzipiert und möchten, dass Sie diese Dateien nur für persönliche, nichtkommerzielle Zwecke verwenden.
- + *Keine automatisierten Abfragen* Senden Sie keine automatisierten Abfragen irgendwelcher Art an das Google-System. Wenn Sie Recherchen über maschinelle Übersetzung, optische Zeichenerkennung oder andere Bereiche durchführen, in denen der Zugang zu Text in großen Mengen nützlich ist, wenden Sie sich bitte an uns. Wir fördern die Nutzung des öffentlich zugänglichen Materials für diese Zwecke und können Ihnen unter Umständen helfen.
- + *Beibehaltung von Google-Markenelementen* Das "Wasserzeichen" von Google, das Sie in jeder Datei finden, ist wichtig zur Information über dieses Projekt und hilft den Anwendern weiteres Material über Google Buchsuche zu finden. Bitte entfernen Sie das Wasserzeichen nicht.
- + *Bewegen Sie sich innerhalb der Legalität* Unabhängig von Ihrem Verwendungszweck müssen Sie sich Ihrer Verantwortung bewusst sein, sicherzustellen, dass Ihre Nutzung legal ist. Gehen Sie nicht davon aus, dass ein Buch, das nach unserem Dafürhalten für Nutzer in den USA öffentlich zugänglich ist, auch für Nutzer in anderen Ländern öffentlich zugänglich ist. Ob ein Buch noch dem Urheberrecht unterliegt, ist von Land zu Land verschieden. Wir können keine Beratung leisten, ob eine bestimmte Nutzung eines bestimmten Buches gesetzlich zulässig ist. Gehen Sie nicht davon aus, dass das Erscheinen eines Buchs in Google Buchsuche bedeutet, dass es in jeder Form und überall auf der Welt verwendet werden kann. Eine Urheberrechtsverletzung kann schwerwiegende Folgen haben.

## Über Google Buchsuche

Das Ziel von Google besteht darin, die weltweiten Informationen zu organisieren und allgemein nutzbar und zugänglich zu machen. Google Buchsuche hilft Lesern dabei, die Bücher dieser Welt zu entdecken, und unterstützt Autoren und Verleger dabei, neue Zielgruppen zu erreichen. Den gesamten Buchtext können Sie im Internet unter <http://books.google.com> durchsuchen.

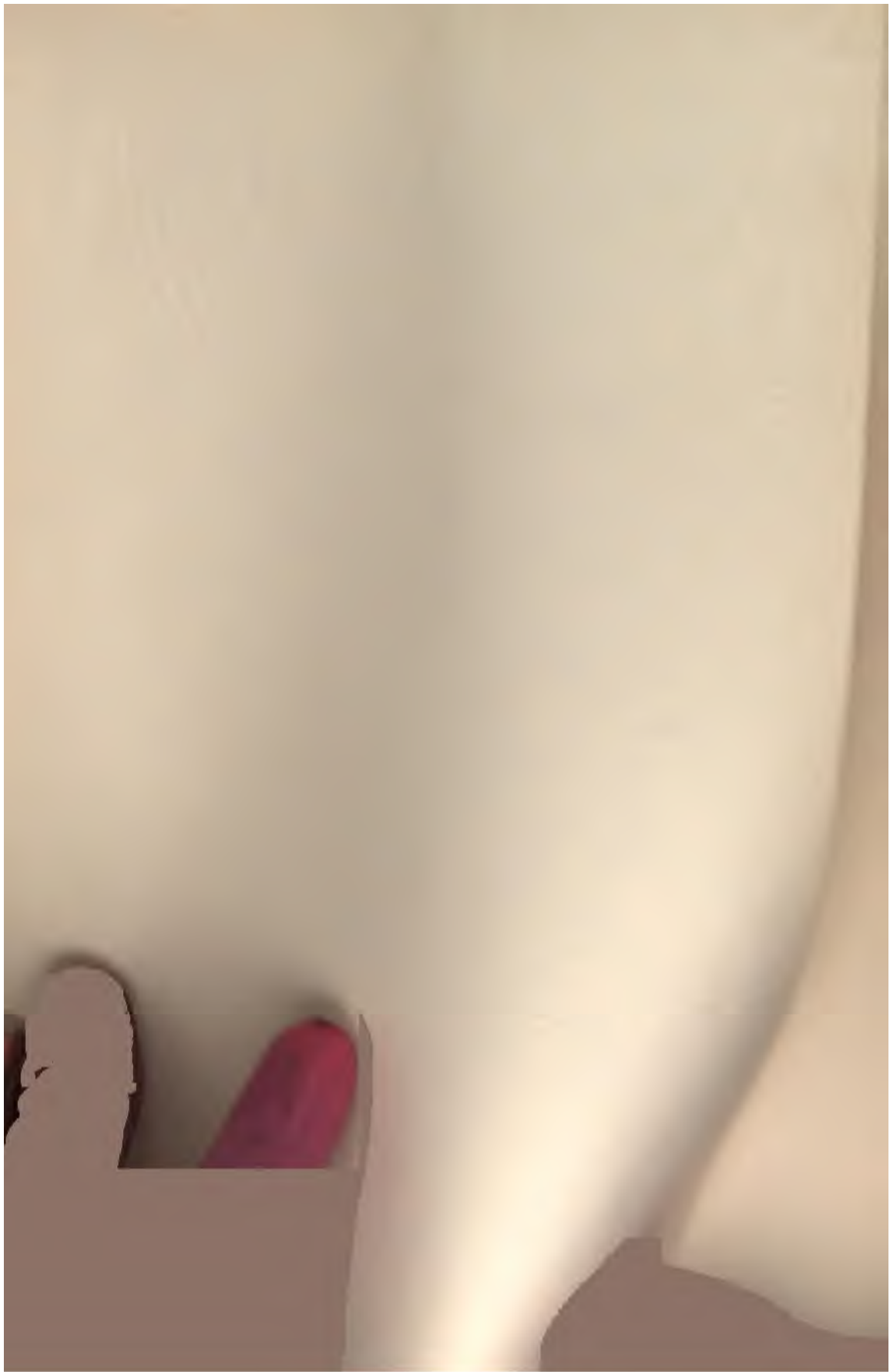
NYPL RESEARCH LIBRARIES



3 3433 06908363 6













Index

der

5789  
**Krystallformen der Mineralien.**

Von

**Dr. Victor Goldschmidt.**

—  
In drei Bänden.  
—

**Erster Band.**



**Berlin.**

**Verlag von Julius Springer.**

**1886.**

Wilhelm Gronau's Buchdruckerei in Berlin.

Seinem

verehrten ersten Lehrer der Mineralogie

Herrn Bergrath und Professor

Dr. Albin Weisbach

in Dankbarkeit und Freundschaft

gewidmet

vom

Verfasser.



1

1800-1800-1800-1800

1800-1800-1800-1800

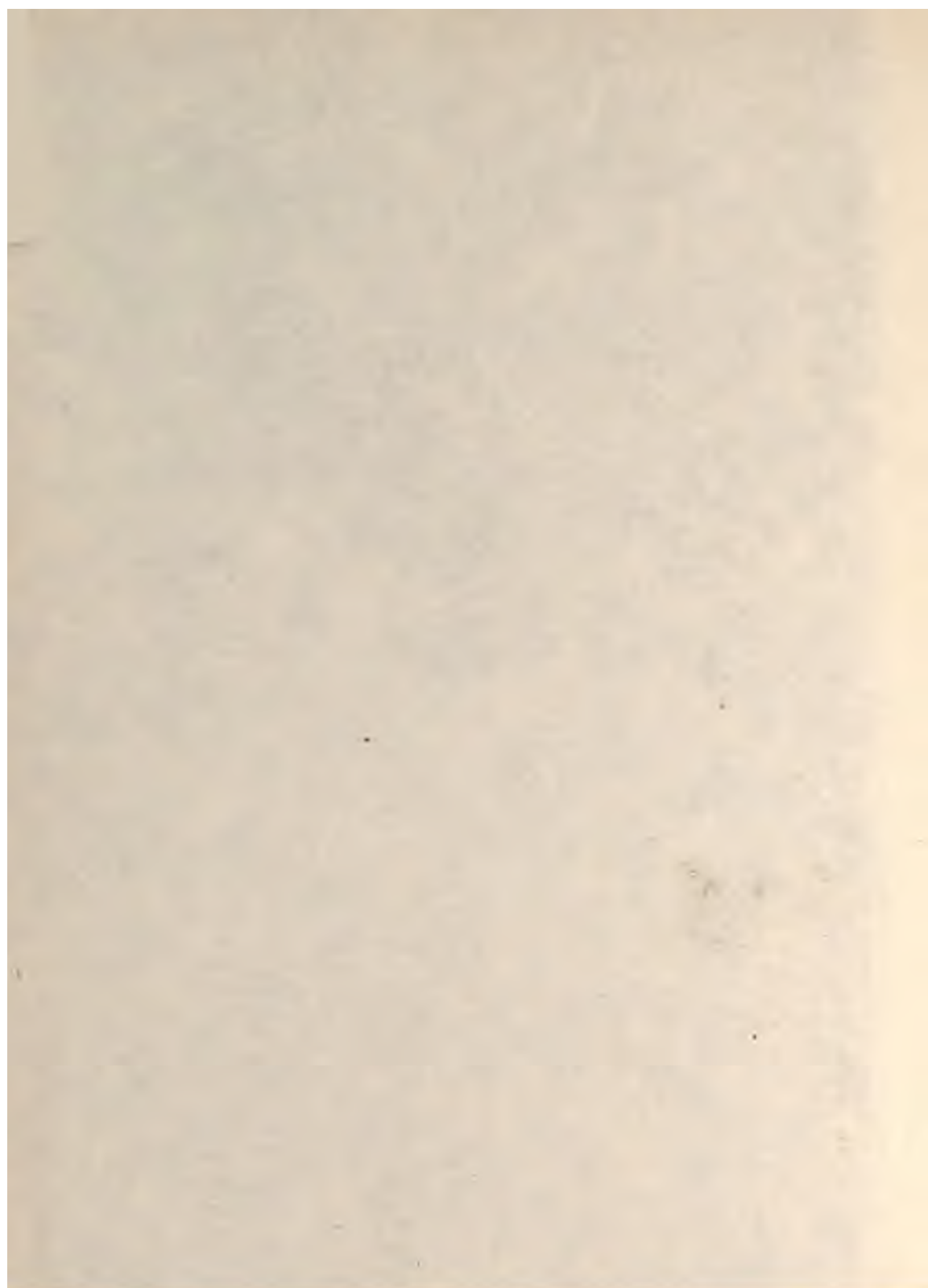
1800

1800-1800

## Vorwort.

Indem ich den ersten Band des „Index der Krystallformen“ nunmehr vollendet der Oeffentlichkeit übergebe, möchte ich einen Punkt besonders hervorheben, in dem ich theilweise dem Widerspruch der Fachgenossen begegnet bin, was ich auch wohl erwartete. Er betrifft die häufig von dem Ueblichen abweichende Aufstellung der Krystalle. Bei der Beurtheilung wolle man auf die S. 37—39 dargelegten Principien Rücksicht nehmen und erst sie, dann ihre Consequenzen auf ihre Haltbarkeit prüfen. Der Unterschied besteht meist in der Vertauschung zweier Axen, in der Regel der A- und C- resp. P- und Q-Axe. Es möge noch betont werden, dass durch diese Abänderung eine Herabziehung der Verwendbarkeit des Index nicht stattfindet, da sich die Umwandlung der Elemente und Symbole für diesen Fall sehr einfach ausführt. Es vertauschen nur  $a$  und  $c$ ,  $p$  und  $r$ ,  $\alpha$  und  $\gamma$ ,  $\lambda$  und  $\nu$  ihre Stelle. Alle Identificationen und Transformationen bleiben und es erübrigt nur für den, der die andere Aufstellung vorzieht, die Elemente zu verändern und in eine zuzufügende letzte Columnne die von ihm gewählten Symbole einzutragen.

In Bezug auf die Literatur sei bemerkt, dass ich erst vom Jahr 1850 an die verschiedenen Specialarbeiten möglichst vollzählig in Bezug auf beobachtete Formen auszuziehen gesucht habe. Das Aeltere glaubte ich durch die zusammenfassenden Werke von Haüy, Mohs, Hartmann, Lévy, Zippe, Hausmann, Miller, Des Cloizeaux, Dana, Schrauf genügend gesichert. Durch diese Beschränkung ist eine wesentliche Entlastung für die an sich gewaltige Arbeit eingetreten. In der Hauptsache hat sich obige Annahme bestätigt und dürfte sachlich nur wenig durch die Aufnahme entgangen sein. Es schien aber besser, das sich etwa als fehlend Herausstellende durch Nachträge einzubringen, als die Fertigstellung des Gesamtwerkes zu verzögern.









	Seite.
Anordnung der Formen in den Tabellen . . . . .	145
Freie und influenzirte Formen . . . . .	146
Typische und vicinale Formen . . . . .	147
Echte Flächen und Scheinflächen . . . . .	149
<b>Literatur.</b>	
Systematisch excerptirte Werke . . . . .	150
Theilweise benutzte Werke . . . . .	151
Literatur betreffend Umwandlung und Transformation der Symbole	152
Zahlen in den Literatur-Citaten . . . . .	152
Bemerkungen zur Literatur . . . . .	153
Abschluss des Werkes . . . . .	153
Namen und Reihenfolge der Mineralien . . . . .	153
Vertheilung des Inhalts auf den Blättern . . . . .	154
Abkürzung der Autoren-Namen . . . . .	155
Correcturen . . . . .	156
<b>Index.</b>	
Abichit bis Euxenit . . . . .	159—592
<b>Correcturen und Nachträge . . . . .</b>	<b>593—601</b>



## Einleitung.

### Zweck der Arbeit.

Haupt-Aufgabe der Krystallographie ist die Ergründung des molekularen Aufbaues der festen Körper und die Ermittlung der Intensität und Wirkungsweise der molekularen Kräfte. Eines der Mittel, um der Lösung dieser Aufgabe näher zu kommen, ist die Untersuchung der Krystallgestalten und zwar auf zweierlei Weise:

1. Durch Aufsuchung der Beziehungen aller (beobachteten) Formen desselben Körpers unter sich. Die Ableitung gewisser Einheiten und Gesetzmässigkeiten.
2. Durch Vergleichung mehrerer und schliesslich aller krystallisirten Körper unter einander in Bezug auf die gewonnenen Einheiten und Gesetzmässigkeiten.

Für die ersteren Untersuchungen ist es erforderlich, die beobachteten Formen durch geeignete Symbole auszudrücken, die durch Zahlenverhältnisse die Lage jeder Form charakterisiren und diese Symbole zum Zweck der Uebersicht in Tabellen zu ordnen, andererseits durch Abbildung (Projection) das gleichzeitige Anschauen des Bekannten zu ermöglichen.

Am vollständigsten wird der Zweck erreicht, wenn man die Vortheile beider Arten der Erkenntniss verbindet, d. h. mit Tabellen und Projection gleichzeitig vorgeht. Symbole und Projection müssen dann in engster Beziehung zu einander stehen, so dass man aus beiden, gewissermassen nur in verschiedener Schrift, dasselbe herausliest, mit anderen Worten, so, dass die Projection der unmittelbare graphische Ausdruck des Symbols, das Symbol der Zahlen-Ausdruck des Projectionsbildes ist.

In den jetzigen Methoden ist dies nur unvollständig erreicht und mussten, um den Einklang herzustellen, gewisse Abänderungen an Symbolen und Projectionsarten vorgenommen werden. Es wurden die verschiedenen Projectionsmethoden betrachtet und dabei gefunden, dass vier derselben zu

krystallographischen Untersuchungen verwendbar sind. Zwei von diesen Arten bilden die Flächen als Punkte ab (Polar-Projectionen), zwei als Linien (Linear-Projectionen); die Polar- wie die Linear-Projectionen können wiederum mit geraden Linien oder mit Kreisbögen arbeiten. Bei der Discussion der Verwendbarkeit der verschiedenen Arten ergab sich, dass jede für gewisse Fälle Vorzüge vor den andern hat, dass sich also die gleichzeitige oder abwechselnde Benutzung aller vier Arten als das Beste erweist. Um aber gleichzeitig mit mehreren Projectionsarten operiren zu können, war es nöthig, die graphische Ueberführung der einen in die andere zu ermöglichen. Zu diesem Zweck wurden die Beziehungen der vier Arten unter sich aufgesucht und ergaben sich in der That als höchst einfache und elegante.

Die Symbolisirung der Flächen und Kanten (Zonen) wurde den beiden geradlinigen Projectionsarten angeschlossen und zwar nach folgendem Princip. Die aufgestellten neuen Symbole bestehen jedesmal aus zwei ganzen oder gebrochenen Zahlen  $p\ q$  resp.  $a\ b$ , die, im zugehörigen Einheitsmass als Coordinaten aufgetragen, zu dem Projectionspunkt der Fläche resp. Kante führen, andererseits als Parameter die zwei Schnittpunkte der geraden Zonen- resp. Flächenlinie mit den Axen der Projection angeben. So erhalten wir vier Arten von Symbolen, je nach der Art der Projection, mit der wir arbeiten, nämlich polare Flächen- und Zonen- (Kanten-) Symbole, sowie lineare Flächen- und Kanten- (Zonen-) Symbole. Die erste Art ist von hervorragender Wichtigkeit und, wenn im Folgenden kurzweg von Symbolen gesprochen wird, sind die polaren Flächensymbole  $p\ q$  gemeint.

Es zeigte sich ferner, dass bei richtiger Wahl der Projections-Ebene die neuen Symbole in engster Beziehung stehen zu den üblichen, besonders den Whewell-Grassmann-Miller'schen, dass sie in Bezug auf Einfachheit und Uebersichtlichkeit hinter keiner Art derselben zurückstehen, ja sie darin übertreffen, und dass sie eben durch ihre Beziehung zur Projection eine Reihe von Vortheilen vor allen andern gewähren, die ihre Einführung empfehlenswerth machen.

Aus der Untersuchung der Projectionen (besonders der gnomonischen) mit Anschluss an die Symbolisirung ergab sich eine Reihe von graphischen Lösungen krystallographischer Aufgaben, die zu einem Entwurf einer graphischen Krystallberechnung zusammengefasst wurden.

Auch die Elemente, die der Krystallberechnung zu Grunde gelegt zu werden pflegen, mussten eine Veränderung erfahren. Sie sollen, um sich dem aufgestellten System anzuschliessen, zugleich die Einheiten der Symbole sowie der Projection sein. So erhalten wir, wie später ausführlich entwickelt wird, die Elemente  $p_0\ q_0\ (r_0 = 1)\ \lambda\ \mu\ \nu$  für die polaren Symbole und die zugehörige gnomonische Projection. Zum Zweck der Lösung graphischer



Aufgaben treten dazu noch drei Hilfswerthe:  $x_0$   $y_0$   $h$ , die die Lage des Ausgangspunktes (O) der Projection zu dem Krystallmittelpunkt festlegen. Alle zusammen sind als Polar-Elemente oder Elemente der Polar-Projection bezeichnet worden. Sie bilden zugleich die Unterlage für die stereographische Projection.

Der Linear-Projection und zwar der geradlinigen, sowie derjenigen mit Kreislinien als Repräsentanten der Flächen, die ich als cyklographische bezeichnen will, liegen andere Elemente zu Grunde, die sich von den üblichen krystallographischen Elementen nur dadurch unterscheiden, dass nicht  $b$  resp.  $a$  sondern  $c=1$  gesetzt ist. Es wurden für sie die Buchstaben gewählt  $a_0$   $b_0$  ( $c_0=1$ )  $\alpha$   $\beta$   $\gamma$  und treten als Ergänzung zum Zweck graphischer Lösungen dazu die Hilfswerthe  $x'_0$   $y'_0$   $k$ . Ich habe diese als Linear-Elemente oder Elemente der Linear-Projection bezeichnet.

Mit Hilfe der neuen Symbole und Einheiten gelingt es leicht, exakte Projectionen herzustellen und wurde nun die Anfertigung des idealen Projectionenbildes aller beobachteten Formen für die formenreichsten Mineralien der verschiedenen Systeme unternommen, und zwar zunächst für Pyrit, Bleiglanz, Wulfenit, Calcit, Quarz, Eisenglanz, Rothgiltigerz, Zinnober, Bournonit, Epidot, sowie für die drei Mineralien der Humit-Gruppe unter Eintragung der wichtigsten Zonenlinien.

Aus den Projectionenbildern und den zugehörigen Zahlenreihen der Tabellen leuchteten Gesetzmässigkeiten hervor und zwar neben solchen, die ihren Ausdruck finden in den Symmetrieverhältnissen, noch weitere, die gemeinsam und unabhängig von dem System allen Krystallen anzugehören scheinen. Letztere sind von besonderem Interesse, denn sie können zum Schlüssel werden für die Erforschung der genetischen Verhältnisse und für die deduktive Entwicklung der Formenreihen.

Es treten hinzu spezielle Eigenthümlichkeiten in der Vertheilung der Formen für die einzelnen Mineralien, die diesen ihren formellen Charakter verleihen und es ist die Möglichkeit gegeben, das aus der Gesammtheit der Formen hervortretende Charakteristische in Abstraktionen (Begriffe) zusammenzufassen, bei den verschiedenen Krystallen zu vergleichen und neben die physikalischen Charaktere zu halten. Daraus ergeben sich Analogien, die zu Gesetzen führen.

Die reichste Quelle für die Erforschung der Beziehungen der Formen floss aus dem hexagonalen System, einmal wegen des ausserordentlichen Formenreichthums einiger hierher gehöriger Mineralien und dann wegen des eigenartigen Eingreifens der Symmetriewirkungen. Es musste daher das hexagonale System Gegenstand einer besonderen Diskussion sein.

Durch die neue Symbolisirung wurde eine einheitliche Behandlung der hexagonalen Formenreihen von holoedrischem und rhomboedrischem Typus

ermöglicht und eine Discussion der Zahlen zeigte die volle Uebereinstimmung dieses Systems mit den übrigen und seine Eigenart nur bedingt durch die Eigenart der Symmetrie. Eben diese Discussion der Zahlen führte zur Annahme excentrischer Pole und gab damit die Anlehnung zunächst an das monokline System.

Unter Zugrundelegung einer Hypothese war es möglich, Einblicke zu thun in die genetische Entwicklung der Formenreihen. Das Meiste zeigten wiederum die Formen des hexagonalen Systems und soll das Gefundene an Beispielen aus demselben dargelegt werden unter Zuziehung der Bestätigung aus den anderen Systemen. Recht viel Interessantes gewährte die Untersuchung der Formen der Humitgruppe (Humit, Klinohumit, Chondroit) und sollen deshalb auch diese eine spezielle Betrachtung finden.

Nachdem bei der Abbildung und Discussion der Formenreihen einzelner Mineralien sich manches für diese als gemeinsam gültig herausgestellt hatte, entstand die Frage, ob die Ausdehnung der Schlüsse auf alle Mineralien gestattet sei, oder ob nicht die Vergleichung mit den Beobachtungen an anderen als den betrachteten Mineralien eine Widerlegung brächte. Um hierin sicher zu gehen oder wenigstens die Kontrolle vornehmen zu können, entschloss ich mich dazu, alle bekannt gewordenen Formen sämtlicher Mineralien aus der bestehenden Literatur zusammenzutragen und zu einem Index zu vereinigen, ein Unternehmen, das nun nach dreijähriger Arbeit zum Abschluss gelangt ist.

Dieser Index soll von den im Vorhergehenden angedeuteten Untersuchungen als Erstes zur Publikation gelangen, während die anderen, die mit ihm im engsten Zusammenhang stehen und ebenfalls dem Abschluss nahe sind, baldigst folgen werden.



## Kräfte, Symbole, Projection.

**Grundform und Primärform.** In dem Wort Grundform sind bis jetzt zwei Begriffe enthalten, die sich nur theilweise decken. Der erste Begriff ist ein rein formeller; er umschliesst die Form, welche die Unterlage der Formbeschreibung und Symbolisirung bildet. Wir wollen für diesen Begriff den Namen Grundform festhalten. Zur Zeit ist es üblich, im Anschluss an C. S. Weiss und F. Mohs als Grundform die Pyramide  $(111) = P$  zu wählen. Lévy nahm das Prisma  $m(110) = \infty P$ . In dem vorliegenden Werke wurde als Grundform der Pinakoidalkörper gesetzt, d. h. die Form, welche sich zusammensetzt aus den drei Pinakoiden  $(001) (010) (100)$ , und darauf Symbole und Projection basirt.

Bei der Discussion der Formenreihen zeigt es sich, dass die Entwicklung derselben von ganz bestimmten Flächen ihren Ausgang nimmt. Häufig sind es die Pinakoide, häufig auch ist es eine andere Form. Diese Ausgangsform der genetischen Ableitung bildet den zweiten Begriff, der in dem Wort Grundform enthalten ist. Wir wollen für diesen Begriff ein neues Wort wählen und die Form, auf die er sich bezieht, Primärform nennen. So ist für den Calcit, wie für das hexagonale System überhaupt, Grundform ein Prisma mit der Basis, Primärform dagegen das Spaltungs-Rhomboeder.

Da die Primärform bei verschiedenen Substanzen gleicher Symmetrie sich ändert, ja möglicherweise für dieselbe Substanz als veränderlich gedacht werden kann (Wechsel im Habitus), so empfiehlt es sich nicht, die Symbolik an sie anzuschliessen, sondern an die Grundform. Das schliesst nicht aus, dass eine (gewissermassen locale) Symbolisirung nach den speciellen Entwicklungsverhältnissen eines Minerals nebenher laufen könne. Eine solche soll an einigen Beispielen versucht werden und gehört dahin schon z. B. die bei hexagonalen Mineralien im Index beigefügte Reihe  $E = \frac{p-1}{3} \frac{q-1}{3}$ .

Um die allgemeinen Beziehungen zwischen Kräften, Symbol und Projection abzuleiten, wurde in der Einleitung angenommen, dass, was ja auch der häufigste Fall sein dürfte, beide Begriffe, Grundform und Primärform, sich decken, d. h. dass die Reihenentwicklung von den Pinakoiden ihren Ausgang nehme. Das vereinfacht alle Darlegungen und es kann nachträglich die Trennung beider Begriffe leicht vollzogen werden. Es wäre also hier gleich-

giltig, ob wir von Grundform oder Primärform redeten. Wir haben letzteres Wort verwendet, da wo genetische Beziehungen dargelegt wurden, mit denen die Grundform als rein formell nichts zu thun hat. Die Gestalt allerdings, die hier ständig herbeigezogen ist, auf der Symbolik und Projection beruhen, ist die Grundform, nicht die Primärform. Wo rein formelle Beziehungen erörtert werden, tritt auch wohl das Wort Grundform auf. Haüy's *forme primitive* ist Primärform, diejenige von Lévy Grundform.

Wir wollen, um Beziehungen zu gewinnen zwischen Krystallform und krystallbauender Kraft, ausgehen von folgendem hypothetischen Satz:

Jede Fläche ist krystallonomisch möglich, die senkrecht steht auf einer Molekular-Attraktions-Richtung, ohne an dieser Stelle eine genetische Begründung desselben zu versuchen.<sup>1)</sup> Dem krystallbauenden Molekül legen wir im Allgemeinen drei primäre Attraktionskräfte mit ihren in entgegengesetzter Richtung wirkenden Gegenkräften bei, die sich unter beliebigem Winkel schneiden und wollen definiren als Primärform diejenige Gestalt, welche entsteht, wenn jede der Primärkräfte für sich flächenbildend wirkt.

Die Primärform ist demnach ein von drei unabhängigen Flächen und deren parallelen Gegenflächen eingeschlossener Körper.<sup>2)</sup> Solche Flächen-

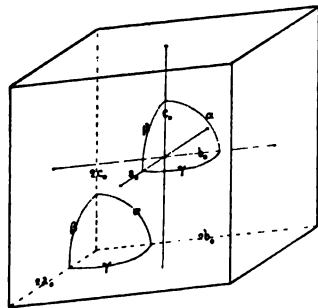


Fig. 1.

paare nennt man Pinakoide und kann daher die Primärform als Pinakoidal-Körper bezeichnen. In Miller'schen Zeichen hat sie das Symbol (001) (010) (100). Unter Axen pflegt man zu verstehen die in den Mittelpunkt des Krystalls transferirten Kanten des Pinakoidalkörpers. Wir wollen sie wegen ihrer Bedeutung in der Linear-Projection Linear-Axen nennen. Sie schliessen die Winkel  $\alpha$   $\beta$   $\gamma$  ein. Die Länge der Kanten hängt ab von der Centraldistanz der Flächen, einer in der Natur

<sup>1)</sup> Zur Geschichte dieser Hypothese vergleiche:

Bernhardi Gehlen Journ. 1809. 8. 378.

Neumann, Beitr. z. Krystallonomie. 1823.

Grassmann, Zur physischen Krystallonomie. 1829. Resumé Seite 169.

Uhde, Versuch einer Entwicklung der mechanischen Krystallisations-Gesetze. Bremen 1833. Seite 210.

Hirschwald, Ueber die genetischen Axen der orthometrischen Krystallsysteme. Inaug. Diss. Berlin 1868.

— —. Grundzüge einer mechanischen Theorie der Krystallisations-Gesetze. Min. Mitth. 1873. 3. 171.

<sup>2)</sup> Im hexagonalen System treten Modifikationen auf durch Einführung einer vierten Krafrichtung, doch wollen wir bei der allgemeinen Untersuchung nur den Fall der drei Axen im Auge haben, um den Zusammenhang nicht zu stören. Die nöthigen Abänderungen sollen dann bei besonderer Betrachtung dieses Systems zusammengefasst werden.



sehr wechselnden Grösse, die zwar gewiss nicht vollständig zufällig ist, deren Gesetze wir aber nicht kennen. Wir dürfen somit, bis uns solche bekannt sind, die Längen der Axen (Kanten) willkürlich wählen und wollen daher zu Axenlängen die Parameter-Verhältnisse der zuerst abgeleiteten Formen, nämlich der primären Domen (101) (011) resp. der primären Pyramide (111)  $a_0 : b_0 : c_0$  nehmen. Nun ist die Primärform vollständig bestimmt durch die Werthe  $a_0 b_0 c_0 \alpha \beta \gamma$ , deren Gesamtheit wir als Linear-Elemente bezeichnen wollen.

**Polarform.** Füllen wir aus dem Mittelpunkt des Krystalls auf die Flächen des Pinakoidalkörpers Senkrechte, so geben diese Normalen P Q R, die unter sich die Winkel  $\lambda \mu \nu$  einschliessen, die Richtungen der krystallbauenden Primärkräfte. Auf diese Richtungen tragen wir die relativen Grössen der Primärkräfte  $p_0 q_0 r_0$  als Längen auf. Die Gesamtheit der Werthe  $p_0 q_0 r_0 \lambda \mu \nu$  wollen wir Polar-Elemente nennen. Bei den weiter unten anzugebenden Beziehungen zwischen Linear- und Polar-Elementen ist durch jede der beiden Arten von Elementen der Krystall vollständig definiert, da aus den Elementen nach empirisch bekannten Ableitungsgesetzen die Gesamtheit der möglichen Flächen hervorgeht. Ist die oben aufgestellte Hypothese richtig, so sind gerade die Polar-Elemente das eigentlich Fundamentale, dem Molekül Eigenthümliche und für die Formen Ursächliche.

Es bilden die Normalen P Q R ein körperliches Eck, das wir zum Parallelepiped ergänzen können mit den ebenen Winkeln  $\lambda \mu \nu$  und den Kantenlängen  $2p_0 2q_0 2r_0$ . Dieses wollen wir das Parallelepiped der Primärkräfte oder kurz die Polarform nennen im Gegensatz zur Primärform (Grundform).

Die Winkel sind gemessen im Quadranten oben — vorn — rechts und es liegt  $p_0$  gegenüber  $\lambda$ ,  $q_0$  gegenüber  $\mu$ ,  $r_0$  gegenüber  $\nu$ .

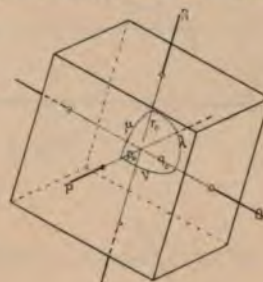


Fig. 2.

Zwischen Grundform und Polarform besteht das Verhältniss der Reciprocität oder Polarität. Dieses involvirt folgende Beziehungen:

1. Jede Kante (Axe) des einen Parallelepipeds steht senkrecht auf einer Fläche des anderen.
2. Die sphärischen Dreiecke der körperlichen Ecken des einen und des anderen sind reciprok, d. h. die Winkel des einen ergänzen die Seiten des anderen zu  $180^\circ$ .

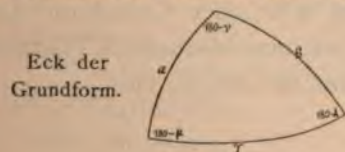


Fig. 3.

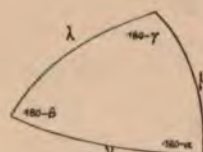


Fig. 4.

Eck der Grundform.

Eck der Polarform.



Daraus leitet sich ab der Satz:

$$\sin \alpha : \sin \beta : \sin \gamma = \sin \lambda : \sin \mu : \sin \nu$$

3. Es besteht die Beziehung:

$$a_o : b_o : c_o = \frac{\sin \alpha}{p_o} : \frac{\sin \beta}{q_o} : \frac{\sin \gamma}{r_o} = \frac{\sin \lambda}{p_o} : \frac{\sin \mu}{q_o} : \frac{\sin \nu}{r_o}$$

ein Spezialfall der allgemeinen Relation:

$$aa_o : bb_o : cc_o = \frac{\sin \alpha}{pp_o} : \frac{\sin \beta}{qq_o} : \frac{\sin \gamma}{rr_o} = \frac{\sin \lambda}{pp_o} : \frac{\sin \mu}{qq_o} : \frac{\sin \nu}{rr_o}$$

worin die  $a$   $b$   $c$  und  $p$   $q$   $r$  weiter unten zu definierende Grössen sind.

Letztere Gleichung umschliesst die wichtigste Verknüpfung der Symbole und Elemente sowie der Projectionen, weshalb wir sie als Fundamentalgleichung bezeichnen wollen.

Die Relation 1 bedarf keines Beweises, wohl aber 2 und 3.

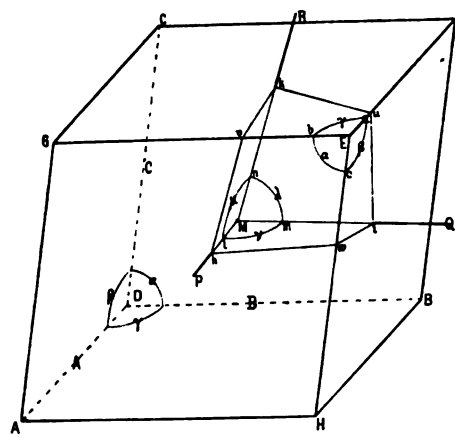


Fig. 5.

Ad 2. Beweis. Es sei (Fig. 5)  $M$  der Krystall-Mittelpunkt,

$ABCD$  das Eck der Grundform, das sphärische Dreieck  $abc$  bildend,

$PQRM$  das Eck der Polarform, das sphärische Dreieck  $lmn$  bildend.

$$MP \perp EGAH \quad \text{Ebene } PMQ \perp EH$$

$$MQ \perp EHBG \quad \text{" } QMR \perp EF$$

$$MR \perp EFCG \quad \text{" } RMP \perp EG$$

Nach der Definition eines sphärischen Winkels ist Winkel  $bac$  identisch mit dem Winkel  $kui$  der beiden Lothe  $ku$  und  $iu$  auf Kante  $EF$  und somit gleich dem Supplement von  $\lambda$ ; analog an den anderen Kanten.

$$\text{Somit ist: } cab = iuk = 180 - \lambda$$

$$abc = kvh = 180 - \mu$$

$$bca = hwi = 180 - \nu$$

$$\text{denn: } Mhv = Mhw = 90^\circ$$

$$Miw = Miu = 90^\circ$$

$$Mku = Mkv = 90^\circ$$

Ebenso ist:

$$Evh = Ewh = 90^\circ$$

$$Ewi = Eui = 90^\circ$$

$$Euk = Evk = 90^\circ$$

$$mln = vhw = 180 - \alpha$$

$$nml = wiu = 180 - \beta$$

$$lnm = ukv = 180 - \gamma$$

Auch aus beistehender Fig. 6, in der aus einem Punkt  $\lambda \mu \nu$  im Raum innerhalb des Eckes  $\alpha \beta \gamma$  der Grundform Lothe auf die das Eck einschliessenden Flächen gefällt sind, ist klar ersichtlich, dass:

$$\lambda = 180 - a$$

$$\mu = 180 - b$$

$$\nu = 180 - c.$$

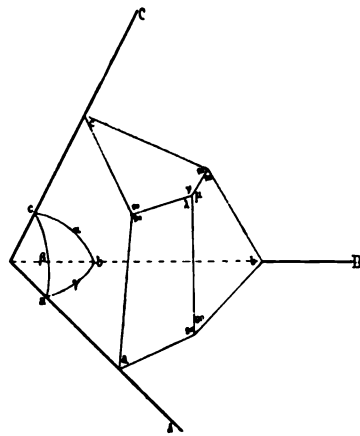


Fig. 6.

Ad 3. Eine Fläche kann definiert werden durch ihre Parameter, das sind in Fig. 7 die Abschnitte  $M\mathfrak{A} = A$ ,  $M\mathfrak{B} = B$ ,  $M\mathfrak{C} = C$  auf den Axen  $ABC$ . Ebenso kann sie definiert werden durch die drei Parallel-Coordinaten  $M\mathfrak{T} = P$ ,  $M\mathfrak{Q} = Q$ ,  $M\mathfrak{R} = R$ , des Fusspunktes  $F$  der Flächennormale  $MF$  aus dem Coordinaten-Anfang, bezogen auf die zu  $ABC$  polaren Axen  $PQR$ . Die Fundamentalgleichung vermittelt die Umwandlung der der einen Definition entsprechenden Werthe in die der anderen.

Fällen wir aus  $F$  (Fig. 7) auf die Ebene  $\mathfrak{M}\mathfrak{T}\mathfrak{R}$  eine Senkrechte  $= FD$ , so läuft diese parallel mit  $\mathfrak{B}\mathfrak{M}$ . Es liegen ausserdem  $FDM\mathfrak{B}$  in einer Ebene. Wir verbinden  $D$  mit  $M$  und zeichnen uns die Figur  $DFBM$  in ihrer eigenen Ebene heraus (Fig. 7a) Es ist dann:

$$\Delta FDM \sim MF\mathfrak{B}$$

$$\text{da } DF \parallel M\mathfrak{B}; FDM = MF\mathfrak{B} = 90^\circ.$$

Wenn wir nun setzen:

$$FD = h_2 \quad FM = f \quad M\mathfrak{B} = B$$

so besteht das Verhältniss:

$$h_2 : f = f : B$$

oder

$$h_2 = \frac{f^2}{B}$$

Analog ist, wenn wir die gleiche Construction nach den zwei andere Axen  $A$  und  $C$  hin ausführen:

$$h_1 = \frac{f^2}{A}$$

$$h_3 = \frac{f^2}{C}$$

oder es ist:

$$A : B : C = \frac{1}{h_1} : \frac{1}{h_2} : \frac{1}{h_3} \dots \dots \dots 1$$

Bezeichnen wir den Inhalt der Fläche  $M\mathfrak{Q}\mathfrak{G}\mathfrak{R}$  mit  $\omega_1$

$$\text{ " " } M\mathfrak{R}\mathfrak{H}\mathfrak{T} \text{ " } \omega_2$$

$$\text{ " " } M\mathfrak{T}\mathfrak{J}\mathfrak{Q} \text{ " } \omega_3$$

so lässt sich das Volum  $V$  des Parallelepipedes der Figur auf drei Weisen ausdrücken. Es ist:

$$V = \omega_1 h_1 = \omega_2 h_2 = \omega_3 h_3$$

danach besteht das Verhältniss:

$$\omega_1 : \omega_2 : \omega_3 = \frac{1}{h_1} : \frac{1}{h_2} : \frac{1}{h_3} = A : B : C \dots \dots \dots 2$$

nach Formel 1.

Es ist aber in dem Parallelogramm  $M\mathfrak{R}\mathfrak{H}\mathfrak{T}$ :  $M\mathfrak{R} = R$ ,  $M\mathfrak{T} = P$ ,  $\angle \mathfrak{R}\mathfrak{M}\mathfrak{T} = \mu$

Danach berechnet sich der Inhalt:

$$\omega_2 = PR \sin \mu$$

Ebenso ist:

$$\omega_1 = RQ \sin \lambda$$

$$\omega_3 = QP \sin \nu$$

und es besteht die Beziehung:

$$\omega_1 : \omega_2 : \omega_3 = RQ \sin \lambda : PR \sin \mu : QP \sin \nu$$

oder, wenn wir durch  $PQR$  dividiren:

$$\omega_1 : \omega_2 : \omega_3 = \frac{\sin \lambda}{P} : \frac{\sin \mu}{Q} : \frac{\sin \nu}{R}$$

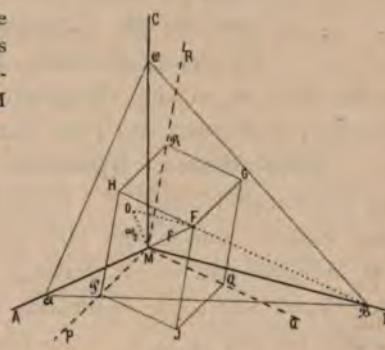


Fig. 7.



Fig. 7a.

Dies zusammen mit Formel 2 giebt:

$$A : B : C = \frac{\sin \lambda}{P} : \frac{\sin \mu}{Q} : \frac{\sin \nu}{R}$$

Die weitere Aenderung in der Schreibweise dieser Fundamentalgleichung bis zur obigen Gestalt erfordert noch einige Darlegungen und folgt Seite 14.

Die Polarform ist aus zwei Gründen interessant:

1. weil wir in ihr die Theilung und Vereinigung der Kräfte verfolgen können, die zur Entstehung der Flächen führen (genetisch),
2. weil sie als Grundlage angesehen werden kann für die polare Projection (formell), sowie für die Flächensymbole.

Alles dies ist so eng verknüpft, dass jedes für sich kaum behandelt werden kann; wir werden das Eine durch das Andere entwickeln.

**Combinationen. Symmetrie. Holoedrie. Centraldistanz.** Die Polarform ist das Parallelepiped der Primärkräfte. Ihre Axen, d. h. die Parallelen mit den Kanten durch den Mittelpunkt, haben die Richtungen der Primärkräfte im Molekül und es ist deren gegenseitige Neigung gleich  $\lambda \mu \nu$ ; die Länge der Axen stellt die Intensität dieser Kräfte, der Krafteinheiten dar. Wir haben sie mit  $p_0 q_0 r_0$  bezeichnet. Jedes Molekül verfügt nur einmal über die Kräfte  $p_0 q_0 r_0$ . Denken wir uns aber die Primärkräfte nach jeder Axe hin in eine gleiche Anzahl gleicher Theile getheilt, so verhalten sich deren Intensitäten ebenfalls wie  $p_0 : q_0 : r_0$ . Da es uns jedoch hier nur auf die relative Grösse der wirkenden Krafttheile ankommt, da nur sie, nicht die absolute Grösse die Richtung der Resultante, der Flächennormale, bestimmt, so können wir auch diese kleineren Theile als Einheiten betrachten und eine Fläche bezeichnen nach der Zahl der Krafteinheiten, die in der Richtung jeder der Primärkräfte zur Erzeugung der flächenbildenden Kraft mitwirkt.

Zur Bildung einer Flächennormale wird im Allgemeinen nur ein Theil der durch die besprochene Theilung erzeugten Einzelkräfte verwendet, ein Theil bleibt in jeder Primärrichtung übrig. Diese Reste können theilweise oder im Ganzen zu weiteren Resultanten sich vereinigen, die mit den ersten gleichzeitig Flächen erzeugen. So entstehen die Combinationen. Durch die verschiedene Art der Theilung und Vereinigung ist die grösste Manichfaltigkeit in der Bildung von Combinationen möglich.

Beschränkt wird die Freiheit der Vereinigung durch das Gesetz der Symmetrie (Holoedrie), das erfordert, dass überall da, wo an demselben Krystallelement (Molekül) gleiche Verhältnisse in Bezug auf Richtung und Grösse der Kräfte vorliegen, dieselbe Wirkung (Theilung und Vereinigung) gleichzeitig stattfindet, d. h. dass jede Fläche (Einzelfläche) alle gemäss den Elementen ihres Krystalls zu ihr symmetrischen gleichzeitig hervorruft (Gesamtform).

Beispiel. Wir nehmen einen Krystall rhombischer Symmetrie, bei dem sich also Alles, was in einem Octanten vorgeht, symmetrisch in den sieben anderen wiederholt. Wir



können uns dann darauf beschränken, den Vorgang in einem Octanten zu betrachten, wenn wir berücksichtigen, dass eben durch die Symmetrie jede Primärkraft nach vier Seiten hin zugleich und gleichmässig in Anspruch genommen wird, also dem einen Octanten nur ein Viertel derselben zufällt. Dieses Viertel möge in unserem Beispiel nach jeder Axenrichtung in vier Theile zerfallen, die wir jetzt  $p_0, q_0, r_0$  nennen wollen. Jeder dieser Theile ist also  $\frac{1}{4}$  der gesammten Primärkraft des Moleküls in seiner Richtung. Wir haben danach zur Verwendung  $4p_0, 4q_0, 4r_0$ . Nun möge die Vereinigung in folgender Weise stattfinden: Es treten zunächst zusammen  $1p_0, 1q_0, 1r_0$  zu den Resultanten  $p_0, q_0, r_0 = (111) = 1$ ; von dem Rest vereinigen sich  $3p_0$  mit  $2q_0$  zur Resultanten  $(320) = \frac{3}{2}\infty$  und die übrig bleibenden  $1q_0$  und  $3r_0$  mögen jede für sich flächenbildend wirken, so dass erstere Kraft die Form  $(010) = 0\infty$ , die letztere  $(003) = (001) = 0$  erzeugt. So erhalten wir die Combination:

$$(111) (320) (010) (001) = P, \infty P^{\frac{3}{2}}, \infty P\infty, 0P = 1 \quad \frac{3}{2}\infty \quad 0\infty \quad 0$$

Durch die Richtung der Normalen ist, wie schon aus dem Beispiele zu ersehen, die Intensität der Kraftwirkung in deren Richtung noch nicht fixirt. Diese Intensität aber ist wohl (neben der Wachsthumsgeschichte) das wesentlichste Moment für die Centraldistanz und dadurch die Ausdehnung der Fläche. So dürfte in dem gegebenen Beispiel (wenn die  $q_0$  und  $r_0$  annähernd gleiche Grösse haben) die Basis, der mehr Kraftantheile zufallen, sich stärker ausbreiten, als das Brachypinakoid.

**Polare Flächensymbole.** Zum Zweck der Symbolisirung können die Flächen durch ihre Normalen aus dem Krystallmittelpunkt vertreten werden, wenn es uns nicht darauf ankommt, die Centraldistanz der Flächen im Symbol auszudrücken. Eine solche Normale hat die Richtung der die Fläche verursachenden Kraft, die wir, wie oben ausgeführt, ausdrücken können durch die Anzahl  $p, q, r$  der primären Einzelkräfte  $p_0, q_0, r_0$ , die zur Bildung einer Resultanten in der Richtung dieser Flächennormalen zusammentreten.

Sollte es einmal wünschenswerth erscheinen, auch die Centraldistanz der Flächen im Symbol zum Ausdruck zu bringen, so könnte dies dadurch geschehen, dass man die Werthe  $p, q, r$  mit einem gemeinsamen Faktor multiplicirte, welcher der Intensität der Kraft in der Richtung der Flächennormale entspräche. Centraldistanz und Kraftintensität müssten durch ein Gesetz verknüpft sein. Um dies Gesetz zu finden, könnte man ein solches zunächst hypothetisch einführen und nach ihm Symbole schreiben, in denen sich die Beobachtungen über Centraldistanz übersichtlich niederlegen liessen. Die so gewonnenen Zeichen könnten dann in ihrer Gesammtheit discutirt werden und das vorläufig eingeführte Gesetz bestätigen, oder durch ein anderes ersetzen. Als nächstliegendes Gesetz bietet sich das folgende:

„Die Centraldistanz einer Fläche ist bei allseitig gleichen Wachstumsverhältnissen umgekehrt proportional der die Fläche erzeugenden Kraft.“

$$\text{In Buchstaben:} \quad D_1 : D_2 = \frac{1}{k_1} : \frac{1}{k_2}$$

So käme der in unserem obigen Beispiel auftretenden Basis (003) ein Drittel der Centraldistanz zu, wie einer unter sonst gleichen Umständen auftretenden Basis (001).

Dies Gesetz hat deshalb viel Wahrscheinlichkeit für sich, weil, wenn es richtig wäre, die Primärkräfte  $p_0, q_0, r_0$  allein wirkend eine Grundform mit den Kantenlängen  $a_0, b_0, c_0$  erzeugen würden, wie sie die Fundamentalgleichung als Abschnitte der Form  $p_0, q_0, r_0 = (111) = 1$  auf den Linear-Axen giebt, und wie wir sie aus praktischen Gründen zum Zweck der Formbeschreibung und Projection der Grundform bereits willkürlich beigelegt haben. Wäre das aufgestellte Gesetz richtig, so würde die genannte Wahl aufhören, willkürlich zu sein.



Bestimmen wir also eine Fläche durch die drei Zahlen  $p\ q\ r$ , die angeben, wie viele von den Kräfteinheiten  $p_0$  der P Richtung  $q_0$  der Q Richtung,  $r_0$  der R Richtung zur Bildung einer Resultante in der Richtung der Flächennormale zusammentreten, so erhalten wir zunächst ein dreizahliges polares Flächensymbol. Da es aber bei den Symbolzahlen, wie bei den Kräfteinheiten, nur auf relative Grössen ankommt, so können wir stets  $r = 1$ ,  $r_0 = 1$  setzen und brauchen diese 1 nicht anzuschreiben. Dadurch vereinfacht sich das dreizahlige polare Flächensymbol zu einem zweizahligen:

$$pq(1) = pq.$$

(Von diesen zwei Zahlen schreiben wir zu weiterer Vereinfachung in der Regel nur eine, wenn beide einander gleich sind, also  $p$  anstatt  $pp$ .) Die Symbole  $pq$  sind, wie wir sogleich sehen werden, die Coordinaten der Flächenpunkte in polarer Projection und gewähren somit das, was wir auf der ersten Seite als erstrebenswerth bezeichnet haben, dass das Symbol der Zahlenausdruck des Projectionbildes, die Projection der unmittelbare graphische Ausdruck des Symbols sei. Wir erhalten aus ihm wieder das dreizahlige Symbol, das die Kraftantheile darstellt und für manche Operationen nützlich ist, indem wir als dritten Werth 1 hinzufügen. Wenn im Folgenden die Rede ist von dreizahligem Symbol im Gegensatz zum zweizahligen, so ist dies gemeint. Da  $pq$  oft Brüche sind, so können wir durch Multiplication mit dem gemeinsamen Nenner bewirken, dass das dreizahlige Symbol aus lauter ganzen Zahlen besteht. Die so gebildeten Symbole treffen dann im Allgemeinen überein mit den Whewell-Grassmann-Miller'schen Symbolen und weichen von ihnen wesentlich nur im hexagonalen System ab.

**Polar-Projection.** Für jeden Krystall müssen gegeben sein die Richtungen der Primärkräfte (durch die Winkel  $\lambda\ \mu\ \nu$ ) und ihre Intensitäten durch das Längenverhältniss  $p_0 : q_0 : r_0$ . Aus diesen Grössen construiren wir die Polarform.

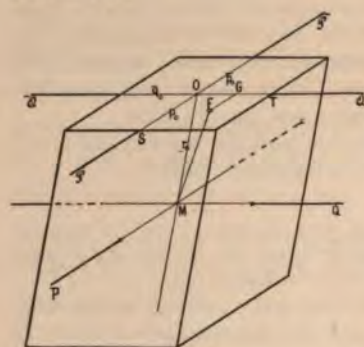


Fig. 8.

Das Zeichen einer Fläche  $pq$  sagt aus, dass zu der die Fläche bildenden Resultante, der Flächen-Normale, sich vereinigen die Componenten:

$$pp_0\ qq_0\ \text{und}\ 1 \cdot r_0$$

in der Richtung der Axen der Polarform.

$p_0\ q_0\ r_0$  sind die Masseinheiten in den Richtungen der Axen P Q R (Fig. 8):

$$OS = p_0\ OT = q_0\ MO = r_0$$

Wir werden diese Einheiten nun nicht mehr besonders erwähnen, sondern uns bewusst bleiben, dass in jeder der Axenrichtungen mit anderem Mass gemessen wird; dass also  $p$  sagt, es seien in der P Richtung  $p$  von den Einheiten aufzutragen,



die dieser Richtung eigenthümlich sind u. s. w. Die verschiedenen Krystalle unterscheiden sich dadurch, dass die Kraftrichtungen verschieden sind, ebenso die Einheiten, mit denen gemessen wird.

Sollen Kräfte im Raum vereinigt werden, so trägt man sie nach dem Mass ihrer Intensität mit den ihnen eigenthümlichen Richtungen aneinander. Die Resultante ist die Verbindungslinie des Endpunktes dieses Systems mit dem Ausgangspunkt.

Das Zeichen  $p\ q$  sagt also, dass im Raum

$p$  Einheiten der  $P$  Richtung,  
 $q$  Einheiten der  $Q$  Richtung,  
 $1$  Einheit der  $R$  Richtung

zu einer Resultanten zusammengelegt werden sollen. Es ist also in unseren Zeichen die Componente der  $R$  Richtung  $= 1$  genommen. Diese  $1$  führt uns aus dem Mittelpunkt der Polarform auf deren obere Fläche in den Punkt  $O$ . (Fig. 8.) Nun sind  $OS$  und  $OT$  die Einheiten der  $P$  und  $Q$  Richtung. In diesen Richtungen also und mit diesen Einheiten sind die Werthe  $p$  und  $q$  in der oberen Fläche der Polarform aufzutragen. Der Endpunkt dieses Systems von drei Kraftcomponenten muss stets in dieser oberen Fläche liegen. Die Verbindungslinie des Punktes  $F$  mit dem Mittelpunkt  $M$  der Polarform ist die Resultante, die Flächennormale. Der Ort des Punktes  $F$  in der Ebene ist typisch für die Normale und somit für die Fläche, zu der diese gehört. Alle die Punkte,  $F$ , die eine Abbildung (Projection) der Flächen sind und die wir daher Flächenpunkte nennen wollen, liegen in einer Ebene, der oberen (horizontalen) Fläche der Polarform. Somit ist für unsere Symbole, in denen der dritte Index der Einheit gleich gesetzt ist, die diesem Einheitsindex zugeordnete (obere) Fläche der Polarform unsere naturgemässe Projections-Ebene.

Zur Projections-Ebene könnten wir ebenso gut eine andere Fläche der Polarform wählen, dann müssten wir nicht  $r$ , sondern  $p$  oder  $q = 1$  setzen. Wir erhielten dann Symbole von der Form  $pr$  resp.  $qr$  und, da wir zum Zweck der Zeichnung die Projections-Ebene am besten horizontal legen, müssten wir das ganze System drehen. Das führt auf das Erste zurück und bedeutet nichts weiter, als eine veränderte Aufstellung des Krystalls.

Zum Aufbau einer Fläche resp. zur Zusammensetzung von deren Normale können Antheile von  $1$ ,  $2$  oder  $3$  der Primärkräfte mitwirken. Dadurch zerfallen die Flächen in drei natürliche Gruppen, die bereits Grassmann in seiner vortrefflichen Schrift (Zur physischen Krystallonomie und geometrischen Combinationslehre. Stettin 1829, vgl. Seite 11 und 129) scheidet und im Anschluss an seine phoronomische Combinationslehre als elementare, binäre, ternäre Flächen bezeichnet. Wir wollen diese Namen unverändert annehmen, nur an Stelle von elementar primär setzen. Es entsprechen die Primärformen den Pinakoiden, die Binärformen den Prismen und Domen, die Ternärformen den Pyramiden.

Also:

Primärformen:	Basis	o
	Längsfläche	o ∞
	Querfläche	∞ o
Binärformen:	Prismen	p ∞, ∞ q
	Domen	p o, o q
Ternärformen:	Pyramiden	p q

Jede dieser Gruppen hat ihren besonderen Charakter und spielt ihre besondere Rolle in der Entwicklung der Formenreihen der Krystalle. Im tetragonalen und hexagonalen System haben wir sogenannte Pyramiden und Rhomboeder von binärem (domatischem) Charakter po und solche von ternärem (pyramidalem) Charakter p.

**Rationalität der Krafttheilung.** Aus dem Zeichen pq ergeben sich, wie oben Seite 9 u. 10 nachgewiesen, die Axen-Abschnitte A B C der Fläche nach dem Satz:

$$P : Q : R = \frac{\sin \alpha}{A} : \frac{\sin \beta}{B} : \frac{\sin \gamma}{C} = \frac{\sin \lambda}{A} : \frac{\sin \mu}{B} : \frac{\sin \nu}{C}$$

Davon bedeuten PQR die Intensitäten der Kraftantheile. Drücken wir sie in den Einheiten  $p_0 q_0 r_0$  aus, so ist:

$$P : Q : R = pp_0 : qq_0 : rr_0$$

Die Axen-Abschnitte ABC beziehen wir auf die Axen der Grundform  $a_0 b_0 c_0$ , betrachten diese als Einheiten (lineare Elemente) und setzen

$$A : B : C = aa_0 : bb_0 : cc_0$$

wobei nach dem Satz von der Rationalität der Indices abc rationale Zahlen sind. Setzen wir diese Werthe in obige Gleichung, so nimmt sie die Form an, in der wir sie bereits oben (Seite 8) angeschrieben haben:

$$pp_0 : qq_0 : rr_0 = \frac{\sin \alpha}{aa_0} : \frac{\sin \beta}{bb_0} : \frac{\sin \gamma}{cc_0} = \frac{\sin \lambda}{aa_0} : \frac{\sin \mu}{bb_0} : \frac{\sin \nu}{cc_0} \text{ (Fundamentalgleichung).}$$

Nun gilt noch für die Constanten jedes Krystalls die Gleichung:

$$p_0 : q_0 : r_0 = \frac{\sin \alpha}{a_0} : \frac{\sin \beta}{b_0} : \frac{\sin \gamma}{c_0} = \frac{\sin \lambda}{a_0} : \frac{\sin \mu}{b_0} : \frac{\sin \nu}{c_0}$$

daher:

$$p : q : r \text{ (resp. } p : q : t) = \frac{1}{a} : \frac{1}{b} : \frac{1}{c} = \frac{1}{m} : \frac{1}{n} : \frac{1}{o} \text{ (Weiss) } = h : k : l \text{ (Miller).}$$

Eine Consequenz lässt sich aus letzterer Formel ziehen. Erfahrungsgemäss sind abc hkl rationale Grössen (Gesetz von der Rationalität der Indices), also auch pqr, d. h. die Kraftantheile in jeder Richtung treten in rationaler Anzahl auf oder, was dasselbe ist: die Primärkräfte zerfallen stets in eine ganze Anzahl gleicher Theile. Dies ist der genetische Ausdruck des Satzes von der Rationalität der Indices, wir können es bezeichnen als Gesetz von der Rationalität der Krafttheilung. Das Analogon finden wir beispielsweise in der Akustik beim Zerfallen schwingender Saiten oder Luftsäulen in eine ganze Anzahl gleicher schwingender Einzeltheile. Ebenso entsprechen den Combinationen die Töne mit ihren Ober-



tönen und sind die in beiden Fällen auftretenden Zahlenverhältnisse durchaus analog, wie wir bei der Discussion der Zahlen sehen werden.<sup>1)</sup>)

In der letzten Formel liegt ferner das Prinzip der Umwandlung in die Weiss'schen und Miller'schen Symbole. Es sind die neuen Symbole im Wesen nicht sehr von den Miller'schen verschieden, nur ist der dritte Index stets = 1 gesetzt und weggelassen, ein Unterschied, der jedoch bei den mit ihnen auszuführenden Operationen wesentlich einschneidend ist. Nur im hexagonalen System weichen die Symbole von den Miller'schen ab und schliessen sich näher denen von Bravais an. Sie bedürfen einer besonderen Besprechung, die später (Seite 29) folgt.

**Polar-Elemente.** Nach dem Gesagten bestimmt sich die Lage des Projectionspunktes einer Fläche  $pq$  einfach dadurch, dass man, ausgehend von dem Projections-Mittelpunkt  $O$ , die Grössen  $pq$  in den ihnen zukommenden Einheiten  $p_0 q_0$  in den Richtungen  $OP$ ,  $OQ$  als Coordinaten aufträgt, also  $p$  mal die Einheit  $p_0$  in der Richtung  $OP$ , daran  $q$  mal die Einheit  $q_0$  in der Richtung  $OQ$ . (Fig. 9.)

Wir legen im Bild die Richtung  $OQ$  von links nach rechts parallel dem Papierrand,  $OP$  schliesst sich daran unter dem Winkel  $\nu$ . ( $\nu$  ist der Winkel, den die Axen  $P$  und  $Q$  in der Projections-Ebene einschliessen.)

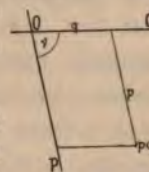


Fig. 9.

Für viele Untersuchungen reicht die Charakterisirung der Projection durch  $p_0 q_0 \nu$  aus. Für Untersuchungen über den Zonenverband können sogar alle diese Elemente willkürlich in das Bild getragen werden. Zur graphischen Berechnung von Winkeln im Raum, zum Aufsuchen der Beziehungen zu den anderen Arten der Projection und anderen Aufgaben reichen jedoch diese Daten nicht aus. Dazu fehlt noch und genügt 1. die Angabe der Lage des Scheitelpunktes  $C$  (senkrecht über dem Krystallmittelpunkt) gegen den Coordinaten-Anfang  $O$ , 2. der verticale Abstand  $h$  des Scheitelpunktes  $C$  vom Krystallmittelpunkt  $M$ .

Die Lage von  $O$  gegenüber  $C$  können wir auf zwei Arten fixiren, entweder durch die rechtwinkligen Coordinaten  $y_0 x_0$  oder durch die Polarcoordinaten  $d \delta$ . (Fig. 10.)

$x_0 y_0$  sind zur Construction bequem,  $d \delta$  zu manchen Rechnungen willkommen. Es wurden daher im Index alle vier Werthe  $x_0 y_0 d \delta$  unter den Elementen aufgeführt. Die Masseinheit ist wie überall  $r_0 = 1$ .

Der verticale Abstand der Projections-Ebene

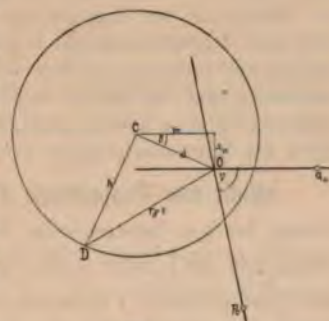


Fig. 10.

<sup>1)</sup> Auf eine solche Analogie weist bereits Grassmann hin (Zur physischen Krystallonomie 1829 Seite 49 und 179).



vom Krystallmittelpunkt (CM) ist in dies Projectionsbild eingetragen als Radius eines um C beschriebenen Kreises, den wir als Grundkreis bezeichnen wollen. Er spielt eine grosse Rolle bei den Constructionen zur graphischen Krystallberechnung und ist unter Anderem auch der Grundkreis der stereographischen Projection.

Ziehen wir  $CD \perp CO$ , so ist  $OD = r_0 = 1$ . (Fig. 10.)

Die Gesamtheit der Elemente der Polarprojection, der polaren Elemente, besteht danach aus folgenden Werthen:

$$p_0 \ q_0 \ (r_0 = 1) \ \lambda \ \mu \ \nu \ x_0 \ y_0 \ h \ d \ \delta$$

von denen je fünf unter sich unabhängige zur Ableitung der anderen ausreichen. Im Index finden sich alle diese Werthe für jedes einzelne Mineral ausgerechnet.

**Linear-Projection.** Unter Linear-Projection verstehen wir eine solche Art der Abbildung, in der sich die Flächen eines Krystalls als gerade oder krumme Linien in einer Ebene darstellen. Von diesen haben (wie wir an anderer Stelle ausführen werden) nur zwei für die Krystallographie Bedeutung, eine, welche die Flächen als Gerade darstellt, die wir kurz Linearprojection nennen wollen und eine zweite, in der die Flächen als Kreise abgebildet erscheinen. Quenstedt erwähnt letztere (Grundriss der Krystallographie, 1873, 141) unter dem Namen Kugelprojection. Sie verhält sich zu der geradlinigen Linearprojection wie die stereographische zur gnomonischen. Da der Name Kugelprojection leicht zu Verwechslungen mit der stereographischen führen kann, wollen wir sie als cyklographische Projection bezeichnen.

Die erstere der beiden genannten Projectionsarten (die Linearprojection) stimmt im Allgemeinen mit der Quenstedt'schen Projection überein; um aber consequent die Beziehungen der Projectionen unter sich durchführen zu können, ist ein Abweichen von der Quenstedt'schen Behandlung nöthig. Quenstedt verschob jede Fläche so, dass sie durch einen Punkt in der Entfernung 1 über dem Mittelpunkt der Projections-Ebene durchging und suchte die Trace der Fläche mit der Projections-Ebene. Wir legen dagegen alle Flächen durch den Mittelpunkt des Krystalls und nehmen die Trace mit einer in der verticalen Entfernung  $k$  über dem Krystallmittelpunkt liegenden Ebene (über  $k$  vgl. S. 18—20). Zum Zweck der cyklographischen Projection rücken wir ebenso alle Flächen des Krystalls in den Mittelpunkt, um den eine Kugel vom Radius  $k$  gezogen ist. Die Tracen der Flächen auf der Oberfläche der Kugel sind grösste Kreise, die nach Analogie der stereographischen Projection auf eine Ebene durch den Krystallmittelpunkt projicirt werden.

**Wahl der Projections-Ebene für die Linear-Projection.** Als Projections-Ebene ist am besten eine Fläche der Primärform zu wählen, also eines der Pinakoide und zwar zum Zweck einfacher Beziehung zu der Polarprojection und den polaren Flächensymbolen das obere Pinakoid, die Basis. Die Projections-Ebene der Linear- und die der Polar-Projection fallen im Allgemeinen nicht zusammen, vielmehr nur dann, wenn die lineare Projections-Ebene senkrecht steht auf den Flächen der Prismenzone. Dies ist der Fall im



regulären, tetragonalen, hexagonalen, rhombischen System. Im monoklinen System nicht, ausser, wenn wir, was sich für manche Untersuchungen wohl empfiehlt, die Projection auf die Symmetrie-Ebene ausführen.

**Lineare Flächensymbole.** Wie wir die polaren Flächensymbole der gnomonischen Projection entnommen haben, so können wir aus der (geradlinigen) Linear-Projection ebenfalls Symbole für die Flächen und ebenso für die Kanten (Zonen-Axen) gewinnen.

Die (geradlinige) Linear-Projection der Fläche ist eine gerade Linie. Sie kann definirt werden durch die Gleichung zweier auf ihr liegender Zonenpunkte  $[a\ b]$   $[a_1\ b_1]$  und lautet dann:

$$\frac{x-a}{y-b} = \frac{a-a_1}{b-b_1}$$

oder sie kann definirt werden durch ihre Abschnitte auf den zwei Coordinaten-Axen AB. Letztere Definition wollen wir zu einer Symbolisirung der Flächen verwenden.

Eine Fläche schneide auf den drei Axen die Längen  $aa_0$ ,  $bb_0$ ,  $cc_0$  ab, so lautet die Fundamentalgleichung:

$$aa_0 : bb_0 : cc_0 = \frac{\sin \alpha}{pp_0} : \frac{\sin \beta}{qq_0} : \frac{\sin \gamma}{rr_0}$$

Dabei sind  $a_0\ b_0\ (c_0)$   $\alpha\ \beta\ \gamma$  die linearen Elemente, wovon wir  $c_0 = 1$  setzen.

$a_0\ b_0\ c_0$  sind die Abschnitte der Form  $1 = (111)$  auf den drei Linear-Axen (die parallel den Kanten des Pinakoidalkörpers  $[0, \infty, \infty]$  verlaufen), welche letztere sich unter den Winkeln  $\alpha\ \beta\ \gamma$  schneiden.

Mit  $a\ b\ c$  wollen wir die Coefficienten von  $a_0\ b_0\ c_0$  bezeichnen. Sie sind rationale Zahlen und es entspricht  $aa_0 : bb_0 : cc_0$  dem, was man das Parameter-Verhältniss der Fläche nennt und das die Grundlage der Weiss'schen und Naumann'schen Symbolisirung bildet.

Wir setzen  $c = 1$ ;  $a_0\ b_0\ (c_0)$   $\alpha\ \beta\ \gamma$  sind constant für denselben Krystall und es genügt daher zur Bestimmung der Einzelform des durch seine Elemente definirten Krystalls die Angabe von  $a$  und  $b$ .

Aus der Fundamentalgleichung geht hervor, da

$$cc_0 = 1; rr_0 = 1; a_0; b_0; \frac{\sin \alpha}{p_0}; \frac{\sin \beta}{q_0}; \frac{\sin \gamma}{r_0}$$

für denselben Krystall constante Grössen sind, dass, abgesehen von den Einheiten, in denen auf jeder einzelnen Axe gemessen werden muss,  $a\ b$  die reciproken Werthe von  $p\ q$  sind.

Beispiel: Wenn  $p\ q = 2\ 3$ , so ist  $a\ b = \left(\frac{1}{2}\ \frac{1}{3}\right)$

Zur Unterscheidung von den polaren Flächen- und den linearen Zonen-Symbolen, die wir in  $[ ]$  einschliessen, wollen wir die linearen Flächen-Symbole in runde Klammern  $( )$  setzen. Um auch die Zonenlinien aus ihren Parametern in polarer Projection zu symbolisiren, können wir die analog gebildeten zweizahligen Symbole in geschweifte Klammern  $\{ \}$  einschliessen.

Wir haben dann im Ganzen vier Arten von Symbolen, die sich in ihrem äusseren Ansehen folgendermassen unterscheiden:

1.  $p q$  = polare Flächensymbole,
2.  $\{p q\}$  = polare Zonensymbole,
3.  $(a b)$  = lineare Flächensymbole,
4.  $[a b]$  = lineare Zonensymbole.

1 und 2 beziehen sich auf Polarelemente und Polarprojection, 3 und 4 auf Linear-Elemente und Linearprojection; die Zahlen von 1 und 4 bedeuten Parameter, die von 2 und 3 Coordinaten. (Ueber Zonensymbole vgl. die Tabelle S. 24.)

Eine Schwierigkeit in der linearen Symbolisirung entsteht für die Prismen-Flächen. Für sie sind  $a$  und  $b = 0$  und nur ihr Verhältniss bezeichnet die Richtung der durch den Coordinaten-Anfang gehenden Projectionslinie. Wir wollen zur Bezeichnung das Symbol nehmen, so wie es sich aus dem polaren Symbol direkt ableitet:

$$\text{Also aus } \frac{p}{q} \infty = p \infty q \infty \text{ ergibt sich } ab = \left( \frac{0}{p} \frac{0}{q} \right)$$

$$\text{z. B. } pq = \frac{3}{2} \infty = 3 \infty 2 \infty \quad \text{„} \quad \text{„} \quad ab = \left( \frac{0}{3} \frac{0}{2} \right)$$

$$pq = 2 \infty = 2 \infty \infty \quad \text{„} \quad \text{„} \quad ab = \left( \frac{0}{2} \frac{0}{1} \right) = \left( \frac{0}{2} 0 \right)$$

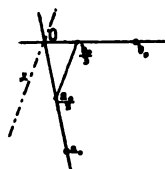


Fig. 11.

Die Projection findet sich für  $\left( \frac{0}{p} \frac{0}{q} \right)$ , indem man mit der Trace  $\left( \frac{1}{p} \frac{1}{q} \right)$  eine Parallele durch den Coordinaten-Anfang zieht.

$$\text{Beispiel: } x = \infty \frac{3}{2} \text{ (polar)} = \left( \frac{0}{2} \frac{0}{3} \right) \text{ (linear) (Fig. 11).}$$

**Linear-Elemente.** Die Elemente der Linear-Projection sind genau analog denen der Polar-Projection. Sie leiten sich aus der Grundform her, wie die Polar-Elemente aus der Polarform. Wir haben die drei Axen, die sich unter den Winkeln  $\alpha \beta \gamma$  schneiden mit den Parameter-Einheiten  $a_0$   $b_0$  und  $c_0 = 1$ . Von diesen treten im Projectionsbild auf  $a_0$   $b_0$   $\gamma$ .

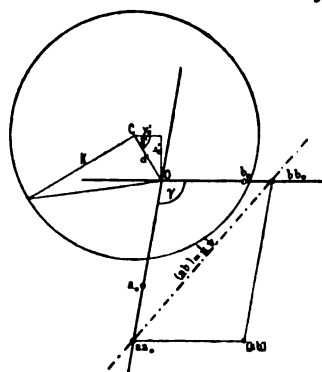


Fig. 12.

Mit ihrer Hilfe können wir die Kantenpunkte (Zonenpunkte)  $[a b]$  aus ihren Coordinaten  $a$   $b$  mit den respectiven Einheiten  $a_0$   $b_0$  auftragen, ebenso die Flächenlinien von  $(a b) = \frac{1}{a} \frac{1}{b}$  durch Verbinden der Punkte  $aa_0$  und  $bb_0$ . (Fig. 12.)

Analog der Polar-Projection ist noch einzutragen der Scheitelpunkt C aus seinen rechtwinkligen Parallelcoordinaten  $x'_0$   $y'_0$  oder seinen Polar-Coordinaten  $d' \delta'$  und es ist mit der Verticalhöhe  $k$  der Projectionsebene über dem Krystallmittel-

punkt als Radius um C ein Kreis zu beschreiben, der der Grundkreis der cyklographischen Projection ist.

Danach haben wir im Ganzen für die Linear-Projection folgende Elemente, die sich im Index berechnet finden:

$$a_0, b_0, (c_0 = 1) \quad \alpha, \beta, \gamma \quad x'_0, y'_0, k, d', \delta'$$

von denen je fünf unabhängige zur Festlegung der Grundform resp. der Projection ausreichen.

Von den zwischen den Linear- und Polar-Elementen bestehenden Beziehungen mögen hier nur zwei besonders hervorgehoben werden:

1. Die Radien der Grundkreise gleich den vertikalen Entfernungen der Projections-Ebenen vom Krystall-Mittelpunkt, bezogen auf die relativen Einheiten ( $r_0, c_0$ ), sind in polarer und linearer Projection gleich.

Beweis: Sei der polare Radius =  $hr_0$ , der lineare =  $kc_0$ , so behauptet der Satz, es sei  $h = k$ .

Ist das Parallelepiped (Fig. 13) die Grundform ( $0, 0\infty, \infty 0$ ), so ist die Basis L die Ebene der Linear-Projection. Wir legen hinein die Ebene der Polar-Projection P senkrecht zu den aufrechten Kanten der Grundform, ziehen  $MCO'$  parallel diesen Kanten, ausserdem  $MO \perp S$ . Es liegen  $O'S$  in der Ebene L,  $OC$  in der Ebene P.



Fig. 13.



Fig. 14.

Nun ist:

S der Scheitelpunkt der linearen Projection,  
 O' der Koordinaten-Anfang „ „ „  
 C der Scheitelpunkt der polaren Projection  
 O der Koordinaten-Anfang „ „ „

denn es ist  $MC \perp P$ ,  $MS \perp L$ , und daher:

C der Austrittspunkt der Normale aus M auf der polaren Projections-Ebene P  
 S „ „ „ „ „ „ „ linearen „ L.

Da ausserdem  $MO'$  den prismatischen Kanten der Grundform parallel läuft und L die Ebene der Linear-Projection ist, so ist der Punkt  $O'$  die lineare Projection der prismatischen Zonen-Axe  $[0]$ . Da ferner  $MO$  senkrecht steht auf der Fläche L, der Basis der Grundform =  $(001)$ , während die Fläche P die polare Projections-Ebene ist, so ist O der gnomonische Projectionspunkt der Fläche L.

$MCO'SO$  liegen in einer Ebene auf den Seiten des Dreiecks  $MO'S$ . Zeichnen wir dieses Dreieck (Fig. 14) heraus, so ist:

$$\triangle MCO \sim \triangle MSO', \text{ da } \angle MCO = \angle MSO' = 90^\circ$$

daher:

$$MC : MO = MS : MO'$$



Es ist aber:

$$\begin{aligned} \text{MO} &= r_o & \text{MO}' &= c_o \\ \text{MC} &= hr_o & \text{MS} &= kc_o \\ \text{also: } hr_o : r_o &= kc_o : c_o \\ &\boxed{h = k} \end{aligned}$$

2. Die Abstände von Scheitelpunkt und Coordinaten-Anfang gemessen, in ihren relativen Einheiten, sind gleich und entgegengesetzt gerichtet in linearer und polarer Projection.

Beweis: Setzen wir diesen Abstand in polarer Projection =  $d$ , in linearer =  $d'$ , so ist zu beweisen, dass  $d = -d'$ .

Es ist in obigen Figuren 13 und 14:

$$\begin{aligned} \text{MO} &= r_o & \text{MO}' &= c_o & d r_o : r_o &= d' c_o : c_o \\ \text{CO} &= dr_o & \text{SO}' &= d' c_o & d &= d' \end{aligned}$$

Nur die Richtung der  $d$  ist verschieden. Also:

$$\boxed{d = -d'}$$

**Benennung der Zonen.** (Fig. 15.) In der Projections-Ebene der gnomonischen Projection liegen zwei Axen P und Q (nur im hexagonalen System drei gleichwerthige Axen). Auf jeder der Axen treten Flächenpunkte aus, die einer Zone angehören; diese Zonen wollen wir Axen-Zonen nennen. Die Flächen der einen Axen-Zone haben das Symbol  $oq$ , die der anderen das Symbol  $po$ .

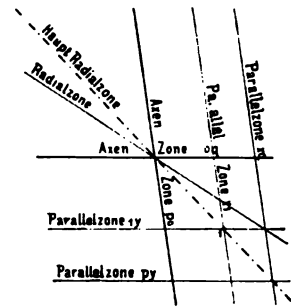


Fig. 15.

Zonen, deren Projectionslinien parallel den Axen laufen, sollen Parallel-Zonen heissen. Für sie ist entweder  $p$  oder  $q$  constant. Wir schreiben

$$\begin{aligned} \parallel Z \ 2q &\text{ für eine Parallelzone mit constantem } p = 2 \\ \parallel Z \ p3 &\text{ " " " " " " " " } q = 3 \end{aligned}$$

Eine hervorragende Wichtigkeit hat die erste Parallelzone, d. h. die, für welche  $p$  resp.  $q = 1$  ist.

Radialzonen mögen solche Zonen heissen, deren Linien durch den Coordinaten-Anfang  $O$  gehen. Für jede derselben ist  $p : q$  constant.

Danach bezeichnen wir als

Radialzone  $\frac{p}{q} = RZ \frac{p}{q}$  die Zone, für welche  $\frac{p}{q}$  einen bestimmten constanten Werth hat.

$$\text{z. B.: } RZ \ 2 = \text{Radialzone, bei der } \frac{p}{q} = 2$$

$$RZ \ \frac{2}{3} = \text{ " " " " } \frac{p}{q} = \frac{2}{3}$$

Unter den Radialzonen sind von besonderer Wichtigkeit diejenigen, bei welchen  $p : q = 1$  ist. Sie mögen wegen ihrer hervorragenden Bedeutung Haupt-Radial-Zonen (auch Diagonalzonen wäre für sie ein geeigneter Name) genannt und abgekürzt mit HRZ bezeichnet werden. Für sie ist

$p=q$  und würde für eine Form derselben das Symbol  $pp$  (z. B. 22) lauten, wofür der Einfachheit wegen  $p$  (z. B. 2) gesetzt wurde. Die HRZ sind demnach in dem Formenverzeichniss daran kenntlich, dass die Symbole ihrer Formen aus nur einer Zahl bestehen. Nur da, wo die Zahlen des Symbols zweiziffrig sind, wurden beide Zahlen geschrieben, z. B. 12 . 12, da 12 = Zwölf von 12 = Eins, Zwei nicht zu unterscheiden wäre. Der Fall ist nicht häufig. Ebenso müssen die zwei Zahlen ausgeschrieben werden, wenn sie, wie z. B. im triklinen System oder wenn eine Einzelfläche bezeichnet wird, im Uebrigen gleich sind, aber verschiedenes Vorzeichen haben.

Excentrische Radialzonen wurden solche Zonen genannt, deren Linien durch einen gemeinsamen excentrischen Flächenpunkt gehen.

Prismen-Zone ist die Zone derjenigen Flächen, die senkrecht stehen auf der Projections-Ebene, deren Projectionspunkte daher in gnomonischer Projection alle im Unendlichen liegen. Für diese Flächen ist demnach  $p$  und  $q$  unendlich gross, doch besteht ein Verhältniss  $p : q$ , das anzeigt, welcher Radialzone das Prisma angehört. Dies wird im Symbol ausgedrückt. So sei  $3\infty \cdot \infty$  das Symbol des Prismas, für das  $p : q = 3 : 1$  ist; man könnte dafür auch setzen  $\infty \cdot \frac{1}{3}\infty$ . Ebenso sei  $\infty \cdot \frac{3}{2}\infty$  das Symbol desjenigen Prismas für welches  $p : q = 1 : \frac{3}{2}$  ist, man könnte dafür setzen  $\frac{2}{3}\infty \cdot \infty$ . Nun wurde durchgehends der auftretende Zahlenwerth  $> 1$  genommen und der kürzeren Schreibweise wegen das zweite Zeichen  $\infty$  weggelassen, so dass bedeutet:

$3\infty = 3\infty \cdot \infty$  das Prisma der RZ<sub>3</sub>, für das also  $p : q = 3 : 1$

$\infty \frac{3}{2} = \infty \cdot \frac{3}{2}\infty$  " " " RZ<sub>2</sub> " " "  $p : q = \frac{2}{3} : 1 = 1 : \frac{3}{2} = 2 : 3$ .

**Symbolisirung der Kanten** (Schnittlinien, Zonenaxen, Zonen). Der Punkt ist in der Linear-Projection das Bild einer Kante (Zonenaxe). Seine Lage wird bestimmt durch die Coordinaten vom Nullpunkt (Austrittspunkt der Kante  $\infty 0 : 0 \infty$ ). Die Einheiten sind die Parameter-Einheiten der Krystallographie (Linear-Einheiten)  $a_0$   $b_0$ , wobei  $c_0 = 1$  gesetzt ist. Die Coordinaten haben die Grösse  $aa_0$  und  $bb_0$ , wovon  $a_0$  und  $b_0$ , die Einheiten nach den beiden Richtungen, nicht eigens angeschrieben werden müssen. So ergibt sich das Symbol der Kanten (Zonen) analog dem der Flächen aus zwei Zahlen bestehend  $a$  und  $b$ , die angeben, dass der Projectionspunkt der Kante gefunden wird, indem man vom O Punkt ausgehend die Einheit  $a_0$  in der OA Richtung  $a$  mal, daran die Einheit  $b_0$  in der OB Richtung  $b$  mal aufträgt. Das allgemeine Zeichen ist

$[a \ b]$ ,

das zum Unterschied vom Flächensymbol in  $[ ]$  gesetzt werden möge.

**Ableitung des linearen und polaren Kantensymbols (Zonensymbol).** Eine Zone (Kante) kann gegeben sein

direkt und zwar:

1. polar durch die Parameter der Zonenlinie. Polares Zonensymbol  $\{pq\}$ ,
2. linear durch die Coordinaten des Zonenpunktes. Lineares Zonensymbol  $[ab]$ ,

oder indirect und zwar:

3. polar durch die Gleichung der Zonenlinie,
4. polar durch die Symbole zweier Flächenpunkte der Zone  $p_1 q_1$  und  $p_2 q_2$ ,
5. linear durch die Parameter zweier Flächenlinien der Zone  $(a_1 b_1)$  und  $(a_2 b_2)$ .

Zwischen 1 und 2, d. h.  $\{pq\}$  und  $[ab]$  besteht dieselbe Beziehung, wie zwischen den polaren und linearen Flächensymbolen  $pq$  und  $(ab)$ , nämlich:

$$a = \frac{1}{p}; \quad b = \frac{1}{q}$$

Diese Beziehung leitet sich direkt aus der Fundamentalgleichung ab, indem nur diesmal  $pp_0$ ,  $qq_0$  Parameter  $aa_0$ ,  $bb_0$  Coordinaten sind; eine Umkehrung der gewöhnlichen Anwendung, die bei der Gegenseitigkeit der beiden polaren Gestalten direkt giltig ist. Die Fundamentalgleichung lautet:

$$aa_0 : bb_0 : cc_0 = \frac{\sin \alpha}{pp_0} : \frac{\sin \beta}{qq_0} : \frac{\sin \gamma}{rr_0}$$

Darin ist für denselben Krystall, auf den sich sowohl die Symbole  $[ab]$  als auch  $\{pq\}$  beziehen,  $a_0$ ,  $b_0$ ,  $p_0$ ,  $q_0$ ,  $\sin \alpha$  und  $\sin \beta$  constant und wir setzen ausserdem  $cc_0 = 1$ ,  $rr_0 = 1$ . Dadurch geht die Fundamentalgleichung über in:

$$a : b : 1 = \frac{1}{p} : \frac{1}{q} : 1$$

und es ist:

$$a = \frac{1}{p} \quad b = \frac{1}{q}$$

Ad 3. Hat die Gleichung der zu betrachtenden Zone die allgemeine Form der Gleichung ersten Grades

$$lx + my + n = 0$$

so finden wir die Parameter  $pq$ , d. s. die Zahlen des polaren Zonensymbols  $\{pq\}$  als Werthe für  $x$  und  $y$ , indem wir  $y$  resp.  $x = 0$  setzen. Dann ist:

$$\left. \begin{aligned} p &= -\frac{n}{l} \\ q &= -\frac{n}{m} \end{aligned} \right\} \text{und das der Gleichung entsprechende polare Zonensymbol} = \left\{ \frac{n}{l} \frac{n}{m} \right\}$$

Die reciproken Werthe  $\frac{1}{p} = a$ ;  $\frac{1}{q} = b$  sind die Zahlen des linearen Zonensymbols  $[ab]$ , also:

$$\left. \begin{aligned} a &= -\frac{1}{n} \\ b &= -\frac{m}{n} \end{aligned} \right\} \text{und das der Gleichung entsprechende lineare Zonensymbol} = \left[ \frac{1}{n} \frac{m}{n} \right]$$



Beispiel: Es sei die Zonengleichung:

$$x + y - 1 = 0. \text{ Also: } l = 1; m = 1; n = -1,$$

so ist das polare Zonensymbol:  $\left\{ \frac{-1}{1} \frac{-1}{1} \right\} = \{11\} = \{1\}$

das lineare Zonensymbol:  $\left[ \frac{-1}{1} \frac{-1}{1} \right] = [11] = [1].$

Ad 4. Ist die Zone gegeben durch zwei Flächen  $p_1 q_1$  und  $p_2 q_2$  derselben, so kann man zuerst die Zonengleichung aufstellen:

$$\frac{x - p_1}{y - q_1} = \frac{p_1 - p_2}{q_1 - q_2}$$

und dann, nachdem man der Gleichung obige Gestalt  $lx + my + n = 0$  gegeben, in derselben Weise verfahren wie bei 3, und das ist wohl für das Gedächtniss das Beste.

Auch direkt lässt sich das Symbol  $[a b]$  aus den Symbolen  $p_1 q_1$  und  $p_2 q_2$  erhalten nach den Gleichungen, die sich aus der Zonengleichung leicht ableiten lassen:

$$a = \frac{q_1 - q_2}{q_1 p_2 - q_2 p_1}$$

$$b = \frac{p_1 - p_2}{p_1 q_2 - p_2 q_1} = - \frac{p_1 - p_2}{q_1 p_2 - q_2 p_1} \quad 1)$$

Ad 5. Die Ableitung der Coordinaten des linearen Zonenpunktes aus den Parametern zweier Flächen der Zone ergibt sich im Projectionsbild unmittelbar, da der Zonenpunkt der Schnittpunkt der beiden Flächenlinien ist. Die Ableitung auf dem Weg der Rechnung kann auf 4 zurückgeführt werden, indem man statt der linearen Symbole der zwei Flächen ( $a_1 b_1$ ) ( $a_2 b_2$ ) die polaren  $p_1 q_1 = \frac{1}{a_1} \frac{1}{b_1}$  und  $p_2 q_2 = \frac{1}{a_2} \frac{1}{b_2}$  einführt. Direkt ergeben sich die Coordinaten  $[a b]$  des Zonenpunktes nach den folgenden Formeln, die sich leicht ableiten lassen:

$$a = \frac{a_1 a_2 (b_2 - b_1)}{a_1 b_2 - a_2 b_1} = \frac{b_2 - b_1}{\frac{b_2}{a_2} - \frac{b_1}{a_1}}$$

$$b = \frac{b_1 b_2 (a_1 - a_2)}{a_1 b_2 - a_2 b_1} = \frac{a_2 - a_1}{\frac{a_2}{b_2} - \frac{a_1}{b_1}}$$

1) Ausrechnung:

$$\frac{x - p_1}{y - q_1} = \frac{p_1 - p_2}{q_1 - q_2}$$

Für  $x = 0$  ergibt sich der Parameter:

$$q = y = \frac{p_1 q_2 - p_2 q_1}{p_1 - p_2}$$

$$\text{analog für } y = 0: p = x = \frac{q_1 p_2 - q_2 p_1}{q_1 - q_2}$$

und die reciproken Werthe:

$$b = \frac{1}{q} = \frac{p_1 - p_2}{p_1 q_2 - p_2 q_1}$$

$$a = \frac{1}{p} = \frac{q_1 - q_2}{q_1 p_2 - q_2 p_1}$$

**Zonensymbole. Specialfälle.** Die häufigsten Zonen sind die folgenden und es ist bequem, für sie die Symbole zusammenzustellen:

Name der Zone.	Special- werthe f. d. Werthe l m n d. allgem. Zonen- gleichung.	Zonengleichung.	Allgemeine Form eines Flächen- symbols aus der Zone.	Polares Zonensymbol {pq} (Parameter).	Lineares Zonensymbol (Kanten-Symbol) [ab] (Coordinat.)
p Axen-Zone = pAZ.	$\begin{matrix} m=0 \\ n=0 \end{matrix}$	$x=0$	po	$\{0\infty\}$	$[\infty 0]$
q Axen-Zone = qAZ.	$\begin{matrix} l=0 \\ n=0 \end{matrix}$	$y=0$	oq	$\{\infty 0\}$	$[0\infty]$
p Parallel-Zone = p    Z p	$\begin{matrix} m=0 \\ n=q \\ l=1 \end{matrix}$	$x=p$	py	$\{p\infty\}$	$\left[\frac{1}{p} 0\right]$
q Parallel-Zone = q    Z q	$\begin{matrix} l=0 \\ n=q \\ m=1 \end{matrix}$	$y=q$	xq	$\{\infty q\}$	$\left[0 \frac{1}{q}\right]$
Radial-Zone m = RZm.	$n=0$	$lx+my=0$	$z q \cdot q$	$\left\{\begin{smallmatrix} 0 & 0 \\ 1 & m \end{smallmatrix}\right\}$	$[l\infty \cdot m\infty] = \left[\frac{1}{m} \infty\right]$
Haupt-Radial-Zone = HRZ	$\begin{matrix} n=0 \\ l=\pm 1 \end{matrix}$	$x+y=0$	p p	$\left\{\begin{smallmatrix} 0 & 0 \\ 1 & 1 \end{smallmatrix}\right\} = \{00\}$	$[\infty \infty]$
(Diagonal-Zone = DZ).		$x-y=0$	p	$\left\{\begin{smallmatrix} 0 & 0 \\ 1 & 1 \end{smallmatrix}\right\} = \{00\} = \{0\}$	$[\infty \infty] = [\infty]$
Prismen-Zone = PrZ.	$n=\pm \infty$	$lx+my=\pm \infty$	$\begin{matrix} z \infty \cdot \infty \\ = z \infty \end{matrix}$	$\{\infty \infty\} = \{\infty\}$	$[00] = [0]$
Mittel-Parallel-Zone = M    Z	$\begin{matrix} l=1 \\ m=1^1) \end{matrix}$	$x+y+n=0$	$p \cdot p + n$	$\left\{\begin{smallmatrix} n & n \\ n & n \end{smallmatrix}\right\} = \{n\}$	$\left[\frac{1}{n} \frac{1}{n} \frac{1}{n}\right] = \left[\frac{1}{n}\right]$
Allgemeine Zone = Z.	—	$lx+my+n=0$	pq	$\left\{\begin{smallmatrix} n & n \\ 1 & m \end{smallmatrix}\right\}$	$\left[\frac{1}{n} \frac{1}{m} \frac{1}{n}\right]$

Wir gebrauchen hier wie in allen unseren zweizahligen Symbolen die Abkürzung, dass wir, wenn die zwei Zahlen p q resp. a b einander gleich sind, die Zahl nur einmal setzen, also  $[p] = [pp]$ ;  $\{2\} = \{22\}$ ;  $1 = 11$ . Ausserdem schreiben wir gekürzt:

$$z \infty \text{ für } z \infty \cdot \infty = \infty \cdot \frac{1}{z} \infty; \quad \infty \beta \text{ für } \infty \cdot \beta \infty = \frac{1}{\beta} \infty \cdot \infty.$$

Durch Auftragen der Kantenpunkte aus ihren Symbolen als Coordinaten erhalten wir das lineare Projectionsbild. Jede Gerade zwischen zwei Punkten stellt eine Fläche dar. Ebenso können wir das Projectionsbild aufbauen durch Eintragen der Flächenlinien aus ihren Symbolen (a b) als Parametern, indem wir die Einheit  $a_0$  nach OA  $a$ mal, die Einheit  $b_0$  nach OB  $b$ mal auftragen, die gefundenen Punkte auf OA und OB verbinden (s. Fig. 12 S. 18). Der Schnittpunkt zweier Flächenlinien ist der Projections-

<sup>1)</sup> Für diejenigen M || Z, bei denen  $l = -1$  oder  $m = -1$ , ändert sich entsprechend das Vorzeichen im Symbol. Die Werthe l m n können überall + oder - sein.

punkt ihrer gemeinsamen Kante, das ist zugleich der Projectionspunkt der Axe der durch die beiden Flächen fixirten Zone.

**Symbole der Gesamttformen, der Theilformen, der Einzelflächen.** Wir verstehen unter Gesamttform den Inbegriff aller Flächen, die bei einem Krystall durch die Symmetrie gleichzeitig bedingt werden, wenn eine derselben vorhanden ist. So werden z. B. mit einer Fläche  $pq$  im holodrisch regulären System 47 andere gleichzeitig hervorgerufen. Diese Gesamttformen zerfallen durch die Meroedrie in Gruppen, die geschlossen auftreten. Ferner bewahren Fläche und parallele Gegenfläche eine gewisse Zusammengehörigkeit und endlich ist die Einzelfläche soweit selbstständig, dass sie ebenfalls einer besonderen Bezeichnung bedarf. Die Symbole sollen nun so eingerichtet sein, dass es durch sie möglich ist, jede Gesamttform als Ganzes, jede Theilform, das parallele Flächenpaar und die Einzelfläche auszudrücken. Wie dies zu erreichen ist, möge nun zugleich mit den Eigenheiten des Projectionsbildes für die einzelnen Systeme betrachtet werden. Jedoch werden wir hier (besonders in Bezug auf meroedrische Flächencomplexe) nur das Princip darlegen, die Detailbesprechungen an anderer Stelle geben.

**Reguläres System.** Das allgemeine Zeichen der Gesamttform sei  $pq$ . Um die Einzelformen zu finden, gehen wir zurück auf das dreizahlige Symbol  $pqr$ , für welches wir  $pqr$  setzen können, in dem wir durch Multiplication mit dem grössten gemeinsamen Nenner ganze Zahlen einführen, z. B. für die Gesamttform:

$$\frac{1}{3} \frac{2}{3} = \frac{1}{3} \frac{2}{3} 1 = 123$$

Dies  $pqr$  fällt zusammen mit Miller's  $hkl$ . Durch Permutation von  $\pm p$ ,  $\pm q$ ,  $\pm r$  erhalten wir alle Einzelflächen. Setzen wir dann jedesmal den letzten Werth  $= +1$ , so finden wir die Symbole für die 24 Einzelflächen der oberen Projections-Ebene.

Soll die Gegenfläche gemeint sein, so bezeichnen wir dies hier wie in allen anderen Systemen durch ein Minuszeichen unter dem Symbol, also:

$$\overline{pq} = \text{Gegenfläche von } pq$$

$$\frac{2}{3} = \text{ " " " } 23$$

Sodann brauchen wir nur noch die 24 Flächen der oberen Projections-Ebene unter sich zu unterscheiden. Diese zerfallen in drei Gruppen I. II. III., je nachdem der grösste, mittlere oder kleinste der drei Werthe  $pqr$

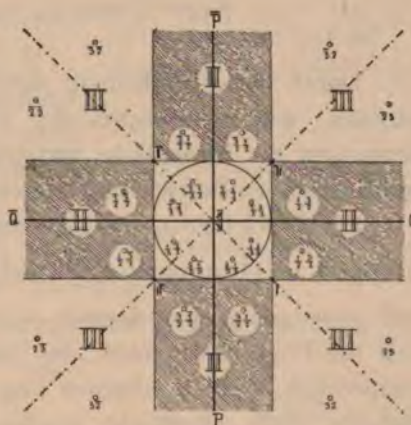


Fig. 16.

an die letzte Stelle tritt. Die Flächenpunkte der drei Gruppen ordnen sich im Projectionsbild in verschiedene Felder, die in Fig. 16 durch Schraffirung geschieden und mit den Nummern der Gruppe bezeichnet sind.

In Gruppe I. ist  $p$  und  $q < 1$  z. B. für das dreiziffrige Symbol  $123 : \frac{2}{3} \frac{1}{3}; \frac{1}{3} \frac{2}{3}$

II. „  $p$  oder  $q < 1$  „ „ „ „ „ „  $\frac{3}{2} \frac{1}{2}; \frac{1}{2} \frac{3}{2}$

III. „  $p$  und  $q > 1$  „ „ „ „ „ „  $3 \ 2; 2 \ 3$ .

Das innere Feld zwischen den wichtigen Eckpunkten  $1 \cdot 11 \cdot I \cdot I1$  wollen wir hier, sowie in den anderen Systemen innere Projections-Ebene nennen. Für alle Formen der inneren Projections-Ebene ist (absolut)  $p$  und  $q < 1$ .

Durch die Vertauschung von  $p$  und  $q$  erhalten wir obige sechs Formen. Weiter theilt sich das Feld in vier Quadranten (1. 2. 3. 4) Fig. 17 und es unterscheiden sich die Indices der in den einzelnen Quadranten liegenden Flächenpunkte durch die Vorzeichen.

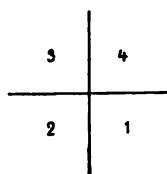


Fig. 17.

Im 1. Quadranten ist:  $pq = ++$

„ 2. „ „ „ „  $= +-$

„ 3. „ „ „ „  $= --$

„ 4. „ „ „ „  $= -+$

Die Diagonalen trennen die Felder, in welchen  $p > q$  (vorn — hinten), von denen, in welchen  $p < q$  ist (links — rechts).

Durch diese Eintheilung sind wir im Stande, jede Einzelfläche zu bezeichnen, wie im Beispiel der Fig. 16 zu ersehen. Eine zweite Art zur Benennung der Einzelfläche findet sich an späterer Stelle bei der Besprechung der Buchstaben-Bezeichnung angegeben.

Zur Bezeichnung der Gesamtform wählen wir dasjenige Symbol der Gruppe I. im Quadranten 1, für welches  $p > q$  ist, also in unserem Beispiel  $\frac{2}{3} \frac{1}{3}$  und zwar geben wir deshalb den Symbolen der Gruppe I. den Vorzug, weil die Projectionspunkte der Einzelflächen, die diesen Symbolen direkt entsprechen, dicht beisammen liegen in der Mitte des Projectionsbildes und dadurch leicht überblickt werden können. Wenn es in einem speciellen Falle wünschenswerth erscheint, kann auch eine andere Einzelfläche, z. B.  $23$  als Vertreter der Gesamtform verwendet werden. Im Index wurde je ein positiver Vertreter der drei Gruppen für die Gesamtform eingesetzt, also z. B.:

$$\frac{2}{3} \frac{1}{3}; \frac{1}{2} \frac{3}{2}; 3 \ 2$$

und erhielten die Symbole der ersten Gruppe die Ueberschrift  $G_1$ , die der zweiten  $G_2$ , der dritten  $G_3$ .

Die hemiedrischen Theilformen werden nur durch  $\pm$  resp.  $1r$  vor dem Symbol kenntlich gemacht, die tetartoedrischen durch  $\pm 1r$ . Dass die Form theilflächig ist, sieht man eben an dem vorgesetzten  $\pm 1r$ . Welche Art der



Hemiedrie vorliegt, braucht nicht bei jeder einzelnen Form aufs Neue im Symbol ausgedrückt zu werden, wenn es nur einmal von dem Krystall ausgesagt ist. Im Index findet sich eine diesbezügliche Angabe im Kopf der Tabellen zugleich mit Nennung des Krystallsystems. Dadurch wird das Symbol entlastet und können die Angaben  $\frac{pq}{2} \frac{pq}{4}$  resp.  $\pi \times$  entbehrt werden. Das Gesagte gilt auch für die anderen Systeme.

In Projectionsbildern empfiehlt es sich, die Gebiete der drei Gruppen resp. bei Meroedrien die zusammengehörigen Teilgebiete des Projectionsfeldes durch eingelegte Farbtöne hervorzuheben, wie dies in Fig. 16 durch die Schraffurung angedeutet ist.

Der Kreis in Figg. 16–21 ist der Grundkreis der Projection vom Radius  $h$ . Im regulären System ist  $h = r_0 = p_0 = q_0 = 1$ .

**Tetragonales System.** Die Gesamtform  $pq$  ( $p > q$ ) umschließt die Einzelflächen  $\pm p \cdot \pm q$  sowie  $\pm q \cdot \pm p$  nebst den Gegenflächen auf der unteren Projectionsfläche, die wieder durch das Minuszeichen unter dem Symbol kenntlich gemacht werden. Also z. B. (Fig. 18):

Gesamtform:  $21$

Einzelflächen:  $21 \quad 12 \quad 2\bar{1} \quad 1\bar{2} \quad 2\bar{1} \quad \bar{1}2 \quad 21 \quad \bar{1}\bar{2}$

mit den Gegenflächen:  $\bar{2}\bar{1} \quad \bar{1}\bar{2} \quad 2\bar{1} \quad 1\bar{2} \quad 2\bar{1} \quad \bar{1}2 \quad 21 \quad \bar{1}\bar{2}$

Als Repräsentanten der Gesamtform wählen wir dasjenige Symbol der Fläche  $pq$  des ersten Quadranten vorn rechts, bei dem  $p > q$  ist. Die Meroedrien werden wieder durch  $\pm 1r$  vor dem Symbol angezeigt.

In diesem System ist  $p_0 = q_0$  jedoch verschieden von  $r_0 = h = 1$ , daher ist im Index unter den Elementen nur  $p_0$  angegeben.

**Rhombisches System.** Zu einer Gesamtform gehören hier im Allgemeinen vier Einzelflächen nebst ihren Gegenflächen, nämlich:

$pq \quad p\bar{q} \quad \bar{p}q \quad \bar{p}\bar{q}$

mit den Gegenflächen:  $\bar{p}q \quad p\bar{q} \quad \bar{p}\bar{q} \quad \bar{p}q$

Als Repräsentant der Gesamtform ist  $pq$   $= +p \cdot +q$  gewählt. Durch die Diagonalen durch  $O$  und die vier Punkte der Form  $1$  wird das Feld in zweierlei Gebiete geteilt, die in der Fig. 19 durch Schraffurung unterschieden sind. In dem einen Theil (vorn – hinten) liegen die Formen, für welche  $p > q$  (Querformen), in den seitlichen Theilen die, für welche  $p < q$  ist (Längsformen).

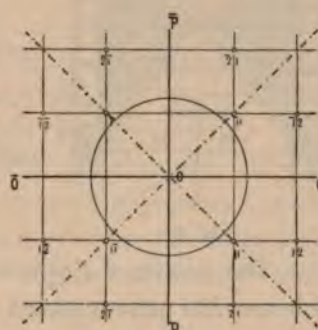


Fig. 18.



Fig. 19.

Die Bezeichnung Längsform soll ausdrücken, dass eine Form zwischen den Formen der Haupt-Radialzone (Pyramiden der Hauptreihe) und der Längsfläche  $0\infty = (010)$  liege, Querform, dass sie zwischen diesen und der Querfläche  $\infty 0 = (100)$  liege. Für erstere ist  $p < q$ , für letztere  $p > q$ . Vgl. Figg. 19–21.

In diesem System sind  $p_0$  und  $q_0$  verschieden unter sich und ebenso von  $r_0 = h = 1$ .

#### Monoklines System.

In diesem System fallen der Projections-Mittelpunkt O und der Scheitelpunkt C nicht mehr zusammen, doch liegen beide auf der Symmetrielinie P des Bildes. Die Excentricität ist  $e = CO = \cos \mu$ , der Radius des Grundkreises, der um C als Mittelpunkt beschrieben ist  $= h = \sin \mu$ .

Hier gehören nur mehr zwei Flächen mit ihren Gegenflächen zu einer Gesamtform, nämlich:

$$\left. \begin{array}{cc} pq & \overline{pq} \\ \text{mit den Gegenflächen} & \overline{pq} \quad pq \end{array} \right\} \text{positive Formen,}$$

oder andererseits:

$$\left. \begin{array}{cc} \overline{pq} & \overline{\overline{pq}} \\ \text{mit den Gegenflächen} & \overline{\overline{pq}} \quad \overline{\overline{\overline{pq}}} \end{array} \right\} \text{negative Formen.}$$



Fig. 20.

Die positiven Formen, nämlich diejenigen, bei denen  $p = +$ , scheiden sich von den negativen, bei denen  $p = -$  ist, im Projectionsbild durch die Quer-Axe Q, wodurch dieses in eine vordere + und eine hintere – Hälfte zerfällt. Beide Gebiete sind in Zeichnungen vorteilhaft durch einen eingelegten Farbenton zu scheiden, in der Fig. 20 ist dies durch Schraffirung angedeutet. Wie im rhombischen System zerfällt das Bild durch die Diagonalen in das Gebiet der Längsformen ( $p < q$ ) und der Querformen ( $p > q$ ).

Als Zeichen für die Gesamtform wählen wir:

Für die positiven Formen  $+ pq$ , das umfasst  $pq \quad \overline{pq}$  nebst den Gegenflächen  $\overline{pq} \quad pq$   
 „ „ negativen „  $- pq$  „ „ „  $\overline{pq} \quad \overline{\overline{pq}}$  „ „ „  $\overline{\overline{pq}} \quad \overline{\overline{\overline{pq}}}$

#### Triklines System.

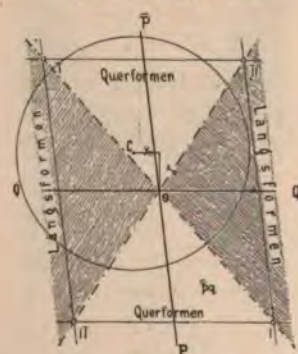


Fig. 21.

Die Verhältnisse des Triklinen Systems sind (als allgemeiner Fall) bereits auseinander gesetzt. Hier gehören nur Fläche und Gegenfläche zu einer Gesamtform, und ist daher eine besondere Bestimmung für die Bezeichnung dieser nicht nöthig. Zur besseren Uebersicht können wir wieder wie in Fig. 21 die Längsformen ( $p < q$ ) von den Querformen ( $p > q$ ) abscheiden. Die Grenzen der Gebiete beider im Projectionsfeld bilden die Diagonalen.



**Hexagonales System.** Das hexagonale System bedarf einiger besonderer Betrachtungen. Nehmen wir als Primärform ein hexagonales Prisma mit der Basis, so haben wir die Auswahl zwischen zwei scheinbar gleichwerthigen Prismen, die unter  $30^\circ$  (oder  $90^\circ$ ) gegen einander verdreht sind. Welches von beiden als das primäre anzusehen sei, lässt sich a priori nicht entscheiden, doch giebt die Betrachtung der Symbole und die Discussion der Zahlen, wie wir sehen werden, ein Anhalten dafür. Wir nehmen zunächst beliebig eins von beiden und erhalten nun die Richtung der primären Axen, Krafrichtungen, als Normale auf dessen Flächen. Von diesen liegen drei (PQS) in einer Ebene, die vierte (R) steht senkrecht darauf. Die Projections-Ebene ist senkrecht auf R zu wählen und fällt daher mit der Basis  $0 = (0001)$  zusammen. In ihr treten auf, (vgl. Fig. 22) von O, dem Projectionspunkt der Basis und Austrittspunkt von R, ausstrahlend, die drei Richtungen der Primärkräfte PQS mit ihren Gegenrichtungen als Coordinaten-Axen. Diese drei Axen sind unter sich gleichwerthig und haben deshalb die gleiche Einheit  $p_0 = q_0$ , deren Grösse wir sogleich ableiten werden. Zuvor wollen wir untersuchen, wie wir in voller Analogie mit den anderen Systemen zu einem Symbol gelangen.

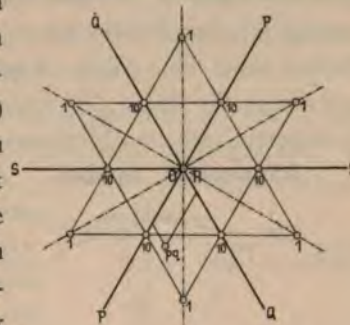


Fig. 22.

Das Symbol soll ausdrücken (genetisch) die die Fläche bauenden Kraftantheile und zugleich (formell) die Coordinaten des Flächenpunktes im Projectionsfeld. Genetisch können wir annehmen, dass stets nur von drei Kräften in den Richtungen PQR oder QSR oder PSR Antheile zusammen-treten zur Bildung einer Fläche, deren Projectionspunkt dann innerhalb des durch P und Q resp. Q und S oder P und S eingeschlossenen Sextanten liegt. Demgemäss brauchen wir in dem Symbol, das die Antheile der componirenden Kräfte giebt, nur die Angabe von drei Werthen, von denen der eine,  $= 1$  gesetzt, nicht geschrieben werden muss, wodurch wir ein zweizahliges Symbol erhalten. Ebenso können wir formell zur Bestimmung der Lage eines Flächenpunktes in der Projection durch Coordinaten wieder nur zwei Werthe gebrauchen. Auch so kommen wir auf ein zweizahliges Symbol pq.

Es fragt sich nun, welche Axen als Coordinaten zu nehmen sind. In dieser Beziehung giebt es zwei Wege: entweder wir nehmen zwei von den drei Axen PQS, z. B. PQ mit ihren Gegenrichtungen fest für alle Punkte als Coordinaten-Axen an (dies ist erforderlich für manche Aufgaben, z. B. für Untersuchungen in Zonenlinien, die durch mehrere Sextanten hindurchgehen), oder wir betrachten jeden Sextanten für sich selbstständig. In letzterem Fall ist nur eine nähere Angabe nöthig, in welchem Sextanten



resp. Duodecanten der zu bezeichnende Flächenpunkt liegt. Für das allgemeine Symbol ist eine solche Angabe überflüssig, da jeder Punkt gleichmässig in allen Duodecanten auftritt. Nur für die Meroedrien und die Einzelflächen muss eine solche Angabe gemacht werden und wir sind darauf angewiesen, für diese den anderen Systemen analoge, jedoch der dreiseitigen Symmetrie sich anschliessende Auskunftsmittel herbeizuziehen.

**Allgemeines Symbol.** Als zusammenwirkend müssen wir ausser  $r_0$  zwei benachbarte Horizontalkräfte annehmen, d. h. solche, die einen Winkel von  $60^\circ$  (nicht von  $120^\circ$ ) einschliessen. So setzt sich die Resultante, die Flächennormale MF im perspectivischen Bild der Projection (Fig. 23), zusammen aus  $r_0 = 1$  in der verticalen und den Antheilen  $pp_0$  und  $qq_0$  in der P und Q Richtung. Durch Auftragen von  $r_0 = 1$  gelangen wir nach O in die Oberfläche der Polarform, die hier zusammenfällt mit der Basis  $o = (0001)$

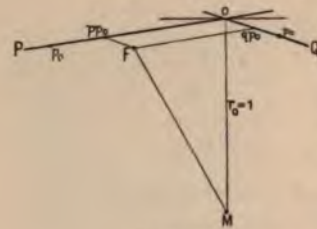


Fig. 23.

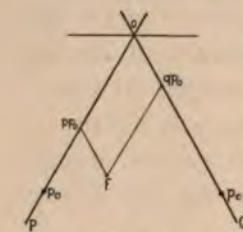


Fig. 24.

und bewegen uns nun, von O als Nullpunkt oder Projections-Mittelpunkt ausgehend, auf dieser oberen Fläche, die dadurch zur Projections-Ebene wird, in den Richtungen der Coordinaten OP und OQ. Es sind die Längen der in diesen Richtungen aufzutragenden Coordinaten  $pp_0$  und  $qq_0$  oder  $pp_0$  und  $qp_0$ , da  $p_0 = q_0$  ist. In dem Projectionsbild (Fig. 23 und 24) werden wir demnach zu dem Punkt F geführt, indem wir von O ausgehend in der Richtung OP  $p$  mal, daran in der Richtung parallel OQ  $q$  mal die Einheit  $p_0$  auftragen. So erhalten wir genetisch ebenso wie formell das dreizahlige Symbol  $pqr = pq1$  oder das zweizahlige  $pq$  in voller Analogie mit den anderen Systemen.

**Meroedrien.** Durch die Meroedrien theilt sich die obere Projections-Ebene in sechs Felder (rhomboedrische Hemiedrie) Fig. 25 oder in zwölf (pyramidale, trapezoedrische Hemiedrie, Tetartoedrie) Fig. 26.<sup>1)</sup>

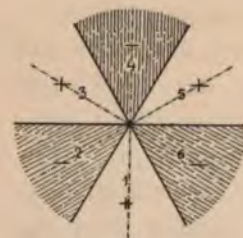


Fig. 25.

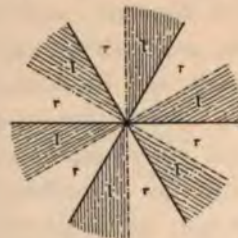


Fig. 26.

Die sechs Felder (Sextanten) numeriren wir von 1—6, gezählt nach der Gangrichtung des Uhrzeigers, ebenso wie in den anderen Systemen die Quadranten. In rhomboedrischer Hemiedrie, der wichtigsten

<sup>1)</sup> Wir betrachten hier nur das Projectionsfeld, soweit wir es zur Symbolisirung brauchen und werden die speciellere Discussion von Hemiedrie und Projection an einem anderen Orte geben, da sie hier zu weit führen würde.



von allen, tritt eine Fläche stets in allen geraden (2 . 4 . 6) oder allen ungeraden (1 . 3 . 5) Sextanten zugleich auf. Wir wollen die ersteren positive (+) nennen, die letzteren negative (—) (Fig. 25). Im Symbol drücken wir dies aus durch  $\pm$  vor den Zahlen, also  $+pq$ ,  $-pq$ .

Zerfällt das Feld in 12 Theile (Duodecanten), so trennen wir diese zunächst nach Sextanten im Anschluss an das Obige und unterscheiden in diesen eine linke (l) und rechte (r) Hälfte mit dem Blick nach der Vertical-Axe resp. dem Projections-Mittelpunkt gerichtet (Fig. 26).

Die Gegenfläche bezeichnen wir wieder durch — unter dem Symbol, z. B.  $pq$ , Gegenfläche von  $pq$ .

**Einzelflächen.** Aus Obigem können wir zwei Arten der Bezeichnung der Einzelflächen ableiten. Zunächst eine Art der Bezeichnung, wie sie ebenfalls für Buchstaben vorgeschlagen werden soll. Wir zählen die Sextanten 1—6 und hängen deren Nummer oben an das Symbol an, rechts für die Fläche rechts, links für die Fläche links, also:

$21^3$  ist die Fläche 21 im dritten Sextanten rechts (sprich 21 . 3 rechts),

$^321$  „ „ „ 21 „ „ „ links (sprich 21 . 3 links).

Dies ist die anschaulichste Art. Nach Bedarf können wir vor das Zeichen zur Orientierung + oder — setzen, z. B.  $+21^3$ .

Fig. 28 giebt ein Bild dieser Bezeichnungsweise. In ihr haben die ungeradzahligen (—) Sextanten eine Schraffirung senkrecht zu den Zwischen-Axen, die geradzahligen (+) nicht, die linken Sextanthälften eine Schraffirung parallel den Zwischenachsen, die rechten nicht. Hierdurch kommt zugleich die für die Meroedrien wichtige Trennung in die Gebiete  $\pm 1r$  zur Darstellung.

Genauer anlehnend an die genetischen Verhältnisse, doch weniger übersichtlich ist folgende Schreibweise: Wir numeriren die Axen im Projectionsfeld I. II. III. mit den Stücken der Gegenrichtung  $\bar{I}$   $\bar{II}$   $\bar{III}$ . (Fig. 27.) Von diesen drei Axen sind stets nur Antheile von zweien am Symbol wirklich betheiligt. Wir bilden nun dreizahlige Symbole aus p, q und o, wobei die o an die Stelle der unbetheiligten Axe tritt. Die erste Ziffer bezieht sich auf die I., die zweite auf die II., die dritte auf die III. Axe. Eine Uebersicht giebt die Fig. 27. Durch diese Bezeichnung sind die einzelnen Sextanten gegeben. In jedem derselben treten aus der Vertauschung von p und q für das allgemeine Symbol pq zwei Werthe auf, also z. B. p q o und q p o. Sonach haben wir wieder Symbole für alle zwölf oberen Einzelflächen. Für die Gegenflächen möge — unter dem Symbol eintreten.



Fig. 27.



Fig. 28.

In allen anderen Systemen ist es vortheilhaft, die Werthe  $\pm pq$  direct in die Rechnung einzuführen, im hexagonalen System nicht, da durch die von der Symmetrie herbeigeführte dreifache Manichfaltigkeit leicht Irrthümer entstehen können. Es ist hier in allen Fällen vortheilhaft, der Rechnung eine Handskizze der Projection zu Grunde zu legen. In ihr aber lässt sich am schnellsten und mit der geringsten Gefahr des Irrthums die Stelle einer Einzelfläche nach der ersten Schreibweise finden. Sie dürfte deshalb entschieden den Vorzug verdienen. Ausserdem hat sie noch einen Vortheil; sie ermöglicht die Uebersicht der Zusammengehörigkeit der Einzelflächen nach Gruppen der Meroedrie nach der Vertheilung der Indices. Diese stellt sich folgendermassen (vgl. Fig. 26):

<b>Rhomboedrische Hemiedrie:</b>			$\left. \begin{array}{l} \text{eben so die} \\ \text{Gegenflächen} \\ \underline{21^1} \ \underline{21^3} \text{ u. s. w.} \end{array} \right\}$
Alle — Formen haben ungeradzahlg. Index:		$121^1 \ 321^3 \ 521^5$	
" + " " geradzahlg. "		$221^2 \ 421^4 \ 621^6$	
<b>Pyramidale Hemiedrie:</b>			
Alle Formen rechts haben den Index rechts:		$21^1 \ . \ . \ . \ 21^6$	
" " links " " links:		$121 \ . \ . \ . \ 621$	
<b>Rhomboedrische Tetartoedrie:</b>			
Alle — Formen rechts haben ungeradzahlg. Index rechts:		$21^1 \ 21^3 \ 21^5$	
" — " links " " links:		$121 \ 321 \ 521$	
u. s. w.			
<b>Trapezoedrische Tetartoedrie:</b>			
Alle — Formen rechts haben ungeradzahlg. Index rechts:		$21^1 \ 21^3 \ 21^5$ in der oberen	
und zugleich " " links:		$121 \ 321 \ 521$ in der unteren	
Projectionsebene.			
u. s. w.			

In der unteren Projections-Ebene erhalten die Sextanten gleiche Nummern mit denjenigen der oberen, die deren Gegenflächen enthalten.

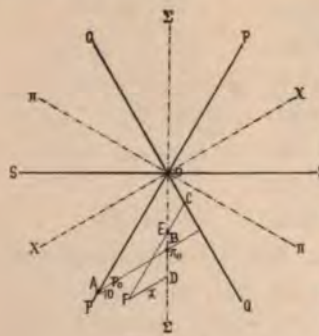


Fig. 29.

**Symbole  $G_1$  und  $G_2$ . Umwandlung derselben.** Statt des einen Prismas können wir als Primärform auch dasjenige betrachten, das gegen dieses um  $30^\circ$  ( $90^\circ$ ) verdreht ist. Auf beide können wir in gleicher Weise eine Symbolisirung gründen. Wir wollen Symbole der ersten Aufstellung mit  $G_1$ , solche der zweiten mit  $G_2$  bezeichnen.

Es mögen sich in Fig. 29 die Axen P Q S auf  $G_1$ ,  $\Pi$  X  $\Sigma$  auf  $G_2$  beziehen und es sei:  
 $OA = p_0$  die Einheit der PQS | wobei  
 $OB = \pi_0$  die Einheit der  $\Pi$  X  $\Sigma$  |  $p_0 = \pi_0 \sqrt{3}$



so erhält der Punkt A in  $G_1$  das Zeichen 10, in  $G_2$  das Zeichen 1,

„ „ B in  $G_2$  „ „ 10.

Es sei für einen Punkt F das Symbol  $pq$  ( $G_1$ ) =  $\pi\chi$  ( $G_2$ ), so ziehen wir nach beiden Arten von Axen die Coordinaten: FC, CO resp. FD, DO.

Es ist dann:  $FC = pp_0$   $CO = qp_0 = CE$ .  
 $OD = \pi p_0$   $DF = \chi p_0 = DE$ .

Nun ist in  $\triangle OCE$ :

$$OE = OC \sqrt{3} \quad \text{d. h.:} \quad \pi p_0 - \chi p_0 = qp_0 \sqrt{3}$$

$$ED = \frac{EF}{\sqrt{3}} \quad \text{d. h.:} \quad \chi p_0 = \frac{pp_0 - qp_0}{\sqrt{3}} = \frac{p_0}{\sqrt{3}} (p - q)$$

$$\text{demnach ist:} \quad \pi p_0 = qp_0 \sqrt{3} + \frac{pp_0 - qp_0}{\sqrt{3}} = \frac{p_0}{\sqrt{3}} (p + 2q)$$

da nun aber  $\frac{p_0}{\sqrt{3}} = \pi_0$ , so ist:

$$\begin{aligned} \chi &= p - q \\ \pi &= p + 2q \end{aligned}$$

Diese zwei Gleichungen geben das Umwandlungs-Symbol, das wir schreiben wollen:

$$pq (G_1) \div (p + 2q) (p - q) (G_2).$$

Wir finden aus einem Symbol  $pq$  der ersten Aufstellung das der zweiten, indem wir für das neue  $p$  den Werth  $p + 2q$ , für das neue  $q$  den Werth  $p - q$  bilden, z. B.:

$$\begin{aligned} 21 (G_1) &= 41 (G_2) \\ 10 (G_1) &= 11 = 1 (G_2). \end{aligned}$$

Die umgekehrte Verwandlung  $G_2$  in  $G_1$  ergibt sich leicht, indem man aus den Gleichungen  $\chi = p - q$ ;  $\pi = p + 2q$   $p$  und  $q$  berechnet. Es ist:

$$p = \frac{\pi + 2\chi}{3}$$

$$q = \frac{\pi - \chi}{3}$$

oder als Umwandlungs-Symbol geschrieben:

$$pq (G_2) \div \frac{p + 2q}{3} \frac{p - q}{3} (G_1)$$

$$\text{z. B.: } 21 (G_2) = \frac{4}{3} \frac{1}{3} (G_1).$$

**Berechnung von  $p_0$ ,  $a_0$  und  $a'_0$  aus dem Axen-Verhältniss  $a : c$ .<sup>1)</sup>** Die linearen Axen stehen allgemein senkrecht auf den polaren. Gehen wir also für das Symbol  $pq$  von Polaraxen aus, die  $60^\circ$  einschliessen, so schliessen die entsprechenden Linearaxen  $120^\circ$  ein, d. h.

$$\text{ist} \quad \nu = 60^\circ$$

$$\text{so ist} \quad \gamma = 120^\circ.$$

Dass für  $\nu = 60^\circ$   $\gamma = 120^\circ$  und nicht  $= 60^\circ$  sein müsse, geht aus der Betrachtung hervor, dass für die polaren und

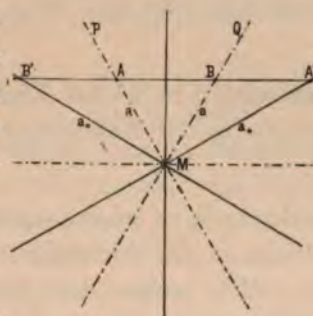


Fig. 30.

<sup>1)</sup> Im Allgemeinen werden derartige Berechnungen erst an späterer Stelle gegeben. Diese wurde hier vorausgenommen, weil sie zugleich einige Bezeichnungen erklärt, die dem hexagonalen System speciell zukommen, von dessen Besonderheiten hier die Rede ist.

die linearen Axen gleiche Symmetrieverhältnisse bestehen müssen, dass also die Zwischenaxe (Fig. 30), welche den Winkel zwischen den Polaraxen P und Q halbt, also zwischen P und Q Symmetrielinie ist, auch den Winkel zwischen den zugeordneten Linearaxen halbieren muss. Soll nun ausserdem die eine der letzteren auf P, die andere auf Q senkrecht stehen, so können die P und Q zugeordneten Linearaxen nur diejenigen sein, welche den Winkel von  $120^\circ$  einschliessen und in Fig. 30 mit A' und B' bezeichnet sind.

Für die Elemente eines jeden Krystalls aus irgend einem System gilt die Gleichung:

$$p_0 : q_0 : r_0 = \frac{\sin \alpha}{a_0} : \frac{\sin \beta}{b_0} : \frac{\sin \gamma}{c_0}$$

Nun ist speciell für das hexagonale System

$$p_0 = q_0; r_0 = 1; a_0 = b_0$$

$$\alpha = \beta = 90^\circ; \gamma = 120^\circ.$$

und es geht bei Einsetzung dieser Werthe obige Gleichung über in:

$$p_0 : p_0 : 1 = \frac{1}{a_0} : \frac{1}{a_0} : \frac{\sin 120^\circ}{c_0}$$

und da  $\sin 120^\circ = \frac{1}{2}\sqrt{3}$ , so ist:

$$p_0 = \frac{c_0}{a_0 \cdot \frac{1}{2}\sqrt{3}} = \frac{2}{\sqrt{3}} \frac{c_0}{a_0}$$

Die Angabe des Axen-Verhältnisses  $1 : c$  in der üblichen Schreibweise sagt aus, dass eine Fläche der Pyramide P (100) resp. des Rhomboeders R (100) auf der Vertical-Axe das Stück  $c$  abschneidet, wenn der Abschnitt auf den Horizontalaxen  $= 1$  ist. Die dabei gemeinten Horizontalaxen bilden aber den Winkel  $60^\circ$  (nicht wie die linearen  $120^\circ$ ). Nun kann das P resp. R, von dem die Angabe des Axen-Verhältnisses  $1 : c$  gemacht ist, identisch sein mit 1 oder auch mit 10 unserer neuen Symbole. Welche von diesen beiden Annahmen gemacht ist, und zugleich, welcher von beiden Aufstellungen  $G_1$  oder  $G_2$  das Symbol 1 resp. 10 angehört, wollen wir dadurch anzeigen, dass wir unter  $a : c$  setzen (1) resp. (10) und hinter die Angabe der Verhältnisszahlen ( $G_1$ ) resp. ( $G_2$ ) (vgl. Index), zum Beispiel:

$$\begin{matrix} a : c = 1 : 0.95 & (G_2) \\ (1) \end{matrix}$$

bedeutet,  $a : c$  sei das Axen-Verhältniss für diejenige Pyramide (Rhomboeder), welche in der Aufstellung  $G_2$  des Index das Zeichen 1 führt.

$$\begin{matrix} a : c = 1 : 0.95 & (G_1) \\ (10) \end{matrix}$$

bedeutet,  $a : c$  sei das Axen-Verhältniss für diejenige Pyramide (Rhomboeder), welche in der Aufstellung  $G_1$  des Index das Zeichen 10 führt.

Wir wollen den ersten Fall von den beiden soeben betrachteten ins Auge fassen und das  $c$  für diesen Fall mit  $c_1$ , für den zweiten Fall mit  $c_{10}$  bezeichnen. Es sei Fig. 30 Seite 33 ein Horizontalschnitt durch den Mittelpunkt des Krystalls, MP und MQ die Polaraxen, deren Einheiten mit  $r_0$  zur Bildung von 1 zusammentreten, es sei ferner B'ABA' die Trace dieser

Pyramidenfläche in besagter Ebene. Sie schneide P und Q, die einen Winkel von  $60^\circ$  einschliessen, in A und B. Nach der üblichen Bezeichnungsweise ist nun  $MA = MB = a$ , während der Abschnitt auf der Vertical-Axe  $= c_1$  ist. Nun ist aber für die Linearaxen, wie oben nachgewiesen,  $\gamma = 120^\circ$ , also die Abschnitte A'M resp. B'M  $= a_0 = a\sqrt{3}$ , während  $c_0 = c_1$  der gewöhnlichen Angabe bleibt. Demnach ist für den oben ausgeführten hier zutreffenden Fall, also für  $p = q = 1$ :

$$p_0 = \frac{2}{\sqrt{3}} \frac{c_0}{a_0} = \frac{2}{\sqrt{3}} \frac{c_1}{a\sqrt{3}} = \frac{2}{3} \frac{c_1}{a}$$

Wenn nun, wie derzeit üblich,  $a = 1$  gesetzt wird, so ist für  $a:c$ :

(1)

$$p_0 = \frac{2}{3} c_1$$

Für den zweiten Fall ist bei der gleichen Aufstellung

$$c_1 = \sqrt{3} c_{10}$$

dies eingesetzt in  $p_0 = \frac{2}{3} c_1$  giebt:

$$p_0 = \frac{2}{3} c_{10} \sqrt{3} = c_{10} \sqrt{\frac{4}{3}}$$

Im Index finden sich die Werthe  $c$ ,  $a$ ,  $p_0$  mit ihren Logarithmen angeführt und zwar für diejenige Aufstellung, deren Axenverhältniss  $a:c$  zu oberst angeschrieben ist. Ausserdem findet sich darin noch ein Werth  $a'_0$  mit seinem Logarithmus.  $a'_0$  ist die Länge der Abschnitte der primären Pyramide (Rhomboeder) auf den sich unter  $60^\circ$  schneidenden Axen der Grundform für  $c_0 = 1$ . Es berechnet sich:

$$a'_0 = \frac{1}{c_1} = \frac{a_0}{\sqrt{3}}$$

Die Angabe dieses Werthes ist für manche Rechnungen erwünscht.

Der Werth  $a_0$  leitet sich folgendermassen ab:

$$\text{Es ist: } p_0 = \frac{2}{3} c_1$$

$$\text{Andererseits ist: } p_0 = \frac{2}{\sqrt{3}} \frac{c_0}{a_0} \text{ und für } c_0 = 1; p_0 = \frac{2}{\sqrt{3}} \frac{1}{a_0} \left. \vphantom{\frac{2}{\sqrt{3}} \frac{1}{a_0}} \right\} \text{daher: } a_0 = \frac{\sqrt{3}}{c_1}$$

$$\text{und da } c_1 = \sqrt{3} c_{10}, \text{ so ist auch } a_0 = \frac{1}{c_{10}}$$

Es erschien im hexagonalen System eine besonders genaue Präcisirung der Angaben nöthig, da bei der Wiederholung der gleichen oder sich ergänzenden Winkel von  $30^\circ$ ,  $60^\circ$ ,  $90^\circ$ ,  $120^\circ$  leicht Inconsequenzen durch Verwechslung auftreten, die bei Anwendung allgemeiner, d. h. für alle Systeme geltender Formeln zu falschen Resultaten führen und es unmöglich machen, zutreffende Analogien zu ziehen. Wir werden bei der Discussion des hexagonalen Systems sehen, wie eine solche Vertauschung der Axen mit den um  $30^\circ$  (oder  $90^\circ$ ) abstehenden Zwischenaxen die Beziehungen zwischen den Formen von holodrischem oder hemiedrischem Typus verschleierte, so dass ver-



schiedenartig gebaute Symbole für beide Typen nothwendig erschienen und sogar verschiedene Krystallsysteme für beide postulirt wurden.<sup>1)</sup>

Wie oben ausgeführt, lassen sich für die Formen des hexagonalen Systems zwei selbstständige Reihen von Symbolen aufstellen, die sich auf zwei um  $30^\circ$  ( $90^\circ$ ) gegeneinander gedrehte Aufstellungen beziehen ( $G_1$  und  $G_2$ ). Als  $G_1$  sind diejenigen Symbole bezeichnet, die aus den Zeichen anderer Autoren bei Anwendung der in dieser Einleitung gegebenen Umwandlungs-Symbole unmittelbar hervorgehen, während  $G_2$  sich aus  $G_1$  ergibt nach dem Transformations-Symbol:

$$pq (G_1) \div (p + 2q) (p - q) (G_2).$$

Im Index wurden beide Reihen neben einander aufgeführt. Mit welcher zu operiren sei, muss von Fall zu Fall entschieden werden. Die Ansicht des Verfassers findet sich in den angenommenen Elementen ausgedrückt. Bei rhomboedrischer Ausbildung ist in der Regel die Aufstellung  $G_2$ , bei holoeidrischer  $G_1$  zu wählen. Die Entscheidung lässt sich aus der Discussion der Zahlen gewinnen, doch zeigt schon der Anblick der ganzen Reihe, dass beispielsweise für Calcit  $G_2$ , für Quarz  $G_1$  den Vorzug verdiene. Im Uebrigen ist die Grenze nicht scharf und es kann sogar unter Umständen vortheilhaft sein, zum Zweck der Rechnung oder Construction bei demselben Mineral beide Symbole neben einander zu gebrauchen.

---

<sup>1)</sup> Vgl.: Des Cloizeaux. Manuel de min. 1862. I. XV—XIX.  
Mallard. Traité de cryst. 1879. I. 97 und 113.  
Brezina. Methodik d. Kryst. Bestimm. 1884. 311.

## Aufstellung. Umwandlung. Transformation.

**Aufstellung der Krystalle.**<sup>1)</sup> Der Zweck des Index ist, das vorhandene Formenmaterial in der Weise zu vereinigen, dass es die Unterlage zu allgemeinen Schlüssen bilden könne und diese vorbereite. Dazu ist erforderlich, dass die Gesamtheit der Formen jedes Minerals möglichst leicht und vollständig, besonders in ihren Zonenreihen überblickt werden könne, und dass andererseits die Analogien der Mineralien unter sich klar hervortreten.

Andere Gründe erfordern, dass die Symbolzahlen möglichst einfache seien und sich den aus der Allgemeinheit der Fälle abgeleiteten und noch zu entwickelnden Zahlengesetzen einordnen. Auf all dies und noch vieles andere ist die Wahl der Aufstellung von Einfluss. Die Manichfaltigkeit der Rücksichten ist so gross, dass ihr nicht nach allen Seiten stets genügt werden kann. Sie soll hier nicht entwickelt, sondern nur einige wichtige Principien gegeben werden, die der Verfasser consequent durch die ganze Reihe durchzuführen gesucht hat und die motiviren sollen, warum vielfach von der zur Zeit üblichen Aufstellung abgegangen wurde.

1. Im hexagonalen und tetragonalen System sind Projection und Wahl der Axen von der Natur vorgezeichnet. Nur ist eine Vertauschung der horizontalen Axen mit den Zwischenaxen möglich. Im hexagonalen System wurden im Index die Symbole für beide sich hierdurch ergebende Aufstellungen ( $G_1$  und  $G_2$ ) neben einander gestellt. Im tetragonalen System ist die Vertauschung der Axen öfters vorgenommen worden zum Zweck der Gewinnung der einfachsten Zahlenausdrücke.
2. Im monoklinen System erhält die Symmetrie-Ebene (in Uebereinstimmung mit dem Usus) stets das Zeichen  $\infty$ .
3. Im rhombischen und triklinen System ist in der Regel der stumpfe Prismen-Winkel nach vorn gelegt.
4. Die Symbole sollen die einfachsten sein, zunächst ohne Rücksicht auf Analogien. Diese ergeben sich erst aus der Discussion. Der Analogie darf die Einfachheit keinesfalls geopfert werden.

<sup>1)</sup> Wir verstehen unter Aufstellung nicht nur die Wahl der Axenrichtungen, sondern zugleich die der Einheiten, also aller Elemente.



5. Bei formenreichen Krystallen sind in der Regel zwei Axenzonen (Prismen- resp. Domenreihen) vorwiegend entwickelt. Nun ist es zur Zeit Gebrauch, die reichst entwickelte derselben als Prismenzone aufrecht zu stellen. Da wir aber hauptsächlich bestrebt sind, aus dem Projectionsbild und den ihm entsprechenden Zahlen Uebersicht zu gewinnen, so ist es vorthellhaft, die Linien der zwei stärkst entwickelten Axenzonen als P und Q in die Projections-Ebene zu legen. Gegen die Peripherie ist das Projectionsbild in der gnomonischen Projection stark auseinander gezogen. Es stehen in ihr die Prismenflächen isolirt da, während für die Flächen der P und Q Axen der Verband unter sich und mit anderen Flächen besser übersehen werden kann. Die übliche Aufstellungsweise gibt der wichtigsten prismatischen (domatischen) Zone eine bevorzugte, aber auch isolirte Stellung, reisst sie aus dem Verband heraus, aus Gründen räumlicher Anschauung des Körpers, da im Raum, besonders bei sehr ungleicher Flächenentwicklung, nur eine Zone auf einmal bequem übersehen werden kann. Sind wir nun auch nicht im Stande, die Entwicklung nach allen drei Dimensionen in der Anschauung zugleich zu erfassen, so ermöglicht uns die Projection, doch wenigstens zwei derselben zugleich zu verfolgen. Hierin liegt ein entschiedener Fortschritt, den wir am fruchtbarsten ausnützen können, wenn wir die zwei stärkst entwickelten Richtungen in Projectionsbild und Symbol in das Gebiet der deutlichsten Anschauung bringen. Wollen wir den Krystall nach allen Seiten kennen lernen, so müssen wir noch die Projection auf  $0\infty$  und  $\infty 0$  vornehmen und mit den dem entsprechenden Symbolen operiren. Aber die erste am meisten aussagende (mit der Projection auf  $0$ ) bleibt die Hauptaufstellung, nach der im Allgemeinen zu symbolisiren ist.
6. Von hervorragender Bedeutung für den Aufbau des Krystalls sind die Parallel- und Radialzonen und unter diesen wieder besonders die erste Parallelzone ( $\parallel Z_1$ ) und die Hauptradialzone (HRZ). Parallel- und Radialzonen sind durchaus gleichwerthig und gehen durch Vertauschung der Axen in einander über. Was sich auf zwei Projections-Ebenen (Oberflächen der Polarform) als Parallelzone darstellt, ist auf der dritten Radialzone, wie aus den Figg. 31—33 ersichtlich ist.

Die Parallelzonen haben das Symbol  $py$  resp.  $xq$ , wobei  $p$  und  $q$  constant,  $x$  und  $y$  variabel gedacht sind. Für die Radialzonen ist  $p:q$  constant. Beim Ueberblicken der Zahlenreihen der Tabellen treten aber die Parallelzonen deutlicher hervor, als die Radialzonen, da die constante Zahl unmittelbar zu sehen, das constante Verhältniss erst zu

bestimmen ist. Deshalb ist diejenige Aufstellung vorgezogen, bei welcher die Parallelzonen und besonders die  $\parallel Z_1$  am reichsten ent-

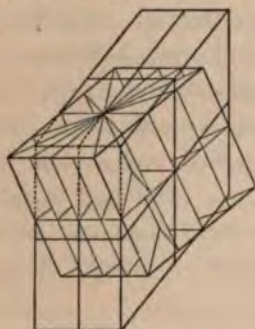


Fig. 31.

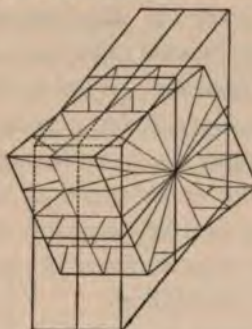


Fig. 32.

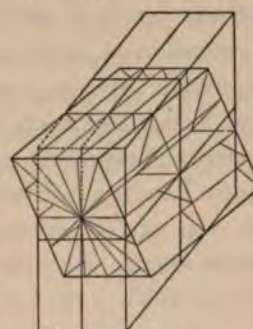


Fig. 33.

wickelt erscheint. In der Regel ist dies Princip mit 5 nicht in Widerspruch.

Bei consequenter Anwendung dieser Principien stellen sich ungesucht die Analogien ein; so fand sich z. B. die analoge Aufstellung der wasserfreien Sulfate Glaserit, Mascagnin, Thenardit, Anhydrit, Baryt, Cölestin, Barytocölestin, Anglesit, Hydrocyanit (vgl. Anglesit Bemerkungen).

**Symbole anderer Autoren.** Von Formen- und Flächensymbolen haben die folgenden in die Literatur Eingang gefunden: die von Haüy, Weiss, Mohs, Naumann, Whewell-Grassmann-Miller, Lévy-Des Cloizeaux, Bravais, Haidinger, Hausmann, Dana, Schrauf.

Um sie lesen zu können, bedarf es eines Schlüssels, der für jede Form angiebt, welche Rechnungsoperationen mit ihr ausgeführt werden sollen, um die Zeichen in einer als Mittel des allgemeinen Verständnisses gewählten Bezeichnungsweise zu finden. Solche Rechnungsvorschriften wurden als Umwandlungs-Symbole bezeichnet, im Gegensatz zu Transformations-Symbolen, die die Rechnungsvorschrift geben sollen für die Veränderung, welche die Symbole durch Aenderung in der Aufstellung des Krystalls und in der Wahl der Elemente erleiden. Diese Umwandlungs-Symbole wurden zur Ueberführung aller anderen in unsere neuen Zeichen gegeben. Sie haben die Gestalt von Gleichungen, sind jedoch keine solche, sondern Rechnungsvorschriften. Setzt man in dem Umwandlungs-Symbol für die auf beiden Seiten auftretenden Variablen die auf der linken Seite für den speciellen Fall vorliegenden Werthe ein, so erhält man auf der rechten Seite das gesuchte mit links identische Symbol.

Zum Beispiel:

Rhombisches System:	$mPn$ (Naumann)	$=$	$m\frac{n}{n}$ (Gdt)
	$3P\frac{3}{2}$ "	$=$	$3\frac{2}{2}$ "
	$BB'n$ (Hausmann)	$=$	$\infty n$ (Gdt)
	$BB'_3$ "	$=$	$\infty 3$ "



Für alle die obigen Bezeichnungsweisen wurden die Umwandlungssymbole wiedergegeben, nur nicht für die von Hauy. Für sie ist die Sache weitaus weniger einfach, als bei allen anderen dadurch, dass Hauy seine Symbole von einer sehr grossen Zahl von Grundformen ableitet, z. B. im regulären System vom Oktaeder, Würfel, Rhombendodekaeder, Tetraeder und ausserdem noch von einer Reihe abgeleiteter Grundformen. Bei jeder anderen Grundform erlangen die Symbole andere Bedeutung. Die Umwandlungstabellen würden, um erschöpfend zu sein, so weitläufig werden, dass ich von der Ausarbeitung und Wiedergabe derselben absah und mich darauf beschränkte, die sicher identificirten Hauy'schen Symbole neben ihren Aequivalenten im Index aufzuführen.

Zur Zeit sind von diesen Symbolen die von Miller, Weiss und Naumann in Gebrauch, im hexagonalen System die vierstelligen nach Bravais; ausserdem in Frankreich die Zeichen Lévy-Des Cloizeaux und in Amerika die von Dana. Augenblicklich sind die Miller-Bravais'schen Zeichen im Begriff, alle anderen zu verdrängen.

In Betreff der sog. Miller'schen Symbole erschien es fraglich, ob der Name dieses Autors für sie festzuhalten sei. Der Hergang ihrer Einführung ist folgender: Zuerst wurden die genannten Symbole von W. Whewell in Vorschlag gebracht in einer Abhandlung: *A general method of calculating the angles made by any planes of Crystals and the laws according to which they are formed.* Gelesen vor der Royal Society London 25. Nov. 1824 und publicirt: London. Roy. Soc. Transactions. 1825. part. I. S. 87. Bald darauf und unabhängig von Whewell hat M. L. Frankenheim (*Oken Isis* 1826. I. 497) die gleichen Symbole in Vorschlag gebracht (vgl. besonders Seite 502. 10). Während Whewell an Hauy's Anschauungen anschliesst, geht Frankenheim in seiner Entwicklung von den Flächennormalen aus, auf die für derlei Betrachtungen zuerst Bernhardt (*Gehlen Journal* 1809. 8. 378) hingewiesen und deren Behandlung Neumann (*Beiträge zur Krystallonomie* 1823) durchgebildet hat. J. G. Grassmann kam ebenfalls selbstständig zu den gleichen Symbolen (*Zur physischen Krystallonomie*, Stettin 1829) und giebt sie im Einzelnen für das reguläre System (Seite 95). Er geht dabei wie Frankenheim von der Flächennormale aus, in die er in Uebereinstimmung mit Bernhardt die flächenbildende Kraft legt. In seiner Lehre von der Cohäsion, Breslau 1835, wendet Frankenheim die Grassmann'schen Symbole an. S. 298.

W. H. Miller hat den Symbolen die jetzt übliche äussere Gestalt gegeben, die Rechnungsmethoden, mit Benutzung der stereographischen Projection, unter Zugrundelegung dieser Symbole ausgebildet und in einem Compendium alle bekannten Krystallformen der Mineralien in ihnen ausgedrückt. Seine diesbezüglichen Schriften sind: *A treatise on crystallography.* London 1839. Uebers. v. J. Grailich. Wien 1856. *An elementary introduction to Mineralogy by the late W. Phillips.* New Ed. by Brooke & Miller. London 1852. *On the crystallographic Method of Grassmann.* Cambridge 1868.

Will man danach auf die ersten Quellen zurückgehen, so muss man die Zeichen die Whewell'schen nennen, oder bei der Selbstständigkeit der beiden anderen: Whewell-Frankenheim-Grassmann'sche, doch darf man sie wohl ohne Schmälerung der Verdienste der genannten Autoren Miller'sche Zeichen nennen nach dem Autor, Miller, der ihnen die jetzige Gestalt und die weitreichende Anwendung gegeben hat.

Für die neuen Symbole wurden die Umwandlungen gegeben zurück in die Zeichen von Weiss, Miller, Bravais, Lévy-Des Cloizeaux und Naumann.



Ausser den eingeführten Symbolen wurden noch solche aufgestellt von: Bernhardi (Gehlen Journ. 1807. **4.** 230. 1807. **5.** 155). vgl. Quenstedt, Grundr. d. Kryst. 1873. 27.

Kupffer (Handb. d. rechn. Krystallonomie. St. Petersburg 1831. 190). G. Werner (Jahrb. Min. 1882. **2.** 55—88) für das hexagonale System.

Bei diesen ist es über den Versuch der Einführung kaum hinausgekommen und konnte deshalb von der Angabe der Umwandlungs-Symbole für sie abgesehen werden.

Die Zeichen, deren sich G. Rose und Rammelsberg bedienen, können nicht als eigentliche Flächensymbole angesehen werden. Sie sind Abkürzungen für die weitläufige Weiss'sche Schreibweise und stellen sich dar als ein Zwischending zwischen Symbolen und Buchstabenzeichen. Sie finden sich fast stets begleitet von den identischen Weiss'schen Zeichen. Zu dieser Unselbstständigkeit kommen, besonders bei Rammelsberg, mehrfache Modificationen, weshalb für sie von einer Angabe der Umwandlungs-Symbole abgesehen wurde.

Die im Index aufgenommenen Symbole sind nicht gleich behandelt. Sie sind nach der Schreibweise von Miller, Bravais, Naumann und in der neuen für alle Formen angeschrieben und zwar bezogen auf die im Index angenommene Aufstellung. In den Symbolen von Hauy, Mohs, Lévy-Des Cloizeaux und Hausmann nur da, wo diese in der Literatur sich vorfanden und zwar mit der dort verwendeten Aufstellung. Deckt sich diese mit der Aufstellung des Index nicht, so wurde die Ueberschrift der Columne in [ ] gesetzt, z. B. [Hausmann]. Es muss dann das angeschriebene Symbol zuerst nach Art unserer Zeichen gelesen und darauf das bei dem Mineral für den betreffenden Autor vermerkte Transformations-Symbol angewendet werden, um auf das Zeichen des Index zu gelangen.

z. B.: Datolith .  $d^{\frac{1}{2}}$  [Des Cloizeaux].

$d^{\frac{1}{2}}$  ist allgemein im monoklinen System =  $+2$  (s. S. 50).

Darauf ist anzuwenden das Transformations-Symbol:  $pq$  (Descl.) =  $\frac{p}{2}q$  (G),

also:  $d^{\frac{1}{2}}$  =  $+2$  (Descl.) =  $+12$  (Gdt = Index).

Diese Umwandlung ist jedoch für die angeschriebenen Formen nur nöthig zum Zweck der Controle, da ja die Identification, die diese Rechnung umschliesst, durch die Nebeneinanderstellung direkt gegeben ist.

**Elemente anderer Autoren. Synonymik der Axen.** Wir beziehen in Uebereinstimmung mit dem herrschenden Gebrauch in dem Axen-Verhältniss  $a:b:c$   $a$  auf die Längsaxe ( $l$  = vorn — hinten),  $b$  auf die Queraxe ( $q$  = links — rechts) und  $c$  auf die aufrechte Axe ( $\perp$  = oben — unten), daneben geht die ältere Bezeichnung her, die im rhombischen, monoklinen, triklinen System zwischen einer Brachy- ( $\cdot$ ), Makro- ( $\cdot$ ) und Vertical-Axe ( $\perp$ ) unterscheidet, im monoklinen System ausserdem zwischen einer gegen die aufrechte Axe schiefwinklig geneigten (Klino-) Axe, einer zur aufrechten rechtwinkligen (Ortho-) und einer aufrechten (Vertical-) Axe. Die Buch-

staben  $a\ b\ c$  für diese drei Axen sind bei den verschiedenen Autoren verschieden gedacht. Um die gegebenen Axenverhältnisse zu verstehen, muss man die Bedeutung von  $a\ b\ c$  kennen. Im Folgenden gebe ich eine Tabelle für eine Reihe von Autoren. Sie ist nicht vollständig, trotzdem wollte ich sie hier aufnehmen, da sie für die meisten Fälle ausreicht.

<b>Tetragonales System.</b> $a : \frac{1}{c}$ entspricht bei:	<b>Rhombisches System.</b> $\frac{1}{a} : \frac{q}{b} : \frac{1}{c}$ entspricht bei:	<b>Monoklines System.</b> $\frac{1}{a} : \frac{q}{b} : \frac{1}{c} \angle \beta$ entspricht bei:
Naumann . . . Kokscharow . . . G. Rose . . . C. S. Weiss . . . A. Weiss . . . Dana . . . Kenngott . . . Mohs . . . Hartmann . . . Zippe . . . Haidinger . . . Quenstedt . . . $c : a$ $b : a$ $\sqrt{2} : a$ $a : c$	C. S. Weiss . . . Dauber . . . G. Rose . . . Miller . . . Lang . . . Schrauf . . . Zepharovich . . . Miers . . . Dana . . . Quenstedt . . . $\frac{1}{a} : \frac{q}{b} : \frac{1}{c}$ $b : a : c$ $\frac{1}{b} : \frac{q}{a} : \frac{1}{c}$ $y : x : z$ $\frac{1}{b} : \frac{q}{c} : \frac{1}{a}$ $\frac{1}{a} : \frac{q}{b} : \frac{1}{c}$	C. S. Weiss . . . G. Rose . . . Naumann . . . Kokscharow . . . Dana . . . Scacchi . . . Dauber . . . Kenngott . . . $b : c : a \angle \gamma$ $a : b : c \angle \beta$ $c : b : a \angle c$
<b>Hexagonales System.</b> $a : \frac{1}{c}$ (10) entspricht bei:	Senft . . . Sjögren . . . Mohs Haidinger . . . Naumann . . . Kokscharow . . . Scheerer . . . Kenngott $\frac{1}{b} : \frac{q}{a} : \frac{1}{c}$ $\frac{1}{c} : \frac{q}{b} : \frac{1}{a}$	<b>Triklines System.</b> $\frac{1}{a} : \frac{q}{b} : \frac{1}{c} \angle \alpha \beta \gamma$ entspricht bei:
C. S. Weiss . . . A. Weiss . . . Dana . . . Schrauf z. Th. . . Kenngott . . . Naumann . . . Mohs . . . $c : a$ $b : a$ $1 : a$ $\sqrt{3} : a$	$\frac{1}{c} : \frac{q}{b} : \frac{1}{a}$	Naumann . . . Dana . . . $\frac{1}{c} : \frac{q}{b} : \frac{1}{a} \angle \gamma \beta \alpha$ $\frac{1}{b} : \frac{q}{c} : \frac{1}{a} \angle \beta \gamma \alpha$

Haben die Buchstaben  $a\ b\ c$  in dem angegebenen Axenverhältniss eine andere als die im Index meist angenommene Bedeutung, so muss zum Zweck des Vergleichs mit anderen Angaben die Umstellung vorgenommen werden, die sich aus obiger Uebersicht ergibt.

**Umrechnung der Elemente.** Manche Autoren geben ein aus  $a\ b\ c\ \alpha\ \beta\ \gamma$  bestehendes Axenverhältniss überhaupt nicht an, statt dessen finden sich andere Verhältnisszahlen z. B. bei Mohs und dessen Nachfolgern, so besonders Haidinger, Zippe, Schabus, bei anderen Autoren gewisse Elementarwinkel, so bei Miller, oder endlich ein Zahlenverhältniss in Verbindung mit Winkelangaben, z. B. bei Lévy und Des Cloizeaux. Die Umrechnungen sind einfach, jedoch bedarf es, besonders bei mangelnder Uebung, einer grossen Aufmerksamkeit und öfters zeitraubender Orientirung, um die

Umrechnungen richtig auszuführen, denn es sind gar manche Eigenarten zu berücksichtigen und Fehler durch Uebersehen derselben leicht möglich. Es wurden deshalb die einfachen Umrechnungs-Gleichungen unter dem Titel Umrechnung der Elemente für die Angaben von Mohs (Haidinger, Zippe), Miller, Lévy und Des Cloizeaux zusammengestellt. Die Winkelangaben Hausmann's fallen zum Theil mit denen von Mohs zusammen, zum Theil führen sie zu den üblichen Elementen auf den an späterer Stelle für einzelne Specialfälle zur Berechnung der Elemente aus Messungen angegebenen Wegen.

Für das triklone System sind die angegebenen Winkel wechselnd und ist es hier am besten, von speciellen Formeln abzusehen und auf dem allgemeinen Wege der Berechnung der Elemente aus Messungen unter Zugrundelegung einer Handskizze der Projection die Ausrechnung zu machen.

---



## Umwandlung der Symbole.

Allgemeine Bemerkungen zu den folgenden Tabellen:

1. Die unter der Ueberschrift Gdt auftretenden zwei Werthe entsprechen unseren neuen Symbolen  $pq$  und es ist, wenn in den Bemerkungen von  $p$  die Rede ist, der erste, wenn von  $q$ , der zweite dieser beiden Werthe gemeint.
2.  $\overline{pq}$  resp.  $\overline{p}q$  soll bedeuten, dass  $p$  absolut, d. h. ohne Rücksicht auf das Vorzeichen, grösser resp. kleiner als  $q$  sei.
3. Im hexagonalen System haben wir die Aufstellung, welcher unsere Symbole entsprechen, so wie sie sich unmittelbar aus der Anwendung der Umwandlungssymbole ergeben, als  $G_1$  bezeichnet. Neben der Aufstellung  $G_1$  her geht eine andere, um  $30^\circ$  gegen diese gedrehte,  $G_2$ , (vgl. S. 32) für welche man die Symbole, aus denen der Aufstellung  $G_1$  gewinnt durch die Rechnungsvorschrift:

$$pq (G_1) \doteq (p + 2q) (p - q) (G_2)$$

Umgekehrt gelangt man zu dem Symbol der Aufstellung  $G_1$  aus dem der Aufstellung  $G_2$  nach der Rechnungsvorschrift:

$$pq (G_2) \doteq \frac{p + 2q}{3} \frac{p - q}{3} (G_1)$$

Bei diesen beiden Umwandlungen ist stets ohne Rücksicht auf das Vorzeichen  $p > q$  zu nehmen. Nimmt man  $p < q$ , so entsteht bei der Umwandlung ein Symbol mit negativem  $q$ . Solche Symbole  $p\bar{q}$  (vgl. Index  $G'_1 G'_2$ ) haben auch ihre Bedeutung im Projectionsbild; während man zu dem Projectionspunkt  $pq$  gelangt, indem man an  $p$  unter stumpfem Winkel  $q$  aufträgt, so ist  $\bar{q}$  von derselben Stelle rückwärts d. h. unter spitzem Winkel aufzutragen. Will man Symbole mit negativem  $q$  beseitigen, so gilt die Umwandlung:

$$\pm p\bar{q} = \mp (p - q) q$$

z. B:  $-2\frac{2}{5} = +\frac{8}{5}\frac{2}{5}$



## Miller-Symbole.

System.	Miller.	Gdt.	Bemerkungen.
Regulär Tetragonal Rhombisch Monoklin Triklin	$hkl$	$\frac{h}{1} \frac{k}{1}$	In Miller's Schriften sowie bei manchen anderen Autoren sind im rhombischen System $h$ und $k$ vor der Umwandlung zu vertauschen. (Vgl. Synonymik der Axen S. 42.)
Hexagonal.	$\overline{h}kl$	$\frac{h-k}{h+k+1} \frac{k-1}{h+k+1}$	$\overline{h}kl$ bedeutet, dass vor der Umwandlung die Zahlen des Miller'schen Symbols so zu ordnen sind, dass, mit Berücksichtigung des Vorzeichens, $h > k > 1$ ist.

Hexagonales System. Anmerkung. Fällt nach der Umwandlung  $p < q$  aus, so sind für rhomboedrische Formen  $p$  und  $q$  zu vertauschen und das Symbol erhält das Vorzeichen  $-$ , z. B.  $(110)$  (Miller)  $= -\frac{1}{2} = \frac{1}{2}0$  ( $G_1$ ).

System.	Gdt.	Miller.	Bemerkungen.
Regulär Tetragonal Rhombisch Monoklin Triklin	$pq$	$pq1$	Hexagonales System. Statt $-\overline{p}q$ , wobei $p > q$ , ist vor der Umwandlung $qp$ zu setzen.
Hexagonal	$pq$	$(1+2p+q)(1-p+q)(1-p-2q)$	

Hexagonales System. Anmerkung. Das dreitheilige Umwandlungssymbol ist nicht so leicht im Gedächtniss zu behalten; wenigstens sind durch Verwechselung von  $+$  und  $-$ ,  $1$  und  $2$ , wenn man nach dem Gedächtniss arbeitet, leicht Fehler möglich; deshalb ist das folgende scheinbar complicirtere, in der Ausführung einfachere Verfahren vorzuziehen.

Man macht, wenn dies nicht schon der Fall ist,  $p$  und  $q$  zu Brüchen mit gleichem Nenner. Ganze Zahlen haben natürlich den Nenner 1. So erhält man:

$$pq = \frac{a}{c} \frac{b}{c}$$

Nun schreibt man  $a\overline{b}$  in Gestalt eines Miller'schen Zeichens an. Dies Zeichen kann schon das richtige sein, wenn nämlich  $a + \overline{b} = c$  ist. Ist dies nicht der Fall, so vertheilt man die Differenz  $c - (a + \overline{b})$  gleichmässig auf  $a$  oder  $\overline{b}$ , d. h. man fügt jeder dieser Zahlen ein Drittel der Differenz, nämlich  $\frac{c - (a + \overline{b})}{3} = \delta$  zu, wodurch man das richtige Symbol erhält.

Also  $hkl = a + \delta \quad \overline{b} + \delta$

wobei  $h + k + 1 = a + \delta + \delta + \overline{b} + \delta = a + \overline{b} + 3\delta = c$

ist, was zur Controle dient. In der Ausführung ist dieses Verfahren höchst einfach.

1. Beispiel:  $pq = \frac{2}{3} \frac{1}{3}$

$$\text{Gesetzt: } \frac{20\overline{1}}{3}; \delta = \frac{3 - (2 + \overline{1})}{3} = \frac{2}{3}$$

$$hkl = 2 + \frac{2}{3}; 0 + \frac{2}{3}; 1 + \frac{2}{3} = \frac{8}{3} \cdot \frac{2}{3} \cdot \frac{1}{3} = 82\overline{1}.$$

2. Beispiel:  $pq = 21$

$$\text{Gesetzt: } \frac{20\overline{1}}{1}; \delta = \frac{1 - (2 + \overline{1})}{3} = 0$$

$$hkl = 20\overline{1}.$$

Bei negativen Formen  $-pq = -\frac{a}{c} \frac{b}{c}$  ( $p > q$ ) verfährt man ebenso, nur hat man entweder  $pq$  zu vertauschen, also statt  $-pq$ , wobei  $p > q$  zu setzen  $qp$ , oder den Werth  $c$  negativ zu nehmen. Das Resultat ist in beiden Fällen dasselbe.

Beispiel:  $pq = -\frac{13}{5} \frac{5}{5} = -\frac{13}{5}$

$$\text{Gesetzt: } \frac{5 \cdot 0 \cdot \overline{13}}{5}; \delta = \frac{5 - (5 + \overline{13})}{3} = +\frac{13}{3}; hkl = 5 + \frac{13}{3}; 0 + \frac{13}{3}; \overline{13} + \frac{13}{3} = 28 \cdot 13 \cdot 2\overline{6},$$

$$\text{oder: } \frac{13 \cdot 0 \cdot \overline{5}}{5}; \delta = \frac{5 - (13 + \overline{5})}{3} = -\frac{13}{3}; hkl = 13 + \frac{13}{3}; 0 + \frac{13}{3}; \overline{5} + \frac{13}{3} = 26 \cdot \overline{13} \cdot 28.$$

Als Probe richtiger Umwandlung bildet man rückwärts  $pq$  aus  $hkl$ .

## Naumann-Symbole.

System.	Naumann.	Gdt.	Bemerkungen.
<b>Regulär</b>	mOn	$\frac{1}{n} \frac{1}{m}$	<b>Tetragonales System.</b> Für das allgemeine Zeichen machen wir $p > q$ .
<b>Tetragonal</b>	mPn	$m \frac{m}{n}$	<b>Rhombisches System.</b> Dies gilt für den normalen Fall, dass im Axen-Verhältniss ( $a : b : c$ ) $a < b$ ist. Ist $a > b$ , so sind p und q zu vertauschen. Dann ist also $mPn = \frac{m}{n} m$ ; $mPn = m \frac{m}{n}$ .
<b>Rhombisch</b>	mPn	$m \frac{m}{n} (p > q)$	
	mPn	$\frac{m}{n} m (p < q)$	
<b>Monoklin</b>	$\pm mPn$	$\pm m \frac{m}{n} (p > q)$	<b>Triklines System.</b> In Bezug auf die Vorzeichen ist: $mPn = p q$ $mPn = p \bar{q}$ $mPn = \bar{p} q$ $mPn = \bar{p} \bar{q}$ Es gilt hier ebenfalls die obige Bemerkung zum rhombischen System.
	$\pm mPn$	$\pm \frac{m}{n} m (p < q)$	
<b>Triklin</b>	mPn	$m \frac{m}{n} (p > q)$	<b>Hexagonales System.</b> Man könnte direkt Symbole der zweiten Aufstellung ( $G_2$ ) erhalten nach der Identität: $\pm mPn = \pm \frac{m}{n} (2n-1) \cdot \frac{m}{n} (2-n) (G_2)$
	mPn	$\frac{m}{n} m (p < q)$	
<b>Hexagonal</b>	$\pm mPn$	$\pm \frac{m}{n} \frac{m(n-1)}{n}$	$\pm mRn = \pm \frac{m(3n-1)}{2} \cdot m (G_2)$
	$\pm mRn$	$\pm \frac{m(n-1)}{2} \frac{m(n-1)}{2}$	Doch erscheint es nicht nöthig, sich letztere Symbole zu merken, vielmehr ist es vorzuziehen, $G_1$ und aus diesem $G_2$ zu bilden.

## Dana-Symbole.

Die Symbole Dana's sind die Naumann'schen, nur von diesen unterschieden durch einige Aeusserlichkeiten. Es gilt also für ihre Umwandlung Alles bei „Naumann“ Gesagte. Dabei ist Folgendes zu beachten:

Dana lässt aus dem Naumann'schen Symbol die Buchstaben O P R weg und setzt an deren Stelle, wenn zwei Zahlen auftreten, zwischen diese einen Strich oder lässt auch diesen weg.

$$\text{z. B.: } 2P = 2; \quad 2P2 = 2-2 = 22$$

O bedeutet oP resp. oR,  $\infty O \infty$ .

I „  $\infty P$  „  $\infty R$ ,  $\infty O$ .

Im Uebrigen tritt i an Stelle des Naumann'schen  $\infty$ .

Ursprünglich hatte Dana O statt des obigen I,

P „ „ „ O angewendet.<sup>1)</sup>

Im hexagonalen System ist:  $m-n = mPn$

$$m^n = mRn.$$

<sup>1)</sup> Vgl. Amer. Journ. 1852 (2). 13. 399—404.

## Naumann-Symbole.

System.	Gdt.	Naumann.	Bemerkungen.
Regulär	$\frac{1}{pq}$	$\frac{1}{q} O \frac{1}{p}$	Reguläres System. $q < p < 1$ .
Tetragonal	$\frac{1}{pq}$	$p P \frac{p}{q}$	Rhombisches System. Für den Fall, dass in dem Axenverhältniss (a:b:c) $a > b$ ist, ändert sich die Umwandlung in:
Rhombisch	$\frac{1}{pq}$ $\frac{1}{pq}$	$p \bar{P} \frac{p}{q}$ $q \bar{P} \frac{q}{p}$	$\frac{1}{pq} = p \bar{P} \frac{p}{q}; \quad \frac{1}{pq} = q \bar{P} \frac{q}{p}$
Monoklin	$\pm \frac{1}{pq}$ $\pm \frac{1}{pq}$	$\mp p P \frac{p}{q}$ $\mp q P \frac{q}{p}$	Triklines System. In Bezug auf Vorzeichen ist: $\frac{p}{q} = m P n \quad \frac{p}{q} = m' P n$ $\frac{p}{q} = m P n \quad \frac{p}{q} = m, P n$ Es gilt hier ebenfalls die Bemerkung zum rhombischen System.
Triklin	$\frac{1}{pq}$ $\frac{1}{pq}$	$p P \frac{p}{q}$ $q \bar{P} \frac{q}{p}$	Hexagonales System. Wollen wir direct aus dem Symbol $G_2$ das Naumann'sche Zeichen ableiten, so dient dazu das Umwandlungs-Symbol: $p q (G_2) = q R \frac{2p+q}{3q}$ $= \frac{2p+q}{3} P \frac{2p+q}{p+2q}$
Hexagonal	$\pm \frac{1}{pq}$	$\pm (p+q) P \frac{p+q}{p}$ $\pm (p-q) R \frac{p+q}{p-q}$	Statt letztere Formeln anzuwenden, erscheint es einfacher, von dem Symbol $G_2$ auf $G_1$ zurückzugehen und nur die Umwandlung aus dieser Aufstellung in Naumann'sche Zeichen zu verwenden. Dadurch dürften Irrungen am leichtesten vermieden werden.

## Dana-Symbole.

Im triklinen System geht Dana von Naumann ab. Er setzt die Formen oben vorn +, unten vorn —, dabei links ohne Index (Strich), rechts mit dem Index '. Am besten ist dies aus Figur 34 zu übersehen. Diesen Index ' hängte er ursprünglich der ersten Zahl an, später der zweiten. An Stelle von m resp. n steht auch wohl 'm resp. 'n. z. B.

$$m - \bar{n} = m - \bar{n}.$$

Doch kommen auch andere Modificationen in Anbringung der Indices vor und es ist in Bezug darauf Vorsicht nöthig. So hat Egleston die Naumann'schen Indices wieder genommen und hängt sie der ersten der zwei Zahlen an.<sup>1)</sup>

$$\text{z. B.: } 'm \bar{n} \text{ (Egleston)} = m - \bar{n} \text{ oder } m - \bar{n} \text{ (Dana)} = m' \bar{P} n \text{ (Naumann)}$$

$$,m \bar{n} \text{ (Egleston)} = -m - \bar{n} \text{ oder } -m - \bar{n} \text{ (Dana)} = m, \bar{P} n \text{ (Naumann)}.$$

Liest man so die Dana'schen Zeichen nach Naumann'scher Art, so bedürfen sie keiner selbstständigen Umwandlungs-Formeln.

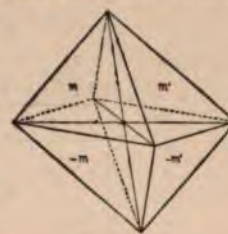


Fig. 34.

<sup>1)</sup> Comparison of notations. New York 1871.

## Weiss-Symbole.

System.	Weiss.	Gdt.	Bemerkungen.
Regulär . . Tetragonal Rhombisch Monoklin . . Triklin . . .	$\frac{1}{m} a : \frac{1}{n} b : \frac{1}{s} c$	$\frac{m}{s} \frac{n}{s}$	Hat a, b oder c den Index (') z. B. b', so ist das entsprechende m, n oder s negativ zu setzen. z. B. $\frac{1}{m} a : \frac{1}{n} b' : \frac{1}{s} c$ (Weiss) $\div \frac{m}{s} \frac{n}{s}$ (Gdt.) Ueber die wechselnde Bedeutung der Axen s. S. 42.
Hexagonal	$\frac{1}{m} a : \frac{1}{t} a : \frac{1}{n} a : \frac{1}{s} c$ $\frac{1}{m} a' : \frac{1}{t} a' : \frac{1}{n} a' : \frac{1}{s} c$	$+\frac{m}{s} \frac{n}{s}$ $-\frac{m}{s} \frac{n}{s}$	$t = m + n$

System.	Gdt.	Weiss.	Bemerkungen.
Regulär . . Tetragonal Rhombisch Monoklin . . Triklin . . .	p q	$\frac{1}{p} a : \frac{1}{q} b : c$	Für $\bar{p}$ resp. $\bar{q}$ ist zu setzen a' statt a, b' statt b.
Hexagonal.	$+\ p q$ $- \ p q$	$\frac{1}{p} a : \frac{1}{p+q} a : \frac{1}{q} a : c$ $\frac{1}{p} a' : \frac{1}{p+q} a' : \frac{1}{q} a' : c$	

Die Weiss'schen Zeichen finden sich oft in ein Viereck eingeschlossen, und dabei im hexagonalen System der c Werth in diesen Rand eingefügt. Es bringt dies keine Aenderung in der Bedeutung mit sich, doch wird vielleicht die specielle Angabe der Umwandlung für dies etwas andersartige Aussehen beim hexagonalen System willkommen sein.

$$\begin{array}{c} \gamma c \\ \hline a : \frac{1}{n} a : \frac{1}{n-1} a \\ \hline \frac{2}{n+1} s : \frac{2}{2n-1} s : \frac{2}{n-2} s \end{array} = n\gamma Pn \text{ (Naumann)} = (n-1)\gamma \cdot \gamma (G_1).$$

$$\begin{array}{c} \gamma c \\ \hline a' : \frac{1}{n} a' : \frac{1}{n-1} a' \\ \hline \frac{2}{n+1} s' : \frac{2}{2n-1} s' : \frac{2}{n-2} s' \end{array} = -n\gamma Pn \text{ (Naumann)} = -(n-1)\gamma \cdot \gamma (G_1).$$

$$\begin{array}{c} \gamma c \\ \hline a : a : \infty a \end{array} = \gamma P \text{ (Naumann)} = \gamma \cdot o (G_1).$$

$$\begin{array}{c} \gamma c \\ \hline a' : a' : \infty a' \end{array} = -\gamma P \text{ (Naumann)} = -\gamma \cdot o (G_1).$$



Der dritte Abschnitt:  $\frac{1}{n-1} a$  leitet sich aus den zwei anderen  $a$  und  $\frac{1}{n} a$  folgendermassen ab. Wenn I. II. III. (Fig. 35) die drei horizontalen Axen, A B C die Schnitte der Fläche mit diesen Axen sind, ausserdem  $BD \parallel AO$ , so ist Dreieck  $BDC \sim AOC$ . Wenn wir setzen

$$OA = a; OD = OB = DB = \frac{a}{n}; OC = x,$$

$$\text{so ist: } \frac{x - \frac{a}{n}}{a} = \frac{x}{a} \text{ und daraus } x = \frac{a}{n-1}$$

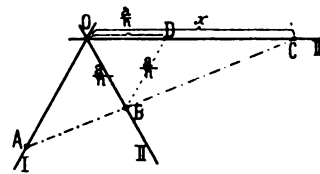


Fig. 35.

### Bravais-Symbole.

**Hexagonales System.** Das allgemeine Zeichen sei  $g h k l$ , wobei  $g + h + k = 0$  ist, so erhalten wir unser dreizahliges Zeichen durch Weglassen derjenigen Zahl  $k$ , von den drei ersten Zahlen des Symbols, welche gleich der negativen Summe der beiden andern ist; das zweizahlige durch Division der zwei ersten Zahlen des so erhaltenen dreizahligen Symbols durch die letzte. Also

$$g h k l \text{ (Bravais)} = \frac{g}{1} \frac{h}{1} (G_1),$$

wenn  $k = \overline{g + h}$  ist.

$$+ p q (G_1) = p \cdot q \cdot p + q \cdot 1 \text{ (Bravais)}$$

$$- p q (G_1) = p \cdot q \cdot p + q \cdot 1 \text{ (Bravais)}.$$

Die Schreibweise der vierzahligen Symbole ist bei verschiedenen Autoren wechselnd in Bezug auf die Mittel zur Unterscheidung der meroedrischen Gestalten. Diese Mittel sind die verschiedene Reihenfolge der drei ersten Zahlen und die Anbringung der Zeichen  $\pm$  über den Zahlen. Was gemeint sei, ist in jedem speciellen Fall leicht zu erkennen.

## Lévy-Des Cloiseaux-Symbole.

Lévy-Des Cloiseaux.	Gdt.	Lévy-Des Cloiseaux.	Gdt.	Lévy-Des Cloiseaux.	Gdt.
Reguläres System.		Monoklines System.		Triklines System.	
p	o	p	o	p	o
b <sup>n</sup>	$\frac{1}{n} o$	m	$\infty$	t	$\infty$
				m	$\infty \infty$
a <sup>n&gt;1</sup>	$\frac{1}{n}$	g <sup>l</sup>	o $\infty$	g <sup>l</sup>	o $\infty$
a <sup>n&lt;1</sup>	$\frac{1}{n-1}$	h <sup>l</sup>	$\infty o$	h <sup>l</sup>	$\infty o$
		g <sup>n</sup>	$\infty \frac{n+1}{n-1}$	g <sup>n</sup>	$\infty \frac{n+1}{n-1}$
b <sup><math>\frac{1}{u}</math></sup> b <sup><math>\frac{1}{v}</math></sup> b <sup><math>\frac{1}{w}</math></sup>	$\frac{v}{w} \frac{u}{w}$	h <sup>n</sup>	$\frac{n-1}{n-1} \infty$	<sup>n</sup> g	$\infty \frac{n+1}{n-1}$
Tetragonales System.		d <sup>n</sup>	$\frac{1}{2n}$	h <sup>n</sup>	$\frac{n+1}{n-1} \infty$
p	o	b <sup>n</sup>	$-\frac{1}{2n}$	<sup>n</sup> h	$\frac{n+1}{n-1} \infty$
m	$\infty$	e <sup>n</sup>	$o \frac{1}{n}$	i <sup>n</sup>	$o \frac{1}{n}$
h <sup>l</sup>	$\infty o$	o <sup>n</sup>	$+\frac{1}{n} o$	e <sup>n</sup>	$o \frac{1}{n}$
h <sup>n</sup>	$\frac{n+1}{n-1} \infty$	a <sup>n</sup>	$-\frac{1}{n} o$	o <sup>n</sup>	$\frac{1}{n} o$
a <sup>n</sup>	$\frac{1}{n} o$	a <sup>n</sup>	$-\frac{n+1}{2} \frac{n-1}{2}$	a <sup>n</sup>	$\frac{1}{n} o$
b <sup>n</sup>	$\frac{1}{2n}$	o <sup>n</sup>	$+\frac{n+1}{2} \frac{n-1}{2}$	f <sup>n</sup>	$\frac{1}{2n}$
a <sub>n</sub>	$\frac{n+1}{2} \frac{n-1}{2}$			d <sup>n</sup>	$\frac{1}{2n} \frac{1}{2n}$
b <sup><math>\frac{1}{u}</math></sup> b <sup><math>\frac{1}{v}</math></sup> h <sup><math>\frac{1}{w}</math></sup>	$\frac{v+u}{2w} \frac{v-u}{2w}$	d <sup><math>\frac{1}{u}</math></sup> b <sup><math>\frac{1}{v}</math></sup> g <sup><math>\frac{1}{w}</math></sup>	$+\frac{v-u}{2w} \frac{v+u}{2w}$	c <sup>n</sup>	$\frac{1}{2n} \frac{1}{2n}$
Rhombisches System.		b <sup><math>\frac{1}{u}</math></sup> d <sup><math>\frac{1}{v}</math></sup> g <sup><math>\frac{1}{w}</math></sup>	$-\frac{v-u}{2w} \frac{v+u}{2w}$	b <sup>n</sup>	$\frac{1}{2n}$
p	o	d <sup><math>\frac{1}{u}</math></sup> d <sup><math>\frac{1}{v}</math></sup> h <sup><math>\frac{1}{w}</math></sup>	$+\frac{v+u}{2w} \frac{v-u}{2w}$		
m	$\infty$	b <sup><math>\frac{1}{u}</math></sup> b <sup><math>\frac{1}{v}</math></sup> h <sup><math>\frac{1}{w}</math></sup>	$-\frac{v+u}{2w} \frac{v-u}{2w}$		
g <sup>l</sup>	o $\infty$				
h <sup>l</sup>	$\infty o$				
g <sup>n</sup>	$\infty \frac{n+1}{n-1}$				
h <sup>n</sup>	$\frac{n+1}{n-1} \infty$				
e <sup>n</sup>	$o \frac{1}{n}$				
a <sup>n</sup>	$\frac{1}{n} o$				
b <sup>n</sup>	$\frac{1}{2n}$				
e <sub>n</sub>	$\frac{n-1}{2} \frac{n+1}{2}$				
a <sub>n</sub>	$\frac{n+1}{2} \frac{n-1}{2}$				
b <sup><math>\frac{1}{u}</math></sup> b <sup><math>\frac{1}{v}</math></sup> g <sup><math>\frac{1}{w}</math></sup>	$\frac{v+u}{2w} \frac{v+u}{2w}$				
b <sup><math>\frac{1}{u}</math></sup> b <sup><math>\frac{1}{v}</math></sup> h <sup><math>\frac{1}{w}</math></sup>	$\frac{v+u}{2w} \frac{v-u}{2w}$				

Das 3theilige Lévy'sche Symbol ist so zu ordnen, dass im regul. Syst.  $u < v < w$ , im tetrag., rhomb., monokl. u. trikl. Syst.  $u < v$  wird.

**Gedächtnissregel.** Abgesehen von den Vorzeichen ist:

$$x^{\frac{1}{u}} y^{\frac{1}{v}} h^{\frac{1}{w}} = \frac{v+u}{2w} \frac{v-u}{2w}$$

$$x^{\frac{1}{u}} y^{\frac{1}{v}} g^{\frac{1}{w}} = \frac{v-u}{2w} \frac{v+u}{2w}$$

Ist das Symbol so geordnet, dass  $v > u$ , so ist zur Bestimmung der Vorzeichen von pq der erste Buchstabe (x) entscheidend, also für:

Für die Domen ist:

a, o = po      a, e = -  
e, i = oq      i, o = +

## Lévy-Des Cloizeaux-Symbole.

System.	Lévy-Des Cloizeaux	Gdt.		Bemerkungen.
		I. Aufstellung ( $G_1$ ).	II. Aufstellung ( $G_2$ ).	
Hexagonal Holoedrisch	p	o	o	Es wurden hier ausnahmsweise auch die directen Verwandlungssymbole in $G_2$ gegeben wegen ihrer besonderen Einfachheit und Wichtigkeit für Lévy-Des Cloizeaux's rhomboedr. System. Für das holoedrisch hexagonale System sind die Umwandlungs-Symbole direkt in $G_2$ von geringer Bedeutung. Die in $G_1$ finden hier fast allein Anwendung.
	m	$\infty o$	$\infty$	
	$h^1$	$\infty$	$\infty o$	
	$h^n$	$n \infty$	$\frac{n+2}{n-1} \infty$	
	$b^n$	$\frac{1}{n} o$	$\frac{1}{n}$	
	$a^n$	$\frac{1}{n}$	$\frac{3}{n} o$	
	$b^{\frac{1}{n}} b^{\frac{1}{n}} b^{\frac{1}{n}}$	$\frac{u}{w} \frac{v}{w}$	$\frac{u+2v}{w} \frac{u-v}{w}$	
Hexagonal Rhomboedr. Hemiedrisch	$a^1$	o	o	Fällt $p < q$ aus, so ist zu setzen: $\mp qp$ statt $\pm pq$ z. Beisp. $-21$ „ $+12$ Für den Fall, dass q negativ ausfällt, ist $\pm p\bar{q} = \mp (p-q) q$ (vgl. Allg. Bemerkung 3, S. 44). In der gemeinsamen Umwandlungs-Formel für das allgemeine rhomboedrische Zeichen $b^{\frac{1}{n}} b^{\frac{1}{n}} b^{\frac{1}{n}}$ u. s. w. ist für die Indices bei b und d entgegengesetztes Vorzeichen zu nehmen, was durch $\pm w$ resp. $\mp w$ angedeutet ist; es ist nämlich im Fall $b b b$ zu setzen $u v w$ $\begin{matrix} n & n & b b d & n & n & u v w \\ n & n & d d b & n & n & u v w \end{matrix}$ und dann eventuell die Zeichen so umzustellen, dass mit Berücksichtigung des Vorzeichens $u > v > w$ wird.
	p	io	i	
	$e^2$	$\infty o$	$\infty$	
	$d^1$	$\infty$	$\infty o$	
	$e^n$	$\frac{n+1}{n-2} o$	$\frac{n+1}{n-2}$	
	$a^n$	$\frac{n-1}{n+2} o$	$\frac{n-1}{n+2}$	
	$d^n$	$\frac{n}{n-1} \frac{1}{n-1}$	$+1 \frac{n+2}{n-1}$	
	$b^n$	$\frac{n-1}{n+1} \frac{1}{n+1}$	$+1 \frac{n-2}{n+1}$	
	$e_{\frac{1}{n}}$	$-2n (1-n)$	$-2 (5n-1)$	
	$b^{\frac{1}{n}} b^{\frac{1}{n}} b^{\frac{1}{n}}$	$\frac{u-v}{u+v \pm w} \frac{v \mp w}{u+v \pm w}$	$\frac{u \mp v \mp 2w}{u+v \pm w} \frac{u-2v \pm w}{u+v \pm w}$	
	$b^{\frac{1}{n}} b^{\frac{1}{n}} d^{\frac{1}{n}}$	$\frac{u-v \pm w}{u+v \pm w} \frac{u \mp v \pm w}{u+v \pm w}$	$\frac{u \mp v \pm w}{u+v \pm w} \frac{u \mp v \pm w}{u+v \pm w}$	
	$d^{\frac{1}{n}} d^{\frac{1}{n}} b^{\frac{1}{n}}$	$(u > v > w)$	$(u > v > w)$	

Diese Zeichen  $uvw$  resp.  $uv\bar{w}$  sind unmittelbar die  $b^{\frac{1}{n}} b^{\frac{1}{n}} b^{\frac{1}{n}}$  u. s. w. entsprechenden Miller'schen Zeichen. Es ist nun statt der Anwendung obiger directer Umwandlungs-Symbole am einfachsten, aus  $b^{\frac{1}{n}} b^{\frac{1}{n}} b^{\frac{1}{n}}$  u. s. w. zum Zweck der Verwandlung in unsere Zeichen zuerst das Miller'sche Zeichen anzuschreiben, die Ordnung der Indices mit Berücksichtigung des Vorzeichens nach der Grösse vorzunehmen, eventuell alle Vorzeichen in die entgegengesetzten zu verwandeln, damit  $u+v+w > 0$  ausfällt. Daraus ist das Symbol  $G_1$  abzuleiten (vgl. Miller Symbole), indem:

$$uvw = hkl \text{ (Miller)} = \frac{h-k}{h+k+1} \frac{k-l}{h+k+1} (G_1).$$

Die Form ist  $+$  für  $p > q$ ,  $-$  für  $p < q$ .



## Lévy-Des Cloizeaux-Symbole.

Gdt.	Lévy-Des Cloizeaux.	Gdt.	Lévy-Des Cloizeaux.	Gdt.	Lévy-Des Cloizeaux.
Reguläres System.		Monoklines System.		Triklines System.	
o	p	o	p	o	p
po	$b_p^1$	o $\infty$	$g^1$	o $\infty$	$g^1$
p1	$a^p$	$\infty o$	$h^1$	$\infty o$	$h^1$
p	$a_p^1$	$\infty$	m	$\infty$	t
pq	$b_p^1 b_q^1 b^1$	$\infty \infty$	m	$\infty \infty$	m
Tetragonales System.		p $\infty$	$h_{p-1}^{p+1}$	p $\infty$	$h_{p-1}^{p+1}$
o	p	$\infty q$	$g_{q-1}^{q+1}$	p $\infty$	$h_{p-1}^{p+1}$
$\infty o$	$h^1$	oq	$e_q^1$	$\infty q$	$g_{q-1}^{q+1}$
$\infty$	m	+po	$o_p^1$	$\infty q$	$g_{q-1}^{q+1}$
p $\infty$	$h_{p-1}^{p+1}$	-po	$a_p^1$	oq	$i_q^1$
po	$a_p^1$	+p	$d_{2p}^1$	oq	$e_q^1$
p	$b_{2p}^1$	-p	$b_{2p}^1$	po	$o_p^1$
p · p-1	$a_{2p-1}$	-p · p-1	$a_{2p-1}$	po	$a_p^1$
pq	$b_{p-q}^1 b_{p+q}^1 h^1$	+p · p-1	$o_{2p-1}$	p	$f_{2p}^1$
Rhombisches System.		+p	$d_{2p}^1$	p p	$d_{2p}^1$
o	p	-p	$b_{2p}^1$	p p	$c_{2p}^1$
o $\infty$	$g^1$	+p · p-1	$o_{2p-1}$	p	$b_{2p}^1$
$\infty o$	$h^1$	+p	$d_{2p}^1$	p q	$f_{p-q}^1 d_{p+q}^1 h^1$
$\infty$	m	+p q	$d_{p-q}^1 d_{p+q}^1 h^1$	p q	$d_{p-q}^1 f_{p+q}^1 h^1$
p $\infty$	$h_{p-1}^{p+1}$	-p q	$b_{p-q}^1 b_{p+q}^1 h^1$	p q	$c_{p-q}^1 b_{p+q}^1 h^1$
$\infty q$	$g_{q-1}^{q+1}$	+p q	$d_{p-q}^1 d_{p+q}^1 h^1$	p q	$b_{p-q}^1 c_{p+q}^1 h^1$
oq	$e_q^1$	+p q	$d_{p-q}^1 d_{p+q}^1 h^1$	p q	$f_{q-p}^1 d_{q+p}^1 g^1$
po	$a_p^1$	-p q	$b_{p-q}^1 b_{p+q}^1 h^1$	p q	$d_{q-p}^1 f_{q+p}^1 g^1$
p	$b_{2p}^1$	+p q	$d_{q-p}^1 b_{q+p}^1 g^1$	p q	$c_{q-p}^1 b_{q+p}^1 g^1$
p · p-1	$a_{2p-1}$	-p q	$b_{q-p}^1 d_{q+p}^1 g^1$	p q	$b_{q-p}^1 c_{q+p}^1 g^1$
p · p+1	$e_{2p+1}$				
p q	$b_{p-q}^1 b_{p+q}^1 h^1$				
p q	$b_{q-p}^1 b_{q+p}^1 g^1$				

## Lévy-Des Cloizeaux-Symbole.

System.	Gdt.	Lévy-Des Cloizeaux.	Bemerkungen.
trigonal rhomboedrisch	I. Aufstellung ( $G_1$ ).		Für die holoedrischen Symbole Lévy-Des Cloizeaux wurde die Umwandlung aus den Symbolen $G_1$ gegeben, für die rhomboedrischen die aus $G_2$ , aus dem Grunde, weil sie so am einfachsten ist. In der Regel verwenden wir Symbole holoedrischer Krystalle in der Stellung $G_1$ , diejenigen rhomboedrischer Krystalle in $G_2$ . Ist es einmal anders der Fall, so müssen die Symbole vor der Umwandlung aus der Aufstellung I in die Aufstellung II übergeführt werden nach dem Symbol $pq (G_1) \div (p+2q) (p-q) (G_2)$ respective umgekehrt: $pq (G_2) \div \frac{p+2q}{3} \frac{p-q}{3} (G_1)$
	o	P	
	$\infty o$	m	
	$\infty$	$h^1$	
	$p\infty$	$h^p$	
	po	$b_p^1$	
	p	$a_p^1$	
trigonal rhomboedr. niedrisch	II. Aufstellung ( $G_2$ ).		Die Umwandlung $\pm pq = b_h^1 b_k^1 b_l^1$ resp. $b_h^1 b_k^1 d_l^1$ bedeutet: Es soll aus dem Zeichen $\pm pq$ zunächst das Miller'sche Zeichen hkl nach der hierfür gegebenen Vorschrift abgeleitet werden, dann ist: $hkl = b_h^1 b_k^1 b_l^1 (h>k>l)$ $hkl = b_h^1 b_k^1 d_l^1 (h>k)$
	o	$a^1$	
	$\infty o$	$e^2$	
	$\infty$	$d^1$	
	$-\frac{1}{2}$	$b^1$	
	+ 1	p	
	+ p ( $p<1$ )	$a \frac{1+2p}{1-p}$	
	+ p ( $p>1$ )	$e \frac{2p+1}{p-1}$	
	- p ( $p<\frac{1}{2}$ )	$a \frac{1-2p}{1+p}$	
	- p ( $p>\frac{1}{2}$ )	$e \frac{2p-1}{p+1}$	
	+ 1q ( $q>+1$ )	$d \frac{q+2}{q-1}$	
	+ 1q ( $q>-1$ ) ( $q<+1$ )	$b \frac{2+q}{1-q}$	
	- 2q	$e \frac{3}{q+1}$	
	$\pm pq$	$b_h^1 b_k^1 b_l^1$ resp. $b_h^1 b_k^1 d_l^1$	

**Mohs - Symbole.****Reguläres System.**

Mohs.	Gdt.	Mohs.	Gdt.	Mohs.	Gdt.	Mohs.	Gdt.	Mohs.	Gdt.
H	0	A <sub>1</sub>	$\begin{smallmatrix} 2 \\ 3 \end{smallmatrix} \begin{smallmatrix} 0 \\ 0 \end{smallmatrix}$	B <sub>1</sub>	$\begin{smallmatrix} 1 \\ 2 \end{smallmatrix} \begin{smallmatrix} 1 \\ 1 \end{smallmatrix}$	C <sub>1</sub>	$\begin{smallmatrix} 1 \\ 2 \end{smallmatrix}$	T <sub>1</sub>	$\begin{smallmatrix} 2 & 1 \\ 3 & 3 \end{smallmatrix}$
O	1	A <sub>2</sub>	$\begin{smallmatrix} 1 \\ 2 \end{smallmatrix} \begin{smallmatrix} 0 \\ 0 \end{smallmatrix}$	B <sub>2</sub>	$\begin{smallmatrix} 1 \\ 3 \end{smallmatrix} \begin{smallmatrix} 1 \\ 1 \end{smallmatrix}$	C <sub>2</sub>	$\begin{smallmatrix} 1 \\ 3 \end{smallmatrix}$	T <sub>2</sub>	$\begin{smallmatrix} 3 & 1 \\ 5 & 5 \end{smallmatrix}$
D	10	A <sub>3</sub>	$\begin{smallmatrix} 1 \\ 3 \end{smallmatrix} \begin{smallmatrix} 0 \\ 0 \end{smallmatrix}$					T <sub>3</sub>	$\begin{smallmatrix} 1 & 1 \\ 2 & 4 \end{smallmatrix}$

**Tetragonales System.**

Mohs.	Gdt.	Mohs.	Gdt.
P	1	$P+\infty$	$\infty$
$P^m$	m1	$[P+\infty]$	$\infty 0$
$P-1$	10	$(P+\infty)^m$	$m \infty$
$P-\infty$	0	$[(P+\infty)^m]$	$\begin{smallmatrix} m+1 \\ m-1 \end{smallmatrix} \infty$
n Geradzahlig.		n Ungeradzahlig.	
$P+n$	$2 \begin{smallmatrix} +n \\ 2 \end{smallmatrix}$	$P+n$	$2 \begin{smallmatrix} +n+1 \\ 2 \end{smallmatrix}; 0$
$(P+n)^m$	$m 2 \begin{smallmatrix} +n \\ 2 \end{smallmatrix}; 2 \begin{smallmatrix} +n \\ 2 \end{smallmatrix}$	$(P+n)^m$	$(m+1) 2 \begin{smallmatrix} +n-1 \\ 2 \end{smallmatrix}; (m-1) 2 \begin{smallmatrix} +n-1 \\ 2 \end{smallmatrix}$
$z \downarrow 2 P+n$	$2 z 2 \begin{smallmatrix} +n \\ 2 \end{smallmatrix}; 0$	$z \downarrow 2 P+n$	$z 2 \begin{smallmatrix} +n+1 \\ 2 \end{smallmatrix}; z 2 \begin{smallmatrix} +n+1 \\ 2 \end{smallmatrix}$
$z(P+n)^m$	$z m 2 \begin{smallmatrix} +n \\ 2 \end{smallmatrix}; z 2 \begin{smallmatrix} +n \\ 2 \end{smallmatrix}$	$(z P+n)^m$	$z (m+1) 2 \begin{smallmatrix} +n-1 \\ 2 \end{smallmatrix}; z (m-1) 2 \begin{smallmatrix} +n-1 \\ 2 \end{smallmatrix}$
$(z \downarrow 2 P+n)^m$	$z (m+1) 2 \begin{smallmatrix} +n \\ 2 \end{smallmatrix}; z (m-1) 2 \begin{smallmatrix} +n \\ 2 \end{smallmatrix}$	$(z \downarrow 2 P+n)^m$	$z m 2 \begin{smallmatrix} +n+1 \\ 2 \end{smallmatrix}; z 2 \begin{smallmatrix} +n+1 \\ 2 \end{smallmatrix}$

Anm. 1) Die Zufügung von  $\downarrow 2$  zum Symbol bedeutet eine Drehung um  $45^\circ$  und entspricht dem Umwandlungs-Symbol: pq (I)  $\rightarrow$  (p+q) (p-q) (II).

2) Die Prismen sind in der Literatur nicht selten vertauscht, sodass  $(P+\infty)^m$  statt  $[(P+\infty)^m]$  steht. Es dürfte dies nicht auf einen Irrthum in den Symbolen, sondern auf den Umstand zurückzuführen sein, dass, wo Pyramiden fehlen  $(P+\infty) = \infty$  und  $[P+\infty] = \infty 0$  nicht unterschieden werden können.



## Mohs-Symbole.

## Rhombisches, Monoklines und Triklines System.

Mohs.	Gdt.	Mohs.	Gdt.	Mohs.	Gdt.
P	1	$z\bar{P}r$	0z	$P-\infty$	0
$P+n$	$2^n$	$z\bar{P}r$	zo	$P+\infty$	$\infty$
$zP+n$	$z2^n; z2^n$	$\bar{P}r+n$	0 $2^n$	$(\bar{P}+\infty)^m$	$\infty m$
$(\bar{P})^m$	1 m	$\bar{P}r+n$	$2^n$ 0	$(\bar{P}+\infty)^m$	$m\infty$
$(\bar{P})^m$	m 1	$z\bar{P}r+n$	0; $z 2^n$	$\bar{P}r+\infty$	$0\infty$
$(+n)^m$	$2^n; m2^n$	$z\bar{P}r+n$	$z 2^n; 0$	$\bar{P}r+\infty$	$\infty 0$
$(+n)^m$	$m2^n; 2^n$	$(\bar{P}r)^m$	$\frac{m-1}{2} \frac{m+1}{2}$	$(\bar{P}r+\infty)^m$	$\infty \frac{m+1}{m-1}$
$(\bar{P}+n)^m$	$z2^n; zm2^n$	$(\bar{P}r)^m$	$\frac{m+1}{2} \frac{m-1}{2}$	$(\bar{P}r+\infty)^m$	$\frac{m+1}{m-1} \infty$
$(\bar{P}+n)^m$	$zm2^n; z2^n$	$(z\bar{P}r)^m$	$z \frac{m-1}{2}; z \frac{m+1}{2}$	$(\bar{P}r+\infty)^m$	$\frac{m+1}{m-1} \infty$
$\bar{P}r$	01	$(z\bar{P}r)^m$	$z \frac{m+1}{2}; z \frac{m-1}{2}$	$(z\bar{P}r+n)^m$	$z \frac{m-1}{2} 2^n; z \frac{m+1}{2} 2^n$
$\bar{P}r$	10	$(\bar{P}r+n)^m$	$\frac{m-1}{2} 2^n; \frac{m+1}{2} 2^n$	$(z\bar{P}r+n)^m$	$z \frac{m+1}{2} 2^n; z \frac{m-1}{2} 2^n$

## Hexagonales System.

Mohs.	Gdt.	Mohs.	Gdt.	Mohs.	Gdt.
R	1	P	10	$zP+n$	$z(-2)^{+n}; 0$
$R+n$	$(-2)^{+n}$	$(P)^m$	$\frac{3m-1}{2}; 1$	$(zP+n)^m$	$z(-2)^{+n} \frac{3m-1}{2}; z(-2)^{+n}$
$R+n$	$z(-2)^{+n}$	$(zP)^m$	$z \frac{3m-1}{2}; z$	$P+\infty$	$\infty 0$
$P-\infty$	0	$P+n$	$(-2)^{+n}; 0$	$(P+\infty)^m$	$\frac{3m-1}{2} \infty$ bei rhomb. Kryst.
$P+\infty$	$\infty$	$(P+n)^m$	$(-2)^{+n} \frac{3m-1}{2}; (-2)^{+n}$		$\frac{m+1}{m-1} \infty$ bei holoeedr. Kryst.

m. 1) n kann + oder - Werthe annehmen. Im zweiten Fall treten negative Potenzen auf, z. B.:  $P-3 = 2^{-3} = \frac{1}{8}$ .

2) Die Formeln gelten im rhombischen, monoklinen und triklinen System für den Fall, dass in dem Axenverhältniss Mohs  $a < b$  ist. Wird  $a > b$ , so sind p und q zu vertauschen, da sich dann (+) auf die Quer-, (-) auf die Längs-Axe bezieht.

3) In Bezug auf das Vorzeichen ist im triklinen System:

$$+r = pq$$

$$-r = \bar{p}\bar{q}$$

$$+l = p\bar{q}$$

$$-l = \bar{p}q$$

Princip der Ableitung in Mohs-Symbolen.<sup>1)</sup>Tetragonales System. Ableitung des Symbols  $(P)^m$ .

Diese Ableitung macht alle anderen verständlich; sie geschieht folgendermassen: Es sei ABC (Fig. 36) eine Fläche der primären Pyramide P, so dass  $OA = OB = a_0$ ,  $OC = c_0$ , so ergänzt Mohs das Dreieck ABC zu einem Parallelogramm ACBD, verlängert OC um das m fache, so dass  $OM = mc_0$  wird und verbindet M mit D; dann entstehen 2 Flächen AMD und BMD, denen Mohs das Zeichen  $(P)^m$  gibt. Die Fläche MAD oder MAS schneidet in ihrer Erweiterung die B Axe in N. Setzen wir  $ON = na_0$ , so hat  $(P)^m$  die Axen-Abschnitte  $a_0 : na_0 : mc_0$  und es ist nun n durch m auszudrücken. Nun ist aber

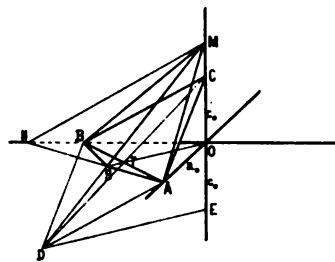


Fig. 36.

$$\begin{aligned} \angle SOM &\propto \angle DEM & OM &= m \cdot c_0 \\ SO &= DE & DE &= 2 \cdot OT = 2 \cdot \frac{a_0}{2} \sqrt{2} = a_0 \sqrt{2} \\ OM &= EM & EM &= mc_0 + c_0 = c_0(m+1) \\ & & ON &= na_0 \\ s = SO &= \frac{m c_0 a_0 \sqrt{2}}{c_0(m+1)} = a_0 \sqrt{2} \cdot \frac{m}{m+1} \end{aligned}$$

Da diese Ableitungen sich alle auf dieselbe Grundform beziehen, wobei also  $a_0$  constant ist, so ist s nur abhängig von m.

Spezieller Fall: Für  $m = 1 + \sqrt{2}$

$$\text{ist } s = a_0 \sqrt{2} \cdot \frac{1 + \sqrt{2}}{2 + \sqrt{2}} = a_0.$$

In diesem Fall ist SOA ein gleichschenkliges Dreieck, der Querschnitt der ditetragonalen Pyramide ein reguläres Achteck. Dieser Fall kommt in der Natur nicht vor, da die Ableitungszahl  $m = 1 + \sqrt{2}$  irrational ist. Ist  $m > (1 + \sqrt{2})$ , so tritt bei S, ist  $m < (1 + \sqrt{2})$ , so tritt bei A und B der spitzere Winkel auf. Mohs und nach ihm Haidinger nehmen stets  $m > (1 + \sqrt{2})$ .

Zeichnen wir das Dreieck NOQ in seiner eignen Ebene heraus (Fig. 37) so ist, wenn wir den Winkel OAS mit  $\varphi$  bezeichnen:

$$\angle OAS = \varphi \quad \angle OSA = 135 - \varphi \quad OS = s \quad OA = a_0$$

Dann ist in Dreieck SAO

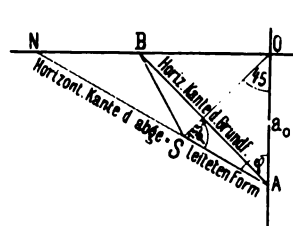


Fig. 37.

$$\begin{aligned} \frac{\sin \varphi}{\sin (135 - \varphi)} &= \frac{s}{a_0} \\ \sin \varphi &= \frac{s}{a_0} \sin 135 \cos \varphi - \frac{s}{a_0} \cos 135 \sin \varphi \\ \sin 135 &= \frac{1}{2} \sqrt{2} \\ \cos 135 &= -\frac{1}{2} \sqrt{2} \\ \sin \varphi &= \frac{s}{a_0 \sqrt{2}} \cos \varphi + \frac{s}{a_0 \sqrt{2}} \sin \varphi \end{aligned}$$

<sup>1)</sup> Vgl. Mohs: Leichtfassl. Anfangsgr. d. Naturg. d. Min.-R. Wien 1832 p. 131 Fig. 108.  
Min. 1836 I. 127 Fig. 123.

Haidinger: Handb. d. best. Min. 1845. 166.

Setzen wir zur Abkürzung:  $\frac{s}{a_0\sqrt{2}} = r$ , so ist:

$$\sin \varphi (1 - r) = r \cos \varphi$$

$$\left. \begin{aligned} \operatorname{tg} \varphi &= \frac{r}{1-r} \\ \operatorname{tg} \varphi &= \frac{n a_0}{a_0} = n \end{aligned} \right\} n = \frac{r}{1-r}$$

Es ist aber auch

$$\frac{1}{n} = \frac{1-r}{r} = \frac{1}{r} - 1 = \frac{a_0\sqrt{2}}{s} - 1$$

Nun war:

$$s = a_0\sqrt{2} \frac{m}{m+1} \quad \text{also:} \quad \frac{1}{n} = \frac{a_0\sqrt{2}}{a_0\sqrt{2} \frac{m}{m+1}} - 1 = \frac{m+1}{m} - 1 = \frac{1}{m}$$

$$\text{Also: } m = n$$

Somit ist das Axen-Verhältniss der abgeleiteten Form  $= ma : a : mc$  und es ist  $(P)^m$  (Mohs)  $= mPm$  (Naumann)  $= (m \mid 1)$  (Miller)  $= m \mid$  (Gdt.).

#### Hexagonales System. Ableitung der Pyramide aus dem Rhomboeder.

In die Pol-Kanten eines Rhomboeders sind je zwei Flächen so gelegt, dass sie, während die Kante bestehen bleibt, eine hexagonale Pyramide bilden. Dies ist nur auf

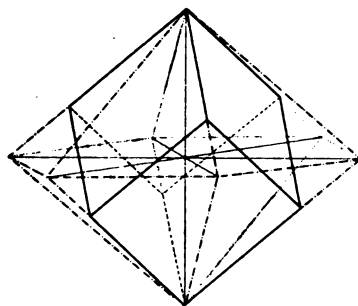


Fig. 38.

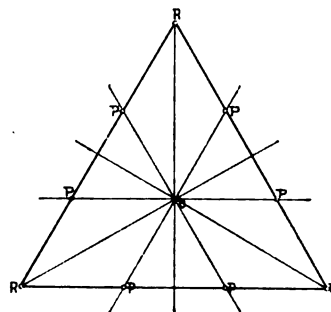


Fig. 39.

die eine Art möglich, die Fig. 38 darstellt. Aus ihr ist unmittelbar ersichtlich, dass die zwei Pyramiden- und die zwei Rhomboederflächen, die an derselben Kante liegen, eine Zone bilden. Daraus ergibt sich die Lage der Pyramidenflächen in der Projection (Fig. 39). Ziehen wir zwischen zwei Rhomboederpunkten R die Zonenlinie, so liegen die Projectionspunkte der Pyramidenflächen auf dem Schnitt P dieser Zonenlinie mit den beiden zwischen den Punkten R liegenden von OR um  $30^\circ$  abstehenden Axen.

Setzen wir  $R = 10$ , so ist  $P = \frac{1}{3}$

„ „  $R = 1$ , so ist  $P = 10$

wie aus dem Projectionbild unmittelbar zu ersehen ist. Allgemein:

ist das ursprüngl. (rhomboedr.) Symbol  $= pq$ , so ist das abgeleit. (pyramidale)  $= \frac{p+2q}{3} \quad \frac{p-q}{3}$

ist das abgeleitete (pyramidale) Symbol  $= pq$ , so ist das ursprüngl. (rhomboedr.)  $= (p+2q)(p-q)$ .

Es ist somit in Mohs' P- und R-Symbolen versteckt dasselbe enthalten, was sich in den unsrigen als  $G_1$  und  $G_2$  darstellt. Mohs' P-Symbol entspricht unserm  $G_1$ , Mohs' R-Symbol unserm  $G_2$ . In der That geben Mineralien von pyramidalem Habitus (holoedrische) einfache Symbolreihen in der Aufstellung  $G_1$ , solche von rhomboedrischem Habitus in der Aufstellung  $G_2$ . R entspricht der ternären Form (Pyramide) 1, P der binären Form (Doma) 10.

## Haidinger - Symbole.

System.	Haidinger.		Gdt.	System.	Haidinger.		Gdt.
Regulär	Oktaeder	O	1	Monoklin	Base	o	o
	Dodekaeder	D	10		Längsfläche	$\infty \bar{D}$	$\infty \infty$
	Hexaeder	H	6		Querfläche	$\infty \check{H}$	$\infty o$
	Fluoride	nF	no		Prismen	$\infty \check{A}n$	$n \infty$
	Galeoide	nG	$\frac{2-2n}{2+n} 1$			$\infty \check{A}n$	$\infty n$
	Leucitoide	nL	n		Längs-Domen	$m \bar{D}$	om
Tetragonal	Adamantoide	mAn	$m; \frac{1-n}{1+n} m$		Quer-Hemi-domen	$+\frac{m \check{H}}{2}$	$+ mo$
	Base	o	o		Augitoide	$+\frac{m \check{A}n}{2}$	$+ m \frac{m}{n}$
	Prismen	$\infty P$	$\infty$			$+\frac{m \check{A}n}{2}$	$+\frac{m}{n} m$
		$\infty P^i$	$\infty o$	Triklin	Base	o	o
		$\infty Zn$	$n \infty$		Längsfläche	$\infty \bar{D}$	$\infty \infty$
		$\infty Z'n$	$\frac{n+1}{n-1} \infty$		Querfläche	$\infty \check{H}$	$\infty o$
	Pyramiden	nP	n		Hemiprismen	$r \frac{\infty \check{A}n}{2}$	$\infty n$
		$nP^i$	no			$l \frac{\infty \check{A}n}{2}$	$\infty \bar{n}$
	Zirkonoide	mZn	mn · m			$r \frac{\infty \check{A}n}{2}$	$n \infty$
Rhombisch		$mZ'n$	$\frac{m(n+1)}{2} \frac{m(n-1)}{2}$			$l \frac{\infty \check{A}n}{2}$	$n \infty$
		Zn	n1		Längs-Hemi-domen	$r \frac{m \check{H}}{2}$	om
		Z'n	$\frac{n+1}{2} \frac{n-1}{2}$			$l \frac{m \check{H}}{2}$	om
	Base	o	o		Quer-Hemi-domen	$+\frac{m \check{H}}{2}$	mo
	Längsfläche	$\infty \bar{D}$	$\infty \infty$			$-\frac{m \check{H}}{2}$	mo
	Querfläche	$\infty \bar{D}$	$\infty o$	Anorthoide		$+\frac{m \check{A}n}{4}$	$\frac{m}{n} m$
Rhombisch	Prismen	$\infty \bar{O}n$	$n \infty$			$+\frac{m \check{A}n}{4}$	$\frac{m}{n} m$
		$\infty \check{O}n$	$\infty n$		Vorzeichen:	$+r=pq -r=pq$	$+l=pq -l=pq$
	Längs-Doma	$m \bar{D}$	om				
	Quer-Doma	$m \bar{D}$	mo				
	Orthotype	$m \bar{O}n$	$m \frac{m}{n}$				
		$m \check{O}n$	$\frac{m}{n} m$				

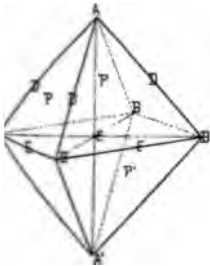
Wo die Zeichen  $\infty$   $\bar{o}$  übereinanderstehen, bezieht sich das untere Zeichen auf den normalen Fall, dass in dem Axenverhältniss  $a : b : c$   $a < b$ , das obere auf den Ausnahmefall, dass  $a > b$  ist.



## Haidinger - Symbole.

System.	Haidinger.		Gdt.		Naumann.
			bei rhomboedrischen Krystallen	bei holloedrischen Krystallen	
trigonal	Base	oR	o	o	oR
	Prismen	$\infty S_n$	$\frac{n+1}{n-1} \infty$	$\frac{3n-1}{2} \infty$	$\infty R_n$
		$\infty R$	$\infty o$	$\infty$	$\infty R$
		$\infty Q$	$\infty$	$\infty o$	$\infty P_2$
	Rhomboeder	mR	+mo	m	+mR
		mR'	-mo		-mR
	Skalenoeder	mS <sub>n</sub>	$+\frac{m(n+1)}{2} \cdot \frac{m(n-1)}{2}$	$\frac{m(3n-1)}{2} \cdot m$	+mR <sub>n</sub>
		mS' <sub>n</sub>	$-\frac{m(n+1)}{2} \cdot \frac{m(n-1)}{2}$		-mR <sub>n</sub>
	Quarzoide	Q	$\frac{1}{3}$	io	$\frac{2}{3} P_2$
		mQ	$\frac{m}{3}$	mo	$\frac{2m}{3} P_2$

## Hausmann - Symbole.

Hausmann.				Gdt.
<b>Reguläres System.</b>  Fig. 40.	O	Octaeder	8P	i
	W	Würfel	2A · 4B	o
	RD	Rhombendodekaeder	8D · 4E	io
	Tr	Trapezoeder	8AE · 16BD	p
	Tr <sub>1</sub>		8AE <sub>2</sub> · 16BD <sub>2</sub>	$\frac{1}{2}$
	Tr <sub>2</sub>		8AE <sub>3</sub> · 16BD <sub>3</sub>	$\frac{1}{3}$
	PO	Pyramidenoctaeder	8EA · 16DB	iq
	PO <sub>1</sub>		8EA $\frac{1}{2}$ · 16DB $\frac{1}{2}$	$1\frac{1}{2}$
	PO <sub>2</sub>		8EA $\frac{1}{3}$ · 16DB $\frac{1}{3}$	$1\frac{1}{3}$
	PW	Pyramidenwürfel	8AB · 8BA · 8BB	po
	PW <sub>1</sub>		8AB $\frac{1}{2}$ · 8BA $\frac{1}{2}$ · 8BB $\frac{1}{2}$	$\frac{2}{3} o$
	PW <sub>2</sub>		8AB <sub>2</sub> · 8BA <sub>2</sub> · 8BB <sub>2</sub>	$\frac{1}{2} o$
	PW <sub>3</sub>		8AB <sub>3</sub> · 8BA <sub>3</sub> · 8BB <sub>3</sub>	$\frac{1}{3} o$

## Haidinger - Symbole.

System.	Haidinger.		Gdt.	System.	Haidinger.		Gdt.
Regulär	Oktaeder	O	1	Monoklin	Base	o	o
	Dodekaeder	D	10		Längsfläche	$\infty \bar{D}$	$o\infty$
	Hexaeder	H	6		Querfläche	$\infty \bar{H}$	$\infty o$
	Fluoride	nF	no		Prismen	$\infty \bar{A}n$	$n\infty$
	Galenoide	nG	$\frac{2-2n}{2+n} 1$			$\infty \bar{A}n$	$\infty n$
	Leucitoide	nL	n		Längs-Domen	mD	om
	Adamantoide	mAn	$m; \frac{1-n}{1+n} m$		Quer-Hemi-domen	$+\frac{m\bar{H}}{2}$	$+mo$
Tetragonal	Base	o	o	Augitoide	$+\frac{m\bar{A}n}{2}$	$+m \frac{m}{n}$	
	Prismen	$\infty P$	$\infty$		$+\frac{m\bar{A}n}{2}$	$+\frac{m}{n} m$	
		$\infty P'$	$\infty o$	Triklin	Base	o	o
		$\infty Zn$	$n\infty$		Längsfläche	$\infty \bar{D}$	$o\infty$
		$\infty Z'n$	$\frac{n+1}{n-1} \infty$		Querfläche	$\infty \bar{H}$	$\infty o$
	Pyramiden	nP	n		Hemiprismen	$r \frac{\infty \bar{A}n}{2}$	$\infty n$
		nP'	no			$l \frac{\infty \bar{A}n}{2}$	$\infty \bar{n}$
	Zirkonoide	mZn	$mn \cdot m$			$r \frac{\infty \bar{A}n}{2}$	$n\infty$
		mZ'n	$\frac{m(n+1)}{2} \frac{m(n-1)}{2}$			$l \frac{\infty \bar{A}n}{2}$	$n\infty$
		Zn	n1		Längs-Hemi-domen	$r \frac{m\bar{H}}{2}$	om
	Z'n	$\frac{n+1}{2} \frac{n-1}{2}$			$l \frac{m\bar{H}}{2}$	om	
Rhombisch	Base	o	o		Quer-Hemi-domen	$+\frac{m\bar{H}}{2}$	mo
	Längsfläche	$\infty \bar{D}$	$o\infty$		$\frac{m\bar{H}}{2}$	mo	
	Querfläche	$\infty \bar{D}$	$\infty o$	Anorthoide	$\pm lr \frac{m\bar{A}n}{4}$	$m \frac{m}{n}$	
	Prismen	$\infty \bar{O}n$	$n\infty$		$\pm lr \frac{m\bar{A}n}{4}$	$m \frac{m}{n}$	
		$\infty \bar{O}n$	$\infty n$				
	Längs-Doma	mD	om				
	Quer-Doma	mD	mo				
	Orthotype	mO $\bar{n}$	$m \frac{m}{n}$	Vorzeichen: $+r=pq -r=\bar{p}q$ $+l=pq -l=\bar{p}q$			
	mO $\bar{n}$	$\frac{m}{n} m$					

Wo die Zeichen  $\infty \bar{\phantom{x}}$  übereinanderstehen, bezieht sich das untere Zeichen auf den normalen Fall, dass in dem Axenverhältniss  $a : b : c$   $a < b$ , das obere auf den Ausnahmefall, dass  $a > b$  ist.

## Haidinger - Symbole.

System.	Haidinger.		Gdt.		Naumann.
			bei rhomboedrischen Krystallen	bei holloedrischen Krystallen	
trigonal	Base	oR	o	o	oR
	Prismen	$\infty S_n$	$\frac{n+1}{n-1} \infty$	$\frac{3n-1}{2} \infty$	$\infty R_n$
		$\infty R$	$\infty o$	$\infty$	$\infty R$
		$\infty Q$	$\infty$	$\infty o$	$\infty P_2$
	Rhomboeder	mR	+mo	m	+mR
		mR'	-mo		-mR
	Skalenoeder	mS <sub>n</sub>	$+\frac{m(n+1)}{2} \cdot \frac{m(n-1)}{2}$	$\frac{m(3n-1)}{2} \cdot m$	+mR <sub>n</sub>
		mS' <sub>n</sub>	$-\frac{m(n+1)}{2} \cdot \frac{m(n-1)}{2}$		-mR <sub>n</sub>
	Quarzoide	Q	$\frac{1}{3}$	10	$\frac{2}{3} P_2$
		mQ	$\frac{m}{3}$	mo	$\frac{2m}{3} P_2$

## Hausmann - Symbole.

System.	Hausmann.			Gdt.
reguläres System.	O	Octaeder	8P	1
	W	Würfel	2A · 4B	o
	RD	Rhombendodekaeder	8D · 4E	10
	Tr	Trapezoeder	8AE · 16BD	p
	Tr <sub>1</sub>		8AE <sub>2</sub> · 16BD <sub>2</sub>	$\frac{1}{2}$
			8AE <sub>3</sub> · 16BD <sub>3</sub>	$\frac{1}{3}$
	PO	Pyramidenoctaeder	8EA · 16DB	1q
	PO <sub>1</sub>		8EA $\frac{1}{2}$ · 16DB $\frac{1}{2}$	$1\frac{1}{2}$
	PO <sub>2</sub>		8EA $\frac{1}{3}$ · 16DB $\frac{1}{3}$	$1\frac{1}{3}$
	PW	Pyramidenwürfel	8AB · 8BA · 8BB	po
	PW <sub>1</sub>		8AB $\frac{2}{3}$ · 8BA $\frac{2}{3}$ · 8BB $\frac{2}{3}$	$\frac{2}{3} o$
	PW <sub>2</sub>		8AB <sub>2</sub> · 8BA <sub>2</sub> · 8BB <sub>2</sub>	$\frac{1}{2} o$
	PW <sub>3</sub>		8AB <sub>3</sub> · 8BA <sub>3</sub> · 8BB <sub>3</sub>	$\frac{1}{3} o$

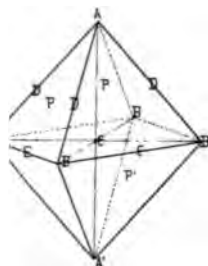


Fig. 40.

**Hausmann-Symbole.****Tetragonales System.** (Monodimetrisch.)

Es gelten hier dieselben Transformations-Symbole wie im rhombischen System, nur fallen die Zeichen mit und ohne Index zusammen.

**Monoklines System.** (Klinorhombisch, Orthorhomboidisch.)

Dasselbe zerfällt bei Hausmann in 2 Systeme: das klinorhombische und das orthorhomboidische System. Ersteres wieder in zwei Abtheilungen:

**A. Klinorhombisches System.** Symmetrieebene aufrecht gestellt.

a. Mit makrodiagonaler Abweichung. Symmetrieebene rechts — links. (Beisp. Orthoklas.)

b. Mit mikrodiagonaler Abweichung. Symmetrieebene vorn — hinten. (Beisp. Gyps.)

**B. Orthorhomboidisches System.** Symmetrieebene horizontal gelegt. (Beisp. Epidot.)

Der Unterschied in den Symbolen für die drei Aufstellungen tritt am deutlichsten in den beistehenden von Hausmann entlehnten Figuren hervor.

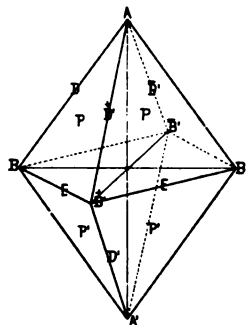


Fig. 43.

Klinorhombisches Octaeder.

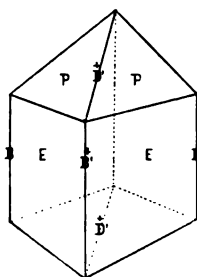


Fig. 44.

Prisma und Hemipyramiden.

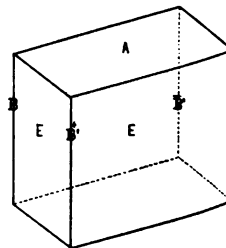
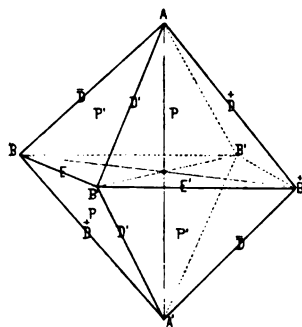
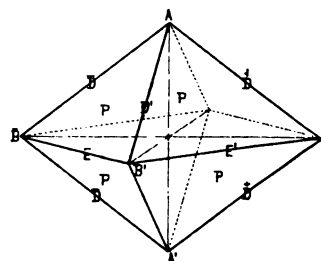


Fig. 45.

Hendyoeder oder Dyhenoeder.



Klinorhombisches System  
mit makrodiagonaler Abweichung.  
(Symmetrieebene links — rechts.)  
Fig. 46. Klinorhombisches Octaeder.



Orthorhomboidisches System.  
(Symmetrieebene horizontal.)  
Fig. 47. Rhomboidal Octaeder.



Nur für Hausmanns klinorhombisches System mit mikrodiagonaler Abweichung stimmt die Aufstellung mit der jetzt üblichen überein. Für die beiden andern Fälle ist eine Umstellung durch Vertauschen zweier Axen nothwendig. Am einfachsten gelingt die Umwandlung in unsere Zeichen, wenn man zunächst auf diese Umstellung keine Rücksicht nimmt, sondern für alle drei Arten die rhombischen Umwandlungs-Symbole anwendet, der nöthigen Drehung aber nachträglich im Transformations-Symbol Ausdruck giebt. So ist dies im Index auch durchgeführt worden und sind in solchen Fällen die Transformations-Symbole in diesem Sinne zu verstehen. Die Axenverhältnisse des Index sind jedoch überall so angegeben, dass sich  $a$  auf die geneigte Axe bezieht. Hätte diese Inconsequenz vermieden werden sollen, so hätte man den Neigungswinkel nicht mit  $\beta$ , sondern mit  $\alpha$  resp.  $\gamma$  bezeichnen müssen, wodurch noch leichter Gelegenheit zu Missverständnissen geboten gewesen und die Analogie mit den Elementangaben der andern Autoren gestört gewesen wäre. Bei etwaiger Umrechnung des Axenverhältnisses auf Grund des Transformations-Symbols ist auf diesen Umstand Rücksicht zu nehmen.

Noch ist zu bemerken, dass Hausmanns  $\pm$  auch in unserm Zeichen  $\pm$  giebt, doch bedeutet

in der normalen Aufstellung, sowie bei horizontaler Symmetrieebene —  $pq = \overline{pq}$   
in der Querstellung —  $pq = p\overline{q}$

**Triklines System** (klinorhomboidisch).

Auch hier sind die rhombischen Transformations-Symbole anzuwenden mit Berücksichtigung der Vorzeichen. Diese lassen sich leicht feststellen durch Vergleichen mit beistehenden Figuren.

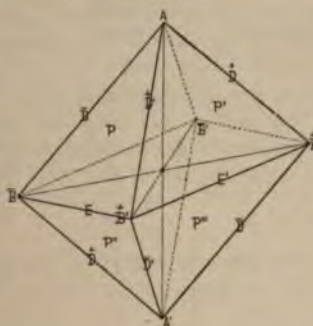


Fig. 48.

Klinorhomboidisches Oktaeder.

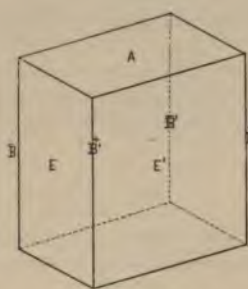


Fig. 49.

Henoeder.

**Schrauf-Symbole.**

**Hexagonales System.** Bezeichnen wir die drei Zahlen des Schrauf-schen Symbols mit  $hkl$ , so ist zur Bildung des Symbols der rhomboedrischen Gesamtform  $G_1$ , bei welchem  $\pm$  Formen unterschieden werden.

$$hkl(\text{Schrauf}) = \pm \frac{k}{l} \cdot \frac{h-k}{2l} (G_1)$$

Dabei ist Folgendes zu berücksichtigen:

1. Es erhalten von vorn herein die direkt aus der Anwendung des Umwandlungs-Symbols abgeleiteten Werthe  $pq$  das Vorzeichen  $+$ , wenn für  $p$  und  $q$  gleiches,  $-$  wenn für  $p$  und  $q$  ungleiches Vorzeichen sich ergibt. Also: 
$$\begin{array}{ll} + \overline{p}q & - \overline{p}q \\ + \overline{p}q & - \overline{p}q \end{array}$$
2. Fällt  $p$  absolut  $< q$  aus, so sind  $p$  und  $q$  zu vertauschen und zugleich das Vorzeichen zu ändern. Also:

$$\pm \overline{p}q = + \overline{pq}$$

3. Fällt  $p$  negativ aus, so ist das Zeichen über  $p$  und  $q$ , und zugleich das Vorzeichen des Symbols zu ändern. Also:

$$+ \overline{p}q = - p\overline{q} \quad - \overline{p}q = + p\overline{q}$$

4. Fällt  $q$  negativ aus, so ist für  $\pm \overline{p}q$  zu setzen  $\mp (p-q)q$ .

Nöthigen Falls sind alle diese Modificationen am Symbol der Reihe nach vorzunehmen.

**Beispiele:**

Schrauf-Symbole.	$pq$ direkt abgeleitet. (1)	$p > q$ gemacht. (2)	$p$ positiv gemacht. (3)	Für $p\overline{q}$ gesetzt $\mp (p-q)q$ (4)	$p > q$ gemacht. (2)
421	+ 21	+ 21	+ 21	+ 21	+ 21
131	- 31	- 31	- 31	+ 21	+ 21
131	- 32	- 32	- 32	+ 12	- 21
421	- 23	+ 32	- 32	+ 12	- 21
511	- 13	+ 31	- 31	+ 21	+ 21
511	+ 12	- 21	+ 21	+ 21	+ 21

Am besten operirt man mit Schrauf'schen Symbolen, indem man sie in das Projectionsbild einträgt und aus diesem nach Bedarf unsere Symbole abliest. Projections-Ebene ist die Basis, in welcher zwei auf einander senkrechte Axen  $\Pi$  und  $X$  liegen. Die  $\Pi$  Axe läuft vom O Punkt aus nach vorn, die  $X$  Axe quer. Der Projectionspunkt der Fläche  $hkl$  (Schrauf) findet sich, indem man  $\pi$  Einheiten  $\pi_0$  in der  $\Pi$  Richtung, daran  $\chi$  Einheiten  $\chi_0$  in der  $X$  Richtung aufträgt.  $\pi$  und  $\chi$  berechnen sich aus dem Symbol  $hkl$  zu:

$$\pi = \frac{k}{l}; \quad \chi = \frac{h}{l}$$

## Umrechnung der Elemente.

Die folgenden Tabellen geben für die Schriften von Miller, Mohs, Haidinger, Hausmann, Des Cloizeaux und Lévy die Formeln an, nach denen sich für das hexagonale, tetragonale, rhombische und monokline System die Elemente aus den Angaben dieser Autoren berechnen lassen. Das trikline System wurde weggelassen, weil einerseits in Bezug auf dies System die Angaben bei demselben Autor nicht immer gleichmässig sind und weil andererseits durch specielle Formeln kaum ein Vortheil erreicht würde, gegenüber dem später zur Berechnung der Elemente aus Messungen anzugebenden Weg. Haben die Angaben noch nicht die dort geforderte Gestalt, so müssen die jeweilig nothwendigen Operationen vorausgehen, die entweder in einer vorläufigen Aenderung der Aufstellung, oder in der Berechnung fehlender Theile nach den allgemeinen Methoden der Krystallberechnung bestehen.

Unter der Ueberschrift „Angabe“ sind in den folgenden Tabellen die zur Berechnung nöthigen Grundwerthe eingetragen, wie sie sich in den Schriften des betreffenden Autors finden; die folgenden Columnen geben die Formeln für die zu berechnenden Werthe  $p_0, q_0, a, c$  und  $\mu = 180 - \beta$ . Dass die Formeln zur Berechnung von  $a$  und  $c$ , nicht von  $a_0$  und  $b_0$  gegeben wurden, hat darin seinen Grund, dass die vorliegende Rechnung meist zum Zweck einer Identification ausgeführt wird, dafür aber zum Vergleich in der Regel die Angabe von  $a$  und  $c$  vorliegt. Will man  $a_0$  und  $b_0$  haben, so ist allgemein

$$a_0 = \frac{a}{c} \quad b_0 = \frac{b}{c}$$

In den meisten Fällen ist die Berechnung äusserst einfach. Für die wenigen Fälle, wo sie etwas complicirter ist, wurde zur bequemer Auswerthung ein Schema und Beispiel beigelegt.

Solche Rechnungen nach festem Schema im geschlossenen Rahmen verwendet Brezina in seiner Methodik der Krystallberechnung. Sie bieten wesentliche Vortheile, die sich besonders bei den complicirteren Operationen der Krystallberechnung geltend machen, jedoch schon hier, wo solche Schemas in diesem Werk zum ersten Mal auftreten, erörtert werden mögen.

1. Zeitersparniss. Es entfällt die Disposition über die Anlage der Rechnung; keine Zahl muss öfter angeschrieben werden als unbedingt nöthig ist. Alle Angaben über die Bedeutung der Zahlen fallen weg, da diese gemäss dem Schema aus der Stelle hervorgeht, die die Zahl einnimmt; ebenso entfallen alle Zeichen  $\pm, =$  u. s. w.
2. Sicherheit. Fehler in der Disposition sind ausgeschlossen. Um auch Fehler in der Ausrechnung unmöglich zu machen, soll ein gutes Schema stets die Controle der Rechnung in sich schliessen. Eine solche Controle wurde allgemein dem Schema eingefügt, nur bei ganz einfachen Umrechnungen hier und da weggelassen.

3. Uebersichtlichkeit. Diese ist besonders wichtig zum Zweck der Auffindung eventueller Rechenfehler. Ausserdem stellen sich die Resultate sogleich geordnet an einer bestimmten Stelle ein, so dass man sie bei späterer Benutzung sogleich findet. Beim Vergleich der Resultate einer ganzen Reihe gleichartiger Ausrechnungen findet sich das Entsprechende an genau entsprechender Stelle.
4. Raumersparniss. Durch die feste U'mgrenzung der Rechnung und die Weglassung jedes überflüssigen Zeichens nimmt dieselbe einen sehr geringen Raum ein. Dadurch ist man im Stand, bei grossen zusammengehörigen Reihen von Einzelrechnungen, diese alle auf engem Raum zu vereinigen und das Ganze bequem zu übersehen.

Rechnung nach dem Schema. Zum Zweck der Rechnung umgrenzt man sich den Raum für dieselbe am besten auf quadrirtem Papier genau so, wie er für das Schema begrenzt ist. Die an jede Stelle zu setzenden Eintragungen gehen aus dem Schema unmittelbar hervor. In der Art der diesbezüglichen Angaben bin ich von Brezina abgegangen. Während er jedem Schema eine Legende beifügt, die den Gang der Rechnung anzeigt, steht hier die Vorschrift für die auszuführende Operation bereits an der Stelle, wo das Resultat der Operation einzutragen ist. Das Schema zerfällt in eine Anzahl Columnen, die numerirt sind und in stets nur wenige Zeilen, deren Nummer, von oben nach unten gezählt, man ohne besondere Eintragung übersieht. Jede Stelle im Schema ist durch zwei Zahlen bezeichnet, von denen die erste sich auf die Columnne, die zweite auf die Zeile bezieht. Also: 32 = Columnne 3 Zeile 2. Die Operationen bestehen ausser dem Aufsuchen der Logarithmen von Zahlenwerthen und trigonometrischen Functionen und dem Rückwärtsaufschlagen des Numerus nur aus Additionen und Subtractionen, hie und da einer Verdoppelung oder Halbierung. Die Lesung ist nun, wie kaum hervorgehoben zu werden braucht, beispielsweise folgende:

$\frac{1}{2}$  bedeutet, es soll an der Stelle wo dies steht, die Hälfte der Zahl in 32,  
 22—23 - - - - - Summe der Zahlen in 22 und 23  
 eingetragen werden.

Die Reihenfolge der Operationen geht im Allgemeinen von links nach rechts und von oben nach unten, doch nach Bedarf auch umgekehrt. Sie ergibt sich im speciellen Fall stets aus der Möglichkeit eine Operation nach der anderen auszuführen.

Die Controle besteht entweder darin, dass derselbe Werth auf zwei verschiedenen Wegen gewonnen wird, wobei alle zu controlirenden Werthe zur Gewinnung des Resultates Verwendung finden müssen, oder es werden die Ausgangswerthe aus den resultirenden Werthen rückwärts wieder abgeleitet. Beide Wege sind gleich sicher, der letztere ist in der Regel umständlicher, dagegen immer möglich. Besonders bei grösseren Rechnungen stellen sich partielle Controlen während des Laufes der Rechnung ein; solche sind stets mitzunehmen. Sie führen häufig zur Auffindung und Beseitigung eines Fehlers, der sich sonst bis zum Ende der Rechnung fortschleppen würde.

Die angewandten Logarithmen sind fünfstellig und wurde, im Fall die bei der Rechnung auftretende sechste Mantisse sich der 5 mehr nähert als der 0 resp. 10, für diese der Werth 0.5 in der Rechnung geführt und durch einen Punkt markirt. Auch in diesem nicht unwichtigen Detail bin ich dem Vorgang Brezina's gefolgt. Dagegen wurde der Punkt, den man zur Trennung der Charakteristik von den Mantissen zu setzen pflegt, als selbstverständlich weggelassen.

$$\text{Also: } 000870. = 0.008705$$

Ein Minuszeichen über der Charakteristik deutet an, dass der Logarithmus einer negativen Zahl angehört. Dies kommt bei den trigonometrischen Functionen der Winkel über 90° in Betracht.



## Miller (Min. 1852).

System.	Angabe.	$p_0$	$q_0$	$a$	$c$	$\mu = 180 - \beta$
<b>Tetragonal.</b>	$101 : 001 = 10 : 0 = m$	$\text{tg } m$	$\text{tg } m$	1	$\text{tg } m$	$90^\circ$
<b>Hexagonal.</b>	$100 : 111 = 10 : 0 = m$	$\text{tg } m$	$\text{tg } m$	1	$c_{10} = \sqrt{\frac{3}{4}} \text{tg } m$	$90^\circ$
				1	$c_1 = \frac{3}{2} \text{tg } m$	
<b>Rhombisch.</b>	$011 : 010 = 10 : \infty = m$	$\text{ctg } m$	$\text{tg } n$	$\text{ctg } o$	$\text{tg } n$	$90^\circ$
	$101 : 001 = 01 : 0 = n$					
	$110 : 100 = \infty : 0 = o$					
<b>Monoklin.</b>	$101 : 100 = 10 : \infty = m$	$\frac{\sin o}{\sin m}$	$\text{ctg } n \frac{\sin(m+o)}{\sin m}$	$\frac{\text{ctg } n}{\sin o}$	$\frac{\text{ctg } n}{\sin m}$	$m + o$
	$111 : 010 = 1 : 0 = n$					
	$101 : 001 = 10 : 0 = o$					

## Mohs - Haidinger - Hausmann.

System.	Angabe.	$p_0$	$q_0$	$a$	$c$	$\mu = 180 - \beta$
<b>Tetragonal.</b>	$a$	$\frac{a}{\sqrt{2}}$	$= p_0$	1	$\frac{a}{\sqrt{2}}$	$90^\circ$
	Aeusserer Winkel der Horizontalkanten (der zweite für P gegebene Winkel) = $C^\circ$ .	$= \frac{1}{\sqrt{2}} \text{tg } \frac{C}{2}$			$= \frac{1}{\sqrt{2}} \text{tg } \frac{C}{2}$	
<b>Hexagonal.</b>	$a$	$\frac{2}{3} a$	$= p_0$	1	$c_{10} = \frac{a}{\sqrt{3}}$	$90^\circ$
	Aeusserer Winkel der Horizontalkanten (der zweite für P gegebene Winkel) = $C^\circ$ .	$= \text{tg } \frac{C}{2}$			$= \sqrt{\frac{3}{4}} \text{tg } \frac{C}{2}$	
	Polkantenwinkel des Rhomboeders $R = 2r$ .	Vgl. Des Cloizeaux.			$c_1 = a$ $= \frac{3}{2} \text{tg } \frac{C}{2}$	
<b>Rhombisch.</b>	$a : b : c$	$\frac{a}{c}$	$\frac{a}{b}$	$\frac{c}{b}$	$\frac{a}{b}$	$90^\circ$
<b>Monoklin.</b>	$a : b : c : d ; d = 1$	$\frac{1}{b \cos \mu}$	$\frac{a}{c}$	$\frac{b}{c}$	$\frac{1}{c \cos \mu}$	$\text{tg } \mu = a$

## Des Cloizeaux. (Man. 1862, 1874.)

System.	Angabe.	P <sub>0</sub>	q <sub>0</sub>	a	o	μ = 180 — β
Tetragonal.	b : h	$\frac{h \sqrt{2}}{b}$	$\frac{h \sqrt{2}}{b}$	1	$\frac{h \sqrt{2}}{b}$	90°
Hexagonal. Holoedrisch.	b : h	$\frac{h \sqrt{4}}{b \sqrt{3}}$	$\frac{h \sqrt{4}}{b \sqrt{3}}$	1	$c_{10} = \frac{h}{b}$ $c_1 = \frac{h \sqrt{3}}{b}$	90°
Hexagonal. Rhombodr. Hemiedrisch.	Rhomboèdre de 2r° (Polkantenwinkel).	$2 \operatorname{tg} \delta$ $\sin \delta = \operatorname{ctg} r \operatorname{tg} 30^\circ$	= P <sub>0</sub>	1	$c_{10} = \operatorname{tg} \delta \operatorname{ctg} 30^\circ$ $\sin \delta = \operatorname{ctg} r \operatorname{tg} 30^\circ$ $c_{10} = \frac{\cos r \cos 30^\circ}{\sqrt{\sin(r+30^\circ) \sin(r-30^\circ)}}$	90°
		$\frac{\cos r}{\sqrt{\sin(r+30^\circ) \sin(r-30^\circ)}}$ (Controle)		1	$c_1 = 3 \operatorname{tg} \delta$ $\sin \delta = \operatorname{ctg} r \operatorname{tg} 30^\circ$	
					$c_1 = \frac{3}{2} \frac{\cos r}{\sqrt{\sin(r+30^\circ) \sin(r-30^\circ)}}$	
Rhombisch.	d : D : h	$\frac{h}{d}$	$\frac{h}{D}$	$\frac{d}{D}$	$\frac{h}{D}$	90°
Monoklin.	d : D : h Angle plan de la base . . . . . = 2m Angle plan des faces latérales = n Prisme rhombol- dal oblique de = 2p°	$\frac{h}{d}$	$\frac{h}{D} \sin \mu$ = $\frac{h}{D} \operatorname{tg} m \operatorname{ctg} \rho$	$\frac{d}{D}$	$\frac{h}{D}$	$\cos \mu = \frac{\cos n}{\cos m}$ $\sin \mu = \operatorname{tg} m \operatorname{ctg} \rho$ (Controle)

**Bemerkungen zur Umrechnung der Elemente.**Zu **Miller's** Angaben:

Monoklines System.

1. Fällt  $m + o > 90^\circ$  aus, so ist die Aufstellung nicht die normale, es ist vielmehr eine Drehung um  $180^\circ$  um die Verticalaxe vorzunehmen, zugleich mit den Symbolen die Transformation:  $pq$  (Miller)  $= -pq$  (Aut.).
2. Zur raschen Auffindung des Werthes  $c_{10} = \sqrt{\frac{3}{4}} \operatorname{tg} m$  kann die Tabelle I Seite 72 bis 74 verwendet werden.

Zu **Des Cloizeaux** Angaben:

Hexagonales System.

Zur Auffindung von  $c_{10}$  und  $p_o$  aus dem Rhomboeder-Winkel dient Tabelle II Seite 74–77. Zur Berechnung derselben Werthe ist das folgende Schema anzuwenden, das die Controle einschliesst:

Schema.

1	2	3	4
776144	$\lg \operatorname{tg} \delta$	$\begin{smallmatrix} 21-11 \\ = \lg c \end{smallmatrix}$	$\lg \sin (r+30)$
$\lg \operatorname{ctg} r$	$\lg \cos r$	$\begin{smallmatrix} 41+42 \\ 2 \end{smallmatrix}$	$\lg \sin (r-30)$
$\begin{smallmatrix} 11+12 \\ = \lg \sin \delta \end{smallmatrix}$	$\begin{smallmatrix} 030103+21 \\ = \lg p_o \end{smallmatrix}$	$\begin{smallmatrix} 22-32 \\ = \lg p_o \end{smallmatrix}$	$p_o$

Weitere Controle  $31-32 = 993752$ .Beispiel: Dioptas:  $r = 47^\circ 57' 5$ .

1	2	3	4
976144	978516	$\begin{smallmatrix} 002371 \\ \lg c \end{smallmatrix}$	999033
995507	982586	973967	948900
971651	$\begin{smallmatrix} 008619 \\ \lg p_o \end{smallmatrix}$	$\begin{smallmatrix} 008619 \\ \lg p_o \end{smallmatrix}$	$\begin{smallmatrix} 1 \cdot 2194 \\ p_o \end{smallmatrix}$

Monoklines System.

Zur Auswerthung der Formeln für  $\mu$  diene das folgende in sich controlirte Schema:

Schema.

Beispiel. Amphibol (Des Cloizeaux, Manuel 77).

1	2	3	4
n	$\lg \cos n$	$\begin{smallmatrix} 21-22 \\ = \lg \cos \mu \end{smallmatrix}$	$\mu$
m	$\lg \cos m$	$\lg \operatorname{tg} m$	
$\rho$	$\lg \operatorname{ctg} \rho$	$\begin{smallmatrix} 32+23 \\ = \lg \sin \mu \end{smallmatrix}$	$\mu$

1	2	3	4
$97^\circ 07' 9$	909395	941207	$\begin{smallmatrix} 75^\circ 02 \\ \mu \end{smallmatrix}$
$61^\circ 16' 1$	968187	026106	
$62^\circ 05' 5$	972399	998505	$\begin{smallmatrix} 75^\circ 03 \\ \mu \end{smallmatrix}$



Fig. 50.

Zwischen den Werthen  $\mu$  entstehen manchmal Differenzen dadurch, dass die gegebenen Werthe  $mnp$  nicht unter sich genau abgeglichen sind.

Zu den Angaben von **Mohs-Haidinger-Hausmann**.

1. Die Winkel-Angaben bei Mohs und Hausmann sind folgendermassen zu verstehen:

Bei einer achtfächigen Pyramide sind drei Winkel gegeben; davon bezieht sich der erste auf die vordere, der zweite auf die seitliche Polkante, der dritte auf die Mittelkante.

Bei vierflächigen Formen ist der gegebene Winkel der zwischen zwei zusammengehörigen Flächen.

Bei zweiflächigen Formen ist der Winkel gegeben zwischen einer der betreffenden Flächen und der Basis (o) oder der Querfläche ( $\infty$ ).

## 2. Triklines System. Es bedeutet:

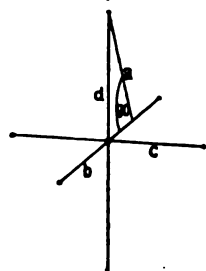
$$\tilde{c} : \tilde{b} : \tilde{a} \text{ (Mohs-Haidinger)} = a : b : c \text{ (Aut.)}$$

Abweichung der Axe in der Ebene der grösseren Diagonale =  $90 - \gamma$ " " " " " " " " kleineren " =  $90 - \alpha$ Schiefe der Diagonale =  $\beta$ 

## 3. Hexagonales System.

Die Berechnung der Elemente aus dem Rhomboeder-Winkel ( $2r$ ) erfolgt durch Aufsuchen in der Tabelle II Seite 74—77 oder durch Rechnung wie für Des Cloiseaux angegeben.

## 4. Rhombisches, monoklines System.



Die Berechnung aus den Winkeln der Grundpyramide (Hausmann) ist auf die für Berechnung der Elemente aus Messungen weiter unten anzugebende Weise vorzunehmen. Auch für die Angaben Mohs-Zippe-Haidinger empfiehlt es sich neben der Berechnung aus den Zahlenverhältnissen noch die Rechnung aus den Winkeln zur Kontrolle auszuführen, da in den Angaben manchmal Fehler vorkommen, die sich so auffinden lassen.

## 5. Monoklines System.

Fig. 51.

Die Bedeutung der Verhältnisszahlen  $a:b:c:d$  geht aus beistehender Fig. 51 hervor. Die Ausrechnung der Zahlenwerthe für  $a, c, a_0, b_0, p_0, q_0, \mu$  aus den Mohs'schen Angaben wollen wir nach dem folgenden Schema vornehmen. Es ist darin statt der Mohs'schen Buchstaben  $a, b, c, d$ , worunter  $d=1$ , um Verwechslung zu vermeiden  $A, B, C$  gesetzt.

1	2	3	4	5	6	7	8
A	$\lg A$ $= \lg \mu$	$\lg \cos \mu$	$\mu$	$\lg \sin \mu$	$51+53$ $= 32$	$53-52$ $= 33$	
B	$\lg B$	$21-23$ $= \lg q_0$	$31+22$ $= \lg a_0$	$0-42$ $= \lg p_0$	$q_0$	$a_0$	$p_0$
C	$\lg C$	$22-23$ $= \lg a$	$31+23$ $= \lg b_0$	$0-43$ $= \lg c$	$a$	$b_0$	$c$

Beispiel: Rittingerit. (Zippe, Wien. Sitzb. 1852. 9. 346).

1	2	3	4	5	6	7	8
36.576	156319	843665	88°26.0 $\mu$	999984 $\lg \sin \mu$	970651 $= 32$	970448 $= 33$	
36.405	156116	970651 $\lg q_0$	999781 $\lg a_0$	000219 $\lg p_0$	0.5087 $q_0$	0.9950 $a_0$	1.0050 $p_0$
71.891	185668	970448 $\lg a$	029333 $\lg b_0$	970667 $\lg c$	0.5064 $a$	1.9649 $b_0$	0.5089 $c$



**Lévy.****Tetragonales System.** Gegeben für das primäre Prisma  $m$  das Verhältniss:

$$\text{Seite zur Höhe} = 1:h, \text{ so berechnet sich } c = p_o = q_o = \frac{h\sqrt{2}}{1}$$

**Rhombisches System.** Gegeben für das primäre Prisma  $m$  der äussere Prismenwinkel  $= 2m$  und das Verhältniss der Prismenseite  $l$  zur Höhe  $h$ .

Formeln.

$$a = \text{ctg } m \quad p_o = \frac{h}{l \cos m} \quad c = q_o = \frac{h}{l \sin m}$$

Schema.

1	2	3	4	5
$m$	$\lg \sin m$	$\lg \cos m$	$\lg \text{ctg } m$ $= \lg a$	$a$
$l$	$\lg l$	$21+22$	$23-32$ $\lg c = \lg q_o$	$c = q_o$
$h$	$\lg h$	$31+22$	$23-33$ $\lg p_o$	$p_o$

Beispiel: Antimonglanz. Lévy, Descr. 1838. 3. 311.

1	2	3	4	5
$45^{\circ}22'5$	985231	984662	999431	0.9870 $a$
20	130103	115334	030906	2.037 $c = q_o$
29	146240	114765	031474	2.064 $p_o$

Controle:  $41+43=42$ .**Monoklines System.** Gegeben für das primäre Prisma  $m$  der Prismenwinkel  $= 2\rho$ , der Winkel der Basis zu einer vorderen Prismenfläche  $= \sigma : \infty = \sigma$ . Das Längen-Verhältniss der Basis-Kante  $\sigma : \infty$  zur Prismenkante  $\infty : \infty = 1:h$ .

Formeln.

$$\begin{array}{|l|l|l|l|} \hline \cos \mu = \frac{\cos \sigma}{\sin \rho} & a = \text{ctg } m & p_o = \frac{h}{l \sin m} & \text{ rowspan="2">} p_o = \text{tg } \rho (\text{Controle}) \\ \hline \cos m = \frac{\cos \rho}{\sin \sigma} & c = \frac{h}{l \sin m} & q_o = c \sin \mu & \\ \hline \end{array}$$

Schema.

1	2	3	4	5	6
$\sigma$	$\lg \sin \sigma$	$\lg \cos \sigma$	$31-22$ $= \lg \mu$	$\lg \sin \mu$	$\mu$
$\rho$	$\lg \sin \rho$	$\lg \cos \rho$	$\lg \text{tg } \rho$ $= 53-52$	$51+54$ $= \lg q_o$	$q_o$
$h$	$\lg h$	$32-21$ $= \lg \cos m$	$24+33$	$23-43$ $= \lg p_o$	$p_o$
$l$	$\lg l$	$\lg \sin m$	$24+34$	$23-44$ $= \lg c$	$c$
		$\lg \text{ctg } m$ $= \lg a$	Controle in 42		$a$

**Hexagonales System. Holoeidrisch.** Gegeben für das primäre Prisma  $m$  das Verhältniss der Seite zur Höhe  $= 1:h$ , so berechnet sich:

$$c_{10} = \frac{h}{l} \quad p_o = \frac{h}{l} \sqrt{\frac{4}{3}}$$

**Hexagonales System. Rhomboedrisch hemiedrisch.** Gegeben der Rhomboeder-Winkel. Hier gilt das Seite 69 über die gleiche Berechnung aus Des Cloizeaux's Angaben Gesagte.

Tabelle I.

## Hexagonales System.

Bestimmung des verticalen Parameters  $c_p = c$  für Pyramiden (Rhomboeder) der Hauptreihe po  
aus deren Neigung  $\hat{\alpha}$  zur Basis.

$$c = \frac{1}{\sqrt{3}} \cdot \frac{a}{\sin \hat{\alpha}}$$

$\hat{\alpha}$	c	$\hat{\alpha}$	c	$\hat{\alpha}$	c	$\hat{\alpha}$	c	$\hat{\alpha}$	c	$\hat{\alpha}$	c
0°	0	25°	0.4038	30°	0.5000	35°	0.6004	40°	0.7267	45°	0.8660
1	0.0151	10	0.4069	10	0.5033	10	0.6102	10	0.7310	10	0.8711
2	0.0302	20	0.4100	20	0.5067	20	0.6130	20	0.7353	20	0.8762
3	0.0454	30	0.4131	30	0.5101	30	0.6177	30	0.7396	30	0.8813
4	0.0606	40	0.4162	40	0.5135	40	0.6215	40	0.7440	40	0.8864
5	0.0758	50	0.4193	50	0.5170	50	0.6254	50	0.7484	50	0.8916
6	0.0910	26	0.4224	31	0.5204	36	0.6292	41	0.7528	46	0.8968
7	0.1063	10	0.4255	10	0.5238	10	0.6330	10	0.7572	10	0.9020
8	0.1217	20	0.4286	20	0.5273	20	0.6369	20	0.7617	20	0.9073
9	0.1371	30	0.4318	30	0.5307	30	0.6408	30	0.7662	30	0.9126
10	0.1527	40	0.4349	40	0.5342	40	0.6447	40	0.7707	40	0.9179
11	0.1683	50	0.4381	50	0.5377	50	0.6486	50	0.7752	50	0.9233
12	0.1840	27	0.4413	32	0.5412	37	0.6526	42	0.7798	47	0.9287
13	0.1999	10	0.4445	10	0.5447	10	0.6565	10	0.7843	10	0.9341
14	0.2159	20	0.4477	20	0.5482	20	0.6605	20	0.7889	20	0.9396
15	0.2320	30	0.4508	30	0.5517	30	0.6645	30	0.7935	30	0.9451
16	0.2483	40	0.4540	40	0.5553	40	0.6685	40	0.7982	40	0.9506
17	0.2648	50	0.4572	50	0.5588	50	0.6725	50	0.8029	50	0.9562
18	0.2814	28	0.4605	33	0.5624	38	0.6766	43	0.8076	48	0.9618
19	0.2982	10	0.4637	10	0.5660	10	0.6807	10	0.8123	10	0.9674
20	0.3152	20	0.4669	20	0.5696	20	0.6848	20	0.8170	20	0.9731
21	0.3324	30	0.4702	30	0.5732	30	0.6889	30	0.8218	30	0.9788
22	0.3499	40	0.4735	40	0.5768	40	0.6930	40	0.8266	40	0.9846
23	0.3676	50	0.4768	50	0.5804	50	0.6971	50	0.8314	50	0.9904
24	0.3856	29	0.4800	34	0.5841	39	0.7013	44	0.8363	49	0.9962
10	0.3886	10	0.4833	10	0.5878	10	0.7055	10	0.8412	10	1.0021
20	0.3916	20	0.4867	20	0.5915	20	0.7097	20	0.8461	20	1.0080
30	0.3947	30	0.4900	30	0.5952	30	0.7139	30	0.8510	30	1.0140
40	0.3977	40	0.4933	40	0.5989	40	0.7181	40	0.8560	40	1.0200
50	0.4008	50	0.4966	50	0.6026	50	0.7224	50	0.8610	50	1.0260

Tabelle I. (Fortsetzung.)

$\delta$	c	$\delta$	c	$\delta$	c	$\delta$	c	$\delta$	c	$\delta$	c
50° 0'	1-0321 61	56° 0'	1-2839 81	62° 0'	1-6288 115	68° 0'	2-1434 182	74° 0'	3-0201 335	80° 0'	4-9114 850
10	1-0382 62	10	1-2920 82	10	1-6403 116	10	2-1616 183	10	3-0536 342	10	4-9964 878
20	1-0444 62	20	1-3002 82	20	1-6519 117	20	2-1799 186	20	3-0878 350	20	5-0842 909
30	1-0506 62	30	1-3084 83	30	1-6636 118	30	2-1985 189	30	3-1228 356	30	5-1751 941
40	1-0568 63	40	1-3167 84	40	1-6755 120	40	2-2174 192	40	3-1584 364	40	5-2602 976
50	1-0631 63	50	1-3251 84	50	1-6875 122	50	2-2366 194	50	3-1948 372	50	5-3668 101-
51 0	1-0694 64	57 0	1-3335 86	63 0	1-6997 123	69 0	2-2560 198	75 0	3-2320 381	81 0	5-468- 105-
10	1-0758 64	10	1-3421 86	10	1-7120 124	10	2-2758 201	10	3-2701 388	10	5-573- 109-
20	1-0822 65	20	1-3507 87	20	1-7244 126	20	2-2959 204	20	3-3089 397	20	5-682- 113-
30	1-0887 65	30	1-3594 87	30	1-7370 127	30	2-3163 207	30	3-3486 407	30	5-7952 117-
40	1-0952 66	40	1-3681 89	40	1-7497 129	40	2-3370 210	40	3-3893 416	40	5-912- 123-
50	1-1018 66	50	1-3770 89	50	1-7626 130	50	2-3580 213	50	3-4309 425	50	6-035- 127-
52 0	1-1084 67	58 0	1-3859 91	64 0	1-7756 132	70 0	2-3793 218	76 0	3-4734 436	82 0	6-162- 133-
10	1-1151 68	10	1-3950 90	10	1-7888 134	10	2-4011 221	10	3-5170 446	10	6-295- 138-
20	1-1219 67	20	1-4040 91	20	1-8022 135	20	2-4232 223	20	3-5616 456	20	6-433- 146-
30	1-1286 68	30	1-4132 93	30	1-8157 136	30	2-4455 228	30	3-6072 468	30	6-578- 151-
40	1-1354 69	40	1-4225 94	40	1-8293 139	40	2-4683 232	40	3-6540 480	40	6-729- 158-
50	1-1423 70	50	1-4319 94	50	1-8432 140	50	2-4915 236	50	3-7020 492	50	6-887- 164-
53 0	1-1493 70	59 0	1-4413 95	65 0	1-8572 142	71 0	2-5151 240	77 0	3-7512 503	83 0	7-053- 174-
10	1-1563 70	10	1-4508 97	10	1-8714 144	10	2-5391 244	10	3-8015 518	10	7-227- 182-
20	1-1633 71	20	1-4605 97	20	1-8858 145	20	2-5635 248	20	3-8533 531	20	7-409- 192-
30	1-1704 71	30	1-4702 99	30	1-9003 147	30	2-5883 250	30	3-9064 543	30	7-601- 202-
40	1-1775 72	40	1-4801 99	40	1-9150 150	40	2-6135 257	40	3-9600 559	40	7-803- 212-
50	1-1847 73	50	1-4900 100	50	1-9300 151	50	2-6392 261	50	4-0168 576	50	8-015- 223-
54 0	1-1920 73	60 0	1-5000 101	66 0	1-9451 153	72 0	2-6653 267	78 0	4-0744 590	84 0	8-240- 237-
10	1-1993 74	10	1-5101 103	10	1-9604 156	10	2-6920 270	10	4-1334 607	10	8-477- 251-
20	1-2067 74	20	1-5204 103	20	1-9760 158	20	2-7190 276	20	4-1941 626	20	8-728- 266-
30	1-2141 75	30	1-5307 104	30	1-9918 159	30	2-7466 281	30	4-2567 643	30	8-994- 283-
40	1-2216 76	40	1-5411 106	40	2-0077 162	40	2-7747 287	40	4-3210 661	40	9-277- 301-
50	1-2292 76	50	1-5517 107	50	2-0239 163	50	2-8034 292	50	4-3871 682	50	9-578- 32-
55 0	1-2368 77	61 0	1-5624 107	67 0	2-0402 167	73 0	2-8326 298	79 0	4-4553 702	85 0	9-90- 34-
10	1-2445 77	10	1-5731 109	10	2-0569 168	10	2-8624 303	10	4-5255 725	10	10-24- 37-
20	1-2522 79	20	1-5840 110	20	2-0737 171	20	2-8927 310	20	4-5980 746	20	10-61- 39-
30	1-2601 79	30	1-5950 111	30	2-0908 173	30	2-9237 315	30	4-6726 771	30	11-00- 43-
40	1-2680 79	40	1-6061 113	40	2-1081 175	40	2-9552 322	40	4-7497 795	40	11-43- 46-
50	1-2759 80	50	1-6174 114	50	2-1256 178	50	2-9874 327	50	4-8292 822	50	11-89- 49-

Tabelle I. (Fortsetzung.)

$\delta$	c	$\delta$	c	$\delta$	c	$\delta$	c
86° 0'	12.38— 54—	87° 0'	16.52— 98—	88° 0'	24.80— 2 26—	89° 0'	49.6— 9 9—
10	12.92— 59—	10	17.50— 1 09—	10	27.06— 2 70—	10	59.5— 14 9—
20	13.51— 65—	20	18.59— 1 23—	20	29.76— 3 31—	20	74.4— 24 8—
30	14.16— 71—	30	19.82— 1 43—	30	33.1— 4 1—	30	99.2— 50—
40	14.87— 78—	40	21.25— 1 64—	40	37.2— 5 3—	40	149— 149—
50	15.65— 87—	50	22.89— 1 91—	50	42.5— 7 1—	50	298— —

Tabelle II.

## Hexagonales System.

Bestimmung der Elemente  $c_{10}$  und  $p_0$  aus dem äusseren Rhomboeder-Winkel  $2r$ .

$$p_0 = \sqrt{\frac{4}{3}} c_{10}$$

$2r$	$c_{10}$	$p_0$	$2r$	$c_{10}$	$p_0$	$2r$	$c_{10}$	$p_0$
60° 0'	∞	∞	62° 0'	6.009— 126—	6.939— 145—	67° 0'	3.090— 60—	3.568— 69—
5	30.0— 8 9—	34.6— 10 2—	5	5.883— 117—	6.794— 136—	15	3.030— 57—	3.499— 66—
10	21.1— 3 9—	24.3— 4 4—	10	5.766— 111—	6.658— 129—	30	2.973— 54—	3.433— 63—
15	17.23— 2 32—	19.89— 2 67—	15	5.655— 107—	6.529— 123—	45	2.919— 52—	3.370— 59—
20	14.91— 1 58—	17.22— 1 83—	20	5.548— 99—	6.406— 114—	68 0	2.867— 45—	3.311— 57—
25	13.33— 1 17—	15.39— 1 35—	25	5.449— 96—	6.292— 111—	15	2.818— 47—	3.254— 55—
30	12.16— 1 22—	14.04— 1 06—	30	5.353— 259—	6.181— 299—	30	2.771— 46—	3.199— 50—
35	11.24— 72—	12.97— 82—	45	5.094— 225—	5.882— 259—	45	2.725— 43—	3.149— 52—
40	10.52— 61—	12.15— 70—	63 0	4.860— 200—	5.623— 232—	69 0	2.682— 42—	3.097— 48—
45	9.91— 52—	11.44— 60—	15	4.669— 179—	5.391— 206—	15	2.640— 40—	3.049— 47—
50	9.39— 44—	10.84— 51—	30	4.490— 161—	5.185— 186—	30	2.600— 39—	3.002— 45—
55	8.95— 39—	10.33— 44—	45	4.320— 145—	4.999— 168—	45	2.561— 37—	2.957— 43—
61 0	8.56— 34—	9.88— 39—	64 0	4.184— 134—	4.831— 153—	70 0	2.524— 36—	2.914— 41—
5	8.22— 30—	9.49— 35—	15	4.050— 121—	4.678— 141—	15	2.488— 34—	2.873— 40—
10	7.92— 28—	9.14— 31—	30	3.929— 113—	4.537— 130—	30	2.454— 34—	2.833— 38—
15	7.64— 24—	8.82— 28—	45	3.816— 103—	4.407— 120—	45	2.420— 33—	2.795— 38—
20	7.40— 23—	8.54— 26—	65 0	3.713— 96—	4.287— 112—	71 0	2.387— 31—	2.757— 37—
25	7.17— 205—	8.28— 23—	15	3.617— 90—	4.175— 103—	15	2.356— 31—	2.720— 35—
30	6.965— 192—	8.042— 221—	30	3.527— 85—	4.072— 97—	30	2.325— 29—	2.685— 34—
35	6.773— 175—	7.821— 202—	45	3.442— 79—	3.975— 92—	45	2.296— 29—	2.651— 33—
40	6.598— 163—	7.619— 188—	66 0	3.363— 75—	3.883— 87—	72 0	2.267— 28—	2.618— 32—
45	6.435— 152—	7.431— 176—	15	3.288— 70—	3.796— 80—	15	2.239— 27—	2.586— 31—
50	6.283— 141—	7.255— 163—	30	3.218— 66—	3.716— 76—	30	2.212— 26—	2.555— 30—
55	6.142— 133—	7.092— 153—	45	3.152— 62—	3.640— 72—	45	2.186— 25—	2.525— 30—

1) Von hier an schreiten die Winkel von 15' zu 15' fort.



Tabelle II. (Fortsetzung.)

2r	c <sub>10</sub>	p <sub>0</sub>	2r	c <sub>10</sub>	p <sub>0</sub>	2r	c <sub>10</sub>	p <sub>0</sub>
0'	2.161- 25-	2.495- 29-	82°	0'	1.5388 120	91°	0'	1.1934 77
15	2.136- 24-	2.466- 27-	15	1.5268 119	1.7629 137	15	1.1857 76	1.3780 88
30	2.112- 24-	2.438- 27-	30	1.5149 116	1.7492 135	30	1.1781 74	1.3692 88
45	2.088- 23-	2.411- 27-	45	1.5033 116	1.7357 133	45	1.1707 74	1.3604 86
0	2.065- 22-	2.384- 26-	83	0	1.4917 113	92	0	1.1633 73
15	2.043- 22-	2.358- 25-	15	1.4804 112	1.7224 131	15	1.1560 73	1.3433 85
30	2.021- 22-	2.333- 24-	30	1.4692 110	1.7093 129	30	1.1487 72	1.3348 84
45	1.999- 21-	2.309- 24-	45	1.4582 109	1.6964 127	45	1.1415 71	1.3264 83
0	1.978- 20-	2.285- 24-	84	0	1.4473 107	93	0	1.1344 70
15	1.958- 20-	2.261- 23-	15	1.4366 106	1.6712 124	15	1.1274 70	1.3099 81
30	1.938- 19-	2.238- 22-	30	1.4260 104	1.6588 122	30	1.1204 69	1.3018 81
45	1.919- 19-	2.216- 22-	45	1.4156 103	1.6466 120	45	1.1135 69	1.2937 80
0	1.900- 19-	2.194- 22-	85	0	1.4053 102	94	0	1.1066 68
15	1.881- 18-	2.172- 21-	15	1.3951 100	1.6227 117	15	1.0998 67	1.2778 78
30	1.863- 18-	2.151- 21-	30	1.3851 99	1.6110 116	30	1.0931 67	1.2700 78
45	1.845- 17-	2.130- 20-	45	1.3752 97	1.5994 114	45	1.0864 66	1.2622 77
0	1.828- 17-	2.110- 20-	86	0	1.3655 96	95	0	1.0798 65
15	1.811- 17-	2.090- 19-	15	1.3559 95	1.5768 111	15	1.0733 65	1.2545 76
30	1.794- 17-	2.071- 19-	30	1.3464 94	1.5657 110	30	1.0668 64	1.2393 75
45	1.777- 16-	2.052- 18-	45	1.3370 92	1.5547 108	45	1.0604 64	1.2318 74
0	1.761- 16-	2.034- 19-	87	0	1.3278 91	96	0	1.0540 63
15	1.745- 15-	2.015- 18-	15	1.3187 91	1.5332 105	15	1.0477 63	1.2244 73
30	1.730- 15-	1.997- 17-	30	1.3096 89	1.5227 103	30	1.0414 62	1.2171 73
45	1.715- 15-	1.980- 18-	45	1.3007 89	1.5122 103	45	1.0352 61	1.2098 72
0	1.700- 15-	1.962- 16-	88	0	1.2918 87	97	0	1.0291 61
15	1.685- 14-	1.946- 17-	15	1.2831 87	1.5019 102	15	1.0230 61	1.1954 71
30	1.671- 15-	1.929- 16-	30	1.2744 85	1.4917 101	30	1.0169 60	1.1883 70
45	1.656- 14-	1.913- 17-	45	1.2659 84	1.4816 100	45	1.0109 59	1.1813 69
0	1.642- 14-	1.896- 15-	89	0	1.2575 83	98	0	1.0050 59
15	1.628- 13-	1.881- 16-	15	1.2492 83	1.4521 96	15	0.9991 59	1.1605 68
30	1.615- 13-	1.865- 15-	30	1.2409 81	1.4425 96	30	0.9932 58	1.1537 67
45	1.602- 13-	1.850- 15-	45	1.2328 81	1.4329 94	45	0.9874 57	1.1470 67
0	1.589- 14-	1.835- 15-	90	0	1.2247 80	99	0	0.9817 57
15	1.575- 12-	1.820- 15-	15	1.2167 79	1.4142 92	15	0.9760 57	1.1336 66
30	1.563- 12-	1.805- 14-	30	1.2088 77	1.4050 91	30	0.9703 56	1.1270 65
45	1.551- 12-	1.791- 14-	45	1.2011 77	1.3959 90	45	0.9647 55	1.1205 65

Tabelle II. (Fortsetzung.)

2r	c <sub>10</sub>	p <sub>0</sub>	2r	c <sub>10</sub>	p <sub>0</sub>	2r	c <sub>10</sub>	p <sub>0</sub>
100° 0'	0-9592 <sub>56</sub>	1-1075 <sub>63</sub>	109° 0'	0-7827 <sub>43</sub>	0-9038 <sub>50</sub>	118° 0'	0-6406 <sub>36</sub>	0-7397 <sub>41</sub>
15	0-9536 <sub>55</sub>	1-1012 <sub>63</sub>	15	0-7784 <sub>43</sub>	0-8988 <sub>49</sub>	15	0-6370 <sub>35</sub>	0-7356 <sub>41</sub>
30	0-9481 <sub>54</sub>	1-0949 <sub>63</sub>	30	0-7741 <sub>43</sub>	0-8939 <sub>50</sub>	30	0-6335 <sub>36</sub>	0-7315 <sub>41</sub>
45	0-9427 <sub>54</sub>	1-0886 <sub>63</sub>	45	0-7698 <sub>42</sub>	0-8889 <sub>49</sub>	45	0-6299 <sub>35</sub>	0-7274 <sub>41</sub>
101 0	0-9373 <sub>54</sub>	1-0823 <sub>62</sub>	110 0	0-7656 <sub>43</sub>	0-8840 <sub>49</sub>	119 0	0-6264 <sub>35</sub>	0-7233 <sub>41</sub>
15	0-9319 <sub>53</sub>	1-0761 <sub>62</sub>	15	0-7613 <sub>42</sub>	0-8791 <sub>48</sub>	15	0-6229 <sub>35</sub>	0-7192 <sub>40</sub>
30	0-9266 <sub>53</sub>	1-0699 <sub>61</sub>	30	0-7571 <sub>42</sub>	0-8743 <sub>48</sub>	30	0-6194 <sub>35</sub>	0-7152 <sub>41</sub>
45	0-9213 <sub>52</sub>	1-0638 <sub>60</sub>	45	0-7529 <sub>42</sub>	0-8695 <sub>49</sub>	45	0-6159 <sub>35</sub>	0-7111 <sub>40</sub>
102 0	0-9161 <sub>52</sub>	1-0578 <sub>60</sub>	111 0	0-7487 <sub>41</sub>	0-8646 <sub>48</sub>	120 0	0-6124 <sub>34</sub>	0-7071 <sub>40</sub>
15	0-9109 <sub>52</sub>	1-0518 <sub>60</sub>	15	0-7446 <sub>41</sub>	0-8598 <sub>47</sub>	15	0-6080 <sub>34</sub>	0-7031 <sub>40</sub>
30	0-9057 <sub>51</sub>	1-0458 <sub>59</sub>	30	0-7405 <sub>41</sub>	0-8551 <sub>47</sub>	30	0-6055 <sub>35</sub>	0-6991 <sub>40</sub>
45	0-9006 <sub>51</sub>	1-0399 <sub>59</sub>	45	0-7364 <sub>41</sub>	0-8503 <sub>47</sub>	45	0-6020 <sub>34</sub>	0-6951 <sub>39</sub>
103 0	0-8955 <sub>51</sub>	1-0340 <sub>59</sub>	112 0	0-7323 <sub>41</sub>	0-8456 <sub>47</sub>	121 0	0-5986 <sub>34</sub>	0-6912 <sub>39</sub>
15	0-8904 <sub>50</sub>	1-0281 <sub>58</sub>	15	0-7282 <sub>40</sub>	0-8409 <sub>46</sub>	15	0-5952 <sub>34</sub>	0-6873 <sub>39</sub>
30	0-8854 <sub>50</sub>	1-0223 <sub>58</sub>	30	0-7242 <sub>41</sub>	0-8363 <sub>47</sub>	30	0-5918 <sub>34</sub>	0-6834 <sub>39</sub>
45	0-8804 <sub>50</sub>	1-0165 <sub>57</sub>	45	0-7201 <sub>39</sub>	0-8316 <sub>46</sub>	45	0-5884 <sub>33</sub>	0-6795 <sub>39</sub>
104 0	0-8754 <sub>49</sub>	1-0108 <sub>57</sub>	113 0	0-7162 <sub>40</sub>	0-8270 <sub>46</sub>	122 0	0-5851 <sub>34</sub>	0-6756 <sub>39</sub>
15	0-8705 <sub>49</sub>	1-0051 <sub>56</sub>	15	0-7122 <sub>39</sub>	0-8224 <sub>45</sub>	15	0-5817 <sub>33</sub>	0-6717 <sub>38</sub>
30	0-8656 <sub>49</sub>	0-9995 <sub>56</sub>	30	0-7083 <sub>39</sub>	0-8179 <sub>45</sub>	30	0-5784 <sub>33</sub>	0-6679 <sub>39</sub>
45	0-8607 <sub>48</sub>	0-9939 <sub>56</sub>	45	0-7044 <sub>39</sub>	0-8134 <sub>45</sub>	45	0-5751 <sub>33</sub>	0-6640 <sub>38</sub>
105 0	0-8559 <sub>48</sub>	0-9883 <sub>55</sub>	114 0	0-7005 <sub>39</sub>	0-8089 <sub>45</sub>	123 0	0-5718 <sub>33</sub>	0-6602 <sub>38</sub>
15	0-8511 <sub>48</sub>	0-9828 <sub>55</sub>	15	0-6966 <sub>38</sub>	0-8044 <sub>44</sub>	15	0-5685 <sub>33</sub>	0-6564 <sub>38</sub>
30	0-8463 <sub>47</sub>	0-9773 <sub>55</sub>	30	0-6928 <sub>39</sub>	0-8000 <sub>45</sub>	30	0-5652 <sub>33</sub>	0-6526 <sub>38</sub>
45	0-8416 <sub>47</sub>	0-9718 <sub>54</sub>	45	0-6889 <sub>38</sub>	0-7955 <sub>44</sub>	45	0-5619 <sub>32</sub>	0-6488 <sub>37</sub>
106 0	0-8369 <sub>47</sub>	0-9664 <sub>54</sub>	115 0	0-6851 <sub>38</sub>	0-7911 <sub>44</sub>	124 0	0-5587 <sub>33</sub>	0-6451 <sub>38</sub>
15	0-8322 <sub>46</sub>	0-9610 <sub>54</sub>	15	0-6813 <sub>38</sub>	0-7867 <sub>44</sub>	15	0-5554 <sub>32</sub>	0-6413 <sub>37</sub>
30	0-8276 <sub>46</sub>	0-9556 <sub>53</sub>	30	0-6775 <sub>38</sub>	0-7823 <sub>44</sub>	30	0-5522 <sub>32</sub>	0-6376 <sub>37</sub>
45	0-8230 <sub>46</sub>	0-9503 <sub>53</sub>	45	0-6737 <sub>37</sub>	0-7779 <sub>43</sub>	45	0-5490 <sub>32</sub>	0-6339 <sub>37</sub>
107 0	0-8184 <sub>46</sub>	0-9450 <sub>53</sub>	116 0	0-6700 <sub>37</sub>	0-7736 <sub>43</sub>	125 0	0-5458 <sub>32</sub>	0-6302 <sub>37</sub>
15	0-8138 <sub>46</sub>	0-9397 <sub>52</sub>	15	0-6663 <sub>37</sub>	0-7693 <sub>43</sub>	15	0-5426 <sub>32</sub>	0-6265 <sub>36</sub>
30	0-8092 <sub>46</sub>	0-9345 <sub>52</sub>	30	0-6626 <sub>37</sub>	0-7650 <sub>43</sub>	30	0-5394 <sub>32</sub>	0-6229 <sub>37</sub>
45	0-8046 <sub>44</sub>	0-9293 <sub>51</sub>	45	0-6589 <sub>37</sub>	0-7607 <sub>42</sub>	45	0-5362 <sub>31</sub>	0-6192 <sub>36</sub>
108 0	0-8002 <sub>44</sub>	0-9242 <sub>52</sub>	117 0	0-6552 <sub>37</sub>	0-7565 <sub>42</sub>	126 0	0-5331 <sub>32</sub>	0-6156 <sub>36</sub>
15	0-7958 <sub>44</sub>	0-9190 <sub>51</sub>	15	0-6515 <sub>36</sub>	0-7523 <sub>42</sub>	15	0-5299 <sub>31</sub>	0-6120 <sub>36</sub>
30	0-7914 <sub>44</sub>	0-9139 <sub>51</sub>	30	0-6479 <sub>37</sub>	0-7481 <sub>42</sub>	30	0-5268 <sub>31</sub>	0-6084 <sub>36</sub>
45	0-7870 <sub>43</sub>	0-9088 <sub>50</sub>	45	0-6442 <sub>36</sub>	0-7439 <sub>42</sub>	45	0-5237 <sub>31</sub>	0-6048 <sub>36</sub>

Tabelle II. (Fortsetzung.)

2 r	c <sub>10</sub>	p <sub>0</sub>	2 r	c <sub>10</sub>	p <sub>0</sub>	2 r	c <sub>10</sub>	p <sub>0</sub>
0°	0.5206 31	0.6012 36	136°	0.4155 28	0.4798 32	145°	0.3207 26	0.3703 29
15	0.5175 31	0.5976 36	15	0.4127 27	0.4766 32	15	0.3181 25	0.3674 29
30	0.5144 31	0.5940 36	30	0.4100 28	0.4734 32	30	0.3156 25	0.3645 29
45	0.5113 30	0.5904 35	45	0.4072 27	0.4702 31	45	0.3131 25	0.3616 29
0	0.5083 31	0.5869 35	137	0.4045 27	0.4671 32	146	0.3106 25	0.3587 29
15	0.5052 30	0.5834 35	15	0.4018 27	0.4639 31	147	0.3007 25	0.3472 29
30	0.5022 30	0.5799 35	30	0.3991 27	0.4608 31	148	0.2908 25	0.3357 29
45	0.4992 30	0.5764 35	45	0.3964 27	0.4577 31	149	0.2810 25	0.3244 29
0	0.4962 30	0.5729 35	138	0.3937 27	0.4546 31	150	0.2712 25	0.3132 29
15	0.4932 30	0.5694 34	15	0.3910 27	0.4515 31	151	0.2615 25	0.3020 29
30	0.4902 30	0.5660 35	30	0.3883 27	0.4484 31	152	0.2519 25	0.2909 29
45	0.4872 30	0.5625 34	45	0.3856 27	0.4453 31	153	0.2424 25	0.2799 29
0	0.4842 30	0.5591 35	139	0.3829 27	0.4422 31	154	0.2329 25	0.2689 29
15	0.4812 29	0.5556 34	15	0.3802 26	0.4391 31	155	0.2235 25	0.2581 29
30	0.4783 30	0.5522 34	30	0.3776 27	0.4360 31	156	0.2142 25	0.2473 29
45	0.4753 29	0.5488 34	45	0.3749 26	0.4329 30	157	0.2049 25	0.2366 29
0	0.4724 30	0.5454 34	140	0.3723 27	0.4299 31	158	0.1956 25	0.2259 29
15	0.4694 29	0.5420 33	15	0.3696 26	0.4268 30	159	0.1864 25	0.2153 29
30	0.4665 29	0.5387 34	30	0.3670 26	0.4238 31	160	0.1773 25	0.2047 29
45	0.4636 29	0.5353 33	45	0.3644 26	0.4207 30	161	0.1682 25	0.1942 29
0	0.4607 29	0.5320 34	141	0.3618 26	0.4177 30	162	0.1591 25	0.1837 29
15	0.4578 29	0.5286 33	15	0.3592 26	0.4147 30	163	0.1500 25	0.1732 29
30	0.4549 29	0.5253 33	30	0.3566 26	0.4117 30	164	0.1410 25	0.1628 29
45	0.4520 28	0.5220 33	45	0.3540 26	0.4087 30	165	0.1320 25	0.1525 29
0	0.4492 29	0.5187 33	142	0.3514 26	0.4057 30	166	0.1231 25	0.1422 29
15	0.4463 28	0.5154 33	15	0.3488 26	0.4027 30	167	0.1142 25	0.1319 29
30	0.4435 29	0.5121 33	30	0.3462 26	0.3997 30	168	0.1053 25	0.1216 29
45	0.4406 28	0.5088 32	45	0.3436 26	0.3967 29	169	0.0964 25	0.1114 29
0	0.4378 28	0.5056 33	143	0.3410 26	0.3938 29	170	0.0876 25	0.1012 29
15	0.4350 28	0.5023 32	15	0.3384 25	0.3909 30	171	0.0788 25	0.0910 29
30	0.4322 28	0.4991 33	30	0.3359 26	0.3879 30	172	0.0700 25	0.0808 29
45	0.4294 28	0.4958 32	45	0.3333 25	0.3849 29	173	0.0612 25	0.0706 29
0	0.4266 28	0.4926 32	144	0.3308 26	0.3820 30	174	0.0524 25	0.0605 29
15	0.4238 28	0.4894 32	15	0.3282 25	0.3790 29	175	0.0436 25	0.0504 29
30	0.4210 28	0.4862 32	30	0.3257 25	0.3761 29	176	0.0349 25	0.0403 29
45	0.4182 27	0.4830 32	45	0.3232 25	0.3732 29	177	0.0261 25	0.0302 29
						178	0.0174 25	0.0201 29
						179	0.0087 25	0.0100 29
						180	0 0	0 0



## Berechnung der polaren aus den linearen Elementen.

**Allgemeiner Fall. (Triklines System.)** Die Bedeutung der Buchstaben  $abc$   $a_0 b_0 c_0$   $\alpha \beta \gamma$   $x'_0 y'_0 k$   $d' \delta'$  sowie  $p_0 q_0 r_0$   $\lambda \mu \nu$   $x_0 y_0 h$   $d \delta$  wurde bereits oben S. 15 und S. 18 auseinander gesetzt und es lautet die Aufgabe:

Gegeben  $a$  ( $b=1$ )  $c$ ,  $\alpha \beta \gamma$ .

Gesucht  $p_0 q_0$   $\lambda \mu \nu$ . Daneben:  $d \delta h$   $x_0 y_0$ .

$abc$ ,  $\alpha \beta \gamma$  sind die üblichen Elementar-Angaben.

Im Laufe der Rechnung ergibt sich zur Ergänzung dieser noch  $a_0 b_0$ .

Zum Zweck der Projection und der Analogie in der Berechnung bei polarer und linearer Projection müssen wir, wie oben dargelegt wurde, nicht  $b$ , sondern  $c=1$  setzen, dann erhalten wir  $a_0 b_0$  ( $c_0=1$ ). Die Buchstaben  $abc$  sind für uns in dem derzeit üblichen Sinne der Elementangabe um so weniger festzuhalten, als diese Buchstaben analog  $pq$  für die rationalen Indices in den Symbolen der Flächen ( $ab$ ) und der Kanten (Zonen-Axen) [ $a b$ ] Verwendung gefunden haben. Trotzdem wurden sie hier, wo keine Verwechslung möglich ist, zum Zweck der Rechnung beibehalten, aus dem praktischen Grunde, weil zur Zeit stets diese Elemente angegeben werden und in der Regel die Aufgabe erwächst, aus ihnen das Uebrige abzuleiten, wir also hierdurch den directen Anschluss an das jetzt Uebliche gewinnen;  $a_0 b_0$  aber treten unter den berechneten Werthen auf. Dadurch möge die, so zu sagen lokale, Inconsequenz gerechtfertigt erscheinen, dass wir nicht  $a_0$  und  $b_0$ , sondern  $a$  und  $b$  und zwar in dem für Elementangaben derzeit üblichen Sinn als für die Berechnung gegeben eingeführt haben. Der Unterschied, ob wir von  $a$  ( $b$ )  $c$  oder  $a_0 b_0$  ( $c_0$ ) ausgehen, d. h. ob wir  $b_0$  oder  $c_0=1$  setzen, ist gering. Er trifft weniger die Formeln als die Schemas. Wenn letztere Art der Angabe im Verein mit  $p_0 q_0$  die bisherige verdrängen sollte, so kann später die erforderliche Modification vorgenommen werden. Sie besteht darin, dass wir setzen:

$$a_0 = \frac{a}{c}; \quad b_0 = \frac{b}{c}.$$

**Ableitung der Formeln.** Aus dem allgemeinen Satz

$$p_0 : q_0 : r_0 = \frac{\sin \alpha}{a_0} : \frac{\sin \beta}{b_0} : \frac{\sin \gamma}{c_0}$$

folgt:

für:  $r_0=1$

$$p_0 = \frac{\sin \alpha}{a_0} \cdot \frac{c_0}{\sin \gamma}$$

$$q_0 = \frac{\sin \beta}{b_0} \cdot \frac{c_0}{\sin \gamma}$$

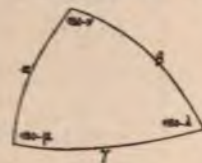


Fig. 52.

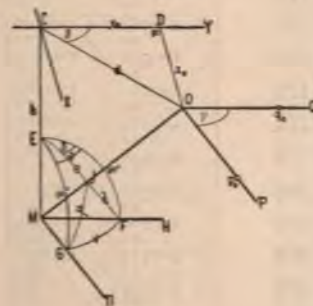


Fig. 53.

In dem körperlichen Eck der Grundform Fig. 52 ist ferner, wenn wir setzen

$$\sigma = \frac{\alpha + \beta + \gamma}{2}$$

$$\sin \frac{\nu}{2} = \sqrt{\frac{\sin \sigma \sin (\sigma - \gamma)}{\sin \alpha \sin \beta}}$$

$$\cos \frac{\nu}{2} = \sqrt{\frac{\sin (\sigma - \alpha) \sin (\sigma - \beta)}{\sin \alpha \sin \beta}} \quad (\text{Controle})$$

Anm. Die Endresultate, die direct zur Berechnung verwendet wurden, sind hier und im Folgenden mit einem Viereck  umzogen worden.



Ferner ist nach dem Sinus-Satz:

$$\frac{\sin \alpha}{\sin \lambda} = \frac{\sin \beta}{\sin \mu} = \frac{\sin \gamma}{\sin \nu}$$

woraus folgt:

$$\begin{aligned} \sin \lambda &= \sin \alpha \frac{\sin \nu}{\sin \gamma} \\ \sin \mu &= \sin \beta \frac{\sin \nu}{\sin \gamma} \end{aligned}$$

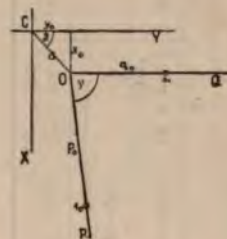


Fig. 54.

Fig. 53 und 54 geben die in der Polar-Projection auftretenden Elemente, erstere Figur in perspektivischer Ansicht, letztere in der Projectionsebene. In der perspektivischen Darstellung (Fig. 53) ist M der Mittelpunkt des Krystalls, C der Scheitelpunkt, O der Projectionspunkt der Basis  $o = (001)$ ;  $MO = r_0 = 1$ ,  $MC = h$  = der Scheitelhöhe = dem Radius des Grundkreises. In der Projectionsebene liegen  $CDOXY PQ$ . Wir legen mit dieser parallel eine Ebene durch M und ziehen darin  $MII \parallel OP$ ;  $MH \parallel OQ$  und legen ferner in das von CM, HM und IM gebildete körperliche Eck das sphärische Dreieck EFG, das in J von dem Strahl MO durchstoßen wird.

Es sei nun in Fig. 53  $EJ = e$  | Ausserdem ist:  $EF = 90^\circ$   $FJ = \lambda$   
 $JEF = \delta$  |  $EG = 90^\circ$   $JG = \mu$   
 $GF = \nu = GEF$ .

In den sphärischen Dreiecken JEF und JEG ist:

$$\begin{aligned} \sin e &= \frac{\cos \lambda}{\cos \delta} \\ \sin e &= \frac{\cos \mu}{\cos (\nu - \delta)} \end{aligned} \quad \left\{ \begin{aligned} \frac{\cos \mu}{\cos \lambda} &= \frac{\cos (\nu - \delta)}{\cos \delta} = \frac{\cos \nu \cos \delta + \sin \nu \sin \delta}{\cos \delta} = \cos \nu + \sin \nu \operatorname{tg} \delta \end{aligned} \right.$$

Daraus folgt:

$$\operatorname{tg} \delta = \frac{\cos \mu}{\cos \lambda \sin \nu} - \operatorname{ctg} \nu$$

Ferner ist:

$$d = r_0 \sin e = r_0 \frac{\cos \lambda}{\cos \delta}$$

$$h = \sqrt{r_0^2 - d^2}$$

Für  $r_0 = 1$ :

$$\begin{aligned} d &= \frac{\cos \lambda}{\cos \delta} = \sin e \\ h &= \sqrt{1 - d^2} = \cos e \end{aligned}$$

Endlich ist:

$$y_0 = d \cos \delta = r_0 \frac{\cos \lambda}{\cos \delta} \cdot \cos \delta$$

$$x_0 = y_0 \operatorname{tg} \delta$$

Für  $r_0 = 1$ :

$$\begin{aligned} y_0 &= \cos \lambda \\ x_0 &= \cos \lambda \operatorname{tg} \delta \end{aligned}$$

Zur gleichzeitigen Berechnung aller Werthe  $p_0 q_0 \lambda \mu \nu$  zugleich mit  $a_0 b_0$  wurde das folgende in sich controlirte Schema aufgestellt und ein zweites für die Werthe  $x_0 y_0 h d \delta$ , die als Hilfselemente der Polar-Projection bezeichnet wurden.<sup>1)</sup>

<sup>1)</sup> Da diese Umrechnungen für den Index für die ganze Reihe der Mineralien geführt werden mussten, wurden die Formulare dazu, die Schema und zugehöriges Rastrum für die Ausrechnung enthielten, für jedes Krystallsystem in einer grösseren Zahl von Exemplaren autographisch hergestellt.

**Triklines System. Polar-Elemente.**

$$\sigma =: \alpha + \beta + \gamma; \quad 15 + 16 + 17 = 14.$$

**Beispiel: Axinit.**

Beispiel: Axinit.										Controle.				
1	2	3	4	5	6	7	8	9	1.	2.	3.	4.	5.	
1	91°49	0-7006	990978	000401	989278	011123	0-7812 a <sub>0</sub>	1-2919 p <sub>0</sub>	0	011123	988877	990287	0-7996	
2	102°38	1	998936	0	999359	000368	0-9770 b <sub>0</sub>	1-0085 q <sub>0</sub>	998958	000368	998590			
3	82°01	1-0235	999577	001009					999599	0	001009	999599	1-0235	

## Triklines System. Hilfs-Elemente der Polar-Projection.

Controle.

1	2	3	4	5	6	7	8
$\lg \sin v$	$\lg \operatorname{ctg} v$	$\operatorname{ctg} v$		$\lg \cos \delta$	$\lg d = 52 - 51$ $= \lg \sin e$	$d$ $= \text{num } 61$	$\frac{71+72}{2}$ $= \lg h$
$\lg \cos \lambda$	$13-23$	$\text{num } 22$	$\delta$	$\lg \cos \lambda$ $= 12$	$y_0$ $= \text{num } 52$	$\lg \cos e$	$h$
$\lg \cos \mu$	$11+12$	$\operatorname{tg} \delta = 32-31$	$\lg \operatorname{tg} \delta =$ $\lg 33$	$52+43$ $= \lg x_0$	$x_0$ $= \text{num } 53$	$h = \text{num } 72$	$\frac{73+74}{2}$ $= \lg x_0$

Bei 31 + 32 ist wohl auf das Vorzeichen + zu achten.

Beispiel: Axinit.

Controle.

1	2	3	4	5	6	7	8
999599	913525	-0.1365		782352	933918	0.2184 $d$	998939
716270	217665	150.19...	89° 37' 1 $\delta$	716270	0.0015 $y_0$	998939	0.9759
933534	715869	150.33...	2.17704	933974	0.2186 $x_0$	0.9759 $h$	933915

Auszug.

$P_0 = 1.2919$	$\lambda = 89^\circ 55.2$	$x_0 = 0.2186$	$d = 0.2184$
$q_0 = 1.0085$	$\mu = 77^\circ 30.0$	$y_0 = 0.0015$	$\delta = 89^\circ 37.1$
$r_0 = 1$	$\nu = 97^\circ 46.5$	$h = 0.9759$	



**Specialfälle: Andere Krystallsysteme.**

Die Specialfälle ergeben sich direkt aus den allgemeinen Formeln des triklinen Systems durch Einsetzung der für die übrigen Systeme geltenden Werthe von  $abc\alpha\beta\gamma$ . Im hexagonalen System sind die Bemerkungen zu berücksichtigen, die für Ableitung der Elemente dieses bei Besprechung der Projection (S. 33—35) gemacht wurden. Folgende kleine Tabelle stellt die einfachen Resultate zusammen und es bedeutet dabei im hexagonalen System  $c_{10}$  resp.  $c_1$  den Werth  $c$  bezogen auf das Symbol 10 resp. 1 derselben Aufstellung, auf die sich  $p_0$  bezieht. Stets ist  $r_0$  und  $c_0 = 1$ .

System.	$p_0$	$q_0$	$a_0$	$b_0$	$\lambda$	$\mu$	$\nu$	$e = \frac{y_0}{x_0 - x'_0} = \frac{y'_0}{y_0}$	$y_0 = y'_0$	$h = k$	$d = -d'$	$\delta$
Monoklin . .	$\frac{c}{a}$	$c \sin \beta$	$\frac{a}{c}$	$\frac{1}{c}$	90	$180 - \beta$	90	$\cos \beta$	0	$\sin \beta$	$\cos \beta$	90
Hexagonal .	$\frac{2}{3} c_1$	$\frac{2}{3} c_1$	$\frac{\sqrt{3}}{c_1}$	$\frac{\sqrt{3}}{c_1}$	90	90	60	0	0	1	0	—
	$\sqrt{\frac{4}{3}} c_{10}$	$\sqrt{\frac{4}{3}} c_{10}$	$\frac{1}{c_{10}}$	$\frac{1}{c_{10}}$	90	90	60	0	0	1	0	—
Rhombisch .	$\frac{c}{a}$	$c$	$\frac{a}{c}$	$\frac{1}{c}$	90	90	90	0	0	1	0	—
Tetragonal .	$c$	$c$	$\frac{1}{c}$	$\frac{1}{c}$	90	90	90	0	0	1	0	—
Regulär . . .	1	1	1	1	90	90	90	0	0	1	0	—

Die Schemas für diese Ausrechnungen sind aus den folgenden Beispielen direkt ersichtlich:

**Monoklines System.** Beispiel: Amphibol.

$a = 0.5318$	$\lg a = 972575$	$\lg a_0 = 025799$ $\lg a - \lg c$	$\lg p_0 = 974201$ $0 - \lg a_0$	$a_0 = 1.8113$	$p_0 = 0.5521$
$c = 0.2936$	$\lg c = 946776$	$\lg b_0 = 053224$ $0 - \lg c$	$\lg q_0 = 945277$ $\lg c + \lg h$	$b_0 = 3.406$	$q_0 = 0.2836$
$\mu = \left. \begin{array}{l} 75^\circ 02' \\ 180 - \beta \end{array} \right\}$	$\lg h = \left. \begin{array}{l} 998501 \\ \lg \sin \mu \end{array} \right\}$	$\lg e = \left. \begin{array}{l} 941205 \\ \lg \cos \mu \end{array} \right\}$	$\lg \frac{p_0}{q_0} = 028924$	$h = 0.9661$	$e = 0.2583$

**Hexagonales System.** Beispiel: Arsen.

$c_1 = 1.4025$	$\lg c_1 = 014690$	$\lg a_0 = 009166$ $023856 - \lg c_1$	$\lg p_0 = 997081$ $982391 + \lg c_1$	$a_0 = 1.2349$	$p_0 = 0.9350$
----------------	--------------------	--	--	----------------	----------------

**Rhombisches System.** Beispiel: Adamin.

$a = 0.6848$	$\lg a = 983556$	$\lg a_0 = 983734$ $\lg a - \lg c$	$\lg p_0 = 016266$ $0 - \lg a_0$	$a_0 = 0.6876$	$p_0 = 1.4543$
$c = 0.9959$	$\lg c = 999822$	$\lg b_0 = 000178$ $0 - \lg c$	$\lg q_0 = 999822$ $0 - \lg b_0$	$b_0 = 1.0041$	$q_0 = 0.9959$

**Tetragonales System.** Beispiel: Anatas.

$\left. \begin{array}{l} c \\ p_0 \end{array} \right\} = 1.7771$	$\lg c = 024971$	$\lg q_0 = 975028$ $0 - \lg c$	$a_0 = 0.5627$
--	------------------	-----------------------------------	----------------



## Berechnung der linearen aus den polaren Elementen.

## Allgemeiner Fall. Triklines System.

Zwischen den Linear- und Polar-Elementen besteht vollkommene Analogie; es lassen sich als Unterlage der Rechnung mit veränderten Buchstaben dieselben Figuren (hier Figg. 55—57), zur Berechnung die analogen Formeln verwenden. Die Aufgabe lautet hier:

Gegeben:  $p_0, q_0$  ( $r_0 = 1$ )  $\lambda, \mu, \nu$ .

Gesucht:  $a_0, b_0$  ( $c_0 = 1$ ),  $\alpha, \beta, \gamma$ ,  $a$  ( $b = 1$ )  $c$ ,  $x_0', y_0', k$ ,  $d', \delta'$ .

Die Ableitung ist dieselbe, wie oben (Seite 70—71) und wir können direct die fertigen Formeln anschreiben:

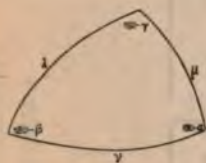


Fig. 55.

$$\text{I. } \begin{aligned} a &= \frac{\sin \lambda}{p_0} \cdot \frac{q_0}{\sin \mu} \\ c &= \frac{\sin \nu}{r_0} \cdot \frac{q_0}{\sin \mu} \end{aligned}$$

$$\text{II. } \begin{aligned} \sin \frac{\alpha}{2} &= \sqrt{\frac{\sin \sigma \sin (\sigma - \lambda)}{\sin \mu \sin \nu}} \\ \sin \frac{\beta}{2} &= \sqrt{\frac{\sin \sigma \sin (\sigma - \mu)}{\sin \nu \sin \lambda}} \\ \sin \frac{\gamma}{2} &= \sqrt{\frac{\sin \sigma \sin (\sigma - \nu)}{\sin \lambda \sin \mu}} \end{aligned}$$

Controle:

$$\begin{aligned} p_0 &= \frac{\sin \alpha}{a} \cdot \frac{c}{\sin \gamma} \\ q_0 &= \frac{\sin \beta}{b} \cdot \frac{c}{\sin \gamma} \end{aligned}$$

$$\begin{aligned} \sin \alpha &= \sin \lambda \frac{\sin \gamma}{\sin \nu} \\ \sin \beta &= \sin \mu \frac{\sin \gamma}{\sin \nu} \end{aligned}$$

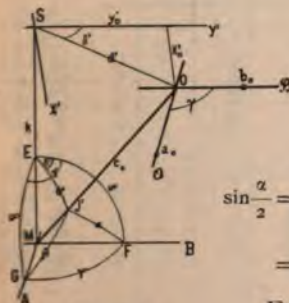


Fig. 56.

I. ergibt sich aus der Fundamentalgleichung:

$$p_0 : q_0 : r_0 = \frac{\sin \lambda}{a_0} : \frac{\sin \mu}{b_0} : \frac{\sin \nu}{c_0} \text{ für } b_0 = 1.$$

II. aus dem sphärischen Dreieck Fig. 55; darin ist:

$$\begin{aligned} \sin \frac{\alpha}{2} &= \sqrt{\frac{-\cos \frac{180 - \lambda + 180 - \mu + 180 - \nu}{2} \cos \frac{180 - \lambda + 180 - \mu + 180 - \nu}{2}}{\sin (180 - \mu) \sin (180 - \nu)}} \\ &= \sqrt{\frac{\sin \sigma \sin (\sigma - \lambda)}{\sin \mu \sin \nu}} \end{aligned}$$

Ferner ist für die Hilfs-Elemente der Linear-Projection:

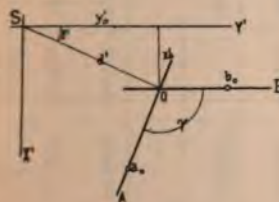


Fig. 57.

$$\operatorname{tg} \delta' = \frac{\cos \beta}{\cos \alpha \sin \gamma} - \operatorname{ctg} \gamma$$

$$\begin{aligned} d' &= \frac{\cos \alpha}{\cos \delta'} = \sin e' \\ k &= \sqrt{1 - d'^2} = \cos e' \end{aligned}$$

$$\begin{aligned} y_0' &= \cos \alpha \\ x_0' &= \cos \alpha \operatorname{tg} \delta' \end{aligned}$$

Die folgenden Seiten geben Schema und Beispiel zur Auswerthung dieser Formeln. Die Angaben für die Specialfälle (die anderen Krystall-systeme) sind in der kleinen Tabelle Seite 82 mitenthalt.

**Berechnung der linearen aus den polaren Elementen.**  
**Triklines System. Linear-Elemente.**

Schema.

1	2	3	4	5	6	7	8	9
$\lambda$	$p_0$	$\lg \sin \lambda$	$\lg p_0$	$31 - 41$	$\lg a_0$ $= 51 - 53$	$\lg a = 61 - 62$ $= 51 - 52$	$a_0$	$a$
$\mu$	$q_0$	$\lg \sin \mu$	$\lg q_0$	$32 - 42$	$\lg b_0$ $= 52 - 53$	$\lg b = 0$	$b_0$	$b = 1$
$\nu$	$r_0 = 1$	$\lg \sin \nu$	$\lg r_0 = 0$	$33 - 43$	$\lg c_0 = 0$	$\lg c = 63 - 62$ $= 53 - 52$	$c_0 = 1$	$c$
$\sigma$	$\lg \sigma$							
$\sigma - \lambda$	$\lg(\sigma - \lambda)$	$24 + 25$	$32 + 33$	$35 - 45$	$\lg \sin \frac{\alpha}{2} = \frac{55}{2}$	$\alpha$		
$\sigma - \mu$	$\lg(\sigma - \mu)$	$24 + 26$	$31 + 33$	$36 - 46$	$\lg \sin \frac{\beta}{2} = \frac{56}{2}$	$\beta$		
$\sigma - \nu$	$\lg(\sigma - \nu)$	$24 + 27$	$31 + 32$	$37 - 47$	$\lg \sin \frac{\gamma}{2} = \frac{57}{2}$	$\gamma$		

Controle.

1.	2.	3.	4.	5.
$\lg \sin \alpha$	$\lg a$	$1.1 - 2.1$	$3.1 - 3.3$ $= \lg p_0$	$p_0$
$\lg \sin \beta$	$\lg b = 0$	$1.2 - 2.2$	$3.2 - 3.3$ $= \lg q_0$	$q_0$
$\lg \sin \gamma$	$\lg c$	$1.3 - 2.3$		

Controle:  $31 - 1.1 = 32 - 1.2 = 33 - 1.3$

$$\sigma = \frac{\lambda + \mu + \nu}{2}; 15 + 16 + 17 = 14.$$

Beispiel: Sassolin.

1	2	3	4	5	6	7	8	9
1 $75^\circ 42'$	0.8882	998633	994851	003782	003783	976081	1.0910	0.5765
2 $87^\circ 26.1$	0.5279	999956	972255	027701	027702	0	1.8924	1
3 $89^\circ 37.9$	1	999999	0	999999	0	972298	1	0.5284
4 $126^\circ 23.0$	990583							
5 $50^\circ 41.0$	988855	979438	999955	979483	989741	$104^\circ 18.0$		
6 $38^\circ 56.9$	979838	970421	998632	971789	985894	$92^\circ 33.0$		
7 $36^\circ 45.1$	977696	968279	998589	969690	984845	$89^\circ 43.8$		

1.	2.	3.	4.	5.
998633	976080	022553	994849	0.8882
999957	0	999957	072253	0.5279
0	972296	027704		





Dadurch, dass  $k = h$  und  $d = -d'$  ist, vereinfacht sich die Berechnung von  $x'_0, y'_0, \delta'$ , nachdem  $d$  und  $\alpha$  gegeben, ebenso die von  $x, y, \delta$ , nachdem  $d$  und  $\lambda$  gegeben ist.

Es ist:  $\cos \delta' = \frac{\cos \alpha}{d}$  ;  $x'_0 = \cos \alpha \operatorname{tg} \delta'$  ;  $y'_0 = \cos \alpha$   
 $\cos \delta = \frac{\cos \lambda}{d}$  ;  $x_0 = \cos \lambda \operatorname{tg} \delta$  ;  $y_0 = \cos \lambda$

Daraus ergibt sich das Schema für die Linear-Projection:

Schema.

1	2	3
$\lg d'$	$\lg \cos \alpha$ $= \lg y'_0$	$y'_0$ num 21
$\lg \cos \delta'$ 21—11	$\lg \operatorname{tg} \delta'$	$\delta'$
	21+22 $\lg x'_0$	num 23 $x'_0$

Controle.

4	5	6	7
$d'$	$d' + y'_0$	$\lg 51$	$\frac{61+62}{2}$
$y'_0$	$d' - y'_0$	$\lg 52$	$x'_0$ = num 71

Beispiel: Axinit.

1	2	3
933918	850108	— 0.0317
916190	083344	81°39.1
	933452	— 0.2160

4	5	6	7
— 0.2184	— 0.2501	93981½	933462
— 0.0317	— 0.1867	927114	— 0.2161

Für die Polar-Projection lautet das Schema ganz analog:

Schema.

1	2	3
$\lg d$	$\lg \cos \lambda$ $= \lg y_0$	num 21 $y_0$
21—11 $\lg \cos \delta$	$\lg \operatorname{tg} \delta$	$\delta$
	21+22 $= \lg x$	num 23 $x_0$

Controle.

4	5	6	7
$d$	$d + y_0$	$\lg 51$	$\frac{61+62}{2}$
$y_0$	$d - y_0$	$\lg 52$	num 71 $= x_0$

Trotz der grösseren Einfachheit ist diese Art der Berechnung nicht vorzuziehen, vielmehr die direkte Berechnung von  $x'_0, y'_0, \delta', d'$   $k$  aus den linearen Elementen, sowie von  $x_0, y_0, \delta, d, h$  aus den polaren Elementen (nach Schema S. 81 resp. 85) vorzunehmen. Der Grund ist der, dass bei der direkten Berechnung schon durch die Art der Abrundung Ungenauigkeiten hereingetragen werden, die besonders stark sind, wenn sich die Winkel in der Nähe von 0 und 90° bewegen, dass ferner die entstandene Ungenauigkeit sich aus der ersten in die zweite Rechnung überträgt und dort unter Umständen störend auftritt. Umgekehrt gehen die auf beiden Wegen berechneten gleichen Werthe  $h = k$  sowie  $d = -d'$  eine willkommene Controle. Gegenüber diesen Vortheilen kommt die etwas complicirtere Rechnung nicht in Betracht.



### Transformation.

Unter Transformation verstehen wir diejenigen Umänderungen, welche durch veränderte Aufstellung des Krystalls an den Symbolen nöthig werden.

Bei der Transformation stehen sich jedesmal zwei Symbole gegenüber, die der gleichen Form zukommen, aber bei verschiedener Aufstellung (A) und (B) des Krystalls und es erwächst die Aufgabe, das eine in das andere überzuführen. Dies kann auf zweierlei Weise geschehen:

1. Durch eine direkte Rechnungsvorschrift, die angiebt, welche Operation auszuführen sei, um aus dem Symbol (A) das Symbol (B) zu erhalten. Eine solche nennen wir Transformations-Symbol.
2. Durch Gleichungen, die angeben, welche Gleichheitsbeziehungen zwischen den Grössen  $pq$  der Aufstellungen (A) und (B) bestehen. Solche nennen wir Transformations-Gleichungen.

Transformations-Gleichungen sind gegenseitig für die durch sie verknüpften Theile, Transformations-Symbole nur einseitig, d. h. man kann mit demselben Transformations-Symbol nur (A) in (B) umwandeln, nicht zugleich umgekehrt (B) in (A). Um letzteres zu können, brauchen wir ein weiteres Symbol, das mit dem ersteren in der Beziehung der Gegenseitigkeit steht. Wir wollen es das reciproke Transformations-Symbol oder kurz Gegensymbol nennen. Im Anschluss an die Aenderung der Aufstellung und an die Transformation der Symbole ist eine entsprechende Veränderung der Elemente durchzuführen, um alle Angaben wieder in Einklang zu bringen.

Das Transformations-Symbol giebt also an, welche Rechnungen mit den Werthen  $pq$  einer Aufstellung vorgenommen werden sollen, um die entsprechenden Werthe einer anderen irgendwie definirten Aufstellung zu finden. Die Aufstellung, auf die sich das Symbol bezieht, charakterisiren wir dadurch, dass wir neben  $pq$  in Klammern eine nähere Bestimmung setzen, z. B.:  $pq$  (Rath) ist  $pq$  in der von vom Rath gewählten Aufstellung, oder allgemein  $pq$  (A) im Gegensatz zu  $pq$  (B), wobei A und B im speciellen Fall im Text ihre Erläuterung finden.

Wir schreiben das Transformations-Symbol in Gestalt einer Gleichung, obwohl es keine solche ist, sondern eine Rechnungsvorschrift. Um Ver-

wechselung mit wirklichen Gleichungen zu vermeiden, kann man  $\doteq$  statt = setzen. Also allgemein:

$$pq(A) \doteq f(pq) \cdot F(pq)(B)$$

Ist z. B. beim Chondroit:

$$pq(\text{Des Cloiseaux}) \doteq \frac{2p}{5} \frac{4q}{5} (\text{Rath})$$

so heisst das: um für ein beliebiges Symbol der Des Cloiseaux'schen Aufstellung das entsprechende in der Aufstellung von Rath zu finden, müssen wir bilden  $\frac{2p}{5}$  und  $\frac{4q}{5}$ . Beide nebeneinandergestellt geben das neue Symbol. Also im speciellen Fall:

$$\frac{5}{6} \frac{5}{12} (\text{Des Cloiseaux}) \doteq \frac{1}{3} \frac{1}{3} (\text{Rath}).$$

Statt  $\doteq$  könnte man auch unbedenklich = schreiben, da eine Verwechslung mit den sogleich zu betrachtenden Transformations-Gleichungen nach dem ganzen Aussehen des Symbols nicht vorkommen kann, denn es erscheint als eines und in ihm treten p und q geschlossen auf; Gleichungen müssen dagegen stets zwei zusammengehörige für p und für q dasein.

**Transformations-Gleichungen**, wie solche z. B. von Schrauf (Wien. Sitzb. 1870 62 (2) 716) angegeben werden, sind wirkliche Gleichungen. Wir erhalten sie aus den Transformations-Symbolen, indem wir diese in ihre zwei Theile p und q zerlegen und die Bezeichnung der Aufstellung vertauschen. Es sei z. B. gegeben das Transformations-Symbol:

$$pq(\text{Des Cloiseaux}) \doteq \frac{2p}{5} \frac{4q}{5} (\text{Rath})$$

so sagt dieses dasselbe aus, wie:

$$p = \frac{2p}{5} ; q = \frac{4q}{5}$$

wobei p' q' sich auf die Aufstellung Rath's, p q auf die Des Cloiseaux's beziehen.

In der That besteht, nachdem die Identität von  $\frac{5}{6} \frac{5}{12}$  (Des Cloiseaux) mit  $\frac{1}{3} \frac{1}{3}$  (Rath) nachgewiesen ist, die Beziehung:  $\frac{1}{3} = \frac{2}{5} \times \frac{5}{6} ; \frac{1}{3} = \frac{4}{5} \times \frac{5}{12}$ .

Die Gleichungen sind in der Form wie in der Anwendung zur Transformation der Symbole weitaus schwerfälliger, doch braucht man sie öfters, um die im Transformations-Symbol niedergelegten Beziehungen mathematisch zu verwerthen.

**Reciprokes Transformations Symbol = Gegensymbol.** Das Transformations-Symbol giebt den Weg an, um aus dem Zeichen der Aufstellung (A) das der Aufstellung (B) zu finden. Will ich daraus umgekehrt, nachdem das Transformations-Symbol von (A) in (B) bekannt ist, das Symbol finden, um aus p q (B) p q (A) abzuleiten, so geschieht dies folgendermassen: Ich setze in (B) d. h. auf der rechten Seite des gegebenen Transformations-Symbols

statt  $p q$ , trenne das Symbol in seine zwei Theile und löse diese, als Gleichungen betrachtet, nach  $x$  und  $y$  auf, stelle  $p q (B)$  auf die linke, die  $x$  und  $y$  berechneten, als Funktionen von  $p$  und  $q$  erscheinenden Werthe  $p q (A)$  neben einander auf die rechte Seite.

Nehmen wir wieder obiges Beispiel:

$p q$  (Des Cloizeaux)  $\div \frac{2 p}{5} \frac{4 q}{5}$  (Rath), so ist dies aufzulösen in:

$$p = \frac{2 x}{5} \quad ; \quad q = \frac{4 y}{5}$$

daraus berechnet sich:

$$x = \frac{5 p}{2} \quad ; \quad y = \frac{5 q}{4} \text{ und das gesuchte reciproke Symbol lautet:}$$

$$p q \text{ (Rath)} \div \frac{5}{2} p \frac{5}{4} q \text{ (Des Cloizeaux)}$$

#### Ableitung des Transformations-Symbols. Veränderung der Elemente.

Diese Ableitung kann aus zwei Quellen geschöpft werden:

1. aus bekannten Aenderungen in der Aufstellung, oder
2. aus zwei Reihen ganz oder theilweise unter sich identificirter Symbole.

Nehmen wir von den Aenderungen in der Aufstellung aus, so lässt sich jede Transformation zurückführen auf folgende drei Operationen:

- a. Vertauschung der Axen unter sich
- b. Vergrößerung der Axeneinheiten  $p_0 q_0$  resp.  $a_0 b_0$  oder  $a(b)c$ .
- c. Verlegung der Basis.

Eine weitere, scheinbar selbstständige, Operation ist eine Drehung der horizontal-Axen in ihrer gemeinsamen Ebene. Diese führt sich jedoch zurück auf eine Verlegung der Basis nach Vertauschung der Axen. Trotzdem werden wir einen Specialfall dieser Veränderung besonders betrachten, nämlich den Fall der Vertauschung der Horizontalaxen  $PQ$  mit den Zwischen-Axen, oder, was dasselbe ist, der Axenzonen mit den Haupt-Radialzonen.

#### 1. Ableitung des Transformations-Symbols und der Veränderung der Elemente aus gegebener Aenderung der Aufstellung.

a. **Vertauschung der Axen.** Schreiben wir das Symbol dreizahlig, also  $q r$  statt  $p q$ , so ändern mit Vertauschung zweier Axen, seien diese lineare oder polare, die entsprechenden zwei Zahlen ihre Stelle. Ist z. B. zu vertauschen Axe  $A$  mit  $C$ , also die erste mit der dritten, so wird das Symbol  $q = p q r$  zu  $r q p = \frac{r}{p} \frac{q}{p}$ . Oder ist zu vertauschen die  $P$ -Axe mit der  $Q$ -Axe, also die erste mit der zweiten, so wird das Symbol  $p q = p q r$  zu  $p r = q p$ . Im triklinen System, sowie bei Transformation der Symbole von Einzelflächen, muss dabei Rücksicht auf das Vorzeichen genommen werden. Bei der Ableitung aus identificirten Symbolen findet dies von selbst Berücksichtigung, im Fall der Ableitung aus einer vorgesetzten Vertauschung



der Axen bedarf die Einführung richtiger Vorzeichen einer besonderen Ueberlegung. In gleicher Weise wie  $p\ q\ r$  verändern die Elemente  $p_0\ q_0\ r$  ihre Stellungen, ebenso  $a\ b\ c\ a_0\ b_0\ c_0\ \alpha\ \beta\ \gamma\ \lambda\ \mu\ \nu$ .

**b. Vergrößerung der Axen-Einheiten.** Wir wollen darunter speciell die Vergrößerung von  $p_0\ q_0$  verstehen und ferner  $\xi\ \eta$  die Vergrößerungs-Coefficienten nennen in dem Sinne, dass, wenn wir die Einheiten der neuen Aufstellung mit  $p'_0\ q'_0$  bezeichnen,

$$p'_0 = \xi p_0 \quad ; \quad p_0 = \frac{1}{\xi} p'_0$$

$$q'_0 = \eta q_0 \quad ; \quad q_0 = \frac{1}{\eta} q'_0$$

$\xi$  und  $\eta$  können  $> 1$  oder  $< 1$  sein, d. h. wir verwenden das Wort „Vergrößerung“ zugleich für Verkleinerung statt des schwerfälligen Wortes Grössenveränderung, das vielleicht correcter wäre. Bei einer Vergrößerung der Einheiten verändert sich nichts als der relative Massstab in den Axenrichtungen.

Schreiben wir das Symbol mit Berücksichtigung der Einheiten, so ist:

$$p p_0 \cdot q q_0 = \frac{1}{\xi} p p'_0 \cdot \frac{1}{\eta} q q'_0$$

Bezeichnen wir die erste Aufstellung mit (A) die zweite mit (B), so bringt danach die Einführung der vergrösserten Einheiten  $p'_0\ q'_0$  an Stelle von  $p_0\ q_0$  die folgende Transformation mit sich:

$$p\ q\ (A) \div \frac{1}{\xi} p \cdot \frac{1}{\eta} q\ (B)$$

Die linearen Elemente  $a_0\ b_0\ c_0$  dagegen wachsen proportional mit  $p\ q\ r$ , umgekehrt proportional mit  $p_0\ q_0\ r_0$  und  $a\ b\ c$ . Wird demnach  $p$  verdoppelt, so verdoppelt sich auch  $a_0$  und halbirt sich  $a$  und  $p_0$ .

**c. Verlegung der Basis.** Eine Verlegung der Basis (o) ist nur möglich

im triklinen und monoklinen System. Wir betrachten den allgemeinen Fall des triklinen Systems, nennen wieder die erste Aufstellung (A), die zweite (B) und bezeichnen Alles, was sich auf die zweite Aufstellung bezieht mit dem Index ('), diesen setzen wir ausnahmsweise bei  $'x_0\ 'y_0\ 'z_0$  auf die linke Seite zum Unterschied von  $x_0\ y_0\ z_0$  der Linear-Projection. Da diese ersteren nur lokale Rechnungswerthe sind und eine Verwechslung nicht möglich ist, möge dies gestattet sein.

Wir nehmen den Fall an, dass im Projectionsbild alles Andere unverändert geblieben, nur der Mittelpunkt  $O$  nach  $O'$  verlegt sei. Es sei das alte Zeichen für  $O' = fg$ , also dessen Coordinaten  $f p_0$  und  $g q_0$ . Seine neuen rechtwinkligen Coordinaten vom Scheitelpunkt  $C$  aus gezählt seien  $'x_0\ 'y_0$ .

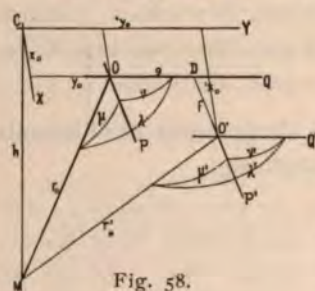


Fig. 58.

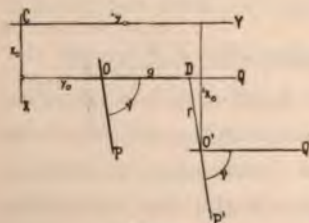


Fig. 59.



Als neue Einheit tritt jetzt auf  $MO' = r'_0 = 1$  statt  $MO = r_0$  (Fig. 58) und es ist:

$$r'_0 = \sqrt{{x'_0}^2 + {y'_0}^2 + h^2}$$

Indem nun  $p_0, q_0$  in neuem Maass gemessen werden, werden sie zu  $p'_0, q'_0$ , mit den Vergrößerungen:

$$\xi = \eta = \frac{1}{r'_0} = \frac{1}{\sqrt{{x'_0}^2 + {y'_0}^2 + h^2}}$$

und es berechnet sich:

$$p'_0 = \frac{p_0}{r'_0} = \frac{p_0}{\sqrt{{x'_0}^2 + {y'_0}^2 + h^2}}; \quad q'_0 = \frac{q_0}{r'_0} = \frac{q_0}{\sqrt{{x'_0}^2 + {y'_0}^2 + h^2}}$$

Es ist dann ferner:

$${x'_0} = (x_0 + f \sin v) \frac{1}{r'_0}$$

$${y'_0} = (y_0 + g + f \cos v) \frac{1}{r'_0}$$

Ausserdem ist, wie bei der Berechnung der polaren Hilfselemente (S. 71) abgeleitet wurde:

$$\begin{aligned} \cos \lambda' &= {y'_0} \\ \cos \mu' &= {y'_0} \cos v + {x'_0} \sin v \\ v' &= v \end{aligned}$$

$\cos \mu'$  leitet sich folgendermassen ab:

$$\begin{aligned} \cos \mu' &= \frac{\cos \lambda' \cos (v - \lambda'_0)}{\cos \lambda'_0} = \frac{\cos \lambda' (\cos v \cos \lambda'_0 + \sin v \sin \lambda'_0)}{\cos \lambda'_0} \\ &= \cos \lambda' (\cos v + \sin v \operatorname{tg} \lambda'_0) = {y'_0} (\cos v + \sin v \frac{{x'_0}}{{y'_0}}) \\ &= {y'_0} \cos v + {x'_0} \sin v. \end{aligned}$$

Das **Transformations-Symbol** lautet in diesem Fall der Verlegung der Basis:

$$p, q (A) = (p-f) (q-g) (B)$$

Hierzu kann noch treten eine Vergrößerung  $\xi', \eta'$  in dem Ausmaass der Einheiten  $p_0, q_0$ , so dass:

$$p'_0 = \frac{\xi' p_0}{\sqrt{{x'_0}^2 + {y'_0}^2 + h^2}} \quad q'_0 = \frac{\eta' q_0}{\sqrt{{x'_0}^2 + {y'_0}^2 + h^2}}$$

wird. Die Gesamtvergrößerungen von  $p_0$  und  $q_0$ , die nun  $= \xi, \eta$  gesetzt werden mögen, berechnen sich dann zu:

$$\xi = \frac{p'_0}{p_0} = \frac{\xi'}{\sqrt{{x'_0}^2 + {y'_0}^2 + h^2}}; \quad \eta = \frac{q'_0}{q_0} = \frac{\eta'}{\sqrt{{x'_0}^2 + {y'_0}^2 + h^2}}$$

## Ad 2. Ableitung des Transformations-Symbols aus der Identification von Symbolen beider Aufstellungen (A) und (B).

Nachdem man eine Anzahl Symbole identificirt und nebeneinander gestellt hat, ergiebt sich in der Regel die Transformation schon beim vergleichenden Anblick beider Reihen einfach als Vertauschung der Axen oder Vergrößerung. Eine Verlegung der Basis ist im triklinen und monoklinen System allerdings ebenfalls häufig. Sieht man die Transformation

nicht unmittelbar, so empfiehlt es sich, folgendermassen zu verfahren. Man transformirt die eine Reihe (A) in eine andere (C) in der Weise, dass in den beiden Aufstellungen (B) und (C) dieselben Flächen als  $0\infty$  und  $\infty 0$  erscheinen. Dies gelingt in der Regel sehr einfach, manchmal ist jedoch dazu ein etwas complicirteres Verfahren nöthig, das an einem Beispiel ausgeführt werden soll, das zeigen möge, in welcher Weise man vorgeht und zugleich darthue, dass die verlangte Aenderung stets ausführbar ist; d. h., dass man stets zwei beliebige Symbole in  $0\infty$  und  $\infty 0$  verwandeln kann.

Es sei beispielsweise die Aufgabe, eine Reihe so zu transformiren, dass 12 zu  $0\infty$ , 34 zu  $\infty 0$  werde. Man kann dies erreichen, indem man der Reihe nach mit den Symbolen 12 und 34 die in der obersten Zeile der folgenden kleinen Tabelle angegebenen Operationen ausführt; in dieser obersten Zeile entwickelt sich so allmählich das endliche Transformations-Symbol:

Die genannten Operationen sind mit beiden Symbolen, 12 und 34, zugleich vorzunehmen und bestehen aus Vertauschungen (unter Heranziehung des dritten nicht angeschriebenen Theils des Symbols,  $r=1$ ), ferner in Multiplicationen mit rationalen Zahlen, entsprechend der Vergrösserung der Einheiten und endlich aus Additionen, entsprechend der Verlegung der Basis. Die beiden letzteren Operationen sind im triklinen System unbeschränkt, im monoklinen beschränkt auf die  $p$ , im hexagonalen und tetragonalen System nur in dem speciellen Fall der Vertauschung der Axen mit den Zwischenaxen anwendbar. Die Veränderungen sind der Reihe nach so zu wählen, dass die beiden Symbole sich zugleich ihrem Ziele nähern, was bei einiger Uebung leicht gelingt. Das folgende Beispiel möge und kann nur dem triklinen System angehören.

$p\ q$ (A)	$(p-1)(q-2)$	$\frac{p-1}{q-2} \frac{1}{q-2}$ <sup>1)</sup> = $x\ y$ gesetzt.	$(x-1)(y-\frac{1}{2})$	$\frac{1}{x-1} \frac{y-\frac{1}{2}}{x-1}$ <sup>2)</sup> (C)
12	0	$0\infty$	$0\infty$	$0\infty$
34	2	$1\frac{1}{2}$	0	$\infty 0$

Das Transformations-Symbol ergibt sich durch Beseitigung der Abkürzung  $x\ y$ , indem deren Werthe in die letzte Rechnungsvorschrift eingesetzt werden.

$$p\ q\ (A) = \frac{1}{x-1} \frac{y-\frac{1}{2}}{x-1} = \frac{1}{\frac{p-1}{q-2} - 1} \cdot \frac{\frac{1}{q-2} - \frac{1}{2}}{\frac{p-1}{q-2} - 1} = \frac{q-2}{p-q+1} \cdot \frac{-q}{2(p-q+1)}\ (C)$$

Nachdem dies gefunden, wendet man das Transformations-Symbol auf noch andere Flächen von (A) an und bringt sie zur Aufstellung (C). In (C) und (B) sind nun  $0\infty$  und  $\infty 0$  zur Deckung gebracht. Man übersieht jetzt in der Regel die noch nöthige Transformation. Eine Drehung ist nicht mehr möglich; es kann nur noch Verlegung der Basis und Vergrösserung anzu-

<sup>1)</sup> Anm: Vertauschung der 2. und 3. Axe.

<sup>2)</sup> „ Vertauschung der 1. und 3. Axe.



enden sein. Ist die Transformation noch nicht zu übersehen, so kann man allgemein nach den sogleich aufzustellenden Ableitungs-Formeln vorgehen.

### Ableitungs-Formeln für das Transformations-Symbol.

Nehmen wir an, dass die beiden aufrechten Pinakoide  $o_{\infty}$  und  $\infty o$  sich schneiden und seien ausserdem zwei Flächen identificirt, nämlich:

$$p_1 q_1 (A) = x_1 y_1 (B)$$

$$p_2 \ q_2 \ (A) = x_2 \ y_2 \ (B)$$

ist unsere Aufgabe, den allgemeinen Werth  $x y$  (B) für eine beliebige Fläche  $p q$  (A) zu finden. Es bezeichnen sich in der Projection (Fig. 6o)  $p q$  auf die Achsen  $P Q$ ,  $x y$  auf  $P' Q'$ . Die Einheiten sind  $p_0 q_0$  für (A),  $p'_0 q'_0$  für (B).

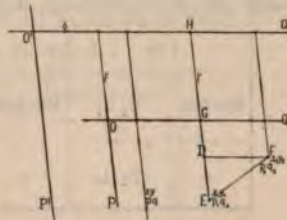


Fig. 60.

Zunächst können wir die Vergrößerungen  $\xi, \eta$  leiten, denen, wie oben S. 90 ausgeführt, die Definition zu Grunde liegt:

$$p'_0 = \xi p_0$$

$$q'_0 = \tau_j q_0$$

er:

$$\xi = \frac{P'_0}{P_0}$$

$$\eta = \frac{q'_0}{q_0}$$

in ist in Fig. 60:

$$D E = (p_1 - p_2) p_0 = (x_1 - x_2) p'_0 \quad D F = (q_2 - q_1) q_0 = (y_2 - y_1) q'_0$$

$$D F = (q_2 - q_1) q_0 = (y_2 - y_1) q'_0$$

Daraus folgt:

$$\xi = \frac{p'_o}{p_o} = \frac{p_1 - p_2}{x_1 - x_2} \quad \eta = \frac{q'_o}{q_o} = \frac{q_1 - q_2}{y_1 - y_2}$$

$$p_o = \frac{x_1 - x_2}{p_1 - p_2} p'_o \qquad q_o = \frac{y_1 - y_2}{q_1 - q_2} q'_o$$

$$q_0 = \frac{y_1 - y_2}{q_1 - q_2} q'_0$$

Nun ist  $x$  auszudrücken durch  $p, p_1, p_2, x_1, x_2$ , entsprechend  $y$  durch  $q_1, q_2, y_1, y_2$ . Es ist, wenn wir die Verschiebung des Koordinaten-Anfangs der  $P$ -Richtung mit  $f$ , die in der  $Q$ -Richtung mit  $g$  bezeichnen (Fig. 60):

$$xp'_0 = pp_0 + f$$

Hierin ist:

$$pp_0 = p \cdot p'_0 \frac{x_1 - x_2}{p_1 - p_2}$$

Es ist aber auch:

$$GH = f = EH - EG = x_1 p'_o - p_1 p_o = p'_o \left[ x_1 - p_1 \frac{x_1 - x_2}{p_1 - p_2} \right] = p'_o \frac{p_1 x_2 - p_2 x_1}{p_1 - p_2}$$

Also

$$x p'_o = p p_o + f = \left[ p \frac{x_1 - x_2}{p_1 - p_2} + \frac{p_1 x_2 - p_2 x_1}{p_1 - p_2} \right] p'_o$$

er

$$x = \frac{p(x_1 - x_2) + p_1 x_2 - p_2 x_1}{p_1 - p_2}$$

Analog ist:

$$y = \frac{q(y_1 - y_2) + q_1 y_2 - q_2 y_1}{q_1 - q_2}$$

Setzen wir in diese Gleichungen im speciellen Fall die Werthe für  $p_1$   
 $x_1 \ x_2 \ q_1 \ q_2 \ y_1 \ y_2$  ein, so bekommen wir  $x$  und  $y$  ausgedrückt durch

p und q, und setzen wir links pq (A), rechts nebeneinander die berechneten Werthe von xy, so haben wir das Transformations-Symbol.

Schema und Beispiel. Die Auswerthung der Formeln für x und y erfolgt bequem nach dem folgenden Schema. In diesem setzen wir zur Abkürzung:

$$\begin{array}{ll} p_1 - p_2 = a & q_1 - q_2 = \alpha \\ x_1 - x_2 = b & y_1 - y_2 = \beta \\ p_1 x_2 - p_2 x_1 = c & q_1 y_2 - q_2 y_1 = \gamma \end{array}$$

Da hier leicht Verwechslungen vorkommen, stellt man sich wohl am besten die Werthe  $p_1 q_1 p_2 q_2 x_1 x_2 y_1 y_2$  in folgender Weise zusammen: (Die Rechnung gilt, wie wir wiederholen, unter der Voraussetzung, dass  $0\infty$  und  $\infty 0$  in beiden Aufstellungen sich decken).

(A)		(B)		Des Cloizeaux		Dana	
Buchst.	$p_1 q_1$	Buchst.	$x_1 y_1$	Beispiel: Axinit.			
"	$p_2 q_2$	"	$x_2 y_2$				

Dann berechnen sich  $x \xi y \eta$  folgendermassen:

Beispiel: Axinit.

$p_1$		$x_1$	$x = \frac{p b + c}{a}$	$\bar{1}$		$\bar{1}$	$x = \frac{p \frac{3}{4} + \frac{5}{4}}{\frac{1}{2}}$
$p_2$		$x_2$	$\xi = \frac{a}{b}$	$\frac{3}{4}$		$\frac{1}{2}$	$= 2p + 1$
$p_1 - p_2 = a$	$p_1 x_2 - p_2 x_1 = c$	$x_1 - x_2 = b$		$\frac{1}{4}$	$\frac{1}{2} - \frac{3}{4} = \frac{1}{4}$	$\frac{1}{2}$	$\xi = \frac{1}{4} : \frac{1}{2} = \frac{1}{2}$
$q_1$		$y_1$	$y = \frac{q \beta + \gamma}{\alpha}$	3		5	$y = \frac{q \frac{3}{4} + \frac{5}{4}}{\frac{1}{2}}$
$q_2$		$y_2$	$\eta = \frac{\alpha}{\beta}$	$\frac{5}{4}$		$\frac{3}{2}$	$= 2q - 1$
$q_1 - q_2 = \alpha$	$q_1 y_2 - q_2 y_1 = \gamma$	$y_1 - y_2 = \beta$		$\frac{7}{4}$	$\frac{9}{2} - \frac{25}{4} = \frac{7}{4}$	$\frac{7}{2}$	$\xi = \frac{7}{4} : \frac{7}{2} = \frac{1}{2}$

Das Transformations-Symbol:

$$pq (A) = xy (B).$$

Daraus das Transformations-Symbol:

$$pq (\text{Des Cloizeaux}) = (2p + 1) (2q - 1) (\text{Dana}).$$

**Beispiel.** Wir wollen ein Beispiel durchführen für den Fall, dass sich  $0\infty$  und  $\infty 0$  von vorn herein in beiden Aufstellungen nicht decken. Rammelsberg giebt (d. Geol. Ges. 1869. 21. 812) für den Euklas zwei Aufstellungen, eine nach Kokscharow und eine eigene. Wir suchen das Symbol zur Transformation der Zeichen Rammelsberg's in die von Kokscharow. Zu dem Ende wollen wir zunächst beide Symbolreihen, sowie sie identificirt sind, nebeneinander stellen.  $0\infty$  fällt, wie dies im monoklinen System nicht anders möglich ist, bereits in beiden Aufstellungen zusammen.

Wir haben nun zunächst die Aufstellung Rammelsberg's so zu transformiren in eine Aufstellung (B), dass M ebenfalls das Symbol  $\infty 0$  erhält, T aber  $0\infty$  bleibt. Das gelingt leicht. Wir bilden zunächst durch Verlegung der Basis  $(p-1) q$ , dadurch wird  $M=0$  und vertauschen die P-



Euklas.

Buch- staben.	Kok.	Ram.	(p-1) q	(B)	
				$\frac{1}{p-1}$	$\frac{q}{p-1}$
o	-12	$\infty$			
f	-13	$\infty \frac{3}{2}$			
d	-1	2 $\infty$			
u	+12	0 1			
i	+14	0 2			
r	+1	0 $\frac{1}{2}$			
v	+1 $\frac{3}{2}$	0 $\frac{1}{3}$			
M	$\infty$ 0	+10	0	$\infty$ 0	
t	0	-10			
g	- $\frac{1}{2}$ 0	-30			
P	-10	$\infty$ 0			
N	$\infty$	+1			
$\beta$	$\infty \frac{3}{2}$	+1 $\frac{3}{2}$			
s	$\infty$ 2	+12			
L	$\infty$ 3	+13			
$\delta$	$\infty \frac{3}{2}$	+1 $\frac{3}{2}$			
e	-23	+3	23	$\frac{1}{2}$ $\frac{3}{2}$	
n	0 1	-1			
o	0 2	-12			
q	0 3	-13			
R	0 4	-14			
H	0 6	-16			
a	- $\frac{1}{2}$	-31	$\frac{1}{4}$ 1	$\frac{1}{4}$ $\frac{1}{4}$	
b	- $\frac{1}{2}$ 2	-34			
c	- $\frac{1}{2}$ $\frac{3}{2}$	-35			
x	- $\frac{1}{2}$ 4	-38			
T	0 $\infty$	0 $\infty$	0 $\infty$	0 $\infty$	

und R-Axe, wodurch wir die Transformation erhalten:

$$1) \ p \ q \text{ (Rammelsberg)} \doteq \frac{1}{p-1} \frac{q}{p-1} (B)$$

Nun wählen wir zwei Formen aus, z. B. e und a, es müssen ternäre Formen (Pyramiden) sein, und verwandeln deren Symbole in (B). Diese als  $p_1 \ q_1 \ p_2 \ q_2$  und die entsprechenden von Kokscharow als  $x_1 \ y_1 \ x_2 \ y_2$  ordnen wir, wie oben angegeben, nämlich:

(B)		Kokscharow	
e	$\frac{1}{2} \ \frac{3}{2}$	e	2 3
a	$\frac{1}{4} \ \frac{1}{4}$	a	$\frac{1}{2} \ \frac{1}{2}$

und gehen mit ihnen in das aufgestellte Schema ein:

$\frac{1}{2}$		2	$x = \frac{p \frac{3}{2} + \frac{1}{2}}{\frac{3}{2}}$
$\frac{1}{4}$	$\frac{1}{4} - \frac{1}{2}$	$\frac{1}{2}$	$= -(2p + 1)$
$\frac{3}{4}$	$= \frac{3}{4}$	$\frac{3}{2}$	
$\frac{3}{2}$		3	$y = \frac{q \frac{5}{2} + 0}{\frac{5}{2}}$
$\frac{1}{4}$	$\frac{3}{4} - \frac{3}{4}$	$\frac{1}{2}$	$= 2q$
$\frac{5}{4}$	$= 0$	$\frac{5}{2}$	

Danach gilt die Transformation:

$$2) \ p \ q \ (B) = -(2p + 1) 2q \text{ (Kokscharow)}$$

Die Verwandlung der Symbole (Rammelsberg) in (B) ist uns bekannt. Es ist:

$$1) \ p \ q \text{ (Rammelsberg)} \doteq \frac{1}{p-1} \frac{q}{p-1} (B)$$

Die Werthe  $\frac{1}{p-1}$  und  $\frac{q}{p-1}$  müssen wir nun statt  $p \ q$  einsetzen in die rechte Seite des zweiten Symbols aus der Ueberlegung, dass dies ein Specialfall für Formel 2 ist, indem für das allgemeine  $p \ q$  nun  $\frac{1}{p-1} \frac{q}{p-1}$  eintritt.

Somit ist:

$$p \ q \text{ (Rammelsberg)} \doteq \frac{1}{p-1} \frac{q}{p-1} (B) \doteq -(2 \frac{1}{p-1} + 1) \cdot 2 \frac{q}{p-1} \text{ (Kokscharow)}$$

oder:

$$p \ q \text{ (Rammelsberg)} \doteq -\frac{p+1}{p-1} \frac{2q}{p-1} \text{ (Kokscharow)}$$

Zur Controle verwandeln wir nun am besten alle Symbole Rammelsbergs in die Kokscharows und prüfen so zugleich das Transformations-Symbol und die Identification.

### Specialfall. Monoklines System. Verlegung der Basis.

Die Verlegung der Basis spielt eine hervorragende Rolle bei den Transformationen des monoklinen Systems. Sie tritt z. B. jedesmal da auf, wo der Versuch gemacht wurde, nahezu rechtwinklige Axen statt anderer zu Grunde zu legen. Wegen dieser Wichtigkeit und der grossen Vereinfachung gegen den allgemeinen Fall des triklinen Systems möge hier die Durchführung der Rechnung im Einzelnen gegeben werden.

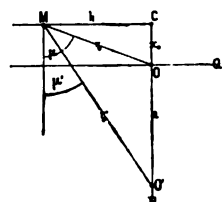


Fig. 61.

Im monoklinen System kann die Basis nur in der Axen-Zone OP ( $0 : \infty$ ) liegen, also auch nur in ihr verschoben werden. Sie sei von O nach dem Punkt O' verlegt worden (Fig. 61), dessen altes Zeichen  $no$  war, so ist:

$$OO' = a = np_o$$

und es gilt das Transformations-Symbol

$$pq_o (A) \rightarrow (p-n) q (B)$$

Tritt, was als Complication allein möglich ist, hierzu eine weitere Vergrösserung und haben wir z. B. das Transformations-Symbol:

$$pq (A) \rightarrow (mp-n) sq (B)$$

so führen wir diesen Fall auf den vorhergehenden zurück, indem wir zuerst die der Vergrösserung entsprechende Umrechnung der Elemente ausführen, nämlich so, dass

$$pq (A) \rightarrow mp \cdot sq (C)$$

wird, wobei die neuen Elemente lauten:

$$p_o (C) = \frac{p_o (A)}{m}; \quad q_o (C) = \frac{q_o (A)}{s}$$

Aus (C) findet man dann (B) nach der Transformation:

$$pq (C) = \left(p - \frac{n}{m}\right) q (B) = (p-n') q (B)$$

wobei also nur noch die Basis zu verlegen ist. Das Transformations-Symbol (C) in (B) hat die oben geforderte Gestalt.

### Veränderung der Elemente auf Grund des Transformations-Symbols.

#### Aufgabe 1.

Gegeben:  $p_o, q_o, \mu$  und das Transformations-Symbol:  $p q (A) = (p-n) q (B)$ .

Gesucht:  $p'_o, q'_o, \mu'$ .

Denken wir uns in Fig. 61, die im Uebrigen das Projectionbild giebt, die sonst nach abwärts durch CO und den Krystallmittelpunkt M gehende Ebene CMO' heraufgeklappt in die Projectionsebene, so ergibt sich unmittelbar:

$$\operatorname{ctg} \mu' = \frac{a + x_o}{h} \quad a = np_o \quad x_o = \cos \mu \quad h = \sin \mu$$

Nun verändert sich  $r_o$  in  $r'_o$ . Wir legen aber das  $r'_o$  als neue Masseinheit zu Grunde, d. h. wir setzen  $r'_o = 1$ . Somit wird, da:

$$p_o = p'_o r'_o; q_o = q'_o r'_o$$

$$r'_o = \frac{h}{\sin \mu'} = \frac{\sin \mu}{\sin \mu'}$$

$$\operatorname{ctg} \mu' = \frac{n p_o + \cos \mu}{\sin \mu}$$

$$p'_o = p_o \frac{\sin \mu'}{\sin \mu}$$

$$q'_o = q_o \frac{\sin \mu'}{\sin \mu}$$

(Hierzu Schema 1 S. 98.)

#### Aufgabe 2.

Gegeben:  $a$  ( $b=1$ )  $c$ ;  $\beta = 180 - \mu$  und das Transformations-Symbol:  $p q (A) = (p-n) q (B)$ . Gesucht:  $a'$  ( $b'=1$ )  $c'$ ;  $\beta' = 180 - \mu'$ .

$$\text{Es ist (vgl. S. 82): } p_o = \frac{c}{a}$$

$$\text{Ebenso: } p'_o = \frac{c'}{a'}$$

$$q_o = c \sin \beta = c \sin \mu$$

$$q'_o = c' \sin \mu'$$

Wir rechnen bequemer mit dem spitzen Winkel  $\mu$ , als mit dem stumpfen  $\beta$ ). Diese Werthe eingesetzt in die obigen Gleichungen für  $\operatorname{ctg} \mu'$   $p'_o$   $q'_o$  giebt:

$$\frac{c'}{a'} = \frac{c}{a} \frac{\sin \mu'}{\sin \mu}$$

$$c' \sin \mu' = c \sin \mu \frac{\sin \mu'}{\sin \mu}$$

$$\operatorname{ctg} \mu' = \frac{n \frac{c}{a} + \cos \mu}{\sin \mu}$$

$$a' = a \frac{\sin \mu}{\sin \mu'}$$

$$c' = c$$

(Hierzu Schema 2 S. 99.)

Die Controlrechnung besteht in der Berechnung der Elemente für die umgekehrte Transformation:

$$p q (B) = (p+n) q (A)$$

für gilt das gleiche Schema.

#### Vorzeichen von $n$ . Die Formel

$$\operatorname{ctg} \mu' = \frac{n p_o + \cos \mu}{\sin \mu} = \frac{n p_o}{\sin \mu} + \operatorname{ctg} \mu$$

ist für den Fall  $p q (A) \div (p-n) q (B)$ . In Formel und Schema tritt daher mit dem Vorzeichen  $+$  auf, wenn es im Transformations-Symbol  $-$  hat. Einen Grund hat dies darin, dass das Transformations-Symbol eben keine Gleichung ist, sondern eine Rechnungsvorschrift. Dass es in der That so sein muss, zeigt die folgende Betrachtung. Für  $p q (A) \div (p-n) q (B)$  ist  $n o (A) = o (B)$ . Soll aber  $+ n o (A)$  zur neuen Basis werden, so rückt der Projections-Mittelpunkt nach vorn. Somit wird  $\mu' < \mu$ . Nun ist in obiger Formel  $\sin \mu$  stets  $+$ , da  $\mu < 180^\circ$ ,  $p_o$  ist eine absolute Grösse ohne Vorzeichen. Somit  $\mu' < \mu$  also  $\operatorname{ctg} \mu' > \operatorname{ctg} \mu$  werde, muss daher  $n > 0$  oder  $= +$  sein.

#### Der Fall

$$p q (A) \div (p+q) q (B)$$

führt sich auf den vorhergehenden, den wir als den allgemeinen betrachten wollen, indem  $p + n = p - \bar{n}$  gesetzt wird. Es tritt also in Formeln, Schema und Beispiel  $\bar{n}$  statt  $n$  auf. In diesem Fall ist bei der Ausrechnung wohl auf das Vorzeichen zu achten. Es ist dann  $\frac{n c}{a}$  negativ (24 in Schema 2) und es kann



vorkommen, dass  $\frac{nc}{a} + \cos \mu$  (22 in Schema 2) und somit  $\text{ctg } \mu^1$  negativ ausfällt. Dann wird  $\mu > 90^\circ$ ; die neue Basis  $O^1$  fällt nach rückwärts. Da dies unserer allgemeinen Aufstellungsweise entgegen ist, so drehen die Aufstellung um  $180^\circ$  um die Verticalaxe, wodurch für das berechnete  $\mu^1$  dessen Supplement eintritt. Dabei ändert  $p q$  sein Zeichen in  $-p q$ . Wir haben also nicht die ursprünglich ins Auge gefasste Transformation:

$$p q (A) \div (p + n) q (B)$$

vorgenommen, da sie in Widerspruch ist mit dem Gebrauch, im monoklinen System die Basis stets nach vorn abfallen zu lassen, sondern die Transformation:

$$p q (A) \div -(p + n) q (B)$$

Bei der Controlrechnung hat diese Drehung den Einfluss, dass das  $n$ , welches sonst  $+$  wäre, nun wieder als  $-$  auftritt.

### Schema und Beispiel:

Schema 1. Gegeben:  $p_0, q_0, \mu$ .

$$p q (A) \div (p - n) q (B)$$

Gesucht:  $p^1, q^1, \mu^1$

1	2	3	4	5	6
$n p_0$	$23-22$ $= \lg \text{ctg } \mu$	$\mu^1$	$\lg p_0$	$41+42$ $= \lg p^1$	$p^1_0$
$\cos \mu$	$\lg \sin \mu$	$\lg \sin \mu^1$	$32-22$	$53-32$ $= 43-22$ $= \lg c^1$	$52-51$ $= \lg a^1$
$11+12$	$\lg 13$		$\lg q_0$	$42+43$ $= \lg q^1$	$q^1_0$

Controle  
in 52.

Beispiel: Gegeben:  $p_0 = 0.5614$   $q_0 = 0.5942$   $\mu = 89^\circ 38'$  (Groth Tab.)  
(Diopsid)  $p q (\text{Groth}) \div (p - \frac{1}{2}) q (\text{Miller, Dana}); n = \frac{1}{2}$ .

Gesucht: die Elemente nach Miller und Dana.

1	2	3	4	5	6
0.2807	945802	73059 $\mu^1$	974929	973211	0.5396 $p^1_0$
0.0064	999999	998281	998282	977395 977394 $= \lg c^1$	001184 $= \lg a^1$
0.2871	945803		977393	975675	0.5711 $q^1_0$

Controle:  $p^1_0 = 0.5397$   $q^1_0 = 0.5711$   $\mu^1 = 73^\circ 59'$  (Miller, Dana).

$p q (\text{Miller, Dana}) \div (p + \frac{1}{2}) q (\text{Groth}); n = -\frac{1}{2}$ .

1	2	3	4	5	6
-0.2698	780252	89° 38 $\mu$	973215	974929	0.5615 $p_0$
0.2759	998281	999999	001718	977394 977394 $= \lg c$	002465 $= \lg a$
0.0061	778533		975675	977393	0.5941 $q_0$

Schema 2. Gegeben:  $a$  ( $b=1$ )  $c$ ;  $\mu = 180 - \beta$ .

$$pq(A) \div (p-n) q(B).$$

Gesucht:  $a'$  ( $b'=1$ ;  $c'=c$ )  $\mu' = 180 - \beta'$ .

1	2	3	4
nc			a
lg nc	23 + 24	lg 22	13 + 33 - 43 = lg a'
lg a	cos $\mu$	lg sin $\mu$	lg sin $\mu'$
12 - 13	num 14	32 - 33 = lg ctg $\mu'$	$\mu'$

1. Beispiel:

Diopsid  $a:b:c = 1.0585:1:0.5942$ ;  $\mu = 89^\circ 38'$   
 $pq(\text{Groth}) \div (p - \frac{1}{2}) q(\text{Gdt})$ ;  $n = \frac{1}{2}$

1	2	3	4
0.2971			1.1012 a'
947290	0.2871	945803	004187
002469	0.0064	999999	998281
944821	0.2807	945804	73° 59' $\mu'$

Controle:

$a':b':c' = 1.1012:1:0.5942$ ;  $\mu' = 73^\circ 59'$   
 $pq(\text{Gdt}) \div (p + \frac{1}{2}) q(\text{Groth})$ ;  $n = -\frac{1}{2}$

1	2	3	4
-0.2971			1.0585 a
947290	0.0061	778888	002469
004187	0.2759	998281	999999
943103	-0.2698	780607	89° 38' $\mu$

2. Beispiel:

Anarit  $a:b:c = 1.7186:1:0.8272$ ;  $\mu = 77^\circ 27'$   
 $pq(\text{Dana}) \div -(p + 1) q(\text{Gdt})$ ;  $n = -1$

1	2	3	4
-0.8272			1.7378 a'
991761	-0.2640	942160	024001
023518	0.2173	998950	998467
968243	-0.4813	943210	180 - 77° 27' $\mu'$

Controle:

$a':b':c' = 1.7378:1:0.8272$ ;  $\mu' = 74^\circ 52'$   
 $pq(\text{Gdt}) \div -(p + 1) q(\text{Dana})$ ;  $n = -1$

1	2	3	4
-0.8272			1.7186 a
991761	-0.2149	933224	023518
024001	0.2610	998467	998950
967760	-0.4760	934757	180 - 77° 27' $\mu$

**Vertauschung der Axen-Zone mit der Haupt-Radialzone.** Dieser Fall kann nur im triklinen, tetragonalen und hexagonalen System vorkommen. Es könnte diese Transformation auch nach dem allgemeinen Verfahren, Vertauschung der Axen und Verlegung der Basis, behandelt werden; doch wäre das umständlich und ausserdem ist der Specialfall in den genannten Systemen so häufig, dass er eine besondere Behandlung verdient.

**Triklines System.** PQ (Fig. 62) seien die alten Axen. An deren Stelle sollen P'Q' zu Axen werden.  $p_0 q_0$  seien die alten Einheiten,  $p'_0 q'_0$  die neuen. Es sei ferner:





### Einiges aus der Krystallberechnung.

Es wurden hier nur die allereinfachsten, gewöhnlichsten Fälle zusammengestellt, aus denen man den directen Uebergang findet von berechneten oder beobachteten Dreieckswinkeln zu den Elementen. Dazu wurde eine neue Zonenformel gefügt, einige wichtige Aufgaben aus den verschiedenen Systemen und endlich die Formeln und Schemata zur Ausrechnung schiefwinkliger Dreiecke. Diese Angaben haben einmal den Zweck, direct zur Verwendung zu kommen, indem sie die Berechnungsart für die häufigsten Fälle, auf die sich viele andere reduciren lassen, geben; andererseits sollen sie zeigen, wie durch die neuen Elemente und Symbole die Formeln und Ausrechnungen wesentlich vereinfacht werden. Diese Vereinfachung beruht zunächst in der Ersetzung der Elementarwinkel  $\alpha \beta \gamma$  durch  $\lambda \mu \nu$  bei der Rechnung mit polaren Symbolen und polarer Projection. Es werden zur Zeit auch vielfach die Werthe  $\lambda \mu \nu$  angegeben unter den Zeichen  $ABC$ , jedoch nur nebenbei. Sie können aber die  $\alpha \beta \gamma$  vollständig ersetzen und, wenn nur eine Angabe gemacht werden soll, verdrängen, so dass man die Winkелеlemente  $\alpha \beta \gamma$  in Verbindung mit den Längenelementen  $a b c$  resp.  $a_0 b_0$  nur dann braucht, wenn man mit linearer Projection und ebenen Winkeln operirt. Die zweite Quelle der Vereinfachung ist die Einführung von zwei Indices  $p q$  resp. von zwei Längen-Elementen  $p_0 q_0$  statt der drei  $h k l$  mit zugehörigen, zu diesen reciprok gestellten Elementen  $a(b)c$ . Der Einwand, dass die Symbole und daraus die Formeln nicht nach drei Richtungen symmetrisch sind, mag begründet sein für allgemeine theoretische Untersuchungen, bei denen die Einseitigkeit und Willkürlichkeit einer bevorzugten Aufstellung entfallen muss. Hier handelt es sich um Fragen der Auffassung und practischen Berechnung, wobei gerade die durch Symbol und Projection fixirte Einseitigkeit der Aufstellung die Anschauung des Ganzen ermöglicht, da wir nicht im Stande sind für eine Reihe von Formen den drei Raumrichtungen zugleich unsere Aufmerksamkeit zu widmen. Wir haben in der Projection eine Abstraction, die unsere Leistungsfähigkeit erhöht. Soll die Projection Grundlage der Rechnung sein, was zweifellos sich allgemein einführen wird, so müssen auch die Elemente der Rechnung die Elemente der Projection sein, und zwar für Linear-Projection lineare Elemente, für Polar-Projection polare Elemente. Der Einwand aus der Symmetrie schwächt sich ausserdem dadurch ab, dass, wenn wir Aufgaben aus dem Raum haben, nicht aus der Projection, wir statt der zweiziffrigen Symbole  $p q$  und der Elemente  $p_0 q_0$  sofort die dreiziffrigen  $p q r$  und  $p_0 q_0 r$  nehmen können und wieder nach Bedarf auf die zweiziffrigen zurückgehen, indem wir den dritten Werth  $r$  resp.  $r_0 = 1$  setzen. So sind wir im Stande die Vortheile beider zugleich auszunützen.

## Berechnung der Elemente aus Messungen.

## Triklines System.

<b>Aufgabe. Gegeben:</b>	$o : o \infty = \lambda$	$o : o1 = \varphi$	<b>Gesucht:</b> $p_o q_o (r_o = 1)$ $a_o b_o (c_o = 1)$ $a c (b = 1)$
	$o : \infty o = \mu$	$o : 1o = \psi$	
	$o \infty : \infty o = \nu$	$o \infty : \infty = \gamma$	

Statt die Aufgabe in dieser Weise zu stellen, könnte man ihr scheinbar eine grössere Allgemeinheit geben, indem man als gegeben setzte  $o : on$  statt  $o : o1$ ;  $o : mo$  statt  $o : 1o$ ;  $o \infty : k \infty$  statt  $o \infty : \infty$ . Dies ist aber nicht wirklich eine wesentliche Verallgemeinerung. Vielmehr ist diese Aufgabe in obiger enthalten. Wir haben nur das vorliegende  $on$ ,  $mo$ ,  $k \infty$  vorläufig als  $o1$ ,  $1o$ ,  $\infty$  zu betrachten, dadurch erhalten wir Elemente  $p_o q_o (r_o)$ , die  $mnk$  mal grösser sind, als wir sie wünschen. Wir haben also nachträglich die Transformation auszuführen:

$$p_o q_o (r_o)(I) = \frac{p_o}{m} \frac{q_o}{n} \frac{r_o}{k} (II) = \frac{k}{m} p_o \cdot \frac{k}{n} q_o (r_o = 1) (II)$$

und obige Aufgabe behält ihre einfache Gestalt.

Fig. 65 ist ein perspektivisches Bild der Normalen auf die Flächen  $o o \infty \infty o 1 1 o \infty$ , die nach oben abgegrenzt sind durch die polare Projections-Ebene, nach unten durch eine Horizontal-Ebene durch den Krystallmittelpunkt M. Eine solche Figur stellt gewissermassen das innere Gerüst der Projection dar und es ist in sehr vielen Fällen von Vortheil für die Rechnung, mit einem solchen Gebilde zu operiren; wir werden dies auch öfters thun. Zum Zweck kurzer Verständigung wollen wir diese Art der Darstellung als **räumliche Projection** bezeichnen, da sie die Vorgänge im Raum darstellt, die der Projection zu Grunde liegen. Das Bild derselben wollen wir **räumliches** oder **perspektivisches Projectionsbild** nennen.

Unsere Rechnungen lehnen in der Regel an die geradlinige Projection und ihr räumliches Bild an. Zur Uebersicht jedoch, besonders dann, wenn Prismenflächen auftreten, leistet das stereographische (resp. cyklographische) Bild die besten Dienste und es empfiehlt sich, ein solches als Handskizze neben der Rechnung zu führen, wie dies auch hier geschieht. Indem wir so mit beiden Bildern operiren, nutzen wir die Vortheile beider für Anschauung und Rechnung zugleich aus.

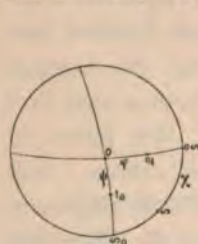


Fig. 64.

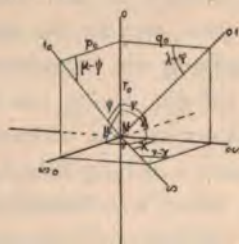


Fig. 65.

Es ist in Fig. 65:

$$\left. \begin{aligned} \frac{q_o}{r_o} &= \frac{\sin \varphi}{\sin (\lambda - \varphi)} = \Phi \\ \frac{p_o}{r_o} &= \frac{\sin \psi}{\sin (\mu - \psi)} = \Psi' \\ \frac{p_o}{q_o} &= \frac{\sin \gamma}{\sin (\nu - \gamma)} = X \end{aligned} \right\} \text{für } r_o = 1 \quad \left[ \begin{array}{l} q_o = \Phi \\ p_o = \Psi' \end{array} \right] \dots I$$

Ferner ist nach dem Fundamentalsatz:

$$p_o : q_o : r_o = \frac{\sin \alpha}{a_o} : \frac{\sin \beta}{b_o} : \frac{\sin \gamma}{c_o} = \frac{\sin \lambda}{a_o} : \frac{\sin \mu}{b_o} : \frac{\sin \nu}{c_o}$$

Aus diesen Formeln folgt:

$\left. \begin{aligned} \frac{p_o}{q_o} &= \frac{\sin \alpha}{a_o} : \frac{\sin \beta}{b_o} = X \\ \frac{p_o}{r_o} &= \frac{\sin \alpha}{a_o} : \frac{\sin \gamma}{c_o} = \Psi' \\ \frac{q_o}{r_o} &= \frac{\sin \beta}{b_o} : \frac{\sin \gamma}{c_o} = \Phi \end{aligned} \right\}$	<div style="border: 1px solid black; padding: 5px; display: inline-block;"> <p>für <math>b_o = 1</math>:</p> <math display="block">a = \frac{1}{X} \frac{\sin \alpha}{\sin \beta} = \frac{1}{X} \frac{\sin \lambda}{\sin \mu} \dots II</math> <math display="block">c = \Phi \frac{\sin \gamma}{\sin \beta} = \Phi \frac{\sin \nu}{\sin \mu}</math> </div>	<div style="border: 1px solid black; padding: 5px; display: inline-block;"> <p>für <math>c_o = 1</math>:</p> <math display="block">a_o = \frac{1}{\Psi'} \frac{\sin \alpha}{\sin \gamma} = \frac{1}{\Psi'} \frac{\sin \lambda}{\sin \nu} \dots III</math> <math display="block">b_o = \frac{1}{\Phi} \frac{\sin \beta}{\sin \gamma} = \frac{1}{\Phi} \frac{\sin \mu}{\sin \nu}</math> </div>
---	--	--



Aus I II III ergibt sich folgendes Schema zur Berechnung der Längen-Einheiten, dem eine Controle beigelegt ist, beruhend auf der Proportion:

$$a : 1 : c = a_0 : b_0 : 1 = \frac{\sin \lambda}{p_0} : \frac{\sin \mu}{q_0} : \frac{\sin \nu}{r_0}$$

$$\text{oder} = \frac{\sin \alpha}{p_0} : \frac{\sin \mu}{q_0} : \frac{\sin \nu}{r_0}$$

Schema:

	2	3	4	5	6	7	8	9	10	11	12	13	14
$\varphi$	$\lambda - \varphi$	$\lg \sin 11$	$\lg \sin 21$	$\lg \sin 31$	$51 - 61 =$ $\lg \Phi = \lg q_0$	$41 - 42$ $= \lg a$	$81 - 73$ $= \lg a$	$41 - 43$ $= \lg a_0$	$10 - 1 - 72$ $= \lg a_0$	num 71 $= q_0$	num 91 $= a$	num 11.1 $= a_0$	
$\psi$	$\mu - \psi$	$\lg \sin 12$	$\lg \sin 22$	$\lg \sin 32$	$52 - 62 =$ $\lg \Psi = \lg p_0$	—	—	$42 - 43$ $= \lg b_0$	$10 - 2 - 71$ $= \lg b_0$	num 81 $= p_0$	1	num 11.2 $= b_0$	
$\chi$	$\nu - \chi$	$\lg \sin 13$	$\lg \sin 23$	$\lg \sin 33$	$53 - 63 =$ $\lg X = \lg \frac{p_0}{q_0}$	$43 - 42$ $= \lg c$	$83 - 71$ $= \lg c$	—	—	1	num 93 $= c$	1	

Controle:  $73 = 72 - 71$

Controle:

1	2	3	4	5	6
$\lg a$	$\lg a_0$	$\lg \sin \lambda$	$\lg p_0$	$31 - 41$	$11 - 12 = 21 - 22$ $= 51 - 52$
o	$\lg b_0$	$\lg \sin \mu$	$\lg q_0$	$32 - 42$	$11 - 13 = 21 - 23$ $= 51 - 53$
$\lg c$	o	$\lg \sin \nu$	o	$33 - 43$	$12 - 13 = 22 - 23$ $= 52 - 53$

Beispiel: Axinit; (Fig. 66) Miller Min. 1852. 348

$$\begin{array}{lll} \lambda = m p & \varphi = m r & \lambda - \varphi = r p \\ \mu = m v & \psi = m y & \mu - \psi = v y \\ \nu = v p & \chi = u p & \nu - \chi = v u \end{array}$$

1	2	3	4	5	6	7	8	9	10	11	12	13	14
$80^\circ 55'$	$44^\circ 43'$	$45^\circ 12'$	o	984733	985100	999633	000400	989283	001042	990287	o. 99160	o. 7813	o. 7996
$27^\circ 46'$	$56^\circ 55'$	$40^\circ 51'$	999600	992318	981563	010755	—	—	000642	001009	1. 2810	1	1. 0235
$77^\circ 30'$	$44^\circ 35'$	$32^\circ 55'$	998958	984630	973513	011117	999358	998991	—	—	1	o. 9770	1
												c	

Controle:

1	2	3	4	5	6
989282	970287	o	010755	989245	989282 989278 989278
o	001009	999600	999633	999969	990293 990287 990287
998989	o	998958	o	998958	001011 001009 001011



Fig. 66.

Die Differenzen in der Controle beruhen auf der Abrundung auf ganze Minuten der im Uebrigen unter sich ausgeglichenen Werthe.  $\lambda \mu \nu$ ,  $\varphi \psi \chi$ , in deren gemeinsamer Verwendung eine Ueberbestimmung liegt.



## Monoklines System.

I. Aufgabe: Gegeben:  $\varphi = 0 : 01$     Gesucht:  $p_o q_o (r_o = 1)$   
 $\psi = 0 : 10$      $a_o b_o (c_o = 1)$   
 $\chi = \infty : 00$      $a c (b = 1)$   
 $\mu = 0 : \infty 0$

Die Elemente im monoklinen System lassen sich nach demselben Schema berechnen, wie im triklinen. Doch kann die durch den rechten Winkel eintretende Vereinfachung benutzt werden, was sich umsomehr empfehlen dürfte, da das monokline System so viel häufiger vorkommt, als das triklone.

Nehmen wir dieselben Bezeichnungen wie im triklinen System, so ist (Fig. 67):

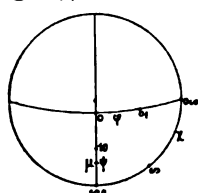


Fig. 67.

$$\left. \begin{array}{l} q_o = \operatorname{tg} \varphi \\ r_o = \frac{\sin \psi}{\sin (\mu - \psi)} \\ \frac{p_o}{q_o} = \operatorname{tg} \chi \end{array} \right\} \dots \text{I.}$$

Daher auch:

$$p_o = \operatorname{tg} \varphi \operatorname{tg} \chi$$

Die Grundgleichung giebt für  $\lambda = 90^\circ$ ;  $\nu = 90^\circ$ :

$$p_o : q_o : r_o = \frac{\sin \lambda}{a_o} : \frac{\sin \mu}{b_o} : \frac{\sin \nu}{c_o} = \frac{1}{a_o} : \frac{\sin \mu}{b_o} : \frac{1}{c_o}$$

$$\left. \begin{array}{l} \frac{p_o}{q_o} = \frac{1}{a_o} : \frac{\sin \mu}{b_o} \\ \frac{q_o}{r_o} = \frac{\sin \mu}{b_o} : \frac{1}{c_o} \\ \frac{r_o}{p_o} = \frac{1}{c_o} : \frac{1}{a_o} \end{array} \right\} \dots \text{II.}$$

$$\left. \begin{array}{l} \text{für } b_o = 1 \\ a = \frac{1}{\operatorname{tg} \chi \sin \mu} \\ c = \frac{\operatorname{tg} \varphi}{\sin \mu} \end{array} \right\} \dots \text{III.}$$

$$\left. \begin{array}{l} \text{für } c_o = 1 \\ a_o = \frac{\sin (\mu - \psi)}{\sin \psi} \\ b_o = \frac{\sin \mu}{\operatorname{tg} \varphi} \end{array} \right\} \dots \text{III.}$$

Daraus folgt das Schema:

Schema.

1	2	3	4	5	6	7	8	9
$\varphi$	$\mu$	$\lg \sin \mu$	$\lg \operatorname{tg} \varphi$	$\lg a =$	$0 - 42 =$	num 41	num 51	num 61
			$= \lg q_o$	$0 - 43 - 31$	$= \lg a_o$	$q_o$	$= a$	$= a_o$
	$\psi$	$\lg \sin \psi$	$32 - 33$	0	$31 - 41 =$	num 42	1	num 62
			$= \lg p_o$		$0 - 53 = \lg b_o$	$p_o$		$= b_o$
$\chi$	$\mu - \psi$	$\lg \sin (\mu - \psi)$	$\lg \operatorname{tg} \chi$	$41 - 31$	0	1	num 53	1
			$= \lg \frac{p_o}{q_o}$	$= \lg c$			$= c$	

Controle.

1	2	3	4	5
$\lg q_o$	$\lg a$	$\lg a_o$	$0 - 12$	$21 - 22$
				$31 - 32$
				$41 - 42$
$\lg p_o$	0	$\lg b_o$	$13 - 11$	$21 - 23$
				$31 - 33$
				$41 - 43$
$\lg \sin \mu$	$\lg c$	0	0	$22 - 23$
				$32 - 33$
				$42 - 43$

Beispiel. Botryogen: Nach Messungen von Haidinger. (Pogg. Ann. 128. 12. 491.)

1	2	3	4	5	6	7	8	9
7°49'4]	117°34	994767	972243 lg q <sub>0</sub>	981435 lg a	003960 lg a <sub>0</sub>	0.5277 q <sub>0</sub>	0.6522 a	1.0955 a <sub>0</sub>
	54°29	991060	996040 lg p <sub>0</sub>	0	022524 lg b <sub>0</sub>	0.9129 p <sub>0</sub>	0	1.6797 b <sub>0</sub>
58 —	63°05	995020	023798	977476 lg c	0	1	0.5953 c	1

Controle:

1	2	3	4	5
972243	981438	003961	003958	981438 981438 981434
996042	0	022523	022524	003964 003961 003958
994767	977474	0	0	022526 022523 022524

Die Differenzen in der Controle kommen von der Abrundung der im übrigen unter sich ganze Minuten abgeglichenen Winkel  $\mu \varphi \chi \psi$ .

2. Aufgabe. Gegeben:  $0 : 01 = \psi$  Gesucht:  $p_0 q_0$  ( $r_0 = 1$ ) $\infty 0 : \infty = \chi$   $a_0 b_0$  ( $c_0 = 1$ ) $0 : \infty 0 = \mu$   $a c$  ( $b = 1$ )

Es ist:

$$q_0 = \operatorname{tg} \psi$$

$$p_0 = \frac{\operatorname{tg} \psi}{\operatorname{tg} \chi}$$

$$a = \frac{\operatorname{tg} \chi}{\sin \mu}$$

$$c = \frac{\operatorname{tg} \psi}{\sin \mu}$$

$$a_0 = \frac{a}{c} = \frac{\operatorname{tg} \chi}{\operatorname{tg} \psi}$$

$$b_0 = \frac{1}{c} = \frac{\sin \mu}{\operatorname{tg} \psi}$$



Fig. 68.

Davon leitet sich das folgende Schema ab:

Schema.

1	2	3	4	5	6
$\psi$	lg tg $\psi$ = lg q <sub>0</sub>	21 — 22 lg p <sub>0</sub>		num 21 q <sub>0</sub>	num 31 p <sub>0</sub>
$\chi$	lg tg $\chi$	21 — 23 lg c	22 — 21 lg a <sub>0</sub>	num 32 c	num 42 a <sub>0</sub>
$\mu$	lg sin $\mu$	22 — 23 lg a	23 — 21 lg b <sub>0</sub>	num 33 a	num 43 b <sub>0</sub>

Beispiel: Borax. Winkel nach Miller Min. 1852. 604.

1	2	3	4	5	6
47°11	003313	001038		1.0793 q <sub>0</sub>	1.0242 p <sub>0</sub>
46°30	002275	005158	998962	1.1261 c	0.9764 a <sub>0</sub>
73°25	998155	004120	994842	1.0995 a	0.8880 b <sub>0</sub>

3. Aufgabe. Gegeben:  $o : 10 = \psi$  Gesucht: die Längen-Elemente wie oben.

$$\infty : \infty o = \gamma$$

$$o : \infty o = \mu.$$

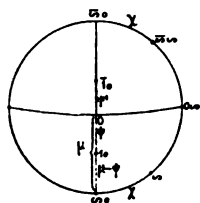


Fig. 69.

Es berechnen sich leicht die für diesen Fall nöthigen Formeln (Fig. 69):

$$p_o = \cos \mu + \sin \mu \operatorname{tg} (\mu + \psi - 90)$$

$$q_o = p_o \operatorname{tg} \gamma$$

$$a = \frac{\operatorname{tg} \gamma}{\sin \mu}$$

$$c = a p_o$$

$$a_o = \frac{1}{p_o}$$

$$b_o = \frac{1}{c}$$

Schema.

1	2	3	4	5	6
$\gamma$	$\lg \operatorname{tg} \gamma$	$32 + 33$ $= p_o$	$\lg 31$ $= \lg p_o$	$\text{num } 41$ $= 31 = p_o$	$0 - 41$ $= \lg a_o$
$\mu$	$\lg \cos \mu$	$\text{num } 22$	$41 + 21$ $= \lg q_o$	$\text{num } 42$ $= q_o$	$\text{num } 61$ $= a_o$
$\psi$	$\lg \sin \mu$	$\text{num } 34$	$21 - 23$ $= \lg a$	$\text{num } 43$ $= a$	$\text{num } 64$ $= b_o$
$\mu + \psi - 90$	$\lg \operatorname{tg} 14$	$23 + 24$	$41 + 43$ $= \lg c$	$\text{num } 44$ $= c$	$0 - 44$ $= \lg b_o$

Beispiel. Bieberit nach Brooke.

1	2	3	4	5	6
$48^\circ 50'$	005829	1.2652	010216	1.2652 $p_o$	989784
$75^\circ 05' 5$	941039	0.2573	016045	1.4469 $q_o$	0.7904 $a_o$
$61^\circ 07'$	998509	1.0079	007319	1.1836 $a$	0.6678 $b_o$
$46^\circ 12' 5$	001832	000342	017535	1.4974 $c$	982464

### Rhombisches System.

1. Aufgabe. Gegeben: Die Kantenwinkel ABC (Fig. 71) einer Pyramide pq.

Gesucht: Die Coordinaten resp. Parameter  $pp_o, qq_o; aa_o; bb_o; cc_o$ .

Setzen wir für eine Pyramide pq (Figg. 70—71):

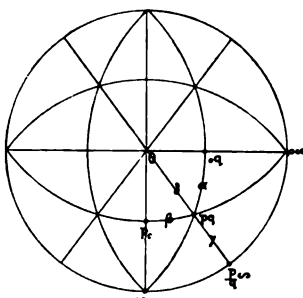


Fig. 70.

$$\angle pq : oq = \alpha \quad \text{so ist: } \alpha = \frac{A}{2} \text{ (innerer Winkel)}$$

$$pq : po = \beta \quad \beta = \frac{B}{2} \quad " \quad "$$

$$pq : \frac{p}{q} \infty = \gamma \quad \gamma = \frac{C}{2} \quad " \quad "$$

$$pq : o = \delta \quad \delta = 90 - \gamma.$$

Nun ergibt sich leicht der Satz:

$$1. \quad \begin{cases} pp_o : qq_o : rr_o = \sin \alpha : \sin \beta : \sin \gamma \\ pp_o : qq_o : 1 = \sin \alpha : \sin \beta : \sin \gamma \end{cases}$$

und ebenso:

$$2. \quad aa_o : bb_o : cc_o = \frac{1}{\sin \alpha} : \frac{1}{\sin \beta} : \frac{1}{\sin \gamma}$$



Dabei ist:

$$3. \begin{cases} pp_0 = \frac{\sin \alpha}{\sin \gamma} \\ qq_0 = \frac{\sin \beta}{\sin \gamma} \end{cases}$$

Wir können hier die Buchstaben  $\alpha \beta \gamma$  in anderem Sinne verwenden, als für die Neigung der linearen Axen, da  $\alpha \beta \gamma = 90^\circ$  in den Rechnungen des rhombischen Systems nicht auftreten. Sollte eine Verwechselung eintreten können, empfiehlt es sich, die Winkel  $\alpha \beta \gamma$  mit dem Index der Fläche zu bezeichnen, zu der sie gehören, also:

$$\alpha_{pq} \beta_{pq} \gamma_{pq}$$

Setzen wir in dem perspectivischen Projektionsbild (Fig. 73)  $MP = f$ , so ist:

$$4. \frac{pp_0}{\sin \alpha} = \frac{qq_0}{\sin \beta} = \frac{rr_0}{\sin \gamma} = f$$

$$f = \sqrt{p^2 p_0^2 + q^2 q_0^2 + r^2 r_0^2} = \sqrt{(pp_0)^2 + (qq_0)^2 + 1}$$

Und nun die Elemente  $p_0 q_0$  bekannt, so ist:

$$p = \frac{pp_0}{p_0}; q = \frac{qq_0}{q_0}$$

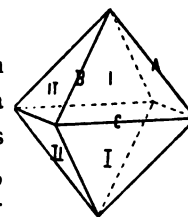


Fig. 71.

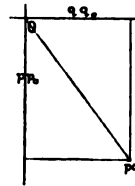


Fig. 72.

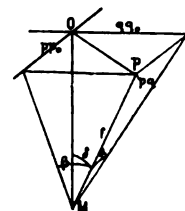


Fig. 73.

Hieraus ergibt sich als Schema für die Berechnung das folgende:

Schema.	1	2	3	4
	$\alpha$	$\lg \sin \alpha$	$22-21$	$\frac{qq_0}{pp_0}$ num 31
	$\beta$	$\lg \sin \beta$	$21-23$	$\frac{pp_0}{qq_0}$ num 32
	$\gamma$	$\lg \sin \gamma$	$22-23$	$\frac{qq_0}{pp_0}$ num 33

Controle:

$$31 + 32 = 33$$

Wird die Pyramide als die primäre angesehen, so ist  $p=1$ ;  $q=1$  und ergibt Columnne 4 die Elemente. Also:

Beispiel: Cordierit v. Rath. Pogg. 1874. 152. 40.

$$A=79^\circ 26' \quad B=44^\circ 4' \quad C=84^\circ 24'$$

Schema.	1	2	3	4
	$\alpha$	$\lg \sin \alpha$	$22-31$	$a$ = num 31
	$\beta$	$\lg \sin \beta$	$21-23$	$p_0$ = num 32
	$\gamma$	$\lg \sin \gamma$	$22-23$	$c=q_0$ = num 33

1	2	3	4
$39^\circ 43'$	980550	976870	0.5871 $a$
$22^\circ 02'$	957420	997831	0.9513 $p_0$
$42^\circ 12'$	982719	974701	0.5585 $c=q_0$

Diese Rechnung ist z. B. auszuführen bei der Umrechnung der Elementarwinkelangaben von Mohs, Haidinger, Hausmann in unsere Elemente.

Will man bei Aufgabe 1 statt mit inneren mit äusseren Winkeln rechnen, was öft bequemer ist, da die älteren Autoren stets äussere Winkel angeben, so wollen wir die äusseren Winkel mit einem Index versehen und setzen:

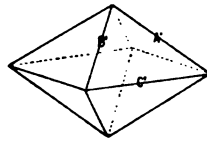


Fig. 74.

$$\begin{array}{l} A' = 180 - A \\ B' = 180 - B \\ C' = 180 - C \end{array} \quad \text{dann ist: } \begin{array}{l} \alpha - 90 = \frac{A'}{2} \\ \beta - 90 = \frac{B'}{2} \\ \gamma - 90 = \frac{C'}{2} \end{array} \quad \begin{array}{l} \sin \alpha = \cos \frac{A}{2} \\ \sin \beta = \cos \frac{B}{2} \\ \sin \gamma = \cos \frac{C}{2} \end{array}$$

In diesem Fall ändert sich das Schema in:

1	2	3	4
$\frac{A'}{2}$	$\lg \cos 11$	22-21	qq <sub>0</sub> pp <sub>0</sub> = num 31
$\frac{B'}{2}$	$\lg \cos 12$	21-23	pp <sub>0</sub> = num 32
$\frac{C'}{2}$	$\lg \cos 13$	22-23	qq <sub>0</sub> = num 33

wobei  
 $31 + 32 = 33$   
resp.:

4
a
= num 31
p <sub>0</sub>
= num 32
c = q <sub>0</sub>
= num 33

Für die  
primäre  
Pyramide.

**2. Aufgabe.** **Gegeben:** Für eine Pyramide die Elemente p<sub>0</sub>, q<sub>0</sub> und das Symbol pq.  
(Umkehrung d. Aufg. 1.)

**Gesucht:** Die Kanten-Winkel A=2α; B=2β; C=2γ.

$$\begin{array}{l} \text{Es ist: } \sin \alpha = \frac{p_0}{f} \\ \sin \beta = \frac{q_0}{f} \\ \sin \gamma = \frac{r_0}{f} = \frac{1}{f} \end{array} \quad \left. \begin{array}{l} \text{wobei wie oben} \\ f = \sqrt{(pp_0)^2 + (qq_0)^2 + 1} \end{array} \right\}$$

Daraus ergibt sich das Schema:

1	2	3	4	5	6
lg pp <sub>0</sub>	2 lg pp <sub>0</sub>	num 21		11-42 lg sin α	α
lg qq <sub>0</sub>	2 lg qq <sub>0</sub>	num 22	lg f = $\frac{42}{2}$	12-42 lg sin β	β
		1+31+32	lg 33	0-42 lg sin γ	γ

7	8
52-51	qq <sub>0</sub> pp <sub>0</sub> = num 71
51-53	pp <sub>0</sub> = num 72
52-53	qq <sub>0</sub> = num 73

**Spezielle Fassung der Aufgabe:**

**Gegeben:** Das Axen-Verhältniss = a:1:c. **Gesucht:** A=2α, B=2β; C=2γ.

$$\sin \alpha = \frac{c}{af}; \quad \sin \beta = \frac{c}{f}; \quad \sin \gamma = \frac{1}{f}$$

$$f = \sqrt{\frac{c^2}{a^2} + c^2 + 1}$$

Schema.					Controle.	
1	2	3	4	5		6
$\lg \frac{c}{a}$	$11 \times 2$	num 21	$11 + 43$ $= \lg \sin \alpha$	$\alpha$	$\frac{\sin \beta}{\sin \alpha} = a$	$41 - 43$ $= 11$
$\lg c$	$12 \times 2$	num 22	$12 + 43$ $= \lg \sin \beta$	$\beta$	$\frac{\sin \beta}{\sin \gamma} = c$	$42 - 43$ $= 12$
$\lg a$	$31 + 32 + 1$	$\frac{1}{2} \lg 23$	$0 - 33$ $= \lg \sin \gamma$	$\gamma$	$\frac{\sin \alpha}{\sin \gamma} = \frac{c}{a}$	$42 - 41$ $= 13$

## Tetragonales System.

1. Aufgabe. Gegeben: Der innere Mittelkanten-Winkel C der Grundpyramide (1).

Gesucht:  $c = p_0$ ;  $a_0 = \frac{1}{c}$

Es ist in beistehender Figur 75 die eine Fläche der Grundpyramide mit den Linearaxen dargestellt und es ist:

$$\left. \begin{aligned} \angle Mab = \frac{C}{2}; \quad \frac{d}{c} = \lg \frac{C}{2} \end{aligned} \right\} \text{für } c = 1; \quad \left. \begin{aligned} a_0 = d\sqrt{2} \end{aligned} \right\} \text{für } a_0 = 1; \quad \left. \begin{aligned} a_0 = \sqrt{2} \lg \frac{C}{2} \\ p_0 = c = \frac{1}{\sqrt{2}} \operatorname{ctg} \frac{C}{2} \end{aligned} \right\} \text{Controle: } \lg a_0 + \lg c = 0$$

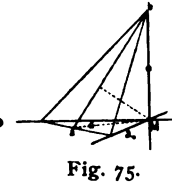


Fig. 75.

2. Aufgabe. Gegeben: Der Polkanten-Winkel  $\alpha : \alpha_1 = \lambda$ . Gesucht:  $p_0 = c$ .

Nennen wir, wie gewöhnlich, den Krystall-Mittelpunkt M und setzen  $AM = f$ , so ist:

$$\left. \begin{aligned} \frac{p_0}{\sqrt{2}} : f = \sin \frac{\lambda}{2} \\ f = \sqrt{1 + p_0^2} \end{aligned} \right\} \quad \frac{p_0}{\sqrt{2 + 2p_0^2}} = \sin \frac{\lambda}{2}$$

$$p_0^2 = 2 \sin^2 \frac{\lambda}{2} + 2 p_0^2 \sin^2 \frac{\lambda}{2}; \quad p_0 = \sqrt{\frac{2 \sin^2 \frac{\lambda}{2}}{1 - 2 \sin^2 \frac{\lambda}{2}}}$$

$$c = p_0 = \sqrt{\frac{2 \sin^2 \frac{\lambda}{2}}{\cos \lambda}}$$

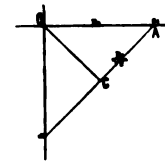


Fig. 76.

3. Aufgabe. Gegeben:  $\angle po : op = \alpha$ ;  $p_0$ . Gesucht:  $p$ .

Auflösung: Es sei  $\angle po : o = \psi$ ; so ist  $pp_0 = \lg \psi$ ;  $\sin \psi = \sqrt{2} \sin \frac{\alpha}{2}$ ;  $p = \frac{\lg \psi}{p_0}$

Daraus ergibt sich das Schema:

Beispiel: Wulfenit (Miller Min. 1852. 479).  
 $y : y' = 61^\circ 34' \cdot \lg p_0 = \lg \lg 57^\circ 33' 5'' = 0.19679$ .

1	2	3	4
$\frac{\alpha}{2}$	$12 + 22$ $= \lg \sin \psi$	$\lg \lg \psi$	$31 - 32$ $= \lg p$
$\lg \sin \frac{\alpha}{2}$	$0.15051$ $= \lg \sqrt{2}$	$\lg p_0$	$p$

1	2	3	4
$30^\circ 47' 0''$	985960	002073	982394
970909	015051	019679	0.6667 $= \frac{2}{3}$



**8. Aufgabe. Gegeben:** Für ein Skalenoeder die Polkanten-Winkel  $2\epsilon$ ,  $2\zeta$  und das Element  $p_0$ .

**Gesucht:** Das Symbol  $pq$ .

Wir entnehmen der vorigen Aufgabe die Gleichungen:

$$\operatorname{tg} \epsilon = \frac{p+2q}{2} \cos \varphi \quad \cos \delta = \cos \epsilon \cos \varphi = \cos \zeta \cos \psi$$

$$\operatorname{tg} \zeta = \frac{p-q}{2} \cos \psi \quad \frac{\cos \varphi}{\cos \psi} = \frac{\cos \zeta}{\cos \epsilon}$$

Daraus folgt:  $\frac{p+2q}{p-q} = \frac{\operatorname{tg} \epsilon}{\operatorname{tg} \zeta} \cdot \frac{\cos \epsilon}{\cos \zeta} = \frac{\sin \epsilon}{\sin \zeta} \dots \dots 1)$

Ferner ist:  $\frac{p-q}{p+2q} + \frac{1}{2} = \frac{\frac{3}{2}p}{p+2q} = \frac{\sin \zeta}{\sin \epsilon} + \frac{1}{2} = \frac{2 \sin \zeta + \sin \epsilon}{2 \sin \epsilon}$

$$p+2q = \frac{\sin \epsilon}{2 \sin \zeta + \sin \epsilon} \cdot 3p$$

$$\operatorname{tg} \epsilon = \frac{FG}{GM} = p_0 \cdot \frac{p+2q}{2} \cdot \frac{1}{\sqrt{1+\frac{3}{4}p^2 p_0^2}} = \frac{(p+2q)p_0}{\sqrt{4+3p^2 p_0^2}}$$

Hierin eingesetzt den soeben entwickelten Werth für  $p+2q$ , giebt:

$$\operatorname{tg} \epsilon = \frac{3 p p_0}{\sqrt{4+3 p^2 p_0^2}} \cdot \frac{\sin \epsilon}{2 \sin \zeta + \sin \epsilon}$$

$$\frac{3 p p_0}{\sqrt{4+3 p^2 p_0^2}} = \frac{2 \sin \zeta + \sin \epsilon}{\cos \epsilon} = \frac{1}{A} \text{ gesetzt.}$$

Dann berechnet sich:

$$p = \frac{2}{3 p_0} \sqrt{A^2 - \frac{1}{3}} \quad \text{wobei:} \quad A = \frac{\cos \epsilon}{2 \sin \zeta + \sin \epsilon} \dots \dots 2)$$

aus 1) folgt:

$$q = p \frac{\sin \epsilon - \sin \zeta}{\sin \epsilon + 2 \sin \zeta} \dots \dots 3)$$

Als Controle diene die Gleichung 1. Es ergibt sich aus diesen Formeln zur Berechnung folgendes Schema:

Schema:  $\epsilon =$   $\zeta =$   $\lg p_0 =$

1	2	3	4	5	6	7	8	9
$\lg \sin \epsilon$	$\lg \cos \epsilon$	21—32	2·31	$\frac{5}{2}$	982301 — $\lg p_0$	22—13	$p+2q$	$\lg 81$
$\lg \sin \zeta$	num 11	$\lg 33$	num 41 = $A^2$	0—53	51+61 = $\lg p$	$\lg 71$	$p-q$	$\lg 82$
num 12	2·13	22+23	42— $\frac{1}{3}$	$\lg 43$	$p$	62+72—32 = $\lg q$	$q$	91—92 = 11—12

Controle.

Beispiel. Calcit. (Miller Min. 1852. 576) Für das Skalenoeder  $\Omega$ .

$$\epsilon = 34^\circ 03'; \zeta = 12^\circ 56' 5; \lg p_0 = 975552$$

1	2	3	4	5	6	7	8	9
974812	991832	991495	982990	023261	006839	0·3359·	3·3333·	052288
935016·	0·5599	000337	0·6759·	046521	030100	952627·	1·3333·	012493
0·2239	0·4479	1·0078	0·3426	953479	$\frac{2}{3} = p$	982390	0·6666· = $\frac{2}{3} = q$	029795 029795·

**Zonenformel. Allgemeiner Fall.**

**Aufgabe. Gegeben:** Für vier Flächen,  $F_1 F_2 F_3 F_4$  einer Zone die Symbole  $p_1 q_1, p_2 q_2, p_3 q_3, p_4 q_4$ , sowie die Winkel  $F_1 F_2 = \delta, F_2 F_3 = \varepsilon$ .

**Gesucht:** Winkel  $F_3 F_4 = \zeta$ .



Schnitt in der Zonenebene.

Fig. 81.

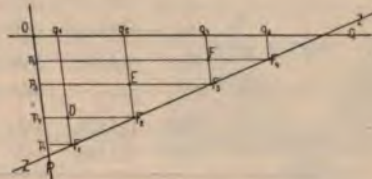


Fig. 82.

Es sei Fig. 82 das Bild der Projection, OP und OQ die Axenzonen, ZZ die Zone mit den Flächenpunkten  $F_1 F_2 F_3 F_4$ . Es sei ferner Fig. 81 ein Schnitt in der Zonenebene, d. h. durch die Zone und den Mittelpunkt M des Krystalls, so ist:

$$\begin{array}{l} \frac{d+e}{\sin(\delta+\varepsilon)} = \frac{k}{\sin \alpha} \\ \frac{e}{\sin \varepsilon} = \frac{k}{\sin \lambda} \\ \frac{d+e+f}{\sin(\delta+\varepsilon+\zeta)} = \frac{l}{\sin \alpha} \\ \frac{e+f}{\sin(\varepsilon+\zeta)} = \frac{l}{\sin \lambda} \end{array} \quad \left\| \quad \begin{array}{l} \frac{d+e}{e} \cdot \frac{\sin \varepsilon}{\sin(\delta+\varepsilon)} = \frac{\sin \varepsilon}{\sin \delta} \\ \frac{d+e+f}{e+f} \cdot \frac{\sin(\varepsilon+\zeta)}{\sin(\delta+\varepsilon+\zeta)} = \frac{\sin \varepsilon}{\sin \delta} \end{array} \right.$$

Somit:

$$\frac{(d+e)(e+f)}{e(d+e+f)} = \frac{\sin(\delta+\varepsilon) \sin(\varepsilon+\zeta)}{\sin \varepsilon \sin(\delta+\varepsilon+\zeta)} \dots 1)$$

Nun setzen wir in Fig. 82.

$$\frac{F_1 F_2}{F_2 D} = \frac{F_2 F_3}{F_3 E} = \frac{F_3 F_4}{F_4 F} = n$$

$$\frac{F_1 F_2}{F_1 D} = \frac{F_2 F_3}{F_2 E} = \frac{F_3 F_4}{F_3 F} = m$$

so ist:

$$\begin{array}{ll} d = q_0 n (q_2 - q_1) & d = p_0 m (p_2 - p_1) \\ e = q_0 n (q_3 - q_2) & e = p_0 m (p_3 - p_2) \\ f = q_0 n (q_4 - q_3) & f = p_0 m (p_4 - p_3) \end{array}$$

Diese ersteren Werthe eingesetzt in Formel 1 ergeben:

$$\frac{n^2 q_0^2 (q_2 - q_1 + q_3 - q_2) (q_3 - q_2 + q_4 - q_3)}{n^2 q_0^2 (q_3 - q_2) (q_2 - q_1 + q_3 - q_2 + q_4 - q_3)} = \frac{(q_3 - q_1) (q_4 - q_2)}{(q_3 - q_2) (q_4 - q_1)} =$$

$$\frac{(\sin \delta \cos \varepsilon + \cos \delta \sin \varepsilon) \sin(\varepsilon + \zeta)}{\sin \varepsilon [\sin \delta \cos(\varepsilon + \zeta) + \cos \delta \sin(\varepsilon + \zeta)]} = \frac{\sin \delta \operatorname{ctg} \varepsilon + \cos \delta}{\sin \delta \operatorname{ctg}(\varepsilon + \zeta) + \cos \delta}$$

Somit:

$$\frac{(q_4 - q_2) (q_3 - q_1)}{(q_4 - q_1) (q_3 - q_2)} = \frac{(p_4 - p_2) (p_3 - p_1)}{(p_4 - p_1) (p_3 - p_2)} = \frac{\operatorname{ctg} \varepsilon + \operatorname{ctg} \delta}{\operatorname{ctg}(\varepsilon + \zeta) + \operatorname{ctg} \delta} \dots 2)$$

Setzen wir zur Abkürzung:

$$\frac{(q_4 - q_2) (q_3 - q_1)}{(q_4 - q_1) (q_3 - q_2)} = \frac{(p_4 - p_2) (p_3 - p_1)}{(p_4 - p_1) (p_3 - p_2)} = \frac{\operatorname{ctg} \varepsilon + \operatorname{ctg} \delta}{\operatorname{ctg}(\varepsilon + \zeta) + \operatorname{ctg} \delta} = \frac{1}{Q}$$

so ist:

$$\operatorname{ctg}(\varepsilon + \zeta) = Q (\operatorname{ctg} \varepsilon + \operatorname{ctg} \delta) - \operatorname{ctg} \delta = Q \operatorname{ctg} \varepsilon + (Q - 1) \operatorname{ctg} \delta$$

Nun ist:

$$Q_{-1} = \frac{q_4 q_3 - q_4 q_2 - q_3 q_1 + q_2 q_1 - q_4 q_3 + q_4 q_1 + q_3 q_2 - q_2 q_1}{(q_3 - q_1)(q_4 - q_2)} = \frac{(q_3 - q_1)(q_3 - q_4)}{(q_3 - q_1)(q_4 - q_2)} =$$

$$= - \frac{(q_3 - q_1)(q_4 - q_2)}{(q_3 - q_1)(q_4 - q_2)}$$

Also:

$$\left. \begin{aligned} \operatorname{ctg}(\varepsilon + \zeta) &= \frac{(q_4 - q_1)(q_3 - q_2)}{(q_4 - q_2)(q_3 - q_1)} \operatorname{ctg} \varepsilon - \frac{(q_4 - q_3)(q_3 - q_1)}{(q_4 - q_2)(q_3 - q_1)} \operatorname{ctg} \delta \\ &\text{oder auch:} \\ \operatorname{ctg}(\varepsilon + \zeta) &= \frac{(p_4 - p_1)(p_3 - p_2)}{(p_4 - p_2)(p_3 - p_1)} \operatorname{ctg} \varepsilon - \frac{(p_4 - p_3)(p_3 - p_1)}{(p_4 - p_2)(p_3 - p_1)} \operatorname{ctg} \delta \end{aligned} \right\} \dots 3)$$

**Auswertung der Zonenformel. Gedächtnissregel.** Man schreibt die Werthe  $p_4 p_3 p_2 p_1$  sowie  $q_4 q_3 q_2 q_1$  als Ecken eines Quadrats in folgender Ordnung an:



Fig. 83.

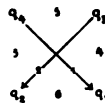


Fig. 84.

bildet die Differenzen:

1 =  $p_4 - p_1$     2 =  $p_3 - p_2$     3 =  $p_4 - p_2$     4 =  $p_3 - p_1$     5 =  $p_4 - p_3$     6 =  $p_2 - p_1$   
 resp. 1 =  $q_4 - q_1$     2 =  $q_3 - q_2$     3 =  $q_4 - q_2$     4 =  $q_3 - q_1$     5 =  $q_4 - q_3$     6 =  $q_2 - q_1$   
 wie in Figg. 83 und 84 angedeutet, stets von oben nach unten und (ausser 2) von links nach rechts. Hieraus bildet man die Producte  $\frac{1 \cdot 2}{3 \cdot 4}$  und  $\frac{5 \cdot 6}{3 \cdot 4}$ , so müssen beide Producte  $\frac{1 \cdot 2}{3 \cdot 4}$  und ebenso beide  $\frac{5 \cdot 6}{3 \cdot 4}$ , nämlich die aus den  $p$ , wie die aus den  $q$ , das gleiche Resultat geben und es ist:

$$\operatorname{ctg}(\varepsilon + \zeta) = \frac{1 \cdot 2}{3 \cdot 4} \operatorname{ctg} \varepsilon - \frac{5 \cdot 6}{3 \cdot 4} \operatorname{ctg} \delta$$

Beispiel. Bournonit (Miers Min. Mag. 1884. 6. 69).

Gegeben:  $\delta = vo = 21 : 10 = 28^\circ 59'$ ;  $\varepsilon = ou = 10 : \frac{1}{2} = 28^\circ 16'$  (Fig. 85)

Gesucht:  $\varepsilon + \zeta = or = 10 : \frac{1}{2} \frac{3}{2}$ .

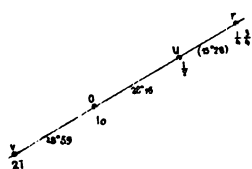
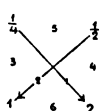
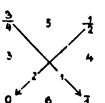


Fig. 85.



Wir bilden aus den  $p$ -Werthen:

$$\frac{(\frac{1}{4}-2)(\frac{1}{2}-1)}{(\frac{1}{4}-1)(\frac{1}{2}-2)} ; \frac{(\frac{1}{4}-\frac{1}{2})(1-2)}{(\frac{1}{4}-1)(\frac{1}{2}-2)} = \frac{7}{9} ; \frac{2}{9}$$



ebenso aus den  $q$ -Werthen:

$$\frac{(\frac{3}{4}-1)(\frac{1}{2}-0)}{(\frac{3}{4}-0)(\frac{1}{2}-1)} ; \frac{(\frac{3}{4}-\frac{1}{2})(0-1)}{(\frac{3}{4}-0)(\frac{1}{2}-1)} = \frac{7}{9} ; \frac{2}{9}$$

Danach ist:

$$\operatorname{tg} or = \frac{7}{9} \operatorname{ctg} 28^\circ 16' - \frac{2}{9} \operatorname{ctg} 28^\circ 59'$$

$$or = 43^\circ 44'$$

Anmerkung: Diese neue Formel übertrifft an Einfachheit die von Miller vorgeschlagene, von Grailich, Lang, Schrauf, Brezina weiter verbreitete Zonenformel, sowie die von Websky (Berl. Monatsb. 1876. 4. Zeitschr. Kryst. 1881. 4. 101.) und Schrauf (Zeitschr. Kryst. 1884. 8. 238) entwickelten Formeln. Sie gilt für alle Systeme gleichmässig, nur das hexagonale System bedarf einer kurzen Betrachtung.



**Zonenformel. Hexagonales System.** Die Symbole des hexagonalen Systems sind für die Zonenformel nur dann direct zu brauchen, wenn alle vier Flächen in demselben Sextanten liegen. Ist dies nicht der Fall, und das ist ja die Regel, so verfährt man folgendermassen:

Man trägt in das Projectionsbild (Fig. 86) die Punkte der vier Einzelflächen ein, um die es sich handelt und zieht die Zonenlinie. Es seien in dem Beispiel, das wir wählen (Miller. Min. 1852. 576) für den Calcit die vier Flächen  $x \bar{O} \Omega \beta$  bestimmt durch ihr allgemeines Symbol:

$$x = -25 \quad \bar{O} = -2\frac{2}{3} \quad \Omega = -2\frac{2}{3} \quad \beta = -28$$

und zwar seien in Betracht zu ziehen die Einzelflächen:

$${}^2x \quad \bar{O}^2 \quad {}^6\Omega \quad \beta^6$$

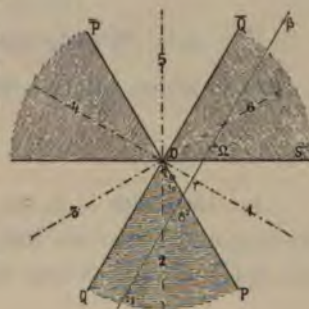


Fig. 86.

in dem Sinne der vorgeschlagenen Bezeichnungsweise der Einzelflächen (vgl. S. 32). Nun wählen wir zu Coordinatenachsen zwei beliebige von den drei Axen der Projection aus und beziehen auf sie allein die Symbole, indem wir die eine P, die andere Q nennen und ihre Gegenrichtungen  $\bar{P} \bar{Q}$ . Welche zwei Axen wir wählen, welche wir als P und als Q bezeichnen, ist für das Resultat gleichgiltig. Wir wählen hier die Axen P und Q des Bildes (Fig. 86) und zwar deshalb, damit die Zonenlinie nur die eine Axe (P) schneide; das hat die Bequemlichkeit, dass alle p positiv ausfallen, ist jedoch ganz unwesentlich. Die Symbole, auf  $PQ \bar{P} \bar{Q}$  bezogen, ergeben sich leicht aus dem Bild durch Ziehen der Coordinaten parallel P und Q und Ausmessen mit der Einheit  $0 \cdot 10 = p_0$ . Es sind dann in unserem Beispiel die Coordinaten für:

$${}^2x = 25 = p_1 q_1; \bar{O}^2 = 2\frac{2}{3} = p_2 q_2; {}^6\Omega = 2 \cdot - (2 + \frac{2}{3}) = 2\frac{2}{3} = p_3 q_3; \beta^6 = 2 \cdot - (2 + 8) = 2 \cdot 10 = p_4 q_4$$

Wir entnehmen die gegebenen Winkel mit Hilfe einer kleinen Umrechnung aus Miller's Mineralogie. (1852. 576) und zwar:

$$\text{Gegeben: } \delta = {}^2x \bar{O}^2 = 40^\circ 07' \quad \varepsilon = \bar{O}^2 {}^6\Omega = 61^\circ 35' \quad \text{Gesucht: } \varepsilon + \zeta = \bar{O}^2 \beta^6$$

Wir setzen gemäss der allgemeinen Vorschrift für Auswerthung der Zonenformel für die q:

$$\frac{1 \cdot 2}{3 \cdot 4} \cdot \frac{5 \cdot 6}{3 \cdot 4} = \frac{(10-5)(\bar{5}-\bar{4})}{(10-\bar{4})(\bar{5}-5)}; \frac{(10-\bar{5})(\bar{4}-5)}{(10-\bar{4})(\bar{5}-5)} = \frac{15 \cdot 62}{72 \cdot 23}; \frac{22 \cdot 33}{72 \cdot 23} = \frac{155}{276}; \frac{121}{276}$$

Daher:

$$\text{ctg } \bar{O}^2 \beta^6 = \frac{155}{276} \text{ctg } 61^\circ 35' - \frac{121}{276} \text{ctg } 40^\circ 07'$$

$$\text{ctg } \bar{O}^2 \beta^6 = -0.2166$$

$$\bar{O}^2 \beta^6 = 180^\circ - 77^\circ 47' = 102^\circ 13'$$



Dass es gleichgiltig ist, welche Coordinaten-Axen wir wählen, davon können wir uns am einfachsten durch ein Beispiel überzeugen. Wir wollen für obigen Fall P und S (Fig. 86) als Coordinaten-Axen wählen und erhalten, auf sie bezogen, die Symbole:

$$^2x = 75 \quad ^2y = 17 \frac{2}{3} \quad ^2z = 3 \frac{1}{3} \quad ^2t = 8 \cdot 10$$

Für diese Werthe finden wir wieder, sowohl aus den p als aus den q, in obiger Weise die Coefficienten der Cotangenten  $\frac{155}{276}$ ;  $\frac{121}{276}$ .

Es empfiehlt sich bei Anwendung der Zonenformel, wie in allen Fällen der Rechnung, wo es sich um Einzelflächen handelt, nicht unmittelbar von den Zahlen, sondern von der Handskizze des Projectionsbildes auszugehen.

**Zonenformel. Prismenzone.** Die Symbole der Prismenzone nehmen eine Sonderstellung ein insofern, als die Zahlen p und q unter sich nur relative Werthe sind, wir also für dieselbe Form ebenso gut setzen können  $\frac{3}{2} \infty$  wie  $\infty \frac{2}{3}$ . Hierdurch entsteht eine Unsicherheit, welcher Werth in die Zonenformel, in der Differenzen gebildet werden, einzusetzen sei.

Wir bringen zunächst alle Coefficienten auf die p- oder q-Seite, schreiben also:

$$3 \infty \infty \frac{2}{3} \infty \text{ statt } 3 \infty \infty \infty \frac{3}{2}$$

und rechnen mit derjenigen Symbolhälfte, welche die Coefficienten führt oder vielmehr nur mit diesen. Es treten nämlich in der Zonenformel alle p resp. q in Zähler und Nenner gleich oft auf und es wird das Resultat nicht geändert, wenn wir  $p_1 p_2 p_3 p_4$  mit dem gleichen Werth dividiren, also auch mit  $\infty$ .

Vor dem Ansetzen der Formel ordnen wir die Formen durch eventuelles Heranziehen von Gegenflächen so, dass ihre Punkte nicht mehr als einen Halbkreis einnehmen, und dass der gesuchte Winkel  $\zeta$  am Ende der Reihe liegt. Nun bringen wir die Coefficienten auf eine Seite, auf welche, hängt ab von der Vertheilung der Prismen und entscheiden zugleich über die Vorzeichen. Liegen alle zwischen zwei benachbarten Pinakoiden, so ist es gleichgiltig, ob wir mit den p oder den q rechnen. In der Regel befinden sie sich zu beiden Seiten eines Pinakoids,  $o \infty$  oder  $\infty o$ . Liegt  $\infty o$  zwischen ihnen, so rechnen wir mit den q, liegt  $o \infty$  dazwischen, mit den p, und zwar sind die Coefficienten auf der einen Seite dieses Pinakoids +, auf der anderen — zu setzen.

Beispiel. Anorthit. (Fig. 87.)

Gegeben:  $m = o\infty$   $f = \infty 3$   $l = \infty \infty$   $z = \infty 3$

$mf = \delta = 29^\circ 27'$   $fl = \varepsilon = 88^\circ 01'$

Gesucht:  $fz = \varepsilon + \zeta = ?$

Die Formen gruppieren sich um  $\infty 0$ ; wir haben daher mit den  $q$  zu rechnen und setzen in unsere Zonenformel ein:

$$q_1 = \infty \quad q_2 = 3 \quad q_3 = 1 \quad q_4 = 3$$

In dem Symbol  $o\infty$  ist für  $\infty$  nicht 1, sondern wieder  $\infty$  zu setzen, da es dem  $o = o \cdot \infty$  gegenüber  $= \infty^2$  ist. Setzen wir obige Werthe ein, so berechnet sich:

$$\text{ctg}(\varepsilon + \zeta) = \frac{(3 - \infty)(1 - 3)}{(3 - 3)(1 - \infty)} \text{ctg} \varepsilon - \frac{(3 - 1)(3 - \infty)}{(3 - 3)(1 - \infty)} \text{ctg} \delta$$

$$\text{ctg} fz = \frac{2}{3} \text{ctg} 88^\circ 01' - \frac{1}{3} \text{ctg} 29^\circ 27' = -0.5673$$

$$fz = 119^\circ 34'; \quad lz = fz - fl = 31^\circ 33'.$$

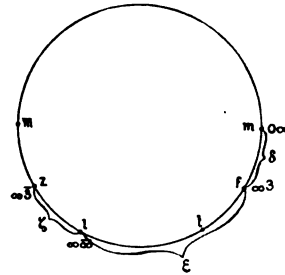


Fig. 87.

**Zonenformel. Specialfall.** Einer der häufigsten und wichtigsten Fälle ist der folgende, der noch besonders deshalb hervorgehoben zu werden verdient, weil seine einfache Formel sich leicht dem Gedächtniss einprägt. (Fig. 87 b.)

Gegeben:  $p\bar{q} : po = \delta$ ;  $po : pq = \varepsilon$ .

Gesucht:  $po : o\infty = \varepsilon + \zeta$ .

Es ist:

$$\begin{array}{lcl} \infty & q & \text{ctg}(\varepsilon + \zeta) = \frac{(\infty - \bar{q})(q - o)}{(\infty - o)(q - \bar{q})} \text{ctg} \varepsilon \\ \times & & - \frac{(\infty - q)(o - \bar{q})}{(\infty - o)(q - \bar{q})} \text{ctg} \delta \\ o & \bar{q} & \boxed{\text{ctg}(\varepsilon + \zeta) = \frac{1}{2} \text{ctg} \varepsilon - \frac{1}{2} \text{ctg} \delta} \end{array}$$

Unter diesen Fall ordnen sich unter anderen die Aufgaben aus den Parallelzonen:

Gegeben:  $o\bar{q} : o = \delta$ ;  $o : oq = \varepsilon$  Gesucht:  $\lambda = o : o\infty = \varepsilon + \zeta$

"  $\bar{p}o : o = \delta$ ;  $o : po = \varepsilon$  "  $\mu = o : \infty o = \varepsilon + \zeta$

"  $\infty \bar{q} : \infty o = \delta$ ;  $\infty o : \infty q = \varepsilon$  "  $\nu = \infty o : o\infty = \varepsilon + \zeta$

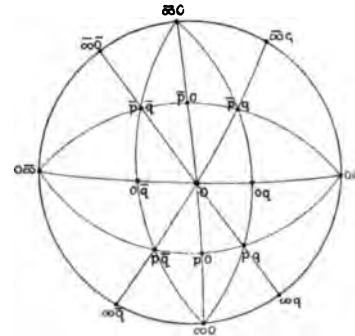


Fig. 87 b.

Ausserdem:

Gegeben:  $\bar{p}\bar{q} : o = \delta$ ;  $o : pq = \varepsilon$  Gesucht:  $o : \infty q = \varepsilon + \zeta$

"  $pq : o = \delta$ ;  $o : p\bar{q} = \varepsilon$  "  $o : \infty \bar{q} = \varepsilon + \zeta$

Für alle diese gilt die Formel:

$$\boxed{\text{ctg}(\varepsilon + \zeta) = \frac{1}{2} \text{ctg} \varepsilon - \frac{1}{2} \text{ctg} \delta}$$

Ebenso gilt die angeführte Formel für die Mittel-Parallelzonen, wobei die Aufgabe lautet:

Gegeben:  $\infty \infty : po = \delta$ ;  $po : \frac{p}{2} = \varepsilon$  Gesucht:  $po : op = \varepsilon + \zeta$ .



## Umkehrung der Zonenformel.

Mit Hilfe der Zonenformel lässt sich ebenso eines der Symbole  $p_4, q_4$  berechnen, wenn die übrigen drei Symbole  $p_1, q_1, p_2, q_2, p_3, q_3$ , sowie die Winkel  $\delta, \varepsilon, \zeta$  gegeben sind.

Aus der Formel:

$$\operatorname{ctg} (\varepsilon + \zeta) = \frac{(p_4 - p_1)(p_3 - p_2)}{(p_4 - p_2)(p_3 - p_1)} \operatorname{ctg} \varepsilon - \frac{(p_4 - p_2)(p_3 - p_1)}{(p_4 - p_2)(p_3 - p_1)} \operatorname{ctg} \delta$$

folgt:

$$(p_4 - p_2)(p_3 - p_1) \operatorname{ctg} (\varepsilon + \zeta) = (p_4 - p_1)(p_3 - p_2) \operatorname{ctg} \varepsilon - (p_4 - p_2)(p_3 - p_1) \operatorname{ctg} \delta$$

und daraus:

$$p_4 = \frac{p_1 A + p_2 B + p_3 C}{A + B + C}, \text{ worin } \begin{cases} A = (p_3 - p_2) \operatorname{ctg} \varepsilon \\ B = (p_3 - p_1) \operatorname{ctg} (\varepsilon + \zeta) \\ C = (p_3 - p_1) \operatorname{ctg} \delta \end{cases}$$

statt der  $p$  kann man ebenso gut mit den  $q$  operieren und lautet dann die Formel:

$$q_4 = \frac{q_1 A + q_2 B + q_3 C}{A + B + C}, \text{ worin } \begin{cases} A = (q_3 - q_2) \operatorname{ctg} \varepsilon \\ B = (q_3 - q_1) \operatorname{ctg} (\varepsilon + \zeta) \\ C = (q_3 - q_1) \operatorname{ctg} \delta \end{cases}$$

$q_4$  ergibt sich, nachdem  $p_4$  bekannt ist, in der Regel am einfachsten aus dem Zonensymbol oder der Zonengleichung (vgl. S. 22), oder auch durch Eintragen in das Projectionsbild. Aber auch aus der Zonenformel lässt es sich berechnen und zwar auf folgende Weise:

Es ist, da die Coefficienten der Cotangenten in der Zonenformel aus den  $p$ , wie aus den  $q$  den gleichen Werth haben:

$$\frac{(p_4 - p_1)(p_3 - p_2)}{(p_4 - p_2)(p_3 - p_1)} = X = \frac{(q_4 - q_1)(q_3 - q_2)}{(q_4 - q_2)(q_3 - q_1)}$$

$$q_4 - q_1 = (q_4 - q_2) \frac{q_3 - q_2}{q_3 - q_1} X$$

Daher:

$$q_4 = \frac{q_1 - q_2 DX}{1 - DX}, \text{ worin: } X = \frac{1 \cdot 2}{3 \cdot 4} \text{ für die } p; D = \frac{q_3 - q_1}{q_3 - q_2}$$

Beispiel. Bournonit (vgl. S. 114 Fig. 85).

$$v = p_1 q_1 = 21; o = p_2 q_2 = 10; u = p_3 q_3 = \frac{1}{2}; r = p_4 q_4 = ?$$

$$\delta = v o = 28^\circ 50; \varepsilon = o u = 28^\circ 16; \varepsilon + \zeta = o r = 43^\circ 44$$

$$\text{Es ist: } A = (1 - \frac{1}{2}) \operatorname{ctg} \varepsilon \quad B = (\frac{1}{2} - 2) \operatorname{ctg} (\varepsilon + \zeta) \quad C = (1 - 2) \operatorname{ctg} \delta$$

$$p_4 = \frac{2 \cdot \frac{1}{2} \operatorname{ctg} 28^\circ 16 + 1 \cdot \frac{3}{2} \operatorname{ctg} 43^\circ 44 + \frac{1}{2} \cdot 1 \operatorname{ctg} 28^\circ 59}{\frac{1}{2} \operatorname{ctg} 28^\circ 16 + \frac{3}{2} \operatorname{ctg} 43^\circ 44 + 1 \operatorname{ctg} 28^\circ 59} = \frac{-0.6106}{-2.4432} = \frac{1}{4}$$

Dann ist zur Berechnung von  $q_4$ :

$$\begin{array}{l} \frac{1}{4} \times \frac{1}{2} \\ 1 \quad 2 \end{array} \quad \begin{array}{l} X = \frac{(\frac{1}{4} - 2)(\frac{1}{2} - 1)}{(\frac{1}{4} - 1)(\frac{1}{2} - 2)} = \frac{7}{5} \\ D = \frac{\frac{1}{2} - 1}{\frac{1}{2} - 0} = 3; DX = \frac{7}{3} \end{array} \quad \left. \vphantom{\begin{array}{l} \frac{1}{4} \times \frac{1}{2} \\ 1 \quad 2 \end{array}} \right\} q_4 = \frac{1 - 0}{1 - \frac{7}{3}} = \frac{1}{2}$$

**Specialfall 1.**  $p_1 = \bar{p}$   $p_2 = 0$   $p_3 = p$   $p_4 = ?$ Für diesen Fall ist:  $A = -p \operatorname{ctg} \varepsilon$   $B = 2p \operatorname{ctg} (\varepsilon + \zeta)$   $G = p \operatorname{ctg} \delta$ .

$$\text{daher: } p_4 = \frac{+p^2 \operatorname{ctg} \varepsilon + 0}{-p \operatorname{ctg} \varepsilon + 2p \operatorname{ctg} (\varepsilon + \zeta) + p \operatorname{ctg} \delta} = p \frac{\operatorname{ctg} \delta + \operatorname{ctg} \varepsilon}{\operatorname{ctg} \delta - \operatorname{ctg} \varepsilon + 2 \operatorname{ctg} (\varepsilon + \zeta)}$$

Beispiel: Klinohumit (Miller, Min. 1852. 351.)

$$p_1 q_1 = r = 20 \quad p_2 q_2 = c = 0 \quad p_3 q_3 = u = 20 \quad p_4 q_4 = w = ?$$

$$r \ c = \delta = 46^\circ 20' \quad c \ u = \varepsilon = 60^\circ 11' \quad c \ w = \varepsilon + \zeta = 79^\circ 10'$$

$$\text{Es ist: } p_4 = 2 \frac{\operatorname{ctg} 46^\circ 20' + \operatorname{ctg} 60^\circ 11'}{\operatorname{ctg} 46^\circ 20' - \operatorname{ctg} 60^\circ 11' + 2 \operatorname{ctg} 79^\circ 10'} = 2 \frac{1.5276}{0.7642} = 4$$

Danach ist das gesuchte Symbol für  $w = 40$ .**Specialfall 2.**  $p_1 = \infty$   $p_2 = p$   $p_3 = 0$   $p_4 = ?$ Für diesen Fall ist:  $A = p \operatorname{ctg} \varepsilon$   $B = \infty \operatorname{ctg} (\varepsilon + \zeta)$   $C = \infty \operatorname{ctg} \delta$ 

$$\text{daher: } p_4 = \frac{\infty p \operatorname{ctg} \varepsilon + p \cdot \infty \operatorname{ctg} (\varepsilon + \zeta) + 0 \cdot \infty \operatorname{ctg} \delta}{p \operatorname{ctg} \varepsilon + \infty \operatorname{ctg} (\varepsilon + \zeta) + \infty \operatorname{ctg} \delta} = \frac{p \operatorname{ctg} \varepsilon - p \operatorname{ctg} (\varepsilon + \zeta)}{-\operatorname{ctg} (\varepsilon + \zeta) - \operatorname{ctg} \delta} = p \frac{\operatorname{ctg} (\varepsilon + \zeta) - \operatorname{ctg} \varepsilon}{\operatorname{ctg} (\varepsilon + \zeta) + \operatorname{ctg} \delta}$$

Beispiel: Klinohumit (Miller, Min. 1852. 351)

$$p_1 q_1 = a = \infty \quad p_2 q_2 = u = 20 \quad p_3 q_3 = c = 0 \quad p_4 q_4 = r = ?$$

$$a \ u = \delta = 40^\circ 37' \quad u \ c = \varepsilon = 60^\circ 11' \quad u \ r = \varepsilon + \zeta = 106^\circ 31'$$

$$\text{Es ist: } p_4 = 2 \frac{\operatorname{ctg} 106^\circ 31' - \operatorname{ctg} 60^\circ 11'}{\operatorname{ctg} 106^\circ 31' + \operatorname{ctg} 40^\circ 37'} = 2 \frac{-0.8696}{0.8695} = -2$$

Danach ist das gesuchte Symbol für  $r = -20$ .

**Controle durch Rückwärts-Rechnung.** Hat man aus den übrigen Stücken den dritten Winkel, oder andererseits das vierte Symbol abgeleitet, so ist stets zur Controle die Rechnung umzukehren und aus den gefundenen Stücken eines der gegebenen abzuleiten. In der Regel stellt sich die Rechnung so, dass das vierte Symbol unbekannt und der letzte Winkel ( $\zeta$ ) durch Messung gegeben ist. In diesem Fall ist zunächst das Symbol  $p_4 q_4$  abzuleiten, auf rationale Werthe abzugleichen und dann aus dem rationalen Symbol der Winkel  $\zeta$  rückwärts zu berechnen.

## Einige wichtigere Formeln.

**Allgemeiner Fall. Triklines System.** Die folgenden Formeln mögen, als für die Krystallberechnung besonders wichtig, hier eine Stelle finden. Die Erklärung der in ihnen auftretenden Buchstaben ergibt sich aus den Figg. 88 und 89.

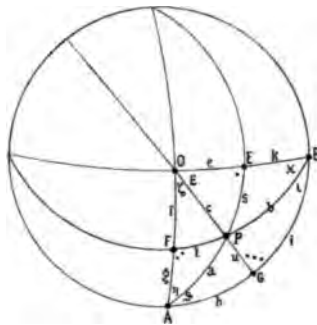


Fig. 88.

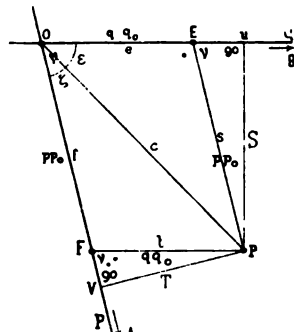


Fig. 89.

Fig. 88 ist das stereographische, Fig. 89 das gnomonische Projectionsbild. P sei der Projectionspunkt einer Fläche pq, E von oq, F von po. Die Dreiecke des gnomonischen Bildes sind theils als ebene (in der Projections-Ebene) theils als sphärische (auf der Kugel) verwendet; die sich auf erstere beziehenden Buchstaben sind in der Fig. 89 stark, die auf letztere bezüglich fein eingetrag. Ziehen wir noch den unter dem gnomonischen Bild liegenden Krystall-Mittelpunkt M in Betracht, so ist, wenn  $PU \perp OQ$ ,  $PV \perp OP$ :

$$\begin{aligned} \text{Im sphär. } \triangle POU \text{ ist: } & \frac{\sin S}{\sin \epsilon} = \sin c \quad \left\{ \begin{array}{l} \frac{\sin S}{\sin T} = \frac{\sin \epsilon}{\sin \zeta} \\ \frac{\sin S}{\sin T} = \frac{\sin \epsilon}{\sin \zeta} \end{array} \right. \\ \text{" " } \triangle POV \text{ " } & \frac{\sin T}{\sin \zeta} = \sin c \\ \text{" ebenen } \triangle PMU \text{ " } & \frac{PU}{PM} = \sin S \quad \left\{ \begin{array}{l} \frac{\sin S}{\sin T} = \frac{PU}{PV} \\ \frac{\sin S}{\sin T} = \frac{PU}{PV} \end{array} \right. \\ \text{" " } \triangle PMV \text{ " } & \frac{PV}{PM} = \sin T \\ \text{" " } \triangle PEU \text{ " } & \frac{PU}{PP_0} = \sin v \quad \left\{ \begin{array}{l} \frac{PU}{PV} = \frac{pp_0}{qq_0} \\ \frac{PU}{PV} = \frac{pp_0}{qq_0} \end{array} \right. \\ \text{" " } \triangle PFV \text{ " } & \frac{PV}{q q_0} = \sin v \end{aligned}$$

$$\begin{aligned} \text{Daher ist: } & \frac{\sin \epsilon}{\sin \zeta} = \frac{pp_0}{qq_0} \\ \text{analog ist: } & \frac{\sin \eta}{\sin \theta} = \frac{qq_0}{rr_0} \quad \dots \dots \dots 1 \\ & \frac{\sin \tau}{\sin \chi} = \frac{rr_0}{pp_0} \end{aligned}$$

Hieraus folgt durch Multiplication der Gleichungen:

$$\frac{\sin \epsilon}{\sin \zeta} \frac{\sin \eta}{\sin \theta} \frac{\sin \tau}{\sin \chi} = 1 \text{ oder } \boxed{\sin \epsilon \sin \eta \sin \tau = \sin \zeta \sin \theta \sin \chi} \dots 2.$$

Aus Fig. 88 lassen sich direkt die Formeln ablesen:

$$\begin{aligned} \sin b &= \sin \epsilon \\ \sin c &= \sin \chi \\ \sin a &= \sin \eta \\ \sin a &= \sin \tau \\ \sin b &= \sin \theta \end{aligned}$$

... 3.

woraus sich unter  
Benutzung von 1  
ergibt:

$$\begin{aligned} pp_0 \sin a &= \sin \chi = \frac{\sin \epsilon \sin \tau}{\sin \zeta \sin \theta} \\ qq_0 \sin b &= \sin \eta = \frac{\sin \tau \sin \epsilon}{\sin \theta \sin \chi} \\ qq_0 \sin b &= \frac{\sin \zeta}{\sin \tau} = \frac{\sin \eta \sin \epsilon}{\sin \theta \sin \chi} \\ rr_0 \sin c &= \frac{\sin \theta}{\sin \tau} = \frac{\sin \tau \sin \eta}{\sin \chi \sin \epsilon} \\ pp_0 \sin a &= \frac{\sin \theta}{\sin \epsilon} = \frac{\sin \tau \sin \eta}{\sin \chi \sin \zeta} \end{aligned} \dots 4.$$

Es ist ferner in Fig. 89:

$$\begin{array}{lcl}
 \text{Im sphärischen } \Delta \text{ POU: } \frac{\sin S}{\sin \epsilon} = \sin c & \left. \begin{array}{l} \text{woraus} \\ \text{folgt:} \\ \text{analog:} \end{array} \right\} & \begin{array}{l} \frac{pp_o}{qq_o} = \frac{\sin \epsilon}{\sin \zeta} = \frac{\sin S}{\sin T} = \frac{\sin s \sin \cdot}{\sin t \sin :} \\ \frac{qq_o}{rr_o} = \frac{\sin \eta}{\sin \theta} = \frac{\sin T}{\sin U} = \frac{\sin t \sin :}{\sin u \sin :} \\ \frac{rr_o}{pp_o} = \frac{\sin \iota}{\sin \alpha} = \frac{\sin U}{\sin S} = \frac{\sin u \sin :}{\sin s \sin \cdot} \end{array} \quad \dots 5.
 \end{array}$$

Nach einer bekannten Formel ist:

$$\sin e : \sin g : \sin i = \sin f : \sin h : \sin k \quad \dots 6.$$

**Specialfall.** Im regulären, tetragonalen, rhombischen und monoklinen System sind die Winkel  $\therefore \therefore = 90^\circ$ ; daher ist für alle diese Systeme:

$$pp_o : qq_o : rr_o = \sin s : \sin t : \sin u \quad \dots 7.$$

Ausserdem gilt für diese Systeme die Formel:

$$\cos e \cos g \cos i = \cos f \cos h \cos k \quad \dots 8.$$



Dreiecks-Auflösungen.<sup>1)</sup>

Die Formeln zur Auflösung der sphärischen Dreiecke sind aus Brezina's „Methodik der Krystallbestimmung“ entnommen, die Schema's mit der Modification, dass die Legende direkt in das Schema eingesetzt wurde. (Vgl. S. 66.)

## Schiefwinkliges Dreieck.

1. Aufgabe. Gegeben:  $a, b, c$ . Gesucht:  $\alpha, \beta, \gamma$ .

Formeln:  $s = \frac{a+b+c}{2}$ ;  $\lg r = \sqrt{\frac{\sin(s-a) \sin(s-b) \sin(s-c)}{\sin s}}$  } Controle:  $\frac{\sin \alpha}{\sin a} = \frac{\sin \beta}{\sin b} = \frac{\sin \gamma}{\sin c}$   
 (Brezina 81)  $\lg \frac{\alpha}{2} = \frac{\lg r}{\sin(s-a)}$ ;  $\lg \frac{\beta}{2} = \frac{\lg r}{\sin(s-b)}$ ;  $\lg \frac{\gamma}{2} = \frac{\lg r}{\sin(s-c)}$

Schema.

Controle.

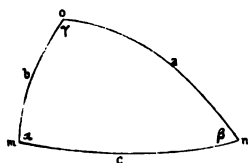


Fig. 90.

Buchst.	1	2	3	4	5	6	7	8
a	a	s-a	lg sin 21	54-31 =lg tg $\frac{\alpha}{2}$	2	lg sin $\alpha$	lg sin a	61-71
b	b	s-b	lg sin 22	54-32 =lg tg $\frac{\beta}{2}$	$\beta$	lg sin $\beta$	lg sin b	62-72 =81
c	c	s-c	lg sin 23	54-33 =lg tg $\frac{\gamma}{2}$	$\gamma$	lg sin $\gamma$	lg sin c	63-73 =81
s	lg sins	31+32+33	34-24	$\frac{44}{2}$				

## Beispiel:

Buchst.	1	2	3	4	5	6	7	8
n o	76° 20	31° 52 · 5	972269	991356	78° 40 · 2 n m o	999145	998753	000392
o m	57° 48	50° 24 · 5	988683	974942	58° 38 · 2 o n m	993139	992747	000392
m n	82° 17	25° 55 · 5	964067	999558	80° 25 · 0 m o n	999998	999605	000393
	108° 12 · 5	907769	925019	927250	963625			

<sup>1)</sup> Die hier gegebenen Formeln und Schemas zur Dreiecks-Auflösung bringen nichts wesentlich Neues; auch stehen sie nicht in nothwendigem Verband mit dem entwickelten System. Trotzdem wurden sie hierher gesetzt, weil sie bei der Krystallberechnung beständig gebraucht werden und es deshalb wünschenswerth erscheint, sie an dieser Stelle zu finden. Ausserdem ist bei einem so vielfach benutzten Instrument jede kleine Verbesserung (wie hier das Entfallen einer selbstständigen Legende) von Wichtigkeit. Es schien umsomehr angezeigt, diese Schemas zu geben, als sie nur wenige Seiten einnehmen. Die überall zugefügten Zahlenbeispiele dürften willkommen sein, da sie etwaige Zweifel in Bezug auf die Schemas beseitigen.

**2. Aufgabe. Gegeben:  $\alpha \beta \gamma$ . Gesucht:  $a b c$ .**

Formeln:  $\sigma = \frac{\alpha + \beta + \gamma}{2}$ ;  $\text{ctg } \rho = \sqrt{\frac{\cos(\sigma - \alpha) \cos(\sigma - \beta) \cos(\sigma - \gamma)}{\cos \sigma}}$     Kontrolle:  $\frac{\sin \alpha}{\sin \alpha} = \frac{\sin \beta}{\sin \beta} = \frac{\sin \gamma}{\sin \gamma}$   
 (Brezina 86)  $\text{ctg } \frac{a}{2} = \frac{\text{ctg } \rho}{\cos(\sigma - \alpha)}$ ;  $\text{ctg } \frac{b}{2} = \frac{\text{ctg } \rho}{\cos(\sigma - \beta)}$ ;  $\text{ctg } \frac{c}{2} = \frac{\text{ctg } \rho}{\cos(\sigma - \gamma)}$

Buchst.	1	2	3	4	5	6	7	8
$\alpha$	$\alpha$	$\sigma - \alpha$	$\lg \cos 21$	$54 - 31$ $= \lg \text{ctg } \frac{a}{2}$	a	$\lg \sin \alpha$	$\lg \sin \alpha$	$61 - 71$
$\beta$	$\beta$	$\sigma - \beta$	$\lg \cos 22$	$54 - 32$ $= \lg \text{ctg } \frac{b}{2}$	b	$\lg \sin \beta$	$\lg \sin \beta$	$62 - 72$ $= 81$
$\gamma$	$\gamma$	$\sigma - \gamma$	$\lg \cos 23$	$54 - 33$ $= \lg \text{ctg } \frac{c}{2}$	c	$\lg \sin \gamma$	$\lg \sin \gamma$	$63 - 73$ $= 81$
	$\sigma$	$\lg \cos \sigma$	$31 + 32 + 33$	$34 - 24$	$\frac{44}{2}$			

Buchst.	1	2	3	4	5	6	7	8
o m n	$78^\circ 40' 2$	$34^\circ 41' 5$	991499	010459	$76^\circ 20' 0$	998753	999145	999607
m n o	$58^\circ 38' 2$	$54^\circ 43' 5$	976155	025804	$57^\circ 48' 0$	992747	993139	999607
n o m	$89^\circ 25' 0$	$23^\circ 56' 7$	996091	005867	$82^\circ 17' 0$	999605	999998	999607
	$113^\circ 21' 7$	959828	963746	003917	001959			

**3. Aufgabe. Gegeben:  $\alpha \beta c$ . Gesucht:  $a b \gamma$ .**

Formeln:  $\text{tg } \frac{a-b}{2} = \text{tg } d = \frac{\sin \frac{b}{2} \sin \frac{c}{2}}{\sin \sigma \cos \frac{c}{2}}$ ;  $\text{tg } \frac{a+b}{2} = \text{tg } s = \frac{\cos \frac{b}{2} \sin \frac{c}{2}}{\cos \sigma \cos \frac{c}{2}}$   
 (Brezina 89)  $\sin \frac{\gamma}{2} = \frac{\cos \frac{b}{2} \sin \frac{c}{2}}{\sin s}$ ;  $\cos \frac{\gamma}{2} = \frac{\sin \sigma \cos \frac{c}{2}}{\sin d}$ ;  $a = s + d$ ;  $b = s - d$

Buchst.	1	2	3	4	5	6	7	8	9	Buchst.
a	$\alpha$	$\frac{11-13}{2}$	$\lg \sin 21$	$\lg \sin 23$	$31 + 32$	$41 + 42$	$51 - 61$ $= \lg \text{tg } d$	d	$82 + 81$ a	a
c	c	$\frac{12}{2}$	$\lg \sin 22$	$\lg \cos 22$	$32 + 33$	$42 + 43$	$52 - 62$ $= \lg \text{tg } s$	s	$82 - 81$ b	b
$\beta$	$\beta$	$\frac{11+13}{2}$	$\lg \cos 21$	$\lg \cos 23$	$\lg \sin 82$	$\lg \cos 81$	$52 - 53$ $= \lg \sin \frac{\gamma}{2}$	$61 - 63$ $= \lg \cos \frac{\gamma}{2}$	$\frac{\gamma}{2}$ aus $73 \cdot 83$	$\frac{\gamma}{2}$

Buchst.	1	2	3	4	5	6	7	8	9	Buchst.
n m n	$78^\circ 40' 2$	$10^\circ 01' 0$	924039	996913	905856	984597	921259	$9^\circ 16' 0$	$76^\circ 20' 0$	n o
m n	$82^\circ 17' 0$	$41^\circ 08' 5$	981817	987684	981150	943796	037354	$67^\circ 04' 0$	$58^\circ 48' 0$	o m
n o n	$58^\circ 38' 2$	$68^\circ 39' 2$	999333	956111	996424	999429	984726	985168	$89^\circ 25' 0$	n o m

**4. Aufgabe. Gegeben: a b  $\gamma$ . Gesucht:  $\alpha \beta c$ .**

Formeln:  $\text{tg } \frac{\alpha - \beta}{2} = \text{tg } \frac{\delta}{2} = \frac{\sin d \cos \frac{1}{2} \gamma}{\sin s \sin \frac{1}{2} \gamma}$ ;  $\text{tg } \frac{\alpha + \beta}{2} = \text{tg } \sigma = \frac{\cos d \cos \frac{1}{2} \gamma}{\cos s \sin \frac{1}{2} \gamma}$

(Brezina 91)  $\cos \frac{c}{2} = \frac{\cos d \cos \frac{1}{2} \gamma}{\sin \sigma}$ ;  $\sin \frac{c}{2} = \frac{\sin s \sin \frac{1}{2} \gamma}{\cos \delta}$ ;  $\alpha = \sigma + \delta$ ;  $\beta = \sigma - \delta$

Buchst.	1	2	3	4	5	6	7	8	9	Buchst.
a	a	$d = \frac{11-13}{2} \lg \sin 21$	$\lg \sin 23$	$31+32$	$41+42$	$51-61$	$\delta$	$82+81$	$\alpha$	a
						$= \lg \text{tg } \delta$		$= \alpha$		
$\gamma$	$\gamma$	$\frac{7}{2}$	$\lg \cos 22$	$\lg \sin 22$	$32+33$	$42+43$	$52-62$	$\sigma$	$82-81$	$\beta$
							$= \lg \text{tg } \sigma$		$= \beta$	
b	b	$s = \frac{11+13}{2} \lg \cos 21$	$\lg \cos 23$	$\lg \sin 82$	$\lg \cos 81$	$52-53$	$61-63$	$c$		c
						$= \lg \cos \frac{c}{2}$	$= \lg \sin \frac{c}{2}$	aus 73 · 83		

Buchst.	1	2	3	4	5	6	7	8	9	Buchst.
n o	76°20-0	9°16-0	020691	996424	905850	981150	924709	10°01-0	68°40-2	o m
n o m	80°25-0	44°42-5	085168	984726	984597	943795	040802	68°39-2	58°38-2	m n o
o m	57°48-0	67°04-0	099429	959069	006913	999333	987684	981817	87°17-0	m n

**5. Aufgabe. Gegeben: a b  $\alpha$ . Gesucht: c  $\beta \gamma$ .**

Formeln:  $\sin \alpha : \sin \beta : \sin \gamma = \sin a : \sin b : \sin c$

(Brezina 93)  $\text{tg } \frac{c}{2} = \text{tg } \frac{d \sin \sigma}{\sin \delta} = \frac{\text{tg } s \cos \sigma}{\cos \delta}$ ;  $\text{tg } \frac{\gamma}{2} = \frac{\text{ctg } \delta \sin d}{\sin s} = \frac{\text{ctg } \sigma \cos d}{\cos s}$

$d = \frac{a-b}{2}$ ;  $s = \frac{a+b}{2}$

$\delta = \frac{\alpha - \beta}{2}$ ;  $\sigma = \frac{\alpha + \beta}{2}$

Buchst.	1	2	3	4	5	6	7	8
a	a	$\lg \sin a$	$\frac{11+12}{2} = s$	$\lg \sin 34$	$\lg \cos 34$	$\lg \sin 31$	$\lg \cos 31$	c
b	b	$\lg \sin b$	$\frac{11-12}{2} = d$	$\lg \sin 33$	$\lg \cos 33$	$\lg \sin 32$	$\lg \cos 32$	Buchst. c
$\alpha$	$\alpha$	$\lg \sin \alpha$	$\frac{13+14}{2} = \sigma$	$\lg \text{tg } 32$	$\lg \text{tg } 31$	$\lg \text{ctg } 34$	$\lg \text{ctg } 33$	$\gamma$
$\beta$	$\beta$	$\frac{23+22-21}{2} = \lg \sin \beta$	$\frac{13-14}{2} = \delta$	$\frac{43+42-41}{2}$	$\frac{53+52-51}{2}$	$\frac{63+62-61}{2}$	$\frac{73+72-71}{2}$	Buchst. $\gamma$
				$= \lg \text{tg } \frac{c}{2}$	$= \lg \text{tg } \frac{\gamma}{2}$	$= \lg \text{tg } \frac{\gamma}{2}$		

Buchst.	1	2	3	4	5	6	7	8
n o	76°20-0	008753	67°04-0	024039	999333	996424	959069	82°17-0
o m	57°48-0	902747	9°16-0	996913	956111	920691	999429	m n
o m n	78°40-2	999145	68°39-2	921261	037355	075294	959197	80°25-0
m n o	58°38-2	903130	10°01-0	994135	994133	999561	999557	m n o

**6. Aufgabe. Gegeben:  $\alpha \beta a$ . Gesucht: b c  $\gamma$ .**

Formeln: Dieselben wie bei 5. Auch das Schema ist in gleicher Weise zu benutzen, nur ist 14 gegeben, 12 berechnet sich durch  $\lg \sin b = 22 = 21 + 24 - 23$ . Alles Andere bleibt dasselbe.

**Rechtwinkliges Dreieck.** Zur Auflösung des rechtwinkligen Dreiecks genügt die Napier'sche Regel, die lautet:

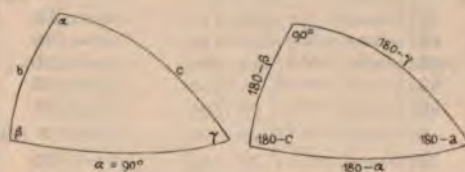
Der Cosinus eines Stücks ist gleich dem Product der Cotangenten der beiden benachbarten und gleich dem Product der Sinus der beiden entfernten Stücke. Dabei ist der rechte Winkel bei der Zählung nicht mitzurechnen, und wenn ein Stück Kathete ist, so tritt statt der in der Regel verlangten Function die Cofunction ein.

Die folgende bequeme Zusammenstellung der Einzelfälle giebt Brezina: Methodik: 1884. 346 (147).

$\alpha = 90^\circ$	Gegeben.	Gesucht.		
	a b	$\cos c = \cos a : \cos b$	$\cos \gamma = \operatorname{tg} b \cdot \operatorname{ctg} a$	$\sin \beta = \sin b : \sin a$
	b c	$\cos a = \cos b \cdot \cos c$	$\operatorname{ctg} \beta = \operatorname{ctg} b \cdot \sin c$	$\operatorname{ctg} \gamma = \sin b \cdot \operatorname{ctg} c$
	a $\beta$	$\operatorname{ctg} \gamma = \cos a \cdot \operatorname{tg} \beta$	$\sin b = \sin a \cdot \sin \beta$	$\operatorname{tg} c = \operatorname{tg} a \cdot \cos \beta$
	b $\beta$	$\sin a = \sin b : \sin \beta$	$\sin c = \operatorname{tg} b \cdot \operatorname{ctg} \beta$	$\sin \gamma = \cos \beta : \cos b$
	b $\gamma$	$\operatorname{ctg} a = \operatorname{ctg} b \cdot \cos \gamma$	$\operatorname{tg} c = \sin b \cdot \operatorname{tg} \gamma$	$\cos \beta = \cos b \cdot \sin \gamma$
	$\beta \gamma$	$\cos a = \operatorname{ctg} \beta \cdot \operatorname{ctg} \gamma$	$\cos b = \cos \beta : \sin \gamma$	$\cos c = \cos \gamma : \sin \beta$

**Rechtseitiges Dreieck.** Auch hier können wir mit der Napier'schen Regel auskommen, wenn wir statt des zu behandelnden Dreiecks sein polares rechtwinkliges zur Untersuchung nehmen:

In den beiden polaren (reciproken) Dreiecken ergänzen die Seiten des einen die Winkel des andern zu  $180^\circ$ . Wir können das polare Dreieck aufzeichnen und in ihm nach der Napier'schen Regel rechnen; erhalten als Resultat nicht  $b c a \beta \gamma$ , sondern  $180 - b, 180 - c, 180 - a, 180 - \beta, 180 - \gamma$ .



Rechtseitiges Dreieck. Polares (rechtwinkliges) Dreieck. Fig. 91. Fig. 92.

Brezina giebt auch hierfür (Methodik 1884. 348 [176]) eine Zusammenstellung der Einzelfälle, die hier folgen möge.

$a = 90^\circ$	Gegeben.	Gesucht.		
	$\alpha \beta$	$\cos \gamma = \cos \alpha : \cos \beta$	$\cos c = \operatorname{tg} \beta \cdot \operatorname{ctg} \alpha$	$\sin b = \sin \beta : \sin \alpha$
	$\beta \gamma$	$\cos \alpha = \cos \beta \cdot \cos \gamma$	$\operatorname{ctg} b = \operatorname{ctg} \beta \cdot \sin \gamma$	$\operatorname{ctg} c = \sin \beta \cdot \operatorname{ctg} \gamma$
	$\alpha b$	$\operatorname{ctg} c = \cos \alpha \cdot \operatorname{tg} b$	$\sin \beta = \sin \alpha \cdot \sin b$	$\operatorname{tg} \gamma = \operatorname{tg} a \cdot \cos b$
	$\beta b$	$\sin \alpha = \sin \beta : \sin b$	$\sin \gamma = \operatorname{tg} \beta \cdot \operatorname{ctg} b$	$\sin c = \cos b : \cos \beta$
	$\beta c$	$\operatorname{ctg} \alpha = \operatorname{ctg} \beta \cdot \cos c$	$\operatorname{tg} \gamma = \sin \beta \cdot \operatorname{tg} c$	$\cos b = \cos \beta \cdot \sin c$
	b c	$\cos \alpha = \operatorname{ctg} b \cdot \operatorname{ctg} c$	$\cos \beta = \cos b : \sin c$	$\cos \gamma = \cos c : \sin b$



## Hilfs-Tabellen.

Es wurde hier eine Tabelle der vierstelligen wirklichen Sinus, Cosinus, Tangenten und Cotangenten, sowie eine Tabelle der Sehnen ( $2 \sin \frac{a}{2}$ ) gegeben. Sie sind unter Weglassung der Differenzen und der Partes proportionales aus Gauss Logarithmen (Halle 1882) entnommen.

Tab. III leistet gute Dienste bei manchen Rechnungen. Tab. IV dient in der graphischen Krystallberechnung, wie dort gezeigt werden soll, zum Auftragen der Winkel aus ihren Sehnen.

Tabelle III.

Wirkliche Sinus, Cosinus, Tangenten und Cotangenten.													
Winkel	Sin.	Tang.	Cotg.	Diff.	Cos.	Winkel	Winkel	Sin.	Tang.	Cotg.	Diff.	Cos.	Winkel
0° 0'	0.0000	0.0000	infin.		1.0000	0° 90'	4° 40'	0.0814	0.0816	12.2505	4243	0.9967	20 85°
10	0.0029	0.0029	343.7737		1.0000	50	50	0.0843	0.0846	11.8262	3961	0.9964	10
20	0.0058	0.0058	171.8854		1.0000	40	5	0.0872	0.0875	11.4301	3707	0.9962	0 85
30	0.0087	0.0087	114.5887		1.0000	30	10	0.0901	0.0904	11.0594	3475	0.9959	50
40	0.0116	0.0116	85.9398		0.9999	20	20	0.0929	0.0934	10.7119	3265	0.9957	40
50	0.0145	0.0145	68.7501		0.9999	10	30	0.0958	0.0963	10.3854	3074	0.9954	30
1 0	0.0175	0.0175	57.2900	81861	0.9998	0 89	40	0.0987	0.0992	10.0780	2898	0.9951	20
10	0.0204	0.0204	49.1039	61398	0.9998	50	50	0.1016	0.1022	9.7882	2738	0.9948	10
20	0.0233	0.0233	42.9641	47756	0.9997	40	6 0	0.1045	0.1051	9.5144	2591	0.9945	0 84
30	0.0262	0.0262	38.1885	38207	0.9997	30	10	0.1074	0.1080	9.2553	2455	0.9942	50
40	0.0291	0.0291	34.3678	31262	0.9996	20	20	0.1103	0.1110	9.0098	2329	0.9939	40
50	0.0320	0.0320	31.2416	26053	0.9995	10	30	0.1132	0.1139	8.7769	2214	0.9936	30
2 0	0.0349	0.0349	28.6363	22047	0.9994	0 88	40	0.1161	0.1169	8.5555	2105	0.9932	20
10	0.0378	0.0378	26.4316	18898	0.9993	50	50	0.1190	0.1198	8.3450	2007	0.9929	10
20	0.0407	0.0407	24.5418	16380	0.9992	40	7 0	0.1219	0.1228	8.1443	1913	0.9925	0 83
30	0.0436	0.0437	22.9038	14334	0.9990	30	10	0.1248	0.1257	7.9530	1826	0.9922	50
40	0.0465	0.0466	21.4704	12648	0.9989	20	20	0.1276	0.1287	7.7704	1740	0.9918	40
50	0.0494	0.0495	20.2056	11245	0.9988	10	30	0.1305	0.1317	7.5958	1671	0.9914	30
3 0	0.0523	0.0524	19.0811	10061	0.9986	0 87	40	0.1334	0.1346	7.4287	1600	0.9911	20
10	0.0552	0.0553	18.0750	9057	0.9985	50	50	0.1363	0.1376	7.2687	1533	0.9907	10
20	0.0581	0.0582	17.1693	8194	0.9983	40	8 0	0.1392	0.1405	7.1154	1472	0.9903	0 82
30	0.0610	0.0612	16.3499	7451	0.9981	30	10	0.1421	0.1435	6.9682	1413	0.9899	50
40	0.0640	0.0641	15.6048	6804	0.9980	20	20	0.1449	0.1465	6.8269	1357	0.9894	40
50	0.0669	0.0670	14.9244	6237	0.9978	10	30	0.1478	0.1495	6.6912	1306	0.9890	30
4 0	0.0698	0.0699	14.3007	5740	0.9976	0 86	40	0.1507	0.1524	6.5606	1258	0.9886	20
10	0.0727	0.0729	13.7267	5298	0.9974	50	50	0.1536	0.1554	6.4348	1210	0.9881	10
20	0.0756	0.0758	13.1969	4907	0.9971	40	9 0	0.1564	0.1584	6.3138		0.9877	0 81
30	0.0785	0.0787	12.7062	4557	0.9969	30							
Winkel	Cos.	Cotg.	Tang.	Diff.	Sin.	Winkel	Winkel	Cos.	Cotg.	Tang.	Diff.	Sin.	Winkel



Tabelle III. (Fortsetzung.)

Winkel	Sin.	Tang.	Cotg.	Diff.	Cos.	Winkel	Winkel	Sin.	Tang.	Cotg.	Diff.	Cos.	Winkel
9° 0'	0.1564	0.1584	6.3138	1168	0.9877	0' 81°	18° 0'	0.3090	0.3249	3.0777	302	0.9511	0' 72°
10	0.1593	0.1614	6.1970	1126	0.9872	50	10	0.3118	0.3281	3.0475	297	0.9502	50
20	0.1622	0.1644	6.0844	1086	0.9868	40	20	0.3145	0.3314	3.0178	291	0.9492	40
30	0.1650	0.1673	5.9758	1050	0.9863	30	30	0.3173	0.3346	2.9887	287	0.9483	30
40	0.1679	0.1703	5.8708	1014	0.9858	20	40	0.3201	0.3378	2.9600	281	0.9474	20
50	0.1708	0.1733	5.7694	981	0.9853	10	50	0.3228	0.3411	2.9319	277	0.9465	10
10 0	0.1736	0.1763	5.6713	949	0.9848	0 80	19 0	0.3256	0.3443	2.9042	272	0.9455	0 71
10	0.1765	0.1793	5.5764	919	0.9843	50	10	0.3283	0.3476	2.8770	268	0.9446	50
20	0.1794	0.1823	5.4845	890	0.9838	40	20	0.3311	0.3508	2.8502	263	0.9436	40
30	0.1822	0.1853	5.3955	862	0.9833	30	30	0.3338	0.3541	2.8239	259	0.9426	30
40	0.1851	0.1883	5.3093	836	0.9827	20	40	0.3365	0.3574	2.7980	255	0.9417	20
50	0.1880	0.1914	5.2257	811	0.9822	10	50	0.3393	0.3607	2.7725	250	0.9407	10
11 0	0.1908	0.1944	5.1446	788	0.9816	0 79	20 0	0.3420	0.3640	2.7475	247	0.9397	0 70
10	0.1937	0.1974	5.0658	764	0.9811	50	10	0.3448	0.3673	2.7228	243	0.9387	50
20	0.1965	0.2004	4.9894	742	0.9805	40	20	0.3475	0.3706	2.6985	239	0.9377	40
30	0.1994	0.2035	4.9152	722	0.9799	30	30	0.3502	0.3739	2.6746	235	0.9367	30
40	0.2022	0.2065	4.8430	701	0.9793	20	40	0.3529	0.3772	2.6511	232	0.9356	20
50	0.2051	0.2095	4.7729	683	0.9787	10	50	0.3557	0.3805	2.6279	228	0.9346	10
12 0	0.2079	0.2126	4.7046	664	0.9781	0 78	21 0	0.3584	0.3839	2.6051	225	0.9336	0 69
10	0.2108	0.2156	4.6382	646	0.9775	50	10	0.3611	0.3872	2.5826	221	0.9325	50
20	0.2136	0.2186	4.5736	629	0.9769	40	20	0.3638	0.3906	2.5605	219	0.9315	40
30	0.2164	0.2217	4.5107	613	0.9763	30	30	0.3665	0.3939	2.5386	214	0.9304	30
40	0.2193	0.2247	4.4494	597	0.9757	20	40	0.3692	0.3973	2.5172	212	0.9293	20
50	0.2221	0.2278	4.3897	582	0.9750	10	50	0.3719	0.4006	2.4960	209	0.9283	10
13 0	0.2250	0.2309	4.3315	568	0.9744	0 77	22 0	0.3746	0.4040	2.4751	206	0.9272	0 68
10	0.2278	0.2339	4.2747	554	0.9737	50	10	0.3773	0.4074	2.4545	203	0.9261	50
20	0.2306	0.2370	4.2193	540	0.9730	40	20	0.3800	0.4108	2.4342	200	0.9250	40
30	0.2334	0.2401	4.1653	527	0.9724	30	30	0.3827	0.4142	2.4142	197	0.9239	30
40	0.2363	0.2432	4.1126	515	0.9717	20	40	0.3854	0.4176	2.3945	195	0.9228	20
50	0.2391	0.2462	4.0611	503	0.9710	10	50	0.3881	0.4210	2.3750	191	0.9216	10
14 0	0.2419	0.2493	4.0108	491	0.9703	0 76	23 0	0.3907	0.4245	2.3559	190	0.9205	0 67
10	0.2447	0.2524	3.9617	481	0.9696	50	10	0.3934	0.4279	2.3369	186	0.9194	50
20	0.2476	0.2555	3.9136	469	0.9689	40	20	0.3961	0.4314	2.3183	185	0.9182	40
30	0.2504	0.2586	3.8667	459	0.9681	30	30	0.3987	0.4348	2.2998	181	0.9171	30
40	0.2532	0.2617	3.8208	448	0.9674	20	40	0.4014	0.4383	2.2817	180	0.9159	20
50	0.2560	0.2648	3.7760	439	0.9667	10	50	0.4041	0.4417	2.2637	177	0.9147	10
15 0	0.2588	0.2679	3.7321	430	0.9659	0 75	24 0	0.4067	0.4452	2.2460	174	0.9135	0 66
10	0.2616	0.2711	3.6891	421	0.9652	50	10	0.4094	0.4487	2.2286	173	0.9124	50
20	0.2644	0.2742	3.6470	411	0.9644	40	20	0.4120	0.4522	2.2113	170	0.9112	40
30	0.2672	0.2773	3.6059	403	0.9636	30	30	0.4147	0.4557	2.1943	168	0.9100	30
40	0.2700	0.2805	3.5656	395	0.9628	20	40	0.4173	0.4592	2.1775	166	0.9088	20
50	0.2728	0.2836	3.5261	387	0.9621	10	50	0.4200	0.4628	2.1609	164	0.9075	10
16 0	0.2756	0.2867	3.4874	379	0.9613	0 74	25 0	0.4226	0.4663	2.1445	162	0.9063	0 65
10	0.2784	0.2899	3.4499	371	0.9605	50	10	0.4253	0.4699	2.1283	160	0.9051	50
20	0.2812	0.2931	3.4124	365	0.9596	40	20	0.4279	0.4734	2.1123	158	0.9038	40
30	0.2840	0.2962	3.3759	357	0.9588	30	30	0.4305	0.4770	2.0965	156	0.9026	30
40	0.2868	0.2994	3.3402	350	0.9580	20	40	0.4331	0.4806	2.0809	154	0.9013	20
50	0.2896	0.3026	3.3052	343	0.9572	10	50	0.4358	0.4841	2.0655	152	0.9001	10
17 0	0.2924	0.3057	3.2709	338	0.9563	0 73	26 0	0.4384	0.4877	2.0503	150	0.8988	0 64
10	0.2952	0.3089	3.2371	330	0.9555	50	10	0.4410	0.4913	2.0353	149	0.8975	50
20	0.2979	0.3121	3.2041	325	0.9546	40	20	0.4436	0.4950	2.0204	147	0.8962	40
30	0.3007	0.3153	3.1716	319	0.9537	30	30	0.4462	0.4986	2.0057	145	0.8949	30
40	0.3035	0.3185	3.1397	313	0.9528	20	40	0.4488	0.5022	1.9912	144	0.8936	20
50	0.3062	0.3217	3.1084	307	0.9520	10	50	0.4514	0.5059	1.9768	142	0.8923	10
18 0	0.3090	0.3249	3.0777		0.9511	0 72	27 0	0.4540	0.5095	1.9626		0.8910	0 63
Winkel	Cos.	Cotg.	Tang.	Diff.	Sin.	Winkel	Winkel	Cos.	Cotg.	Tang.	Diff.	Sin.	Winkel



Tabelle III. (Fortsetzung.)

Winkel	Sin.	Tang.	Cotg.	Diff.	Cos.	Winkel	Winkel	Sin.	Tang.	Cotg.	Diff.	Cos.	Winkel
27° 0'	0.5450	0.5095	1.9626	140	0.8910	0' 63°	36° 0'	0.5878	0.7265	1.3764	84	0.8090	0' 54°
10	0.4566	0.5132	1.9486	139	0.8897	50	10	0.5901	0.7310	1.3680	83	0.8073	50
20	0.4592	0.5169	1.9347	137	0.8884	40	20	0.5925	0.7355	1.3597	83	0.8056	40
30	0.4617	0.5206	1.9210	136	0.8870	30	30	0.5948	0.7400	1.3514	82	0.8039	30
40	0.4643	0.5243	1.9074	134	0.8857	20	40	0.5972	0.7445	1.3432	81	0.8021	20
50	0.4669	0.5280	1.8940	133	0.8843	10	50	0.5995	0.7490	1.3351	81	0.8004	10
28 0	0.4695	0.5317	1.8807	131	0.8829	0 62	37 0	0.6018	0.7536	1.3270	80	0.7986	0 53
10	0.4720	0.5354	1.8676	130	0.8816	50	10	0.6041	0.7581	1.3190	79	0.7969	50
20	0.4746	0.5392	1.8546	128	0.8802	40	20	0.6065	0.7627	1.3111	79	0.7951	40
30	0.4772	0.5430	1.8418	127	0.8788	30	30	0.6088	0.7673	1.3032	78	0.7934	30
40	0.4797	0.5467	1.8291	126	0.8774	20	40	0.6111	0.7720	1.2954	78	0.7916	20
50	0.4823	0.5505	1.8165	125	0.8760	10	50	0.6134	0.7766	1.2876	77	0.7898	10
29 0	0.4848	0.5543	1.8040	123	0.8746	0 61	38 0	0.6157	0.7813	1.2799	76	0.7880	0 52
10	0.4874	0.5581	1.7917	121	0.8732	50	10	0.6180	0.7860	1.2723	76	0.7862	50
20	0.4899	0.5619	1.7796	121	0.8718	40	20	0.6202	0.7907	1.2647	75	0.7844	40
30	0.4924	0.5658	1.7675	119	0.8704	30	30	0.6225	0.7954	1.2572	75	0.7826	30
40	0.4950	0.5696	1.7556	119	0.8689	20	40	0.6248	0.8002	1.2497	74	0.7808	20
50	0.4975	0.5735	1.7437	116	0.8675	10	50	0.6271	0.8050	1.2423	74	0.7790	10
30 0	0.5000	0.5774	1.7321	116	0.8660	0 60	39 0	0.6293	0.8098	1.2349	73	0.7771	0 51
10	0.5025	0.5812	1.7205	115	0.8646	50	10	0.6316	0.8146	1.2276	73	0.7753	50
20	0.5050	0.5851	1.7090	113	0.8631	40	20	0.6338	0.8195	1.2203	72	0.7735	40
30	0.5075	0.5890	1.6977	113	0.8616	30	30	0.6361	0.8243	1.2131	72	0.7716	30
40	0.5100	0.5930	1.6864	111	0.8601	20	40	0.6383	0.8292	1.2059	71	0.7698	20
50	0.5125	0.5969	1.6753	110	0.8587	10	50	0.6406	0.8342	1.1988	70	0.7679	10
31 0	0.5150	0.6009	1.6643	109	0.8572	0 59	40 0	0.6428	0.8391	1.1918	71	0.7660	0 50
10	0.5275	0.6048	1.6534	108	0.8557	50	10	0.6450	0.8441	1.1847	69	0.7642	50
20	0.5200	0.6088	1.6426	107	0.8542	40	20	0.6472	0.8491	1.1778	70	0.7623	40
30	0.5225	0.6128	1.6319	107	0.8526	30	30	0.6494	0.8541	1.1708	68	0.7604	30
40	0.5250	0.6168	1.6212	105	0.8511	20	40	0.6517	0.8591	1.1640	68	0.7585	20
50	0.5175	0.6208	1.6107	104	0.8496	10	50	0.6539	0.8642	1.1571	67	0.7566	10
32 0	0.5299	0.6249	1.6003	103	0.8480	0 58	41 0	0.6561	0.8693	1.1504	68	0.7547	0 49
10	0.5324	0.6289	1.5900	102	0.8465	50	10	0.6583	0.8744	1.1436	67	0.7528	50
20	0.5348	0.6330	1.5798	101	0.8450	40	20	0.6604	0.8796	1.1369	66	0.7509	40
30	0.5373	0.6371	1.5697	100	0.8434	30	30	0.6626	0.8847	1.1303	66	0.7490	30
40	0.5398	0.6412	1.5597	100	0.8418	20	40	0.6648	0.8899	1.1237	66	0.7470	20
50	0.5422	0.6453	1.5497	98	0.8403	10	50	0.6670	0.8952	1.1171	65	0.7451	10
33 0	0.5446	0.6494	1.5399	98	0.8387	0 57	42 0	0.6691	0.9004	1.1106	65	0.7431	0 48
10	0.5471	0.6536	1.5301	97	0.8371	50	10	0.6713	0.9057	1.1041	64	0.7412	50
20	0.5495	0.6577	1.5204	96	0.8355	40	20	0.6734	0.9110	1.0977	64	0.7392	40
30	0.5519	0.6619	1.5108	95	0.8339	30	30	0.6756	0.9163	1.0913	63	0.7373	30
40	0.5544	0.6661	1.5013	94	0.8323	20	40	0.6777	0.9217	1.0850	63	0.7353	20
50	0.5568	0.6703	1.4919	93	0.8307	10	50	0.6799	0.9271	1.0786	62	0.7333	10
34 0	0.5592	0.6745	1.4826	93	0.8290	0 56	43 0	0.6820	0.9325	1.0724	63	0.7314	0 47
10	0.5616	0.6787	1.4733	92	0.8274	50	10	0.6841	0.9380	1.0661	62	0.7294	50
20	0.5640	0.6830	1.4641	91	0.8258	40	20	0.6862	0.9435	1.0599	61	0.7274	40
30	0.5664	0.6873	1.4550	90	0.8241	30	30	0.6884	0.9490	1.0538	61	0.7254	30
40	0.5688	0.6916	1.4460	89	0.8225	20	40	0.6905	0.9545	1.0477	61	0.7234	20
50	0.5712	0.6959	1.4370	88	0.8208	10	50	0.6926	0.9601	1.0416	61	0.7214	10
35 0	0.5736	0.7002	1.4281	88	0.8192	0 55	44 0	0.6947	0.9657	1.0355	60	0.7193	0 46
10	0.5760	0.7046	1.4193	87	0.8175	50	10	0.6967	0.9713	1.0295	60	0.7173	50
20	0.5783	0.7089	1.4106	87	0.8158	40	20	0.6988	0.9770	1.0235	59	0.7153	40
30	0.5807	0.7133	1.4019	85	0.8141	30	30	0.7009	0.9827	1.0176	59	0.7133	30
40	0.5831	0.7177	1.3934	86	0.8124	20	40	0.7030	0.9884	1.0117	59	0.7112	20
50	0.5854	0.7221	1.3848	84	0.8107	10	50	0.7050	0.9942	1.0058	58	0.7092	10
36 0	0.5878	0.7265	1.3764		0.8090	0 54	45 0	0.7071	1.0000	1.0000		0.7071	0 45
Winkel	Cos.	Cotg.	Tang.	Diff.	Sin.	Winkel	Winkel	Cos.	Cotg.	Tang.	Diff.	Sin.	Winkel



Tabelle IV.

## Sehnen.

$$s = 2 \sin \frac{\alpha}{2}$$

°	0'	10'	20'	30'	40'	50'	°	0'	10'	20'	30'	40'	50'
0	0.0000	0.0029	0.0058	0.0087	0.0116	0.0145	40	0.6840	0.6868	0.6895	0.6922	0.6950	0.6977
1	0.0175	0.0204	0.0233	0.0262	0.0291	0.0320	41	0.7004	0.7031	0.7059	0.7086	0.7113	0.7140
2	0.0349	0.0378	0.0407	0.0436	0.0465	0.0494	42	0.7167	0.7195	0.7222	0.7249	0.7276	0.7303
3	0.0524	0.0553	0.0582	0.0611	0.0640	0.0669	43	0.7330	0.7357	0.7384	0.7411	0.7438	0.7465
4	0.0698	0.0727	0.0756	0.0785	0.0814	0.0843	44	0.7492	0.7519	0.7546	0.7573	0.7600	0.7627
5	0.0872	0.0901	0.0931	0.0960	0.0989	0.1018	45	0.7654	0.7681	0.7707	0.7734	0.7761	0.7788
6	0.1047	0.1076	0.1105	0.1134	0.1163	0.1192	46	0.7815	0.7841	0.7868	0.7895	0.7922	0.7948
7	0.1221	0.1250	0.1279	0.1308	0.1337	0.1366	47	0.7975	0.8002	0.8028	0.8055	0.8082	0.8108
8	0.1395	0.1424	0.1453	0.1482	0.1511	0.1540	48	0.8135	0.8161	0.8188	0.8214	0.8241	0.8267
9	0.1569	0.1598	0.1627	0.1656	0.1685	0.1714	49	0.8294	0.8320	0.8347	0.8373	0.8400	0.8426
10	0.1743	0.1772	0.1801	0.1830	0.1859	0.1888	50	0.8452	0.8479	0.8505	0.8531	0.8558	0.8584
11	0.1917	0.1946	0.1975	0.2004	0.2033	0.2062	51	0.8610	0.8636	0.8663	0.8689	0.8715	0.8741
12	0.2091	0.2119	0.2148	0.2177	0.2206	0.2235	52	0.8767	0.8794	0.8820	0.8846	0.8872	0.8898
13	0.2264	0.2293	0.2322	0.2351	0.2380	0.2409	53	0.8924	0.8950	0.8976	0.9002	0.9028	0.9054
14	0.2437	0.2466	0.2495	0.2524	0.2553	0.2582	54	0.9080	0.9106	0.9132	0.9157	0.9183	0.9209
15	0.2611	0.2639	0.2668	0.2697	0.2726	0.2755	55	0.9235	0.9261	0.9287	0.9312	0.9338	0.9364
16	0.2783	0.2812	0.2841	0.2870	0.2899	0.2927	56	0.9389	0.9415	0.9441	0.9466	0.9492	0.9518
17	0.2956	0.2985	0.3014	0.3042	0.3071	0.3100	57	0.9543	0.9569	0.9594	0.9620	0.9645	0.9671
18	0.3129	0.3157	0.3186	0.3215	0.3244	0.3272	58	0.9696	0.9722	0.9747	0.9772	0.9798	0.9823
19	0.3301	0.3330	0.3358	0.3387	0.3416	0.3444	59	0.9848	0.9874	0.9899	0.9924	0.9950	0.9975
20	0.3473	0.3502	0.3530	0.3559	0.3587	0.3616	60	1.0000	1.0025	1.0050	1.0075	1.0101	1.0126
21	0.3645	0.3673	0.3702	0.3730	0.3759	0.3788	61	1.0151	1.0176	1.0201	1.0226	1.0251	1.0276
22	0.3816	0.3845	0.3873	0.3902	0.3930	0.3959	62	1.0301	1.0326	1.0351	1.0375	1.0400	1.0425
23	0.3987	0.4016	0.4044	0.4073	0.4101	0.4130	63	1.0450	1.0475	1.0500	1.0524	1.0549	1.0574
24	0.4158	0.4187	0.4215	0.4244	0.4272	0.4300	64	1.0598	1.0623	1.0648	1.0672	1.0697	1.0721
25	0.4329	0.4357	0.4386	0.4414	0.4442	0.4471	65	1.0746	1.0771	1.0795	1.0819	1.0844	1.0868
26	0.4499	0.4527	0.4556	0.4584	0.4612	0.4641	66	1.0893	1.0917	1.0942	1.0966	1.0990	1.1014
27	0.4669	0.4697	0.4725	0.4754	0.4782	0.4810	67	1.1039	1.1063	1.1087	1.1111	1.1136	1.1160
28	0.4838	0.4867	0.4895	0.4923	0.4951	0.4979	68	1.1184	1.1208	1.1232	1.1256	1.1280	1.1304
29	0.5008	0.5036	0.5064	0.5092	0.5120	0.5148	69	1.1328	1.1352	1.1376	1.1400	1.1424	1.1448
30	0.5176	0.5204	0.5233	0.5261	0.5289	0.5317	70	1.1472	1.1495	1.1519	1.1543	1.1567	1.1590
31	0.5345	0.5373	0.5401	0.5429	0.5457	0.5485	71	1.1614	1.1638	1.1661	1.1685	1.1709	1.1732
32	0.5513	0.5541	0.5569	0.5597	0.5625	0.5652	72	1.1756	1.1779	1.1803	1.1826	1.1850	1.1873
33	0.5680	0.5708	0.5736	0.5764	0.5792	0.5820	73	1.1896	1.1920	1.1943	1.1966	1.1990	1.2013
34	0.5847	0.5875	0.5903	0.5931	0.5959	0.5986	74	1.2036	1.2060	1.2083	1.2106	1.2129	1.2152
35	0.6014	0.6042	0.6070	0.6097	0.6125	0.6153	75	1.2175	1.2198	1.2221	1.2244	1.2267	1.2290
36	0.6180	0.6208	0.6236	0.6263	0.6291	0.6319	76	1.2313	1.2336	1.2359	1.2382	1.2405	1.2428
37	0.6346	0.6374	0.6401	0.6429	0.6456	0.6484	77	1.2450	1.2473	1.2496	1.2518	1.2541	1.2564
38	0.6511	0.6539	0.6566	0.6594	0.6621	0.6649	78	1.2586	1.2609	1.2632	1.2654	1.2677	1.2699
39	0.6676	0.6704	0.6731	0.6758	0.6786	0.6813	79	1.2722	1.2744	1.2766	1.2789	1.2811	1.2833
°	0'	10'	20'	30'	40'	50'	°	0'	10'	20'	30'	40'	50'



Tabelle IV. Sehn. (Fortsetzung.)

°	0'	10'	20'	30'	40'	50'	°	0'	10'	20'	30'	40'	50'
80	1.2856	1.2878	1.2900	1.2922	1.2945	1.2967	130	1.8126	1.8138	1.8151	1.8163	1.8175	1.8187
81	1.2989	1.3011	1.3033	1.3055	1.3077	1.3099	131	1.8199	1.8211	1.8223	1.8235	1.8247	1.8259
82	1.3121	1.3143	1.3165	1.3187	1.3209	1.3231	132	1.8271	1.8283	1.8294	1.8306	1.8318	1.8330
83	1.3252	1.3274	1.3296	1.3318	1.3339	1.3361	133	1.8341	1.8353	1.8364	1.8376	1.8387	1.8399
84	1.3383	1.3404	1.3426	1.3447	1.3469	1.3490	134	1.8410	1.8421	1.8433	1.8444	1.8455	1.8466
85	1.3512	1.3533	1.3555	1.3576	1.3597	1.3619	135	1.8478	1.8489	1.8500	1.8511	1.8522	1.8533
86	1.3640	1.3661	1.3682	1.3704	1.3725	1.3746	136	1.8544	1.8555	1.8565	1.8576	1.8587	1.8598
87	1.3767	1.3788	1.3809	1.3830	1.3851	1.3872	137	1.8608	1.8619	1.8630	1.8640	1.8651	1.8661
88	1.3893	1.3914	1.3935	1.3956	1.3977	1.3997	138	1.8672	1.8682	1.8692	1.8703	1.8713	1.8723
89	1.4018	1.4039	1.4060	1.4080	1.4101	1.4122	139	1.8733	1.8744	1.8754	1.8764	1.8774	1.8784
90	1.4142	1.4163	1.4183	1.4204	1.4224	1.4245	140	1.8794	1.8804	1.8814	1.8824	1.8833	1.8843
91	1.4265	1.4285	1.4306	1.4326	1.4346	1.4367	141	1.8853	1.8863	1.8872	1.8882	1.8891	1.8901
92	1.4387	1.4407	1.4427	1.4447	1.4467	1.4487	142	1.8910	1.8920	1.8929	1.8939	1.8948	1.8957
93	1.4507	1.4527	1.4547	1.4567	1.4587	1.4607	143	1.8966	1.8976	1.8985	1.8994	1.9003	1.9012
94	1.4627	1.4647	1.4667	1.4686	1.4706	1.4726	144	1.9021	1.9030	1.9039	1.9048	1.9057	1.9066
95	1.4746	1.4765	1.4785	1.4804	1.4824	1.4843	145	1.9074	1.9083	1.9092	1.9100	1.9109	1.9118
96	1.4863	1.4882	1.4902	1.4921	1.4941	1.4960	146	1.9126	1.9135	1.9143	1.9151	1.9160	1.9168
97	1.4979	1.4998	1.5018	1.5037	1.5056	1.5075	147	1.9176	1.9185	1.9193	1.9201	1.9209	1.9217
98	1.5094	1.5113	1.5132	1.5151	1.5170	1.5189	148	1.9225	1.9233	1.9241	1.9249	1.9257	1.9265
99	1.5208	1.5227	1.5246	1.5265	1.5283	1.5302	149	1.9273	1.9280	1.9288	1.9296	1.9303	1.9311
100	1.5321	1.5340	1.5358	1.5377	1.5395	1.5414	150	1.9319	1.9326	1.9333	1.9341	1.9348	1.9356
101	1.5432	1.5451	1.5469	1.5488	1.5506	1.5525	151	1.9363	1.9370	1.9377	1.9385	1.9392	1.9399
102	1.5543	1.5561	1.5579	1.5598	1.5616	1.5634	152	1.9406	1.9413	1.9420	1.9427	1.9434	1.9441
103	1.5652	1.5670	1.5688	1.5706	1.5724	1.5742	153	1.9447	1.9454	1.9461	1.9468	1.9474	1.9481
104	1.5760	1.5778	1.5796	1.5814	1.5832	1.5849	154	1.9487	1.9494	1.9500	1.9507	1.9513	1.9520
105	1.5867	1.5885	1.5902	1.5920	1.5938	1.5955	155	1.9526	1.9532	1.9538	1.9545	1.9551	1.9557
106	1.5973	1.5990	1.6008	1.6025	1.6042	1.6060	156	1.9563	1.9569	1.9575	1.9581	1.9587	1.9593
107	1.6077	1.6094	1.6112	1.6129	1.6146	1.6163	157	1.9598	1.9604	1.9610	1.9616	1.9621	1.9627
108	1.6180	1.6197	1.6214	1.6231	1.6248	1.6265	158	1.9633	1.9638	1.9644	1.9649	1.9654	1.9660
109	1.6282	1.6299	1.6316	1.6333	1.6350	1.6366	159	1.9665	1.9670	1.9676	1.9681	1.9686	1.9691
110	1.6383	1.6400	1.6416	1.6433	1.6450	1.6466	160	1.9696	1.9701	1.9706	1.9711	1.9716	1.9721
111	1.6483	1.6499	1.6515	1.6532	1.6548	1.6564	161	1.9726	1.9730	1.9735	1.9740	1.9745	1.9749
112	1.6581	1.6597	1.6613	1.6629	1.6646	1.6662	162	1.9754	1.9758	1.9763	1.9767	1.9772	1.9776
113	1.6678	1.6694	1.6710	1.6726	1.6742	1.6758	163	1.9780	1.9785	1.9789	1.9793	1.9797	1.9801
114	1.6773	1.6789	1.6805	1.6821	1.6836	1.6852	164	1.9805	1.9809	1.9813	1.9817	1.9821	1.9825
115	1.6868	1.6883	1.6899	1.6915	1.6930	1.6946	165	1.9829	1.9833	1.9836	1.9840	1.9844	1.9847
116	1.6961	1.6976	1.6992	1.7007	1.7022	1.7038	166	1.9851	1.9854	1.9858	1.9861	1.9865	1.9868
117	1.7053	1.7068	1.7083	1.7098	1.7113	1.7128	167	1.9871	1.9875	1.9878	1.9881	1.9884	1.9887
118	1.7143	1.7158	1.7173	1.7188	1.7203	1.7218	168	1.9890	1.9893	1.9896	1.9899	1.9902	1.9905
119	1.7233	1.7247	1.7262	1.7277	1.7291	1.7306	169	1.9908	1.9911	1.9913	1.9916	1.9919	1.9921
120	1.7321	1.7335	1.7350	1.7364	1.7378	1.7393	170	1.9924	1.9926	1.9929	1.9931	1.9934	1.9936
121	1.7407	1.7421	1.7436	1.7450	1.7464	1.7478	171	1.9938	1.9941	1.9943	1.9945	1.9947	1.9949
122	1.7492	1.7506	1.7521	1.7535	1.7549	1.7562	172	1.9951	1.9953	1.9955	1.9957	1.9959	1.9961
123	1.7576	1.7590	1.7604	1.7618	1.7632	1.7645	173	1.9963	1.9964	1.9966	1.9968	1.9969	1.9971
124	1.7659	1.7673	1.7686	1.7700	1.7713	1.7727	174	1.9973	1.9974	1.9976	1.9977	1.9978	1.9980
125	1.7740	1.7754	1.7767	1.7780	1.7794	1.7807	175	1.9981	1.9982	1.9983	1.9985	1.9986	1.9987
126	1.7820	1.7833	1.7846	1.7860	1.7873	1.7886	176	1.9988	1.9989	1.9990	1.9991	1.9992	1.9992
127	1.7899	1.7912	1.7925	1.7937	1.7950	1.7963	177	1.9993	1.9994	1.9995	1.9995	1.9996	1.9996
128	1.7976	1.7989	1.8001	1.8014	1.8027	1.8039	178	1.9997	1.9997	1.9998	1.9998	1.9999	1.9999
129	1.8052	1.8064	1.8077	1.8089	1.8101	1.8114	179	1.9999	1.9999	2.0000	2.0000	2.0000	2.0000
°	0'	10'	20'	30'	40'	50'	°	0'	10'	20'	30'	40'	50'

## Buchstabenbezeichnung.

In der Buchstabenbezeichnung der Flächen sind verschiedene Principien massgebend gewesen und zur Anwendung gekommen. Diese Principien leiten sich her aus dem Zweck der Buchstabenbezeichnung; dieser ist ein doppelter:

- I. Eine kurze Bezeichnung für eine bestimmte Form zu haben, die sich bequem in die Zeichnung eintragen und leichter aussprechen lässt als die Symbole;
- II. eine Bezeichnung zu haben, die, unabhängig von der Interpretation des Flächenzusammenhangs, eine Form feststellen und identificiren lässt.

In Hinsicht auf I sind die Buchstaben ein Surrogat für die Symbole und erreichen ihren Zweck am vollkommensten, wenn sie möglichst nahe soviel ausdrücken als diese. Aus I gehen mehrere Principien hervor:

- A. Die Buchstabenzeichen sollen möglichst einfach sein.
- B. Sie sollen sich leicht aussprechen lassen.
- C. Soweit möglich sollen die Buchstaben Auskunft geben über die Lage der Form.
- D. Formen gleichen Symbols bei verschiedenen Krystallen sollen mit gleichen Buchstaben bezeichnet werden.
- E. Die Buchstaben wechseln mit der Aufstellung des Krystalls.
- F. Wo die Symbole selbst genügende Einfachheit gewähren, entfällt die Buchstabenbezeichnung.

In Hinsicht auf II sind die Buchstaben reine Eigennamen und es folgen aus dieser Eigenschaft wieder mehrere Principien.

- G. Die Buchstaben sollen vollkommen frei sein von jeder Deutung.
- H. Die Wahl des Buchstabens selbst ist ganz ohne Bedeutung.
- J. Der Buchstabe, der einer Form einmal beigelegt worden ist, verbleibt derselben durch allen Wechsel der Aufstellung.
- K. Jede Form muss ausser dem Symbol einen Buchstaben führen.

Ausserdem sind noch, wo Buchstaben bereits in Gebrauch sind, zwei Principien zu berücksichtigen, die nicht unter I und II fallen.

- L. Es soll jedesmal der Buchstabe gewählt werden, den der erste Autor der Fläche beigelegt hat (Priorität).



M. Es sollen die Buchstaben gewählt werden, welche zur Zeit für die betreffenden Formen die gebräuchlichsten sind (Usus).

Wie ersichtlich, sind eine Anzahl dieser Principien vollständig oder theilweise mit einander in Widerspruch. Wir wollen einen Ausgleich versuchen und zu dem Zweck die einzelnen Punkte näher betrachten.

Von allen den 12 angeführten Principien sind A B J K stets zu befolgen, die übrigen nur, insoweit sie den andern nicht im Wege stehen.

**Ad A und B.** Wahl der Buchstabenzeichen nach ihrer Einfachheit. Von Buchstabenzeichen, die diesen Anforderungen gerecht werden, stehen uns folgende zur Verfügung:

die kleinen lateinischen Buchstaben	a—z incl. j	26
„ grossen „ „	A—Z „ J	26
die kleinen griechischen Buchstaben	α β γ δ ε ζ η θ ι κ λ μ ν ξ π ρ σ τ φ χ ψ ω	22
„ grossen „ „	Γ Δ Θ Λ Ξ Π Σ Φ Ψ Ω	10
die kleinen deutschen Buchstaben	a—j (excl. j)	25
„ grossen „ „	Ä—3 (excl. 3)	24

133

Von den kleinen griechischen Buchstaben entfällt ο weil = lat. o, ο weil von lat. v im Druck wohl verschieden, in der Schrift jedoch nicht zu unterscheiden. Dagegen könnten allenfalls η = οο und ς (Schlussigma) hereingenommen werden. Von den grossen griechischen Buchstabenzeichen fallen die übrigen mit den lateinischen zusammen.

Nun giebt es aber Mineralien, die mehr als 133 (135) Formen aufzuweisen haben; für diesen Fall müssen wir zur Buchstaben-Bezeichnung andere Mittel suchen. Als solche bieten sich dar:

1. Andere Alphabete, etwa das cyrillische, russische u. s. w. Diese empfehlen sich nicht wegen zu wenig allgemeiner Verbreitung der Kenntniss derselben.

2. Astronomische (alchymistische) Zeichen, als: ☉ ☿ ♀ ♂ oder Δ □ u. s. w. Wohl zuerst Miller (Min. 1852) hat versucht, solche einzuführen. Diese Zeichen sind jedoch schlecht auszusprechen, auch sind sie bald erschöpft. Endlich kommt es uns seltsam vor, eine arme kleine Fläche mit dem Zeichen des Jupiter oder des Mars zu bezeichnen. Es hat diese Art der Bezeichnung auch kaum Eingang gefunden.

3. Zahlen sind bereits von Haüy (vgl. Min. 1822. I. 303) benutzt worden. Sie gestatten eine beliebige Ausdehnung, dagegen könnten sie leicht zu Verwechselungen mit den Symbolen führen. Um dies hintanzuhalten und zugleich mehrziffrige Zahlen als Ganzes so fest zu umschliessen, dass sich Indices anbringen lassen, könnten wir das Mittel anwenden, dessen sich die Astronomen in einem ähnlichen Fall für die kleinen Planeten bedienen, nämlich dass wir die Zahl mit einem Ring umziehen, z. B. ②. In der Aus-



sprache wäre noch immer eine Verwechslung mit den Symbolen möglich und kann man, im Fall diese Möglichkeit vorliegt, ② = Nummer 2 aussprechen, während 2 = „Zwei“ gesprochen, das Symbol 2 bedeutet.

4. Eine Combination von Zahlen mit Buchstaben hat G. Rose eingeführt und nach ihm andere, z. B. Rammelsberg, Scacchi, zum Theil modificirt, verwendet z. B.  $\frac{1}{2}f$ ,  $\frac{2}{3}d$ . Sie sind eigentlich keine Buchstabenzeichen, sondern modificirte Symbole. Vortheilhaft ist eine solche Combination zur Symbolisirung von Reihen zu verwerthen, ebenso wie auch den Buchstaben angehängte Indices. Doch sollen die Strich- und Zahlen-Indices zur Bezeichnung der Einzelflächen der Formen reservirt werden.

5. Es bliebe noch die Möglichkeit, Buchstaben-Indices den Buchstaben anzuhängen und dadurch Zonenreihen zu charakterisiren. Dies ver trägt sich wohl mit dem Princip G, denn Zone bleibt Zone, unabhängig von Aufstellung und sonstiger Interpretation.

z. B.  $B_a B_\beta \dots B_w$  oder  $B_a B_b \dots B_p$ .

Wir finden solche Zeichen z. B. bei C. E. Weiss (Quarz), Websky (Quarz von Striegau). Auch hiermit könnte man die möglichen Formen erschöpfend bezeichnen. Dabei kann der leitende Buchstabe zur ungefähren Bezeichnung einer Form dienen, selbst wenn sie noch nicht ganz sichergestellt ist, man aber weiss, dass sie einer gewissen Reihe angehört. So finden wir bei Websky (Quarz) die Reihe der  $\sigma$ , der  $\rho$  und  $\tau$  und als einzelne Formen der Reihe  $\sigma_a \sigma_\beta \dots$  und können von einer  $\sigma$ -Fläche sprechen als einer nicht näher bestimmten Form der  $\sigma$ -Reihe.

Besonders für vicinale Bündel ist diese Bezeichnung gut. Sie ist in diesem Sinne z. B. von Schuster beim Danburit (Min. Petr. Mitth. 1884. 6. 301) durchgeführt worden. Es dürfte angezeigt sein, sich diesem Verfahren allgemein anzuschliessen und Buchstaben mit Indices für solche Formen anzuwenden, denen man einen vicinalen Charakter zuschreibt. So tritt z. B. aus einer Reihe nahestehender Formen einer Zone eine Form  $\sigma$  als typisch hervor mit einer Reihe vicinaler Begleiter von complicirtem Symbol  $\sigma_a \sigma_\beta \dots$ . An einem solchen Symbol lassen sich noch Zahlen- und Strich-Indices, sowie die Zeichen  $\pm$  zur Bezeichnung der Einzelflächen anbringen.

6. Buchstaben mit Punkt-Indices. Grosse Formencomplexe zerfallen naturgemäss in eine Anzahl wichtiger Zonen, die, unabhängig von sonstiger Interpretation, als solche bestehen bleiben. Man kann nach ihnen die Formen in Gruppen zertheilen.

Um zu bestimmen, welcher Gruppe eine Form angehört, müssen an den Buchstaben Kennzeichen angebracht werden, die sich für Druck und Schrift sowie zum Eintragen in die Figuren eignen. Nachdem schon manche Mittel für andere Zwecke in Anspruch genommen werden, stehen dazu etwa die folgenden zur Verfügung:



1. Verschiedene Typen für die verschiedenen Gruppen. In der Schrift nicht anwendbar und nicht sonderlich deutlich.
2. Verschieden-farbige Buchstaben. Für die Schrift wohl geeignet, für den Druck nicht ausführbar.
3. Besondere Abzeichen an den Buchstaben z. B. Punkte und Striche über oder neben denselben.

Zeichen neben den Buchstaben sind typographisch geeigneter, als solche über denselben. Sie wurden deshalb vorgezogen und zwar wurden die Zeichen im Allgemeinen auf die rechte Seite gesetzt; in den Figuren dagegen, besonders in den complicirten Projectionsbildern, da, wo es der Raum verlangte, auch wohl auf die linke Seite. Dabei wurde folgendes System angenommen:

B B· B: B| B|· B|: B|| . . . . .

Dieses System genügt für die weiteste Entwicklung der Beobachtungen. Es wurde im Index für diejenigen Mineralien durchgeführt, bei welchen die einfachen Buchstaben nicht ausreichen, so beim Calcit, Quarz u. s. w.

Die Formenreihen des Calcit wurden beispielsweise in folgende Gruppen getheilt:

Gruppe.	Inhalt der Gruppe.	Allgemeine Symbole.	Allgemeine Buchst.-Zeichen.	Zahl der Formen.
I	Pinakoide, Prismen, Axenzonen	$o; o \infty; \infty o; p \infty; p o$	B	14
II	Haupt-Radialzonen . . . . .	$\pm p$	B·	50
III	$\parallel Z \pm 1$ . . . . .	$\pm 1 q$	B:	47
IV	Die $\parallel ZZ: - 8; - 5; - 2; - \frac{1}{2}$ $+ 10; + 7; + 4; + \frac{1}{4}$	$- 8p; - 5p; - 2p; - \frac{1}{2}p$ $+ 10p; + 7p; + 4p; + \frac{1}{4}p$	B:	43
V	Skalenoederausserh.d.gen.Zon.	—	B	12

Wir kommen bis jetzt bei allen Mineralien mit den vier ersten Gruppenzeichen aus, hier, indem die Gruppe V mit I ohne Punkt gelassen wurde, was nach der Zahl der Formen möglich ist. Später wird sich dies ändern und es ist besonders Gruppe V, von der wir noch geringe Kenntniss haben, einer weiten Entfaltung fähig. Sie dürfte zunächst das Zeichen B anzunehmen haben und sich dann noch in weitere Gruppen spalten.

Die Wahl der Buchstaben in den Gruppen wurde in der Weise vorgenommen, dass jeder Gruppe zunächst ihr Buchstabengebiet zufällt, aus dem sie wählt und erst, wenn dies ganz oder nahezu erschöpft ist, in das Gebiet anderer Gruppen eingreift. So wurde erreicht, dass bei Einzeluntersuchungen nur in seltenen Fällen derselbe Buchstabe mehrfach auftritt und dass somit local, da wo eine Verwechselung ausgeschlossen ist, eventuell das Gruppenzeichen weggelassen werden kann.

Ein anderer Modus in der Auswahl der Buchstaben wäre der gewesen, dass man den entsprechenden Formen verschiedener Zonen gleichen Buchstaben gegeben hätte, z. B.

$$o2 = B; \pm 2 = B; \pm 12 = B: \text{ u. s. w.}$$

doch ist dies nicht wohl durchführbar; auch liegt hierin schon mehr Interpretation, als für eine Buchstabenbezeichnung wünschenswerth erscheint, da mit wechselnder Interpretation ihr Sinn zum Widersinn wird.

Noch bleibt zu erwägen, ob eine solche Gruppentheilung nicht schon da angezeigt sei, wo die Nothwendigkeit noch nicht dazu zwingt, so dass z. B. allgemein die  $\parallel Z 1$  mit B· die  $\parallel Z 2$  mit B: bezeichnet würde. Es würde dadurch besonders in den Figuren die Uebersicht

erleichtert, auch wenn nur jedesmal eine oder zwei solcher Zonen durch die Punkte charakterisirt in der Figur hervorträten. Natürlich könnten auch die Zonenzeichen in der Figur angewendet werden, ohne besondere Gruppentrennung in der Tabelle.

**Ad JE.** Das Prinzip **J** lautet: Der Buchstabe, der einer Form einmal beigelegt worden ist, verbleibt derselben durch allen Wechsel der Aufstellung. Dies ist von hervorragender Bedeutung, aber zur Zeit ist es nicht üblich, dasselbe in voller Strenge durchzuführen. Hessenberg tritt für dasselbe ein und es möge erlaubt sein, hier seine klare Darlegung wörtlich wiederzugeben. Er sagt (Senck. Abh. 1872. 8. 440 beim Axinit):

„An der zum grösseren Theil schon von Haüy und Neumann herrührenden Buchstabenbezeichnung vom Rath's habe ich trotz des Wechsels der Grundform nichts geändert. Wie bequem und vortheilhaft der Gebrauch der Buchstaben des Alphabets ohne symbolische Bedeutung zur Bezeichnung für concrete Flächen concreter Mineralien ist, hat wohl Jeder selbst erfahren. Wenn man diese Buchstaben einfach empirisch, conventionell, ohne alle symbolische Nebenbedeutung, dabei aber unabänderlich verwendet, ist dieses Verfahren der neutrale Boden, das gemeinschaftliche Mittel gegenseitigen Verstehens zwischen allen denen, welche ausserdem im Gebrauch verschiedenartiger Symbolik und verschiedener Grundformen auseinander gehen. Man verliert aber diesen Vortheil, sobald man den Buchstaben die Bedeutung von Symbolen unterlegt, indem man einzelne unter ihnen, z. B. a, b, c, m, n, o systematisch auf bestimmte Flächenarten der Krystallsysteme bezieht. Scheint es nun einen besondern Reiz zu haben, für dies und jenes Mineral eine neue Grundform aufzusuchen, und glaubt nun Jeder in diesem Falle sein neues Hauptprisma mit m, seine basische Fläche mit c u. s. w. bezeichnen zu müssen, so geräth die ganze etwa bisher zur Vorstellung und zum Gemeingut gewordene Buchstabensprache in Verwirrung; ein Theil wird vertauscht, ein anderer belassen und dabei die Discussion auf's bedauerlichste erschwert. Es erscheint deshalb rathlich, auch bei jedem Vorschlag einer neuen Grundform oder jeder gewechselten Aufstellung doch immer den Flächenarten die altgewohnten nicht symbolischen, sondern empirisch eingebürgerten Buchstaben zu belassen.“

Das Verfahren, gegen welches Hessenberg hier ankämpft, ist so alt, als die Krystallographie. Haüy hat für seine Grundform jedesmal die Buchstaben PMT gewählt, welche mit der Wahl einer neuen Grundform sich auf andere Flächen beziehen mussten, während er den übrigen Formen ausser dem Symbol willkürlich gewählte Buchstaben beilegte, die ihnen im Wechsel der Aufstellung verblieben. Analog ist, ausser anderen, Miller in seiner



Mineralogie (1852) verfahren und ihm folgt derzeit die grösste Zahl der Krystallographen. Es wäre ja recht angenehm, bei *abcm* u. s. w. stets zugleich an bestimmte Symbole denken zu können, doch ist die Verwirrung, von der Hessenberg spricht, in der That eingetreten, und zwar gerade bei den Flächen der Grundform mit den Buchstaben *abc*, bei denen ein fester Halt zum Zweck der Orientirung dringend erforderlich wäre. Ein Blick auf die Buchstabenreihen, wie sie im Index zusammengestellt sind, giebt davon die Ueberzeugung (vgl. *Datolith* u. a.). Einige specielle Beispiele mögen zur Illustration des Gesagten dienen.

Beim Akanthit hat Schrauf (*Atlas* 1864 Taf. 1), seinem Princip der Buchstabenbezeichnung zulieb, *a* und *b* sowie *p* und *k*, die er bei Dauber gefunden, unter sich vertauscht, so dass, während alle anderen Buchstaben übereinstimmen, *a b p k* (Schrauf) = *b a k p* (Dauber) ist. Wie leicht dies zu Irrthümern führen kann, liegt auf der Hand.

Noch deutlicher, wo möglich, ist das Beispiel des Euklas bei Dana (*System* 1873. 379). Hier treten die Buchstaben *a* und *b* zweimal in derselben Formenreihe auf. Dana ist nämlich bei dieser Formenreihe vollständig Kokscharow, Schabus und Rammelsberg gefolgt, nur die Buchstaben *a* und *b* hat er gleichzeitig Miller für die Pinakoide entlehnt. *I* = *N* (Kokscharow) = *k* (Miller) ist gesetzt zur Bezeichnung eines primären Prisma's, entsprechend der jedenfalls früher von Dana adoptirten Aufstellung von Kokscharow-Schabus, während jetzt bei ihm dies *I* = *i* - 2 =  $2\infty$  bedeutet. Daneben befindet sich *I* als Symbol =  $\infty$ , entsprechend dem *s* der anderen Autoren.

Das Princip *J* wurde im Index consequent festgehalten und von demselben nur da abgegangen, wo eine vollständig neue Buchstabenbezeichnung für das Mineral wünschenswerth erschien. So z. B. beim Calcit, sowie im ganzen regulären System (s. weiter unten). Princip *D* wurde berücksichtigt, soweit thunlich (z. B. im regulären System); *E* in direktem Widerspruch mit *J* entfällt.

**Ad F.** Da, wo die Symbole selbst genügende Einfachheit gewähren, entfällt die Buchstabenbezeichnung.

**Ad K.** Jede Form muss ausser dem Symbol einen Buchstaben haben.

Beide Principien sind unter sich in direktem Widerspruch. Es wurde *K* im Index durchgeführt, was seit Miller (1852) für das Ganze nicht wieder geschehen ist. Dem Princip *F* sind consequent z. B. Lévy und Des Cloizeaux gefolgt, die nur für die Formen von complicirtem Symbol willkürliche Buchstaben des Alphabets wählen.



**Ad CGH.** Diese Rücksichten sind in der vorhergehenden Besprechung bereits mit discutirt.

**Ad L und M.** Priorität und Usus sind häufig im Widerspruch mit einander; wo dieser besteht, habe ich mich im Index dem Usus angeschlossen. Dies empfiehlt sich aus folgenden Gründen:

1. Die ersten Buchstabenbezeichnungen sind häufig vollständig ausser Gebrauch gekommen und ihr Hervorziehen hätte den Charakter einer störenden und überflüssigen Neuerung.
2. Das Princip der Priorität lässt sich strikte kaum durchführen, denn es würde eine bei der allgemeinen Durcharbeitung übersehene erste Bezeichnung eine nachträgliche Abänderung nöthig machen und der erstrebten Stabilität entgegenwirken.
3. Die ältesten Formenangaben lassen sich nicht immer mit Sicherheit mit den neuen identificiren.
4. Die alten Buchstaben sind oft wenig vortheilhaft gewählt. So spielen besonders die grossen Buchstaben eine hervorragende Rolle, während doch die kleinen, so lange sie ausreichen, vorzuziehen sind.
5. Die neuere usuelle Reihe der Buchstabenbezeichnung ist häufig sehr vollständig, die alten Angaben dagegen sind sehr unvollständig. Wollte man die alten Buchstaben zur Geltung bringen, so müsste man die neuere Reihe stören ohne sie abzulegen und erhielte ein wenig empfehlenswerthes Zwitterding aus beiden.

**Ad D.** Formen gleichen Symbols (entsprechende Formen) bei verschiedenen Krystallen sollen mit dem gleichen Buchstaben bezeichnet werden.

Hierauf ist Rücksicht zu nehmen, soweit kein Widerspruch mit den allgemein angenommenen Principien eintritt. Die Durchführung des Principes geschah besonders in vier Fällen:

1. Im regulären System, wo nur eine Art der Aufstellung und Deutung der Formen besteht.
2. Wenn eine einzelne Form bei einer ganzen Gruppe von Mineralien durch physikalische Verhältnisse so sicher definirt ist, dass sie nur eine Deutung erfahren kann. So die Ebene senkrecht zur optischen Axe im tetragonalen und hexagonalen System (Basis), die man durchweg mit c bezeichnen kann.
3. Bei den sicher parallelisirten Formen einer isomorphen Gruppe.
4. Bei den formenreichen Mineralien des hexagonalen Systems rhomboedrischer Hemiedrie, für welche die Discussion einer bestimmten Aufstellung entschieden und, wie es scheint, bleibend den Vorzug zuspricht.

Von diesen vier Fällen, die im Index berücksichtigt wurden, bedarf der Fall des regulären Systems einer eingehenderen Besprechung.

**Buchstaben im regulären System.**

Im regulären System könnte man, da ein Wechsel in der Aufstellung nicht vorkommt, zur Bezeichnung der gleichen Form bei allen Mineralien denselben Buchstaben wählen. Ob dies sich empfiehlt und gut durchführen lässt, wollen wir nach Betrachtung der folgenden Zusammenstellung entscheiden.

In dieser Zusammenstellung sind neben jedem überhaupt beobachteten Symbol die Namen der Mineralien in Abkürzung gegeben, bei denen es sich vorgefunden hat. Es wurden dabei die folgenden Kürzungen verwendet:

<b>Ach</b> = Achteragdit	<b>Ga</b> = Gahnit	<b>Pa</b> = Palladium
<b>Al</b> = Alaun	<b>Ge</b> = Gersdorffit	<b>Pcy</b> = Percylit
<b>Am</b> = Amalgam	<b>Gl</b> = Glanzkobalt	<b>Pk</b> = Periklas
<b>Amb</b> = Amoibit	<b>Go</b> = Gold	<b>Pe</b> = Perowskit
<b>An</b> = Analcim	<b>Gr</b> = Granat	<b>Ph</b> = Pharmakosiderit
<b>Ar</b> = Arquerit	<b>Gru</b> = Grunaut	<b>Pl</b> = Platin
<b>Ars</b> = Arsenit		<b>Po</b> = Pollucit
<b>At</b> = Atopit	<b>Ha</b> = Hauerit	<b>Py</b> = Pyrit
<b>Be</b> = Beegerit	<b>Hy</b> = Hauyn	<b>Pcl</b> = Pyrochlor
<b>Bi</b> = Binnit	<b>He</b> = Helvin	<b>Ra</b> = Ralstonit
<b>B</b> = Blei	<b>Hs</b> = Hessit	<b>Rh</b> = Rhodizit
<b>Bl</b> = Bleiglanz		<b>Ro</b> = Rothkupfererz
<b>Bo</b> = Boracit	<b>Ird</b> = Iridium	<b>Sf</b> = Safflorit
<b>Br</b> = Bromsilber	<b>Ir</b> = Irit	<b>Sa</b> = Salmiak
<b>Bu</b> = Bunsenit		<b>Schn</b> = Schneebergit
<b>Bt</b> = Bunt-Kupfererz	<b>Jo</b> = Jodobromit	<b>Scho</b> = Schorlomit
<b>Ca</b> = Carollit		<b>Sb</b> = Selenblei
<b>Ch</b> = Chloanthit	<b>Ko</b> = Koppit	<b>Ss</b> = Selensilber
<b>Cc</b> = Chlorocalcit	<b>Kr</b> = Kremersit	<b>Se</b> = Senarmontit
<b>Cl</b> = Chlorsilber	<b>Ku</b> = Kupfer	<b>Si</b> = Silber
<b>Cr</b> = Chromeisenerz		<b>Sgl</b> = Silberglanz
<b>Co</b> = Corynit		<b>Sk</b> = Skutterudit
<b>Cu</b> = Cuban	<b>La</b> = Lasurstein	<b>Spk</b> = Speisskobalt
<b>Da</b> = Danalith	<b>Lau</b> = Laurit	<b>Sp</b> = Spinell
<b>Di</b> = Diamant	<b>Li</b> = Linneit	<b>St</b> = Steinsalz
<b>Dy</b> = Dysanalyt		<b>Sy</b> = Sylvin
<b>Ei</b> = Eisen	<b>Ma</b> = Magneteisenerz	<b>Te</b> = Tellursilber
<b>Em</b> = Embolit	<b>Mf</b> = Magnoferrit	<b>Tr</b> = Tritomit
<b>Eu</b> = Eulytin	<b>Mbl</b> = Manganblende	<b>Ul</b> = Ullmannit
<b>Fa</b> = Fahlerz	<b>Ms</b> = Manganosit	<b>Ur</b> = Uranpecherz
<b>Fau</b> = Fauserit	<b>Mi</b> = Mikrolith	<b>Vo</b> = Voltait
<b>Fl</b> = Flussspath		<b>Zk</b> = Zinkblende
<b>Fr</b> = Franklinit	<b>No</b> = Nosean	<b>Zn</b> = Zinnkies

Anmerkung. Die folgende Zusammenstellung musste gemacht werden vor beendeter Revision der Formenreihen des Index. Sie wird deshalb auch, abgesehen von Neubeobachtungen, mancher Correcturen bedürfen; doch können diese die hier zu ziehenden Schlüsse nicht ändern.

Vorkommen der Symbole (ohne Rücksicht auf das Vorzeichen).

[illegible]



Aus dieser Zusammenstellung geht hervor, dass im regulären System (abgesehen von dem Vorzeichen) beobachtet sind:

Aus der Axen-Zone . . . .	p o	37	Formen.	(Pyramiden-Würfel)
Aus der Haupt-Radialzone	p	27	"	(Deltoid-Ikositetraeder)
Aus der    Zone 1 . . . .	p r	14	"	(Trigon-Ikositetraeder)
Ausserdem . . . . .	p q	31	"	(Hexakis-Oktaeder)
In Summa: . . . . .		129	"	

Von diesen 129 Formen sind 34 bei 3 und mehr Mineralien constatirt und ausserdem 12 Formen bei zwei Mineralien, nämlich:

o (001)	bei 73 Min.	1 (111)	bei 75 Min.	$1\frac{1}{2}$ (212)	bei 21 Min.
10 (101)	" 60 "	$\frac{1}{2}$ (112)	" 37 "	$1\frac{1}{2}$ (313)	" 9 "
$\frac{1}{2}$ o (102)	" 28 "	$\frac{1}{3}$ (113)	" 19 "	$1\frac{2}{3}$ (323)	" 9 "
$\frac{1}{3}$ o (103)	" 22 "	$\frac{2}{3}$ (223)	" 9 "	$1\frac{1}{4}$ (414)	" 3 "
$\frac{2}{3}$ o (203)	" 7 "	$\frac{1}{4}$ (114)	" 8 "		
$\frac{1}{4}$ o (104)	" 7 "	$\frac{1}{5}$ (115)	" 8 "	$\frac{3}{2}$ $\frac{1}{2}$ (213)	bei 16 Min.
$\frac{3}{2}$ o (205)	" 7 "	$\frac{1}{6}$ (116)	" 7 "	$\frac{3}{4}$ $\frac{1}{2}$ (324)	" 6 "
$\frac{3}{4}$ o (305)	" 6 "	$\frac{2}{3}$ (334)	" 5 "	$\frac{3}{5}$ $\frac{1}{5}$ (315)	" 5 "
$\frac{2}{5}$ o (304)	" 5 "	$\frac{2}{5}$ (225)	" 5 "	$\frac{1}{2}$ $\frac{1}{4}$ (214)	" 5 "
$\frac{4}{5}$ o (405)	" 5 "	$\frac{7}{8}$ (227)	" 4 "	$\frac{3}{4}$ $\frac{1}{4}$ (314)	" 3 "
$\frac{5}{6}$ o (105)	" 3 "	$\frac{1}{10}$ (1·1·10)	" 3 "	$\frac{3}{5}$ $\frac{1}{5}$ (436)	" 2 "
$\frac{1}{10}$ o (1·0·10)	" 2 "	$\frac{1}{12}$ (1·1·12)	" 3 "	$\frac{7}{10}$ $\frac{1}{10}$ (517)	" 2 "
$\frac{1}{12}$ o (10·0·11)	" 2 "	$\frac{4}{5}$ (449)	" 3 "	$\frac{1}{2}$ $\frac{1}{5}$ (218)	" 2 "
$\frac{2}{5}$ o (2·0·9)	" 2 "	$\frac{3}{5}$ (335)	" 2 "	$\frac{3}{10}$ $\frac{3}{10}$ (4·3·10)	" 2 "
$\frac{4}{7}$ o (407)	" 2 "	$\frac{1}{5}$ (119)	" 2 "	$\frac{4}{5}$ $\frac{4}{5}$ (429)	" 2 "
		$\frac{2}{15}$ (2·2·15)	" 2 "		

Alle anderen sind nur einmal gefunden worden. Für die nur einmal beobachteten Formen ist eine Festsetzung der Buchstabenbezeichnung gewiss überflüssig und unbequem dadurch, dass man dann mit den einfachen Buchstaben nicht ausreichen würde; auch für die nur zweimal constatirten Formen ist sie kaum zu empfehlen.

Es wurden daher im Index nur für die mindestens bei drei Mineralien beobachteten Formen die Buchstaben festgehalten und zwar:

c = o	g = $\frac{2}{3}$ o	p = 1	l = $\frac{1}{2}$	λ = $\frac{3}{2}$	u = $1\frac{1}{2}$	x = $\frac{2}{3}$ $\frac{1}{3}$
d = 10	h = $\frac{3}{2}$ o	q = $\frac{1}{3}$	r = $\frac{1}{5}$	μ = $\frac{1}{10}$	v = $1\frac{1}{3}$	y = $\frac{2}{3}$ $\frac{1}{3}$
e = $\frac{1}{2}$ o	i = $\frac{3}{4}$ o	m = $\frac{1}{3}$	s = $\frac{1}{7}$	ν = $\frac{1}{12}$	w = $1\frac{2}{3}$	z = $\frac{2}{3}$ $\frac{1}{3}$
a = $\frac{1}{3}$ o	δ = $\frac{4}{5}$ o	n = $\frac{2}{3}$	t = $\frac{2}{5}$	ρ = $\frac{4}{5}$	φ = $1\frac{1}{4}$	ψ = $\frac{1}{2}$ $\frac{1}{4}$
b = $\frac{2}{5}$ o	ε = $\frac{5}{6}$ o	k = $\frac{1}{4}$	o = $\frac{1}{6}$			ω = $\frac{3}{4}$ $\frac{1}{4}$
f = $\frac{1}{4}$ o						

Für die sonst noch auftretenden Formen wurden beliebige Buchstaben jedesmal frei gewählt.

**Wahl neuer Buchstaben.** Um für neu hinzutretende Flächen leicht einen verwendbaren Buchstaben finden zu können, empfiehlt es sich, für diejenige Gruppe, für welche man gemeinsame Buchstabenbezeichnung anwenden will, eine Tabelle anzulegen, bestehend aus sämtlichen zur Verwendung bestimmten Buchstaben mit Eintragung der ihnen bereits zugetheilten Symbole. Folgendes ist das Beispiel einer solchen Tabelle für das hexagonale System rhomboedrischer Hemiedrie, soweit bis jetzt (der Index ist noch nicht fertig) eine Zutheilung stattgefunden hat. Ohne eine solche Tabelle entgeht man nicht dem Fehler, dasselbe Zeichen mehrmals zu verwenden.





### Buchstaben-Bezeichnung der Einzelflächen.

Jeder Buchstabe dient zur Bezeichnung einer Gesamtform d. h. derjenigen Anzahl von Flächen, die vermöge der Symmetrieverhältnisse des Krystalls als zusammengehörig und sich gegenseitig bedingend betrachtet werden. Je nach dem Krystallsystem und der Form sind dies 2—48 Flächen. Allen wird der gleiche Buchstabe beigelegt. Um eine specielle Fläche zu bezeichnen, sind am geeignetsten Zahlenindices, die am besten so zu wählen sind, dass sie direkt die Lage der Fläche im Projectionsbild erkennen lassen.

Von Fläche und Gegenfläche tritt im Projectionsbild bei der gnomonischen und der geradlinigen Linear-Projection nur die eine auf (in der Regel die der oberen Krystallhälfte angehörige, deren Punkt (resp. Linie) den der Gegenfläche deckt. In den cyklischen Projectionen können beide auftreten, doch werden meist auch hier nur die Punkte innerhalb des Grundkreises aufgetragen. Wir wollen die untere Gegenfläche allemal durch einen Strich unter dem Buchstaben bezeichnen, z. B.

a sei die Gegenfläche von a

ebenso wie bei den Symbolen, wo zugleich dieser Strich alle Vorzeichen des dreiziffrigen Symbols in die entgegengesetzten verwandelt, z. B.

$$\begin{array}{l} \underline{12} = \bar{1}2\bar{1} \text{ die Gegenfläche von } 12 = 121 \\ \underline{12} = \bar{1}2\bar{1} \text{ „ „ „ } 12 = 121 \end{array}$$

Bei Bezeichnung der nicht parallelen Einzelflächen wollen wir von der Eintheilung des Projectionsbildes ausgehen. Wir wollen dasselbe wie bei der Bezeichnung der Einzelflächen durch Zahlensymbole (vgl. S. 25 flgd.) in bestimmte Felder theilen und bei der Zählung festhalten, dass diese vom Quadranten (Sextanten), vorn rechts beginnend, nach links fortschreitet, und dass links und rechts so zu verstehen ist, dass man den Blick nach der Basis (Coordinanten-Anfang) o (001) hinrichtet.

**Reguläres System.** Wir theilen das Projectionsfeld, wie S. 25 entwickelt wurde, in dreifacher Weise.



Fig. 93.

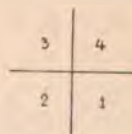


Fig. 94.



Fig. 95.

- In drei Gruppen: I. (p und q < 1); II. (p oder q < 1); III. (p und q > 1). (Fig. 93).
- In vier Quadranten: 1. (pq); 2. (p̄q); 3. (p̄q̄); 4. (pq̄). (Fig. 94).
- Jeden Quadranten in einen rechten und einen linken Octanten. (Fig. 95).



Deuten wir noch die Gegenfläche durch einen Strich unter dem Buchstaben an, so können wir alle 48 Einzelflächen ausdrücken, und zwar in einer Weise, dass wir uns aus dem Zeichen unmittelbar die specielle Lage der Fläche im Projectionsbild vorstellen können. Wir machen dies folgendermassen (Fig. 96):

Wir hängen zur Bezeichnung der Lage einer Einzelfläche dem Buchstaben oben rechts resp. links einen zweiziffrigen Index an, in welchem sich die erste Ziffer auf den Quadranten, die zweite auf die Gruppe bezieht. Dann soll beispielsweise bedeuten:

$a^{12}$  (spr. a; 1,2 rechts) die rechte Fläche a im 1. Quadranten der II. Gruppe,  
 $^2a$  (spr. a; 2,3 links) „ linke „ „ „ 2. „ „ III. „ „

**Hexagonales System.** Wir unterscheiden die Sextanten 1—6 und deren Hälften links, rechts (vgl. S. 30) und kommen zur Bezeichnung der Einzelflächen mit einem einziffrigen Index aus. Die Zählung 1—6 möge im Sinne des Zeigers der Uhr geschehen. In Fig. 97 sind als Beispiel die Einzelzeichen für eine Gesamtform a eingetragen.

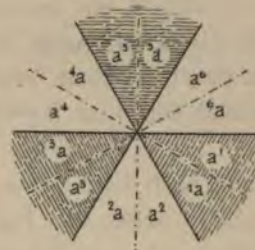


Fig. 97.

**Tetragonales System.** Hier haben wir nur vier Quadranten und die Theile links und rechts zu unterscheiden, und kommen mit einem einziffrigen Index aus, den wir oben rechts resp. links anhängen (Fig. 98),

z. B.  $a^4$  (sprich a 4 rechts)

$^1a$  (sprich a 1 links)

Auch bedeutet wieder  $\underline{a}^2$  die Gegenfläche von  $a^2$ .



Fig. 98.

**Rhombisches und monoklines System.** In diesen Systemen kann die Unterscheidung rechts und links entfallen und der Index hat nur noch den Quadranten zu nennen (Fig. 99).

Alle + Formen des monoklinen Systems haben den Index 1 oder 2, alle — Formen den Index 3 oder 4.

Im **triklinen System** besteht nur Fläche und Gegenfläche,  $a$  und  $\underline{a}$ . Es entfallen also alle Indices.



Fig. 99.

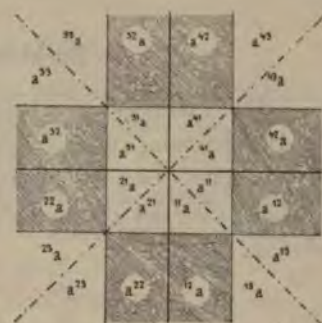


Fig. 96.

### Buchstabenbezeichnung bei Viellingen.

Bei Viellingen ist ausser der Unterscheidung der Einzelflächen noch die Bezeichnung nöthig, dem wievielten Individuum die Fläche angehört. Dies könnte etwa durch Striche vor, hinter oder über dem Buchstaben geschehen, die bei noch mehr Individuen in die römischen Zahlen übergehen würden.

z. B.             $a$     $a$     $\bar{a}$     $\bar{a}$     $\dots < a$   
 oder:            $a$     $a-$     $a$     $a-$     $\dots a \times$   
 oder endlich:  $a$     $\bar{a}$     $a$     $\bar{a}$     $\dots \bar{a}$

Letzteres ist das compendiöseste und kann selbst ohne Conflict mit den — Zeichen auf die Zahlen-Symbole angewendet werden, z. B.:

$\bar{12}$              $\bar{13}$

Haben wir nur einen Zwillling, was der häufigste Fall ist, so ist es für die Schrift wohl das einfachste, den Buchstaben des zweiten Individuums zu durchstreichen, dies nimmt keinen grösseren Raum weg und der Unterschied tritt klar hervor.

Da keine dieser Arten der Bezeichnung weitere Verwendung hat, so kann nach Bedarf die eine oder andere Art gewählt werden. Alle diese Indices nebst den Buchstabenindices der Vicinalflächen stören sich gegenseitig nicht und könnten im Fall des Bedarfs sogar alle zugleich demselben Buchstaben angehängt werden.

So würde beispielsweise im rhombischen System bedeuten:

$a_{\beta}$  eine bestimmte Vicinalfläche von  $a$ ,

$a_{\beta}^4$  diese specielle Fläche aus dem vierten Quadranten,

$a_{\beta}^4$  die Gegenfläche dazu,

$a_{\beta}^4$  die Fläche  $\bar{a}_{\beta}^4$  die dem dritten Individuum eines Viellings angehört.

Dieselben Indices kann man auch an den Zahlen-Symbolen anbringen,

z. B.  $12^4$     $12^1$     $\bar{12}$

**Anordnung der Formen in den Tabellen.**

Die Anordnung der Formen geschah bei allen Mineralien in der gleichen Reihenfolge, so dass jede Form ihren ganz bestimmten Platz hat, dadurch leicht aufgefunden und leicht eingeschoben werden kann. Dass sich dies einfach durchführen lässt, ist ein Vortheil der zweizahligen neuen Symbole. Bei der gewählten Anordnung ist man im Stande, schon durch Anschauen der Tabelle, ohne Projectionsbild, eine ziemlich gute Vorstellung von der Gesamtheit der Formen, selbst bei einem formenreichen Mineral, zu gewinnen.

Die Anordnung geschah nach Zonen, und zwar in nachstehender Reihenfolge:

Grundform:	o	o ∞	∞ o
Axen-Zonen:	o q	p o	
Prismen-Zonen:	∞ q	p ∞	
Haupt-Radial-Zone:	p		
Parallel-Zonen:	1 q	p 1	
	2 q	p 2	$\frac{1}{2} q$ $p \frac{1}{2}$
	3 q	p 3	$\frac{1}{3} q$ $p \frac{1}{3}$ u. s. w.

Nennen wir die constante Zahl, p oder q, in den Symbolen einer Parallelzone den Zonenzeiger, so wurde im Allgemeinen die Reihenfolge der Zonen nach der Wichtigkeit (Häufigkeit) der Zahl des Zonenzeigers bestimmt, wie diese sich aus der Discussion der Zahlen ergibt. Um jedoch die Vorschrift zu vereinfachen und dadurch ihre Anwendung bequemer und sicherer zu machen, wurde folgende Ordnung der Zonenzeiger festgesetzt:

1	2	$\frac{1}{2}$	3	$\frac{1}{3}$	4	$\frac{1}{4}$	...	n	$\frac{1}{n}$
darauf:	$\frac{2}{3}$	$\frac{3}{2}$	$\frac{3}{4}$	$\frac{4}{3}$	$\frac{4}{5}$	$\frac{5}{4}$	...	$\frac{n}{n+1}$	$\frac{n+1}{n}$
dann:	$\frac{3}{5}$	$\frac{5}{3}$	$\frac{7}{3}$	$\frac{3}{7}$	$\frac{5}{7}$	$\frac{7}{5}$	...	$\frac{n}{2}$	$\frac{2}{n}$
	$\frac{5}{7}$	$\frac{7}{5}$	$\frac{7}{3}$	$\frac{3}{7}$	$\frac{5}{3}$	$\frac{3}{5}$	...	$\frac{n}{3}$	$\frac{3}{n}$

endlich der Rest nach der Niedrigkeit der Zahlen.

Durch die Parallelzonen mit den Zeigern 1 2 3 4  $\frac{3}{2}$   $\frac{4}{3}$   $\frac{5}{4}$  und deren Reciproken ist in der Regel der Formenvorrath nahezu erschöpft. Bei den formenärmeren Mineralien beschränken sich die Zahlen meist auf 1 2 3 und deren Reciproke. Die Formen ausserhalb der wichtigen Zonen sind ohne Projectionsbild nicht so klar zu übersehen, doch bilden sie, soweit sie bisher constatirt sind, selbst bei den formenreichsten Mineralien nur eine kleine Gruppe.

Die Werthe p resp. q innerhalb derselben Zone wurden nach der Grösse ansteigend aufgeführt, also:

$$\dots \frac{1}{2} \frac{1}{3} \frac{1}{4} \dots 1 \frac{3}{2} 2 \dots$$

Nur da, wo + und - Werthe eine fortlaufende Reihe bilden, die durch o hindurchgeht, wurde mit dem höchsten + Werthe begonnen, abgestiegen bis o und von da mit den - Werthen wieder angestiegen bis zu dem höchsten - Werth.

Die Zahlen im hexagonalen System (besonders rhomboedrischer Hemiedrie) haben theilweise einen anderen Charakter als die der anderen Systeme; erst die abgeleitete Reihe  $E = \frac{p-1}{3} \frac{q-1}{3}$  zeigt dann den regelmässigen Verlauf. Es wurde deshalb in diesem Fall die Anordnung nach der abgeleiteten Reihe E vorgenommen. Eine Erklärung der Natur der genannten Erscheinung soll an anderer Stelle versucht werden.

Ohne diese Regelmässigkeit in der Anordnung und die dadurch erreichte rasche Auffindung einer Form, sowie den durch sie ermöglichten leichten Vergleich ganzer Reihen zum Zweck der Identification und Transformation, wäre die Ausarbeitung des vorliegenden Index weit schwieriger und langwieriger, ja für den Einzelnen kaum durchführbar gewesen.



**Freie und influenzirte Formen.**

Wir wollen unter freien Formen solche ebene Begrenzungen des Krystalls verstehen, die sich zwar durch den verschiedenen Grad der Complicirtheit in der genetischen Entwicklung (Differenzirung) unterscheiden, jedoch sich alle aus der Wirkung der Molekularkräfte des Krystalls, dem sie angehören, möglicherweise in ihrer Auswahl bestimmt durch äussere (auslösende) Kräfte, im übrigen frei entwickeln. Nun haben aber vielseitige Beobachtungen gezeigt, dass ein Krystall, oder sonst ein fester Körper die Lage der Flächen eines Krystalls, mit dem er verwachsen ist, beeinflussen kann. Dadurch entstehen Flächen von abnormaler Lage, die wir gemeinsam als influenzirte Formen bezeichnen wollen.

Nach der Art der sich gegenseitig beeinflussenden Körper können wir folgende Gruppen unterscheiden:

1. Gleichartige Krystalle in regelmässiger Verwachsung. Hierdurch entstehen die durch einfache, sowie durch polysynthetische Zwillingsbildung influenzirten Formen, z. B. beim Flussspath (vgl. Scacchi, Turin. Mem. Ac. 1862 (2) 21. 6) oder beim Quarz (Websky, Jahrb. Min. 1871, 732 und 783).<sup>1)</sup>
2. Isomorphe Krystalle in Ueberwachsung. So dürfte beispielsweise bei den rhomboedrischen Carbonaten, wo Schichten verschiedener Zusammensetzung übereinander liegen, die Orientirung der oberen Lage durch die untere beeinflusst sein und ein Ausgleich stattfinden, der je nach dem Theil des Krystalls, d. h. den localen Massenwirkungen, verschieden, bei allmähligem Uebergang zu gerundeten, gebogenen Flächen führen kann. Solche krumme Flächen z. B. beim Braunspath wären demnach möglicherweise als influenzirte anzusehen, und es wäre von hohem Interesse, gerade an dieser Reihe die hier vermuthete Ursache im Einzelnen experimentell zu prüfen.
3. Fremdartige Krystalle in regelmässiger Verwachsung.
4. Gleich- oder fremdartige Körper in unregelmässiger Verwachsung. Hierher gehören Störungen in der Flächenneigung durch Einlagerungen, der Einfluss der Unterlage in der Nähe der Anwachsstelle u. s. w.

In den Formenverzeichnissen finden sich manchmal solche influenzirte Formen neben freien aufgeführt; sie wurden, wo sich eine Beeinflussung nachweisen liess, in den Index nicht aufgenommen.

<sup>1)</sup> Websky's Begriff der inducirten Formen ist enger begrenzt, als der unsrige der influenzirten, und es schien nicht erlaubt, die Bedeutung des ersteren Wortes auf den weiteren Begriff auszudehnen.

**Typische und vicinale Formen.**

Die freien Formen leiten sich nach bestimmten Gesetzen aus der Grundform her. Nach der Complicirtheit der Ableitung (Differenzirung), die theilweise ihren Ausdruck findet in der Höhe der Symbolzahlen, kann man dieselben in Gruppen mit willkürlichen Grenzen abtrennen und so primäre, secundäre, tertiäre u. s. w. Formen scheiden. Eine naturgemässe, wenn auch nicht scharfe Grenze, bietet sich für die hochdifferenzirte Form da, wo, wie es Schuster ausdrückt, die Abweichung der Winkelwerthe von denen der einfachen Flächen der Fehlergrenze von Beobachtungen minderer Güte sich bereits soweit nähert, dass sie nur bei ausserordentlich günstiger Beschaffenheit der spiegelnden Flächenelemente zum unzweifelhaften Nachweis gelangen kann (Min. Petr. Mitth. 1884. 6. 510). An und unter dieser Grenze bewegen sich ausserdem die Wirkungen äusserer Einflüsse auf die Flächenneigung, die eliminirt werden müssen, wenn wir die Flächen als freie discutiren wollen. Formen oberhalb der genannten Grenze wollen wir typische, solche unterhalb derselben vicinale nennen. Der so definirte Begriff deckt sich so ziemlich mit dem, was Websky, der den Namen Vicinalflächen in die Wissenschaft eingeführt hat (D. Geol. Ges. 1862. 15. 677), darunter versteht.

Vicinale Flächen können freie oder influenzirte sein. Für den Zweck dieser Zusammenstellung haben nur die freien Formen Interesse, während das Studium der influenzirten Vicinalflächen den Schlüssel geben kann zur Erkenntniss der Wirkungsweise äusserer Einflüsse auf die Formen des Krystalls.

Die freien Vicinalformen unterscheiden sich also von den typischen Formen nicht qualitativ, sondern nur quantitativ dadurch, dass der Bildung derselben feinere, d. h. höhere differenzirte genetische Vorgänge zu Grunde liegen. Sie sind, um mich eines Bildes zu bedienen, die feinen vergitternden Zweige, während die Primärform und die typischen abgeleiteten Formen Stamm und Aeste bilden. Vorläufig sind die Gesetze noch nicht klar gelegt, nach denen sich die Aeste aus dem Stamm entwickeln und es besteht eine der Hauptaufgaben dieser Zusammenstellung darin, die Unterlage zu bilden zu Schlüssen über die hier obwaltende Gesetzmässigkeit. Der jetzige Stand der formbeschreibenden Krystallographie ist der, dass man die typischen (gröberen) Formen zu einem Gesamtbild zusammen fassen kann, ohne fürchten zu müssen, dass wesentliche Züge des Bildes fehlen. Augenblicklich fehlt es diesem Bild aus Mangel an übersichtlicher Darstellungsweise und Ordnung an Klarheit; trotzdem macht sich die Forschung mit Lebhaftigkeit an die Untersuchung der Detailerscheinungen, der vicinalen Gebilde. Unter dem Andrang des daraus herbeiströmenden ungenügend gesichteten Details droht alle Uebersicht unmöglich zu werden, und es scheint nöthig, gerade im



jetzigen Moment, da die Detailarbeit (abgesehen von vereinzelten Vorläufern) erst beginnt, die Grundzüge des alten einfachen Bildes in aller Klarheit festzulegen. Hierzu soll der Versuch gemacht werden, einmal durch diesen Index selbst, seine Elemente und neuen Symbole, sowie deren Anordnungsweise, ferner durch Herstellung von Projectionsbildern der formenreichsten Mineralien, endlich dadurch, dass wir die Zahlenreihen und Projectionen als Ganzes discutiren. Um eine Trübung des Bildes zu vermeiden, wird das, was von vicinalen Formen bisher bekannt geworden ist, vorläufig nicht herangezogen.

Die Vicinalflächen bedürfen einer ganz andersartigen Behandlung als die typischen, bevor sie symbolisirt neben diese gestellt werden dürfen. Haben erst kritische Specialstudien freie Vicinalformen sichergestellt, so werden sie sich in ihrer ganzen reichen Mannichfaltigkeit zwischen die scharfen Linien des aus den typischen Formen aufgebauten Bildes als feines Geäder einfügen lassen.

Schuster hat in seiner ausgezeichneten Arbeit über den Danburit die Entwicklung unserer bisherigen Kenntniss von den Vicinalflächen verfolgt und selbst den Versuch gemacht zu einer naturgemässen Discussion dieser Gebilde, ein Studium, das ebenso zeitraubend und schwierig, als für die Erforschung der genetischen Verhältnisse hochwichtig ist. Ebenso wie in allen Zweigen der Naturwissenschaft, kommen wir auch bei der Flächenuntersuchung dahin, dass im Studium des Kleinsten die grössten Erfahrungen zu machen sind, dass, nachdem aus den gröberen Regelmässigkeiten eine erste Annäherung erzielt ist, die genauere Kenntniss von den wirkenden Gesetzen und von der Art ihres Zusammenwirkens durch das Studium der Details und der scheinbaren Ausnahmen erlangt wird.

Es mag noch besonders darauf hingewiesen werden, dass auch die Feststellung des Symbols einer minder einfachen typischen Form, wenn sie irgend einen Werth haben soll, mit der grössten Exaktheit geschehen muss, dass minder sichergestellte Formen durchaus zu entfernen sind. Approximative Bestimmungen derselben sind werthlos. Nur bei der grössten Gewissenhaftigkeit in der Aufstellung des Sicherem und in der Ausscheidung des Unsicheren ist es möglich, Klarheit zu erlangen. Auch dürfte als Grundsatz festzuhalten sein, dass es besser ist, mit dem Schwankenden möglicherweise Richtiges preiszugeben, als irgend Bedenkliches aufzunehmen.

Ganz in diesem Sinne sagt Dauber (Wien. Sitzb. 1860. 42. 54): „Allerdings müssen, je weniger einfach die Verhältnisse der Indices sind, desto grössere Anforderungen an die Beobachtungen gestellt werden und dieses ist auch der Grund, warum ich einige Formen, wie  $26' = 15 \cdot 7 \cdot 5$  der guten Uebereinstimmung der beobachteten und berechneten Werthe ungeachtet, in die Kategorie der bloss wahrscheinlichen Formen gestellt habe.“



**Echte Flächen und Scheinflächen.**

Unter Scheinflächen sind solche ebene Partien am Krystall zu verstehen, deren Lage überhaupt nicht von den Molecularkräften des Krystalls, sondern durch andere Ursachen bestimmt ist.

Hierhin gehören:

1. Diejenigen Fälle, wo die Kämme oscillatorischer Leisten einen gemeinsamen Reflex hervorbringen. Wir wollen solche Scheinflächen Leistenflächen nennen.
2. Local mehr oder minder ebene Partien im übrigen gerundeter Flächen, die in einem gedehnten Reflex prononcirt helle Stellen hervorbringen. Wir wollen sie Culminationsflächen (vielleicht besser Culminationsreflexe) nennen.
3. Anwachsflächen, d. h. Abdrücke einer ebenen Unterlage.

Die Orientirung von Scheinflächen ist ganz oder theilweise unabhängig von den Elementen des Krystalls. Leistenflächen und Culminationsflächen haben vielfach Eingang in die Formverzeichnisse gefunden. Sie gehen in echte Flächen über und es muss die Grenze mit vorsichtiger Kritik gezogen werden. Nachweisbare Scheinflächen wurden aus dem Index ausgeschieden.

## Literatur.

Die Literatur-Angaben prätendiren nicht ein vollständiges Literatur-Verzeichniss zu sein; sie beziehen sich nur auf Arbeiten über Formenbeschreibung und sollen als Beleg dienen, um den Leser in den Stand zu setzen, die Daten des Index auf ihre Richtigkeit zu untersuchen. Immerhin werden diese Angaben ein werthvolles Hilfsmittel sein zur Auffindung der Literatur auch in anderen, die einzelnen Mineralien betreffenden Fragen.

## Systematisch excerptirte Werke.

- Amer. Journ.** = The American journal of science and arts by Silliman etc. 1851—1881.  
**Ann. Min.** = Annales des Mines. Paris 1852—1881.  
**Ann. Chim. Phys.** = Annales de chimie et de physique. Paris 1850—1882.  
**Berl. Abh.** = Abhandlungen der königl. Akademie der Wissenschaften zu Berlin 1804—1836.  
**Berl. Monatsb.** = Monatsberichte der königl. preuss. Akad. d. Wissensch. in Berlin 1838—1881.  
**Bull. soc. Min.** = Bulletin de la société Minéralogique de France. 1877—1884.  
**Comp. Rend.** = Comptes rendus hebdomadaires de l'Académie des sciences. Paris 1852—1882.  
**Dana System** = J. D. Dana (aided by Brush.) A System of Mineralogy. 1873. Append. I. (Brush) 1873. Append. II. (E. S. Dana) 1875. Append. III. (E. S. Dana) 1882.  
**D. Geol. Ges.** = Zeitschrift der deutschen geologischen Gesellschaft. 1849—1882.  
**Des Cloizeaux Manuel.** = Des Cloizeaux. Manuel de Minéralogie. 1. Bd. 1862. 2. Bd. 1874.  
**Greg u. Lettsom Man.** = Greg and Lettsom. Manuel of the Min. of Gr. Britain and Ireland. 1858.  
**Groth Strassb. Samml.** = Groth. Die Mineralien-Samml. d. Kaiser Wilhelms-Univ. Strassburg 1878.  
**Groth. Tab.** = Groth. Tabellarische Uebersicht der Mineralien u. s. w. 2. Aufl. 1882.  
**Hauy. Traité Min.** = Hauy. Traité de Minéralogie. 2. Aufl. 1822.  
**Hausmann Handb.** = Hausmann. Handbuch der Mineralogie. 2. Th. Bd. 1 und 2. 1847.  
**Hartmann Handwb.** = Hartmann. Handwörterbuch der Mineralogie u. Geologie. Leipzig 1828.  
**Hessenberg. Min. Not.** = Hessenberg. Mineralogische Notizen. 1854—1874.  
**Jahrb. Min.** = Neues Jahrbuch für Mineralogie, Geologie und Paläontologie. 1850—1883.  
**Kenngott. Uebers.** = Kenngott. Uebersicht der Resultate mineralog. Forschungen 1844—1865.  
**Kokscharow. Mat. Min. Russl.** = Kokscharow. Materialien z. Mineralogie Russlands. 1850—1878.  
**Lévy. Descr.** = Lévy A. Description d'une collection de minéraux u. s. w. London 1838.  
**Miller. Min.** = Phillips. An elementary introduction to Mineralogy. New edition by Brooke and Miller. London 1852.  
**Min. Mag.** = Mineralogical Magazine. London 1877—1882.  
**Min. Mitth.** = Mineralogische Mittheilungen, gesammelt von G. Tschermak 1871—1877.  
**Min. Petr. Mitth.** = Mineralog. petrograph. Mittheilungen, herausg. v. Tschermak. 1878—1882.  
**Mohs. Grundr.** = Mohs. Grundriss der Mineralogie. 1824. Bd. 2.  
**Mohs-Zippe Min.** = Mohs. Leichtfassl. Anfangsgründe einer Naturgeschichte des Mineralreichs. 2. Theil, Physiographie, bearb. v. Zippe. 1839.  
**Münch. Sitzb.** = Sitzungsberichte der kgl. bayr. Akad. der Wissensch. zu München. 1864—1880.  
**Phil. Mag.** = Philosophical Magazine. 1850—1882.  
**Pogg. Ann.** = Poggendorff. Annalen der Physik und Chemie. 1824—1877.  
**Schrauf Atlas** = Schrauf. Atlas der Krystallformen des Mineralreiches 1864—1876.  
**Sella quadro** = Sella. Quadro delle forme cristalline del argento rosso u. s. w. 1856.  
**Stockh. geol. förh.** = Geologiske föreningsens förhandlingar Stockholm. 1879—1882.  
**Stockh. öfvers.** = Öfversigt of Vetenskaps Academiens Förhandlingar. 1870—1874.  
**Wien. Denkschr.** = Denkschriften d. kais. Akad. d. Wissensch. math.-nat. Classe. Wien 1850—1882.  
**Wien. Sitzb.** = Sitzungsberichte d. math.-nat. Classe d. kais. Akad. d. Wissensch. Wien 1848—1883.  
**Würt. Jahrb.** = Jahreshäfte des Vereins für vaterländische Naturkunde in Württemberg 1845—1882.  
**Zeitschr. Kryst.** = Zeitschrift für Krystallographie u. Mineralogie herausg. v. Groth. 1877—1884.



## Theilweise benutzte Werke.

Ausser den genannten systematisch excerptirten Werken wurden die übrigen mir zugänglichen mineralogischen Werke benutzt, da wo Literaturverweise auf sie führten. Endlich wurde systematisch verwendet der ganze Reichthum von Dissertationen, Separat-Abdrücken und Ausschnitten aus dem Besitze des k. k. Hof-Mineralien-Cabinets, des Dr. Brezina, sowie meiner eigenen Sammlung. Zu besonderem Dank bin ich den Herren Dr. Brezina und Dr. Berwerth vom k. k. Hof-Mineralien-Cabinet verpflichtet für die Liberalität, mit der sie mir die ihnen zu Gebote stehenden Hilfsmittel zugänglich machten.

Von den benutzten Werken sind die wichtigsten mit Angabe ihrer abgekürzten Bezeichnung die folgenden:

- Bonn. Sitzb. Nat. Ver.** = Sitzungsberichte des naturhistor. Vereins der preuss. Rheinlande und Westfalens. Bonn.
- Bonn. Verhandl. Nat. Ver.** = Verhandlungen des naturhist. Vereins der preuss. Rheinlande und Westfalens. Bonn.
- Des Cloizeaux Nouv. Rech.** = Nouvelles rech. sur les propriétés optiques des cristaux. Paris 1867.
- Dufrénoy Min.** = Dufrénoy. Traité de Minéralogie. 1856.
- Edinb. Journ.** = The Edinburgh philosophical Journal.
- Edinb. Trans.** = Transactions of the royal scotch society of Arts. Edinburgh.
- Erdm. Journ.** = Erdmann. Journal für practische Chemie. Leipzig.
- Gilbert Ann.** = Gilbert. Annalen der Physik. Halle und Leipzig.
- Gött. Nachr.** Nachrichten der Georgs Anhalt. Universität u. s. w. Göttingen.
- Haid. Abh.** = Naturwissenschaftliche Abhandlungen, herausgegeben von W. Haidinger 1847—1851.
- Haid. Ber.** = Berichte über die Mittheilungen von Freunden der Naturwissenschaften. Wien. 1847—1851.
- Jahrb. Geol. R. A.** = Jahrbuch der kk. geol. Reichs-Anstalt. Wien.
- Kobell. Gesch.** = Kobell. Geschichte der Mineralogie. 1864.
- Leonhard. Taschenb.** = Taschenbuch für die gesammte Mineralogie von K. C. v. Leonhard. 1807—1824.
- Lotos** = Lotos. Zeitschrift für Naturwissenschaften. Prag.
- Napoli Att. ac.** = Atti della Reale academia delle scienze. Napoli.
- Napoli Mem. ac.** = Memorie della Reale academia delle scienze. Napoli.
- Niederrhein. Gesellsch.** = Sitzungsberichte der niederrheinischen Gesellschaft für Natur- und Heilkunde. Bonn.
- Phil. Trans.** = Philosophical transactions of the royal society of London.
- Prag. Abhandl.** = Abhandlungen der böhmischen Gesellschaft der Wissenschaften. Prag.
- Quenstedt Min.** = Quenstedt. Mineralogie.
- Rose Ural-Reise** = G. Rose. Mineralogisch geognostische Reise nach dem Ural, Altai u. s. w. Bd. 1, 1838. Bd. 2, 1842.
- Roma Att. Reale Linc.** = Atti dell' Accademia reale dei nuovi Lincei. Rom.
- Schweigg. Journ.** = Schweigger. Journal für Chemie und Physik. Nürnberg, Berlin.
- Senck. Abh.** = Abhandlungen, herausg. von d. Senckenbergischen naturforschenden Gesellschaft. Frankfurt a. M.
- Verhandl. Geol. R. A.** = Verhandlungen der kk. geologischen Reichs-Anstalt. Wien.



## Literatur betr. Umwandlung und Transformation der Symbole.

- Bernhardi. Gehlens Journal. 1857. S. 155, 185, 492, 625.  
 Bravais. Etudes crystallographiques. 1866. 115. (Die Arbeiten Bravais' zusammen-  
 gedruckt. Die hier betrachtete Untersuchung stammt aus dem Jahr 1849.)  
 Dana J. D. Lettering figures of crystals. Amer. Journ. 1852. (2) 13. 399—404.  
 Des Cloizeaux. Mém. s. l. cristallisation et la struct. int. de Quartz. 4<sup>e</sup>. Paris 1858. 192—200.  
 Des Cloizeaux. Manuel. 1862. 1. XIII—XXV.  
 Egleston. Comparison of notations used to represent the faces of crystals. New-York 1871.  
 Frankenheim. Oken Isis. 1826. 10. 498 und 542.  
 Grassmann. Zur physischen Krystallonomie u. geometrischen Combinationslehre. Stettin 1829.  
 Grassmann. Combinatorische Entwicklung der Krystallgestalten. Pogg. Ann. 1833. 30. 1.  
 Groth. Physikalische Krystallographie. 1876. 513—517.  
 Karsten. Lehrbuch der Krystallographie. 1861. 123—127.  
 Kenngott. Synonymik der Krystallographie. 1861. 123.  
 Kupffer. Handbuch der Krystallonomie. 1831. 102—215.  
 Lang. Lehrbuch der Krystallographie. 1866. 353.  
 Lapparent. Cours de minéralogie. 1884. 518—523.  
 Lévy. On the modes of notation of Weiss, Mohs and Haüy. Edinb. Philos. Journ.  
 1825. 12. 70—81. 1826. 14. 131—135 und 256—270.  
 Mallard. Traité de crystallographie. 1879. I. 321—363.  
 Miller. A treatise on crystallography. 1839.  
 Miller. On the crystallographic method of Grassmann. Cambridge 1868.  
 Miller-Grailich. Lehrbuch der Krystallographie. 1856. 208—223.  
 Quenstedt. Grundriss der Krystallographie. 1873. Geschichtliche Einleitung 1. 74. 226. 347.  
 Rammelsberg. Handb. d. kryst. phys. Chemie. 1881. I. 1—10.  
 Schrauf. Atlas der Krystallformen. 1864. 13—19.  
 Schrauf. Wien. Sitzb. 1863. 48. (2) 250—270.  
 Schrauf. Physikalische Krystallographie. 1866. I. 245—251.  
 Selle. Comparaison et transformation. Paris 1873. (Autograph.)  
 Websky. Ueber Ableitung des krystallographischen Transformations-Symbols. Berl.  
 Monatsb. 1881. 152. Zeitschr. Kryst. 1882. 6. 1.  
 Weiss C. S. Berl. Abh. 1823. 217.  
 Werner. Jahrb. Min. 1882. 2. 55.  
 Whewell. Philosophical Transactions. London 1825. 87—130.

## Zahlen in den Literatur-Citaten.

Von den in den Literatur-Citaten auftretenden Zahlen bedeutet die erste die Jahreszahl, die zweite den Band, die dritte die Seite. Eine Zahl in Klammer ( ) bedeutet, wenn vor der Bandzahl Serie, wenn nach derselben Abtheilung. Die Bandzahl ist überall durch stärkeren Druck hervor-  
 gehoben, z. B.:

- Wien. Sitzb. 1862. 46. (2) 189 = Sitzungsberichte der k. k. Akademie  
 der Wissenschaften. Jahrg. 1862. Band 46. Abth. 2. Seite 189.  
 Amer. Journ. 1883. (3) 26. 214 = American Journal of science and  
 arts by Silliman etc., Jahrg. 1883. Serie 3. Bd. 26. Seite 214.

### Bemerkungen zur Literatur.

Bei Schweigger (Journal und Jahrbuch) besteht eine dreifache Art der Numerirung der Bände. Hier wurde die auf dem ersten Titelblatt stehende einheitliche Zählung von 1—69 festgehalten.

Hartmann's Handwörterbuch der Mineralogie und Geologie wurde vollständig benutzt und citirt. Es enthält zwar keine Originalangaben, ist dagegen bequem und werthvoll zur Orientirung in der alten Literatur und Synonymik.

Von Mohs' Mineralogie wurden beide Ausgaben (Grundriss 1824 und Mohs-Zippe 1839) vollständig benutzt und citirt. Erstere Ausgabe wegen der reichen Menge von Originalangaben, letztere wegen des von Zippe dazu gesammelten Materials und wegen der weiten Verbreitung, die das Buch erfahren hat, was die direkte Identification aller darin enthaltenen Symbole und Axenverhältnisse als wünschenswerth erscheinen lässt.

**Abschluss des Werkes.** Bis zu welcher Zeit die Angaben reichen, geht aus dem Literaturverzeichniss hervor. Da zum Zweck der Drucklegung einmal abgeschlossen werden musste, so war es nicht möglich, die Ergebnisse der Forschung bis auf die allerletzten Tage einzutragen. In diesem Sinne ist das Werk bereits bei seinem Erscheinen veraltet. Doch ist das Fehlende, Neueste, unschwer herbeizuschaffen, und es besteht die Absicht, von Zeit zu Zeit die Ergänzung durch eine Nachtragslieferung zu bringen. Diese Nachträge können eine weitaus einfachere Gestalt erhalten, indem für sie die das Werk so sehr belastenden ungebräuchlich gewordenen alten Symbole in Wegfall kommen. Für letztere ist abgesehen von Richtigstellungen und inneren Ergänzungen ein Abschluss gewonnen und kann in dieser Beziehung das Werk niemals veralten. Es soll nun noch darauf hingearbeitet werden, den bis zur Zeit gewonnenen Stoff durch weitere kritische Richtigstellungen zu klären und, wo möglich, zu einem stereotypen zu gestalten. Gewiss werden die Herren Fachgenossen diesem Bestreben gern ihre Unterstützung zu Theil werden lassen.

### Namen und Reihenfolge der Mineralien.

Zur Bezeichnung der Mineralien wurden die in Deutschland derzeit zu meist üblichen Namen gewählt und danach der Index alphabetisch geordnet. Die gebräuchlichsten Synonyme sollen in einem Register beigefügt werden, welches jedoch nicht prätendirt, ein vollständiges Synonymen-Verzeichniss zu sein, sondern nur gewisse Schwierigkeiten in der Benutzung des Index beseitigen soll.



**Vertheilung des Inhalts auf den Blättern.**

Auf den vorderen (ungeraden) Seiten wurden gegeben: der Name des Minerals; das Krystallsystem; das Axenverhältniss in dem derzeit üblichen Sinn, nach Angabe der verschiedenen Autoren; die Elemente in unserem erweiterten Sinn für die angenommene Aufstellung; die Transformations-Symbole zur Verwandlung der Symbole der verschiedenen Aufstellungen in einander; das Formenverzeichniss.

Auf den (geraden) Rückseiten: die Literatur-Angaben, Bemerkungen und Correcturen.

Jedes Mineral schliesst mit dem vollen Blatt ab. Damit ist der Nachtheil verbunden, dass das ohnehin umfangreiche Werk noch an Ausdehnung zunimmt. Dagegen gewinnen wir aus dieser Einrichtung die folgenden Vortheile:

1. Das ganze Werk lässt sich in einzelne Blätter auflösen, von denen man jedes für sich selbstständig benutzen kann.
2. Erstreckt sich eine Tabelle über mehrere Blätter, so kann man diese neben einander legen und so zugleich übersehen.
3. Nach dem Auflösen kann man sich den Index nach einem beliebigen chemischen oder krystallographischen System ordnen, oder selbst Aenderungen in der alphabetischen Anordnung vornehmen, wenn man andere Synonyme bei Benennung der Mineralien den gewählten vorzieht.
4. Es wird dadurch dem Vorwurf einer Inconsequenz seine Schärfe benommen, nämlich derjenigen, dass manchmal eine Anzahl isomorpher Mineralien, z. B. die Feldspäthe, zu einer Gruppe mit gemeinsamer Ueberschrift vereinigt wurden, ein anderes Mal jedes Mineral einer solchen Gruppe für sich selbstständig auftritt. Solche Gruppen wurden da geschlossen gegeben, wo die einzelnen Glieder nicht klar getrennt oder durch Uebergänge verknüpft sind; jedoch ohne die Absicht in dieser Richtung zu systematisiren. Wem daher die hier gemachte Vereinigung und Trennung nicht zusagt, der kann mit Hilfe des Buchbinders seinen diesbezüglichen Wünschen und Anforderungen gerecht werden.
5. Man kann zu einer speciellen Untersuchung die Mineralien irgend einer Gruppe vereinigen, z. B. alle rhombischen Mineralien, alle Glieder einer isomorphen Gruppe u. s. w.
6. Man hat Platz zu Nachträgen und Bemerkungen, und kann zu diesem Zweck das Buch mit Papier durchschliessen, ohne den Zusammenhang zu stören.

Allen diesen Vorzügen gegenüber schien der Nachtheil grösseren Volums zurücktreten zu müssen.



## Abkürzungen der Autoren-Namen.

Es wurden in diesem Werk, da wo es der Raum erforderte, die folgenden Kürzungen der Autorennamen angewendet:

<b>A.</b>	<b>d'Ach.</b>	<b>Arzr.</b>	<b>Auerb.</b>						
	d'Achiardi	Arzruni	Auerbach.						
<b>B.</b>	<b>Babc.</b>	<b>Bärw.</b>	<b>Baumh.</b>	<b>Bertr.</b>	<b>Bodew.</b>	<b>Brav.</b>	<b>Breith.</b> (= Brh.)		
	Babcock	Bärwald	Baumhauer	Bertrand	Bodewig	Bravais	Breithaupt		
		<b>Brez.</b>	<b>Brögg.</b>	<b>Brke.</b>	<b>Bück.</b>				
		Brezina	Brögger	Brooke	Bücking.				
<b>C.</b>	<b>Cathr.</b>	<b>Cord.</b>							
	Cathrein	Cordier.							
<b>D.</b>	<b>Da.</b>	<b>Daub.</b>	<b>Descloiz.</b> = <b>Descl.</b>	<b>Dufr.</b>					
	Dana	Dauber	Des Cloiseaux	Dufrénoy.					
<b>F.</b>	<b>Flet.</b>	<b>Först.</b>	<b>Foul.</b>	<b>Franzn.</b>	<b>Fraz.</b>	<b>Fres.</b>	<b>Friedld.</b>		
	Fletcher	Förstner	Foullon	Franzenau	Frazier	Fresenius	Friedländer.		
<b>G.</b>	<b>Gdt.</b>	<b>Grail.</b>	<b>Gr.</b>	<b>Grünh.</b>	<b>Grünl.</b>				
	Goldschmidt	Grailich	Groth	Grünhut	Grünling.				
<b>H.</b>	<b>Haid.</b>	<b>Hartm.</b>	<b>Haush.</b>	<b>Hausm.</b> = <b>Hsm.</b>	<b>Hy.</b>	<b>Helmh.</b>	<b>Hessb.</b> (= Hsb.)		
	Haidinger	Hartmann	Haushofer	Hausmann	Hauy	Helmhacker	Hessenberg		
		<b>Hze.</b>	<b>Hiörtd.</b>	<b>Hug.</b>					
		Hintze	Hiörtdahl	Hugard.					
<b>J.</b>	<b>Irb.</b>	<b>Jerem.</b>							
	Irby.	Jeremejew							
<b>K.</b>	<b>Kalk.</b>	<b>Kenng.</b>	<b>Kl.</b>	<b>Kob.</b>	<b>Koksch.</b> (= Kok.)	<b>Kren.</b>	<b>Kupf.</b>		
	Kalkowsky	Kenngott	Klein	Kobell	Kokscharow	Krenner	Kupffer.		
<b>L.</b>	<b>Lasx.</b>	<b>Lasp.</b>	<b>Lehm.</b>	<b>Leonh.</b>	<b>Ly.</b>	<b>Liw.</b>	<b>Lor.</b>	<b>Lüd.</b>	
	Lasaulx	Laspeyres	Lehmann	Leonhard	Lévy	Liweh	Lorenzen	Lüdecke.	
<b>M.</b>	<b>Mag.</b>	<b>Mall.</b>	<b>Marign.</b>	<b>Mask.</b>	<b>Mill.</b>	<b>Mhs.</b>	<b>Mont.</b>	<b>Müg.</b>	
	Magel	Mallard	Marignac	Maskelyne	Miller	Mohs	Monteiro	Mügge	
<b>N.</b>	<b>Naum.</b>	<b>Neum.</b>	<b>Nordsk.</b>						
	Naumann	Neumann	Nordenskjöld.						
<b>P.</b>	<b>Phill.</b>								
	Phillips.								
<b>Q.</b>	<b>Quenst.</b>								
	Quenstedt.								
<b>R.</b>	<b>Rambg.</b>	<b>Rath.</b>							
	Rammelsberg	vom Rath.							
<b>S.</b>	<b>Sadeb.</b>	<b>Sandb.</b>	<b>Scac.</b>	<b>Schab.</b>	<b>Scheer.</b>	<b>Schimp.</b>	<b>Schrf.</b>	<b>Schum.</b>	
	Sadebeck	Sandberger	Scacchi	Schabus	Scheerer	Schimper	Schrauf	Schumacher	
		<b>Schust.</b>	<b>Seligm.</b>	<b>Sjög.</b>	<b>Ströv.</b>				
		Schuster	Seligmann	Sjögren	Ströver.				
<b>T.</b>	<b>Tamn.</b>	<b>Tesch.</b>	<b>Trechm.</b>	<b>Tscherm.</b>					
	Tamnau	Teschemacher	Trechmann	Tschermak.					
<b>W.</b>	<b>Wakk.</b>	<b>Webs.</b>	<b>Weisb.</b>	<b>Ws.</b>	<b>Woitsch.</b>				
	Wakkernagel	Websky	Weisbach	Weiss	Woitschach.				
<b>Z.</b>	<b>Zephar.</b> = <b>Zeph.</b>	<b>Zip.</b>	<b>Zirk.</b>						
	Zepharovich	Zippe	Zirkel.						

**Correcturen.**

Für die bei Benutzung der Literatur aufgefundenen Druck- und sonstigen Fehler wurden die Correcturangaben den einzelnen Mineralien beigefügt. Da, wo die Richtigkeit der Correctur nicht unmittelbar einleuchtet, wurde die Motivirung in den Bemerkungen gegeben. Im Allgemeinen sind nur Correcturen von Symbolen oder Winkelangaben aufgenommen, hie und da ist ein Name, eine Jahres- oder Seitenzahl richtig gestellt. Letztere Correctur ist nicht unwichtig, da eine falsche Zahl im Citat das Auffinden einer Arbeit oft sehr erschweren und Zeitverlust herbeiführen kann. In anderen Fehlerverzeichnissen bereits enthaltene Correcturen wurden nur in ganz seltenen Fällen, da, wo es besonders nöthig schien, aufgenommen. Dabei verkenne ich nicht den grossen Vortheil, den es haben würde, all die zerstreuten und oft übersehenen Correcturangaben für die ganze einschlägige Literatur in einem gemeinsamen Fehlerindex zu vereinigen. Die Zahl der bisher (die kritische Revision der Formenverzeichnisse ist noch nicht beendet), vermerkten Correcturen beträgt ca. 900. Dieselben sollen am Schluss des Index nochmals, nach Werken geordnet, angeführt werden, damit man im Stande sein möge, die Verbesserungen in den Büchern der Reihe nach vorzunehmen.

Auch in dem vorliegenden Werk, in dessen grösstem Theil fast jeder Buchstabe einen wesentlichen Fehler bringen kann, wird es, trotz der äussersten Sorgfalt in der Ausarbeitung und Revision, an solchen nicht mangeln. Diejenigen, welche während der Herausgabe sich finden, sollen ebenfalls am Schluss zusammengestellt werden und wäre der Verfasser sehr dankbar für diesbezügliche Mittheilungen.

---

Notiz. Aus dem typographischen Grund der verschiedenen Höhe der Ziffern ist bei zweiziffrigen negativen Zahlen das Zeichen — nur über die zweite Ziffer gesetzt worden, also beispielsweise 16 für — 16.

---

# INDEX.





Abichit.

Monoklin.

Axenverhältniss.

$a : b : c = 3.851 : 1 : 1.907 \quad \beta = 99^{\circ} 30' \text{ (Gdt.)}$   
 $[a : b : c = 1.907 : 1 : 3.851 \quad \beta = 99^{\circ} 30' \text{ (Miller. Groth.)}]$   
 $\{a : b : c = 2.093 : 1 : 2.064 \quad \beta = 100^{\circ} 44' \text{ (Schrauf.)}\}$

Elemente.

$a = 3.851$	$\lg a = 0.58557$	$\lg a_0 = 0.30522$	$\lg p_0 = 9.69478$	$a_0 = 2.0194$	$p_0 = 0.4952$
$c = 1.907$	$\lg c = 0.28035$	$\lg b_0 = 9.71965$	$\lg q_0 = 0.27435$	$b_0 = 0.5244$	$q_0 = 1.8808$
$\mu = \left. \begin{matrix} 80^{\circ} 30' \\ 180 - \beta \end{matrix} \right\}$	$\lg h = \left. \begin{matrix} 9.99400 \\ \lg \sin \mu \end{matrix} \right\}$	$\lg e = \left. \begin{matrix} 9.21761 \\ \lg \cos \mu \end{matrix} \right\}$	$\lg \frac{p_0}{q_0} = 9.42043$	$h = 0.9863$	$e = 0.1650$

Transformation.

Schrauf.	Miller. Groth.	Gdt.
$p \ q$	$\frac{p}{2} \ \frac{q}{2}$	$\frac{2}{p} \ \frac{q}{p}$
$2p \ 2q$	$p \ q$	$\frac{1}{p} \ \frac{q}{p}$
$\frac{2}{p} \ \frac{2q}{p}$	$\frac{1}{p} \ \frac{q}{p}$	$p \ q$

No.	Miller. Schrauf. Gdt.	Miller.	Naumann.	[Lévy.]	Gdt.
1	a	001	oP	—	o
2	c	100	$\infty P \infty$	p	$\infty o$
3	m	011	$P \infty$	m	01
4	r	101	$-P \infty$	$o^2$	10
5	s	203	$+\frac{2}{3} P \infty$	$a^2$	$-\frac{2}{3} o$

Literatur.

<i>Lévy</i>	<i>Descr.</i>	1838	—	Taf. 65 (Culvre ars. en prisme rh. oblique) Fig. 2
<i>Miller</i>	<i>Min.</i>	1852	—	511 (Klinoklas)
<i>Schrauf</i>	<i>Wien. Sitzb.</i>	1860	<b>39</b>	891 (Klinoklas)
"	<i>Atlas</i>	1864	—	Taf. XX
<i>Groth</i>	<i>Tab. Uebers.</i>	1882	—	66 (Strahlerz).

Correcturen.

*Schrauf* *Wien. Sitzb.* 1860 **39** Seite 891 Zeile 6 vo lies: (110) statt (120).



Adamin.

Rhombisch.

Axenverhältnisse.

a : b : c = 0.6848 : 1 : 0.9959 (Gdt.)

[a : b : c = 0.9733 : 1 : 0.7158] (Des Cloizeaux. Dana.)

[a : b : c = 0.9959 : 1 : 0.6848] (Laspeyres.)

{ Monoklin. a : b : c = 1.388 : 1 : 1.394 β = ca. 90° (Groth.) }

Elemente.

a = 0.6848	lg a = 983556	lg a <sub>0</sub> = 983734	lg p <sub>0</sub> = 016266	a <sub>0</sub> = 0.6876	p <sub>0</sub> = 1.4543
c = 0.9959	lg c = 999822	lg b <sub>0</sub> = 000178	lg q <sub>0</sub> = 999822	b <sub>0</sub> = 1.0041	q <sub>0</sub> = 0.9959

Transformation.

Descloiz. Dana. Laspeyres	Groth.	Gdt.
pq	$\pm \frac{p}{q} \frac{1}{q}$	$\frac{1}{p} \frac{q}{p}$
$\frac{p}{q} \frac{1}{q}$	pq	$\frac{q}{p} \frac{1}{p}$
$\frac{1}{p} \frac{q}{p}$	$\pm \frac{1}{q} \frac{p}{q}$	pq

No.	Gdt.	Laspeyres.	Miller.	Naumann.	[Des Cloizeaux.]	Gdt.
1	a	a	001	oP	h <sup>1</sup>	o
2	b	b	010	∞P̄∞	g <sup>1</sup>	o∞
3	c	c	100	∞P̄∞	p	∞o
4	l	l	110	∞P	—	∞
5	k	k	014	$\frac{1}{2}$ P̄∞	h <sup>2</sup> <sub>3</sub>	o $\frac{1}{4}$
6	m	m	012	$\frac{1}{2}$ P̄∞	h <sup>3</sup>	o $\frac{1}{2}$
7	n	n	035	$\frac{2}{3}$ P̄∞	h <sup>4</sup>	o $\frac{2}{3}$
8	r	r	011	P̄∞	m	o1
9	s	s	053	$\frac{2}{3}$ P̄∞	g <sup>4</sup>	o $\frac{2}{3}$
10	t	t	021	2P̄∞	g <sup>3</sup>	o2
11	d	d	101	P̄∞	a <sup>1</sup>	1o
12	f	—	605	$\frac{6}{5}$ P̄∞	a <sup>6</sup> <sub>5</sub>	$\frac{6}{5}o$
13	o	o	111	P	b <sup>1</sup> <sub>2</sub>	1

Goldschmidt, Index.

Literatur.

<i>Des Cloizeaux</i>	<i>Compt. Rend.</i>	1866	62	695	}
"	<i>Nouv. rech.</i>	1867	—	26	
"	<i>Bull. soc. min.</i>	1878	1	30	}
"	<i>Zeitschr. Kryst.</i>	1879	3	104	
<i>Laspeyres</i>	<i>Zeitschr. Kryst.</i>	1878	2	147	(Laurion).

# Aeschynit.

## Rhombisch.

### Axenverhältniss.

$$a : b : c = 0.7161 : 1 : 1.4870 \text{ (Gdt.)}$$

$$[a : b : c = 0.4816 : 1 : 0.6725] \text{ (Brögger.)}$$

$$[ \quad \quad = 0.4864 : 1 : 0.6737 ] \text{ (Koksch. Groth. Woitschach.)}$$

$$[ \quad \quad = 0.4770 : 1 : 0.6635 ] \text{ (Des Cloizeaux.)}$$

$$[ \quad \quad = 0.4951 : 1 : 0.6688 ] \text{ (Rose. Hausmann.)}$$

$$\{a : b : c = 0.9729 : 1 : 0.6737\} \text{ (Dana.)}$$

### Elemente.

$a = 0.7161$	$\lg a = 985497$	$\lg a_0 = 968266$	$\lg p_0 = 031734$	$a_0 = 0.4816$	$p_0 = 2.0765$
$c = 1.4870$	$\lg c = 017231$	$\lg b_0 = 982769$	$\lg q_0 = 017231$	$b_0 = 0.6725$	$q_0 = 1.4870$

### Transformation.

Brögg. Koksch. Groth. Woitsch. Descl. Rose. Hausm.	Dana.	Gdt.
$p \ q$	$2 \ p \cdot q$	$\frac{p}{q} \ \frac{1}{q}$
$\frac{p}{2} \ q$	$p \ q$	$\frac{p}{2 \ q} \ \frac{1}{q}$
$\frac{p}{q} \ \frac{1}{q}$	$\frac{2 \ p}{q} \ \frac{1}{q}$	$p \ q$

Nr.	Gdt.	Miller.	Schrauf.	Brög.	Koksch.	Rose. Hausm.	Brooke. Mohs- Zippe.	Miller.	Naum.	[Hausm.]	[Mohs.] [Zippe.]	Gdt.
1	a	a	a	b	c	b	h	001	o P	B	$\bar{P}r + \infty$	o
2	c	c	c	c	P	—	P	010	$\infty \bar{P} \infty$	A	$P - \infty$	o $\infty$
3	b	b	—	—	—	—	—	100	$\infty \bar{P} \infty$	—	—	$\infty \ 0$
4	d	—	—	d	d	—	—	110	$\infty P$	—	—	$\infty$
5	v	v	v	x	x	2 f	c	012	$\frac{1}{2} \bar{P} \infty$	$BA \frac{1}{2}$	—	$0 \frac{1}{2}$
6	n	—	—	n	n	—	—	103	$\frac{1}{3} \bar{P} \infty$	—	—	$\frac{1}{3} \ 0$
7	r	r	l	—	s	$\frac{1}{2} g$	—	102	$\frac{1}{2} \bar{P} \infty$	$BB' 2$	—	$\frac{1}{2} \ 0$
8	t	—	—	—	—	—	—	305	$\frac{3}{2} \bar{P} \infty$	—	—	$\frac{3}{2} \ 0$
9	m	m	m	m	M	g	M	101	$\bar{P} \infty$	E	$P + \infty$	10
10	o	o	o	p	o	o	e (?)	111	P	P	—	1



Literatur.

Brooke	Phil. Mag.	1831	10	187. }
"	Pogg. Ann.	1831	23	361. }
Mohs-Zippe	Min.	1839	2	459.
Rose	Ural Reise	1842	2	70.
Des Cloizeaux	Ann. Min.	1842 (4)	2	349.
Hausmann	Handb.	1847	2	(2) 947.
Miller	Min.	1852	—	470.
Kokscharow	Mat. Min. Russl.	1858	3	384.
"	Mat. Min. Russl.	1881	8	115.
Schrauf	Atlas	1864	—	Taf. I.
Dana	System	1873	—	522.
Brögger	Zeitschr. Kryst.	1879	3	481. }
"	Jahrb. Min.	1880	2	Ref. 21. }
Woitschach	Zeitschr. Kryst.	1882	7	86.

Bemerkungen.

Bei Hausmann (Handb. 1847 2 (2) 947 findet sich die Form  $EA \frac{1}{2}$  (e Brooke) =  $\frac{1}{2}$  oder in der Aufstellung des Index  $\frac{1}{2}$ . Dieses Symbol geben die übrigen Autoren nicht. Es verdankt seine Entstehung der Winkel-Angabe von Brooke:

$$M : e = 169^\circ 18'$$

Diese Winkel-Angabe dürfte auf einem Irrthum beruhen. Es deutet vielmehr die Figur darauf hin, dass e Brooke identisch mit o Rose und  $M : e = 146^\circ ca$  sein müsste. Mohs-Zippe haben die Pyramide o Brooke zur Grundform gewählt und die Elemente

$$a : b : c = 1 : \sqrt{0.179} : \sqrt{0.0445}$$

berechnet, was nach unserer Schreibweise lautet:

$$a : b : c = 0.4986 : 1 : 2.363$$

In den Winkeln, die Zippe für diese Form rechnet, ist ein Rechenfehler und es ist zu lesen:

$$P = 128^\circ ; 57^\circ ; 158^\circ 36' \text{ statt: } 68^\circ 0' ; 128^\circ 0' ; 158^\circ 36'.$$

Hausmann hat für dieselbe Form für sein Symbol  $EA \frac{1}{2}$  die Winkel gerechnet:

$$128^\circ 18' ; 56^\circ 36' ; 158^\circ 32'$$

Es erscheinen Brooke's Winkel, Mohs-Zippe's Elemente und Hausmanns Symbol als durchaus unwahrscheinlich und dürfte e Brooke nach Correctur des Winkels mit o Rose zu identificiren sein.

Correcturen.

Rose G.	Ural Reise	1842	2	Seite	71	Zeile	7 u. 9	vo	lies	b	statt	h
Kokscharow	Mat. Min. Russl.	1858	3	"	385	"	1	vu	"	$\infty P_2$	"	$\infty P_2$

Akanthit.

1.

Rhombisch.

Axenverhältnisse.

$a : b : c = 0.6886 : 1 : 0.9945$  (Dana. Groth. Gdt.)

$[a : b : c = 1.4525 : 1 : 1.4442]$  (Dauber.)

$\{a : b : c = 0.7271 : 1 : 1.4447\}$  (Schrauf.)

Elemente.

a = 0.6886	lg a = 983797	lg a <sub>0</sub> = 984037	lg p <sub>0</sub> = 015963	a <sub>0</sub> = 0.6924	p <sub>0</sub> = 1.4442
c = 0.9945	lg c = 999760	lg b <sub>0</sub> = 000240	lg q <sub>0</sub> = 999760	b <sub>0</sub> = 1.0055	q <sub>0</sub> = 0.9945

Transformation.

Dauber.	Schrauf.	Dana. Groth. Gdt.
p q	$\frac{p}{2} q$	q p
2 p q	p q	q · 2 p
q p	$\frac{q}{2} p$	p q

No.	Gdt.	Schrauf.	Dauber.	Groth.	Miller.	Naumann.	Gdt.
1	c	c	c	—	001	o P	o
2	b	b	a	—	010	∞ P ∞	o ∞
3	a	a	b	—	100	∞ P ∞	∞ o
4	τ	—	τ	—	210	∞ P 2	2 ∞
5	m	m	m	—	110	∞ P	∞
6	α	l	α	—	120	∞ P 2	∞ 2
7	v	—	—	v	013	$\frac{1}{3}$ P ∞	o $\frac{1}{3}$
8	r	r	r	—	023	$\frac{2}{3}$ P ∞	o $\frac{2}{3}$
9	d	d	d	—	011	P ∞	o 1
10	o	o	o	—	101	P ∞	1 o
11	γ	—	γ	—	504	$\frac{3}{2}$ P ∞	$\frac{3}{2}$ o
12	u	—	u	—	201	2 P ∞	2 o
13	e	e	e	—	301	3 P ∞	3 o
14	x	—	x	—	113	$\frac{1}{3}$ P	$\frac{1}{3}$
15	p	k	p	—	111	P	1
16	z	—	z	—	554	$\frac{3}{2}$ P	$\frac{3}{2}$
17	k	p	k	—	121	2 P 2	1 2

Fortsetzung S. 167.

Literatur.

<i>Dauber</i>	<i>Wien. Sitzb.</i>	1860	39	685	}
„	<i>Jahrb. Min.</i>	1861	—	696	
<i>Schrauf</i>	<i>Atlas</i>	1864	—	Taf. 1	
<i>Dana</i>	<i>System</i>	1873	—	51	
<i>Groth</i>	<i>Strassb. Samml.</i>	1878	—	51	

Bemerkungen.

Ausser den angeführten giebt Dauber noch folgende 7 Formen, die er jedoch unsicher bezeichnet. Die Symbole entsprechen in unserer Aufstellung:

$$\begin{array}{ll}
 \varphi = \frac{5}{8} \circ (508) & y = \frac{5}{8} \frac{1}{8} (518) \\
 t = \frac{2}{3} \circ (203) & \sigma = \frac{1}{3} \frac{4}{3} \frac{1}{3} (14 \cdot 15 \cdot 13) \\
 i = \frac{5}{6} \circ (506) & g = 8 \cdot 20 (8 \cdot 20 \cdot 1) \\
 \psi = 8 \circ (801) &
 \end{array}$$



## 2.

No.	Gdt.	Schrauf.	Dauber.	Groth.	Miller.	Naumann.	Gdt.
18	s	s	s	—	131	$3\bar{P}3$	$1\bar{3}$
19	$\mu$	—	$\mu$	—	122	$\bar{P}2$	$\frac{1}{2}\bar{1}$
20	n	n	n	—	211	$2\bar{P}2$	$2\bar{1}$
21	$\omega$	—	—	$\omega$	411	$4\bar{P}4$	$4\bar{1}$
22	$\pi$	—	—	$\pi$	611	$6\bar{P}6$	$6\bar{1}$
23	$\delta$	—	$\delta$	—	241	$4\bar{P}2$	$2\bar{4}$
24	$\theta$	$\theta$	$\theta$	—	163	$2\bar{P}6$	$\frac{1}{3}\bar{2}$
25	$\gamma$	—	$\gamma$	—	214	$\frac{1}{2}\bar{P}2$	$\frac{1}{2}\bar{\frac{1}{2}}$
26	$\beta$	—	$\beta$	—	152	$\frac{3}{2}\bar{P}5$	$\frac{1}{2}\bar{\frac{3}{2}}$
27	$\lambda$	$\lambda$	$\lambda$	—	143	$\frac{4}{3}\bar{P}4$	$\frac{1}{3}\bar{\frac{4}{3}}$
28	$\varepsilon$	—	$\varepsilon$	—	183	$\frac{8}{3}\bar{P}8$	$\frac{1}{3}\bar{\frac{8}{3}}$
29	h	—	h	—	125	$\frac{5}{2}\bar{P}2$	$\frac{1}{2}\bar{\frac{5}{2}}$
30	l	—	l	—	534	$\frac{7}{2}\bar{P}\frac{7}{2}$	$\frac{7}{2}\bar{\frac{7}{2}}$



**Alaun.****Regulär.**

No.	Gdt.	Miller. Schrauf.	Haüy. Mohs. Zippe. Hartm.	Miller.	Naum.	Hausm.	Mohs. Hartm.	Haüy.	Lévy.	G <sub>1</sub>	G <sub>2</sub>	G <sub>3</sub>
1	c	h	r	∞01	∞O∞	W	H	A	p	o	∞∞	∞0
2	e	—	—	102	∞O2	—	—	—	—	$\frac{1}{2}$ o	02	2∞
3	d	d	o	101	∞O	RD	D	B	—	1o	01	∞
4	q	—	c	112	2O2	—	C <sub>1</sub>	—	—	$\frac{1}{2}$	12	21
5	p	o	P	111	O	O	O	P	a'	1	1	1
6	W	—	—	64·65·65	$\frac{64}{65}$ O	—	—	—	—	1 $\frac{64}{65}$	$\frac{64}{65}$ 1	$\frac{64}{65}$
7	u	—	b	212	2O	—	B	—	—	1 $\frac{1}{2}$	$\frac{1}{2}$ 1	2



Literatur.

<i>Hauy</i>	<i>Traité Min.</i>	1822	2	114
<i>Mohs</i>	<i>Grundr.</i>	1824	2	62
<i>Hartmann</i>	<i>Handwb.</i>	1828	—	4
<i>Naumann</i>	<i>Kryst.</i>	1830	1	112
<i>Lévy</i>	<i>Descr.</i>	1838	1	301
<i>Mohs-Zippe</i>	<i>Min.</i>	1839	2	53
<i>Hausmann</i>	<i>Handb.</i>	1847	2	(2) 1166
<i>Miller</i>	<i>Min.</i>	1852	—	540
<i>Weber</i>	<i>Pogg. Ann.</i>	1860	109	379
<i>Wulff</i>	<i>Zeitschr. Kryst.</i>	1881	5	81.

Bemerkungen.

Die von Naumann angegebene Form  $\frac{9}{4}O$  dürfte wohl als vicinale anzusehen sei

# Allaktit.

## Monoklin.

### Axenverhältnisse.

$$a : b : c = 0.3315 : 1 : 0.6115 \quad \beta = 95^\circ 43.5 \text{ (Gdt.)}$$

$$[a : b : c = 0.6115 : 1 : 0.3315 \quad \beta = 95^\circ 43.5] \text{ (Sjögren.)}$$

### Elemente.

$= 0.3315$	$\lg a = 952048$	$\lg a_0 = 973408$	$\lg p_0 = 026592$	$a_0 = 0.5421$	$p_0 = 1.8447$
$= 0.6115$	$\lg c = 978640$	$\lg b_0 = 021360$	$\lg q_0 = 978422$	$b_0 = 1.6353$	$q_0 = 0.6084$
$= \left. \begin{matrix} 84^\circ 16.5 \\ 0 - \beta \end{matrix} \right\}$	$\lg h = \left. \begin{matrix} 999782 \\ \lg \sin \mu \end{matrix} \right\}$	$\lg e = \left. \begin{matrix} 899893 \\ \lg \cos \mu \end{matrix} \right\}$	$\lg \frac{p_0}{q_0} = 048170$	$h = 0.9950$	$e = 0.0998$

### Transformation.

Sjögren.	Gdt.
$p \ q$	$\frac{1}{p} \ \frac{q}{p}$
$\frac{1}{p} \ \frac{q}{p}$	$p \ q$

No.	Sjögren. Gdt.	Miller.	Naumann.	Gdt.
1	a	001	0P	0
2	b	010	$\infty P \infty$	0 $\infty$
3	g	019	$\frac{1}{9} P \infty$	0 $\frac{1}{9}$
4	k	013	$\frac{1}{3} P \infty$	0 $\frac{1}{3}$
5	l	012	$\frac{1}{2} P \infty$	0 $\frac{1}{2}$
6	f	023	$\frac{2}{3} P \infty$	0 $\frac{2}{3}$
7	n	011	$P \infty$	01
8	o	043	$\frac{4}{3} P \infty$	0 $\frac{4}{3}$
9	r	051	$5 P \infty$	05
10	e	101	$-P \infty$	+10
11	p	405	$-\frac{4}{5} P \infty$	+\frac{4}{5}0
12	h	101	$+P \infty$	-10
13	d	111	$-P$	+1
14	i	232	$-\frac{2}{3} P \frac{2}{3}$	+1 $\frac{2}{3}$
15	m	141	$-4P4$	+14

Literatur.

Sjögren Geol. Fören. Förh. 1884 7 220.



**Alloklas.****Rhombisch.****Axenverhältnisse.**

$$a : b : c = 0.736 : 1 : 0.554 \text{ (Gdt.)}$$

$$[a : b : c = 0.75 : 1 : 1.35] \text{ (Tschermak.)}$$

**Elemente.**

$a = 0.736$	$\lg a = 986688$	$\lg a_0 = 012337$	$\lg p_0 = 987663$	$a_0 = 1.328$	$p_0 = 0.753$
$c = 0.554$	$\lg c = 974351$	$\lg b_0 = 025649$	$\lg q_0 = 974351$	$b_0 = 1.805$	$q_0 = 0.554$

**Transformation.**

Tschermak.	Gdt.
$p \ q$	$\frac{q}{p} \ \frac{1}{p}$
$\frac{1}{q} \ \frac{p}{q}$	$p \ q$

No.	Gdt.	Miller.	Naumann.	Gdt.
1	b	010	$\infty \frac{p}{\infty}$	0 $\infty$
2	e	011	$\frac{p}{\infty}$	0 1
3	f	101	$\frac{p}{\infty}$	1 0

Literatur.

*Tschermak Wien. Sitzb.* 1866 53 (1) 220.

Alstonit.

Rhombisch.

Axenverhältnisse.

$a : b : c = 0.7997 : 1 : 1.3532$  (Gdt.)

$[a : b : c = 0.591 : 1 : 0.739]$  (Miller. Hausmann. Dana. Groth.)

Elemente.

a = 0.7997	lg a = 990293	lg a <sub>0</sub> = 977157	lg p <sub>0</sub> = 022843	a <sub>0</sub> = 0.5910	p <sub>0</sub> = 1.6921
c = 1.3532	lg c = 013136	lg b <sub>0</sub> = 986864	lg q <sub>0</sub> = 013136	b <sub>0</sub> = 0.7390	q <sub>0</sub> = 1.3532

Transformation.

Hausm. Miller. Dana. Groth. Schrauf.	Gdt.
p q	$\frac{p}{q} \quad \frac{1}{q}$
$\frac{p}{q} \quad \frac{1}{q}$	p q

No.	Miller. Gdt.	Schrauf.	Miller.	Naumann.	[Hausmann.]	Gdt.
1	a	a	001	o P	B	o
2	i	d	012	$\frac{1}{2} \bar{P}_{\infty}$	BA $\frac{1}{2}$	$o \frac{1}{2}$
3	k	—	011	$\bar{P}_{\infty}$	D	01
4	m	m	101	$\bar{P}_{\infty}$	E	10
5	h	—	212	$\bar{P}_2$	EA $\frac{1}{2}$	$1 \frac{1}{2}$
6	p	p	111	P	P	1



Literatur.

<i>Hausmann</i>	<i>Handb.</i>	1847	2	(2) 1252
<i>Miller</i>	<i>Min.</i>	1852	—	573
<i>Schrauf</i>	<i>Atlas</i>	1864	—	Taf. VI.
<i>Dana</i>	<i>System</i>	1873	—	698 (Bromlit.)

Bemerkungen.

Die Angabe des Axen-Verhältnisses in Schraufs Atlas:

$$a : b : c = 1.6920 : 1 : 1.2539$$

was bei unserer Deutung der Buchstaben a und b entspricht:

$$a : b : c = 1 : 1.6920 : 1.2539 = 0.591 : 1 : 0.741$$

differirt um ein Geringes von der Angabe der übrigen Autoren.

Altait.

Regulär.

No.	Gdt.	Miller.	Schrauf.	Miller.	Naumann.	Des Cloizeaux.	G <sub>1</sub>	G <sub>2</sub>	G <sub>3</sub>
1	c	a	h	∞01	∞O∞	p	o	o∞	∞o

*Literatur.*

<i>Miller</i>	<i>Min.</i>	1852	137
<i>Schrauf</i>	<i>Atlas</i>	1864	Taf. VI.



# Alunit.

Hexagonal. Rhomboedrisch. Hemiedrisch.

Axenverhältnisse.

$$a : c = 1 : 1.2523 \text{ (G}_2\text{.)}$$

(1)

$$\left[ \begin{matrix} a : c = 1 : 1.2523 \\ (10) \end{matrix} \right] \text{ (Breithaupt. Dana. Groth. Jeremejew.)}$$

$$\left[ \begin{matrix} a : c = 1 : 1.257 \\ (10) \end{matrix} \right] \text{ (Cordier. Mohs 1824.)}$$

$$\left\{ \begin{matrix} a : c = 1 : 1.139 \\ (10) \end{matrix} \right\} \text{ (Mohs Zippe. Hausmann. Miller. Phillips.)}$$

Elemente.

$c = 1.2523$	$\lg c = 0.09770$	$\lg a_0 = 0.14085$ $\lg a'_0 = 0.990229$	$\lg p_0 = 992162$	$a_0 = 1.3831$ $a'_0 = 0.7985$	$p_0 = 0.8349$
--------------	-------------------	--	--------------------	-----------------------------------	----------------

Transformation.

Breith. Dana. Groth. Mohs. Cordier. Jerem. G <sub>1</sub>	G <sub>2</sub>
p q	(p + 2q) (p - q)
$\frac{p+2q}{3} \quad \frac{p-q}{3}$	p q

No.	Gdt.	Schrauf.	Bravais.	Miller.	Naumann.	Hausm.	Mohs.	Haüy.	G <sub>1</sub>	G <sub>2</sub>
1	c	c	0001	111	o R	A	R-∞	A	o	o
2	d	—	1120	101	∞ P <sub>2</sub>	—	—	—	∞	∞ o
3	e	—	1010	211	∞ R	—	—	—	∞ o	∞
4	t	t	2021	511	+ 2 R	—	—	—	+ 2 o	+ 2
5	s	s	6065	17.1.1	+ $\frac{5}{2}$ R	—	—	—	+ $\frac{5}{2}$ o	+ $\frac{5}{2}$
6	r	r	1011	100	+ R	HA $\frac{1}{2}$	R	P	+ 1 o	+ 1
7	q	q	6067	21.1.1	+ $\frac{5}{2}$ R	P(?)	—	—	+ $\frac{5}{2}$ o	+ $\frac{5}{2}$
8	v	—	3034	10.1.1	+ $\frac{3}{2}$ R	—	—	—	+ $\frac{3}{2}$ o	+ $\frac{3}{2}$
9	w	—	7079	23.2.2	+ $\frac{7}{2}$ R	—	—	—	+ $\frac{7}{2}$ o	+ $\frac{7}{2}$
10	p	p	1.0.1.64	22.21.21	+ $\frac{1}{64}$ R	—	—	—	+ $\frac{1}{64}$ o	+ $\frac{1}{64}$
11	f	—	3021	511	— 2 R	—	—	—	— 2 o	— 2

Literatur.

Cordier	Ann. Min.	1820	5	303	}
"	Schweigg.	1821	33	282	}
Haüy	Traité Min.	1822	2	128	
Mohs	Grundr.	1824	2	81	
Hartmann	Handb.	1828	—	3	
Mohs-Zippe	Min.	1839	2	78	
Hausmann	Handb.	1847	2	(2) 1163	
Zippe	Jahrb. Geol. R. A.	1852	3	25	
Miller	Min.	1852	—	539	
Breithaupt	Min. Stud. Berg- u. Hütt. Zg.	1865	u.	1866	
Schrauf	Atlas	1864	—	Taf. VI.	
Jeremejew	Zeitschr. Kryst.	1883	7	636.	

Bemerkungen.

Die Angaben von Phillips, Mohs-Zippe, Hausmann, Miller sind nicht in sich Uebereinstimmung mit denen der anderen Autoren. Höchst wahrscheinlich ist:

$pq$  (Phillips. Mohs.)  $\div \frac{7}{8} p \frac{7}{8} q$  ( $G_1$  Breith. Dana)  $\div \frac{7}{8} (p + 2q) \frac{7}{8} (p - q) G_2$  (nahez und die Identification so vorzunehmen, wie oben geschehen.

Correcturen.

Jeremejew Zeitschr. Kryst. 1883 7 Seite 636 Zeile 26 vo lies: 3034 · 0334 statt 3031 · c

# Amalgam.

Regulär.

N <sup>o</sup> .	Gdt.	Hauy. Mohs. Hartm.	Miller, Schrauf.	Miller.	Naumann.	Hausmann.	Mohs- Zippe.	Hauy.	Lévy Descloiz.	G <sub>1</sub>	G <sub>2</sub>	G <sub>3</sub>
1	c	z	a (h)	∞01	∞O∞	W	H	<sup>1</sup> E <sup>1</sup>	p	0	∞∞	∞0
2	a	t	f	103	∞O <sub>3</sub>	PW <sub>3</sub>	A <sub>3</sub>	<sup>2</sup> E <sup>2</sup>	b <sup>3</sup>	$\frac{1}{3}$ 0	30	3∞
3	e	—	—	102	∞O <sub>2</sub>	—	—	—	b <sup>2</sup>	$\frac{1}{2}$ 0	20	2∞
4	d	P	d	101	∞O	RD	D	P	b <sup>1</sup>	10	10	∞
5	q	s	n	112	2O <sub>2</sub>	Tr <sub>1</sub>	C <sub>1</sub>	B	a <sup>2</sup>	$\frac{1}{2}$	21	21
6	p	r	o	111	O	O	O	A'	a <sup>1</sup>	1	1	1
7	u	—	p	212	2O	—	—	—	a $\frac{1}{2}$	1 $\frac{1}{2}$	1 $\frac{1}{2}$	2
8	x	l	s	213	3O $\frac{1}{2}$	TP <sub>1</sub>	T <sub>1</sub>	B $\frac{1}{2}$	s	$\frac{2}{3}$ $\frac{1}{3}$	$\frac{3}{2}$ $\frac{1}{2}$	32

Literatur.

<i>Hauy</i>	<i>Traité Min.</i>	1822	3	307
<i>Mohs</i>	<i>Grundr.</i>	1824	2	504
<i>Hartmann</i>	<i>Handb.</i>	1828	—	383
<i>Lévy</i>	<i>Descr.</i>	1838	2	376
<i>Mohs-Zippe</i>	<i>Min.</i>	1839	2	479
<i>Hausmann</i>	<i>Handb.</i>	1847	2	(1) 31
<i>Miller</i>	<i>Min.</i>	1852	—	125
<i>Des Cloizeaux</i>	<i>Manuel.</i>	1862	1	6
<i>Schrauf</i>	<i>Atlas.</i>	1864	—	Taf. VI u. VII
<i>Groth</i>	<i>Strassb. Samml.</i>	1878	—	13.



# Amblygonit.

**Triklin.**

**Axenverhältnisse.**

$: c = 0.2454 : 1 : 0.4605 \quad \alpha\beta\gamma = 68^\circ 47' ; 98^\circ 44' ; 85^\circ 52' \text{ (Descl. Groth. Gdt.)}$

**Elemente der Linear-Projection.**

$a = 0.2454$	$a_0 = 0.5329$	$\alpha = 68^\circ 47'$	$x_0 = 0.1784$	$d' = -0.4035$
$b = 1$	$b_0 = 2.1715$	$\beta = 98^\circ 44'$	$y_0 = 0.3619$	$\delta' = 26^\circ 14'$
$c = 0.4605$	$c_0 = 1$	$\gamma = 85^\circ 52'$	$k = 0.9149$	

**Elemente der Polar-Projection.**

$p_0 = 1.7539$	$\lambda = 112^\circ 13.3'$	$x_0 = 0.1406$	$d = 0.4035$
$q_0 = 0.4563$	$\mu = 78^\circ 58'$	$y_0 = -0.3782$	$\delta = 20^\circ 24'$
$r_0 = 1$	$\nu = 97^\circ 55.3'$	$h = 0.9149$	

No.	Gdt.	Miller.	Naumann.	Descloiz.	Gdt.
1	c	001	oP	p	o
2	m	110	$\infty P'$	t	$\infty$
3	n	110	$\infty' P$	m	$\infty \overline{\infty}$
4	e	011	$\frac{1}{2} P' \infty$	i'	01

Literatur.

<i>Des Cloizeaux</i>	<i>Compt. rend.</i>	1863 (2)	57	357
<i>Schrauf</i>	<i>Atlas</i>	1864	—	Taf. VII
<i>Des Cloizeaux</i>	<i>Compt. rend.</i>	1871	73	1247
"	<i>Ann. Chim. Phys.</i>	1872	27	385
<i>Kobell</i>	<i>Munch. Sitzb.</i>	1872	2	284 (Hebronit)
<i>Des Cloizeaux</i>	<i>Compt. rend.</i>	1873	76	319
<i>Groth</i>	<i>Tab. Uebers.</i>	1882	—	64.

Bemerkungen.

Die Aufstellung ist den Elementen nach nicht eben günstig. Sie dürfte nur eine häufige sein und sich mit dem Bekanntwerden besser ausgebildeter und formenreicher Krystalle ändern.

**Ammoniak-Alaun.****Regulär.**

No.	Gdt.	Miller.	Miller.	Naumann.	G <sub>1</sub>	G <sub>2</sub>	G <sub>3</sub>
1	p	o	111	O	1	1	1

Ammoniak-Alaun.

186

Literatur.

Miller	Min.	1852	54 <sup>1</sup>
Schrauf	Atlas	1864	Taf. VII.



Amoibit.

Regulär.

No.	Gdt.	Schrauf.	Miller.	Naumann.	G <sub>1</sub>	G <sub>2</sub>	G <sub>3</sub>
1	c	h	∞01	∞O∞	o	o∞	∞o

Literatur.

<i>Kobell</i>	<i>Erdm. Journ.</i>	1844	33	402
<i>Schrauf</i>	<i>Atlas</i>	1864	—	Taf. VII.

# Amphibol.

## 1.

### Monoklin.

#### Axenverhältnisse.

$a : b : c = 0.5482 : 1 : 0.2937$	$\beta = 104^\circ 58'$ (Miller. Descl. Koks. Nordsk. Schrauf. Cathrein. Gdt.)
$" = 0.5318 : 1 : 0.2936$	$\beta = 104^\circ 58'$ (Dana. Groth.)
$" = 0.5456 : 1 : 0.2935$	$\beta = 105^\circ 12'$ (Arzruni.)
$" = 0.5481 : 1 : 0.2945$	$\beta = 105^\circ 20'$ (Franzenau.)
$" = 0.5449 : 1 : 0.2920$	$\beta = 104^\circ 58'$ (Mohs. Zippe. Hausmann.)

#### Elemente.

$a = 0.5482$	$\lg a = 973894$	$\lg a_0 = 027104$	$\lg p_0 = 972896$	$a_0 = 1.8666$	$p_0 = 0.5350$
$c = 0.2937$	$\lg c = 946790$	$\lg b_0 = 053210$	$\lg q_0 = 945291$	$b_0 = 3.4049$	$q_0 = 0.2837$
$\mu = 75^\circ 02'$	$\lg h = 998501$	$\lg e = 941205$	$\lg \frac{p_0}{q_0} = 027605$	$h = 0.9661$	$e = 0.2583$

#### Transformation.

Mohs 1824.	Rath. Weiss. Quenstedt.	Mohs-Zippe. Hausm. Lévy. Miller. Dana. Descl. Groth. Koks. Nordsk. Schrauf. Cathr. Arzruni. Franzn. Gdt.
$p q$	$\frac{p-1}{2} q$	$-\frac{p+1}{2} q$
$(2p+1) q$	$p q$	$-(p+1) q$
$-(2p+1) q$	$-(p+1) q$	$p q$

N <sup>o</sup>	Gdt.	Schrauf. Koch. Franzn.	Mill. Cathr.	Först.	Kok.	Rath.	Hauy Hausm. Hartm. Mhs.-Zip.	Mill.	Naum.	Hausm.	[Mohs] 1824.	Hauy.	Lévy. Descl.	Gdt.
1	c	c	c	c	P	P	P	∞01	0P	A	—Pr	P	p	0
2	b	b	b	b	b	b	x	010	∞P∞	B	Pr+∞	'G'	g <sup>1</sup>	∞∞
3	a	a	a	a	a	—	s	100	∞P∞	B'	Pr+∞	'H'	h <sup>1</sup>	∞∞
4	n	n	n	n	n	—	γ	310	∞P3	B'B3	(Pr+∞) <sup>6</sup>	—	h <sup>2</sup>	3∞
5	q	q	—	—	—	—	—	210	∞P2	—	—	—	—	2∞
6	m	m	m	m	M	T	M	110	∞P	E	(Pr+∞) <sup>3</sup>	M	m	∞
7	e	e	e	e	e	e	c	130	∞P3	BB'3	(Pr+∞) <sup>5</sup>	—	g <sup>2</sup>	∞3
8	d	d	x	—	x	—	l	011	P∞	D	—	E	e <sup>1</sup>	01

(Fortsetzung S. 191.)

Literatur.

Hauy	Traité Min.	1822	2	372	
Mohs	Grundr.	1824	2	314	
Hartmann	Handb.	1828	—	32	
Lévy	Descr.	1838	2	1	
Mohs-Zippe	Min.	1839	2	311	
Hausmann	Handb.	1847	2	(1) 500 figde (513)	
Miller	Min.	1852	—	297	
Des Cloizeaux	Mammel	1862	1	77	
Schrauf	Atlas	1864	—	Taf. VII u. VIII	
Rath	Pogg. Ann.	1866	128	427	
Dana	System.	1873	—	232	
Lasaulx	Jahrb. Min.	1878	—	380	} (Breslakit)
"	Zeitschr. Kryst.	1881	5	271	
Koch	Min. Petr. Mith.	1878	1	341	}
"	Zeitschr. Kryst.	1879	3	306	
Kokscharow	Mat. Min. Russl.	1878	8	159 (Zus. Stellung)	
Förstner	Zeitschr. Kryst.	1881	5	360	
Groth	Tab. Uebers.	1882	—	105	
Arzruni	Berl. Sitzb.	1882	—	März	
"	Jahrb. Min.	1883	1	Ref. 181	}
"	Zeitschr. Kryst.	1884	8	296	
Franzenau	Zeitschr. Kryst.	1884	8	568	
Cathrein	Zeitschr. Kryst.	1884	9	357	

## Arfvedsonit.

Lorenzen	Min. Mag.	1882	5	50
----------	-----------	------	---	----

## Glaukophan (Gastaldit).

Strüver	Rom. Att. ac. Real. Linc.	1875 (2)	2	333
Bodewig	Pogg. Ann.	1876	158	224.

Bemerkungen }  
 Correcturen } s. Seite 192.



## 2.

No.	Gdt.	Schrauf Koch Franzn.	Miller Cathr.	Först.	Kok.	Rath.	Hauy Hausm. Hartm. Mhs.-Zip.	Mill.	Naum.	Hausm.	[Mohs] 1824.	Hauy.	Lévy. Descl.	Gdt.
9	z	z	z	z	z	—	z	021	2 P $\infty$	BA $\frac{1}{2}$	— (Pr) <sup>5</sup>	$\frac{1}{2}$ E	e $\frac{1}{2}$	02
10	u	—	u	—	—	—	—	031	3 P $\infty$	—	—	—	—	03
11	s	s	s	e $\frac{1}{2}$	s	—	—	041	4 P $\infty$	—	—	—	e $\frac{1}{2}$	04
12	f	f	—	—	—	—	—	201	— 2 P $\infty$	—	—	—	—	+20
13	l	l	l	o'	l	—	—	101	— P $\infty$	—	—	—	o'	+10
14	h	h	—	—	—	—	—	203	— $\frac{2}{3}$ P $\infty$	—	—	—	—	+ $\frac{2}{3}$ 0
15	w	w	w	w	w	—	—	101	+ P $\infty$	—	—	—	a'	—10
16	t	t	t	t	t	—	t	201	+ 2 P $\infty$	B'A $\frac{1}{2}$	+ $\frac{3}{2}$ Pr + 2	$\frac{1}{2}$ A	a $\frac{1}{2}$	—20
17	k	k	k	k	k	—	k	111	— P	P	— (P) <sup>3</sup>	$\frac{1}{2}$ D	d $\frac{1}{2}$	+1
18	p	u	—	—	—	—	—	112	— $\frac{1}{2}$ P	—	—	—	—	+ $\frac{1}{2}$
19	r	r	r	r	r	—	r	111	+ P	P'	P	$\frac{1}{2}$ B	b $\frac{1}{2}$	—1
20	o	o	o	o	o	o	a	221	+ 2 P	$\bar{E}A\frac{1}{2}$	(Pr) <sup>5</sup>	—	b $\frac{1}{4}$	—2
21	y	—	y	—	—	—	—	1·10·1	— 10 P $\frac{1}{10}$	—	—	—	—	+1·10
22	g	g	—	—	—	—	—	151	— 5 P $\frac{1}{5}$	—	—	—	—	+15
23	v	v	v	v	v	—	b	131	— 3 P $\frac{1}{3}$	$\frac{1}{2}$ BD' $\frac{1}{3}$	— $\frac{3}{2}$ P + 2	—	v	+13
24	i	i	i	i	i	—	i	131	+ 3 P $\frac{1}{3}$	$\bar{B}D'\frac{1}{3}$	(P) <sup>3</sup>	$\frac{1}{2}$ EDB <sup>2</sup>	e	—13
25	p	p	h	p	h	—	—	151	+ 5 P $\frac{1}{5}$	—	—	—	p	—15
26	σ	—	—	—	—	s	—	261	+ 6 P $\frac{1}{3}$	—	—	—	—	—26

Bemerkungen.

In der Arbeit von Koch (Min. Petr. Mitth. 1878. I. 341 sind die Naumann'schen Symbole in der Weise modificirt angewendet, wie es Schrauf in seinem Atlas gethan hat, nämlich so, dass + gegen die eigentliche Naumann'sche Schreibweise vertauscht sind. Das giebt Gelegenheit zu Verwechslungen, besonders da, wo durch Fehlen von Winkelangaben, wie es hier der Fall ist, eine Controle nicht möglich ist.

Ausserdem sind die Angaben durch Druckfehler entstellt. Es muss heissen:

S. 341 Zeile 16 vu w statt n

" " " 14 vu r " v

wie schon die Angaben auf der folgenden Seite bestätigen. Ferner soll es jedenfalls heissen:

Zeile 17 vu v =  $3P_3(131)$  statt  $3P_\infty(031)$

" 16 vu i =  $-3P_3(131)$  "  $-3P_\infty(031)$

Dass hier ein Fehler vorliegt, geht daraus hervor, dass man  $\pm$  Klinodomen ja nicht unterscheidet und dass gerade diese Correctur Platz zu greifen habe, darauf weist hin die dadurch erreichte Uebereinstimmung in den Buchstaben mit Schrauf und den anderen Autoren (Miller, Kokscharow . . .). Auch wird diese Correctur bestätigt, indem Franzénau (Zeitschr. Kryst. 1884. 8. 569) v = (131) vom Aranyer Berg anführt.

Es sind auch Irrthümer in das Referat (Zeitschr. Kryst. 1879. 3. 306) eingegangen. Dort wäre zu lesen:

2. Amphibol . . . Beobachtete Formen: (110)  $\infty P$ , (011)  $P_\infty$ ; 001 (oP), (111)  $-P$ , (021)  $2P_\infty$ , (100)  $\infty P_\infty$ , (010)  $\infty P_\infty$ . An einem Krystall ausserdem noch: (130)  $\infty P_3$ , (101)  $+P_\infty$ , (201)  $+2P_\infty$ , (111)  $+P$ , (131)  $-3P_3$ ; (131)  $+3P_3$ , (221)  $+2P$  . . . . . u. s. w. . . . . mit den Flächen: (110) (010) (011) (101) (111) (021).

Die Mineralien Arfvedsonit und Glaukophan wurden nicht besonders aufgeführt. Sie haben die gleichen Elemente mit dem Amphibol. Es wurden bei gleicher Aufstellung und gleicher Bedeutung der Buchstaben beobachtet:

Arfvedsonit: cbmzr

Glaukophan: cbamr.

Correcturen.

Mohs	Grundr.	1824 Bd. 2	S. 314 Z.	6 vu lies	$+\frac{P}{2}(r)$	statt	$+\frac{Pr}{2}(r)$
Hartmann	Handb.	1828	" 32 "	2 vu "	$-\frac{(P)^3}{2}$	"	$-\frac{(P)^3}{2}$
"	"	"	" " "	3 vu "	$\frac{(P)^3}{2}$	"	$\frac{(Pr)^3}{2}$
Mohs-Zippe	Min.	1839 " 2	" 312 " 1 u. 10 vo	"	$Pr$	"	$Pr$
Hausmann	Handb.	1847 " 2 (1)	" 515 "	5 vu "	$B'A\frac{1}{2}(t \text{ Haüy})$	"	$B'A\frac{1}{2}(t \text{ Haüy})$
Koch, A.	Min. Petr. Mitth.	1878 " 1	" 341 "	16 vu "	w	"	n
"	"	" " "	" " "	14 " "	r	"	v
"	"	" " "	" " "	17 " "	e	"	l
"	"	" " "	" " "	" " "	$3P_3(131)$	"	$3P_\infty(031)$
"	"	" " "	" " "	16 " "	$-3P_3(131)$	"	$-3P_\infty(031)$

Amphibol - Gruppe.

Cossyrit.

Triklin.

Axenverhältniss.

$a:b:c = 0.6627:1:0.3505$   $\alpha\beta\gamma = 90^{\circ}6'; 102^{\circ}13'; 89^{\circ}54'$  (Förstner. Groth. Gdt.)

Elemente der Linear-Projection.

$a = 0.6627$	$a_0 = 1.8907$	$\alpha = 90^{\circ}06'$	$x'_0 = -0.2116$
$b = 1$	$b_0 = 3.4256$	$\beta = 102^{\circ}13'$	$y'_0 = 0.0017$
$c = 0.3505$	$c_0 = 1$	$\gamma = 89^{\circ}54'$	$k = 0.9775$

Elemente der Polar-Projection.

$p_0 = 0.5289$	$\lambda = 89^{\circ}55'$	$x_0 = 0.2116$
$q_0 = 0.3426$	$\mu = 77^{\circ}47'$	$y_0 = 0.0014$
$r_0 = 1$	$\nu = 90^{\circ}05'$	$h = 0.9774$

No.	Förstner Gdt.	Miller.	Naumann.	Gdt.
1	c	001	oP	o
2	b	010	$\infty P_{\infty}$	$0\infty$
3	a	100	$\infty P_{\infty}$	$\infty 0$
4	m	110	$\infty P'$	$\infty$
5	e	130	$\infty P'_3$	$\infty 3$
6	$\mu$	110	$\infty P$	$\infty \infty$
7	$\varepsilon$	130	$\infty P_3$	$\infty \bar{3}$
8	$\zeta$	021	$2 P'_{\infty}$	02
9	z	021	$2 P'_{\infty}$	02
10	k	111	$P'$	1
11	x	113	$\frac{1}{3} P'$	$\frac{1}{3}$
12	r	111	$P'$	1
13	$\sigma$	151	$5 P'_{\infty}$	15
14	v	131	$3 P'_{\infty}$	13
15	i	131	$3 P'_{\infty}$	13
16	d	171	$7 P'_{\infty}$	17
17	$\rho$	151	$5 P'_{\infty}$	15
18	g	311	$3 P'_{\infty}$	31
19	f	133	$P'_3$	$\frac{1}{3} 1$
20	u	133	$P'_{\infty 3}$	$\frac{1}{3} 1$

Literatur.

Förstner *Zeitschr. Kryst.* 1881 5. 348 (Pantellaria)  
 Groth *Tab. Uebers.* 1882 — 106.

Bemerkungen.

Der Druckfehler in Angabe der Axen-Verhältnisse bei Förstner ist bereits *Zeitschr. Kryst.* 1882. 6. 659 richtig gestellt.

Ausser der von Förstner angenommenen Aufstellung (l. c. Seite 360) hat Förstner noch eine zweite Aufstellung für den Cossyrit gegeben (S. 351). Aendert man die Symbole in der Weise, dass man aus den S. 351 gegebenen bildet:  $q:3p$ , so werden die Symbole am einfachsten und wir erhalten das Axen-Verhältniss

$$a:b:c = 0.5153:1:0.3419$$

$$\alpha\beta\gamma = 107^{\circ}52'; 109^{\circ}16'; 84^{\circ}30'$$

Abgesehen von dem  $\angle \alpha$  ist auch dies Verhältniss dem des Amphibol ähnlich.

Es ist zweifelhaft, welche Aufstellung vorzuziehen sei, doch wurde im Zweifel von der Förstner'schen Annahme nicht abgegangen.



## Amphibol-Gruppe.

### Anthophyllit.

#### Rhombisch.

#### Axenverhältniss.

$$a : b : c = 0.521 : 1 : ? \text{ (Des Cloizeaux. Schrauf.)}$$

No.	Schrauf. Gdt.	Miller.	Naumann.	Des Cloizeaux.	Gdt.
1	a	010	$\infty P \infty$	g'	0 $\infty$
2	b	100	$\infty P \infty$	h'	$\infty 0$
3	m	110	$\infty P$	m	$\infty$

Literatur.

*Des Cloizeaux Manuel* 1862 I 75  
*Schrauf Atlas* 1871 — Taf. XVII.

**Analcim.**

**Regulär.**

No.	Gdt.	Hauy Hartm.	Schrauf.	Miller.	Naumann.	Hausm.	Mohs- Zippe.	Hauy.	Lévy Descl.	G <sub>1</sub>	G <sub>2</sub>	G <sub>3</sub>
1	c	P	h	∞01	∞O∞	W	H	P	p	0	0∞	∞0
2	d	—	d	101	∞O	RD	D	—	—	10	01	∞
3	q	o	n	112	2O2	Tr1	C1	$\frac{2}{3}A$	a <sup>2</sup>	$\frac{1}{2}$	12	21
4	p	—	o	111	O	—	—	—	—	1	1	1
5	w	—	—	323	$\frac{3}{2}O$	—	—	—	—	$1\frac{2}{3}$	$\frac{2}{3}1$	$\frac{3}{2}$

Literatur.

<i>Haüy</i>	<i>Traité Min.</i>	1822	3	170
<i>Mohs</i>	<i>Grundr.</i>	1824	2	260
<i>Hartmann</i>	<i>Handwb.</i>	1828	—	343
<i>Lévy</i>	<i>Descr.</i>	1838	2	258
<i>Mohs-Zippe</i>	<i>Min.</i>	1839	2	250
<i>Hausmann</i>	<i>Handb.</i>	1847	2	(1) 777
<i>Miller</i>	<i>Min.</i>	1852	—	446
<i>Des Cloizeaux</i>	<i>Manuel.</i>	1862	1	392
<i>Schrauf</i>	<i>Atlas</i>	1864	—	Taf. IX
<i>Laspeyres</i>	<i>Zeitschr. Kryst.</i>	1877	1	204.



# Anatas.

I.

## Tetragonal.

### Axenverhältniss.

$a : c = 1 : 1.7771$  (Kokscharow. Miller. Klein.  
Schrauf. Seligmann. Gdt.)

"  $= 1 : 1.7785$  (Dauber.)

"  $= 1 : 1.7778$  (Dana.)

"  $= 1 : 1.7844$  (Schrauf.)

"  $= 1 : 1.7663$  (Mohs. Zippe. Hausmann.)

$\{ a : c = 1 : 0.629 \}$  (Brezina. Wiserin.)

$[ a : c = 1 : 3.554 ]$  (Des Cloizeaux.)

### Elemente.

$\frac{c}{p_0} \} = 1.7771$	$\lg c = 0.24971$	$\lg a_0 = 9.75029$	$a_0 = 0.5627$
-----------------------------	-------------------	---------------------	----------------

### Transformation.

Lévy. Des Cloizeaux.	Brezina. (Wiserin.)	Mohs. Zippe. Hausm. Miller. Dauber. Klein. Dana. Schrauf. Seligm. Gdt.
$p q$	$4(p+q) \cdot 4(p-q)$	$2p \cdot 2q$
$\frac{p+q}{8} \frac{p-q}{8}$	$p q$	$\frac{p+q}{4} \frac{p-q}{4}$
$\frac{p}{2} \frac{q}{2}$	$2(p+q) \cdot 2(p-q)$	$p q$

Gdt.	Haüy. Hausm. Mohs. Hartm.	Miller. Rath. Schrauf. Klein. Seligm. Vrba.	Kochsch.	Miller.	Naum.	Hausm.	Mohs.	Haüy.	[Lévy.] [Descl.]	Gdt.
$c$	$o$	$c$	$n$	$001$	$oP$	$A$	$P-\infty$	$A$	$p$	$o$
$a$	$u$	$a$	$h$	$100$	$\infty P \infty$	$B$	$[P+\infty]$	—	$h'$	$\infty o$
$m$	$x$	$m$	—	$110$	$\infty P$	$E$	$P+\infty$	—	$m$	$\infty$
$o$	—	$o$	—	$107$	$\frac{1}{2} P \infty$	—	—	—	$a^{14}$	$\frac{1}{2} o$
$u$	—	$u$	—	$105$	$\frac{1}{2} P \infty$	$AB_5$	—	—	$a^{10}$	$\frac{1}{2} o$
$x$	—	$x$ (Sel.)	—	$103$	$\frac{1}{2} P \infty$	—	—	—	—	$\frac{1}{2} o$
$e$	$t$	$e$	$t$	$101$	$P \infty$	$D$	$P-1$	—	$a^2$	$10$
$q$	$q$	$q$	—	$201$	$2 P \infty$	$BA \frac{1}{2}$	$P+1$	—	$a^1$	$20$
$d$	—	$d$	—	$301$	$3 P \infty$	—	—	—	$a^{\frac{2}{3}}$	$30$

Fortsetzung S. 201.

Literatur.

<i>Haüy</i>	<i>Traité Min.</i>	1822	4	344
<i>Mohs</i>	<i>Grundr.</i>	1824	2	440
<i>Hartmann</i>	<i>Handb.</i>	1828	—	529
<i>Lévy</i>	<i>Descr.</i>	1838	3	344
<i>Mohs-Zippe</i>	<i>Min.</i>	1839	2	418
<i>Hausmann</i>	<i>Handb.</i>	1847	2	(1) 216
<i>Miller</i>	<i>Min</i>	1852	—	229
<i>Ladrey</i>	<i>Comp. Rend.</i>	1852	34	56
<i>Kokscharow</i>	<i>Mat. Min. Russl.</i>	1853	1	44
<i>Dauber</i>	<i>Pogg. Ann.</i>	1855	94	407
<i>Schrauf</i>	<i>Atlas.</i>	1864	—	Taf IX u. X
<i>Klein</i>	<i>Jahrb. Min.</i>	1872	—	900
<i>Brezina</i>	<i>Min. Mitth.</i>	1872	2	7 (Wiserin)
<i>Dana</i>	<i>System.</i>	1873	—	161
<i>Des Cloizeaux</i>	<i>Manuel</i>	1874	2	200
<i>Klein</i>	<i>Jahrb. Min.</i>	1874	—	961
"	"	1875	—	337 (Zusammenstellung)
<i>Rath</i>	<i>Berl. Monatsb.</i>	1875	—	536 }
"	<i>Pogg. Ann.</i>	1876	158	402 }
<i>Groth</i>	<i>Strassb. Samml.</i>	1878	—	108
<i>Vrba</i>	<i>Zeitschr. Kryst.</i>	1881	5	417 (Rauris)
<i>Seligmann</i>	<i>Jahrb. Min.</i>	1881	2	269
"	"	1882	2	281 }
"	<i>Zeitschr. Kryst.</i>	1884	9	93 }
<i>Zepharovich</i>	<i>Zeitschr. Kryst.</i>	1882	6	240 }
"	<i>Jahrb. Min.</i>	1883	1	Ref. 179 }
<i>Wein</i>	<i>Zeitschr. Kryst.</i>	1884	8	532
<i>Schrauf</i>	"	1884	9	465.

*Bemerkungen* |  
*Correcturen* | s. S. 202.

## 2.

No.	Gdt.	Hauy. Hausm. Mohs. Hartm.	Miller. Rath. Schrauf. Klein. Seligm. Vrba.	Koksch.	Miller.	Naum.	Hausm.	Mohs.	Hauy.	[Lévy.] [Descl.]	Gdt.
10	$\gamma$	—	$\gamma$	—	902	$\frac{2}{3}P_{\infty}$	—	—	—	—	$\frac{2}{3}0$
11	$g$	—	$g$	—	701	$\frac{7}{8}P_{\infty}$	—	—	—	—	$\frac{7}{8}0$
12	$\mu$	—	$\mu$	—	1·1·14	$\frac{1}{12}P$	—	—	—	$b^{14}$	$\frac{1}{12}$
13	$l$	—	$l$	—	1·1·10	$\frac{1}{10}P$	—	—	—	$b^{10}$	$\frac{1}{10}$
14	$\alpha$	—	$\alpha$	—	119	$\frac{1}{8}P$	—	—	—	—	$\frac{1}{8}$
15	$\pi$	—	$\pi$	—	118	$\frac{1}{8}P$	—	—	—	—	$\frac{1}{8}$
16	$v$	—	$v$	$y$	117	$\frac{1}{8}P$	AE <sub>7</sub>	—	—	$b^7$	$\frac{1}{8}$
17	$V$	—	—	—	3·3·20	$\frac{3}{20}P$	—	—	—	—	$\frac{3}{20}$
18	$i$	—	$i$	—	116	$\frac{1}{6}P$	—	—	—	$b^6$	$\frac{1}{6}$
19	$r$	$r$	$r$	—	115	$\frac{1}{3}P$	AE <sub>5</sub>	$\frac{4}{3}P-4$	$A$	$b^5$	$\frac{1}{3}$
20	$f$	—	$f$	—	114	$\frac{1}{4}P$	—	—	—	$b^4$	$\frac{1}{4}$
21	$F$	—	$f$	—	5·5·19	$\frac{5}{19}P$	—	—	—	—	$\frac{5}{19}$
22	$n$	—	$n$	—	227	$\frac{2}{7}P$	—	—	—	$b^{\frac{7}{2}}$	$\frac{2}{7}$
23	$z$	—	$z$	—	113	$\frac{1}{3}P$	—	—	—	$b^3$	$\frac{1}{3}$
24	$\psi$	—	$\psi$	—	225	$\frac{2}{5}P$	—	—	—	—	$\frac{2}{5}$
25	$\Psi$	—	—	—	5·5·12	$\frac{5}{12}P$	—	—	—	—	$\frac{5}{12}$
26	$\chi$	—	$x$ (Dauber)	—	337	$\frac{3}{7}P$	—	—	—	—	$\frac{3}{7}$
27	$X$	—	—	—	5·5·11	$\frac{5}{11}P$	—	—	—	—	$\frac{5}{11}$
28	$k$	—	$k$	—	112	$\frac{1}{2}P$	—	—	—	$b^2$	$\frac{1}{2}$
29	$\epsilon$	—	$\epsilon$	—	335	$\frac{3}{5}P$	—	—	—	—	$\frac{3}{5}$
30	$\eta$	—	$\eta$	—	223	$\frac{2}{3}P$	—	—	—	—	$\frac{2}{3}$
31	$p$	$P$	$p$	$o$	111	$P$	$P$	$P$	$P$	$b^1$	1
32	$P$	—	$w^1$	—	15·15·8	$\frac{15}{8}P$	—	—	—	$b^{\frac{8}{15}}$	$\frac{15}{8}$
33	$w$	—	$w$	—	221	$2P$	—	—	—	—	2
34	$\delta$	—	$\delta$	—	331	$3P$	—	—	—	—	3
35	$\tau$	—	$\tau$	—	313	$P_3$	—	—	—	—	$1\frac{1}{3}$
36	$\beta$	—	$\beta$ (Zeph.)	—	526	$\frac{5}{6}P\frac{1}{2}$	—	—	—	—	$\frac{5}{6}\frac{1}{2}$
37	$t$	—	$t$	—	21·1·3	$\frac{7}{3}P_{21}$	—	—	—	—	$7\frac{1}{3}$
38	$\varphi$	—	$\varphi$	—	319	$\frac{3}{19}P_3$	—	—	—	—	$\frac{3}{19}\frac{1}{3}$
39	$b$	—	$b$	—	18·2·3	$\frac{6}{3}P_9$	—	—	—	—	$6\frac{2}{3}$
40	$\omega$	—	$\omega$	—	39·4·6	$\frac{13}{2}P\frac{3}{2}$	—	—	—	—	$13\frac{3}{2}$
41	$\theta$	—	$\theta$	—	532	$\frac{5}{2}P\frac{3}{2}$	—	—	—	—	$\frac{5}{2}\frac{3}{2}$
42	$B$	—	$\beta$ (Bel.)	—	17·3·2	$\frac{17}{2}P\frac{1}{2}$	—	—	—	—	$17\frac{1}{2}$
43	$C$	—	—	—	5·3·20	$\frac{1}{4}P\frac{3}{2}$	—	$(\frac{3}{2}P-7)^4$	—	—	$\frac{1}{4}\frac{3}{2}$
44	$D$	—	—	—	11·1·4	$\frac{11}{4}P_{11}$	—	—	—	—	$11\frac{1}{4}$
45	$s$	—	$s$	—	5·1·19	$\frac{5}{19}P_5$	—	—	—	$s(i)$	$\frac{5}{19}\frac{1}{5}$

Bemerkungen.

Das von einigen Autoren an Stelle von  $\frac{1}{2} \frac{1}{2} \frac{1}{2} (s) = \frac{1}{2} P 5$  (5. 1. 19) gesetzte Symbol  $\frac{1}{2} \frac{1}{2} \frac{1}{2} (s') = \frac{1}{2} P 5$  (5. 1. 20) = (325)  $\frac{1}{2} P \frac{1}{2}$  (Brezina) wurde im Anschluss an Dauber's Meinung (Wien. Sitzb. 1860. 42. 53) in das Verzeichniss nicht aufgenommen, während Klein in seiner Zusammenstellung (Jahrb. Min. 1875. 354) es anführt. Vgl. Hessenberg. Senck. Abh. 1860. 3. 281 (Min. Not. 3. 27).

Von den zwei benachbarten zweifelhaften Formen b und  $\omega$  ist nach Seligmann (Jahrb. Min. 1882. 2. 281)  $\omega$  als wahrscheinlich, b als unsicher zu betrachten.

Folgende Correctur ist vorzunehmen:

Seligmann, Zeitschr. Kryst. 1882. 6. S. 318 Zeile 6 vo. lies w statt  $\omega$ .

Dies geht daraus hervor, dass auf S. 317 Seligmann  $w = 2 P$  (221) setzt und S. 318  $w$  für (39. 4. 6).

Hartmann (Handb. 1828. 530) führt noch eine Form auf  $\frac{1}{2} P-8$  (v), die sich sonst nirgends angegeben findet. In Millers Min. (1852. 229) findet sich v (117). Sollte es damit identisch sein, so müsste sein Symbol lauten:  $\frac{1}{2} P-4$ . Die Originalschrift aus der Hartmann sein Symbol genommen, konnte ich nicht finden, auch giebt er keine Winkel an. Statt  $\frac{1}{2} P-4$  (r), daneben ist zu lesen  $\frac{1}{2} P-4$  (r).

Schrauf hat (Zeitschr. Kryst. 1884. 9. 470 und 471) die Form (112) mit  $\epsilon$  bezeichnet, da er sich dabei auf Kleins Zusammenstellung (Jahrb. Min. 1875. 354) beruft, so liegt hier ein Versehen vor.  $\epsilon$  bedeutet bei Klein und den anderen Autoren (335). Es ist daher bei Schrauf (l. c.) durchgehends k statt  $\epsilon$  zu setzen. In seinem Atlas gebraucht Schrauf selbst k für (112).

Correcturen.

Hartmann	Handb.	1828	—	Seite 530 Zeile 15 vo.	lies	$\frac{1}{2} P-4$	statt $\frac{1}{2} P-4$
Seligmann	Zeitschr. Kryst.	1882	6	" 318 " 6 "	"	w	" "
Schrauf	"	1884	9	" 471 " 10 "	} "	k	" $\epsilon$
"	"	"	"	" " " 15 vu.		"	" "
"	"	"	"	" " " 11 "		$k^o$	" $\epsilon^o$
"	"	"	"	" 470 " Fig. 7	"	überall k	" $\epsilon$



# Andalusit.

## Rhombisch.

### Axenverhältnisse.

$$a : b : c = 0.7025 : 1 : 0.9873 \text{ (Gdt.)}$$

$$\begin{aligned} [a : b : c &= 0.9873 : 1 : 0.7025] \text{ (Miller, Des Cloizeaux.)} \\ [ \quad \quad &= 0.9861 : 1 : 0.7025] \text{ (Dana, Kokscharow.)} \\ [ \quad \quad &= 0.9856 : 1 : 0.7020] \text{ (Groth, Rammelsberg.)} \\ [ \quad \quad &= 0.9733 : 1 : 0.7071] \text{ (Mohs-Zippe, Leonhard.)} \\ [ \quad \quad &= 0.9850 : 1 : 0.7017] \text{ (Haidinger, Hausmann.)} \end{aligned}$$

$$\{a : b : c = 0.5069 : 1 : 1.4246\} \text{ (Grünhut.)}$$

### Elemente.

$a = 0.7025$	$\lg a = 984665$	$\lg a_0 = 985220$	$\lg p_0 = 014780$	$a_0 = 0.7115$	$p_0 = 1.4054$
$c = 0.9873$	$\lg c = 990445$	$\lg b_0 = 000555$	$\lg q_0 = 990445$	$b_0 = 1.0120$	$q_0 = 0.9873$

### Transformation.

Haid. Hausm. Mohs. Lévy, Leonhard. Rammelsbg. Dana. Descloiz. Groth. Koksch. Miller.	Grünhut.	Gdt.
$p \ q$	$\frac{q}{4} \ \frac{p}{2}$	$\frac{1}{p} \ \frac{p}{q}$
$2q \cdot 4p$	$p \ q$	$\frac{1}{2q} \ \frac{2p}{q}$
$\frac{1}{p} \ \frac{q}{p}$	$\frac{q}{4p} \ \frac{1}{2p}$	$p \ q$

No.	Gdt.	Schrauf.	Kon- gott.	Koksch.	Miller.	Rammels- berg.	Mohs-Zippe, Hartmann, Hausmann.	Miller.	Saumann.	[Hausmann.]	[Hartmann.] [Mohs-Zippe.]	[Lévy.] [Descloiz.]	Gdt.
1	b	b	S	a	b	—	$\delta$	001	oP	B'	$\bar{P}r + \infty$	$h^1$	o
2	a	a	T	b	a	—	—	010	$\infty \bar{P} \infty$	B	—	$g^1$	$0\infty$
3	c	c	O	P	c	—	P	100	$\infty \bar{P} \infty$	A	$P - \infty$	p	$\infty 0$
4	s	s	L	s	s	q	l	110	$\infty P$	D	$\bar{P}r$	$e^1$	$\infty$
5	l	l	V	k	k	$p^2$	—	012	$\frac{1}{2} \bar{P} \infty$	B'B <sub>2</sub>	—	$h^3$	$0 \frac{1}{2}$
6	m	m	M	M	m	p	M	011	$\bar{P} \infty$	E	$P + \infty$	m	01
7	q	—	—	—	—	$\frac{3}{2} p$	—	032	$\frac{3}{2} \bar{P} \infty$	—	—	—	$0 \frac{3}{2}$
8	n	n	R	g	—	—	—	021	$2 \bar{P} \infty$	—	—	$g^3$	02
9	r	r	Q	r	r	r	$\lambda$	101	$\bar{P} \infty$	D'	$\bar{P}r$	$a^1$	10
10	p	p	P	o	—	—	—	111	P	—	—	—	1
11	k	k	N	z	—	—	—	121	$2 \bar{P} 2$	—	—	—	12

Literatur.

Mohs	Grundr.	1824	2	336
Hartmann	Handb.	1828	—	10
Lévy	Descr.	1838	2	203
Mohs-Zippe	Min.	1839	2	334
Haidinger	Pogg. Ann.	1844	61	295
Hausmann	Handb.	1847	2	(1) 440
Miller	Min.	1852	—	284
Kenngott	Wien. Sitzb.	1854	14	269
Des Cloizeaux	Manuel	1862	1	173
Schrauf	Atlas	1864	—	Taf. X.
Kokscharow	Mat. Min. Russl.	1866	5	164
Rammelsberg	D. Geol. Ges.	1872	—	87
Dana	System	1873	—	371
Grünhut	Zeitschr. Kryst.	1885	9	113.

Bemerkungen.

Ausser den aufgeführten Formen finden sich noch bei Lévy, Des Cloizeau Grünhut (l. c.) vier Formen, die jedoch als unsicher vorläufig keine Aufnahme in das Zeichniss gefunden haben:

Grünhut.	Miller.	Naumann.	[Des Cloiz.]	Gdt.
$\rho$	709	$\frac{7}{8} \bar{P} \infty$	—	$\frac{7}{8} 0$
$\pi$	66 · 91 · 49	$\frac{1}{2} \bar{P} \frac{2}{3}$	x	$\frac{2}{3} \frac{2}{3} \frac{1}{3}$
$\left\{ \begin{array}{l} \xi \\ \text{—} \end{array} \right.$	8 · 19 · 11	$\frac{1}{2} \bar{P} \frac{1}{2}$	e $\frac{1}{2}$	$\frac{1}{2} \frac{1}{2}$
	253	$\frac{3}{4} \bar{P} \frac{3}{4}$	e <sub>4</sub>	$\frac{3}{4} \frac{3}{4}$
$\omega$	21 · 16 · 70	$\frac{3}{10} \bar{P} \frac{1}{16}$	—	$\frac{3}{10} \frac{8}{35}$

Die von Grünhut vorgeschlagene Neuaufstellung empfiehlt sich nicht, da durch sie Symbole minder einfach werden. Es fehlen unter ihnen die wichtigen 01 · 10 · 1. In der Zusammenstellung findet sich ein Fehler in der Umrechnung:

Zeitschr. Kryst. 9. 123 Zeile 9 vu lies (124) statt (123)  
 " " " " " ( $\frac{1}{2} \bar{P} 2$ ) " ( $\frac{2}{3} \bar{P} 2$ ).

Correcturen.

Grünhut	Zeitsch. Kryst.	1885	9	Seite 114	Zeile 16 vo	lies	70 10	statt	70 56
"	"	"	"	"	"	"	70 56	"	70 10
"	"	"	"	"	123	"	9 vu	"	(124)
"	"	"	"	"	"	"	$\frac{1}{2} \bar{P} 2$	"	$\frac{2}{3} \bar{P} 2$

Anglesit.

1.

Rhombisch.

Axenverhältnisse.

a : b : c = 0.7852 : 1 : 1.2894 (Lang. Dana. Groth. Liweh. Gdt.)  
" = 0.7855 : 1 : 1.2922 (Miller. Krenner. Sella.)  
" = 0.7854 : 1 : 1.2890 (Jeremejew.)  
" = 0.7851 : 1 : 1.2888 (Dauber.)  
" = 0.785 : 1 : 1.284 (Lévy.)

[a : b : c = 0.7755 : 1 : 0.6089] (Kokscharow. Schrauf.)

{a : b : c = 0.6069 : 1 : 0.7684} (Mohs-Zippe. Hausmann.)

Elemente.

a = 0.7852	lg a = 989498	lg a <sub>0</sub> = 978459	lg p <sub>0</sub> = 021541	a <sub>0</sub> = 0.6089	p <sub>0</sub> = 1.6421
c = 1.2894	lg c = 011039	lg b <sub>0</sub> = 988961	lg q <sub>0</sub> = 011039	b <sub>0</sub> = 0.7755	q <sub>0</sub> = 1.2894

Transformation.

Kokscharow. Schrauf.	Mohs-Zippe. Hausmann.	Miller. Dana. Schrauf. Liweh. Krenner. Seligmann. Dauber. Jeremejew. Gdt.
p q	$\frac{1}{p} \frac{q}{p}$	$\frac{1}{q} \frac{p}{q}$
$\frac{1}{p} \frac{q}{p}$	p q	$\frac{p}{q} \frac{1}{p}$
$\frac{q}{p} \frac{1}{p}$	$\frac{p}{q} \frac{1}{q}$	p q

No.	Gdt.	Miller.	Lang. Hessenb. Zephar. Krenner. Schrauf. Liweh.	Hauy.	Mohs. Hartm. Hausm.	Quen- stedt. Franz. zenau.	Miller.	Naumann.	Lévy. Dufrénoy.	[Haus- mann.]	[Mohs.]	[Hauy.]	Gdt.	
1	c	c	a (c)	n	n	P	a	001	o P	p	B	Pr+∞	D	o
2	a	a	b	x	x	k	b	010	∞ P̄ ∞	g'	A	P − ∞	—	o ∞
3	b	b	c (a)	o	o	s	—	100	∞ P̄ ∞	h'	B'	P̄r+∞	A	∞ o
4	M	—	—	—	—	—	—	410	∞ P 4	—	—	—	—	4 ∞
5	N	—	—	—	—	—	—	310	∞ P̄ 3	—	—	—	—	3 ∞
6	O	—	—	—	—	—	—	520	∞ P̄ 3/2	—	—	—	—	3/2 ∞
7	λ	—	λ	—	—	n	—	210	∞ P 2	—	—	—	—	2 ∞
8	P	—	—	—	—	—	—	740	∞ P̄ 7/4	—	—	—	—	7/4 ∞

Fortsetzung S. 207.

Literatur.

<i>Haüy</i>	<i>Traité min.</i>	1822	3	402
<i>Mohs</i>	<i>Grundr.</i>	1824	2	163
<i>Hartmann</i>	<i>Handwb.</i>	1828	—	72
<i>Lévy</i>	<i>Descr.</i>	1838	2	451
<i>Mohs-Zippe</i>	<i>Min.</i>	1839	2	149
<i>Hausmann</i>	<i>Handb.</i>	1847	2	(2) 1113
<i>Miller</i>	<i>Min.</i>	1852	—	526
<i>Kokscharow</i>	<i>Mat. Min. Russl.</i>	1853	1	34
"	" " "	1857	2	167
"	<i>Pogg. Ann.</i>	1854	91	154
<i>Lang</i>	<i>Wien. Sitzb.</i>	1859	36	241 (Monogr.)
<i>Dauber</i>	<i>Pogg. Ann.</i>	1859	108	444
<i>Schrauf</i>	<i>Wien. Sitzb.</i>	1860	39	913
<i>Hessenberg</i>	<i>Senck. Abh.</i>	1863	4	211 (Min. Not. 5. 31)
<i>Zepharovich</i>	<i>Wien. Sitzb.</i>	1864	50	(1) 369 (Schwarzenbach. Mis
<i>Schrauf</i>	<i>Atlas</i>	1871	—	Taf. XI—XV
<i>Dana</i>	<i>System</i>	1873	—	622
<i>Zepharovich</i>	<i>Lotos</i>	1874	—	(Hüttenberger Erzberg)
<i>Krenner</i>	<i>Zeitschr. Kryst.</i>	1877	1	321 (Ungarn)
<i>Groth</i>	<i>Strassb. Samml.</i>	1878	—	148
<i>Sella</i>	<i>Zeitschr. Kryst.</i>	1880	4	400 } (Sardinien)
"	<i>Rom Ac. Linc.</i>	1879 (3)	3	150 }
<i>Jeremejew</i>	<i>Zeitschr. Kryst.</i>	1883	7	637
<i>Franzenau</i>	" "	1884	8	532
<i>Liweh</i>	" "	1884	9	501
<i>Franzenau</i>	" "	1885	10	88.

*Bemerkungen* }  
*Correcturen* } s. S. 208 u. 210.



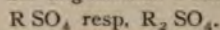
2.

No.	Gdt.	Miller.	Lang. Hessenb. Zephar. Krenner. Schrauf. Liweh.	Hay.	Mohs. Hartm. Hausm.	Quen- stedt.	Fran- zenau.	Miller.	Naumann.	Lévy. Dufrenoy.	[Haus- mann.]	[Mohs.]	[Hay.]	Gdt.
9	i	—	i	—	—	—	—	320	$\infty \bar{P} \frac{3}{2}$	—	—	—	—	$\frac{100}{4} \infty$
10	Q	—	—	—	—	—	—	430	$\infty \bar{P} \frac{4}{3}$	—	—	—	—	$\frac{100}{4} \infty$
11	R	—	—	—	—	—	—	1090	$\infty \bar{P} \frac{10}{9}$	—	—	—	—	$\frac{100}{9} \infty$
12	m	m	m	P	u	M	m	110	$\infty P$	m	D <sup>1</sup>	Pr	P	$\infty$
13	S	—	—	—	—	—	—	9-100	$\infty \bar{P} \frac{10}{9}$	—	—	—	—	$\infty \frac{10}{9}$
14	T	—	—	—	—	—	—	780	$\infty \bar{P} \frac{8}{9}$	—	—	—	—	$\infty \frac{8}{9}$
15	U	—	—	—	—	—	—	790	$\infty \bar{P} \frac{9}{8}$	—	—	—	—	$\infty \frac{9}{8}$
16	h	h	h	—	b	—	—	340	$\infty \bar{P} \frac{4}{3}$	—	AB <sup>1</sup> <sub>3</sub>	$\frac{3}{4} \text{Pr}$	—	$\infty \frac{4}{3}$
17	ð	—	ð	—	—	—	—	230	$\infty \bar{P} \frac{3}{2}$	—	—	—	—	$\infty \frac{3}{2}$
18	V	—	—	—	—	—	—	580	$\infty \bar{P} \frac{8}{3}$	—	—	—	—	$\infty \frac{8}{3}$
19	n	n	n	—	c	t	—	120	$\infty \bar{P} \frac{2}{3}$	—	AB <sup>1</sup> <sub>2</sub>	Pr— <sub>1</sub>	—	$\infty \frac{2}{3}$
20	z	—	z	—	—	q	—	130	$\infty \bar{P} \frac{3}{2}$	—	—	—	—	$\infty \frac{3}{2}$
21	W	—	—	—	—	—	—	270	$\infty \bar{P} \frac{7}{2}$	—	—	—	—	$\infty \frac{7}{2}$
22	A	—	—	—	—	—	—	0-1-16	$\frac{1}{16} \bar{P} \infty$	—	—	—	—	$0 \frac{1}{16}$
23	a	—	a	—	—	—	—	018	$\frac{1}{8} \bar{P} \infty$	—	—	—	—	$0 \frac{1}{8}$
24	j	—	j	—	—	—	—	0-2-11	$\frac{2}{11} \bar{P} \infty$	—	—	—	—	$0 \frac{2}{11}$
25	B	—	—	—	—	—	—	029	$\frac{2}{9} \bar{P} \infty$	—	—	—	—	$0 \frac{2}{9}$
26	v	—	v	—	—	—	—	013	$\frac{1}{3} \bar{P} \infty$	—	—	—	—	$0 \frac{1}{3}$
27	φ	—	φ	—	—	—	—	012	$\frac{1}{2} \bar{P} \infty$	—	—	—	—	$0 \frac{1}{2}$
28	x	—	x	—	—	—	—	035	$\frac{3}{5} \bar{P} \infty$	—	—	—	—	$0 \frac{3}{5}$
29	o	o	o	t	t	o	o	011	$\bar{P} \infty$	e <sup>1</sup>	D	Pr	$\frac{3}{2} E \frac{3}{2} F \frac{3}{2} B^2$	$0 \frac{1}{2}$
30	θ	—	θ	—	—	—	ð	021	$\frac{2}{1} \bar{P} \infty$	—	—	—	—	$0 \frac{2}{1}$
31	β	—	β	—	—	—	—	031	$\frac{3}{1} \bar{P} \infty$	—	—	—	—	$0 \frac{3}{1}$
32	k	—	k	—	—	—	—	1-0-24	$\frac{1}{24} \bar{P} \infty$	—	—	—	—	$\frac{1}{24} 0$
33	E	—	—	—	—	—	—	1-0-22	$\frac{1}{22} \bar{P} \infty$	—	—	—	—	$\frac{1}{22} 0$
34	F	—	—	—	—	—	—	1-0-15	$\frac{1}{15} \bar{P} \infty$	—	—	—	—	$\frac{1}{15} 0$
35	G	—	—	—	—	—	—	108	$\frac{1}{8} \bar{P} \infty$	—	—	—	—	$\frac{1}{8} 0$
36	H	—	—	—	—	—	—	2-0-15	$\frac{2}{15} \bar{P} \infty$	—	—	—	—	$\frac{2}{15} 0$
37	I	—	—	—	—	—	—	107	$\frac{1}{7} \bar{P} \infty$	—	—	—	—	$\frac{1}{7} 0$
38	K	—	—	—	—	—	—	106	$\frac{1}{6} \bar{P} \infty$	—	—	—	—	$\frac{1}{6} 0$
39	l	l	l	—	—	—	—	104	$\frac{1}{4} \bar{P} \infty$	a <sup>4</sup>	BB <sup>1</sup> <sub>4</sub>	( $\bar{P} + \infty$ ) <sup>4</sup>	—	$\frac{1}{4} 0$
40	e	—	e	—	—	—	—	103	$\frac{1}{3} \bar{P} \infty$	—	—	—	—	$\frac{1}{3} 0$
41	d	d	d (z)	—	—	d	d	102	$\frac{1}{2} \bar{P} \infty$	a <sup>2</sup>	BB <sup>1</sup> <sub>2</sub>	( $\bar{P} + \infty$ ) <sup>2</sup>	P <sup>1</sup>	$\frac{1}{2} 0$
42	θ	θ	θ	—	d	—	—	116	$\frac{1}{6} P$	—	BD <sup>1</sup> <sub>6</sub>	—	—	$\frac{1}{6} 0$
43	f	—	f	—	—	—	—	114	$\frac{1}{4} P$	—	—	—	—	$\frac{1}{4} 0$
44	g	—	g	—	—	—	—	113	$\frac{1}{3} P$	—	—	—	—	$\frac{1}{3} 0$
45	r	r	r	—	r	θ	—	112	$\frac{1}{2} P$	b <sup>1</sup>	BD <sup>1</sup> <sub>2</sub>	( $\bar{P}$ ) <sup>2</sup>	—	$\frac{1}{2} 0$
46	z	z	z	s	s	z	z	111	P	b <sup>1</sup> <sub>2</sub>	P	P	$\frac{1}{2} E \frac{1}{2} F \frac{1}{2} B^2$	1
47	τ	—	τ	—	—	—	—	221	2 P	b <sup>1</sup> <sub>4</sub>	—	—	—	2
48	ε	—	—	—	—	—	—	331	3 P	—	—	—	—	3

Fortsetzung S. 209.

Bemerkungen.

Die wasserfreien Sulfate von der allgemeinen Formel:



zerfallen nach Groth's Zusammenstellung (Tab. Uebers. 1882, 50) in zwei isomorphe Gruppen, deren ersterer sich der Thenardit nicht sehr dicht einfügt. In der That dürften beide Gruppen in eine zu vereinigen sein und die Axen-Einheiten erhalten, wie sie im Index aufgeführt sind, nämlich:

Glaserit	$(K, Na)_2 SO_4$	$a : b : c = 0.7692 : 1 : 1.3454$
Mascagnin	$(NH_4)_2 SO_4$	" $= 0.7720 : 1 : 1.368$
Thenardit	$Na_2 SO_4$	" $= 0.8005 : 1 : 1.4202$
Anhydrit	$Ca SO_4$	" $= 0.8932 : 1 : 1.0008 (!)$
Baryt	$Ba SO_4$	" $= 0.8152 : 1 : 1.3136$
Cölestin	$Sr SO_4$	" $= 0.7789 : 1 : 1.2800$
Barytocölestin	$(Sr, Ba) SO_4$	" $= 0.7666 : 1 : 1.2534$
Anglesit	$Pb SO_4$	" $= 0.7852 : 1 : 1.2894$
Hydrocyanit	$Cu SO_4$	" $= 0.7091 : 1 : 1.2550$

Auffallend stark weicht von den anderen der Anhydrit ab, doch zeigt sich das Gleiche auch für das Calciumcarbonat in der Calcit-Reihe.

Hausmann stellt die Reihe zusammen: (Gött. Nachr. 1870. 235—237)

Anhydrit	0.8910 : 1 : 0.9798
Baryt	0.8146 : 1 : 1.3127
Cölestin	0.7808 : 1 : 1.2838
Anglesit	0.7864 : 1 : 1.2923
Thenardit	0.4732 : 1 : 0.5505
Glaserit	0.5727 : 1 : 0.7463
Mascagnin	0.5642 : 1 : 0.7310

Aus diesen Zahlen ist die Homöomorphie für die Glieder der Reihe nicht zu sehen.

Hausmann wählt dann Einheiten für alle ähnlich den obigen von uns angenommenen, die er jedoch erhält, indem er eine Grundform wählt, die für Anhydrit, Thenardit, Mascagnin, zu sehr complicirten Symbolen führt.

(Vgl. noch Hausmann Gött. Nachr. 1851. 65.)

Die wichtigste Arbeit über Formen des Anglesit ist die Monographie von Lang (Wien. Sitzb. 1859. 36. 241 fg.). In der dort angenommenen Aufstellung und Bedeutung der Werthe  $hkl$  des Miller'schen Symbols wurde von allem Ueblichen abgewichen. Sollen auch hier die Gründe nicht angegeben werden, warum die Principien nach denen dies geschehen, sich zur allgemeinen Annahme nicht empfehlen dürften und sich faktisch nicht zur Geltung gebracht haben, so ist sicher, dass durch die doppelte Complication (andere Aufstellung und andere Bedeutung des Symbols) reichlich Gelegenheit zu Verwechslungen geboten ist. Es genügt nicht, um aus Lang's Symbol nebst Axen-Verhältniss und Aufstellung unsere Angaben abzuleiten, die Angabe des Transformations-Symbols, vielmehr müssen Aufstellung, Symbol und Formen-Verzeichniss besonders betrachtet werden.

Die Aufstellung (Projection und perspective Zeichnung) verwandelt sich in die Miller's und des Index durch Drehung um  $90^\circ$  um die Vertical-Axe, d. h. Vertauschung der zwei Horizontal-Axen.

Indices.  $hkl$  (Lang) =  $klh$  (Miller Min.), sodass der erste Index an die letzte Stelle gesetzt wird. Nun lesen wir aber die von Miller im rhombischen System angewendeten Zeichen nach der jetzt üblichen Auffassung so, dass sich  $h$  auf die von vorn nach hinten laufende (in der Regel kürzere) Axe bezieht. Finden wir ein Zeichen bei Miller und den Autoren, die ihm darin gefolgt sind, so lesen wir statt  $hkl$  sofort  $klh$  um

Fortsetzung S. 210.

## 3.

Gdt.	Miller.	Lang. Hessenb. Zephar. Krenner. Schrauf. Liweb.	Hay.	Mohs. Harim. Hausm.	Quen- stedt.	Fran- zenau.	Miller.	Naumann.	Lévy. Dufrénoy.	[Haus- mann.]	[Mohs.]	[Hay.]	Gdt.
v	—	v	—	—	x	—	212	$\bar{P} 2$	—	—	—	—	$1 \frac{1}{2}$
t	t	t	—	z	—	—	121	$2 \bar{P} 2$	—	AE <sub>2</sub>	P— <sub>1</sub>	—	1 2
ε	—	—	—	—	—	—	131	$3 \bar{P} 3$	—	—	—	—	1 3
ξ	—	—	—	—	—	k	1·12·12	$\bar{P} 12$	—	—	—	—	$1 \frac{1}{2}$ 1
q	—	q	—	—	—	q	166	$\bar{P} 6$	—	—	—	—	$\frac{1}{6}$ 1
π	—	π	—	—	—	π	155	$\bar{P} 5$	—	—	—	—	$\frac{1}{5}$ 1
χ	—	χ	—	—	—	—	144	$\bar{P} 4$	—	—	—	—	$\frac{1}{4}$ 1
ψ	—	ψ	—	—	—	—	133	$\bar{P} 3$	—	—	—	—	$\frac{1}{3}$ 1
y	y	y	—	a	y	—	122	$\bar{P} 2$	i	BD $\frac{1}{2}$	( $\bar{P}-1$ ) <sup>2</sup>	—	$\frac{1}{2}$ 1
ι	—	—	—	—	—	—	233	$\bar{P} \frac{3}{2}$	—	—	—	—	$\frac{2}{3}$ 1
ω	—	ω	—	—	—	—	214	$\frac{1}{2} \bar{P} 2$	—	—	—	—	$\frac{1}{2}$ 1
s	—	s	—	—	—	—	132	$\frac{3}{2} \bar{P} 3$	e <sub>2</sub>	—	—	—	$\frac{1}{2}$ 1
ζ	ζ	ζ	—	—	—	—	142	$2 \bar{P} 4$	—	AE <sub>2</sub> ·BB $\frac{1}{2}$	( $\bar{P}-2$ ) <sup>2</sup>	—	$\frac{1}{2}$ 2
J	—	—	—	—	—	—	1·10·20	$\frac{1}{2} \bar{P} 10$	—	—	—	—	$\frac{1}{20}$ 1
μ	—	μ	—	—	—	—	124	$\frac{1}{2} \bar{P} 2$	—	—	—	—	$\frac{1}{4}$ 1
L	—	—	—	—	—	—	236	$\frac{1}{2} \bar{P} \frac{3}{2}$	—	—	—	—	$\frac{1}{3}$ 1
p	—	p	1	v	v	—	324	$\frac{3}{4} \bar{P} \frac{3}{2}$	—	BB $\frac{1}{2}$ ·EA $\frac{3}{2}$	( $\bar{P}-1$ ) <sup>7</sup>	$\frac{4}{3}$ EB <sup>3</sup> D <sup>1</sup>	$\frac{3}{4}$ 1
ρ	—	ρ	—	—	—	—	342	$2 \bar{P} \frac{4}{3}$	—	—	—	—	$\frac{3}{2}$ 2
γ	—	γ <sup>u</sup>	—	f	—	—	123	$\frac{2}{3} \bar{P} 2$	—	—	—	—	$\frac{1}{3}$ 2
α	—	—	—	—	—	—	143	$\frac{4}{3} \bar{P} 4$	—	—	—	—	$\frac{1}{3}$ 4
b	—	—	—	—	—	—	1·11·3	$\frac{1}{3} \bar{P} 11$	—	—	—	—	$\frac{1}{3}$ 1
c	—	—	—	—	—	—	126	$\frac{1}{3} \bar{P} 2$	—	—	—	—	$\frac{1}{6}$ 1
b	—	—	—	—	—	—	562	$3 \bar{P} \frac{5}{6}$	—	—	—	—	$\frac{2}{3}$ 3
w	—	w	—	—	—	—	128	$\frac{1}{4} \bar{P} 2$	—	—	—	—	$\frac{1}{8}$ 1
e	—	—	—	—	—	—	892	$\frac{2}{3} \bar{P} \frac{8}{3}$	—	—	—	—	$\frac{4}{3}$ 2
f	—	—	—	—	—	—	782	$4 \bar{P} \frac{5}{8}$	—	—	—	—	$\frac{7}{4}$ 4
g	—	—	—	—	—	—	10·11·2	$\frac{1}{2} \bar{P} \frac{11}{2}$	—	—	—	—	$\frac{1}{2}$ 1
h	—	—	—	—	—	—	561	$6 \bar{P} \frac{5}{6}$	—	—	—	—	5 6
i	—	—	—	—	—	—	9·10·2	$5 \bar{P} \frac{10}{9}$	—	—	—	—	$\frac{2}{3}$ 5
u	—	u	—	—	—	—	1·4·6	$\frac{2}{3} \bar{P} 4$	—	—	—	—	$\frac{1}{6}$ 2
f	—	—	—	—	—	—	671	$7 \bar{P} \frac{7}{6}$	—	—	—	—	6 7
m	—	—	—	—	—	—	11·12·2	$6 \bar{P} \frac{11}{12}$	—	—	—	—	$\frac{1}{2}$ 6
n	—	—	—	—	—	—	781	$8 \bar{P} \frac{7}{8}$	—	—	—	—	7 8
o	—	—	—	—	—	—	7·10·1	$10 \bar{P} \frac{10}{7}$	—	—	—	—	7·10
p	—	—	—	—	—	—	168	$\frac{3}{4} \bar{P} 6$	—	—	—	—	$\frac{1}{8}$ 3
q	—	—	—	—	—	—	8·10·1	$10 \bar{P} \frac{8}{4}$	—	—	—	—	8·10
i	—	[ρ]	—	—	—	—	435	$\frac{4}{3} \bar{P} \frac{4}{3}$	—	—	—	—	$\frac{4}{3}$ 3
r	—	—	—	—	—	—	295	$\frac{5}{6} \bar{P} \frac{5}{6}$	—	—	—	—	$\frac{5}{6}$ 6
f	—	—	—	—	—	—	792	$\frac{3}{2} \bar{P} \frac{9}{2}$	—	—	—	—	$\frac{7}{2}$ 9

Bemerkungen. (Fortsetzung von S. 208.)

erst auf das so gelesene Zeichen gründet sich die Umwandlung in unsere Zeichen und die sich daran lehrenden Transformations-Symbole. Lesen wir hier statt des bei Miller gefundenen  $klh$  nun  $lkh$ , so ist:

$$hkl \text{ (Lang)} = lkh \text{ (Miller, Index...)}$$

Ein Zeichen von Lang ist daher rückwärts zu lesen, um das Zeichen des Index zu haben, z. B.

$$241 \text{ (Lang)} = 142 \text{ (Index)} = \frac{1}{2} 2$$

Axen-Verhältniss. Da in allen Fällen den Indices  $hkl$  die Axen-Einheiten  $abc$  entsprechen, so sind auch für Verwandlung des Axen-Verhältnisses Lang in das unsere, die Werthe  $a:b:c$  rückwärts zu lesen.

$a:b:c$  (Lang) giebt für unsere Aufstellung und Bedeutung der Buchstaben  $c:b:a$ .

Nun findet sich bei Lang  $a:b:c = 1:0.7756:0.6089$ . Also für unsere Aufstellung  $a:b:c = 0.6089 : 0.7756 : 1 = 0.7852 : 1 : 1.2894$  (Vgl. Groth Tab. Dana. Kokscharow.)

Lang giebt S. 247 eine Zusammenstellung der Axen-Verhältnisse, die, bezogen auf unsere Aufstellung und Bezeichnung, lautet:

$$\begin{aligned} a:b:c &= 0.6123:0.7809:1 \text{ (Haüy)} \\ &0.6091:0.7772:1 \text{ (Kupffer)} \\ &0.6092:0.7684:1 \text{ (Mohs)} \\ &0.6087:0.7749:1 \text{ (Phillips)} \\ &0.6092:0.7746:1 \text{ (Dana)} \\ &0.6086:0.7736:1 \text{ (Miller)} \end{aligned}$$

Der Buchstabe  $\rho$  für die neue Form  $\frac{4}{3} \frac{2}{3}$  (435) bei Liweh (Zeitschr. Kryst. 1884. 9. 505 und 512) ist nicht gut gewählt, da dieser Buchstabe bereits von Lang (Wien. Sitzb. 1859. 36. 255) und nach ihm Schrauf (Atlas) für  $\frac{3}{2} 2$  (342) verwendet worden.

Die von Hausmann angegebene Form  $AB8 = 08$  unserer Aufstellung wurde nach dem Vorgang Lang's (Wien. Sitzb. 1859 36. 252) nicht unter die sicher nachgewiesenen aufgenommen.

Correcturen.

Lang	Wien. Sitzb.	1859	Bd. 36	Seite 269	Zeile	7 vu	lies	18 32.7	statt	71 27.3
"	"	"	"	"	270	" 14 "	"	34 36.6	"	35 36.6
"	"	"	"	"	250	" 10 vo	"	$(\rho + \infty)^2$	"	$(\rho + \infty)^2$
"	"	"	"	"	"	" 11 "	"	$(\rho + \infty)^4$	"	$(\rho + \infty)^4$
"	"	"	"	"	251	" 1 vu	"	BD'6	"	BD6
Hessenberg Senck. Abh.	1863	"	4	"	211	" 16 "	"	d	"	y
"	"	"	"	"	"	" 15 "	"	m	"	d
"	"	"	"	"	"	" 14 "	"	a	"	m
"	"	"	"	"	"	" 13 "	"	b	"	a
"	"	"	"	"	"	" 12 "	"	w	"	b
"	"	"	"	"	"	" 10 "	"	r	"	w
"	"	"	"	"	"	" 9 "	"	y	"	r



Anhydrit.

1.

Rhombisch.

Axenverhältniss.

a : b : c = 0.8932 : 1 : 1.0008 (Hessenberg. Groth. Gdt.)

[a : b : c = 0.8909 : 1 : 0.9798] (Miller.)

{a : b : c = 0.995 : 1 : 0.8895} (Schrauf. Grailich u. Lang.)

Elemente.

a = 0.8932	lg a = 995095	lg a <sub>0</sub> = 995061	lg p <sub>0</sub> = 004939	a <sub>0</sub> = 0.8925	p <sub>0</sub> = 1.1204
c = 1.0008	lg c = 000034	lg b <sub>0</sub> = 999966	lg q <sub>0</sub> = 000034	b <sub>0</sub> = 0.9992	q <sub>0</sub> = 1.0008

Transformation.

Miller.	Schrauf. Grailich. Lang.	Hessenberg. Groth. Gdt.
p q	$\frac{1}{p} \frac{q}{p}$	$\frac{p}{q} \frac{1}{q}$
$\frac{1}{p} \frac{q}{p}$	p q	$\frac{1}{q} \frac{p}{q}$
$\frac{p}{q} \frac{1}{q}$	$\frac{q}{p} \frac{1}{p}$	p q

No.	Gdt.	Miller. 1852.	Haüy. Mohs. Hartmann Hausm. Hessenb.	Nau- mann.	Schrauf.	Miller. 1842.	Miller.	Naumann.	[Hausm.]	[Mohs-Zippe.]	[Haüy.]	[Levy.]	Gdt.
1	a	a	T	T	a	t	001	0 P	B	Pr + ∞	T	g'	0
2	b	c	M	M	b	m	010	∞ P̄ ∞	B'	Pr + ∞	M	h'	∞ ∞
3	c	b	P	P	c	p	100	∞ P̄ ∞	A	P - ∞	P	p	∞ 0
4	d	—	d	—	—	—	012	$\frac{1}{2}$ P̄ ∞	—	—	—	—	0 $\frac{1}{2}$
5	τ	—	—	—	τ	—	045	$\frac{2}{3}$ P̄ ∞	—	—	—	—	0 $\frac{2}{3}$
6	s	s	s	s	M	s	011	P̄ ∞	—	—	—	—	0 1
7	μ	—	—	—	μ	—	053	$\frac{2}{3}$ P̄ ∞	—	—	—	—	0 $\frac{2}{3}$
8	σ	—	—	—	σ	—	031	3 P̄ ∞	—	—	—	—	0 3
9	w	—	w	—	—	—	105	$\frac{1}{3}$ P̄ ∞	—	—	—	—	$\frac{1}{3}$ 0
10	t	—	t	—	—	—	104	$\frac{1}{4}$ P̄ ∞	—	—	—	—	$\frac{1}{4}$ 0
11	v	—	v	—	—	—	103	$\frac{1}{3}$ P̄ ∞	—	—	—	—	$\frac{1}{3}$ 0
12	e	—	—	—	e	—	205	$\frac{2}{3}$ P̄ ∞	—	—	—	—	$\frac{2}{3}$ 0

(Fortsetzung S. 213.)

Literatur.

<i>Haüy</i>	<i>Traité Min.</i>	1822	1	562
<i>Mohs</i>	<i>Grundr.</i>	1824	2	75
<i>Hartmann</i>	<i>Handwb.</i>	1828	—	245
<i>Lévy</i>	<i>Descr.</i>	1838	1	172
<i>Mohs-Zippe</i>	<i>Min.</i>	1839	2	72
<i>Miller</i>	<i>Phil. Mag.</i>	1841 (3)	19	178 }
„	<i>Pogg. Ann.</i>	1842	55	525 }
<i>Hausmann</i>	<i>Handb.</i>	1847	2	(2) 1141
„	<i>Gött. Nachr.</i>	1851	—	65 }
„	<i>Pogg. Ann.</i>	1851	83	572 }
„	<i>Jahrb. Min.</i>	1851	—	450 }
<i>Miller</i>	<i>Min.</i>	1852	—	531
<i>Kenngott</i>	<i>Wien. Sitzb.</i>	1855	16	152
<i>Grailich u. Lang</i>	„	1857	27	25
<i>Schrauf</i>	„	1860	39	887
„	„	1862	46	(1) 189
„	<i>Atlas</i>	1871	—	Taf. XV
<i>Hessenberg</i>	<i>Senck. Abh.</i>	1872	8	1 (Min. Not. No. 10. 1)
<i>Dana</i>	<i>System</i>	1873	—	621
<i>Groth</i>	<i>Strassb. Samml.</i>	1878	—	141
„	<i>Tab. Uebers.</i>	1882	—	50.

*Bemerkungen* }  
*Correcturen* } s. Seite 214.

## 2.

No.	Gdt.	Miller. 1852.	Hay. Mohs. Hartmann Hausm. Hessenb.	Nau- mann.	Schrauf.	Miller. 1842.	Miller.	Naumann.	[Hausm.]	[Mohs-Zippe.]	[Hay.]	[Lévy.]	Gdt.
13	u	—	u	—	—	—	102	$\frac{1}{2} P_{\infty}$	—	—	—	—	$\frac{1}{2} 0$
14	$\beta$	—	—	—	—	—	509	$\frac{2}{3} P_{\infty}$	—	—	—	—	$\frac{2}{3} 0$
15	q	—	q	—	—	—	203	$\frac{2}{3} P_{\infty}$	—	—	—	—	$\frac{2}{3} 0$
16	l	—	l	—	—	—	405	$\frac{4}{3} P_{\infty}$	—	—	—	—	$\frac{4}{3} 0$
17	r	m	r	r	d	r	101	$P_{\infty}$	E	$P + \infty$	'G'	—	10
18	k	—	k	—	—	—	403	$\frac{4}{3} P_{\infty}$	—	—	—	—	$\frac{4}{3} 0$
19	$\gamma$	—	—	—	—	—	503	$\frac{5}{3} P_{\infty}$	—	—	—	—	$\frac{5}{3} 0$
20	i	—	i	—	—	—	201	$2 P_{\infty}$	—	—	—	—	20
21	h	—	h	—	—	—	502	$\frac{5}{3} P_{\infty}$	—	—	—	—	$\frac{5}{3} 0$
22	o	o	o	o	o	o	111	P	P	P	$\bar{A}$	$b^{\frac{1}{2}}$	1
23	n	n	n	n	n	n	121	$2 P_2$	$B'D_2$	$(\bar{P}r)^3 = (\bar{P})^2$	$^2A$	—	12
24	f	f	f	c	f	f	131	$3 P_3$	—	$(\bar{P})^3$	$^3A$	i	13

Bemerkungen.

Das Axen-Verhältniss Haüy's, das von Mohs, Zippe und Hausmann übernommen worden,

$$a : b : c = 0.8367 : 1 : 0.7528$$

weicht von allen Angaben sehr ab. Es wurde daher die Identification mit Hilfe der Figuren vorgenommen. Eine gründliche Discussion der älteren Angaben findet sich bei Hesseberg (l. c.).

Mohs-Zippe geben (Min. 1839. 2. 72) das unvollständige Symbol  $(P+\infty)^3$ . Statt dessen muss es wahrscheinlich heissen  $(\bar{P}+\infty)^3$ , das identisch wäre mit Hausmann's  $B'B_3$ .

Ausser den aufgezählten Formen giebt noch Hesseberg die Formen:

$$\begin{aligned} \frac{7}{8} \bar{P} \infty &= \frac{7}{8} 0 \\ \frac{7}{6} \bar{P} \infty &= \frac{7}{6} 0 \\ \frac{8}{9} \bar{P} \infty &= 0 \frac{8}{9} \end{aligned}$$

die er aus Hausmann's Messungen heraus interpretirt, jedoch selbst als unsicher bezeichnet.

Die Angaben bei J. D. Dana (System 1873. 621) setzen sich zusammen aus zwei unvermittelten Reihen. Der letzte Theil derselben mit Fig. 511 ist leicht zu identificiren mit den Angaben der anderen Autoren. Für die übrigen Formen und Winkelangaben ist mir weder das Herausfinden der Quelle noch die sichere Identification gelungen.

Correcturen.

Mohs-Zippe	Min.	1839	2	Seite	72	Zeile	15	vu	lies	$(\bar{P}+\infty)^3$	statt	$(P+\infty)^3$
Grailich u. Lang	Wien. Sitzb.	1857	27	"	25	"	17	vo	"	0.8367	"	0.8967
Schrauf	Atlas	1871	--	Text zu Taf. XV	Fig. 4	"	Abth. I p. 189	"	pag.	1		
Hesseberg	Senck. Abh.	1872	8	Seite	1	Zeile	8	vo	"	16. 17	"	17. 18
"	"	"	"	"	3	"	14	vu	"	0.8367	"	0.8967
"	"	"	"	"	26	"	12	"	"	$\frac{7}{6} \bar{P} \infty$	"	$\frac{7}{6} \bar{P} \infty$



Annerödit.

Rhombisch.

Axenverhältnisse.

$a : b : c = 0.3610 : 1 : 0.4037$  (Gdt.)

$[a : b : c = 0.4037 : 1 : 0.3610]$  (Brögger.)

Elemente.

$a = 0.3610$	$\lg a = 955751$	$\lg a_0 = 995145$	$\lg p_0 = 004855$	$a_0 = 0.8942$	$p_0 = 1.1183$
$c = 0.4037$	$\lg c = 960606$	$\lg b_0 = 039394$	$\lg q_0 = 960606$	$b_0 = 2.4771$	$q_0 = 0.4037$

Transformation.

Brögger.	Gdt.
$p\ q$	$\frac{1}{p} \ \frac{q}{p}$
$\frac{1}{p} \ \frac{q}{p}$	$p\ q$

No.	Brögger. Gdt.	Miller.	Naumann.	Gdt.
1	a	001	oP	o
2	b	010	$\infty \bar{P} \infty$	$0 \infty$
3	c	100	$\infty \bar{P} \infty$	$\infty 0$
4	l	210	$\infty \bar{P} 2$	$2 \infty$
5	k	110	$\infty P$	$\infty$
6	g	011	$\bar{P} \infty$	01
7	m	031	$3 \bar{P} \infty$	03
8	z	051	$5 \bar{P} \infty$	05
9	e	102	$\frac{1}{2} \bar{P} \infty$	$\frac{1}{2} 0$
10	n	112	$\frac{1}{2} P$	$\frac{1}{2}$
11	u	111	P	1
12	$\bar{P}$	121	$2 \bar{P} 2$	12
13	o	131	$3 \bar{P} 3$	13
14	s	122	$\bar{P} 2$	$\frac{1}{2} 1$

Literatur.

Brögger	Jahrb. Min.	1882	1	Ref. 349	}
-	Zeitschr. Kryst.	1885	10	494	

Bemerkungen.

Der Name des Minerals wurde mit der in der Zeitschr. f. Kryst. angewendeten Orthographie gegeben, während sich im Jahrb. Min. Aannerödit findet.

Antimon.

Hexagonal. Rhomboedrisch-hemiedrisch.

Axenverhältnisse.

a : c = 1:1.3236 (G<sub>2</sub>)  
(1)

[a : c = 1 : 1.3236] (Groth. G<sub>1</sub>)  
[<sub>(10)</sub> " = 1 : 1.3067] (Rose. Miller. Schrauf. A. Weiss.)  
{a : c = 1 : 0.6515} (Mohs. Zippe. Lévy.)  
(1)

Elemente.

= 1.3236	lg c = 0.12176	lg a <sub>0</sub> = 0.11680 lg a' <sub>0</sub> = 9.87824	lg p <sub>0</sub> = 9.94567	a <sub>0</sub> = 1.3086 a' <sub>0</sub> = 0.7555	p <sub>0</sub> = 0.8824
----------	----------------	---	-----------------------------	---	-------------------------

Transformation.

ose. Miller. Schrauf. Weiss. Groth. G <sub>1</sub> .	Hausmann.	Mohs. Zippe. Lévy.	G <sub>2</sub>
p q	− 2 p 2 q	− 2 (p + 2 q) 2 (p − q)	(p + 2 q) (p − q)
− $\frac{p}{2}$ $\frac{q}{2}$	p q	(p + 2 q) (p − q)	− $\frac{p + 2 q}{2}$ $\frac{p − q}{2}$
− $\frac{p + 2 q}{6}$ $\frac{p − q}{6}$	$\frac{p + 2 q}{3}$ $\frac{p − q}{3}$	p q	− $\frac{p}{2}$ $\frac{q}{2}$
$\frac{p + 2 q}{3}$ $\frac{p − q}{3}$	$\frac{2(p + 2 q)}{3}$ $\frac{2(p − q)}{3}$	− 2 p 2 q	p q

Schrauf	Miller.	Rose.	Bravais.	Miller.	Naum.	[Hausm.]	[Mohs-Zippe] [Hartmann.]	[Lévy]	G <sub>1</sub>	G <sub>2</sub>
c	o	c	0001	111	o R	A	R − ∞	a'	o	o
b	a	—	112o	101	∞ P 2	B	P + ∞	—	∞	∞ o
r	r	R	1011	100	+ R	—	—	—	+ 10	+ 1
z	z	$\frac{1}{2}$ r	1014	211	+ $\frac{1}{2}$ R	—	—	—	+ $\frac{1}{2}$ o	+ $\frac{1}{2}$
e	e	$\frac{1}{2}$ r'	1012	110	− $\frac{1}{2}$ R	P	R	—	− $\frac{1}{2}$ o	− $\frac{1}{2}$
s	s	2 r'	2021	111	− 2 R	HA $\frac{1}{2}$	R + 2	e <sup>3</sup>	− 2 o	− 2

Literatur.

<i>Mohs</i>	<i>Grundr.</i>	1824	2	406
<i>Hartmann</i>	<i>Handb.</i>	1828	—	14
<i>Lévy</i>	<i>Descr.</i>	1838	3	308
<i>Mohs-Zippe</i>	<i>Min.</i>	1839	2	474
<i>Hausmann</i>	<i>Handb.</i>	1847	2	(1) 11
<i>Rose</i>	<i>Pogg. Ann.</i>	1849	77	144
-	<i>Jahrb. Min.</i>	1849	—	566
-	<i>Berl. Abb.</i>	1849	—	72
<i>Miller</i>	<i>Min.</i>	1852	—	115
<i>Wefers</i>	<i>Wien. Sitzb.</i>	1860	39	859
<i>Schrauf</i>	<i>Atlas</i>	1871	—	Taf. XVII
<i>Laspeyres</i>	<i>D. Geol. Ges.</i>	1874	—	318.

Bemerkungen.

Das von Hausmann gegebene Formenverzeichniss ist von Mohs-Zippe entn und daher zu lesen in Uebereinstimmung mit den übrigen Autoren B statt E.

Correcturen.

*Hausmann Handb.* 1847 2 (1) Seite 11 Zeile 17 vu lies B statt E.



# Antimonblende.

## Monoklin.

### Axenverhältniss.

$$a:b:c = 1:?:0.675 \quad \beta = 102^{\circ}9' \text{ (Dana. Groth.)}$$

No.	Miller. Gdt.	Miller.	Naumann.	Gdt.
1	u	001	oP	o
2	p	100	$\infty P \infty$	$\infty o$
3	s	103	$-\frac{1}{3}P \infty$	$+\frac{1}{3}o$
4	o	101	$-P \infty$	$+1o$

Literatur.

<i>Mohs-Zippe</i>	<i>Min.</i>	1839	2	570
<i>Miller</i>	<i>Min.</i>	1852	—	217
<i>Dana</i>	<i>System</i>	1873	—	186
<i>Groth</i>	<i>Tab. Uebers.</i>	1882	—	39.

# Antimonglanz.

1.

Rhombisch.

Axenverhältnisse.

$$a : b : c = 0.9752 : 1 : 0.9824 \text{ (Gdt.)}$$

$$[a : b : c = 0.9866 : 1 : 1.0132] \text{ (Schrauf. Krenner.)}$$

$$[ \quad \quad = 0.9844 : 1 : 1.0110] \text{ (Dana. 1873)}$$

$$[ \quad \quad = 0.9870 : 1 : 1.0214] \text{ (Miller. Kokscharow. Mohs. Zippe. Hausmann.)}$$

$$[ \quad \quad = 0.9926 : 1 : 1.0179] \text{ (Dana. 1883)}$$

$$[ \quad \quad = 0.9930 : 1 : 1.0188] \text{ (Krenner.)}$$

$$[ \quad \quad = 0.982 : 1 : 1.020 ] \text{ (Hauy.)}$$

$$\{a : b : c = 0.987 : 1 : 2.037\} \text{ (Lévy.)}$$

Elemente.

$a = 0.9752$	$\lg a = 998909$	$\lg a_0 = 999680$	$\lg p_0 = 000320$	$a_0 = 0.9927$	$p_0 = 1.0074$
$c = 0.9824$	$\lg c = 999229$	$\lg b_0 = 000771$	$\lg q_0 = 999229$	$b_0 = 1.0179$	$q_0 = 0.9824$

Transformation.

Mohs. Zippe. Hausm. Miller. Kokscharow. Dana. Schrauf. Krenner.	Lévy.	Gdt.
$p \ q$	$\frac{p}{2} \quad \frac{q}{2}$	$\frac{p}{q} \quad \frac{1}{q}$
$2q \cdot 2q$	$p \ q$	$\frac{p}{q} \quad \frac{1}{2q}$
$\frac{p}{q} \quad \frac{1}{q}$	$\frac{p}{2q} \quad \frac{1}{2q}$	$p \ q$

No.	Gdt.	Miller. Schrauf. Seligmann. Dana.	Krenner.	Mohs. Zippe. Hartmann. Hausmann.	Miller.	Naumann.	[Haus- mann.]	[Mohs.] [Zippe.] [Hartm.]	[Lévy]	Gdt.
1	b	b(a)	a	—	001	oP	B	$\tilde{P}r+\infty$	$g^1$	o
2	c	c	c	o	010	$\infty \tilde{P} \infty$	A	—	—	$0\infty$
3	a	a(b)	b	—	100	$\infty \tilde{P} \infty$	B'	—	—	$\infty 0$
4	$\Phi$	$\Phi$	—	—	910	$\infty \tilde{P} 9$	—	—	—	$9\infty$
5	z	z	z	—	110	$\infty P$	—	—	$a^2$	$\infty$
6	$\Sigma$	$\Sigma$	—	—	230	$\infty \tilde{P} \frac{3}{2}$	—	—	—	$\infty \frac{3}{2}$
7	y	y	y	—	120	$\infty \tilde{P} 2$	—	—	$a^4$	$\infty 2$
8	L	L	L	—	130	$\infty \tilde{P} 3$	—	—	—	$\infty 3$
9	R	R	R	—	160	$\infty \tilde{P} 6$	—	—	—	$\infty 6$
10	g	g	—	—	029	$\frac{2}{3} \tilde{P} \infty$	—	—	—	$0\frac{2}{3}$
11	Y	Y	—	—	014	$\frac{1}{4} \tilde{P} \infty$	—	—	—	$0\frac{1}{4}$
12	j	j	j	—	013	$\frac{1}{3} \tilde{P} \infty$	—	—	—	$0\frac{1}{3}$

(Fortsetzung S. 223.)

Literatur.

<i>Hauy</i>	<i>Traité Min.</i>	1822	4	291
<i>Mohs</i>	<i>Grundr.</i>	1824	2	582
<i>Hartmann</i>	<i>Handrb.</i>	1828	—	18
<i>Lévy</i>	<i>Descr.</i>	1838	3	311
<i>Mohs-Zippe</i>	<i>Min.</i>	1839	2	556
<i>Hausmann</i>	<i>Handb.</i>	1847	2	(1) 155
<i>Miller</i>	<i>Min.</i>	1852	—	174
<i>Hessenberg</i>	<i>Senck. Abh.</i>	1856	2	185
<i>Krenner</i>	<i>Wien. Sitzb.</i>	1865	51	(1) 436
<i>Schrauf</i>	<i>Atlas</i>	1871	—	Taf. XVII u. XVIII
<i>Dana</i>	<i>System</i>	1873	—	29
<i>Seligmann</i>	<i>Jahrb. Min.</i>	1880	—	135 }
"	<i>Zeitschr. Kryst.</i>	1882	6	102 }
<i>Krenner</i>	<i>Föld. Közl.</i>	1883	—	13 (Sep.)
<i>Dana, E. S.</i>	<i>Amer. Journ.</i>	1883 (3)	26	214 }
"	<i>Zeitschr. Kryst.</i>	1884	9	29 }
<i>Koort</i>	<i>Inaug. Diss.</i>	(Freiburg) Berlin 1884.		

*Bemerkungen* }  
*Correcturen* } s. Seite 224, 226—228.



## 2.

No.	Gdt.	Miller. Schrauf. Seligmann. Dana.	Krenner.	Mohs. Zippe. Hartmann. Hausmann.	Miller.	Naumann.	[Haus- mann.]	[Mohs.] [Zippe.] [Hartm.]	[Lévy]	Gdt.
13	ll	ll	—	—	012	$\frac{1}{2} \bar{P}_{\infty}$	—	—	—	$0 \frac{1}{2}$
14	l	l	l	—	035	$\frac{3}{2} \bar{P}_{\infty}$	—	—	—	$0 \frac{3}{2}$
15	Q	Q	Q	—	034	$\frac{3}{2} \bar{P}_{\infty}$	—	—	—	$0 \frac{3}{2}$
16	u	u	u	—	011	$\bar{P}_{\infty}$	—	—	—	0 1
17	N	N	N	—	032	$\frac{3}{2} \bar{P}_{\infty}$	—	—	—	$0 \frac{3}{2}$
18	x	x	x	a	021	$2 \bar{P}_{\infty}$	AB <sub>2</sub>	$\bar{P}_{r-1}$	—	0 2
19	γ	γ	γ	—	031	$3 \bar{P}_{\infty}$	—	—	—	0 3
20	θ	θ	—	—	107	$\frac{1}{2} \bar{P}_{\infty}$	—	—	—	$\frac{1}{2} 0$
21	θ	θ	—	—	106	$\frac{1}{2} \bar{P}_{\infty}$	—	—	—	$\frac{1}{2} 0$
22	t	t	t	—	105	$\frac{1}{2} \bar{P}_{\infty}$	BB <sub>5</sub>	—	—	$\frac{1}{2} 0$
23	i	i	i	—	104	$\frac{1}{2} \bar{P}_{\infty}$	—	—	—	$\frac{1}{2} 0$
24	q	q	q	—	103	$\frac{1}{2} \bar{P}_{\infty}$	—	—	—	$\frac{1}{2} 0$
25	γ	γ	Δ	—	205	$\frac{2}{3} \bar{P}_{\infty}$	—	—	—	$\frac{2}{3} 0$
26	o	o	o	—	102	$\frac{1}{2} \bar{P}_{\infty}$	—	—	—	$\frac{1}{2} 0$
27	l	l	l	—	305	$\frac{3}{2} \bar{P}_{\infty}$	—	—	—	$\frac{3}{2} 0$
28	d	d	d	—	203	$\frac{2}{3} \bar{P}_{\infty}$	—	—	—	$\frac{2}{3} 0$
29	r	r	r	—	304	$\frac{3}{2} \bar{P}_{\infty}$	BB <sub>4</sub>	—	—	$\frac{3}{2} 0$
30	z	z	—	—	506	$\frac{5}{2} \bar{P}_{\infty}$	—	—	—	$\frac{5}{2} 0$
31	m	m	m	m	101	$\bar{P}_{\infty}$	E	$P + \infty$	m	1 0
32	k	k	k	—	403	$\frac{4}{3} \bar{P}_{\infty}$	—	—	—	$\frac{4}{3} 0$
33	t	t	—	—	302	$\frac{3}{2} \bar{P}_{\infty}$	—	—	—	$\frac{3}{2} 0$
34	n	n	n	—	201	$2 \bar{P}_{\infty}$	B'B <sub>2</sub>	—	—	2 0
35	h	h	h	—	301	$3 \bar{P}_{\infty}$	—	—	—	3 0
36	w	w	w	—	113	$\frac{1}{2} P$	—	—	—	$\frac{1}{2}$
37	v	v	v	—	112	$\frac{1}{2} P$	—	—	—	$\frac{1}{2}$
38	η	η	η	—	335	$\frac{3}{2} P$	—	—	—	$\frac{3}{2}$
39	τ	τ	τ	b	334	$\frac{3}{2} P$	—	$(\frac{3}{2} \bar{P}_{r-2})^2 (\bar{P})^{\frac{1}{3}}$	—	$\frac{3}{2}$
40	β	β	β	—	667	$\frac{6}{5} P$	—	—	—	$\frac{6}{5}$
41	p	p	p	P	111	P	P	P	b <sup>1</sup>	1
42	ε	ε	ε	—	887	$\frac{8}{5} P$	—	—	—	$\frac{8}{5}$
43	λ	λ <sub>3</sub>	—	—	665	$\frac{6}{5} P$	—	—	—	$\frac{6}{5}$
44	α	[a]	α	—	443	$\frac{4}{3} P$	—	—	—	$\frac{4}{3}$
45	Δ	λ <sub>2</sub>	—	—	332	$\frac{3}{2} P$	—	—	—	$\frac{3}{2}$
46	λ	λ <sub>1</sub>	—	—	331	3 P	—	—	—	3
47	ξ	ξ	ξ	—	313	$\bar{P}_3$	—	—	—	$1 \frac{1}{3}$
48	ζ	σ <sub>2</sub>	—	—	232	$\frac{2}{3} \bar{P}_{\frac{2}{3}}$	—	—	—	$1 \frac{2}{3}$
49	π	π	π	—	121	$2 \bar{P}_2$	—	—	—	1 2
50	s	s	s	s	131	$3 \bar{P}_3$	AE <sub>3</sub>	$\frac{4}{3} P - 2$	b <sup>3</sup>	1 3
51	v	v	—	—	272	$\frac{2}{3} \bar{P}_{\frac{2}{3}}$	—	—	—	$1 \frac{2}{3}$
52	f	—	F	—	5·19·5	$\frac{1}{5} \bar{P}_{\frac{1}{5}}$	—	—	—	$1 \frac{1}{5}$
53	μ	μ	—	—	141	$\frac{1}{4} \bar{P}_4$	—	—	—	1 4
54	g	—	G	—	3·13·3	$\frac{1}{3} \bar{P}_{\frac{1}{3}}$	—	—	—	$1 \frac{1}{3}$

Fortsetzung S. 225.

Bemerkungen.

Die von Krenner gegebene Uebersichtstabelle der vor ihm bekannten Formen (S. 450) bedarf einiger Correcturen und Ergänzungen:

- b (010) und s (113) finden sich schon bei Haüy,  
 n (120), r (430) und t (510) rühren nicht von Miller, sondern von Hausmann her,  
 v (211) ist nicht von Mohs, sondern erst von Miller angeführt;

ausserdem sind in der Tabelle nicht enthalten:

- $\tau$  (433) =  $(\frac{1}{3}\check{P}r-2)^7$  (Mohs) =  $(\check{P})\frac{1}{3}$  (Mohs-Zippe)  
 (121) = i (Lévy)  
 y (012) =  $a^4$  (Lévy)  
 z (011) =  $a^2$  (Lévy)

Danach sind die entsprechenden Aenderungen im Text, Seite 438 vorzunehmen.

Es sind also die Formen (433) (011) (012) nicht von Krenner neu gefunden und demgemäss S. 451 oben zu streichen. i (Lévy) findet sich bei keinem andern Autor, stimmt jedoch mit der Figur so wohl überein, dass es als sichergestellt betrachtet werden dürfte.

An Stelle von Krenner's Uebersichtstabelle kann die folgende treten, in der die Aufstellung des Index angenommen ist:

b	o	001	Delisle, Haüy 'E'	n	20	201	Hausmann B'B <sub>2</sub>
c	oo	010	Haüy A	w	$\frac{1}{3}$	113	Hessenberg 3 $\check{P}$ <sub>3</sub>
a	oo	100	Haüy 'J'	v	$\frac{1}{2}$	112	Miller v
z	$\infty$	110	Lévy $a^2$	$\tau$	$\frac{3}{4}$	334	Mohs $(\frac{1}{3}\check{P}r-2)^7$
y	$\infty 2$	120	Lévy $a^4$	p	1	111	Haüy P
u	01	011	Miller u	s	13	131	Haüy A
x	02	021	Mohs $\check{P}r-1$	—	21	211	Lévy i <sup>2</sup>
t	$\frac{1}{5}0$	105	Hausmann BB' <sub>5</sub>	$\sigma$	23	231	Hessenberg $\frac{1}{3}\check{P}$ <sub>2</sub>
r	$\frac{3}{4}0$	304	Hausmann BB' <sub>4</sub>	e	$\frac{1}{2}\frac{3}{2}$	132	Mohs $(\frac{1}{3}\check{P}r-2)^3$
m	10	101	Delisle, Haüy D	$\rho$	$\frac{1}{3}\frac{3}{3}$	135	Hessenberg 5 $\check{P}$ <sub>3</sub>

Hausmann's B'B $\frac{1}{3}$  ist in sich unsicher, weil Hausmann in dem Symbol B'B<sub>n</sub> stets  $n > 1$  nimmt. Da andere Autoren weder  $\frac{3}{4}0$  noch  $\frac{2}{3}0$  gefunden haben, so wurde Hausmann's B'B $\frac{1}{3}$  nicht als sicher angeführt. Für Haüy's  $o = \frac{1}{2}AC^5B^2$  sowie  $r = {}^4J$  ist mir die Identification noch nicht gelungen.

Die Dissertation von Koort bedarf einer besonderen Besprechung. Autor bringt darin 39 neue Formen, von denen 26 in einer Zone liegen. Nun kann der Zweck der Feststellung einer grossen Anzahl von Formen in einer Zone ein doppelter sein.

1. Die Constatirung, dass diese Zone in reicher Entwicklung vorhanden, also für den Aufbau des Krystalls wichtig ist. Dem kann durch ungefähre Ortsbestimmung der Einzelflächen Genüge geschehen.
2. Die Aufsuchung der Vertheilung der Flächen in der Zone zum Zweck
  - a. der Auffindung allgemeiner Gesetze der Flächenvertheilung
  - b. der Verknüpfung der Formen dieser Zone mit denen anderer.

Fortsetzung S. 226.

## 3.

No.	Gdt.	Miller. Schrauf. Seligmann. Dana.	Krenner.	Mohs. Zippe. Hartmann. Hausmann.	Miller.	Naumann.	[Haus- mann.]	[Mohs.] [Zippe.] [Hartm.]	[Lévy]	Gdt.
55	b	—	H	—	3·17·3	$17\frac{1}{3}P_{17}$	—	—	—	$1\frac{1}{3}$
56	G	G	—	—	144	$P_4$	—	—	—	$\frac{1}{4}$
57	t	—	—	—	133	$P_3$	—	—	—	$\frac{1}{3}$
58	H	H	—	—	255	$P_{\frac{5}{2}}$	—	—	—	$\frac{2}{5}$
59	K	$\sigma_3$	0	—	233	$P_{\frac{3}{2}}$	—	—	—	$\frac{2}{3}$
60	n	—	—	—	211	$2P_2$	—	—	i	2
61	$\sigma$	$\sigma$	$\sigma$	—	231	$3P_{\frac{3}{2}}$	—	—	—	2
62	f	f	f	—	241	$4P_2$	—	—	—	2
63	A	A	A	—	316	$\frac{1}{2}P_3$	—	—	—	$\frac{1}{2}$
64	m	$w_3$	B	—	5·3·10	$\frac{1}{2}P_{\frac{3}{2}}$	—	—	—	$\frac{1}{2}$
65	n	$\sigma_4$	T	—	234	$\frac{1}{2}P_{\frac{3}{2}}$	—	—	—	$\frac{1}{2}$
66	e	e	e	e	132	$\frac{1}{2}P_3$	—	$(\frac{1}{3}Pr-2)^3 = (\frac{1}{3}Pr-2)^2$	—	$\frac{1}{2}$
67	f	$\sigma_6$	U	—	236	$\frac{1}{2}P_{\frac{3}{2}}$	—	—	—	$\frac{1}{2}$
68	T	T	K	—	512	$\frac{3}{2}P_5$	—	—	—	$\frac{3}{2}$
69	b	$\sigma_1$	—	—	692	$\frac{3}{2}P_{\frac{3}{2}}$	—	—	—	3
70	M	M	M	—	431	$4P_{\frac{4}{3}}$	—	—	—	4
71	V	V	—	—	10·9·30	$\frac{1}{3}P_{10}$	—	—	—	$\frac{1}{3}$
72	X	X	—	—	413	$\frac{4}{3}P_4$	—	—	—	$\frac{4}{3}$
73	$\Psi$	$\Psi$	—	—	892	$\frac{8}{3}P_{\frac{8}{3}}$	—	—	—	4
74	e	$\sigma_8$	—	—	238	$\frac{8}{3}P_{\frac{3}{2}}$	—	—	—	$\frac{8}{3}$
75	$\varphi$	$\varphi$	$\varphi$	—	134	$\frac{4}{3}P_3$	—	—	—	$\frac{4}{3}$
76	$\psi$	$\psi$	$\psi$	—	164	$\frac{4}{3}P_6$	—	—	—	$\frac{4}{3}$
77	i	$\sigma_9$	—	—	2·3·12	$\frac{1}{2}P_{\frac{3}{2}}$	—	—	—	$\frac{1}{2}$
78	p	p	p	—	135	$\frac{3}{2}P_3$	—	—	—	$\frac{3}{2}$
79	E	E	—	—	10·3·15	$\frac{3}{2}P_{10}$	—	—	—	$\frac{3}{2}$
80	$\Gamma$	$\Gamma$	—	—	3·6·4	$\frac{3}{2}P_2$	—	—	—	$\frac{3}{2}$
81	w	$w_1$	—	—	532	$\frac{3}{2}P_{\frac{3}{2}}$	—	—	—	$\frac{3}{2}$
82	W	W	—	—	20·9·30	$\frac{3}{2}P_{20}$	—	—	—	$\frac{3}{2}$
83	D	D	—	—	15·3·20	$\frac{3}{2}P_5$	—	—	—	$\frac{3}{2}$
84	$\delta$	$\delta$	—	—	4·12·5	$\frac{1}{2}P_3$	—	—	—	$\frac{1}{2}$
85	a	[z]	—	—	9·3·10	$\frac{9}{10}P_3$	—	—	—	$\frac{9}{10}$
86	b	$\sigma_5$	S	—	235	$\frac{5}{3}P_{\frac{3}{2}}$	—	—	—	$\frac{5}{3}$
87	c	$\sigma_7$	—	—	237	$\frac{7}{3}P_{\frac{3}{2}}$	—	—	—	$\frac{7}{3}$
88	F	F	—	—	3·26·5	$\frac{26}{3}P_{26}$	—	—	—	$\frac{26}{3}$
89	$\Omega$	$w_3$	—	—	538	$\frac{8}{3}P_{\frac{3}{2}}$	—	—	—	$\frac{8}{3}$
90	$\Xi$	$w_4$	—	—	5·3·11	$\frac{5}{11}P_{\frac{3}{2}}$	—	—	—	$\frac{5}{11}$

Bemerkungen. (Fortsetzung von S. 224.)

Für letzteren Zweck (2. a und b) kommt es auf die exakteste Ortsbestimmung an, und man hat ausserdem Formen von vicinalem Charakter einer speciellen Discussion zu unterwerfen.

Die Aufstellung unsicherer Formen kann nur dem Zweck 1 genügen. Ihr Eintritt in bereits bekannte Zonen verwischt und verdunkelt das Bild und lässt am Ende die Reihe der Projectionspunkte als eine verwaschene Linie erscheinen, der alles Charakteristische abgeht. Es tritt somit in diesem Fall kein Gewinn, sondern ein Verlust unserer Kenntniss ein.

In den Formenreihen von Koort findet sich die nöthige Klarheit nicht. Daher konnte ich mich nicht entschliessen, sie mit Ausnahme der wohl sichergestellten Form 133 aufzunehmen. Jedoch sollen sie hier in Miller'schen und unsern Zeichen nach der im Index angenommenen Aufstellung angeführt werden.

$\frac{1}{3}0$ (10.32)	$\frac{5}{16}0$ (5.0.16)	$\frac{20}{19}0$ (20.0.19)	$\frac{25}{9}0$ (25.0.9)	$1\frac{1}{2}$ (212)	$\frac{1}{3}\frac{2}{3}$ (236)
$\frac{1}{25}0$ (1.0.25)	$\frac{5}{14}0$ (5.0.14)	$\frac{11}{9}0$ (11.0.9)	$\frac{25}{6}0$ (25.0.6)	$1\frac{5}{13}$ (13.5.13)	$\frac{5}{27}\frac{5}{27}$ (15.5.27)
$\frac{1}{17}0$ (1.0.17)	$\frac{5}{11}0$ (5.0.11)	$\frac{5}{4}0$ (5.0.4)	90 (901)	$1\frac{5}{11}$ (11.5.11)	$\frac{5}{13}\frac{5}{13}$ (5.10.13)
$\frac{5}{28}0$ (5.0.28)	$\frac{7}{15}0$ (7.0.15)	$\frac{5}{3}0$ (5.0.3)	15.0 (15.0.1)	$1\frac{10}{13}$ (13.10.13)	$\frac{5}{8}\frac{5}{8}$ (15.5.9)
$\frac{5}{9}0$ (5.0.9)	$\frac{4}{5}0$ (4.0.5)	$\frac{25}{13}0$ (25.0.13)	32.0 (32.0.1)	$1\frac{25}{8}$ (18.25.18)	$\frac{1}{3}\frac{1}{6}$ (319)
$\frac{5}{19}0$ (5.0.19)	$\frac{7}{8}0$ (7.0.8)	$\frac{7}{3}0$ (7.0.3)		$\frac{1}{2}1$ (133)	
$\frac{5}{18}0$ (5.0.18)	$\frac{50}{31}0$ (50.0.31)	$\frac{5}{3}0$ (5.0.3)	$0\frac{1}{11}$ (0.1.11)	$\frac{1}{5}\frac{5}{5}$ (165)	

Die Formen:

$$\begin{array}{|c|c|c|c|} \hline \frac{1}{2}0 (107) & \frac{5}{9}0 (205) & 1\frac{2}{3} (232) & \frac{1}{4}\frac{3}{8} (238) \\ \hline \frac{1}{6}0 (106) & \frac{5}{2}0 (302) & \frac{1}{3}\frac{1}{2} (236) & \\ \hline \end{array}$$

waren vor Koort bereits durch Dana bekannt geworden.

Speziellere Gründe des Zweifels an Koort's Symbolen sind die folgenden:

1. Es ist auffallend das häufige Auftreten der Zahl 5 unter den neuen Formen. Wir lesen:

unter den Domen:

$$\frac{1}{25}0 \quad \frac{7}{15}0 \quad \frac{4}{3}0 \quad \frac{5}{28}0 \quad \frac{5}{19}0 \quad \frac{5}{18}0 \quad \frac{5}{16}0 \quad \frac{5}{14}0 \quad \frac{5}{11}0 \quad \frac{50}{31}0 \quad \frac{5}{4}0 \quad \frac{5}{3}0 \quad \frac{25}{13}0 \quad \frac{5}{2}0 \quad \frac{25}{9}0$$

unter den Pyramiden:

$$1\frac{5}{13} \quad 1\frac{5}{11} \quad 1\frac{10}{13} \quad 1\frac{25}{8} \quad \frac{1}{3}\frac{5}{5} \quad \frac{5}{9}\frac{5}{27} \quad \frac{5}{3}\frac{10}{3} \quad \frac{5}{3}\frac{5}{5}$$

Also von 39 neuen Formen 27 mit der Zahl 5 oder ihrem Vielfachen. Diese Regelmässigkeit könnte eine wirkliche sein. Sie ist jedoch in hohem Grad auffallend, da sie nicht bei einem einzigen Mineral angetroffen wird. Wo sie sich zu finden schien, rührte sie her von einer Abrundung auf Decimalen. (Vgl. Aragonit. Bemerkungen.) In manchen Fällen dürfte auch hier die decimale Abgleichung zu den gewählten Zahlen geführt haben. Sonst ist es z. B. nicht verständlich, warum der Autor das Symbol (50.51.0) gesetzt mit einer Winkeldifferenz von 8'.5 statt (67.68.0) mit 0', ebenso (20.19.0) mit 27' Differenz statt (27.26.0) mit 0'.

2. Die Reihe der Zahlen ist sowohl für sich als auch nach Einfügung unter die bekannten Formen nach den bei andern Mineralien beobachteten Zahlengesetzen (vgl. Discussion der Zahlen) durchaus abnormal.

3. An einem Krystall (No. 8) treten in derselben Zone 32 verschiedene Prismen auf, darunter 18 neue. Waren sie vollständig entwickelt, so waren das 128 Flächen ausser den Pinakoiden, dabei war der Krystall in der Zone nicht ganz frei von einspringenden Winkeln, wie Autor hervorhebt. Ob die Formen vollflächig entwickelt waren oder nur je 1 Reflex vorhanden war, erfahren wir nicht. Ueberhaupt ist für jede Form nur 1 Winkel als Mittel-

(Fortsetzung S. 227.)



Bemerkungen. (Fortsetzung von S. 226.)

werth gegeben, so dass der Leser nicht im Stande ist, abgesehen von der Nähe der Abgleichung, eine Diskussion vorzunehmen.

4. Die Form (15·25·5) A<sub>1</sub> (nach Aufstellung Koort's) ist unter dessen neuen Formen die meist beobachtete und meist diskutierte, daher scheinbar die am festesten sicher gestellte. Nach S. 28 hat es allerdings den Anschein, als ob eine selbstständige Fläche vorliege mit genanntem Symbol (Kryst. 5). Dies wird bestätigt durch Kryst. 6 (S. 30).

In Krystall 7 ist A<sub>1</sub> gekrümmt und giebt nicht einheitliche Reflexe.

Bei Krystall 8 wurde aus einer Reihe vicinaler Reflexe der für A<sub>1</sub> passende ausgewählt.

Bei Krystall 9 zerfielen die Flächen der Pyramide A<sub>1</sub> in mehrere Felder, von denen eines als A<sub>1</sub> angesehen wurde.

Bei Krystall 1 (S. 21) tritt ein Symbol zu Tage, das 15. 27. 5 nahekommt.

Nach all dem scheint die Möglichkeit nicht ausgeschlossen, dass für A<sub>1</sub> eines von vielen vicinalen Symbolen ausgewählt wurde, während es nothwendig wäre, zur Ausfindung des typischen Symbols für die Fläche auch die anderen Reflexe zu berücksichtigen und zu diskutieren.

Endlich wird man es nicht unberechtigt finden, wenn ich den 39 neuen Formen einer Arbeit über ein vielfach untersuchtes Mineral von bekanntem Fundort mit Misstrauen be-  
**gegne.** Vielleicht werden die Angaben des Autors gerechtfertigt und halten wenigstens theilweise gesichtet und gesichert ihren Einzug in die Formenreihe des Antimonglanz. Sie machen den Eindruck gewissenhafter Beobachtung und dürften werthvolle Resultate geben, wenn Autor sich der Aufgabe unterziehen wollte, die beobachteten Reflexe kritisch zu diskutieren, so dass sich die vicinalen Formen, auf die er selbst (S. 19 und 36) hinweist und die Scheinflächen von den typischen schieden, wodurch ein wohlgegliedertes klares Bild zu Tage träte. (Vgl. Einleitung S. 146—149.)

In dem Formenverzeichniss von Dana (Zeitschr. Kryst. 1884. 9. 34 und 35) kommt der Buchstabe z zweimal vor, einmal für (101), das zweite Mal für (9·10·3). Für letztere Form wurde der Buchstabe a gesetzt.

*Correcturen* s. S. 228.

Correcturen.

<i>Hauy</i>	<i>Traité Min.</i>	1822	4	S. 294	Zeile	4	vo	lies	B	statt	P
<i>Hausmann</i>	<i>Handb.</i>	1847	2 (1)	" 155	"	5	vu	"	BB' $\frac{1}{2}$	"	BB' $\frac{1}{2}$
<i>Krenner</i>	<i>Wien. Sitzb.</i>	1865	51 (1)	" 441	"	5	vo	"	1856 Bd. 2 S. 185	"	Beft IV. 1855 A. 111
"	"	"	"	" 450	"	10	"	"	Hauy	"	Lévy
"	"	"	"	"	"	13 ff	15	"	Hausmann	"	Miller
"	"	"	"	"	"	19	"	"	Hauy	"	Mohs
"	"	"	"	"	"	21	"	"	Miller	"	Mohs
"	"	"	"	"	"	nach Z. 14	vu	zuzufügen:	τ 433	Mohs	
"	"	"	"	"	"	14	"	"	— 121	Lévy	
"	"	"	"	"	"	14	"	"	y 021	Lévy	
"	"	"	"	"	"	14	"	"	x 011	Lévy	
"	"	"	"	" 451	Zeile	2	vo	zu löschen:	(011) (012)		
"	"	"	"	"	"	3	"	"	(433)		
<i>Schrauf</i>	<i>Atlas</i>	1871	Text zu Taf. XVII	"	19	vu	lies	"	6 P <sub>2</sub>	statt	6 P <sub>3</sub>

Antimonsilber.

Rhombisch.

Axenverhältnisse.

$a:b:c = 0.8596:1:1.4886$  (Gdt.)

$[a:b:c = 0.5775:1:0.6718]$  (Hausmann. Miller. Dana.)

$[a:b:c = 0.577:1:0.693]$  (Lévy.)

Elemente.

a = 0.8596	lg a = 993430	lg a <sub>0</sub> = 976153	lg p <sub>0</sub> = 023847	a <sub>0</sub> = 0.5775	p <sub>0</sub> = 1.7317
c = 1.4886	lg c = 017277	lg b <sub>0</sub> = 982723	lg q <sub>0</sub> = 017277	b <sub>0</sub> = 0.6718	q <sub>0</sub> = 1.4886

Transformation.

Lévy. Hausmann. Miller. Dana.	Kenngott. Sandberger.	Gdt.
p q	2 p · 2 q	$\frac{p}{q} \frac{1}{q}$
$\frac{p}{2} \frac{q}{2}$	p q	$\frac{p}{q} \frac{2}{q}$
$\frac{p}{q} \frac{1}{q}$	$\frac{2 p}{q} \frac{2}{q}$	p q

No.	Miller. Gdt.	Mohs- Zippe.	Miller.	Naumann.	[Hausmann.]	[Mohs- Zippe.]	[Lévy.]	Gdt.
1	a	h	001	o P	B	$\check{P}r+\infty$	g'	o
2	c	o	010	$\infty \check{P}\infty$	A	$P-\infty$	p	$\infty\infty$
3	b	—	100	$\infty P\infty$	B'	—	—	$\infty o$
4	d	—	110	$\infty P$	D'	—	—	$\infty$
5	p	P	012	$\frac{1}{2} \check{P}\infty$	B A $\frac{1}{2}$	$\check{P}r+1$	—	$o\frac{1}{2}$
6	e	—	011	$\check{P}\infty$	D	$\check{P}r$	e'	o1
7	r	—	105	$\frac{1}{3} \check{P}\infty$	B B' $\frac{1}{5}$	—	—	$\frac{1}{3}o$
8	q	—	103	$\frac{1}{3} \check{P}\infty$	B B' $\frac{1}{3}$	—	—	$\frac{1}{3}o$
9	n	—	102	$\frac{1}{2} \check{P}\infty$	B B' $\frac{1}{2}$	—	—	$\frac{1}{2}o$
10	m	M	101	$\check{P}\infty$	E	$P+\infty$	m	10
11	y	y	111	P	P	P	—	1
12	x	—	323	$\check{P}\frac{3}{2}$	—	—	—	$1\frac{2}{3}$
13	z	z	121	$2 \check{P} 2$	A E 2	$P-1$	b'	12
14	s	—	133	$\check{P} 3$	D B' $\frac{1}{3}$	—	—	$\frac{1}{3}1$

Literatur.

<i>Mohs</i>	<i>Grundr.</i>	1824	2	499
<i>Hartmann</i>	<i>Handb.</i>	1828	—	12
<i>Lévy</i>	<i>Descr.</i>	1838	2	332
<i>Mohs-Zippe</i>	<i>Min.</i>	1839	2	476
<i>Hausmann</i>	<i>Handb.</i>	1847	2	(1) 57
<i>Miller</i>	<i>Min.</i>	1852	2	140
<i>Kenngott</i>	<i>Win. Sitzb.</i>	1852	9	568
<i>Sandberger</i>	<i>Jahrh. Min.</i>	1870	—	589
<i>Dana</i>	<i>System</i>	1873	—	35.



# Apatit.

1.

Hexagonal. Pyramidal-hemiedrisch.

Axenverhältnisse.

$$a : c = 1 : 1.2680 \quad (G_1)$$

$$[a : c = 1 : 0.7346] \quad (G_2)$$

$$a : c = 1 : 0.7327 \quad (\text{Schrauf.})$$

$$_{(10)} = 1 : 0.7346 \quad (\text{Kokscharow. Klein. Dana. Groth} = G_1)$$

$$_{(10)} = 1 : 0.7340 \quad (\text{Schmidt.})$$

$$_{(10)} = 1 : 0.7 \quad (\text{Lévy.})$$

$$\{a : c = 1 : 1.2680\}_{(10)} \quad (\text{Mohs-Zippe. Hausmann. Miller.})$$

$$\{a : c = 1 : 2.196\}_{(1)} \quad (\text{Mohs-Zippe. Hausmann.})$$

Elemente.

$c = 1.2680$	$\lg c = 0.10312$	$\lg a_0 = 0.13544$ $\lg a'_0 = 0.989688$	$\lg p_0 = 992703$	$a_0 = 1.3660$ $a'_0 = 0.7886$	$p_0 = 0.8453$
--------------	-------------------	--	--------------------	-----------------------------------	----------------

Transformation.

Mohs-Zippe. Hausmann. Miller.	Kokscharow. Klein. Groth. Schrauf. Dana. Schmidt = $G_1$	$G_2$
$p q$	$(p + 2q) (p - q)$	$3p \cdot 3q$
$\frac{p+2q}{3} \quad \frac{p-q}{3}$	$p q$	$(p + 2q) (p - q)$
$\frac{p}{3} \quad \frac{q}{3}$	$\frac{p+2q}{3} \quad \frac{p-q}{3}$	$p q$

Miller. Klein. Schmidt	Schrauf. Weib.	Kok. Rath.	Kau- mann.	Hauy. Hausm. Hartm. Mohs.	Dana	Bravais.	Miller.	Naumann.	[Hausmann.]	[Mohs-Zippe Hartmann.]	Hauy.	Lévy. Descl.	G <sub>1</sub>	G <sub>2</sub>	
c	c <sub>0</sub>	c	P	P	P	c	0001	111	oP	A	R—∞	P	p	o	o
a	a	a	M	M	M	J	1010	211	∞P	E	P+∞	M	m	∞o	∞
b	b	b	u	e	e	i	1120	101	∞P <sub>2</sub>	B	R+∞	'G' h <sup>1</sup> (g <sup>1</sup> )	∞	∞o	
h	h	h	h	c	f	—	2130	514	∞P <sup>3</sup> / <sub>2</sub>	BB <sub>3</sub>	(P+∞) <sup>3</sup>	—	h <sup>2</sup> (g <sup>2</sup> )	2∞	4∞
k	k	k	—	f	c	k	4150	312	∞P <sup>5</sup> / <sub>4</sub>	BB <sup>3</sup> / <sub>2</sub>	(P+∞) <sup>3</sup> / <sub>2</sub>	—	h <sup>4</sup> (g <sup>4</sup> )	4∞	2∞
τ	—	τ	—	—	—	—	1016	774	<sup>1</sup> / <sub>6</sub> P	—	—	—	b <sup>6</sup>	<sup>1</sup> / <sub>6</sub> o	<sup>1</sup> / <sub>6</sub>

(Fortsetzung S. 233.)

Literatur.

<i>Haüy</i>	<i>Traité Min.</i>	1822	1	487
<i>Mohs</i>	<i>Grundr.</i>	1824	2	88
<i>Hartmann</i>	<i>Handrb.</i>	1828	—	191
<i>Naumann</i>	<i>Lehrb. Kryst.</i>	1830	1	499. 504.
<i>Lévy</i>	<i>Descr.</i>	1838	1	129
<i>Mohs-Zippe</i>	<i>Min.</i>	1839	2	84
<i>Des Cloizeaux</i>	<i>Ann. Min.</i>	1842 (4)	7	349
<i>Hausmann</i>	<i>Handb.</i>	1847	2	(2) 1053
<i>Miller</i>	<i>Min.</i>	1852	—	485
<i>Kokscharow</i>	<i>Mat. Min. Russl.</i>	1857	2	39
<i>Rath</i>	<i>Pogg. Ann.</i>	1859	108	353 (Pfitsch)
<i>Kokscharow</i>	<i>Mat. Min. Russl.</i>	1866	5	86
<i>Strüver</i>	<i>Jahrb. Min.</i>	1868	—	604
<i>Schrauf</i>	<i>Wien. Sitzb.</i>	1870	62	(2) 745
„	<i>Atlas</i>	1871	—	Taf. XVIII—XX
<i>Strüver</i>	<i>Torino. Att. ac.</i>	1871	1	369 }
„	<i>Jahrb. Min.</i>	1871	—	752 }
<i>Klein</i>	„	1871	—	485 (Fibia, Gotthard)
„	„	1872	—	121 (Sulzbachthal)
<i>Rath</i>	<i>Zeitschr. Kryst.</i>	1881	5	255 (Zöptau)
<i>Weisbach</i>	<i>Jahrb. Min.</i>	1882	2	249
<i>Schmidt</i>	<i>Zeitschr. Kryst.</i>	1883	7	551 (Floienthal)
<i>Weisbach</i>	„	1884	8	539
<i>Dana, E. S.</i>	„	1885	9	284.

## 2.

Miller. Klein. Schmidt	Schrauf Weissb.	Kok. Rath.	Nau- mann.	Hauy. Hausm. Hartm. Mohs.	Dana	Bravais.	Miller.	Naumann.	[Hausmann.]	[Mohs-Zippe Hartmann.]	Hauy.	Lövy. Desel.	$\theta_1$	$\theta_2$
—	$\sigma$	—	—	—	—	1013	441	$\frac{1}{3}P$	—	—	—	$b^3$	$\frac{1}{3}0$	$\frac{1}{3}$
—	—	—	—	—	—	505.12	22.7.7	$\frac{5}{12}P$	—	—	—	$b^{\frac{1}{2}}$	$\frac{5}{12}0$	$\frac{5}{12}$
i	r	r	r	r	r	1012	110	$\frac{1}{2}P$	AE2	P—1	$\frac{2}{B}$	$b^2$	$\frac{1}{2}0$	$\frac{1}{2}$
—	—	—	—	—	—	3035	11.2.2	$\frac{2}{3}P$	—	—	—	—	$\frac{2}{3}0$	$\frac{2}{3}$
—	$\varepsilon$	—	—	—	—	3034	772	$\frac{3}{4}P$	—	—	—	$b^{\frac{3}{4}}$	$\frac{3}{4}0$	$\frac{3}{4}$
x	x	—	x	x	x	1011	100	P	P	P	$\frac{1}{B}$	$b^1$	10	1
—	$\alpha$	$\alpha$	—	—	—	3032	554	$\frac{3}{2}P$	—	—	—	$b^{\frac{3}{2}}$	$\frac{3}{2}0$	$\frac{3}{2}$
z	y	y	z	z	y	2021	111	2P	EA $\frac{1}{2}$	P+1	$\frac{1}{B}$	$b^{\frac{1}{2}}$	20	2
—	—	—	—	—	w	7073	17.4.4	$\frac{7}{3}P$	—	—	—	—	$\frac{7}{3}0$	$\frac{7}{3}$
—	z	z	—	—	z	3031	722	3P	—	—	—	$b^{\frac{1}{3}}$	30	3
—	$\pi$	—	—	—	—	4041	311	4P	—	—	—	$b^{\frac{1}{4}}$	40	4
—	$\varphi$	—	—	—	—	1126	321	$\frac{1}{3}P_2$	—	—	—	$a^6$	$\frac{1}{6}$	$\frac{1}{2}0$
e	v	v	a	a	—	1122	521	P2	D	R—1	—	$a^2$	$\frac{1}{2}$	$\frac{3}{2}0$
r	s	s	s	s	s	1121	412	2P2	BA $\frac{1}{2}$	R	$\frac{1}{A}$	$a^1$	1	30
s	d	—	d	d	—	2241	715	4P2	BA $\frac{1}{4}$	R+1	—	$a^{\frac{1}{2}}$	2	60
g	i	—	—	—	—	1232	211	$\frac{2}{3}P\frac{2}{3}$	—	—	—	$a^{\frac{1}{2}}$	$\frac{1}{2}1$	$2\frac{1}{2}$
u	m	m	u	u	m	2131	201	3P $\frac{2}{3}$	BD5	(P) $\frac{5}{3}$	$^2A^2$	$a_3$	21	41
—	—	—	—	—	—	7.3.10.3	20.1.10	$\frac{1}{3}P\frac{1}{7}$	—	—	—	—	$\frac{7}{3}1$	$1\frac{3}{3}\frac{4}{3}$
t	n	n	b	b	n	3141	212	4P $\frac{4}{3}$	BD7	(P) $\frac{7}{3}$	—	$a_4$	31	52
—	$\rho$	—	—	—	—	4151	847	5P $\frac{4}{3}$	—	—	—	$a_5$	41	63
d	o	o	—	—	o	3142	301	2P $\frac{4}{3}$	AE2·BD7	(P—1) $\frac{7}{3}$	—	—	$\frac{3}{2}\frac{1}{2}$	$\frac{5}{2}1$
—	—	—	—	—	q	4371	403	7P $\frac{4}{3}$	—	—	—	—	43	10.1
—	$\delta$	—	—	—	—	1.3.4.280	287.278.275	$\frac{1}{76}P\frac{4}{3}$	—	—	—	—	$2\frac{3}{80}2\frac{1}{80}$	$3\frac{1}{6}1\frac{1}{40}$

Correcturen.

*Mohs-Zippe Min.* 1839 2 Seite 87 Zeile 7 vo lies  $(P+\infty)\frac{2}{3}$  statt  $(P+\infty)\frac{1}{3}$   
*Rath Pogg. Ann.* 1859 108 „ 356 „ 16 vo „ 2 P „  $\frac{1}{2}$  P



Apophyllit.

1.

Tetragonal.

Axenverhältnisse.

a : c = 1 : 1.2515 (Schrauf. Dana. Groth. Gdt.)  
" = 1 : 1.250 (Hauy. Mohs-Zippe.  
Hausmann. Miller.)

[a : c = 1 : 1.7698] (Des Cloizeaux.)  
[ " = 1 : 1.73 ] (Lévy.)

Elemente.

$\left. \begin{matrix} p_o \\ c \end{matrix} \right\} = 1.2515$	$lg\ c = 009743$	$lg\ a_o = 990257$	$a_o = 0.7990$
---	------------------	--------------------	----------------

Transformation.

Lévy. Des Cloizeaux.	Hauy. Mohs-Zippe. Hausmann. Miller. Dana. Schrauf. Groth. Gdt.
p q	(p + q) (p - q)
$\frac{p+q}{2} \quad \frac{p-q}{2}$	p q

No.	Gdt.	Miller. Schrauf. Selig- mann.	Rumpf.	Hauy.	Mohs- Zippe. Haus- mann.	Miller.	Nau- mann.	Haus- mann.	Mohs- Zippe.	Hauy.	[Lévy.] [Descl.]	Gdt.
1	c	c	P	P	o	001	o P	A	P-∞	P	p	o
2	a	a	m	M	m	100	∞P∞	B	[P+∞]	M	m	∞o
3	m	m	—	—	—	110	∞P	E	P+∞	—	h¹(g¹)	∞
4	r	r	—	l	r	210	∞P 2	BB2	[(P+∞)³]	G² ²G	h²(g²)	2∞
5	y	y	n	—	—	310	∞P 3	—	—	—	—	3∞
6	f	—	x	—	—	108	$\frac{1}{8}$ P∞	—	—	—	—	$\frac{1}{8}$ o
7	e	—	e	—	—	106	$\frac{1}{6}$ P∞	—	—	—	—	$\frac{1}{6}$ o
8	v	v	—	—	b	105	$\frac{1}{3}$ P∞	AB5	$\frac{4}{3}$ P-5	—	b⁵	$\frac{1}{3}$ o
9	s	s	r	—	c	102	$\frac{1}{2}$ P∞	AB2	P-3	—	b²	$\frac{1}{2}$ o
10	i	i	—	—	—	101	P∞	—	—	—	—	1 o

(Fortsetzung S. 237.)

Literatur.

Haüy	Traité Min.	1822	3	191
Lévy	Descr.	1838	2	271
Mohs-Zippe	Min.	1839	2	272
Hausmann	Handb.	1847	2	(1) 758
Miller	Min.	1852	—	436
Dauber	Pogg. Ann.	1859	107	280
Des Cloizeaux	Manuel	1862	1	125
Schrauf	Wien. Sitzb.	1870	62	(2) 699 (Zwill. Grönland)
"	Atlas	1872	—	Taf. XXI
Lüdecke	Habilit. Schrift.	1878	—	(Radauthal)
Seligmann	Jahrb. Min.	1880	—	140
"	Zeitschr. Kryst.	1882	6	103 (Utöe) }
Rumpf	Zeitschr. Kryst.	1884	9	369.

Bemerkungen.

Rumpf (Zeitschr. Kryst. 1885. 9. 369) nimmt für den Apophyllit das monokline S an und zwar mit dem Axenverhältniss

$$a : b : c = 1 : 1 : 1.7615 \quad \beta = 90^\circ$$

und giebt dazu die Formen an:

Rumpf.	Miller.	Naumann.	Rumpf.	Index
P	001	o P	o	o
s	103	$-\frac{1}{3}P\infty + \frac{1}{3}o$	$+\frac{1}{3}o$	$\frac{1}{3}$
t	9.0.10	$-\frac{9}{10}P\infty + \frac{9}{10}o$	$+\frac{9}{10}o$	$\frac{9}{10}$
u	24.0.25	$-\frac{24}{25}P\infty + \frac{24}{25}o$	$+\frac{24}{25}o$	$\frac{24}{25}$
d	101	$-P\infty + 1o$	$+1o$	1
v	51.0.50	$-\frac{51}{50}P\infty + \frac{51}{50}o$	$+\frac{51}{50}o$	$\frac{51}{50}$
x	1.1.16	$-\frac{1}{16}P$	$+\frac{1}{16}$	$\frac{1}{16}o$
e	1.1.12	$-\frac{1}{12}P$	$+\frac{1}{12}$	$\frac{1}{12}o$
r	1.1.4	$-\frac{1}{4}P$	$+\frac{1}{4}$	$\frac{1}{4}o$
g	72.1.40	$-\frac{2}{3}P_{72} + \frac{2}{3}\frac{1}{40}$	$+\frac{2}{3}\frac{1}{40}$	$\frac{2}{3}\frac{1}{40}$
m	110	$\infty P$	$\infty$	$\infty o$
n	210	$\infty P_2$	$2\infty$	$3\infty$

Da die Elemente, mit denen des tetragonalen Systems übereinstimmen, so wurden obige Formen eine tetragonale Deutung genommen, die berechtigt erscheinen dürfte, da Fragen der Polysymmetrie besser geklärt sein werden. Wir erhalten das tetragonale S nach der im Index angenommenen Aufstellung, wenn wir mit dem Symbol in Rumpfsstellung (die der Des Cloizeaux's gleich ist) unter Vernachlässigung des Vorzeichens Transformation vornehmen:

$$pq \text{ (Rumpf)} = (p+q) (p-q) \text{ (Index)}.$$

Die so transformirten Symbole wurden in den Index aufgenommen: mit Ausnahme der  $g = \frac{2}{3}\frac{1}{40}$ , deren auffallend complicirtes Symbol doch wohl noch einer Bestätigung

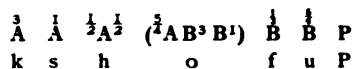
(Fortsetzung S.

## 2.

Miller. Schrauf. Selig- mann.	Rumpf.	Hauy.	Mohs- Zippe. Haus- mann.	Miller.	Nau- mann.	Haus- mann.	Mohs- Zippe.	Hauy.	[Lévy.] [Descr.]	Gdt.
x	—	—	—	1·1·10	$\frac{1}{10}P$	—	—	—	—	$\frac{1}{10}$
d	—	—	d	115	$\frac{1}{5}P$	AE <sub>5</sub>	$\frac{4}{3}P-4$	—	a <sup>5</sup>	$\frac{1}{5}$
φ	—	—	—	227	$\frac{2}{7}P$	—	—	—	a <sup>7</sup>	$\frac{2}{7}$
z	s	—	e	113	$\frac{1}{3}P$	AE <sub>3</sub>	$\frac{2}{3}P-2$	—	a <sup>3</sup>	$\frac{1}{3}$
γ	—	—	—	223	$\frac{2}{3}P$	—	—	—	—	$\frac{2}{3}$
—	t	—	—	9·9·10	$\frac{9}{10}P$	—	—	—	—	$\frac{9}{10}$
—	u	—	—	24·24·25	$\frac{24}{25}P$	—	—	—	—	$\frac{24}{25}$
p	d	s	P	111	P	P	P	A	a <sup>1</sup>	1
—	v	—	—	51·51·50	$\frac{51}{50}P$	—	—	—	—	$\frac{51}{50}$
τ	—	—	—	533	$\frac{5}{3}P\frac{5}{3}$	—	—	—	a <sub>3</sub>	$\frac{5}{3}1$
σ	—	—	—	211	2 P 2	—	—	—	a <sub>2</sub>	2 1
α	—	—	—	311	3 P 3	—	—	—	—	3 1
ρ	—	—	—	621	6 P 3	—	—	—	—	6 2

Bemerkungen. (Fortsetzung von S. 236.)

Ausser den angeführten Formen giebt Haüy noch die Combination (Traité Min. 1822. 3. 194):



welche sich mit den übrigen nicht in Uebereinstimmung bringen lässt. Figur und Winkel-Angaben fehlen. (Haüy's Citat [Journal des Mines No. 137 p. 388] ist mir nicht zugänglich.) Haüy giebt an, dass die Combination sehr unvollständig ausgebildet. Es liegt der Verdacht nahe, dass hier zum Theil Scheinflächen beobachtet wurden. Jedenfalls ist die Angabe nicht genügend sicher, um die von den übrigen Autoren nicht gefundenen Formen den sicher bestimmten anzureihen.

Lévy giebt S. 274 sowie Taf. 46 Fig. 2 eine Combination mit  $b^1 b^{\frac{3}{2}}$ . Diese Figur findet sich copirt bei Des Cloizeaux (Manuel 1862. I. Fig. 76) und bei Schrauf Atlas 1872 Taf. 21 Fig. 9, doch setzt Des Cloizeaux  $b^2 b^3$  statt  $b^1 b^{\frac{3}{2}}$ , ohne dies als eine Correctur zu bezeichnen, doch jedenfalls mit Recht, wie aus Lévy's Figur hervorgeht. So hat auch Schrauf (102) (105).

Lüdecke giebt folgende Zusammenstellung der beobachteten Axen-Verhältnisse:

Dauber . . . . .	Seisser Alp . . . . .	1 : 1:2533
Miller und Des Cloizeaux . . . . .		1 : 1:2517
Dana . . . . .		1 : 1:2516
Lüdecke . . . . .	Hestöe . . . . .	1 : 1:2436
" . . . . .	Faröe . . . . .	1 : 1:2422
" . . . . .	Andreasberg . . . . .	1 : 1:2371
Dauber . . . . .	" . . . . .	1 : 1:2365
Streng . . . . .	Limberg. Kopf. . . . .	1 : 1:2309
Dauber . . . . .	Poonah . . . . .	1 : 1:2165
Lüdecke . . . . .	Radauthal . . . . .	1 : 1:2138
" . . . . .	Andreasberg . . . . .	1 : 1:2057

Correcturen.

Lévy	Descr.	1838	2	Seite 274 Zeile 10 vo	lies	} $b^2 b^3$ statt $b^1 b^{\frac{3}{2}}$
"	"	1838	—	Taf. 46 Fig. 2	"	
Schrauf	Wien. Sitzb.	1870	62 (2)	Seite 700 Zeile 15 vu	"	$h^2$ 310 „ $h^3$ 210



**Aragonit.**

1.

**Rhombisch.****Axenverhältnisse.**

$$a : b : c = 0.8642 : 1 : 1.3874 \text{ (Gdt.)}$$

$$[a : b : c = 0.6228 : 1 : 0.7207] \text{ (Miller, Hessenberg, Dana, Zepharovich, Kokscharow.)}$$

$$[ \quad \quad = 0.6215 : 1 : 0.7204 ] \text{ (Kupffer, Mohs-Zippe, Des Cloizeaux, Hausmann.)}$$

$$[ \quad \quad = 0.6226 : 1 : 0.7168 ] \text{ (Websky.)}$$

$$[ \quad \quad = 0.623 : 1 : 0.730 ] \text{ (Lévy.)}$$

$$\{a : b : c = 0.6291^{\frac{1}{2}} : 1 : 0.3603\} \text{ (Schrauf.)}$$

$$(a : b : c = 0.7993 : 1 : 1.1304) \text{ (Mohs 1824, Hartmann.)}$$

**Elemente.**

$a = 0.8642$	$\lg a = 993661$	$\lg a_0 = 979441$	$\lg p_0 = 020559$	$a_0 = 0.6229$	$p_0 = 1.6054$
$c = 1.3874$	$\lg c = 014220$	$\lg b_0 = 985780$	$\lg q_0 = 014220$	$b_0 = 0.7208$	$q_0 = 1.3874$

**Transformation.**

Mohs-Zippe. Kupffer. Hausm. Miller. Zephar. Dana. Kokscharow. Websky. Descl. Hessenberg.	Schrauf.	Mohs 1824. Hartmann.	Gdt.
$p \ q$	$2 \ p \cdot 2 \ q$	$\frac{q}{2} \ p$	$\frac{p}{q} \ \frac{1}{q}$
$\frac{p}{2} \ \frac{q}{2}$	$p \ q$	$\frac{q}{4} \ \frac{p}{2}$	$\frac{p}{q} \ \frac{2}{q}$
$q \cdot 2 \ q$	$2 \ q \cdot 4 \ p$	$p \ q$	$\frac{q}{2 \ p} \ \frac{1}{2 \ p}$
$\frac{p}{q} \ \frac{1}{q}$	$\frac{2 \ p}{q} \ \frac{2}{q}$	$\frac{1}{2 \ q} \ \frac{p}{q}$	$p \ q$

No.	Miller. Schrauf. Zephar. Gdt.	Kokscharow.	Websky.	Mohs-Zippe. Hartmann Hausmann.	Miller.	Naum.	[Hsm.]	[Mohs 1824]	[Mohs- Zippe 1839]	[Lévy] [Descl.]	Gdt.
1	a	h	h	h	001	oP	B	$\bar{P}r + \infty$	$\bar{P}r + \infty$	$g^1$	o
2	c	c	—	s	010	$\infty \bar{P} \infty$	A	$P - \infty$	$P - \infty$	p	$0 \infty$
3	b	b	—	—	100	$\infty \bar{P} \infty$	B'	$\bar{P}r + \infty$	$\bar{P}r + \infty$	$h^1$	$\infty 0$
4	f	—	—	—	210	$\infty \bar{P} 2$	—	—	—	—	$2 \infty$
5	u	u	—	—	110	$\infty P$	D <sup>1</sup>	$\bar{P}r$	$\bar{P}r$	$a^1$	$\infty$
6	g	—	—	—	340	$\infty \bar{P} \frac{2}{3}$	—	—	—	—	$\infty \frac{2}{3}$

(Fortsetzung S. 241.)

Literatur.

<i>Haüy</i>	<i>Traité Min.</i>	1822	1	432
<i>Mohs</i>	<i>Grundr.</i>	1824	2	94
<i>Hartmann</i>	<i>Handb.</i>	1828	—	280
<i>Lévy</i>	<i>Descr.</i>	1838	1	101
<i>Mohs-Zippe</i>	<i>Min.</i>	1839	2	89
<i>Hausmann</i>	<i>Handb.</i>	1847	2	(2) 1230
<i>Miller</i>	<i>Min.</i>	1852	—	567
<i>Websky</i>	<i>D. Geol. Ges.</i>	1857	9	737
<i>Grailich</i>	<i>Kryst. opt. Unters.</i>	1858	—	143
<i>Schrauf</i>	<i>Wien. Sitzb.</i>	1860	39	885
<i>Schmidt</i>	<i>Pogg. Ann.</i>	1865	126	149
<i>Kokscharow</i>	<i>Mat. Min. Russl.</i>	1870	6	261
<i>Schrauf</i>	<i>Wien. Sitzb.</i>	1870	62	(2) 734
"	"	1872	65	(1) 250 (Sasbach)
"	<i>Atlas</i>	1872	—	Taf. XXI—XXIII
<i>Dana</i>	<i>System</i>	1873	—	694
<i>Des Cloizeaux</i>	<i>Manuel</i>	1874	2	86
<i>Zepharovich</i>	<i>Wien. Sitzb.</i>	1875	71	(1) 253
<i>Laspeyres</i>	<i>Zeitschr. Kryst.</i>	1877	1	202 (Oberstein)
<i>Langer</i>	"	1885	9	196.

*Bemerkungen* }  
*Correcturen* } s. Seite 242 u. 244.

## 2.

Miller. Schrauf. Zephar. Gdt.	Koksch.	Webs.	Mohs-Zippe. Hartmann. Hausmann.	Miller.	Nau- mann.	[Haus- mann.]	[Mohs 1824]	[Mohs- Zippe 1839]	[Lévy.] [Descl.]	Gdt.
d	—	—	—	120	$\infty \bar{P}_2$	—	—	—	—	$\infty 2$
$\eta$	—	—	—	0·1·24	$\frac{1}{2} \bar{P}_\infty$	—	—	—	—	$0 \frac{1}{2} 4$
$\rho$	—	—	—	0·1·20	$\frac{1}{2} \bar{P}_\infty$	—	—	—	—	$0 \frac{1}{2} 0$
$\mu$	—	—	—	0·1·16	$\frac{1}{6} \bar{P}_\infty$	—	—	—	—	$0 \frac{1}{6} 8$
$\theta$	—	—	—	0·1·14	$\frac{1}{4} \bar{P}_\infty$	—	—	—	—	$0 \frac{1}{4} 4$
$\varepsilon$	—	—	—	0·1·13	$\frac{1}{3} \bar{P}_\infty$	—	—	—	—	$0 \frac{1}{3} 3$
j	—	—	—	0·1·12	$\frac{1}{2} \bar{P}_\infty$	—	—	—	$e \frac{1}{2} 2$	$0 \frac{1}{2} 2$
$\lambda$	—	—	—	019	$\frac{1}{2} \bar{P}_\infty$	—	—	—	—	$0 \frac{1}{2} 2$
v	—	—	—	018	$\frac{1}{2} \bar{P}_\infty$	BA $\frac{1}{2}$	—	—	$e \frac{1}{2} 2$	$0 \frac{1}{2} 2$
$\gamma$	—	—	—	017	$\frac{1}{2} \bar{P}_\infty$	—	—	—	—	$0 \frac{1}{2} 2$
$\beta$	—	—	—	0·2·13	$\frac{2}{3} \bar{P}_\infty$	—	—	—	—	$0 \frac{2}{3} 3$
q	q	—	—	016	$\frac{1}{2} \bar{P}_\infty$	BA $\frac{1}{2}$	—	$\frac{3}{2} \bar{P}_{r+2}$	$e \frac{1}{2} 2$	$0 \frac{1}{2} 2$
e	e	—	—	015	$\frac{1}{2} \bar{P}_\infty$	BA $\frac{1}{2}$	$\frac{3}{2} \bar{P}_{r+1}$	$\frac{3}{2} \bar{P}_{r+1}$	$e \frac{1}{2} 2$	$0 \frac{1}{2} 2$
h	—	—	—	014	$\frac{1}{2} \bar{P}_\infty$	—	—	—	—	$0 \frac{1}{2} 2$
v	v	—	—	013	$\frac{1}{2} \bar{P}_\infty$	BA $\frac{1}{2}$	$\frac{3}{2} \bar{P}_{r+1}$	$\frac{3}{2} \bar{P}_{r+1}$	$e \frac{1}{2} 2$	$0 \frac{1}{2} 2$
i	i	i	—	012	$\frac{1}{2} \bar{P}_\infty$	BA $\frac{1}{2}$	—	$\bar{P}_{r+1}$	$e \frac{1}{2} 2$	$0 \frac{1}{2} 2$
l	l	—	—	023	$\frac{2}{3} \bar{P}_\infty$	BA $\frac{2}{3}$	—	$\frac{3}{2} \bar{P}_r$	$e \frac{2}{3} 3$	$0 \frac{2}{3} 3$
x	—	—	—	034	$\frac{2}{3} \bar{P}_\infty$	—	—	—	—	$0 \frac{2}{3} 3$
k	k	P	k·P	011	$\bar{P}_\infty$	D	$\bar{P}_{r-1}$	$\bar{P}_r$	$e^1 1$	$0 1$
x	x	—	—	021	$2 \bar{P}_\infty$	AB 2	$\bar{P}_{r-2}$	$\bar{P}_{r-1}$	$e^2 2$	$0 2$
a	—	—	—	031	$3 \bar{P}_\infty$	AB 3	—	—	$e^3 3$	$0 3$
m	M	M	M	101	$\bar{P}_\infty$	E	$(\bar{P}_{r+\infty})^3$	$P_{r+\infty}$	m	$1 0$
$\Delta$	—	—	—	115	$\frac{1}{2} P$	—	—	—	$\Delta$	$\frac{1}{2}$
s	s	s	r	112	$\frac{1}{2} P$	—	—	—	s	$\frac{1}{2}$
p	p	o	—	111	P	P	$(\bar{P}_{r-1})^3$	P	$b^3 3$	1
$\pi$	—	—	—	24·1·24	$\bar{P}_{24}$	—	—	—	—	$1 \frac{1}{2} 4$
$\delta$	—	—	—	14·1·14	$\bar{P}_{14}$	—	—	—	—	$1 \frac{1}{4} 4$
$\theta$	—	—	—	10·1·10	$\bar{P}_{10}$	—	—	—	—	$1 \frac{1}{10} 0$
$\sigma$	—	—	—	919	$\bar{P}_9$	—	—	—	—	$1 \frac{1}{9} 9$
$\gamma$	—	—	—	818	$\bar{P}_8$	EA $\frac{1}{8}$	—	—	—	$1 \frac{1}{8} 8$
$\psi$	—	—	—	717	$\bar{P}_7$	—	—	—	—	$1 \frac{1}{7} 7$
$\omega$	—	—	—	13·2·13	$\bar{P}_{13}$	—	—	—	—	$1 \frac{1}{13} 3$
t	—	—	—	616	$\bar{P}_6$	—	—	—	$b^1 \frac{1}{2} 2$	$1 \frac{1}{6} 6$
$\tau$	—	—	—	414	$\bar{P}_4$	EA $\frac{1}{4}$	—	—	$b^3 3$	$1 \frac{1}{4} 4$
o	—	q	—	121	$2 \bar{P}_2$	BD $\frac{1}{2}$	P	$(P)^2$	$b^1 1$	$1 2$
n	n	—	—	122	$\bar{P}_2$	DB $\frac{1}{2}$	$P_{r-1}$	$(\bar{P}_{r-1})^2$	n	$\frac{1}{2} 1$
$\Sigma$	—	—	—	326	$\frac{1}{2} P \frac{3}{2}$	—	—	—	$\Sigma$	$\frac{1}{2} \frac{3}{2}$
t	—	t	—	234	$\frac{2}{3} \bar{P} \frac{2}{3}$	—	—	—	$\theta$	$\frac{2}{3} \frac{2}{3}$
r	—	u	—	132	$\frac{2}{3} \bar{P} \frac{2}{3}$	—	—	—	u ( $e_1$ )	$\frac{2}{3} \frac{2}{3}$

(Fortsetzung S. 243.)

Bemerkungen.

Zepharovich führt eine Reihe vicinaler Formen mit complicirten Symbolen an, nämlich:

		Beobachtete Winkel zu $a = 0$ unserer Aufstellung:	
$r \sim P \frac{3}{2} \frac{4}{5}$	in unserer Aufstellung $\frac{4}{2} \frac{1}{0}$	49°56; 49°37; 50°; 50°2; 49°52; 49°44; 49°50	in Durchschn. 49°52
$q \sim P \frac{3}{2} \frac{3}{5}$	" $\frac{4}{2} \frac{0}{0}$	51°7; 51°7 . . . . .	" 51°7
$p \sim P \frac{3}{2} \frac{2}{5}$	" $\frac{4}{2} \frac{0}{0}$	53°49; 53°41 . . . . .	" 53°45
$o \sim P \frac{3}{2} \frac{1}{5}$	" $\frac{4}{2} \frac{0}{0}$	54°45 . . . . .	" 54°45
$n \sim P \frac{2}{2} \frac{2}{5}$	" $\frac{4}{2} \frac{0}{0}$	59°23 . . . . .	" 59°23
$m \sim P \frac{2}{2} \frac{1}{5}$	" $\frac{4}{2} \frac{0}{0}$	62°20; 62°54; 62°28 . . . . .	" 62°34

Nach diesen Winkeln lassen sich mit ebenso guter Annäherung einfachere Symbole berechnen, wie die folgende Zusammenstellung zeigt:

	Symbol Zepharovich.	Berechn. Winkel zu $a$ .	Symbol Gdt.	Berechn. Winkel zu $a$ .	Beobacht. v. Zepharovich. Durchschnitt.
$r$	$\frac{4}{2} \frac{1}{0}$	49°44	$\frac{1}{2} \frac{0}{0}$	50°17	49°52
$q$	$\frac{4}{2} \frac{0}{0}$	51°26	$\frac{3}{2} \frac{0}{0}$	51°19	51°7
$p$	$\frac{4}{2} \frac{0}{0}$	53°41	$\left\{ \begin{array}{l} \frac{1}{2} \frac{1}{0} \\ \frac{3}{2} \frac{0}{0} \end{array} \right.$	$\begin{array}{l} 53°38 \\ 53°13 \end{array}$	53°45
$o$	$\frac{4}{2} \frac{0}{0}$	54°37	$\frac{7}{2} \frac{0}{0}$	54°33	54°45
$n$	$\frac{2}{2} \frac{2}{0}$	59°7	$\frac{4}{2} \frac{0}{0}$	59°26	59°23
$m$	$\frac{4}{2} \frac{1}{0}$	62°23	$\frac{3}{2} \frac{0}{0}$	62°34	62°34

Die Entscheidung in der angeregten Frage dürfte am besten durch neuerliche Untersuchungen am Material getroffen werden und wurden bis dahin die genannten Symbole unter die sicher beobachteten noch nicht aufgenommen. Die Reihe der vereinfachten Symbole wäre eine normale, während die Regelmässigkeit in der Wiederkehr der Zahlen 25 und 50 in Zepharovich's Symbolen doch nur durch die Art der Abrundung hineingetragen ist.

Unter den Buchstaben tritt ausser dem lateinischen  $v = 0 \frac{1}{2}$  das griechische  $\nu = \frac{1}{2} \frac{1}{5}$  auf, die sich in der Schrift nicht unterscheiden lassen. Es wurde statt des letzteren der Buchstaben  $\gamma$  gesetzt.

Lévy führt S. 104 das Symbol  $(b^{\frac{1}{2}} b^{\frac{1}{2}} g^{\frac{1}{2}})$  entsprechend  $\frac{2}{2} \frac{1}{5}$  des Index an, eine Form, die sonst nicht beobachtet ist. Da Lévy weder Figur noch Winkel giebt, wurde diese Form nicht als sicher angesehen.

Das Axen-Verhältniss Websky ist berechnet aus den von ihm (l. c.) angeführten Messungen:

$$\begin{aligned} MM &= \infty \cdot \infty = 116^\circ 13' \\ PP &= 01 \cdot 10 = 108^\circ 44' \end{aligned}$$

Die Form  $1 \frac{1}{2}$  ist Hausmann's  $EA \frac{1}{2}$ .

(Fortsetzung S. 244.)

## 3.

No.	Miller. Schrauf. Zephar. Gdt.	Koksch.	Webs.	Mohs-Zippe. Hartmann. Hausmann.	Miller.	Nau- mann.	[Haus- mann.]	[Mohs- 1824]	[Mohs- Zippe 1839]	[Lévy. [Descl.]]	Gdt.
46	$\tau$	—	—	—	142	$2\bar{P}4$	—	—	—	$\rho$	$\frac{1}{2}2$
47	H	—	—	—	152	$\frac{3}{2}\bar{P}5$	—	—	—	—	$\frac{1}{2}\frac{3}{2}$
48	$\xi$	—	x	—	162	$3\bar{P}6$	—	—	—	x	$\frac{1}{2}3$
49	$\varphi$	—	v	—	452	$\frac{5}{2}\bar{P}\frac{1}{2}$	—	—	—	v	$2\frac{5}{2}$
50	y	—	y	—	251	$5\bar{P}\frac{5}{2}$	—	—	—	y	25
51	E	—	—	—	123	$\frac{2}{3}\bar{P}2$	—	—	—	—	$\frac{1}{3}\frac{2}{3}$
52	I'	—	—	—	185	$\frac{8}{3}\bar{P}8$	—	—	—	—	$\frac{1}{3}8$
53	Y (v)	—	—	—	9·2·12	$\frac{1}{2}\bar{P}\frac{3}{2}$	B'1 $\frac{1}{3}$ ·BD'7	—	( $\frac{3}{2}\bar{P}r$ ) 7	—	$\frac{1}{2}\frac{3}{2}$
54	$\Lambda$	—	—	—	12·5·17	$\frac{1}{2}\bar{P}\frac{1}{2}$	—	—	—	—	$\frac{1}{2}\frac{1}{2}$
55	z	—	z	—	25·2·27	$\frac{2}{3}\bar{P}\frac{2}{3}$	—	—	—	z	$\frac{2}{3}\frac{2}{3}$
56	w	—	w	—	25·24·27	$\frac{2}{3}\bar{P}\frac{2}{3}$	—	—	—	w	$\frac{2}{3}\frac{2}{3}$



Bemerkungen. (Fortsetzung von S. 242.)

Die von Langer gegebene Form (Zeitschr. Kryst. 1884. 9. 197)  $1\frac{1}{2}b$  wurde nicht aufgenommen, da die Messungen so stark differiren, dass der Zweifel besteht, ob  $1\frac{1}{2}b$  oder  $1\frac{1}{3}b$  das richtige Symbol sei. Wenn nun auch, wie Langer hervorhebt, das Symbol  $1\frac{1}{2}b$  das wahrscheinlichere ist, so ist es damit doch nicht sicher gestellt und bedarf der Bestätigung.

Bei Mohs-Zippe (Min. 1839. 2. 89—90) ist eine Reihe von Correcturen nöthig (siehe unten). Die Richtigkeit der corrigirten Symbole ergibt sich theilweise aus der Vergleichung mit den Angaben von Miller (Min. 1852. 567 und Fig. 566) und Hausmann (Handb. 1847. 2. (2) 1231) doch mit Sicherheit aus den von Mohs-Zippe gegebenen Winkeln.

Correcturen.

Mohs-Zippe	Min.	1839	2	Seite	89	Zeile	4 vu	lies	129°37	statt	139°37
"	"	"	"	"	"	"	5 "	"	(P—1) <sup>2</sup>	"	(P—1) <sup>2</sup>
"	"	"	"	"	90	"	12 vo				
"	"	"	"	"	"	"	17 vu				
"	"	"	"	"	89	"	4 "	"	(P) <sup>2</sup>	"	(P) <sup>2</sup>
"	"	"	"	"	90	"	10 vo				
"	"	"	"	"	"	"	13 "	"	(P) <sup>2</sup>	"	(P) <sup>2</sup>
"	"	"	"	"	89	"	3 "	"	(½ Pr) <sup>7</sup>	"	(½ Pr) <sup>7</sup>
"	"	"	"	"	90	"	9 "				
Hausmann	Handb.	1847	2 (2)	"	1231	"	9 vu	"	116°8; 129°37	"	129°37; 116°8
Zepharovich	Wien. Sitzb.	1875	71 (1)	"	264	"	15 vo	"	ψ	"	φ

Ardennit.

Rhombisch.

Axenverhältnisse.

a : b : c = 0.3135 : 1 : 0.4663 (Gdt.)

[a : b : c = 0.4663 : 1 : 0.3135] (Rath. Lasaulx.)

Elemente.

a = 0.3135	lg a = 949624	lg a <sub>0</sub> = 982757	lg p <sub>0</sub> = 017243	a <sub>0</sub> = 0.6723	p <sub>0</sub> = 1.4874
c = 0.4663	lg c = 966867	lg b <sub>0</sub> = 033133	lg q <sub>0</sub> = 966867	b <sub>0</sub> = 2.1445	q <sub>0</sub> = 0.4663

Transformation.

Rath. Lasaulx.	Gdt.
p q	$\frac{1}{p} \frac{q}{p}$
$\frac{1}{p} \frac{q}{p}$	p q

No.	Rath. Lasaulx. Gdt.	Miller.	Naumann.	Gdt.
1	a	001	o P	o
2	b	010	∞ P̄ ∞	o ∞
3	n	023	$\frac{2}{3}$ P̄ ∞	o $\frac{2}{3}$
4	m	011	P̄ ∞	o 1
5	l	021	2 P̄ ∞	o 2
6	e	101	P̄ ∞	1 o
7	o	111	P	1
8	u	323	P̄ $\frac{3}{2}$	1 $\frac{2}{3}$

Literatur.

<i>Lasaulx</i> (und <i>Rath</i> )	<i>Min. Mitth.</i>	1873	3	43	}
"	"	<i>Jahrb. Min.</i>	1873	—	
"	"	<i>Pogg. Ann.</i>	1873	149	
				247.	

# **Arksutit.**

**Tetragonal.**

**Axenverhältniss.**

$$a : c = 1 : 1.015 \text{ (Krenner. Gdt.)}$$

**Elemente.**

$\left. \begin{matrix} c \\ p_o \end{matrix} \right\} = 1.015$	$\lg c = 000647$	$\lg a_o = 999353$	$a_o = 0.9852$
--	------------------	--------------------	----------------

No.	Gdt.	Miller.	Naumann.	Gdt.
1	p	111	P	1

Literatur.

*Krenner Math. Nat. Ber. Ung.* 1883 1 Sep. 22.



# Arquerit.

Regulär.

No.	Gdt.	Miller. Schrauf.	Miller.	Naumann.	G <sub>1</sub>	G <sub>2</sub>	G <sub>3</sub>
1	p	o	iii	O	1	1	1

Literatur.

<i>Domeyko</i>	<i>Ann. Min.</i>	1841 (3)	20	268
<i>Miller</i>	<i>Min.</i>	1852	—	126
<i>Schrauf</i>	<i>Atlas</i>	1872	—	Taf. XXIV.

Arsen.

Hexagonal. Rhomboedrisch-hemiedrisch.

Axenverhältniss.

$a : c = 1 : 1.4025 \text{ (G}_2\text{)}$   
(1)  
" = 1 : 1.388 (Mohs-Zippe. Breithaupt.)  
  
 $[a : c = 1 : 1.4025] \text{ (Rose. Weiss. G}_1\text{.)}$   
 $[ \text{ " } = 1 : 1.3779] \text{ (Miller. Schrauf.)}$   
  
 $\{a : c = 1 : 0.694 \} \text{ (Hausmann.)}$   
(10)

Elemente.

$c = 1.4025$	$\lg c = 0.14690$	$\lg a_o = 0.09166$ $\lg a'_o = 985310$	$\lg p_o = 997081$	$a_o = 1.2350$ $a'_o = 0.7130$	$p_o = 0.9350$
--------------	-------------------	--	--------------------	-----------------------------------	----------------

Transformation.

Rose, Miller. Weiss, Schrauf. Groth. G <sub>1</sub> .	Hausmann.	Mohs-Zippe. G <sub>2</sub> .
$p \ q$	$- 2 \ p \ 2 \ q$	$(p + 2 \ q) \ (p - q)$
$- \frac{p}{2} \ \frac{q}{2}$	$p \ q$	$\frac{p + 2 \ q}{2} \ \frac{p - q}{2}$
$\frac{p + 2 \ q}{3} \ \frac{p - q}{3}$	$\frac{2 \ (p + q)}{3} \ \frac{2 \ (p - q)}{3}$	$p \ q$

No.	Schrauf.	Miller.	Rose.	Bravais.	Miller.	Naumann.	Hausmann.	Mohs-Zippe.	G <sub>1</sub>	G <sub>2</sub>
1	c	o	c	0001	111	o R	A	R—∞	o	o
2	r	r	R	10T1	100	+ R	FA $\frac{1}{2}$	R	+ 1 o	+ 1
3	z	z	$\frac{1}{2} r$	10T4	211	+ $\frac{1}{2} R$	—	—	+ $\frac{1}{2} o$	+ $\frac{1}{2}$
4	e	e	$\frac{1}{2} r'$	1012	110	— $\frac{1}{2} R$	P	R—1	— $\frac{1}{2} o$	— $\frac{1}{2}$
5	h	h	$\frac{2}{3} r'$	3032	554	— $\frac{2}{3} R$	—	—	— $\frac{2}{3} o$	— $\frac{2}{3}$

Literatur.

Breithaupt	Pogg. Ann.	1826	7	527
"	Vollst. Charakteristik	1832	—	261
Mohs-Zippe	Min.	1839	2	470
Hausmann	Handb.	1847	2	(1) 13
Rose	Pogg. Ann.	1849	77	146 }
"	Berl. Abb.	1849	—	72 }
Miller	Min.	1852	—	117
Weiss, A.	Wien. Sitzb.	1860	39	859
Schrauf	Atlas	1872	—	Taf. XXIV.

Correcturen.

Schrauf Atlas 1872 Text zu Taf. XXIV Zeile 15 vu lies $\pi \{332 \cdot 602\}$ statt $\pi \{223 \cdot 403\}$									
"	"	"	"	"	"	"	14	"	"
"	"	"	"	"	"	"	13	"	"
"	"	"	"	"	"	"	12	"	"
"	"	"	"	"	"	"	11	"	"

Die Form ist von G. Rose entlehnt und es ergibt sich die Nothwendigkeit der Correctur sowohl aus dem Symbol Rose's  $\frac{2}{3} r'$  als auch aus dem angeführten Winkel  $\frac{2}{3} r' : c = 112^\circ 23'$

**Arsenit.****Regulär.**

No.	Gdt.	Miller. Schrauf.	Miller.	Naumann.	Lévy.	G <sub>1</sub>	G <sub>2</sub>	G <sub>3</sub>
1	p	o	111	O	a'	1	1	1



Literatur.

<i>Lévy</i>	<i>Descr.</i>	1838	<b>3</b>	276
<i>Miller</i>	<i>Min.</i>	1852	—	255
<i>Schrauf</i>	<i>Atlas</i>	1872	—	Taf. XXIV.

Arsenkies.

1.

Rhombisch.

Axenverhältniss.

$a : b : c = 0.6709 : 1 : 1.1888$   
bis:  
 $= 0.6896 : 1 : 1.1942$

$\left. \vphantom{\begin{matrix} a : b : c = 0.6709 : 1 : 1.1888 \\ \text{bis:} \\ = 0.6896 : 1 : 1.1942 \end{matrix}} \right\} \text{(Arzruni. Bärwald. Gdt.)}$

$a : b : c = 0.6760 : 1 : 1.1889$   
"  $= 0.6783 : 1 : 1.1977$   
"  $= 0.6691 : 1 : 1.1854$   
"  $= 0.70 : 1 : 1.20$   
"  $= 0.685 : 1 : 1.20$

$\text{(Miller. Dana.)}$   
 $\text{(Magel.)}$   
 $\text{(Rumpf.)}$   
 $\text{(Hausmann.)}$   
 $\text{(Lévy.)}$

$[a : b : c = 0.6773 : 1 : 0.5944] \text{ (Mohs-Zippe.)}$

Elemente.

= 0.6709	lg a = 982666	lg a <sub>0</sub> = 975155	lg p <sub>0</sub> = 024845	a <sub>0</sub> = 0.5643	p <sub>0</sub> = 1.7720
= 1.1888	lg c = 007511	lg b <sub>0</sub> = 992489	lg q <sub>0</sub> = 007511	b <sub>0</sub> = 0.8412	q <sub>0</sub> = 1.1888

bis:

= 0.6896	lg a = 983860	lg a <sub>0</sub> = 976153	lg p <sub>0</sub> = 023847	a <sub>0</sub> = 0.5775	p <sub>0</sub> = 1.7317
= 1.1942	lg c = 007707	lg b <sub>0</sub> = 992293	lg q <sub>0</sub> = 007511	b <sub>0</sub> = 0.8374	q <sub>0</sub> = 1.1942

Transformation.

Mohs-Zippe.	Miller. Dana. Hausmann. Naumann. Magel. Rumpf. Arzruni. Bärwald. Lévy. Gdt.
p q	$\frac{2}{p} \quad \frac{2}{q}$
2 p · 2 q	p q

dt.	Hauy. Hausmann.	Mohs-Zippe. Hartmann.	Nau- mann. Rumpf.	Miller.	Arzruni.	Miller.	Nau- mann.	Hausmann.	[Mohs.] [Zippe.] [Hartm.]	Hauy.	Lévy.	Gdt.
	P	P	c	c	c	∞ P	0 P	A	P—∞	P	p	o
	n	—	—	a	—	∞ P̄∞	∞ P̄∞	B	P̄+∞	'G'	—	o ∞
	—	—	—	—	—	100	∞ P̄∞	—	—	—	—	∞ o

Fortsetzung S. 257.

Literatur.

<i>Hauy</i>	<i>Traité Min.</i>	1822	4	28	
<i>Mohs</i>	<i>Grundr.</i>	1824	2	527	
<i>Hartmann</i>	<i>Handb.</i>	1828	—	27	
<i>Naumann</i>	<i>Lehrb. Kryst.</i>	1830	2	258	
<i>Lévy</i>	<i>Descr.</i>	1838	3	123	
<i>Mohs-Zippe</i>	<i>Min.</i>	1839	2	501	
<i>Hausmann</i>	<i>Handb.</i>	1847	2	(1) 72	
<i>Miller</i>	<i>Min.</i>	1852	—	188	
<i>Rumpf</i>	<i>Min. Mith.</i>	1874	4	231	
<i>Gamper</i>	<i>Zeitschr. Kryst.</i>	1877	1	396	(Joachimsthal)
„	<i>Jahrb. Min.</i>	1877	—	204	
<i>Groth</i>	<i>Strassb. Samml.</i>	1878	—	39	
<i>Arzruni</i>	<i>Zeitschr. Kryst.</i>	1878	2	430	
<i>Hare</i>	„	1880	4	296	(Reichenstein)
<i>Zepharovich</i>	„	1881	5	270	(Pribram)
„	<i>Lotos</i>	1878	—		
<i>Arzruni u. Bärwald</i>	<i>Zeitschr. Kryst.</i>	1882	7	337	(Zus. Setzung u. Ax.-V
<i>Magel</i>	<i>Ber. Oberhess. Ges.</i>	1882	22	297	

*Bemerkungen* s. S. 258.

## 2.

Gdt.	Hauy. Haus- mann.	Mohs. Zippe. Hart- mann.	Nau- mann. Rumpf.	Miller.	Arzruni.	Miller.	Nau- mann.	Haus- mann.	[Mohs.] [Zippe.] [Hartm.]	Hauy.	Lévy.	Gdt.
m	M	M	M	m	m	110	$\infty P$	E	$P+\infty$	M	m	$\infty$
$\mu$	—	—	—	—	—	340	$\infty P \frac{4}{3}$	$BB' \frac{4}{3}$	—	—	—	$\infty \frac{4}{3}$
v	—	—	—	—	—	370	$\infty P \frac{7}{3}$	$BB' \frac{7}{3}$	—	—	—	$\infty \frac{7}{3}$
w	—	—	—	—	x	0116	$\frac{1}{16} P \infty$	—	—	—	—	$0 \frac{1}{16}$
y	—	—	—	—	r	018	$\frac{1}{8} P \infty$	—	—	—	—	$0 \frac{1}{8}$
p	—	—	—	—	—	015	$\frac{1}{5} P \infty$	$AB_5$	—	—	—	$0 \frac{1}{5}$
r	r	r	r	r	u	014	$\frac{1}{4} P \infty$	$AB_4$	$P_{r-1}$	$\frac{4}{E}$	$e^4$	$0 \frac{1}{2}$
w	—	—	—	—	—	027	$\frac{2}{7} P \infty$	$AB \frac{7}{2}$	—	—	—	$0 \frac{2}{7}$
q	—	—	q	—	t	013	$\frac{1}{3} P \infty$	—	—	—	—	$0 \frac{1}{3}$
s	z	s	n	s	n	012	$\frac{1}{2} P \infty$	$AB_2$	$P_r$	$\frac{2}{E}$	$e^2$	$0 \frac{1}{2}$
u	—	—	—	—	—	023	$\frac{2}{3} P \infty$	—	—	—	—	$0 \frac{2}{3}$
l	l	r'	l	l	q	011	$P \infty$	D	$P_{r+1}$	$\frac{1}{E}$	$e^1$	$0 \frac{1}{1}$
k	—	—	—	—	k	021	$2 P \infty$	—	—	—	—	$0 \frac{2}{2}$
t	—	—	—	t	—	031	$3 P \infty$	—	—	—	—	$0 \frac{3}{3}$
f	—	—	—	—	—	108	$\frac{1}{8} P \infty$	—	—	—	—	$\frac{1}{8} 0$
e	—	o	g	e	d	101	$P \infty$	$D'$	$P_{r+1}$	—	—	$1 \frac{0}{0}$
g	g	—	—	g	—	111	P	P	—	$\frac{1}{B}$	—	1
h	—	—	—	—	—	331	$3 P$	—	—	—	—	3
v	—	—	v	—	v	212	$\frac{1}{2} P \infty$	—	—	—	—	$1 \frac{1}{2}$
x	—	—	—	x	—	312	$\frac{3}{2} P \infty$	—	—	—	—	$\frac{3}{2} \frac{1}{2}$
i	—	—	—	—	—	321	$3 P \frac{3}{2}$	—	—	—	—	$3 \frac{2}{2}$

Bemerkungen.

Breithaupt's Plinian (Pogg. Ann. 1846. 69. 430) dürfte nach den Untersuchungen G. Rose (Pogg. Ann. 1849. 76. 84) nur als ein unregelmässig ausgebildeter Arsenkies sehen sein.

Arzruni und Bärwald geben für den Werth  $a$  des Axen-Verhältnisses die folgende Zusammenstellung, der ich die Angaben von Magel einfüge.

[Arseneisen] . . . . .	$a = 0.658$
Reichenstein . . . . .	$\text{„} = 0.6709$
Sangerhausen . . . . .	$\text{„} = 0.6705$
Hohenstein . . . . .	$\text{„} = 0.6772$
Ehrenfriedersdorf . . . . .	$\text{„} = 0.6781$
Auerbach (Mag.) . . . . .	$\text{„} = 0.6783$
„Plinian“ . . . . .	$\text{„} = 0.6796$
Sala . . . . .	$\text{„} = 0.6807$
Auerbach (Mag.) . . . . .	$\text{„} = 0.6818$
Joachimsthal . . . . .	$\text{„} = 0.6821$
Freiberg . . . . .	$\text{„} = 0.6828$
Binnenthal . . . . .	$\text{„} = 0.6896$
[Markasit] . . . . .	$\text{„} = 0.7524.$

Magel führt (Ber. Oberhess. Ges. 1882. 22. 300) noch eine Form  $0\frac{2}{3} = \frac{2}{3}\infty$  auf, die jedoch selbst als unsicher bezeichnet.



# Astrophyllit.

## Triklin.

### Axenverhältnisse.

$a : b : c = 0.2268 : 1 : 0.2908$   $\alpha \beta \gamma = 86^\circ 8' ; 90^\circ 27' ; 89^\circ 44'$  (Brögger. Gdt.)

$a_0 = 0.7799 ; b_0 = 3.4389$

$p_0 = 1.2793 ; q_0 = 0.2908$   $\lambda \mu \nu = 93^\circ 52' ; 89^\circ 32' ; 90^\circ 18'$

[Monoklin:  $a : b : c = 0.55 : 1 : 0.30$   $\beta = 115^\circ$ ] (Schrauf.)

{Rhombisch:  $a : b : c = 0.9346 : 1 : 2.4628$ } (Nordenskjöld.)

No.	Gdt.	Brögger.	Miller.	Naumann.	Gdt.
1	c	c	001	o P	o
2	b	b	010	$\infty \text{ } \bar{P} \infty$	o $\infty$
3	f	g'	021	$2, \bar{P} \infty$	o 2
4	g	g	021	$2' \bar{P}_1 \infty$	o 2
5	h	$l_1$	334	$\frac{3}{4} P'$	$\frac{3}{4}$
6	i	$\lambda_1$	778	$\frac{7}{8} P'$	$\frac{7}{8}$
7	k	$\lambda$	778	$\frac{7}{8} P$	$\frac{7}{8} \frac{7}{8}$
8	l	$i$	111	$P$	1 1
9	m	$x$	332	$\frac{3}{2} P$	$\frac{3}{2} \frac{3}{2}$
10	n	n	$\bar{5}58$	$\frac{5}{8} P$	$\frac{5}{8} \frac{5}{8}$
11	p	$l'$	334	$\frac{3}{4} P$	$\frac{3}{4} \frac{3}{4}$
12	q	$i'$	111	$P$	1 1
13	r	$l$	334	$\frac{3}{4} P_1$	$\frac{3}{4}$
14	s	$\lambda$	778	$\frac{7}{8} P_1$	$\frac{7}{8}$
15	t	$i$	111	$P_1$	1
16	u	$x$	332	$\frac{3}{2} P_1$	$\frac{3}{2}$

Literatur.

<i>Scheerer</i>	<i>Berg- u. Hütten-Ztg.</i>	1854	13	240
<i>Tschermak</i>	<i>Jahrb. Min.</i>	1863	—	550
<i>Scheerer</i>	<i>Pogg. Ann.</i>	1864	122	110
<i>Nordenskjöld</i>	<i>Stockh. Vet. Ak. Förh.</i>	1870	—	561
<i>Schrauf</i>	<i>Atlas</i>	1872	—	Taf. XXIV.
<i>König</i>	<i>Zeitschr. Kryst.</i>	1877	1	423
<i>Brögger</i>	<i>Zeitschr. Kryst.</i>	1878	2	278
<i>Lorenzen</i>	<i>Zeitschr. Kryst.</i>	1884	9	253

Bemerkungen.

Krystallsysteme und Elemente sind nach Brögger (*Zeitschr. Kryst.* 1878) wiedergegeben; doch entbehren diese Angaben, wie Brögger selbst sagt, noch der nöthigen Schärfe, wegen unvollkommener und unvollständiger Ausbildung der Krystalle. Es mussten die Messungen von wenig Winkeln an verschiedenen Krystallen zu einem Gesamtbild combinirt werden. Trotz Annahme trikliner Elemente und, im Verhältniss zu ihrer geringen Zahl und einfachen Vertheilung, complicirter Symbole sind die Differenzen zwischen Messung und Rechnung recht bedeutend. Auch finden sich in Bröggers Angaben einige Widersprüche. Seine Indices bei den Buchstaben  $\lambda$  l sind, wie auch Fig. 8 angibt, so zu verstehen, dass die Fläche  $c = oP = o$  in die Lage von  $\infty P \infty = \infty o$  gerückt erscheint. Durch diese Drehung (wenn die Gestalt des Buchstabens die des Krystalls widerbildet) verwandeln sich die Indices der Naumann'schen Zeichen in die von Brögger. Nur bei  $\lambda_1$  und  $l_1$  bleibt ein Widerspruch bestehen.

Hier dürften wohl die Naumann'schen und Miller'schen Zeichen zu ändern und zu schreiben sein:

$$\lambda_1 = \frac{2}{3} P^1 = \frac{7}{8} (778)$$

$$l_1 = \frac{3}{4} P^1 = \frac{3}{2} (334)$$

Derselbe Widerspruch besteht auf der folgenden Seite (286) bei den Winkelangaben.

S. 285 steht: Zeile 12 u. 13 vu  $\lambda = \frac{7}{8} P^1$  (778)

„ „ „ „ 8 „  $\lambda = \frac{7}{8} P^1$  (778)

„ 286 „ „ 17 vo  $\lambda : c = (778) : (001)$  beobachtet  $48^\circ 33'$  berechnet  $48^\circ 17'$

„ „ „ „ 15 vu  $\lambda_1 : c = (778) : (001)$  „  $48^\circ 13'$  „  $49^\circ 13'$

Jedenfalls bedürfen die Formen des Astrophyllit einer erneuten Durcharbeitung des Materials, wie es ja Brögger in Aussicht stellt.

Wegen der bestehenden Unsicherheit sind die Elemente nicht so vollständig angegeben, wie bei anderen Mineralien und die Transformation wurde weggelassen.

# Atakamit.

1.

## Rhombisch.

### Axenverhältnisse.

$$a : b : c = 0.8764 : 1 : 1.3253 \text{ (Gdt.)}$$

$$a : b : c = 0.882 : 1 : 1.333 \text{ (Lévy.)}$$

$$[a : b : c = 0.6703 : 1 : 0.7581] \text{ (Miller, Klein, Dana, Hausmann.)}$$

$$[ \quad \quad = 0.6650 : 1 : 0.7378 ] \text{ (Mohs-Zippe.)}$$

$$[ \quad \quad = 0.6619 : 1 : 0.7530 ] \text{ (Brögger, Groth.)}$$

$$[ \quad \quad = 0.6613 : 1 : 0.7545 ] \text{ (Zepharovich 1873.)}$$

$$[ \quad \quad = 0.6683 : 1 : 0.7506 ] \text{ (Zepharovich 1871.)}$$

$$\{ a : b : c = 0.8764 : 1 : 0.6626 \} \text{ (Schrauf.)}$$

$$(a : b : c = 1.760 : 1 : 2.662) \text{ (Brezina.)}$$

### Elemente.

0.8764	lg a = 994270	lg a <sub>0</sub> = 982038	lg p <sub>0</sub> = 017962	a <sub>0</sub> = 0.6613	p <sub>0</sub> = 1.5122
1.3253	lg c = 012232	lg b <sub>0</sub> = 987768	lg q <sub>0</sub> = 012232	b <sub>0</sub> = 0.7545	q <sub>0</sub> = 1.3253

### Transformation.

Hausm. Miller. Klein, Dana. Mohs-Zippe. Brögger, Groth. Zepharovich.	Schrauf.	Brezina.	Gdt. Lévy.
$\frac{p}{q} \frac{q}{q}$	$\frac{2p}{q} \frac{2}{q}$	$\frac{p}{q} \frac{1}{2q}$	$\frac{p}{q} \frac{1}{q}$
$\frac{p}{q} \frac{2}{q}$	$\frac{p}{q}$	$\frac{p}{2} \frac{q}{4}$	$\frac{p}{2} \frac{q}{2}$
$\frac{p}{2q} \frac{1}{2q}$	$2p \cdot 4q$	$\frac{p}{q}$	$p \cdot 2q$
$\frac{p}{q} \frac{1}{q}$	$2p \cdot 2q$	$\frac{p}{2} \frac{q}{2}$	$\frac{p}{q}$

Miller. Zepha- rovich.	Brögg.	Schrauf.	Klein.	Haus- mann.	Mohs- Zippe.	Miller.	Nau- mann.	[Haus- mann.]	[Mohs- Zippe.]	Lévy.	Gdt.
a	b	c	—	P	f	001	0 P	—	—	p	o
c	c	a	—	—	—	010	∞ P̄ ∞	B	P̄r + ∞	—	o ∞
b	—	—	—	—	P	100	∞ P̄ ∞	B'	P̄r + ∞	—	∞ o

(Fortsetzung S. 263.)

Literatur.

Lévy	Descr.	1838	3	47
Mohs-Zippe	Min.	1839	2	177
Hausmann	Handb.	1847	2	(2) 1463
Miller	Min.	1852	—	618
Klein	Jahrb. Min.	1869	—	347
"	Jahrb. Min.	1871	—	495
Zepharovich	Wien. Sitzb.	1871	63	(1) 6
"	Wien. Sitzb.	1873	68	(1) 120 (Süd-Australien)
Schrauf	Atlas	1872	—	Taf. XXIV
Dana, J. D.	System	1873	—	121
Dana, E. S.	Min. Mith.	1874	4	103
Brezina	Zeitschr. Kryst.	1879	3	377
Brögger	Zeitschr. Kryst.	1879	3	488
"	Jahrb. Min.	1880	2	Ref. 23 (Chile)
Rath	Zeitschr. Kryst.	1881	5	257 (Copiapo).

*Bemerkungen* s. Seite 264.

## 2.

No.	Gdt.	Miller. Zepha- rovich.	Brögg.	Schrauf.	Klein.	Haus- mann.	Mohs- Zippe.	Miller.	Nau- mann.	[Haus- mann.]	[Mohs.] [Zippe.]	Lévy.	Gdt.
4	h	—	d	—	—	—	—	210	$\infty \bar{P} 2$	—	—	—	2 $\infty$
5	u	u	u	M	—	—	c	110	$\infty P$	D'	$\bar{P} r$	—	$\infty$
6	g	g	—	—	—	—	—	013	$\frac{1}{3} \bar{P} \infty$	—	—	—	0 $\frac{1}{3}$
7	o	o	—	—	—	—	—	012	$\frac{1}{2} \bar{P} \infty$	—	—	e <sup>2</sup>	0 $\frac{1}{2}$
8	i	i	—	—	—	—	—	0-9-10	$\frac{9}{10} \bar{P} \infty$	—	—	—	0 $\frac{9}{10}$
9	e	e	e	e	n	e <sup>1</sup>	m	011	$\bar{P} \infty$	D	$\bar{P} r$	e <sup>1</sup>	0 1
10	d	d	—	—	—	—	—	032	$\frac{3}{2} \bar{P} \infty$	—	—	—	0 $\frac{3}{2}$
11	x	x	x	x	—	a <sup>4</sup>	—	104	$\frac{1}{4} \bar{P} \infty$	BB' <sub>4</sub>	—	a <sup>4</sup>	$\frac{1}{4}$ 0
12	k	k	—	—	—	—	—	103	$\frac{1}{3} \bar{P} \infty$	—	—	—	$\frac{1}{3}$ 0
13	s	s	s	s	l	a <sup>2</sup>	—	102	$\frac{1}{2} \bar{P} \infty$	BB' <sub>2</sub>	—	a <sup>2</sup>	$\frac{1}{2}$ 0
14	l	l	—	—	—	—	—	203	$\frac{2}{3} \bar{P} \infty$	—	—	—	$\frac{2}{3}$ 0
15	t	t	—	—	—	—	—	506	$\frac{5}{6} \bar{P} \infty$	—	—	—	$\frac{5}{6}$ 0
16	m	m	m	m	M	a <sup>1</sup>	a	101	$\bar{P} \infty$	E	P+ $\infty$	a <sup>1</sup>	1 0
17	n	n	n	p	—	—	—	112	$\frac{1}{2} P$	—	—	—	$\frac{1}{2}$
18	r	r	—	r	o	b <sup><math>\frac{1}{2}</math></sup>	e	111	P	P	P	b <sup><math>\frac{1}{2}</math></sup>	1
19	w	w	—	—	—	—	—	929	$\bar{P} \frac{2}{3}$	—	—	—	1 $\frac{2}{3}$
20	z	z	—	—	—	—	—	313	$\bar{P} 3$	—	—	—	1 $\frac{1}{3}$
21	q	q	—	q	—	—	—	212	$\bar{P} 2$	—	—	—	1 $\frac{1}{2}$
22	f	f	—	—	—	—	—	211	2 $\bar{P} 2$	—	—	—	2 1
23	y	y	—	—	—	—	—	312	$\frac{3}{2} \bar{P} 3$	—	—	—	$\frac{3}{2}$ $\frac{1}{2}$
24	v	v	—	v	—	—	—	726	$\frac{7}{6} \bar{P} \frac{1}{2}$	—	—	—	$\frac{7}{6}$ $\frac{1}{3}$



Bemerkungen.

Bei Mohs-Zippe sind die Winkel und die Wurzelwerthe für die Grundform nicht in Uebereinstimmung. Die Original-Angaben von Phillips konnte ich nicht auffinden. Wahrscheinlich sind die Wurzelwerthe die richtigen. Sie würden entsprechen (nach der üblichen Schreibweise) dem Axenverhältniss:

$$\tilde{a} : \tilde{b} : \tilde{c} = 0.6650 : 1 : 0.7378$$

und die Winkel erfordern:  $P = 127^{\circ}19; 96^{\circ}18; 106^{\circ}4$

statt:  $P = 94^{\circ}35; 127^{\circ}23; 106^{\circ}9.$

Dann wäre Uebereinstimmung erzielt mit zwei von den drei weiteren Winkel-Angaben von Zippe:  $Pr (m) = 107^{\circ}10; P + \infty (a) = 67^{\circ}15.$  Dagegen müsste es heissen:

$$Pr (c) = 95^{\circ}56 \text{ statt } 101^{\circ}23.$$

Atelestit.

Monoklin.

Axenverhältnisse.

$a : b : c = 1.822 : 1 : 0.869 \quad \beta = 110^{\circ}30 \text{ (Gdt.)}$   
 $[a : b : c = 0.869 : 1 : 1.822 \quad \beta = 110^{\circ}30] \text{ (Rath. Schrauf.)}$

Elemente.

a = 1.822	lg a = 026055	lg a <sub>0</sub> = 032153	lg p <sub>0</sub> = 967847	a <sub>0</sub> = 2.0967	p <sub>0</sub> = 0.4769
c = 0.869	lg c = 993902	lg b <sub>0</sub> = 006098	lg q <sub>0</sub> = 991061	b <sub>0</sub> = 1.1507	q <sub>0</sub> = 0.8140
$\mu = \left. \begin{matrix} 69^{\circ}30 \\ 180 - \beta \end{matrix} \right\}$	$\left. \begin{matrix} \lg h = \\ \lg \sin \mu \end{matrix} \right\} 997159$	$\left. \begin{matrix} \lg e = \\ \lg \cos \mu \end{matrix} \right\} 954433$	$\left. \begin{matrix} \lg p_0 = 976786 \\ \lg q_0 \end{matrix} \right\}$	h = 0.9367	e = 0.3502

Transformation.

Schrauf. Rath.	Gdt.
p q	$\frac{1}{p} \frac{q}{p}$
$\frac{1}{p} \frac{q}{p}$	p q

No.	Schrauf. Rath. Gdt.	Miller.	Naumann.	Gdt.
1	a	001	o P	o
2	b	010	$\infty P \infty$	$0 \infty$
3	m	011	$P \infty$	0 1
4	p	502	$-\frac{1}{2} P \infty$	$+\frac{1}{2} o$
5	o	111	+ P	- 1

Literatur.

<i>Rath</i>	<i>Pogg. Ann.</i>	1869	<b>136</b>	422
<i>Schrauf</i>	<i>Atlas</i>	1872	—	Taf. XXIV.

**Atopit.****Regulär.**

No.	Gdt.	Miller.	Naumann.	G <sub>1</sub>	G <sub>2</sub>	G <sub>3</sub>
1	c	100	$\infty O \infty$	o	$o \infty$	$\infty o$
2	d	101	$\infty O$	1 o	$o 1$	$\infty$
3	p	111	O	1	1	1

Literatur.

*Nordenskjöld Zeitschr. Kryst.* 1878 **2** 305 (Langban).



**Axinit.**

1.

**Triklin.****Axenverhältnisse.**

$a : b : c = 0.7996 : 1 : 1.0235$   $\alpha\beta\gamma = 91^\circ 49' ; 102^\circ 38' ; 82^\circ 1'$  (Aufstellung Gdt. mit Miller's Elementarwerthen.)

$a : b : c = 0.8001 : 1 : 1.0258$   $\alpha\beta\gamma = 91^\circ 51' ; 102^\circ 52' ; 81^\circ 57'$  (Aufstellung Gdt. mit Rath's Elementarwerthen.)

$[a : b : c = 0.7812 : 1 : 0.9771$   $\alpha\beta\gamma = 91^\circ 49' ; 82^\circ 1' ; 102^\circ 38']$  (Miller.)

$(a : b : c = 0.6410 : 1 : 0.3125$   $\alpha\beta\gamma = 81^\circ 57' ; 91^\circ 51' ; 102^\circ 52')$  (Frazier.)

$\{a : b : c = 1.1554 : 1 : 0.8641$   $\alpha\beta\gamma = 96^\circ 57' ; 98^\circ 52' ; 103^\circ 2'\}$  (Schrauf.)

$[(a : b : c = 0.6393 : 1 : 0.5126$   $\alpha\beta\gamma = 95^\circ 32' ; 96^\circ 16' ; 104^\circ 2')]$  (Rath.)

$\{(a : b : c = 0.4927 : 1 : 0.4511$   $\alpha\beta\gamma = 82^\circ 54' ; 88^\circ 9' ; 131^\circ 33')\}$  (Dana. Groth.)

$((a : b : c = 1.020 : 1 : 0.143$   $\alpha\beta\gamma = 90^\circ ; 90^\circ ; 90^\circ))$  (Neumann.)

**Elemente der Linear-Projection.**

$a = 0.7996$	$a_0 = 0.7812$	$\alpha = 91^\circ 49'$	$x'_0 = 0.2164$	$d' = -0.2185$
$b = 1$	$b_0 = 0.9770$	$\beta = 102^\circ 38'$	$y'_0 = 0.0317$	$\delta' = 81^\circ 40'$
$c = 1.0235$	$c_0 = 1$	$\gamma = 82^\circ 01'$	$k = 0.9758$	

**Elemente der Polar-Projection.**

$p_0 = 1.2919$	$\lambda = 89^\circ 55'$	$x_0 = 0.2186$	$d = 0.2185$
$q_0 = 1.0085$	$\mu = 77^\circ 30'$	$y_0 = -0.0015$	$\delta = 89^\circ 37'$
$r_0 = 1$	$\nu = 97^\circ 46'$	$h = 0.9759$	

**Transformation.**

(Siehe umstehend S. 272 a.)

No.	Hessen- berg. Schrauf. Gdt.	Dana. Rath.	Miller.	Neu- mann.	Mohs- Zippe. Haus- mann.	Miller.	Naumann.	[Hausm.]	[Mohs.] [Zippe.]	[Lévy.] [Descl.]	Gdt.
1	c	P	p	P	P	001	o P	E'	rP+ $\infty$	m	o
2	m	m	m	M	M	010	$\infty \bar{P} \infty$	E	lP+ $\infty$	c'	o $\infty$
3	M	v	v	v	T	100	$\infty \bar{P} \infty$	A	P- $\infty$	g'	$\infty$ o
4	a	y	y	y	t'	110	$\infty P^1$	P <sup>11</sup>	-lP	$\gamma (i_2)$	$\infty$
5	f	f	t	—	—	120	$\infty \bar{P}^1 2$	—	—	$\beta$	$\infty$ 2
6	g	g	—	—	—	130	$\infty \bar{P}^1 3$	—	—	—	$\infty$ 3
7	$\mu$	—	—	—	—	210	$\infty^1 P^1 2$	—	—	—	2 $\infty$
8	b	b	—	—	—	110	$\infty^1 P$	—	—	—	$\infty$ $\infty$
9	z	z	z	—	z	021	2 $\bar{P}^1 \infty$	$\bar{B}B^1_3$	l(P+ $\infty$ ) <sup>3</sup>	c <sup>2</sup>	o 2

(Fortsetzung S. 273.)

Literatur.

Mohs	Grundr.	1824	2	613
Hartmann	Handarb.	1828	—	477
Lévy	Descri.	1838	3	281
Mohs-Zippe	Min.	1830	2	581
Hausmann	Handb.	1847	2	(1) 153
Miller	Min.	1852	—	176
Dana	System	1873	—	27
Groth	Tab. Uebers.	1882	—	14
Krenner	Zeitschr. Kryst.	1885	10	90.

Bemerkungen.

Aus dieser Aufstellung ist die Isomorphie mit Antimonglanz nicht ersichtlich musste sie gewählt werden, da in ihr die Symbole die einfachsten sind.

Correcturen.

Mohs	Grundr.	1824	2	S. 613	Z. 11 vu	} lies 1 :   2·2 :   0·8 statt 1 :   0·8
Hartmann	Handarb.	1828	—	478	204 10vo	
Mohs-Zippe	Min.	1830	2	581	10 —	
Hausmann	Handb.	1847	—	478	13 —	P —
Hausmann	Handb.	1847	2(1)	153	2 vu	P (P Mohs) — P (p)
Miller	Min.	1852	—	176	11 vo	34 2 — 33
"	"	"	"	"	"	58 54·5 — 50
Dana, J. D.	System	1873	—	28	1 —	jedesmal: 1—2 — 2
"	"	"	"	"	Fig. 65	12 —

# Axenverhältniss.

$b : c = 0.7996 : 1 : 1.0235$   $\alpha\beta\gamma = 91^\circ 49' ; 102^\circ 38' ; 82^\circ 1'$  (Aufstellung Gdt. mit Miller's Elementarwerthen.)

$b : c = 0.8001 : 1 : 1.0258$   $\alpha\beta\gamma = 91^\circ 51' ; 102^\circ 52' ; 81^\circ 57'$  (Aufstellung Gdt. mit Rath's Elementarwerthen.)

$[a : b : c = 0.7812 : 1 : 0.9771$   $\alpha\beta\gamma = 91^\circ 49' ; 82^\circ 1' ; 102^\circ 38']$  (Miller.)

$(a : b : c = 0.6410 : 1 : 0.3125$   $\alpha\beta\gamma = 81^\circ 57' ; 91^\circ 51' ; 102^\circ 52')$  (Frazier.)

$\{a : b : c = 1.1554 : 1 : 0.8641$   $\alpha\beta\gamma = 96^\circ 57' ; 98^\circ 52' ; 103^\circ 2'\}$  (Schrauf.)

$[(a : b : c = 0.6393 : 1 : 0.5126$   $\alpha\beta\gamma = 95^\circ 32' ; 96^\circ 16' ; 104^\circ 2')]$  (Rath.)

$\{(a : b : c = 0.4927 : 1 : 0.4511$   $\alpha\beta\gamma = 82^\circ 54' ; 88^\circ 9' ; 131^\circ 33')\}$  (Dana. Groth.)

$((a : b : c = 1.020 : 1 : 0.143$   $\alpha\beta\gamma = 90^\circ ; 90^\circ ; 90^\circ))$  (Neumann.)

## Elemente der Linear-Projection.

$a = 0.7996$	$a_0 = 0.7812$	$\alpha = 91^\circ 49'$	$x'_0 = 0.2164$	$d' = -0.2185$
$b = 1$	$b_0 = 0.9770$	$\beta = 102^\circ 38'$	$y'_0 = 0.0317$	$\delta' = 81^\circ 40'$
$c = 1.0235$	$c_0 = 1$	$\gamma = 82^\circ 01'$	$k = 0.9758$	

## Elemente der Polar-Projection.

$p_0 = 1.2919$	$\lambda = 89^\circ 55'$	$x_0 = 0.2186$	$d = 0.2185$
$q_0 = 1.0085$	$\mu = 77^\circ 30'$	$y_0 = -0.0015$	$\delta = 89^\circ 37'$
$r_0 = 1$	$\nu = 97^\circ 46'$	$h = 0.9759$	

## Transformation.

(Siehe umstehend S. 272 a.)

No.	Hessen- berg. Schrauf. Gdt.	Dana. Rath.	Miller.	Neu- mann.	Mohs- Zippe. Haus- mann.	Miller.	Naumann.	[Hausm.]	[Mohs.] [Zippe.]	[Lévy.] [Descl.]	Gdt.
1	c	P	p	P	P	001	0 P	E'	$rP + \infty$	m	0
2	m	m	m	M	M	010	$\infty P \infty$	E	$lP + \infty$	c'	$0 \infty$
3	M	v	v	v	T	100	$\infty P \infty$	A	$P - \infty$	g'	$\infty 0$
4	a	y	y	y	t'	110	$\infty P''$	$P''$	$-lP$	$\gamma (i_2)$	$\infty$
5	f	f	t	—	—	120	$\infty P' 2$	—	—	$\beta$	$\infty 2$
6	g	g	—	—	—	130	$\infty P' 3$	—	—	—	$\infty 3$
7	$\mu$	—	—	—	—	210	$\infty P' 2$	—	—	—	$2 \infty$
8	b	b	—	—	—	110	$\infty P$	—	—	—	$\infty \infty$
9	z	z	z	—	z	021	$2 P' \infty$	$\frac{+}{BB' 3}$	$l(P + \infty)^3$	c <sup>2</sup>	$0 2$

(Fortsetzung S. 273.)

Literatur.

Haüy	Traité Min.	1822	2	559
Mohs	Grundr.	1824	2	393
Neumann	Pogg. Ann.	1825	4	63 (Rath Pogg. Ann. 1866 128. 255.)
Hartmann	Handb.	1828	—	51
Lévy	Descr.	1838	2	106
Mohs-Zippe	Min.	1839	2	377
Hausmann	Handb.	1847	2	(2) 925
Miller	Min.	1852	—	348
Des Cloizeaux	Manuel	1862	1	515
Hessenberg	Senck. Abh.	1863	4	207 (Min. Not. 5. 27).
Rath	Pogg. Ann.	1866	128	20 u. 227
Schrauf	Wien. Sitzb.	1870	62	(2) 712
"	Wien. Sitzb.	1872	65	(1) 241
"	Atlas	1872	—	Taf. XXV
Hessenberg	Senck. Abh.	1872	8	436 (Min. Not. N. F. 8. 30)
Websky	Min. Mith.	1872	2	1
Dana	System	1873	—	297
Schmidt	Zeitschr. Kryst.	1882	6	98
Frazier	Zeitschr. Kryst.	1884	9	81 (Ref. E. S. Dana).

Bemerkungen.

Das von G. v. Rath für  $\gamma$  aufgestellte Symbol ( $\frac{1}{12}a' : \frac{1}{12}b : \frac{1}{6}c$ ) =  $\frac{11}{18} \frac{11}{10}$  unserer stellung wird von dem Autor selbst als unsicher bezeichnet (Pogg. Ann. 1866. 128. 245). wurde deshalb in den Index nicht aufgenommen.

Die von Lévy angeführte und in den Figuren 8. 11. 13. 16. 18. 19 Taf. 35 u. Figuren 20. 21. 22. 24. dargestellte Form  $i^2$  kann nach ihrer Lage dies Symbol nicht haben. Es ist vielmehr identisch mit Des Cloizeaux  $\gamma$  Schraufs  $a$  und hätte das Symbol zu führen  $c' f \frac{1}{2} g'$ . Im Text steht richtig  $i_2$  ausser Seite 109 Zeile 1. So ist auch in den Figuren und 24 Tafel 36 zu lesen:  $i_3$  statt  $i^3$ .

Die von Frazier neuerdings vorgeschlagene Aufstellung des Axinit empfiehlt nicht, denn:

1. führt sie zu Symbolen die einer Vereinfachung fähig sind,
2. wird der Zweck der Darlegung einer Aehnlichkeit mit dem Datolith nicht erreicht, denn Aehnlichkeit der Axeneinheiten bei starker Differenz der Axen-Winkel ist zum Nachweis einer Homöomorphie unzureichend. Auch aus der chemischen Zusammensetzung, sowie sie uns bekannt ist, lässt sich auf eine Homöomorphie nicht schliessen.

Auf letzteren Punkt hat auch Dana in seinem Referat (Zeitschr. Kryst. 1884. 9. 85) hingewiesen.

Die folgende, auf Seite 274 u. 275 als „Beilage“ bezeichnete Tabelle giebt eine Zusammenstellung der Buchstabenzeichen, oder bei Abwesenheit solcher die Symbole der verschiedenen Autoren zum Theil mit direkter Umwandlung in unsere Schreibweise. Diese Tabelle erscheint vortheilhaft, um bei der Identification oder Controle der Symbole die zum Theil etwas complicirte Umwandlung zu ersparen, oder wenn neu durchgeführt, zu unterstützen. Sowie sie dem Axinit gute Dienste geleistet hat, wird sie wohl auch Anderen willkommen sein.

*Correcturen* s. Seite 276.

	Neumann.	Hausmann. Mohs. Zippe.	Gdt.
	$(1-9p) (7q+2p)$	$\frac{q-1}{p} \quad \frac{q+1}{p}$	$\frac{p}{q} \quad \frac{1}{q}$
	$\frac{7q+2p}{4} \quad \frac{1-9p}{2}$	$\frac{2p-4}{q} \quad \frac{2p+4}{q}$	$\frac{q}{2p} \quad \frac{2}{p}$
	$\frac{-8p-10q}{p-q} \quad \frac{14+2p+2q}{p-q}$	$\frac{2-p+q}{p+q} \quad \frac{2+p-q}{p+q}$	$\frac{p+q}{2} \quad \frac{p-q}{2}$
	$\frac{-8-10q}{1-q} \quad \frac{14p+2+2q}{1-q}$	$\frac{2p-1+q}{1+q} \quad \frac{2p+1-q}{1+q}$	$\frac{1+q}{2p} \quad \frac{1-q}{2p}$
	$(1-9p-9q) (7+16p+2q)$	$\frac{2p}{p+q} \quad \frac{2p+2}{p+q}$	$\frac{p+q}{2p+1} \quad \frac{1}{2p+1}$
	$\frac{16+8p+10q}{q-2-p} \quad \frac{10-16p-2q}{q-2-p}$	$\frac{p-4+q}{p+2+q} \quad \frac{3p-q}{p+2+q}$	$\frac{p+2+q}{2p-2} \quad \frac{p+2-q}{2p-2}$
	$\frac{2-9p-9q}{2} \quad (8p+q)$	$\frac{2p-2}{p+q} \quad \frac{2p+2}{p+q}$	$\frac{p+q}{2p} \quad \frac{1}{p}$
pq	pq	$\frac{9q+2p-65}{7(1-p)} \quad \frac{9q+2p+61}{7(1-p)}$	$\frac{7(1-p)}{9q+2p-2} \quad \frac{63}{9q+2p-2}$
	$\frac{q-p-18}{q-p} \quad \frac{7q+7p+4}{q-p}$	pq	$\frac{2}{q+p} \quad \frac{q-p}{q+p}$
	$\frac{q-9p}{q} \quad \frac{7+2p}{q}$	$\frac{1-q}{p} \quad \frac{1+q}{p}$	pq









## 2.

Hessen- berg. Schrauf. Gdt.	Dana. Rath.	Miller.	Neu- mann.	Mohs- Zippe. Haus- mann.	Miller.	Naumann.	[Hausm.]	[Mohs.] [Zippe.]	[Lévy.] [Descl.]	Gdt.
L	—	—	—	—	054	$\frac{1}{2}P_{\infty}$	—	—	$c^3$	$o \frac{1}{2}$
r	r	r	r	r	011	$P_{\infty}$	B	—	p	$o \frac{1}{2}$
$\pi$	—	—	—	—	012	$\frac{1}{2}P_{\infty}$	—	—	—	$o \frac{1}{2}$
$\varphi$	—	—	—	—	013	$\frac{1}{3}P_{\infty}$	—	—	—	$o \frac{1}{3}$
e	e	e	r'	f	011	$P_{\infty}$	B'	$\bar{P}r + \infty$	$c^{\frac{1}{2}}$	$o \frac{1}{2}$
u	u	u	u	u	101	$P_{\infty}$	P'	rP	t	$1 \frac{1}{2}$
$\gamma$	$h^2$	—	—	—	9-0-11	$\frac{1}{11}P_{\infty}$	—	—	$h^2$	$\frac{9}{11} o$
a	a	—	—	—	304	$\frac{1}{2}P_{\infty}$	—	—	—	$\frac{3}{2} o$
H	$h^2$	—	—	—	203	$\frac{2}{3}P_{\infty}$	—	—	$h^2$	$\frac{2}{3} o$
$\beta$	$\beta$	—	—	—	305	$\frac{1}{3}P_{\infty}$	—	—	—	$\frac{2}{3} o$
l	l	l	l	l	102	$\frac{1}{2}P_{\infty}$	$E'A\frac{1}{2}$	$rP + 1$	$h^1$	$\frac{1}{2} o$
h	h	—	—	—	103	$\frac{1}{3}P_{\infty}$	—	—	—	$\frac{1}{3} o$
w	w	w	w	t	101	$P_{\infty}$	$P'''$	$-rP$	$2g$	$1 \frac{1}{2} o$
x	x	x	x	x	111	P'	$BA\frac{1}{2}$	$r\bar{P}r + 1$	$i^1$	$1$
s	s	s	s	s	112	$\frac{1}{2}P'$	$BD\frac{1}{3}$	$r(P)^3$	$f^1$	$\frac{1}{2}$
i	i	i	$\sigma$	—	113	$\frac{1}{3}P'$	—	—	$o^1$	$\frac{1}{3}$
$\sigma$	—	—	—	—	112	$\frac{1}{2}P'$	—	—	—	$\frac{1}{2}$
Y	c	c	c	y	111	P'	$B'A\frac{1}{2}$	$-Pr + 1$	z	$1$
d	d	—	—	—	112	$\frac{1}{2}P$	—	—	—	$\frac{1}{2} \frac{1}{2}$
n	n	n	n	n	111	P	$BA\frac{1}{2}$	$l\bar{P}r + 1$	$e^1$	$1 \frac{1}{2}$
$\delta$	$\delta$	—	—	—	121	$2P_2$	—	—	—	$1 \frac{1}{2}$
x	x	—	—	—	212	$P_2$	—	—	—	$1 \frac{1}{2}$
o	o	o	o	—	121	$2P_2$	—	—	$x(i_3)$	$1 \frac{1}{2}$
$\psi$	—	—	—	—	131	$3P_3$	—	—	—	$1 \frac{1}{3}$
v	—	—	—	—	211	$2P_2$	—	—	—	$2 \frac{1}{2}$
q	q	—	m	v	211	$2P_2$	D'	$-Pr$	$\delta$	$2 \frac{1}{2}$
$\gamma$	$\gamma$	—	—	—	251	$5P_{\frac{5}{2}}$	—	—	—	$2 \frac{5}{2}$
$\theta$	$\theta$	—	—	—	321	$3P_{\frac{3}{2}}$	—	—	—	$3 \frac{2}{2}$
$\xi$	—	—	—	—	136	$\frac{1}{2}P_3$	—	—	—	$\frac{1}{2} \frac{1}{2}$
$\epsilon$	—	—	—	—	123	$\frac{2}{3}P_2$	—	—	—	$\frac{2}{3} \frac{1}{2}$
t	t	—	—	—	213	$\frac{2}{3}P_2$	—	—	—	$\frac{2}{3} \frac{1}{2}$
p	—	—	—	—	213	$\frac{2}{3}P_2$	—	—	—	$\frac{2}{3} \frac{1}{2}$
$\tau$	—	—	—	—	138	$\frac{3}{8}P_3$	—	—	—	$\frac{3}{8} \frac{3}{8}$

## Axinit. (Beilage.)

(Die in Parenthesen befindlichen Formen finden sich bei den betreffenden Autoren nicht.)

Schrauf.	Rath.	Lévy. Des Cloiseaux.	Miller.	Schrauf.	Hessen- berg.	Dana.	Neumann.	Mohs. Zippe. Hausmann.	Frazier.	Gdt.
a	∞0	$\gamma(1_2)$	y 10	∞P∞	oP	y 02	y 82	t' 11	y 04	∞
b	∞∞	—	— (10)	∞P∞	∞P∞	b 02	— (10-2)	—	b 04	∞∞
c	0	m ∞∞	p ∞∞	oP	∞P∞	p ∞∞	p ∞∞	p ∞	p ∞0	0
M	∞	g' ∞∞	v ∞0	∞P'	P'∞	v ∞∞	v $\frac{2}{3}$ ∞	T 0	v ∞∞	∞0
m	∞∞	c' $\frac{1}{2}$	m 0	∞P'	P'∞	m 0	M 10	M ∞∞	m 0	0∞
f	3∞	β $\frac{1}{2}$	t $\frac{1}{2}$ 0	∞P'3	$\frac{1}{2}$ P'∞	f 01	— ( $\frac{7}{2}$ 1)	—	f 02	∞2
g	2∞	—	— ( $\frac{1}{2}$ 0)	—	$\frac{1}{2}$ P'∞	g 0 $\frac{1}{2}$	— ( $\frac{1}{2}$ $\frac{1}{2}$ )	—	g 0 $\frac{1}{2}$	∞3
d	01	—	— ( $\frac{1}{2}$ $\frac{1}{2}$ )	P'∞	∞P'	d 24	— (10-12)	—	d 44	$\frac{1}{2}$ $\frac{1}{2}$
n	02	c' 01	n 11	2P'∞	∞P'2	n 13	n 105	n 02	n 24	11
i	$\frac{3}{2}$ 0	0 10	i 13	—	$\frac{3}{2}$ P'∞	i 31	σ 8-23	—	i 64	$\frac{1}{2}$
s	10	f' $\frac{1}{2}$	s 12	P'∞	P'∞	s 20	s 8-16	s 13	s 4	$\frac{1}{2}$
x	20	i' 01	x 1	2P'∞	$\frac{1}{2}$ P'∞	x 1	x 80	x 02	x 24	1
σ	10	— ( $\frac{1}{2}$ 0)	— (12)	P'∞	P'∞	— (24)	—	—	σ 44	$\frac{1}{2}$
Y	20	z(1 <sub>3</sub> ) 12	c 11	2P'∞	$\frac{1}{2}$ P'∞	c 13	c 85	y 20	c 24	1
u	1	t ∞	u ∞	P'	P'	u ∞	u ∞∞	u 1	u ∞2	10
r	11	p 0	r 01	P'	P'	r 11	r 17	r ∞∞	r 20	01
w	1	$\frac{2}{3}$ g' ∞3	w ∞∞	P <sub>1</sub>	P <sub>1</sub>	w ∞3	w $\frac{1}{2}$ ∞	t 1	w ∞2	10
e	11	c' $\frac{1}{2}$	c 01	P <sub>1</sub>	P <sub>1</sub>	c 11	t' 17	f ∞0	c 20	01
l	$\frac{1}{2}$	h' ∞0	l ∞2	$\frac{1}{2}$ P'	P' $\frac{1}{2}$	l ∞0	l ∞ $\frac{1}{2}$	l 2	l ∞	$\frac{1}{2}$ 0



Schrauf.	Rath.	Levy. Des Cloiseaux.	Miller.	Schrauf.	Hessen- berg.	Dana.	Neumann.	Zippe. Hausmann.	Frazier.	Gdt.
$\beta$	$\frac{1}{2} \frac{1}{2} \frac{1}{2}$	—	(500)	—	$\frac{1}{2} \frac{1}{2} \frac{1}{2}$	$\beta$	500	—	$\beta$	$\infty \frac{1}{2}$
$\alpha$	$\frac{1}{2} \frac{1}{2} \frac{1}{2}$	—	(200)	—	$\frac{1}{2} \frac{1}{2} \frac{1}{2}$	—	(200)	—	$\alpha$	$\infty \frac{1}{2}$
K	$\frac{1}{2} \frac{1}{2} \frac{1}{2}$	$\frac{1}{2} \frac{1}{2} \frac{1}{2}$	(200)	—	$\frac{1}{2} \frac{1}{2} \frac{1}{2}$	—	(200)	—	$\frac{1}{2} \frac{1}{2} \frac{1}{2}$	$\frac{1}{2} \frac{1}{2} \frac{1}{2}$
$\pi$	$\frac{1}{2} \frac{1}{2} \frac{1}{2}$	—	(53)	—	$\frac{1}{2} \frac{1}{2} \frac{1}{2}$	—	(22)	—	$\pi$	40
z	$\frac{1}{2} \frac{1}{2} \frac{1}{2}$	$\frac{1}{2} \frac{1}{2} \frac{1}{2}$	$\frac{1}{2} \frac{1}{2} \frac{1}{2}$	$\frac{1}{2} \frac{1}{2} \frac{1}{2}$	$\frac{1}{2} \frac{1}{2} \frac{1}{2}$	z	$\frac{1}{2} \frac{1}{2} \frac{1}{2}$	z	10	02
L	$\frac{1}{2} \frac{1}{2} \frac{1}{2}$	$\frac{1}{2} \frac{1}{2} \frac{1}{2}$	(04)	—	$\frac{1}{2} \frac{1}{2} \frac{1}{2}$	—	(44)	—	L	80
$\xi$	$\frac{1}{2} \frac{1}{2} \frac{1}{2}$	—	(52)	—	$\frac{1}{2} \frac{1}{2} \frac{1}{2}$	—	(24)	—	$\xi$	48
$\tau$	$\frac{1}{2} \frac{1}{2} \frac{1}{2}$	—	(58)	—	$\frac{1}{2} \frac{1}{2} \frac{1}{2}$	—	(84)	—	$\tau$	$\frac{1}{2} \frac{1}{2} \frac{1}{2}$
$\delta$	$\frac{1}{2} \frac{1}{2} \frac{1}{2}$	—	(52)	$\frac{1}{2} \frac{1}{2} \frac{1}{2}$	$\frac{1}{2} \frac{1}{2} \frac{1}{2}$	$\delta$	$\frac{1}{2} \frac{1}{2} \frac{1}{2}$	—	$\delta$	12
$\kappa$	$\frac{1}{2} \frac{1}{2} \frac{1}{2}$	—	(22)	—	$\frac{1}{2} \frac{1}{2} \frac{1}{2}$	k	26	—	k	48
t	$\frac{1}{2} \frac{1}{2} \frac{1}{2}$	—	(23)	$\frac{1}{2} \frac{1}{2} \frac{1}{2}$	$\frac{1}{2} \frac{1}{2} \frac{1}{2}$	t	37	—	t	68
$\theta$	$\frac{1}{2} \frac{1}{2} \frac{1}{2}$	—	(52)	—	$\frac{1}{2} \frac{1}{2} \frac{1}{2}$	—	(44)	—	$\theta$	16
$\eta$	$\frac{1}{2} \frac{1}{2} \frac{1}{2}$	—	—	—	$\frac{1}{2} \frac{1}{2} \frac{1}{2}$	—	—	—	—	—
q	$\frac{1}{2} \frac{1}{2} \frac{1}{2}$	$\frac{1}{2} \frac{1}{2} \frac{1}{2}$	q	21	$\frac{1}{2} \frac{1}{2} \frac{1}{2}$	q	15	m	q	28
o	$\frac{1}{2} \frac{1}{2} \frac{1}{2}$	$\frac{1}{2} \frac{1}{2} \frac{1}{2}$	o	$\frac{1}{2} \frac{1}{2} \frac{1}{2}$	$\frac{1}{2} \frac{1}{2} \frac{1}{2}$	o	$\frac{1}{2} \frac{1}{2} \frac{1}{2}$	—	o	12
p	$\frac{1}{2} \frac{1}{2} \frac{1}{2}$	—	(23)	—	$\frac{1}{2} \frac{1}{2} \frac{1}{2}$	—	(37)	—	p	68
$\psi$	$\frac{1}{2} \frac{1}{2} \frac{1}{2}$	—	(51)	$\frac{1}{2} \frac{1}{2} \frac{1}{2}$	$\frac{1}{2} \frac{1}{2} \frac{1}{2}$	—	(51)	—	$\psi$	$\frac{1}{2} \frac{1}{2} \frac{1}{2}$
$\zeta$	$\frac{1}{2} \frac{1}{2} \frac{1}{2}$	—	(51)	—	—	—	(51)	—	$\zeta$	$\frac{1}{2} \frac{1}{2} \frac{1}{2}$
$\varphi$	$\frac{1}{2} \frac{1}{2} \frac{1}{2}$	—	(11)	—	$\frac{1}{2} \frac{1}{2} \frac{1}{2}$	—	(33)	—	$\varphi$	60
$\mu$	$\frac{1}{2} \frac{1}{2} \frac{1}{2}$	—	(52)	—	$\frac{1}{2} \frac{1}{2} \frac{1}{2}$	—	(04)	—	$\mu$	$\infty \frac{1}{2}$
$\epsilon$	$\frac{1}{2} \frac{1}{2} \frac{1}{2}$	—	(52)	—	$\frac{1}{2} \frac{1}{2} \frac{1}{2}$	—	(52)	—	$\epsilon$	32
$\nu$	$\frac{1}{2} \frac{1}{2} \frac{1}{2}$	—	(02)	—	$\frac{1}{2} \frac{1}{2} \frac{1}{2}$	—	(13)	—	$\nu$	28

Correcturen.

<i>Hartmann Handb.</i>	1828	9	Seite	52	Zeile	7 vo	lies $+\frac{3}{2}Pr+2$	statt $\frac{3}{2}Pr+2$
<i>Lévy Descr.</i>	1838	2	"	109	"	1 vo	} lies $i_2$ statt $i_2$	
"	"	"	Atlas Taf.	35 u. 36	Fig. 8, 11, 13, 16, 18,	19, 20, 21, 22, 24.		
"	"	"	Atlas Taf.	36	Fig. 23 u. 24			
<i>Mohs-Zippe Min.</i>	1839	2	Seite	378	Zeile	2 vo	lies $\begin{pmatrix} x \\ n \end{pmatrix}$	$\begin{pmatrix} x \\ u \end{pmatrix}$
<i>Hausmann Handb.</i>	1847	2 (2)	"	927	"	5 vo	$\bar{B}'A\frac{1}{2}(y)$	$BA\frac{1}{2}(y)$
<i>Schrauf Wien. Sitzb.</i>	1870	62 (2)	"	717	"	2 vu	$\bar{7}31$	$731$
"	"	"	"	"	"	"	598	598
"	"	"	"	"	"	20 vu	861	861
"	"	"	"	"	"	17 vu	$31\cdot27\cdot2$	$16\cdot14\cdot1$
"	"	"	"	"	"	15 vu	461	461
<i>Hessenberg Senck. Abh.</i>	1872	8	"	441	"	4 vu	$\bar{7}31$	$\bar{7}21$
"	"	"	"	"	"	"	$\frac{3}{2}P_1, 3$	$\frac{4}{3}P_2$
"	"	"	"	"	"	"	$7a':\frac{7}{3}b':c$	$7a':\frac{7}{3}b':c$
<i>Dana System</i>	1873	"	"	298	"	1 vo	$z=\frac{1}{2}$	$z=\frac{1}{2}$
"	"	"	"	"	"	3 vo	$i=3-3'$	$i=-3-\frac{1}{2}$
"	"	"	"	"	"	7 vo	$t=7-\frac{1}{3}$	$t=7-\frac{1}{2}$
"	"	"	"	"	"	8 vo	$h^2=i-3$	$h^2=2-\frac{1}{3}$
<i>Websky Berl. Monatsb.</i>	1881	"	"	159	"	11 vu	CXXXVIII S. 30	CXXII S. 3
"	<i>Zeitschr. Kryst.</i>	1882	6	"	8	9 vo	128-20	122 371
<i>Frazier Zeitschr. Kryst.</i>	1885	9	"	83	"	9 vo	$a$	$a$
"	"	"	"	"	"	11 vu	$I\cdot15\cdot2$	321
"	"	"	"	"	"	12 vu	598	332

**Azorit.****Tetragonal.****Axenverhältniss.**

$a : c = 1 : 0.0075$  (Schrauf 1871.)

"  $= 1 : 0.9331$  (Schrauf Atlas.) (vgl. Bemerk.)

**Elemente.**

$\left. \begin{matrix} c \\ p_o \end{matrix} \right\} = 0.9075$	$lg\ c = 995785$	$lg\ a_o = 004215$	$a_o = 1.1019$
---	------------------	--------------------	----------------

No.	Schrauf. Gdt.	Tesche- macher.	Miller.	Miller.	Naumann.	Gdt.
1	a	M	a	100	$\infty P \infty$	$\infty 0$
2	p	c	e	101	$P \infty$	1 0
3	u	—	—	301	3 $P \infty$	3 0

Literatur.

<i>Teschemacher</i>	<i>Amer. Journ.</i>	1847 (2)	3	32
<i>Miller</i>	<i>Min.</i>	1852	—	672
<i>Schrauf</i>	<i>Wien. Sitzb.</i>	1871	63	(1) 187
"	<i>Atlas</i>	1872	—	Taf. XXVI.

Bemerkungen.

Schrauf giebt in der Originalarbeit (Wien. Sitzb. 1871. 63. (1) 187) das Axenverhältniss:  $a : c = 1 : 0.9075$  hergeleitet aus dem Winkel  $pp' = 56^{\circ}45'$ . In seinem Atlas hat er, trotzdem er auf dieselbe Arbeit verweist, dafür gesetzt  $a : c = 1 : 0.9331$ . Sollte dies auf einem Irrthum beruhen oder neuere Untersuchungen zu Grunde liegen, die ich nicht auffinden konnte?

Baryt.

1.

Rhombisch.

Axenverhältniss.

a : b : c = 0.8152 : 1 : 1.3136 (Helmhacker. Groth. Gdt.) (vgl. Anm.)

a : b : c = 0.8146 : 1 : 1.3127 (Miller. Dana.)  
" = 0.8143 : 1 : 1.3111 (Kokscharow.)  
" = 0.816 : 1 : 1.323 (Hauy.)  
" = 0.814 : 1 : 1.315 (Lévy.)

[a : b : c = 0.7618 : 1 : 0.6205] (Schrauf. Vrba.)

{ a : b : c = 0.6206 : 1 : 0.7618 } (Becke.)  
{ " = 0.6209 : 1 : 0.7453 } (Mohs-Zippe?) (vgl. Anm.)  
{ " = 0.6235 : 1 : 0.7660 } (Mohs 1824. Hausmann.)  
{ " = 0.6253 : 1 : 0.7619 } (Busz.)

Elemente.

a = 0.8152	lg a = 991126	lg a <sub>0</sub> = 979280	lg p <sub>0</sub> = 020720	a <sub>0</sub> = 0.6206	p <sub>0</sub> = 1.6114
c = 1.3136	lg c = 011846	lg b <sub>0</sub> = 988154	lg q <sub>0</sub> = 011846	b <sub>0</sub> = 0.7613	q <sub>0</sub> = 1.3136

Transformation.

Mohs-Zippe. Hausmann. Becke. Busz.	Schrauf. Vrba.	Hauy. Lévy. Miller. Dana. Kokscharow. Dauber. Groth. Gdt.
p q	$\frac{1}{p} \frac{q}{p}$	$\frac{p}{q} \frac{1}{q}$
$\frac{1}{p} \frac{q}{p}$	p q	$\frac{1}{q} \frac{p}{q}$
$\frac{p}{q} \frac{1}{q}$	$\frac{q}{p} \frac{1}{p}$	p q

Hauy.	Hausm. Mohs. Hartm. Zippe.	Pfaff. Quen- stedt.	Helm- hack.	Becke.	Miller. Schmidt. Schrauf. Grünling.	Kok- scha- row.	Jere- mejew	Miller.	Naumann.	[Hausmann.]	[Mohs. [Zippe.]	Hauy.	Lévy.	Gdt.
P	P	P	P	P	c	c	a	001	o P	B	$\bar{P}r+\infty$	P	p	o
k	k	k	k	k	a (b)	a	b	010	$\infty \bar{P} \infty$	A	$P-\infty$	'G'	g'	o $\infty$
s	s	s	s	c	b (a)	b	c	100	$\infty \bar{P} \infty$	B'	$\bar{P}r+\infty$	'H'	h'	$\infty$ o
—	—	—	—	—	$\tau$	—	—	410	$\infty \bar{P} 4$	—	—	—	—	4 $\infty$
$\lambda$	—	—	—	—	$\beta$	—	d	310	$\infty \bar{P} 3$	—	—	$^2H^2$	h <sup>2</sup>	3 $\infty$

(Fortsetzung S. 281.)



Literatur.

<i>Haüy</i>	<i>Traité Min.</i>	1822	2	5
<i>Mohs</i>	<i>Grundr.</i>	1824	2	139
<i>Hartmann</i>	<i>Handrb.</i>	1828	—	259
<i>Kupffer</i>	<i>Handb. Krystallonomie</i>	1831	—	358—377
<i>Lévy</i>	<i>Descr.</i>	1838	1	189
<i>Mohs-Zippe</i>	<i>Min.</i>	1839	2	122
<i>Hausmann</i>	<i>Handb.</i>	1847	2	(2) 1123
<i>Miller</i>	<i>Min.</i>	1852	—	529
<i>Quenstedt</i>	<i>Min.</i>	1855	—	369
<i>Pjajf</i>	<i>Pogg. Ann.</i>	1857	102	464
<i>Grailich u. Lang</i>	<i>Wien. Sitzb.</i>	1859	27	30
<i>Dauber</i>	<i>Pogg. Ann.</i>	1859	108	439
<i>Schrauf</i>	<i>Wien. Sitzb.</i>	1860	39	286 u. 883
<i>Strüver</i>	<i>Note Min. Torino</i>	1871	—	15—18 }
"	<i>Jahrb. Min.</i>	1871	—	735 }
<i>Helmhacker</i>	<i>Wien. Denkschr.</i>	1872	32	1 }
"	<i>Min. Mitth.</i>	1872	2	71 }
<i>Schrauf</i>	<i>Atlas</i>	1872/73	—	Taf. XXX u. XXXI
<i>Dana</i>	<i>System</i>	1873	—	616
<i>Kokscharow</i>	<i>Mut. Min. Russl.</i>	1875	7	25
<i>Groth</i>	<i>Strassb. Samml.</i>	1878	—	142
<i>Schmidt</i>	<i>Zeitschr. Kryst.</i>	1879	3	428
<i>Vrba</i>	"	1881	5	433
<i>Schmidt</i>	"	1882	6	554
<i>Miers</i>	"	1882	6	599
"	"	1883	7	651 (Correctur)
<i>Becke</i>	<i>Min. Petr. Mitth.</i>	1882	5	82
<i>Grünling</i>	<i>Zeitschr. Kryst.</i>	1884	8	243
<i>Busz</i>	"	1885	10	32.

*Bemerkungen* }  
*Correcturen* } s. Seite 282, 284 -286.

## 2.

Gdt.	Haüy.	Hausm. Mohs. Hartm. Zippe.	Pfaff. Quen- stedt.	Helm- hack.	Becke.	Miller. Schmidt. Schrauf. Grünling.	Kok- scha- row.	Jere- mejew	Miller.	Naumann.	[Hausmann.]	[Mohs.] [Zippe.]	Haüy.	Lévy.	Gdt.
$\lambda$	—	p	n	p	—	$\lambda$	$\lambda$	e	210	$\infty \bar{P} 2$	$B'A \frac{1}{2}$	$\bar{P}r+1$	—	$h^3$	$2 \infty$
II	—	—	—	—	—	—	—	—	530	$\infty \bar{P} \frac{5}{3}$	—	—	—	—	$\frac{5}{3} \infty$
$\gamma_l$	t	t	—	t	—	$\gamma_l$	t	f	320	$\infty \bar{P} \frac{3}{2}$	$B'A \frac{2}{3}$	$\frac{3}{4} \bar{P}r+1$	${}^5H^5$	$h^5$	$\frac{3}{2} \infty$
h	—	—	—	—	—	h	—	—	540	$\infty \bar{P} \frac{5}{4}$	—	—	—	—	$\frac{5}{4} \infty$
m	M	M	M	M	M	m	m	g	110	$\infty P$	$D'$	$\bar{P}r$	M	m	$\infty$
N	—	—	—	—	—	N	$\gamma_l$	h	230	$\infty \bar{P} \frac{3}{2}$	—	—	—	—	$\infty \frac{3}{2}$
n	$\gamma_l$	n	t	n	—	n	n	i	120	$\infty \bar{P} 2$	$AB'2$	$\bar{P}r-1$	${}^3G^3$	$g^3$	$\infty 2$
$\chi$	n	—	—	$\chi$	—	$\chi$	$\chi$	j	130	$\infty \bar{P} 3$	—	—	${}^2G^2$	$g^2$	$\infty 3$
L	—	—	—	$\lambda$	—	L	p	k	140	$\infty \bar{P} 4$	—	—	—	—	$\infty 4$
a	—	—	—	—	—	a	—	—	018	$\frac{1}{8} \bar{P} \infty$	—	—	—	—	$0 \frac{1}{8}$
A	—	—	—	—	—	—	—	—	013	$\frac{1}{3} \bar{P} \infty$	—	—	—	—	$0 \frac{1}{3}$
$\varphi$	—	e	—	—	—	$\varphi$	x	n	012	$\frac{1}{2} \bar{P} \infty$	$BA \frac{1}{2}$	$\bar{P}r+1$	—	$e^2$	$0 \frac{1}{2}$
B	—	—	—	—	—	—	—	—	056	$\frac{5}{8} \bar{P} \infty$	—	—	—	—	$0 \frac{5}{8}$
$\varepsilon$	$\varepsilon$	—	—	—	—	$\varepsilon$	—	—	089	$\frac{8}{9} \bar{P} \infty$	—	—	$\frac{1}{2} E$	—	$0 \frac{8}{9}$
o	o	o	o	o	o	o	o	m	011	$\bar{P} \infty$	D	$\bar{P}r$	$\frac{1}{2} E$	$e^1$	$0 1$
i	i	—	—	$\varepsilon$	—	i	$\varepsilon$	l	021	$2 \bar{P} \infty$	—	$\bar{P}r-1$	$\frac{1}{2} E$	$e^{\frac{1}{2}}$	$0 2$
x	—	—	—	—	—	x	—	—	041	$4 \bar{P} \infty$	—	—	—	—	$0 4$
g	—	—	—	—	—	—	—	—	0-10-1	$10 \bar{P} \infty$	—	—	—	—	$0-10$
W	—	—	—	—	—	W	—	—	108	$\frac{1}{8} \bar{P} \infty$	—	—	—	—	$1 0$
w	—	—	—	—	—	w	—	—	106	$\frac{1}{6} \bar{P} \infty$	$BB'6$	$(P+\infty)^6$	—	—	$\frac{1}{6} 0$
$\sigma$	r	r	—	—	—	$\sigma$	$\sigma$	$\gamma$	105	$\frac{1}{5} \bar{P} \infty$	$BB'5$	—	$\frac{5}{2} A$	$a^5$	$\frac{1}{5} 0$
l	l	l	m	l	—	l	l	$\beta$	104	$\frac{1}{4} \bar{P} \infty$	$BB'4$	$(P+\infty)^4$	$\frac{4}{2} A$	$a^4$	$\frac{1}{4} 0$
g	—	g	—	g	—	g	g	$\alpha$	103	$\frac{1}{3} \bar{P} \infty$	$BB'3$	$(P+\infty)^3$	—	—	$\frac{1}{3} 0$
z	$\gamma$	—	—	—	—	z	E	z	205	$\frac{2}{5} \bar{P} \infty$	—	—	$\frac{1}{2} A$	—	$\frac{2}{5} 0$
d	d	d	d	d	d	d	d	y	102	$\frac{1}{2} \bar{P} \infty$	$BB'2$	$(\bar{P}r+\infty)^3(P+\infty)^2$	$\frac{2}{2} A$	$a^2$	$\frac{1}{2} 0$
O	—	—	—	r	—	—	—	x	203	$\frac{2}{3} \bar{P} \infty$	—	—	—	—	$\frac{2}{3} 0$
h	—	—	—	u'	—	—	—	—	23-0-24	$\frac{23}{24} \bar{P} \infty$	—	—	—	—	$\frac{23}{24} 0$
u	u	u	u	u	—	u	u	w	101	$\bar{P} \infty$	E	$P+\infty$	$\frac{1}{2} A$	$a^1$	$1 0$
D	—	—	—	—	—	D	—	—	302	$\frac{3}{2} \bar{P} \infty$	—	—	—	—	$\frac{3}{2} 0$
U	—	—	—	—	—	U	j	v	201	$2 \bar{P} \infty$	—	—	—	—	$2 0$
e	—	—	—	—	—	e	—	—	1-1-20	$\frac{1}{20} P$	—	—	—	—	$\frac{1}{20} 0$
H	—	—	—	—	—	H	—	—	119	$\frac{1}{9} P$	—	—	—	—	$\frac{1}{9} 0$
k	—	a	—	—	—	k	—	—	118	$\frac{1}{8} P$	$BD'8$	$(\bar{P})^8$	—	—	$\frac{1}{8} 0$
P	—	—	—	—	—	(F)	$\Sigma$	u	116	$\frac{1}{6} P$	—	—	—	—	$\frac{1}{6} 0$
v	—	v	—	$\alpha$	—	v	—	—	115	$\frac{1}{5} P$	$BD'5$	$(\bar{P})^5$	—	—	$\frac{1}{5} 0$
q	$\vartheta$	q	—	q	r	q	q	t	114	$\frac{1}{4} P$	$BD'4$	$(\bar{P})^4$	$\frac{2}{2} B$	$b^2$	$\frac{1}{4} 0$
f	f	f	$\alpha$	f	—	f	f	s	113	$\frac{1}{3} P$	$BD'3$	$(\bar{P})^3$	$\frac{3}{3} B$	$b^{\frac{3}{3}}$	$\frac{1}{3} 0$
r	—	b	$\vartheta$	b	q	r	s	r	112	$\frac{1}{2} P$	$BD'2$	$(\bar{P}r)^3=(\bar{P})^2$	—	—	$\frac{1}{2} 0$

(Fortsetzung S. 283.)

Bemerkungen.

Hauy giebt  ${}^2G^2 = \infty 3$  und zeichnet diese Form (n) ein in Fig. 68. 71. 73. Doch weist der Zonenverband dieser Figuren auf  ${}^3G^3 = \infty 2$ . Uebrigens ist  $\infty 2$  von Lévy wieder gefunden Taf. XVI Fig. 20 ( $g^2$ ) und auch später beobachtet.

Lévy's  $i = b^1 b^{\frac{3}{2}} h^{\frac{4}{3}}$  (Fig. 14 u. 22 Taf. 16 und Fig. 27 Taf. 17)  $= \frac{1}{5} \frac{4}{3}$  wurde trotz der dreifachen Anführung in Anbetracht des complicirten Symbols und der geringeren Schärfe von Lévy's Messungen bei fehlender Winkel-Angabe und fehlendem Zonenverband nicht als sicher angesehen. Es steht nahe Helmhackers  $X = \frac{3}{2} \frac{3}{10}$ .

Lévy giebt das Symbol  $e_3$ , das, in unsere Zeichen übersetzt, lautet  $\frac{1}{4} \frac{1}{2}$ . Dies entspricht dem Zonenverband  $e_1 e_3 m$  seiner Fig. 22 Taf. 16. Dagegen nicht dem scheinbaren Verband Fig. 8 Taf. 15.  $b^{\frac{1}{2}} e_3 e_3 b^{\frac{1}{2}}$ , danach könnte es  $\frac{1}{4} 1$  sein. Beide Formen sind bekannt und wurde  $e_3$  auch neben  $\frac{1}{4} 1$  in Klammern gestellt.

Mit Hausmann's  $DB\frac{1}{4}$  ist jedesmal Mohs-Zippe ( $\bar{P}-1$ )<sup>4</sup> gemeint, worauf das (m) hindeutet. Dafür stimmt jedoch Hausmanns Symbol nicht. Es ist gleich unserem  $\frac{1}{4} 1$  statt  $\frac{1}{4} \frac{1}{2}$  ( $\mu$  Hauy. Miller). Uebrigens wurde  $\frac{1}{4} 1$  später von Helmhacker beobachtet. Dass bei Hausmann keine selbständige Beobachtung vorliegt, beweist der Umstand, dass  $DB\frac{1}{4}$  unter den Combinationen fehlt.

Bei Mohs (Grundr. 1824 2 140) ist ein Widerspruch zwischen dem in Zahlen und dem in Winkeln gegebenen Axen-Verhältniss. Doch löst sich dieser nach Richtigstellung eines Druckfehlers und ist zu lesen:

$$\sqrt{1.7045} \quad \text{statt} \quad \sqrt{0.7045}$$

Bei Zippe (Mohs-Zippe Min. 1839 2. 122.) sind bei Angabe der Grundwerthe die Winkel unrichtig. Betrachtet man das in Zahlen gegebene Axen-Verhältniss als richtig, so müssen, um damit im Einklang zu sein, die Winkel lauten:

$$\begin{array}{lll} P = 128^\circ 34' & 91^\circ 21' & 110^\circ 40' \\ \text{statt } P = & 91^\circ 25' & 128^\circ 34' \quad 112^\circ 7' \end{array}$$

Dann ist auch die mangelnde Uebereinstimmung mit den übrigen Autoren, auf die Hausmann (Handb. 1847 2. (2) 1124) hinweist, besser ausgeglichen, obwohl die Differenz noch zu gross ist, um Zippe's Angabe als richtig zu betrachten.

Unter den von Zippe angegebenen Winkeln finden sich viel unrichtige Angaben. Es wurden die Richtigstellungen im Einzelnen nicht vorgenommen. Sie müssten, um in Zippe's Intentionen zu bleiben, aus dessen Axen-Verhältniss hergeleitet werden, was nicht viel Werth hätte, da diese Angabe selbst unsicher ist. Richtiger erscheint es entweder mit Hausmann auf Mohs' Axen-Verhältniss und Winkel-Angaben zurückzugehen oder die Miller'schen Angaben zu benutzen (Miller Min. 1852 520). Beide Autoren geben alle die von Zippe angeführten Formen bis auf  $(Pr)^5$  (h).

Die Flächensymbole bei Zippe sind im Allgemeinen richtig, nur ist zu lesen:

$$\begin{array}{llll} \text{Seite 122 Zeile 13 vu } (P+\infty)^5 (r) & \text{statt } (P+\infty)^5 (r) \\ \text{" " " 14 " } (P)^5 (v) & \text{" " } (P)^5 \end{array}$$

Die Angaben Helmhacker's (Min. Mitth. 1872 2 71) können leicht zu einem Irrthum führen. Er giebt das Axen-Verhältniss  $1 : 1.2273 : 1.6100$  als das Verhältniss der kleinsten zur mittleren zur grössten Axe und dazu die Reihe der Symbole, sagt jedoch nichts über die Aufstellung. Nun bezieht sich in dem Symbol  $hklh$  auf die grösste,  $k$  auf die mittlere,  $l$  auf die kleinste Axe, was ohne besondere Angabe Niemand vermuthen kann. In der Original-Arbeit (Wien. Denkschr. 1872) ist dies allerdings hervorgehoben.

(Fortsetzung S. 284.)

## 3.

Hauy.	Hausm. Mohs. Hartm. Zippe.	Pfaff. Quen- stedt.	Helm- hack.	Becke.	Miller. Schmidt. Schrauf. Grünling.	Kok- scha- row.	Jere- mejew	Miller.	Naumann.	[Hausmann.]	[Mohs.] [Zippe.]	Hauy.	Lévy.	Odé.
—	—	—	b'	—	R	Λ	p	223	$\frac{2}{3}P$	—	—	—	—	$\frac{2}{3}$
z	z	z	z	z	z	z	o	111	P	P	P	$\frac{1}{2}B$	$b^{\frac{1}{2}}$	1
—	—	—	—	—	p	—	—	441	4P	—	—	—	—	4
—	—	δ	δ	—	δ	—	—	414	$\frac{1}{2}P$	—	—	—	—	$1\frac{1}{2}$
—	—	—	v'	—	∇	—	—	313	$\frac{1}{2}P$	—	—	—	—	$1\frac{1}{2}$
—	—	—	v	—	v	—	—	212	$\frac{1}{2}P$	—	—	—	—	$1\frac{1}{2}$
—	—	—	β	—	Σ	—	—	121	$\frac{1}{2}P$	—	—	—	$e_3$	12
—	—	—	θ	—	Φ	—	—	131	$\frac{1}{2}P$	—	—	—	—	13
—	—	—	θ <sup>1</sup>	—	T	—	—	141	$\frac{1}{2}P$	—	—	—	—	14
—	—	—	θ <sup>2</sup>	—	Ξ	—	—	151	$\frac{1}{2}P$	—	—	—	—	15
—	—	—	—	—	ψ	—	—	166	$\frac{1}{2}P$	—	—	—	—	$\frac{1}{6}1$
—	—	—	m'	—	—	—	—	155	$\frac{1}{2}P$	—	—	—	—	$\frac{1}{5}1$
—	[N Hausm.]	m	—	ρ	ι	μ	—	144	$\frac{1}{2}P$	[DB $\frac{1}{2}$ ]	—	—	$(e_2)$	$\frac{1}{4}1$
—	—	—	ψ	—	J	—	—	133	$\frac{1}{2}P$	—	—	—	—	$\frac{1}{3}1$
y	y	y	y	y	y	y	τ	122	$\frac{1}{2}P$	DB $\frac{1}{2}$ (Pr-1) <sup>3</sup> (Pr-1) <sup>2</sup>	$E^2B^3B'$	$b^{\frac{1}{2}}g^{\frac{1}{2}}$	$\frac{1}{2}1$	$\frac{1}{2}1$
x	—	—	μ	—	s	μ	σ	132	$\frac{1}{2}P$	AE $\frac{1}{2}$ DB $\frac{1}{2}$	$(\frac{2}{3}P-1)^2$	E <sup>2</sup>	$e_2$	$\frac{1}{2}\frac{3}{2}$
—	—	—	ζ	—	ξ	—	—	142	$\frac{1}{2}P$	—	—	—	—	$\frac{1}{2}2$
—	—	—	—	—	—	—	—	136	$\frac{1}{2}P$	—	—	—	$b^{\frac{1}{2}}g^{\frac{1}{2}}$	$\frac{1}{6}\frac{1}{2}$
μ	m	β	—	—	μ	—	—	124	$\frac{1}{2}P$	—	$(Pr-1)^4$	$E^2B^3B'$	$b^{\frac{1}{2}}g^{\frac{1}{2}}$	$\frac{1}{4}\frac{1}{2}$
—	—	—	—	—	Δ	—	—	524	$\frac{1}{2}P$	—	—	—	—	$\frac{1}{4}\frac{1}{2}$
—	h	—	—	—	γ	—	—	312	$\frac{1}{2}P$	—	$(Pr)^5$	—	$a_2$	$\frac{1}{2}\frac{1}{2}$
—	—	—	—	—	t	—	—	11·3·6	$\frac{1}{6}P$	—	—	—	—	$\frac{1}{6}\frac{1}{2}$
—	—	—	—	—	u	—	—	276	$\frac{1}{6}P$	—	—	—	—	$\frac{1}{3}\frac{7}{6}$
c	—	—	—	—	G	—	—	153	$\frac{1}{3}P$	—	—	—	—	$\frac{1}{3}\frac{3}{2}$
—	—	—	—	—	—	—	—	362	$\frac{1}{3}P$	—	—	—	—	$\frac{2}{3}3$
—	—	—	π'	—	X	—	—	15·3·10	$\frac{1}{3}P$	—	—	—	—	$\frac{2}{3}\frac{3}{2}$
—	—	—	—	—	—	—	—	364	$\frac{1}{3}P$	—	—	—	—	$\frac{2}{3}\frac{3}{2}$
—	—	γ	—	—	Γ	—	—	1·8·12	$\frac{1}{3}P$	—	—	—	—	$\frac{1}{2}\frac{3}{2}$
—	—	—	—	—	π	—	—	169	$\frac{1}{3}P$	—	—	—	—	$\frac{1}{6}\frac{3}{2}$
—	—	—	—	—	F	—	—	146	$\frac{1}{3}P$	—	—	—	—	$\frac{1}{6}\frac{3}{2}$
—	—	—	—	—	ζ	—	—	154	$\frac{1}{2}P$	—	—	$E^2$	$e_2$	$\frac{1}{4}\frac{1}{2}$
—	—	—	—	—	θ	—	—	176	$\frac{1}{6}P$	—	—	—	—	$\frac{1}{6}\frac{7}{6}$
—	—	—	π	—	—	—	—	28·7·24	$\frac{1}{6}P$	—	—	—	—	$\frac{7}{6}\frac{7}{24}$

Bemerkungen. (Fortsetzung von S. 282.)

Für Helmhacker's Angaben ist aus diesem Widerspruch das Aufschreiben eines Transformations-Symbols nicht thunlich. Das Axen-Verhältniss wurde angeschrieben direkt aus Helmhackers Zahlen, die Symbole (Helmh.) dagegen sind rückwärts zu lesen, damit Uebereinstimmung mit der Angabe des Axen-Verhältnisses herrsche.

z. B. 123 (Helmhacker) zu lesen  $321 = 32$  (Index)

Helmhacker giebt an, für das Axen-Verhältniss (Wien. Denkschr. 1872 32 48).

Kupffer:  $0.81479 : 1 : 1.31273 = 1 : 1.22731 : 1.61013$

Kokscharow (Mat. Min. Russl. 1875 7 58) giebt an, in mangelhafter Uebereinstimmung hiermit:

Kupffer:  $1 : 1.22758 : 1.61145$

Aus Kupffers Winkelangaben (Handb. d. Krystallonomie 1831. 376.)

$$M : M = 101^{\circ}40$$

$$d : d = 77^{\circ}43$$

$$o : o = 105^{\circ}24$$

berechnet sich:

$$a : b : c = 0.8146 : 1 : 1.3127 = 1 : 1.2276 : 1.6113$$

Helmhacker giebt (ibid.) an: Mohs  $a : b : c = 1 : 1.2256 : 1.6001$

Kokscharow „ „ Mohs  $a : b : c = 1 : 1.2283 : 1.6102$

Aus den von Mohs (Grundr. 1824 2 140) für P gegebenen Wurzel- und Winkelwerthen berechnet sich:

$$a : b : c = 1 : 1.2286 : 1.6038$$

Kokscharow's Angaben finden sich wieder abgedruckt bei Busz (Zeitschr. Kryst. 1885 10 39).

Busz führt von dem Fundort Mittelagger drei neue Formen an (Zeitschr. Kryst. 1885 10 33).

$$H = 5 \frac{1}{2} = 5 \bar{P} \frac{1}{2} (55.30.11)$$

$$H_1 = 7 \frac{3}{8} = 7 \bar{P} \frac{3}{8} (56.35.8)$$

$$H_2 = 10.7 = 10 \bar{P} \frac{7}{10} (10.7.1)$$

Doch ist die Ausbildung der Flächen und die Ableitung der Symbole derart, dass die genannten Symbole als durchaus unsicher anzusehen sind. Sie wurden in den Index nicht aufgenommen.

Bei gleicher Aufstellung erscheinen die angegebenen Axen-Verhältnisse folgendermassen:

$$\text{Haüy} . . . . . = 0.816 : 1 : 1.323$$

$$\text{Lévy} . . . . . = 0.814 : 1 : 1.315$$

$$\text{Beudant} . . . . . = 0.8032 : 1 : 1.3033$$

$$\text{Kupffer} . . . . . = 0.8146 : 1 : 1.3127$$

$$\text{Mohs} . . . . . = 0.8140 : 1 : 1.3054$$

$$\text{Dauber} . . . . . = 0.8130 : 1 : 1.3110$$

$$\text{Dufrénoy} . . . . . = 0.8141 : 1 : 1.3127$$

$$\text{Miller} . . . . . = 0.8147 : 1 : 1.3122$$

$$\text{Grailich u. Lang} . . . = 0.8145 : 1 : 1.3120$$

$$\text{Quenstedt} . . . . . = 0.8146 : 1 : 1.3126$$

$$\text{Dana} . . . . . = 0.8146 : 1 : 1.3121$$

$$\text{Helmhacker (Svarow)} . = 0.8152 : 1 : 1.3136$$

$$\text{„ (Hyskow)} . . . . . = 0.8148 : 1 : 1.3126$$

$$\text{Kokscharow} . . . . . = 0.8143 : 1 : 1.3111$$

$$\text{Busz} . . . . . = 0.8138 : 1 : 1.3141$$

$$\text{Jeremejew} . . . . . = 0.8146 : 1 : 1.3130$$

(Fortsetzung S. 285.)



Bemerkungen. (Fortsetzung von S. 284.)

**Barytocölestin** kann nach den bisher vorliegenden Untersuchungen noch nicht als ein vollständiges Mineral angesehen werden. Die einzige specielle Arbeit über die Krystallen des Barytocölestin von Neminar (Min. Mitth. 1876. 6. 59) enthält so viele Fehler, erscheint so unzuverlässig, dass aus ihr selbst unter Anwendung einer kritischen Discussion Angaben sichere Schlüsse nicht gezogen werden können. Axenverhältnisse und Winkel sind unrichtig gerechnet, das Projectionsbild verzeichnet, für die Aufstellung fehlt die Angabe der Spaltungsrichtungen sowie die Analyse, die gerade für dies Mineral durchaus nöthig ist, und die Bestimmung des specifischen Gewichts. Die von Neminar angenommene Aufstellung ist die von Auerbach beim Cölestin. Die beobachteten Formen sind nach der richtigen Aufstellung des Index:

$$a = \infty \quad m = \infty \quad o = 01 \quad d_2 = \frac{1}{6}0 \quad d_1 = \frac{1}{4}0 \quad d = \frac{1}{2}0 \quad \varphi = \frac{1}{2} \quad z = 1 \quad y = \frac{1}{2}1$$

Es tritt von Groth (Strassb. Samml. 1878. 148) gegeben: 10 (101) und von Breithaupt (Ann. Stud. 1866. 20) 12 =  $P\frac{1}{2}$  und 13 =  $P\frac{1}{3}$ .

*Correcturen* s. Seite 286.

Correcturen.

<i>Hauy</i>	<i>Traité Min.</i>	1822	2	Seite	5	Col.	3	vu	lies	33	statt	34
"	"	"	"	Atlas Taf.	33	Fig.	1	Seitlich	lies	EE	"	AA
"	"	"	"	"	"	"	"	1 vorn	lies	H	"	G
<i>Mohs</i>	<i>Grundr.</i>	1824	2	Seite	140	Zeile	4	vo	"	$\sqrt{1.7045}$	"	$\sqrt{0.7045}$
"	"	"	—	"	"	"	5	"	"	$(\tilde{P})^8$	"	$(P)^8$
<i>Hartmann</i>	<i>Handwb.</i>	1828	—	"	259	"	14	vu	"	$P + \infty$ (u)	"	$P + \infty$ (u)
<i>Lévy</i>	<i>Descr.</i>	1838	Atlas	Taf.	17	Fig.	35	links	"	$e_2 e_2$	"	$e^2 e^2$
<i>Mohs-Zippe</i>	<i>Min.</i>	1839	2	Seite	122	Zeile	14	vu	"	$(\tilde{P})^5$	"	$(P)^5$
"	"	"	—	"	"	"	13	"	"	$(\tilde{P} + \infty)^5$	"	$(P + \infty)^5$
<i>Hausmann</i>	<i>Handb.</i>	1847	2 (2)	"	1126	"	19	vo	"	$8 DB' \frac{1}{2}$	"	$8 BD' \frac{1}{2}$
<i>Helmhacker</i>	<i>Wien. Denkschr.</i>	1872	32	"	46	"	2	"	"	1822	"	1861
"	"	"	"	"	"	Col.	6	"	"	$Pr - 1$ (n)	"	$\tilde{Pr} - 1$ (n)
"	"	"	"	"	"	"	"	"	"	$(\tilde{P} + \infty)^4$	"	$(P + \infty)^4$
"	"	"	"	"	"	"	"	"	"	$(\tilde{P} - 1)^2$ (y)	"	$(P - 1)^2$ (y)
"	"	"	"	"	"	"	7	"	"	$B'A \frac{2}{3}$ (t)	"	$BA \frac{1}{3}$ (A)
"	"	"	"	"	"	"	"	"	"	$DB' \frac{1}{2}$ (y)	"	$BD' \frac{1}{2}$ (y)
"	"	"	"	"	"	"	"	"	"	$DB' \frac{1}{4}$ (m)	"	$BD' \frac{1}{4}$ (m)
"	"	"	"	"	"	"	9	"	"	$2a : c : \infty b$ (d)	"	$2a : c : b$ (d)
<i>Miers</i>	<i>Zeitschr. Kryst.</i>	1882	6	"	600	vgl. Correcturen				<i>Zeitschr. Kryst.</i>	1883	7. 651
<i>Grünling</i>	"	1884	8	"	243	Zeile	11	vu	lies	$\frac{1}{2} \tilde{P} \infty$	statt	$\frac{1}{2} P \infty$
<i>Buz</i>	"	1885	10	"	35	"	18	"	"	$7 \tilde{P} \frac{1}{3}$	"	$7 P \frac{1}{3}$

# Barytocalcit.

## Monoklin.

### Axenverhältniss.

$$a : b : c = 1.0939 : 1 : 0.7413 \quad \beta = 119^{\circ}0 \text{ (Gdt.)}$$

$$[a : b : c = 1.1202 : 1 : 0.8476 \quad \beta = 102^{\circ}26] \text{ (Miller.)}$$

$$\{a : b : c = 0.7717 : 1 : 0.6255 \quad \beta = 106^{\circ}08\} \text{ (Des Cloizeaux 1874. Dana.)}$$

$$(a : b : c = 0.7717 : 1 : 1.251 \quad \beta = 106^{\circ}08) \text{ (Des Cloizeaux 1845.)}$$

### Elemente.

1.0939	lg a = 003898	lg a <sub>0</sub> = 016899	lg p <sub>0</sub> = 983101	a <sub>0</sub> = 1.4757	p <sub>0</sub> = 0.6777
0.7413	lg c = 986999	lg b <sub>0</sub> = 013001	lg q <sub>0</sub> = 981181	b <sub>0</sub> = 1.3490	q <sub>0</sub> = 0.6483
61°00	lg h = } 994182 lg sin μ }	lg e = } 968557 lg cos μ }	lg p <sub>0</sub> = 001920 q <sub>0</sub>	h = 0.8746	e = 0.4848

### Transformation.

Joht-Zippe. Hausmann. Schrauf.	Miller.	Des Cloizeaux 1874. Dana.	Des Cloizeaux 1845.	Gdt.
p q	— p q	$\frac{1-p}{1+p} \frac{2q}{1+p}$	$\frac{1-p}{2+2p} \frac{q}{1+p}$	(p+1) q
— p q	p q	$\frac{1+p}{1-p} \frac{2q}{1-p}$	$\frac{1+p}{2-2p} \frac{q}{1-p}$	(1-p) q
$\frac{-p}{1+p} \frac{q}{1+p}$	$\frac{p-1}{p+1} \frac{q}{p+1}$	p q	$\frac{p}{2} \frac{q}{2}$	$\frac{2}{p+1} \frac{q}{p+1}$
$\frac{-2p}{1+2p} \frac{2q}{1+2p}$	$\frac{2p-1}{2p+1} \frac{2q}{2p+1}$	2p · 2q	p q	$\frac{2}{2p+1} \frac{2q}{2p+1}$
(p-1) q	(1-p) q	$\frac{2-p}{p} \frac{2q}{p}$	$\frac{2-p}{2p} \frac{q}{p}$	p q

Miller. Greg u. Lettsom. chrauf. Gdt.	Brooke. Haidinger. Mohs-Zippe. Hausmann.	Miller.	Naum.	[Haus- mann.]	[Mohs.] [Zippe.]	[Lévy]	[Descl.] 1845	[Descl.] 1879	Gdt.
h	h	001	oP	D'	—Pr	h <sup>1</sup>	h <sup>1</sup>	h <sup>1</sup>	o
m	b	110	∞P	E	P+∞	e <sup>1</sup>	i	x	∞
r	c	130	∞P <sub>3</sub>	BB' <sub>3</sub>	—	e <sup><math>\frac{1}{3}</math></sup>	[i']	ρ	∞ <sub>3</sub>
s	M	011	P∞	P'	—P	m	m	m	01
v	d	021	2P∞	BΓ' <sub>2</sub>	—	g <sup><math>\frac{1}{2}</math></sup>	g <sup>3</sup>	g <sup>3</sup>	02
c	a	101	—P∞	A	P—∞	[a <sup><math>\frac{5}{2}</math></sup> ]	o <sup>2</sup>	o <sup>1</sup>	+10
p	P	201	—2P∞	D'	Pr	[a <sup><math>\frac{7}{2}</math></sup> ]	p	p	+20

Literatur.

Brooke	Ann. Phil.	1824	8	114
"	Schweigg.	1825	44	247
Haidinger	Pogg. Ann.	1825	5	160
Hartmann	Handb.	1828	—	257
Lévy	Descr.	1838	2	276
Mohs-Zippe	Min.	1839	2	119
Des Cloizeaux	Ann. chim. phys.	1845 (3)	13	425
Hausmann	Handb.	1847	2	(2) 1254
Miller	Min.	1852	—	574
Greg u. Lettsom	Manuel	1858	—	49
Schrauf	Atlas	1871	—	Taf. XXXIII
Dana	System	1873	—	701
Des Cloizeaux	Manuel	1874	2	80.

Bemerkungen.

Schraufs Axenverhältniss beruht auf den Angaben von Miller (Min. 1852 574) es dürfte die Zahl 1:1228 statt 1:1202 auf einem Rechenfehler beruhen.

Lévy. Die Identification von Lévy's Symbolen erscheint nach der Figur gesicht doch sind die Symbole  $a^{\frac{3}{2}}$   $a^{\frac{7}{2}}$  sowie das Axenverhältniss  $a : b : c = 0.8476 : 1 : 2.0974$   $\beta =$  nicht mit den Angaben der anderen Autoren in Uebereinstimmung zu bringen. Da genau gleiche Combination vielfach beobachtet und von Des Cloizeaux genau beschrieben fällt dies nicht in Betracht und können wir uns mit Identification der Figur begnügen.

Des Cloizeaux giebt 1845 das Symbol  $i' = b^{\frac{1}{2}} d^{\frac{1}{3}} g^1$ , das in der Aufstellung von lautet  $y = b^{\frac{1}{2}} d^{\frac{1}{3}} g^1$ . Nach den Bemerkungen (Ann. chim. phys. 1845. (3) 13. 427) ist dies Symbol unsicher und dürfte wohl mit Des Cloizeaux's  $\rho$  zu identificiren sein.

Das Symbol  $o^1$  in der Arbeit von 1845 ist nach dem gegebenen Winkel unrichtig. muss heissen  $o^2$ , welches auch dem 1874 gegebenen  $o^1$  entspricht.

Correcturen.

Des Cloizeaux Ann. chim. phys. 1845 (3) 13 Seite 428 Zeile 9 vo } lies  $o^2$  statt  
" " " " " Taf. 4 Fig. 4 }  
Schrauf Atlas 1871 Text zu Taf. XXXIII Zeile 3 vo lies 1:1202 statt 1:122

$$\begin{array}{c}
 \begin{array}{cc}
 \begin{array}{c} s \\ \text{I11} \end{array} & \begin{array}{c} v \\ \text{I21} \end{array} \\
 a : b : c & 2a' : b' : 2c
 \end{array} \\
 \begin{array}{c} -P \\ b^{\frac{1}{2}} \end{array} & \begin{array}{c} -2P_2 \\ b^{\frac{1}{2}} d^{\frac{1}{3}} g^1 \end{array}
 \end{array}
 \left. \vphantom{\begin{array}{c} s \\ \text{I11} \end{array}} \right\} \text{statt} \left\{ \begin{array}{c} s \\ \text{I11} \\ a : b : c \\ P \\ d^{\frac{1}{2}} d^{\frac{1}{3}} \end{array} \right.$$

# Bastnäsit.

Hexagonal.

Axenverhältniss.

$a : c = ?$

No.	Gdt.	Bravais.	Miller.	Naumann.	G <sub>1</sub>	G <sub>2</sub>
1	c	0001	001	o P	o	o
2	a	1010	211	∞ P 2	∞ o	∞
3	m	1120	101	∞ P	∞	∞ o



Literatur.

Allen u. Comstock *Zeitschr. Kryst.* 1881 5 508.

Beegerit.

Regulär.

No.	Gdt.	Miller.	Naumann.	G <sub>1</sub>	G <sub>2</sub>	G <sub>3</sub>
1	c	∞01	∞O∞	o	o∞	∞o
2	p	111	O	1	1	1

Literatur.

König Zeitschr. Krypt. 1881 5 322.

# Beraunit.

## Monoklin?

No.	Gdt.	Miller.	Naumann.	Gdt.
1	a	001	o P	o
2	b	010	$\infty$ P $\infty$	o $\infty$
3	d	110	$\infty$ P	$\infty$
4	p	111	P	1

Literatur.

*Boricky* *Wien. Sitzb.* 1867 56 (1) 10.



Bertrandit.

Rhombisch.

Axenverhältnisse.

$a : b : c = 0.9572 : 1 : 1.7034$  (Gdt.)

$[a : b : c = 0.5619 : 1 : 0.5871]$  (Bertrand.)

Elemente.

$a = 0.9572$	$\lg a = 998100$	$\lg a_0 = 974969$	$\lg p_0 = 025031$	$a_0 = 0.5619$	$p_0 = 1.7795$
$c = 1.7034$	$\lg c = 023131$	$\lg b_0 = 976869$	$\lg q_0 = 023131$	$b_0 = 0.5871$	$q_0 = 1.7034$

Transformation.

Descloiz. Bertrand.	Gdt.
$p \ q$	$\frac{p}{q} \ \frac{1}{q}$
$\frac{p}{q} \ \frac{1}{q}$	$p \ q$

No.	Gdt.	Miller.	Naumann.	[Bertrand.] [Des Cloizeaux.]	Gdt.
1	c	001	o P	$g^1$	o
2	b	010	$\infty \bar{P} \infty$	p	o $\infty$
3	a	100	$\infty \bar{P} \infty$	h	$\infty$ o
4	d	013	$\frac{1}{3} \bar{P} \infty$	$e^{\frac{1}{3}}$	o $\frac{1}{3}$
5	e	011	$\bar{P} \infty$	$e^1$	o 1
6	f	103	$\frac{1}{3} \bar{P} \infty$	$g^2$	$\frac{1}{3}$ o
7	g	101	$\bar{P} \infty$	m	1 o
8	h	301	$3 \bar{P} \infty$	$h^2$	3 o

Literatur.

<i>Bertrand</i>	<i>Bull. soc. min.</i>	1880	3	96 (Nouv. Min. d. environs de Nantes)
<i>Des Cloizeaux</i>	" " "	1882	5	176
<i>Bertrand</i>	" " "	1883	6	248.

Correcturen.

*Bertrand Bull. soc. min.* 1883 6 Seite 250 Zeile 10 vo lies  $h^2$  (130) statt  $h^2$  (120).

# Beryll.

1.

## Hexagonal.

### Axenverhältniss.

$$a : c = 1 : 0.8643 \text{ (G}_1\text{)}$$

$$a : c = 1 : 0.8623 \text{ (Mohs-Zippe.)}$$

$$a : c = 1 : 0.4988 \text{ (Des Cloizeaux. Kokscharow. Schrauf.)}$$

$$a : c = 1 : 0.4990 \text{ (Dana. Groth.)}$$

$$a : c = 1 : 0.4992 \text{ (Websky.)}$$

$$\left\{ a : c = 1 : 1 \right\} \text{ (Hauy. Lévy.)}$$

$$[a : c = 1 : 0.8640] \text{ (Miller.)}$$

### Elemente.

$c = 0.8643$	$\lg c = 993666$	$\lg a_0 = 030190$	$\lg p_0 = 976057$	$a_0 = 2.0040$	$p_0 = 0.5762$
		$\lg a'_0 = 006334$		$a'_0 = 1.1570$	

### Transformation.

Hauy. Lévy.	Breithaupt.	Miller.	Dana. Websky. Des Cloizeaux. Kokscharow. Schrauf. Groth. G <sub>1</sub>	G <sub>2</sub>
$pq$	$\frac{p}{2} \frac{q}{2}$	$\frac{2(p+2q)}{3} \frac{2(p-q)}{3}$	$2p \cdot 2q$	$2(p+2q) \ 2(p-q)$
$2p \cdot 2q$	$pq$	$\frac{4(p+2q)}{3} \frac{4(p-q)}{3}$	$4p \cdot 4q$	$4(p+2q) \ 4(p-q)$
$\frac{p+2q}{2} \frac{p-q}{2}$	$\frac{p+2q}{4} \frac{p-q}{4}$	$pq$	$(p+2q)(p-q)$	$3p \ 3q$
$\frac{p}{2} \frac{q}{2}$	$\frac{p}{4} \frac{q}{4}$	$\frac{p+2q}{3} \frac{p-q}{3}$	$pq$	$(p+2q)(p-q)$
$\frac{p+2q}{6} \frac{p-q}{6}$	$\frac{p+2q}{12} \frac{p-q}{12}$	$\frac{p}{3} \frac{q}{3}$	$\frac{p+2q}{3} \frac{p-q}{3}$	$pq$

Gk.	Miller.	Schrauf.	Kok- scharow. Rath.	Hauy. Mohs. Hartm. Zippe.	Hausm. Naumann.	Bravais.	Miller.	Naumann.	Haus- mann.	Mohs. Zippe.	[Hauy]	[Lévy.]	[Desel.]	G <sub>1</sub>	G <sub>1</sub>	G <sub>2</sub>
c	o	c	P(c)	—	—	0001	111	oP	A	R—∞	P	p	p	o	—	o
a	a	a	M	M	M	1010	211	∞P	E	P+∞	M	m	m	∞o	—	∞
b	b	b	n	n	n	1120	101	∞P <sub>2</sub>	B	R+∞	'G'	g <sup>1</sup>	h <sup>1</sup>	∞	—	∞o
i	h	i	i	—	—	2130	514	∞P <sub>3</sub>	—	—	—	—	h <sup>2</sup>	2∞	—	4∞
p	—	p	p	—	—	10114	554	1/4P	—	—	—	—	b <sup>14</sup>	1/4o	—	1/4
τ	—	τ	—	—	—	2025	311	2/3P	—	—	—	—	b <sup>2/3</sup>	2/3o	—	2/3

(Fortsetzung S. 299.)

Literatur.

<i>Haüy</i>	<i>Traité Min.</i>	1822	2	504
<i>Mohs</i>	<i>Grundr.</i>	1824	2	362
<i>Hartmann</i>	<i>Handeb.</i>	1828	—	491
<i>Breithaupt</i>	<i>Schweigg. Journ.</i>	1830	60	421
<i>Lévy</i>	<i>Descr.</i>	1838	2	77
<i>Mohs-Zippe</i>	<i>Min.</i>	1839	2	355
<i>Hausmann</i>	<i>Handb.</i>	1847	2	(1) 603
<i>Miller</i>	<i>Min.</i>	1852	—	336
<i>Kokscharow</i>	<i>Mat. Min. Russl.</i>	1853	1	147
"	"	1854-57	2	356
"	"	1862	4	125
"	"	1870	6	94
"	"	1881	8	223
<i>Des Cloizeaux</i>	<i>Manuel</i>	1862	1	364
<i>Rath-d'Achiardi</i>	<i>D. Geol. Ges.</i>	1870	22	661
<i>Schrauf</i>	<i>Wien. Sitzb.</i>	1872	65	(1) 245
"	<i>Atlas</i>	1873	—	Taf. XXXIII
<i>Dana</i>	<i>System</i>	1873	—	245
<i>Websky</i>	<i>Min. Mitth.</i>	1876	6	117 (Eidsvold)
<i>Vrba</i>	<i>Zeitschr. Kryst.</i>	1881	5	430 (Santa Fé di Bogota).

*Bemerkungen* }  
*Correcturen* } s. Seite 300.

## 2.

	Kok- r. Schrauf.	scharow. Rath.	Hauy. Mohs. Hartm. Zippe.	Hausm. Naumann.	Bravais.	Miller.	Naumann.	Haus- mann.	Mohs. Zippe.	[Hauy.]	[Lévy.]	[Descr.]	G <sub>1</sub>	G <sub>1</sub>	G <sub>2</sub>
π	—	—	—	—	1072	110	$\frac{1}{2}$ P	—	—	—	—	b <sup>2</sup>	$\frac{1}{2}$ 0	—	$\frac{1}{2}$
p	t	t	P	—	1071	100	P	P	P	$\frac{2}{3}$ B	b <sup>2</sup>	b <sup>1</sup>	1 0	—	1
r	r	—	r	—	3032	811	$\frac{3}{2}$ P	EA $\frac{2}{3}$	$\frac{3}{2}$ P+1	—	—	b $\frac{2}{3}$	$\frac{3}{2}$ 0	—	$\frac{3}{2}$
u	u	u	u	—	2021	111	2 P	EA $\frac{1}{2}$	P+1	$\frac{1}{2}$ B	b <sup>1</sup>	b $\frac{1}{2}$	2 0	—	2
θ	—	—	—	—	3031	722	3 P	—	—	—	—	—	3 0	—	3
t	—	—	—	—	4041	311	4 P	—	—	—	—	—	4 0	—	4
Ω	—	—	—	—	5051	322	5 P	—	—	—	—	b $\frac{5}{2}$	5 0	—	5
x	b	x	—	—	15·0·15·2	32·13·13	$\frac{1}{2}$ P	EA $\frac{2}{3}$	$\frac{1}{2}$ P+3	—	—	b $\frac{1}{2}$	$\frac{1}{2}$ 0	—	$\frac{1}{2}$
T	—	—	—	—	12·0·12·1	25·11·11	12 P	—	—	—	—	—	12·0	—	12·12
e	e	—	—	—	39·0·39·2	80·37·37	$\frac{3}{2}$ P	—	—	—	—	b $\frac{3}{2}$	$\frac{3}{2}$ 0	—	$\frac{3}{2}$
σ	—	—	—	—	1123	210	$\frac{2}{3}$ P 2	—	—	—	—	—	$\frac{1}{3}$	—	1 0
o	o	—	—	—	1122	521	P 2	—	—	—	—	a <sup>2</sup>	$\frac{1}{2}$	—	$\frac{3}{2}$ 0
D	—	—	—	—	2243	311	$\frac{4}{3}$ P 2	—	—	—	—	a $\frac{2}{3}$	$\frac{4}{3}$	—	2 0
—	—	—	—	—	5·5·10·7	22·7·8	$\frac{1}{2}$ P 2	—	—	—	—	a $\frac{1}{2}$	$\frac{1}{2}$	—	$\frac{1}{2}$ 0
d	—	—	—	—	3364	13·4·5	$\frac{3}{2}$ P 2	—	—	—	—	a $\frac{3}{2}$	$\frac{3}{2}$	—	$\frac{3}{2}$ 0
s	s	s	s	—	1121	412	2 P 2	BA $\frac{1}{2}$	R	$\frac{2}{3}$ A	a <sup>2</sup>	a <sup>1</sup>	1	—	3 0
f	—	—	—	—	3361	10·1·8	6 P 2	—	—	—	—	—	3	—	9 0
Φ	—	—	—	—	6·6·12·1	19·1·17	12 P 2	—	—	—	—	a $\frac{1}{6}$	6	—	18·0
Δ	—	—	—	—	2133	821	P $\frac{3}{2}$	—	—	—	—	—	$\frac{3}{2}$ $\frac{1}{3}$	$\frac{1}{3}$	$\frac{3}{2}$ $\frac{1}{3}$
g	—	—	—	—	5165	16·1·2	$\frac{5}{2}$ P $\frac{5}{2}$	—	—	—	—	—	$\frac{1}{2}$ $\frac{1}{2}$	$\frac{1}{2}$	$\frac{5}{2}$ $\frac{1}{2}$
χ	—	—	—	—	9·7·16·9	34·7·14	$\frac{1}{2}$ P $\frac{1}{2}$	—	—	—	—	x	$\frac{1}{2}$ $\frac{1}{2}$	$\frac{1}{2}$	$\frac{1}{2}$ $\frac{1}{2}$
v	x	v	a	—	2131	201	3 P $\frac{3}{2}$	BD5	(P) $\frac{3}{2}$	—	—	v	2 1	1 2	4 1
n	—	—	—	—	3141	814	4 P $\frac{4}{3}$	—	—	—	—	—	3 1	1 3	5 2
—	—	—	—	—	11·2·13·2	26·7·13	$\frac{1}{2}$ P $\frac{1}{2}$	—	—	—	—	—	$\frac{1}{2}$ $\frac{1}{2}$	$\frac{1}{2}$	$\frac{1}{2}$ $\frac{1}{2}$
w	v	—	—	—	7181	16·5·8	8 P $\frac{8}{3}$	—	—	—	—	w	7 1	1 7	9 6
β	w	—	—	—	11·1·12·1	834	12 P $\frac{1}{2}$	—	—	—	—	β	11·1	1·11	13·10
y	y	—	—	—	13·1·14·1	28·11·14	14 P $\frac{1}{3}$	—	—	—	—	—	13·1	1·13	15·12
h	h	—	—	—	19·1·20·1	40·17·20	20 P $\frac{2}{3}$	—	—	—	—	—	19·1	1·19	21·18
γ	—	—	—	—	7184	19·2·5	2 P $\frac{2}{3}$	AE2-BD $\frac{2}{3}$	(P-2) <sup>5</sup>	—	—	γ	$\frac{2}{3}$ $\frac{1}{3}$	$\frac{2}{3}$	$\frac{2}{3}$ $\frac{1}{3}$
z	z	—	—	—	4263	13·1·5	2 P $\frac{2}{3}$	—	—	—	—	z	$\frac{2}{3}$ $\frac{1}{3}$	$\frac{2}{3}$	$\frac{2}{3}$ $\frac{1}{3}$
k	k	—	—	—	4261	313	6 P $\frac{2}{3}$	—	—	—	—	k	4 2	2 4	8 2
Σ	—	—	—	—	16·8·24·1	13·3·11	24 P $\frac{2}{3}$	—	—	—	—	—	16·8	8·16	32·8

Bemerkungen.

In Miller's Min. 1852. 336 ist zu lesen:

v 04I statt 041

w 032 - 032

Dies ergibt sich aus dem Projectionsbild und den Symbolen der zugehörigen Formen v, und w.

Bei Hausmann (Handb. 1847. 2. (1) 604 u. 605) finden sich zwei Fehler. Es ist zu lesen:

Seite 604	Zeile 8	vu	}	EA $\frac{2}{3}$	statt EA $\frac{1}{2}$
- 605	- 2	vo			
- 604	- 7	vu	}	EA $\frac{2}{3}$	- EA $\frac{1}{2}$
- 605	- 2	vo			

Dies geht hervor aus dem Vergleich mit anderen Autoren, aus den angeführten Winkeln und aus dem Umstand, dass bei Hausmann für EAn n stets  $\frac{1}{2}$  ist. Wächst n über 1 hinaus, so schreibt Hausmann AEn.

Nach der Reihe der Zahlen wäre zu erwarten gewesen 10-1 statt 11-1 für Kokscharow's w, in Naumann'schen Zeichen: 11P  $\frac{1}{2}$  statt 12P  $\frac{1}{2}$ . Allerdings sprechen die Winkelangaben für 11-1. (Kokscharow Mat. Min. Russl. 1853. I. 155.) Sollte eine erneute Kontrolle des Herrn v. Kokscharow wohl noch zugänglichen Materials etwa doch für 10-1 sprechen? Es wäre dies vom theoretischen Standpunkt interessant.

Correcturen.

Hausmann	Handb.	1847	2 (1)	Seite 604	Zeile 8	vu	}	lies	EA $\frac{2}{3}$	statt	EA $\frac{1}{2}$
-	-	-	-	- 605	- 2	vo					
-	-	-	-	- 604	- 7	vu	}	-	EA $\frac{2}{3}$	-	EA $\frac{1}{2}$
-	-	-	-	- 605	- 2	vo					
Miller	Min.	1852	-	336	- 9	vu	-	04I	-	041	
-	-	-	-	336	- 8	-	-	032	-	032	
Verha	Zeitschr. Kryst.	1881	5	432	- 2	vo	-	(3032)	-	(3032)	



Beudantit.

Hexagonal. Rhomboedrisch-hemiedrisch.

Axenverhältnisse.

$a : c = 1 : 1.1842 \text{ (G}_2\text{)}$   
(1)

$[a : c = 1 : 1.1842] \text{ (Dauber. Schrauf. G}_1\text{)}$   
(10)

Elemente.

$= 1.1842$	$\lg c = 007342$	$\lg a_o = 016514$ $\lg a'_o = 992658$	$\lg p_o = 989733$	$a_o = 1.4626$ $a'_o = 0.8445$	$p_o = 0.7895$
------------	------------------	---	--------------------	-----------------------------------	----------------

Transformation.

Dauber. Schrauf. G <sub>1</sub>	G <sub>2</sub>
p q	(p + 2 q) (p - q)
$\frac{p + 2 q}{3} \frac{p - q}{3}$	p q

No.	Gdt.	Schrauf.	Bravais.	Miller.	Naumann.	G <sub>1</sub>	G <sub>2</sub>
1	c	c	0001	111	o R	o	o
2	q	—	100-10-1	733	+ 10 R	+ 10-0	+ 10-10
3	V	V	5051	11-4-4	+ 5 R	+ 50	+ 5
4	R	R	1011	100	+ R	+ 10	+ 1
5	r	r	1011	221	— R	— 10	— 1
6	s	s	2021	111	— 2 R	— 20	— 2
7	t	t	5052	778	— ½ R	— ½0	— ½
8	u	u	4041	557	— 4 R	— 40	— 4
9	v	v	5051	223	— 5 R	— 50	— 5

Literatur.

<i>Dauber</i>	<i>Pogg. Ann.</i>	1857	100	579
<i>Sandberger</i>	<i>Pogg. Ann.</i>	1857	100	589
<i>Dana</i>	<i>System</i>	1873	—	611
<i>Schrauf</i>	<i>Atlas</i>	1873	—	Taf. XXXIV
<i>Rath</i>	<i>Jahrb. Min.</i>	1877	—	829 (Dernbach).

Bemerkungen.

Die berechneten Elemente entsprechen der Aufstellung  $G_2$ . In den Zahlen ist kein Vorzug für eine der beiden Symbolreihen, doch spricht für  $G_2$  die rhomboedrische Ausbildung, die es als wahrscheinlich erscheinen lässt, dass bei weiterer Kenntniss der Formen  $G_2$  die einfachere Reihe sein wird.

Correcturen.

*Schrauf Atlas* 1873 Text zu Taf. XXXIV Zeile 16 vo lies Dernbach bei Montabaur  
statt Montabaur bei Dernbach.

Bieberit.

Monoklin.

Axenverhältnisse.

a : b : c = 1.1814 : 1 : 1.5323    β = 104°40 (Marignac. Schrauf.)

Elemente.

a = 1.1814	lg a = 007240	lg a <sub>0</sub> = 988705	lg p <sub>0</sub> = 011294	a <sub>0</sub> = 0.7710	p <sub>0</sub> = 1.2970
c = 1.5323	lg c = 018534	lg b <sub>0</sub> = 981465	lg q <sub>0</sub> = 017095	b <sub>0</sub> = 0.6526	q <sub>0</sub> = 1.4824
$\mu = \left. \begin{matrix} 75^{\circ} 20' \\ 180-3 \end{matrix} \right\}$	$\left. \begin{matrix} \lg h = \\ \lg \sin \mu \end{matrix} \right\} 998561$	$\left. \begin{matrix} \lg e = \\ \lg \cos \mu \end{matrix} \right\} 940346$	$\lg \frac{p_0}{q_0} = 994199$	h = 0.9674	e = 0.2532

No.	Miller. Schrauf. Gdt.	Marignac.	Rammels- berg.	Miller.	Naumann.	Gdt.
1	c	P	c	001	oP	o
2	b	E	b	010	∞P∞	o∞
3	m (M)	M	p	110	∞P	∞
4	e	$e\frac{1}{3}$	$\frac{q}{3}$	013	$\frac{1}{3}P\infty$	$o\frac{1}{3}$
5	o	e	q	011	P∞	o 1
6	f	$a\frac{1}{3}$	$\frac{r}{3}$	103	$-\frac{1}{3}P\infty$	$+\frac{1}{3}o$
7	v	a	r	101	-P∞	+ 1 o
8	t	a	r'	101	+P∞	- 1 o
9	p	m	o	111	-P	+ 1
10	n	n	s	121	-2P2	+ 1 2
11	v	v	s'	131	+2P2	- 1 2

Literatur.

Brooke	<i>Ann. Philos.</i>	18.. 22 120 <sup>1)</sup>
Miller	<i>Min.</i>	1852 — 549
Marignac	<i>Rech. s. l. formes cryst. d. quelques compos. chim.</i>	Genf 1855.
Schrauf	<i>Atlas</i>	1873 — Taf. XXXIV.
Rammelsberg	<i>Handb. kryst. phys. Chem.</i>	1881 1 419
Groth	<i>Tab. Uebers.</i>	1882 — 54 (Kobaltvitriol).

<sup>1)</sup> Citirt nach Schrauf. Die Arbeit war mir nicht zugänglich.

*Bemerkungen* }  
*Correcturen* } s. Seite 305 u. 306.

Bemerkungen.

Für den Bieberit finden wir dreierlei Elemente angegeben:

berechnet aus den Winkeln von Miller:  $a:b:c = 1:1832:1:1:5986$   $\beta = 104^\circ 54'$

nach Rammelsberg und Groth Tab. „  $= 1:1835:1:1:4973$   $\beta = 104^\circ 55'$

„ Marignac, Schrauf Atlas. „  $= 1:1814:1:1:5323$   $\beta = 104^\circ 40'$

Diesen Angaben liegen nur zwei Beobachtungsreihen zu Grunde, die ältere von Brooke (Ann. Phil. 22, 120), die neuere von Marignac (Mem. Geneve 1855).

Aus den Beobachtungen von Brooke haben Miller und Rammelsberg ihre Elemente berechnet, jedoch von den nicht abgeglichenen Winkeln verschiedene der Rechnung zu Grunde gelegt. Marignac giebt eigene Grund-Winkel, aus denen Schrauf die Elemente berechnet hat.

Folgende Zusammenstellung wird am besten Klarheit geben. Sie wird auch deshalb willkommen sein, weil sie Marignac's berechnete Winkel wiedergiebt, die ausser in der nicht sehr verbreiteten Originalarbeit sich nirgends finden.

Gdt.		Brooke.	Miller.		Rammelsberg.	Marignac.		
Buchst.	Symbol.	$\angle$ beob.	Buchst.	$\angle$ berech.	Buchst.	$\angle$ berech.	Symbol.	$\angle$ berech. $\angle$ beob.
b m	$\infty:\infty$	—	—	—	b: p	$41^\circ 10'$	E: M	$41^\circ 11'$ $41^\circ 11'$
m m	$\infty:\infty$	$97^\circ 40'$	m m	$*97^\circ 40'$	p: p	$*97^\circ 40'$	M: M	$97^\circ 38'$ $*97^\circ 38'$
c p	$0:1$	—	—	—	c: o	$55^\circ 01'$	P: m	$55^\circ 38'$ $55^\circ 40'$
c m	$0:\infty$	$80^\circ 15'$	c m	$*80^\circ 15'$	c: p	$*80^\circ 15'$	P: M	$80^\circ 24'$ $*80^\circ 24'$
c f	$0:\frac{1}{2}0$	—	—	—	c: $\frac{r}{3}$	$20^\circ 11'$	P: a $\frac{1}{3}$	$20^\circ 39'$ $20^\circ 36'$
c v	$0:10$	$44^\circ 05'$	c v	$*44^\circ 06'$	c: r	$42^\circ 41'$	P: a	$43^\circ 22'$ $43^\circ 20'$
(u)	$0:\infty 0$	—	—	—	(o)	$75^\circ 05'$	P: h'	$75^\circ 20'$ —
c t	$0:-10$	$61^\circ 07'$	c t	$63^\circ 25'$	c: r'	$*61^\circ 07'$	P: a	$61^\circ 51'$ $61^\circ 49'$
c e	$0:0\frac{1}{2}$	—	e c	$27^\circ 15'$	c: $\frac{q}{3}$	$25^\circ 45'$	P: e $\frac{1}{3}$	$26^\circ 08'$ —
c o	$0:01$	$56^\circ 0'$	c o	$57^\circ 05'$	c: q	$55^\circ 21'$	P: e	$56^\circ 0'$ $*56^\circ 0'$
o o	$01:01$	—	o o	$114^\circ 10'$	q: q	$110^\circ 42'$	e: e	$112^\circ 0'$ $111^\circ 58'$
c n	$0:12$	—	—	—	c: s	$67^\circ 07'$	P: n	$67^\circ 35'$ $67^\circ 30'$
c v	$0:-12$	—	—	—	c: s'	$77^\circ 53'$	P: v	$78^\circ 13'$ $78^\circ 0'$
b n	$\infty:12$	—	—	—	b: s	$31^\circ 56'$	E: n	$31^\circ 39'$ $31^\circ 40'$
b p	$\infty:1$	—	b p	$50^\circ 32'$	b: o	$51^\circ 15'$	E: m	$50^\circ 57'$ $50^\circ 50'$
b v	$\infty:10$	—	—	—	b: r	—	E: a	$90^\circ$ —
p p	$1:1$	—	—	—	o: o	$77^\circ 30'$	m: m	$78^\circ 06'$ $78^\circ 0'$
n n	$12:12$	—	—	—	s: s	$116^\circ 08'$	n: n	$116^\circ 42'$ —
t v	$-10:-12$	—	—	—	r': s'	$64^\circ 15'$	a: v	$64^\circ 22'$ $64^\circ 20'$
v v	$-12:-12$	—	—	—	s': s'	$128^\circ 30'$	v: v	$128^\circ 43'$ $128^\circ 38'$
o v	$01:10$	—	o v	—	q: r	—	e: a	$66^\circ 01'$ $66^\circ 02'$
v m	$10:\infty$	—	v m	—	r: p	$56^\circ 14'$	a: M	$56^\circ 02'$ $56^\circ 04'$
v v	$10:-12$	—	—	—	r: s'	—	a: v	$83^\circ 29'$ $83^\circ 34'$
m o	$\infty:10$	—	m o	—	p: q	—	M: e	$57^\circ 57'$ $57^\circ 54'$
m v	$\infty:-12$	—	—	—	p: s'	—	M: v	$27^\circ 27'$ $27^\circ 29'$
m f	$\infty:\frac{1}{2}0$	—	—	—	p: $\frac{r}{3}$	—	M: a $\frac{1}{3}$	$67^\circ 37'$ $67^\circ 45'$
t m	$-10:\infty$	—	t m	—	r': p	$61^\circ 38'$	a: M	$61^\circ 07'$ $61^\circ 09'$
t n	$-10:12$	—	—	—	r': s	—	a: n	$82^\circ 05'$ —
t o	$-10:01$	—	t o	—	r': q	—	a: e	$105^\circ 18'$ $105^\circ 10'$
m o	$\infty:01$	—	m o	—	p: q	—	M: e	$44^\circ 11'$ $44^\circ 10'$
o f	$01:\frac{1}{2}0$	—	—	—	q: $\frac{r}{3}$	—	e: a $\frac{1}{3}$	$58^\circ 27'$ $58^\circ 26'$

Die Winkel \* sind von Miller, Rammelsberg, Marignac zur Berechnung der Elemente benutzt worden. Alle Winkel in der Tabelle sind Polarwinkel.

(Fortsetzung S. 306.)

Bemerkungen. (Fortsetzung von S. 305.)

Aus der Tabelle ist ersichtlich, dass die verschiedenen Autoren folgende Winkel-Elementen zu Grunde gelegt haben:

Miller	mm	97°40	cm	80°15	cv	44°06	nach Brooke's B
Rammelsberg	pp	97°40	cp	80°15	cr'	61°07	"
Marignac	MM	97°38	PM	80°24	Pe	56°0	nach eigener Mess

Es ist ferner ersichtlich, dass Marignac's Elemente, die auch Schrauf acceptirt und die daraus berechneten Winkel am besten mit der Beobachtung übereinstimmen, besser als die Elemente Rammelsberg's, die sich in Groth's Tab. Uebers. wiederfinden. Warum Rammelsberg es vorgezogen hat, statt die ihm bekannten Rechnungen Marignac's anzunehmen auf Brooke's Messungen zurückzugehen und für seine Elemente einen so kleinen Winkel ( $c r'$ ) aufzunehmen, der von Marignac's Beobachtung stark differirt, ist nicht zu erklären.

Am wenigsten stimmen mit den späteren Beobachtungen Miller's berechnete Winkel. Der Winkel  $cv$  als Fundamental-Winkel ist unglücklich gewählt.

$e_{012}$  bei Miller ist ein Druckfehler, statt  $e_{013}$  wie aus dem Winkel  $ec$  27°15 vorgeht.

Correcturen.

Miller	Min.	1852	Seite 549	Zeile 18 vo lies	$e_{013}$	statt $e_{012}$
Schrauf	Atlas	1873	vor Taf. XXXIV	" 11 vu "	—2P2	" 2P2



**Binnit.** (v. Rath.)

Regulär. Tetraedrisch-hemiedrisch. (?)

No.	Gdt.	Schrauf.	Miller.	Naumann.	Des Cloizeaux.	G <sub>1</sub>	G <sub>2</sub>	G <sub>3</sub>
1	c	a	∞01	∞O∞	p	0	0∞	∞0
2	d	d	101	∞O	b <sup>1</sup>	10	01	∞
3	μ	—	1·1·10	10O10	a <sup>10</sup>	$\frac{1}{10}$	1·10	10·1
4	s	—	117	7O7	a <sup>7</sup>	$\frac{1}{7}$	17	71
5	r	φ	116	6O6	a <sup>6</sup>	$\frac{1}{6}$	16	61
6	k	—	114	4O4	a <sup>4</sup>	$\frac{1}{4}$	14	41
7	q	n	112	2O2	a <sup>2</sup>	$\frac{1}{2}$	12	21
8	p	o	111	O	a <sup>1</sup>	1	1	1
9	φ	[z]	414	4O	a <sup><math>\frac{1}{4}</math></sup>	1 $\frac{1}{4}$	$\frac{1}{4}$ 1	4
10	w	—	323	$\frac{3}{2}$ O	a <sup><math>\frac{2}{3}</math></sup>	1 $\frac{2}{3}$	$\frac{2}{3}$ 1	$\frac{3}{2}$
11	x	π	213	3O $\frac{3}{2}$	s	$\frac{2}{3}$ $\frac{1}{3}$	$\frac{1}{2}$ $\frac{2}{3}$	3 2



**Blei.**

(Künstliche Krystalle.)

**Regulär.**

No.	Gdt.	Miller.	Miller.	Naumann.	G <sub>1</sub>	G <sub>2</sub>	G <sub>3</sub>
1	c	—	∞01	∞O∞	0	0∞	∞0
2	p	o	111	O	1	1	1

Literatur.

Miller	Mia.	1852	—	127
Weiss, A.	Wien. Sitzb.	1860	39	860.

# Bleiglanz.

Regulär.

No.	Gdt.	Schrauf.	Haüy.	Miller.	Nau- mann.	Haus- mann.	Mohs.	Haüy.	Lévy. Descl.	G <sub>1</sub>	G <sub>2</sub>	G <sub>3</sub>
1	c	a	P	∞01	∞O∞	W	H	P	p	o	∞∞	∞o
2	α	—	—	1·0·10	∞O10	—	—	—	b <sup>10</sup>	$\frac{1}{10}o$	10·o	10∞
3	a	i	—	103	∞O3	—	—	—	b <sup>3</sup>	$\frac{1}{3}o$	3o	3∞
4	d	d	o	101	∞O	R	D	$\frac{1}{2}B$	b <sup>1</sup>	1o	1o	∞
5	β	c	—	1·1·36	36O36	—	—	—	a <sup>36</sup>	$\frac{1}{36}o$	36·1	36·1
6	γ	—	—	1·1·15	15O15	—	—	—	a <sup>15</sup>	$\frac{1}{15}o$	15·1	15·1
7	v	b	—	1·1·12	12O12	Tr·AE12	—	—	a <sup>12</sup>	$\frac{1}{12}o$	12·1	12·1
8	μ	—	—	1·1·10	10O10	—	—	—	a <sup>10</sup>	$\frac{1}{10}o$	10·1	10·1
9	θ	—	—	119	9O9	—	—	—	a <sup>9</sup>	$\frac{1}{9}o$	9·1	9·1
10	z	τ	—	2·2·15	$\frac{1}{2}O\frac{1}{2}$	—	—	—	a <sup><math>\frac{1}{2}</math></sup>	$\frac{2}{15}o$	$\frac{1}{2}·1$	$\frac{1}{2}·1$
11	r	z	r	116	6O6	Tr·AE6	—	$\frac{1}{6}A$	a <sup>6</sup>	$\frac{1}{6}o$	6·1	6·1
12	l	—	—	115	5O5	—	—	—	a <sup>5</sup>	$\frac{1}{5}o$	5·1	5·1
13	k	μ	—	114	4O4	—	—	—	a <sup>4</sup>	$\frac{1}{4}o$	4·1	4·1
14	m	m	z	113	3O3	Tr·AE3	C <sub>2</sub>	$\frac{3}{2}A$	a <sup>3</sup>	$\frac{1}{3}o$	3·1	3·1
15	q	n	n	112	2O2	Tr·AE2	C <sub>1</sub>	$\frac{2}{2}A$	a <sup>2</sup>	$\frac{1}{2}o$	2·1	2·1
16	n	β	—	223	$\frac{3}{2}O\frac{3}{2}$	—	—	—	a <sup><math>\frac{3}{2}</math></sup>	$\frac{2}{3}o$	$\frac{3}{2}·1$	$\frac{3}{2}·1$
17	t	α	—	334	$\frac{4}{3}O\frac{4}{3}$	Tr·AE $\frac{4}{3}$	—	—	a <sup><math>\frac{4}{3}</math></sup>	$\frac{3}{4}o$	$\frac{4}{3}·1$	$\frac{4}{3}·1$
18	p	o	c	111	O	O	O	$\frac{1}{1}A$	a <sup>1</sup>	1	1	1
19	φ	s	—	414	4O	PO·EA $\frac{1}{4}$	—	—	a <sup><math>\frac{1}{4}</math></sup>	$1\frac{1}{4}o$	$1\frac{1}{4}$	4
20	v	q	—	313	3O	—	—	—	a <sup><math>\frac{1}{3}</math></sup>	$1\frac{1}{3}o$	$1\frac{1}{3}$	3
21	u	p	l	212	2O	PO·EA $\frac{1}{2}$	B <sub>1</sub>	$\frac{1}{2}AB^1B^2$	a <sup><math>\frac{1}{2}</math></sup>	$1\frac{1}{2}o$	$1\frac{1}{2}$	2
22	ψ	r	—	747	$\frac{7}{4}O$	PO·EA $\frac{7}{4}$	—	—	a <sup><math>\frac{7}{4}</math></sup>	$1\frac{3}{4}o$	$1\frac{3}{4}$	$\frac{7}{4}$
23	χ	u	—	545	$\frac{5}{4}O$	PO·EA $\frac{5}{4}$	—	—	a <sup><math>\frac{5}{4}</math></sup>	$1\frac{1}{4}o$	$1\frac{1}{4}$	$\frac{5}{4}$
24	ω	Δ	—	218	8O4	—	—	—	—	$\frac{1}{4}o$	$4\frac{1}{2}$	8·2
25	x	λ	—	213	3O $\frac{3}{2}$	—	—	—	s	$\frac{2}{3}\frac{1}{3}$	$\frac{3}{2}\frac{1}{2}$	3·2

Literatur.

Haüy	Traité Min.	1822	3	345
Mohs	Grundr.	1824	2	570
Hartmann	Handwb.	1828	—	79
Naumann	Pogg. Ann.	1829	16	487
Levy	Descr.	1838	2	391
Mohs-Zippe	Min.	1839	2	541
Hausmann	Handb.	1847	2	(1) 94
Miller	Min.	1852	—	155
Klein	Jahrb. Min.	1870	—	311
Schrauf	Atlas	1873	—	Taf. XXXIV u. XXXV
Frenzel	Jahrb. Min.	1874	—	425
Sadebeck	D. Geol. Ges.	1874	26	617
Zepharovich	Zeitschr. Kryst.	1877	1	155
Groth	Strassb. Samml.	1878	—	46
Arzruni-Frenzel	Min. Pet. Mith.	1880	3	509
"	Zeitschr. Kryst.	1882	7	94.

Correcturen.

Haüy Traité Min. 1822 3 Seite 346 Zeile 2 vu lies  $\overset{2}{A}$  statt A.



# Bloedit.

1.

## Monoklin.

### Axenverhältnisse.

$$a : b : c = 0.6705 : 1 : 1.3494 \quad \beta = 100^\circ 38' \text{ (Gdt.)}$$

$$[a : b : c = 1.3494 : 1 : 0.6705 \quad \beta = 100^\circ 38'] \text{ (Hintze. Groth. Schimper.)}$$

$$[ \quad \quad = 1.3494 : 1 : 0.6715 \quad \beta = 100^\circ 44'] \text{ (Rath. Schrauf.)}$$

$$[ \quad \quad = 1.3417 : 1 : 0.6763 \quad \beta = 101^\circ 29'] \text{ (Brezina. Symmonyit.)}$$

### Elemente.

= 0.6705	lg a = 982640	lg a <sub>0</sub> = 969626	lg p <sub>0</sub> = 030374	a <sub>0</sub> = 0.4969	p <sub>0</sub> = 2.0125
= 1.3494	lg c = 013014	lg b <sub>0</sub> = 986986	lg q <sub>0</sub> = 012262	b <sub>0</sub> = 0.7411	q <sub>0</sub> = 1.3262
= } 79°22'	lg h = } 999248	lg e = } 926605	lg p <sub>0</sub> = 018112	h = 0.9828	e = 0.1845
0—β	lg sin μ	lg cos μ	q <sub>0</sub>		

### Transformation.

Hintze. Groth. Rath. Schimper. Schrauf. Brezina.	Gdt.
p q	$\frac{1}{p} \quad \frac{q}{p}$
$\frac{1}{p} \quad \frac{q}{p}$	p q

No.	Groth. Hintze. Gdt.	Schrauf. Rath.	Miller.	Naumann.	Gdt.
1	a	a	001	oP	0
2	b	b	010	∞P∞	0∞
3	c	c	100	∞P∞	∞0
4	d	d	110	∞P	∞
5	e	e	120	∞P2	∞2
6	λ	k	013	$\frac{1}{3}P\infty$	0 $\frac{1}{3}$
7	n	n	012	$\frac{1}{2}P\infty$	0 $\frac{1}{2}$
8	l	l	023	$\frac{2}{3}P\infty$	0 $\frac{2}{3}$
9	m	m	011	P∞	01
10	v	i	021	2P∞	02
11	μ	—	031	3P∞	03
12	q	q	102	$+\frac{1}{2}P\infty$	$-\frac{1}{2}0$

(Fortsetzung S. 315.)

Literatur.

<i>Tschermak</i>	<i>Wien. Sitzb.</i>	1869	60	718	(Simonyit v. Hallstadt. Messungen v. Bresina).
<i>Rath</i>	<i>Pogg. Ann.</i>	1871	144	586	}
<i>Groth u. Hintze</i>	<i>D. Geol. Ges.</i>	1871	28	670	
"	<i>Jahrb. Min.</i>	1872	5	528	
<i>Schrauf</i>	<i>Atlas</i>	1873	—	Taf. XXXV.	
<i>Schimper</i>	<i>Zeitschr. Kryst.</i>	1877	1	71	

## 2.

No.	Groth. Hintze. Gdt.	Schrauf. Rath.	Miller.	Naumann.	Gdt.
13	p	p	111	— P	+ 1
14	t	t	113	+ $\frac{1}{3}$ P	— $\frac{1}{3}$
15	s	s	112	+ $\frac{1}{2}$ P	— $\frac{1}{2}$
16	u	u	111	+ P	— 1
17	f	—	441	+ 4 P	— 4
18	z	z	131	— 3 P 3	+ 13
19	o	o	121	— 2 P 2	+ 12
20	v	v	212	+ P 2	— $1\frac{1}{2}$
21	x	x	121	+ 2 P 2	— 12
22	y	y	122	+ P 2	— $\frac{1}{2}$ 1
23	w	w	211	+ 2 P 2	— 21

1892

1893

1894

1895

1896

1897

1898

1899

1900

1901

1902

1903

1904

1905

1906

1907

1908

1909

1910

1911

1912

1913

1914

1915

1916

1917

1918

1919

1920

1921

1922

1923

1924

1925

1926

1927

1928

1929

1930

1931

1932

1933

1934

1935



1936

1937

1938

1939

1940

1941

1942

1943

1944

1945

1946

1947

1948

1949

1950

1951

1952

1953

1954

1955

1956

1957

1958

1959

1960

1961

1962

1963

1964

1965

1966

1967

1968

1969

1970

1971

1972

1973

1974

1975

# Bombiccit.

Triklin.

Axenverhältniss.

$$: b : c = 2.012 : 1 : 0.959 \quad \alpha \beta \gamma = 89^{\circ}09'; 88^{\circ}12'; 94^{\circ}37' \text{ (Schrauf.)}$$

Elemente der Linear-Projection.

a = 2.012	a <sub>0</sub> = 2.0980	α = 89°09'	x'₀ = 0.0327	d' = 0.0359
b = 1	b₀ = 1.0428	β = 88°12'	y'₀ = 0.0148	δ' = 65°36'
c = 0.959	c₀ = 1	γ = 98°37'	k = 0.9994	

Elemente der Polar-Projection.

p₀ = 0.4781	λ = 91°0'	x₀ = -0.0314	d = -0.0359
q₀ = 0.9617	μ = 91°52'	y₀ = -0.0175	δ = 60°54'
r₀ = 1	ν = 85°21'	h = 0.9994	

No.	Schrauf. Gdt.	Miller.	Naumann.	Gdt.
1	s	001	0 P	0
2	t	010	∞ P ∞	0 ∞
3	l	100	∞ P' ∞	∞ 0
4	m	110	∞ P'	∞
5	i	310	∞ P' 3	3 ∞
6	p	011	P' ∞	0 1
7	q	023	$\frac{2}{3}$ P' ∞	0 $\frac{2}{3}$
8	r	013	$\frac{1}{3}$ P' ∞	0 $\frac{1}{3}$
9	x	111	P'	1
10	y	535	P' $\frac{5}{3}$	1 $\frac{3}{5}$
11	z	515	P' 5	1 $\frac{1}{5}$
12	o	515	P' 5	1 $\frac{1}{5}$

Literatur.*Schrauf Atlas 1873 Taf. XXXV.*Bemerkungen.

Es wurde die von Schrauf gewählte Aufstellung beibehalten, obwohl eine Aufstellung den Vorzug verdienen dürfte mit dem Axen-Verhältniss

$$a : b : c = 0.959 : 2.012 : 1 \quad \alpha\beta\gamma = 94^{\circ}37' ; 90^{\circ}51' ; 91^{\circ}48'$$

Bezeichnen wir die Aufstellung Schrauf's mit A, diese mit B, so würde zur Transformation das Symbol gelten:

$$pq(A) \div \frac{1}{q} \frac{p}{q} (B).$$


---



**Boracit.**

Regulär.

No.	Gdt.	Miller. Schrauf	Hay. Mohs. Zippe. Hartm. Hausm.	Miller.	Naumann.	Hausmann.	Mohs- Zippe.	Hay.	Lévy.	G <sub>1</sub>	G <sub>2</sub>	G <sub>3</sub>
1	c	a	P	∞01	∞O∞	W	H	P	p	o	∞∞	∞0
2	a	i	—	103	∞O <sub>3</sub>	—	—	—	—	$\frac{1}{3}0$	03	3∞
3	d	d	n	101	∞O	RD	D	$\frac{1}{B}$	b <sup>1</sup>	10	01	∞
4	p	o	s	111	+ O	O	O	$\frac{1}{A}$	a <sup>1</sup>	+ 1	+ 1	+ 1
5	x	n	r	112	— 2 O <sub>2</sub>	PT <sub>1</sub>	C <sub>1</sub>	$\frac{2}{A}$	a <sup>2</sup>	— $\frac{1}{2}$	— 1 2	— 2 1
6	π	o'	s'	111	— O	O	O	$\frac{1}{e}$	—	— 1	— 1	— 1
7	Σ	Σ	—	525	+ $\frac{2}{3}O$	—	—	—	—	+ 1 $\frac{2}{3}$	+ $\frac{2}{3}1$	+ $\frac{2}{3}$
8	z	v	H(x)	315	+ 5 O $\frac{2}{3}$	TIT <sub>2</sub>	T <sub>2</sub>	—	b <sup>1</sup> b <sup><math>\frac{1}{3}</math></sup> b <sup><math>\frac{1}{3}</math></sup>	+ $\frac{2}{3}\frac{1}{3}$	+ $\frac{1}{3}\frac{1}{3}$	+ 5 3

Literatur.

<i>Hauy</i>	<i>Traité Min.</i>	1822	2	56
<i>Hausmann</i>	<i>Leont. Taschenb.</i>	1822	16	927
<i>Mohs</i>	<i>Grundr.</i>	1824	2	400
<i>Haidinger</i>	<i>Edinb. Journ.</i>	1825	3	110
"	<i>Pogg. Ann.</i>	1826	8	511
<i>Hartmann</i>	<i>Handb.</i>	1828	—	86
<i>Lévy</i>	<i>Descr.</i>	1838	1	233
<i>Mohs-Zippe</i>	<i>Min.</i>	1839	2	385
<i>Hausmann</i>	<i>Handb.</i>	1847	2	(s) 1422
<i>Miller</i>	<i>Min.</i>	1852	—	602
<i>Schrauf</i>	<i>Atlas</i>	1873	—	Taf. XXXVI
<i>Des Cloizeaux</i>	<i>Manuel</i>	1874	2	3
<i>Klein</i>	<i>Jahrb. Min.</i>	1880	2	209.

Bemerkungen.

Die von Hauy gegebene und von Mohs (Grundriss) wiederholte Form  $x = T_3$  ist durch die späteren Autoren durch  $\frac{2}{3} \frac{1}{2} = T_2$  ersetzt und es hat das Symbol  $\frac{1}{2} \frac{1}{2}$  in W zu kommen.

**Borax.****Monoklin.****Axenverhältnisse.**

$$a : b : c = 1.0995 : 1 : 1.126 \quad \beta = 106^\circ 35' \text{ (Miller. Des Cloizeaux. Gdt.)}$$

$$a : b : c = 1.08 : 1 : 1.12 \quad \beta = 106^\circ 07' \text{ (Hauy.)}$$

$$[a : b : c = 1.0995 : 1 : 0.5629 \quad \beta = 106^\circ 35'] \text{ (Schrauf.)}$$

$$[ \quad \quad = 1.100 : 1 : 0.563 \quad \beta = 106^\circ 35'] \text{ (Mohs-Zippe.)}$$

$$(a : b : c = 2.066 : 1 : 0.5963 \quad \beta = 90^\circ) \text{ (Mohs 1824. Hartmann.)}$$

$$\{a : b : c = 1.111 : 1 : 2.272 \quad \beta = 106^\circ 55'\} \text{ (Lévy.)}$$

**Elemente.**

$a = 1.0995$	$\lg a = 0.04120$	$\lg a_0 = 998966$	$\lg p_0 = 0.01034$	$a_0 = 0.9765$	$p_0 = 1.0241$
$c = 1.126$	$\lg c = 0.05154$	$\lg b_0 = 994846$	$\lg q_0 = 0.03309$	$b_0 = 0.8881$	$q_0 = 1.0792$
$\mu = \left. \begin{matrix} 180 \\ \beta \end{matrix} \right\} 73^\circ 25'$	$\lg h = \left. \begin{matrix} 998155 \\ \lg \sin \mu \end{matrix} \right\}$	$\lg e = \left. \begin{matrix} 945547 \\ \lg \sin \mu \end{matrix} \right\}$	$\lg \frac{p_0}{q_0} = 997725$	$h = 0.9584$	$e = 0.2854$

**Transformation.**

Lévy.	Mohs 1824. Hartmann.	Mohs- Zippe.	Hausmann.	Dana. Schrauf. Groth.	Miller.	Hauy. Descloiz. Gdt.
$pq$	$-4p(8q-1)$	$-4p \cdot 4q$	$4q \cdot 4p$	$4p \cdot 4q$	$-2p \cdot 2q$	$2p \cdot 2q$
$-\frac{p}{4} \frac{q+1}{8}$	$pq$	$p \frac{q+1}{2}$	$-\frac{q+1}{2} p$	$-\frac{p}{2} \frac{q+1}{2}$	$\frac{p}{2} \frac{q+1}{4}$	$-\frac{p}{2} \frac{q+1}{4}$
$-\frac{p}{4} \frac{q}{4}$	$p(2q-1)$	$pq$	$-qp$	$-pq$	$\frac{p}{2} \frac{q}{2}$	$-\frac{p}{2} \frac{q}{2}$
$\frac{q}{4} \frac{p}{4}$	$-q-(2p+1)$	$-qp$	$pq$	$qp$	$-\frac{q}{2} \frac{p}{2}$	$\frac{q}{2} \frac{p}{2}$
$\frac{p}{4} \frac{q}{4}$	$-p(2q-1)$	$-pq$	$qp$	$pq$	$-\frac{p}{2} \frac{q}{2}$	$\frac{p}{2} \frac{q}{2}$
$-\frac{p}{2} \frac{q}{2}$	$2p(4q-1)$	$2p \cdot 2q$	$-2q \cdot 2p$	$-2p \cdot 2q$	$pq$	$-pq$
$\frac{p}{2} \frac{q}{2}$	$-2p(4q-1)$	$-2p \cdot 2q$	$2q \cdot 2p$	$2p \cdot 2q$	$-pq$	$pq$

No.	Miller. Schrauf. Gdt.	Hauy. Mohs. Naum. Zirk.	Hausm. Zippe.	Miller.	Nau- mann.	Haus- mann.	[Mohs 1824.]	[Mohs- Zippe 1839.]	Hauy.	[Lévy.]	Descl.	Gdt.
1	c	P	001	oP	A	--Pr	P--∞	P	p	p	o	o
2	b	T	010	∞P∞	B'	Pr+∞	Pr+∞	T	—	g <sup>1</sup>	o∞	o∞
3	a	M	100	∞P∞	B	Pr+∞	Pr+∞	M	h <sup>1</sup>	h <sup>1</sup>	∞o	∞o
4	m	r	110	∞P	E	(Pr+∞) <sup>3</sup>	P+∞	<sup>1</sup> G <sup>1</sup>	m	m	∞	∞
5	s	s	021	2P∞	—	—	—	—	—	e <sup>2</sup>	o2	o2
6	o	o	112	$\frac{1}{2}P$	P'	P	P	$\frac{1}{2}A$	b <sup>2</sup>	b <sup>1</sup>	$-\frac{1}{2}$	$-\frac{1}{2}$
7	z	z	111	P	$\bar{E}A\frac{1}{2}$	(Pr) <sup>5</sup>	P+1	$\frac{1}{2}A$	b <sup>1</sup>	b <sup>2</sup>	—1	—1

Goldschmidt, Index.

Literatur.

<i>Hauy</i>	<i>Traité Min.</i>	1822	2	200
<i>Mohs</i>	<i>Grundr.</i>	1824	2	64
<i>Hartmann</i>	<i>Handwb.</i>	1828	—	85
<i>Lévy</i>	<i>Descr.</i>	1838	1	332
<i>Mohs-Zippe</i>	<i>Min.</i>	1839	2	54
<i>Hausmann</i>	<i>Handb.</i>	1847	2	(2) 1430
<i>Miller</i>	<i>Min.</i>	1852	—	604
<i>Schrauf</i>	<i>Wien. Sitzb.</i>	1860	39	905
"	<i>Atlas</i>	1873	—	Taf. XXXVI
<i>Dana</i>	<i>System</i>	1873	—	597
<i>Des Cloizeaux</i>	<i>Manuel</i>	1874	2	7
<i>Groth</i>	<i>Tab. Uebers.</i>	1882	—	59

Bemerkungen.

J. D. Dana giebt die Winkel, die er aus Miller's Min. 1852. 604 entnommen hat, jedoch ist in dem daraus berechneten Axen-Verhältniss ein Rechenfehler. Es soll heissen:

$$a : b : c = 0.5121 : 1 : 0.9095$$

$$\text{statt } a : b : c = 0.4906 : 1 : 0.9095.$$

Dieser Fehler ist übergegangen in Groth's Tab. Uebers. und es ist dort zu lesen S. 59:

$$a : b : c = 1.0995 : 1 : 0.5630$$

$$\text{statt } a : b : c = 1.0997 : 1 : 0.5394.$$

Dieselbe Correctur ist anzubringen in Naumann-Zirkel Elemente d. Min. 1877 Seite 304.

Correcturen.

<i>Hartmann</i>	<i>Handwb.</i>	1828	-	Seite 85	Zeile 12	vu	lies	Fig. 103	statt	Fig. 101.
"	"	"	—	"	"	"	13	vo	"	$\frac{P}{2}$
"	"	"	—	"	"	"	14	vo	"	$\frac{P}{2}$
<i>Hausmann</i>	<i>Handb.</i>	1847	2	(2)	"	1431	"	13	vo	"
<i>Dana, J. D.</i>	<i>System</i>	1873	—	"	507	"	10	vo	"	B'A $\frac{1}{4}$ (s)
<i>Naumann-Zirkel</i>	<i>Elem.</i>	1877	--	"	394	"	3	vo	"	0.5121
<i>Groth</i>	<i>Tab. Uebers.</i>	1882	—	"	59	"	14	vu	"	0.5630

# Botryogen.

## Monoklin.

### Axenverhältniss.

$$a:b:c = 0.6522:1:0.5953 \quad \beta = 117^\circ 34' \text{ (Gdt.)}$$

$$\begin{array}{l} a:b:c = 0.6346:1:0.5792 \quad \beta = 117^\circ 34' \text{ (Miller.)} \\ a:b:c = 0.6521:1:0.5992 \quad \beta = 117^\circ 34' \text{ (Dana, Schrauf.)} \end{array} \left. \vphantom{\begin{array}{l} a:b:c = 0.6346:1:0.5792 \\ a:b:c = 0.6521:1:0.5992 \end{array}} \right\} \text{Vgl. Anm.}$$

$$[a:b:c = 0.6476:1:0.3970 \quad \beta = 116^\circ 48'] \text{ (Haidinger.)}$$

### Elemente.

a = 0.6522	lg a = 981438	lg a <sub>0</sub> = 003964	lg p <sub>0</sub> = 996036	a <sub>0</sub> = 1.0955	p <sub>0</sub> = 0.9128
c = 0.5953	lg c = 977474	lg b <sub>0</sub> = 022526	lg q <sub>0</sub> = 972241	b <sub>0</sub> = 1.6798	q <sub>0</sub> = 0.5277
$\mu = \left. \begin{array}{l} 62^\circ 26' \\ 180 - \beta \end{array} \right\}$	$\left. \begin{array}{l} \lg h = \\ \lg \sin \mu \end{array} \right\} 994767$	$\left. \begin{array}{l} \lg e = \\ \lg \cos \mu \end{array} \right\} 966537$	lg $\frac{p_0}{q_0} = 023795$	h = 0.8865	e = 0.4628

### Transformation.

Haidinger. Mohs-Zippe. Hausmann.	Miller.	Dana. Schrauf. Gdt.
p q	$-\frac{2}{3} p \frac{2}{3} q$	$\frac{2}{3} p \frac{2}{3} q$
$-\frac{2}{3} p \frac{2}{3} q$	p q	- p q
$\frac{2}{3} p \frac{2}{3} q$	- p q	p q

No.	Miller. Gdt.	Haidinger. Mohs-Zippe. Hausmann.	Miller.	Naumann.	[Hausmann.]	[Haidinger.] [Mohs-Zippe]	Gdt.
1	c	P	001	o P	A	P - ∞	o
2	b	u	010	∞ P ∞	B	P r + ∞	o ∞
3	m	g	110	∞ P	E	P + ∞	∞
4	f	f	120	∞ P 2	B B' 2	(P + ∞) <sup>2</sup>	∞ 2
5	v	q	023	$\frac{2}{3} P \infty$	[A B 2]	[P r - 1]	o $\frac{2}{3}$
6	x	y	101	+ P ∞	B' A $\frac{2}{3}$	$-\frac{2}{3} P r + 1$	-1 o
7	n	n	111	+ P	[P']	[- P]	- 1

Literatur.

<i>Haidinger</i>	<i>Pogg. Ann.</i>	1828	12	491
<i>Mohs-Zippe</i>	<i>Min.</i>	1839	2	48
<i>Hausmann</i>	<i>Handb.</i>	1847	2	(2) 1199
<i>Miller</i>	<i>Min.</i>	1852	—	551
<i>Schrauf</i>	<i>Atlas</i>	1871	—	Taf. XXXVI
<i>Dana</i>	<i>System</i>	1873	—	657

*Bemerkungen* }  
*Correcturen* } s. Seite 325 u. 326.



Bemerkungen.

Haidinger giebt (Pogg. Ann. 1828. 12. 491) folgende Winkel an:

$n : n = 125^{\circ}22$		$n : n = 125^{\circ}22$
$q : q = 141^{\circ}0$	die von Brooke und	$v : v' = 141^{\circ}0$
$P : g = 113^{\circ}37$	Miller aufgenommen	$m : c = 113^{\circ}37$
$g : g = 119^{\circ}56$	wurden (Min. 1852. 531)	$m : m' = 119^{\circ}56$
$f : f = 81^{\circ}44$	als:	$f : f = 81^{\circ}44$
$y : P = 125^{\circ}31$		$c : x = 54^{\circ}29$

Die Winkel stimmen unter sich nicht überein und je nach den Winkeln, die man als Axenwinkel auswählt, fällt das Axenverhältniss verschieden aus. Miller hat dazu  $cx$ ;  $mm'$  und  $cm'$  gewählt, aus diesen  $101, 100 = 63^{\circ}5$  berechnet.

Man sind die Elemente festgelegt und sie berechnen sich wie folgt:

$$\begin{array}{llll} a = 0.6522 & p_0 = 0.9129 & a_0 = 1.0955 & \beta = 117^{\circ}34 \\ c = 0.5953 & q_0 = 0.5277 & b_0 = 1.6797 & \mu = 62^{\circ}26 \end{array}$$

Man hat aber Miller, nachdem er schon drei Winkel verwendet, als vierten den  $n'$  eingeführt resp.  $bn = 110, 010 = 62^{\circ}41$ , welcher Winkel sich mit den anderen nicht trägt. Aus den nunmehr aufgestellten Winkeln würde sich berechnen:

$$a : b : c = 0.6346 : 1 : 0.5792 \quad \beta = 117^{\circ}34$$

D. Dana ist ähnlich verfahren, hat jedoch, nachdem  $\mu = 62^{\circ}26$  auf dieselbe Weise bestimmt, den Winkel  $vv' = 141^{\circ}0$  einbezogen, so zunächst  $O : 1 = 152^{\circ}1\frac{1}{2}$  und daraus verhältniss:

$$a : b : c = 0.6521 : 1 : 0.5992 \quad \beta = 117^{\circ}34$$

das Schrauf in seinem Atlas (Taf. XXXVI) aufgenommen hat.

Man weiss ist es nicht correct, nachdem die drei besten Winkel ausgewählt, einen vierten hinzuziehen, da hierdurch Widersprüche der berechneten Winkel entstehen. Im vorliegenden Fall dürfte es um so weniger gerechtfertigt sein, als die  $n$  Winkel unsichere gewesen zu sein scheinen. Darauf deutet der Umstand, dass aus dem Axen-Verhältniss hervorgehenden Transformation:

$$pq \text{ (Haidinger, Mohs-Zippe, Hausmann)} \div -\frac{2}{3}p \frac{3}{2}q \text{ (Miller)}$$

bei  $n$  und  $v$  ( $q$ ) eine Uebereinstimmung nicht stattfindet.

Man ist gewiss in diesem Fall am richtigsten, zum Ausgang der Rechnung nur die drei  $cx$ ,  $mm'$ ,  $cm$  zu wählen und auf Grund der oben abgeleiteten Elemente weiter zu rechnen. Dann berechnet sich:

berechn.:	$xn = 27^{\circ}02.5$	beob.:	$27^{\circ}19$	Haidinger	$\left(\frac{nn'}{2}\right)$
"	$cv = 19^{\circ}23.5$	"	$19^{\circ}30$	"	(Pq)
"	$*cx = 54^{\circ}29$	"	$54^{\circ}29$	"	(Py)
"	$*mm' = 60^{\circ}04$	"	$60^{\circ}04$	"	(gg)
"	$*cm = 113^{\circ}37$	"	$113^{\circ}37$	"	(Pg)
"	$ff = 98^{\circ}17$	"	$98^{\circ}16$	"	(ff)

Man lässt diesen Winkeln giebt Miller nur noch deren Differenzen, sowie den aus seinen Elementen berechneten Winkel:

$$nc = 58^{\circ}56,$$

unseren Elementen sein würde  $= 58^{\circ}50'$ .

Der von Dana berechnete Winkel:

$$O : 1 = 152^{\circ}1 = 0 : 01 = 27^{\circ}58.5 \text{ (Dana)}$$

ergibt sich zu:

$$O : 01 = 27^{\circ}49.4 \text{ (Gdt)}$$

Man liessere Beobachtungen als die von Haidinger konnte ich nicht auffinden und dürften aus den oben gegebenen Elemente, da sie ziemlich gute Uebereinstimmung zwischen Beobachtung und Rechnung gewähren, beizubehalten sein.

Corrections s. S. 326.

Correcturen.

<i>Haidinger</i>	<i>Pogg. Ann.</i>	1828	12	S.	492	Z. 6 u. 7	vo	lies	$\bar{P}r - 1$	(q)	statt	$\bar{P}r - 1$	(q)
<i>Mohs-Zippe</i>	<i>Min.</i>	1839	2	"	48	"	4	vu	$-\frac{1}{2}\bar{P}r + 1$	"		$-\frac{1}{2}\bar{P}r -$	
"	"	"	"	"	49	"	2	vo	"	"		$-\frac{1}{2}\bar{P}r -$	
"	"	"	"	"	48	"	3	vu	"	"		$-\frac{1}{2}\bar{P}r -$	
"	"	"	"	"	49	"	1 u. 2	vo	"	"		$-\frac{1}{2}\bar{P}r -$	
										}		$\bar{P}r + 1$	$\bar{P}r + 1$

Bournonit.

1.

Rhombisch.

Axenverhältnisse.

a : b : c = 0.8969 : 1 : 0.9380 (Gdt.)

- [a : b : c = 0.9380 : 1 : 0.8969] (Miller. Hessenberg. Kokscharow.  
Groth. Dana. Miers.)  
[ " = 0.9410 : 1 : 0.8988] (Schrauf. Zirkel.)  
[ " = 0.938 : 1 : 0.873 ] (Hausmann.)  
[ " = 0.938 : 1 : 0.8912] (Lévy.)  
{ a : b : c = 0.446 : 1 : 0.938 } (Mohs. Hartmann. Zippe.)  
(a : b : c = 0.938 : 1 : 0.446 ) (Quenstedt.)

Elemente.

: 0.8969	lg a = 995274	lg a <sub>0</sub> = 998054	lg p <sub>0</sub> = 001946	a <sub>0</sub> = 0.9562	p <sub>0</sub> = 1.0458
: 0.9380	lg c = 997220	lg b <sub>0</sub> = 002780	lg q <sub>0</sub> = 997220	b <sub>0</sub> = 1.0661	q <sub>0</sub> = 0.9380

Transformation.

Naum. Hausm. Miller. Dana. Hessenberg. Kokscharow. Groth. Zirkel. Miers. Schrauf. Lévy.	Mohs. Hartmann. Zippe.	Quenstedt.	Rose.	Gdt.
$\frac{p}{2} \frac{q}{p}$	$\frac{1}{2} \frac{q}{p}$	$\frac{2}{p} \frac{2}{p}$	$\frac{1}{q} \frac{3}{2} \frac{p}{q}$	$\frac{1}{p} \frac{q}{p}$
$\frac{1}{2} \frac{q}{p} \frac{q}{2}$	$\frac{p}{q}$	$\frac{1}{p} \frac{q}{p}$	$\frac{2}{q} \frac{3}{2} \frac{p}{q}$	$\frac{2}{p} \frac{q}{q}$
$\frac{p}{2} \frac{q}{2}$	$\frac{1}{p} \frac{q}{p}$	$\frac{p}{q}$	$\frac{2}{q} \frac{3}{2} \frac{p}{q}$	$\frac{2}{p} \frac{q}{p}$
$\frac{2}{3} \frac{q}{p} \frac{1}{p}$	$\frac{3}{4} \frac{p}{q} \frac{3}{2} \frac{q}{q}$	$\frac{4}{3} \frac{q}{p} \frac{2}{p}$	$\frac{p}{q}$	$\frac{3}{2} \frac{p}{p} \frac{3}{2} \frac{q}{q}$
$\frac{1}{p} \frac{q}{p}$	$\frac{p}{2} \frac{q}{q}$	$\frac{2}{p} \frac{2}{p} \frac{q}{p}$	$\frac{p}{q} \frac{3}{2} \frac{q}{q}$	$\frac{p}{q}$

Gdt.	Miller. Zirkel. Hessenb. Schrauf.	Mohs- Zippe. Hartm. Naum. Hausm.	Quenst.	Rose.	Rath.	Miers.	Miller.	Nau- mann.	[Haus- mann.]	[Mohs.] [Zippe.] [Hartm.]	[Lévy]	Gdt.
b	b	k	M	—	a	b	∞01	0P	B'	P—∞	h <sup>1</sup>	o
a	a	s	T	—	b	a	010	∞P̄∞	B	P̄r+∞	g <sup>1</sup>	o∞
c	c	r	P	—	c	c	100	∞P̄∞	A	—	p	∞0

(Fortsetzung S. 329.)

Literatur.

Haüy	Traité Min.	1822	4	295
Phillips	Min.	1823	—	336
Mohs	Grundr.	1824	2	560
Hartmann	Handb.	1828	—	324
Dufrénoy	Ann. Min.	1836 (3)	10	371
Lévy, A.	Descr.	1838	2	406
Mohs-Zippe	Min.	1839	2	531
Hausmann	Handb.	1847	2	(1) 170
Rose, G.	Pogg. Ann.	1849	76	291
Miller	Min.	1852	—	201
Dana, J. D.	System	1855	—	80
Dufrénoy	Min.	1856	3	239
Greg u. Lettsom	Mem.	1858	—	344
Zirkel	Wien. Sitzb.	1862	45	(1) 431
Hessenberg	Senck. Abh.	1863	4	212 (Min. Not. 1863. 5. 34)
Zepharovich	Wien. Sitzb.	1865	51	(2) 108
Schrauf	Atlas	1873	—	Taf. XXXVI
Dana, J. D.	System	1873	—	96
Zepharovich	Lotos	1876	—	
"	Jahrb. Min.	1876	—	555
Quenstedt	Min.	1877	—	889
Rath	Zeitschr. Kryst.	1877	1	602
Groth	Strassb. Samml.	1878	—	61
Kokscharow	Mat. Min. Russl.	1882	8	123
Miers	Min. Mag.	1884	6	59

Bemerkungen }  
 Correcturen } s. S. 330. 332. 334—344.

## 2.

Miller. Zirkel. Hessenb. Schrauf	Mohs. Zippe. Hartm. Naum. Hausm.	Quenst.	Rose.	Rath.	Miers.	Miller.	Nau- mann.	[Haus- mann.]	[Mohs.] [Hartmann.] [Zippe.]	[Lévy.]	Gdt.
k	—	—	—	—	k	310	$\infty \bar{P} 3$	—	—	—	$3 \infty$
$\gamma$	—	—	—	—	$\gamma$	320	$\infty \bar{P} \frac{3}{2}$	$AB \frac{3}{2}$	—	—	$\frac{3}{2} \infty$
n	n	n	n	n	n	110	$\infty P$	D	$(\bar{P} + \infty)^3$	$(\bar{P} + \infty)^2$	$e^1$
$\Sigma$	—	—	—	v	$\Sigma$	130	$\infty \bar{P} 3$	—	—	—	$\infty 3$
$\eta$	—	—	—	—	$\eta$	013	$\frac{1}{2} \bar{P} \infty$	—	—	—	$0 \frac{1}{2}$
e	e	e	e	e	e	012	$\frac{1}{2} \bar{P} \infty$	$B' B_2$	$\bar{P} r - 1$	$h^3$	$0 \frac{1}{2}$
l	—	—	—	—	l	023	$\frac{2}{3} \bar{P} \infty$	$B' B \frac{1}{2}$	—	$h^5$	$0 \frac{2}{3}$
—	—	—	—	—	R	057	$\frac{2}{3} \bar{P} \infty$	—	—	—	$0 \frac{2}{3}$
—	—	—	—	—	ll	0-8-11	$\frac{8}{11} \bar{P} \infty$	—	—	—	$0 \frac{8}{11}$
$\theta$	—	—	—	—	$\theta$	034	$\frac{2}{3} \bar{P} \infty$	—	—	—	$0 \frac{2}{3}$
—	—	—	—	—	M	079	$\frac{2}{3} \bar{P} \infty$	—	—	—	$0 \frac{2}{3}$
k	—	—	—	—	k	045	$\frac{2}{3} \bar{P} \infty$	—	—	—	$0 \frac{2}{3}$
m	d	d	d	m	m	011	$\bar{P} \infty$	E	$\bar{P} r$	m	0 1
—	—	—	—	—	$\Psi$	065	$\frac{5}{6} \bar{P} \infty$	—	—	—	$0 \frac{5}{6}$
w	—	—	—	—	w	043	$\frac{4}{3} \bar{P} \infty$	—	—	—	$0 \frac{4}{3}$
z	—	—	—	—	z	032	$\frac{2}{3} \bar{P} \infty$	$BB' \frac{1}{2}$	—	—	$0 \frac{2}{3}$
f	f	f	f	—	f	021	$2 \bar{P} \infty$	$BB' 2$	$\bar{P} r + 1$	—	0 2
i	—	—	—	—	i	031	$3 \bar{P} \infty$	—	—	—	0 3
—	—	—	—	—	$\Xi$	0-10-3	$\frac{10}{3} \bar{P} \infty$	—	—	—	$0 \frac{10}{3}$
—	—	—	—	—	$\Phi$	041	$4 \bar{P} \infty$	—	—	—	0 4
—	—	—	—	—	L	051	$5 \bar{P} \infty$	—	—	—	0 5
d	—	—	—	—	d	061	$6 \bar{P} \infty$	—	—	—	0 6
$\zeta$	—	—	—	—	$\zeta$	104	$\frac{1}{2} \bar{P} \infty$	—	—	—	$\frac{1}{2} 0$
$\delta$	—	—	—	—	$\delta$	103	$\frac{1}{3} \bar{P} \infty$	—	—	—	$\frac{1}{3} 0$
z	—	—	—	—	z	102	$\frac{1}{2} \bar{P} \infty$	$B' A \frac{1}{2}$	—	—	$\frac{1}{2} 0$
o	o	p	—	—	o	101	$\bar{P} \infty$	$D'$	$\bar{P} r - 1$	$a^1$	1 0
h	—	—	t	—	h	302	$\frac{3}{2} \bar{P} \infty$	—	$\frac{1}{2} \bar{P} r$	—	$\frac{3}{2} 0$
x	p	q	p	—	x	201	$2 \bar{P} \infty$	$AB' 2$	$\bar{P} r$	$a^2$	2 0
—	—	—	—	—	F	502	$\frac{5}{2} \bar{P} \infty$	—	—	—	$\frac{5}{2} 0$
$\epsilon$	—	—	—	—	$\epsilon$	301	$3 \bar{P} \infty$	—	—	—	3 0
t	—	—	—	—	t	401	$4 \bar{P} \infty$	—	—	—	4 0
—	—	—	—	—	$\nabla$	501	$5 \bar{P} \infty$	—	—	—	5 0
v	—	—	—	—	v	112	$\frac{1}{2} P$	—	—	—	$\frac{1}{2}$
—	—	—	—	—	D	223	$\frac{2}{3} P$	—	—	—	$\frac{2}{3}$
y	y	y	—	y	y	111	P	P	$(\bar{P} r - 1)^3$	$(\bar{P} - 1)^2$	$b^{\frac{1}{2}}$
—	—	—	—	—	Y	553	$\frac{5}{3} P$	—	—	—	$\frac{5}{3}$
$\pi$	—	—	—	—	$\pi$	221	2 P	—	—	—	2
$\lambda$	—	—	—	—	$\lambda$	441	4 P	—	—	—	4
—	—	—	—	—	N	11-1-11	$\bar{P} 11$	—	—	—	1 $\frac{1}{11}$
s	—	—	—	—	s	212	P 2	—	$P - 1$	—	1 $\frac{1}{2}$

(Fortsetzung S. 331.)

Bemerkungen.

Die Ausscheidung der mit Sicherheit festgestellten Formen von den unsicheren war beim Bournonit besonders schwer, obwohl viele zusammenfassende Formenverzeichnisse für dieses Mineral bestehen, von Mohs, Dufrénoy, Zippe, Hausmann, Miller, Zirkel, Hesseberg, Schrauf, Dana, Kokscharow, Miers.

Die Unklarheit rührt zum Theil her vom Material, indem die nach allen drei Richtungen ähnlichen Axeneinheiten zu Verwechslungen<sup>1)</sup> Anlass geben, besonders aber versteckte Zwillingsbildungen übersehen wurden, wobei bei der Undurchsichtigkeit des Minerals optische Prüfungen nicht herangezogen werden konnten. Ausserdem finden sich gerade in der Literatur dieses Minerals, besonders in den Arbeiten von Dufrénoy und Zirkel, eine grosse Reihe von Fehlern, wodurch die Vergleichung erschwert, die Sicherheit vermindert wird. Manche Fehler haben sich in andere Werke (Hesseberg, Dana u. a.) übertragen. Schrauf hat in seinem Atlas unter Zufügung neuer Daten eine werthvolle kritische Auslese gehalten und Miers hat unter Durcharbeitung von reichem Material die älteren Angaben vermehrt und zugleich einer Kritik unterzogen.

**Miers.** Autor ist im Allgemeinen, jedoch unter Heranziehen der Quellen, Miers gefolgt, nur wurde in sofern abgewichen, als diejenigen Formen, welche Miers durch Discussion der älteren Angaben als wahrscheinlich aufgenommen hat, als nicht vollkommen ausser Zweifel gestellt, hier in die Reihe der unsicheren Formen eingeordnet wurden. Es geschah dies unter der Annahme, dass es besser sei, eine möglicherweise richtige Form auszuschneiden, da diese ja doch durch Neubeobachtung wieder hereinkommen müsse, als durch eine unrichtige das Bild zu verdunkeln. Dies betraf die Formen:

$$\tau \beta \psi \nu \sigma \rho.$$

Von den übrigen durch Schrauf ausgemusterten Formen hat Miers  $h \eta \gamma \alpha \chi$  beobachtet (S. 64), jedoch ausser für  $\chi$  die Art der Beobachtung (Fundort, Combination, Messungen) dann nicht gegeben, welche Angaben sehr erwünscht wären.<sup>2)</sup>  $\sigma$  und  $\rho$  führt Miers S. 64 nicht als beobachtet an, dagegen fehlen sie auch S. 73 unter den Nichtbeobachteten. Bei diesem Widerspruch dürfte die Angabe S. 64 als die exaktere anzusehen sein.  $\rho$  ist von Miller angeführt, ohne jede nähere Angabe, jedoch von Niemand später gesehen worden. Es möge also trotz der Autorität Miller's auch für diese Form die Bestätigung abgewartet werden. (Vgl. speciell Schrauf Atlas, Text z. Taf. XXXVI, wo zugleich Zirkel's  $q = 13$  (131) beseitigt wird.)

$\tau$  (Zirkel) sowie  $\nu$  (Miers) erwähnt Miers unter den von Schrauf weggelassenen Formen nicht. Ebenso ist mir weder aus Miers' Ausführungen, noch aus Phillips' ersichtlich, wieso  $\nu$  und  $\sigma$  durch Phillips' Messungen gestützt werden. Sollte es für  $\nu$  und  $\sigma$  heissen: Hausmann's Angaben?

Miers sagt (S. 61): „It will be found that the only observations of much independent value are those of Phillips, Mohs and Hausmann.“ Er hätte zufügen sollen Lévy, da wir diesem neue zuverlässige Beobachtungen und neue exakte Figuren verdanken. Auch bezieht sich diese Bemerkung nur auf die älteren Beobachtungen.

**Phillips, Dufrénoy, Hausmann.** Die Angaben von Phillips und Dufrénoy lassen sich deshalb nicht unmittelbar verwenden, weil genannte Autoren die Zwillingsbildungen nicht berücksichtigen; die von Hausmann wohl aus demselben Grunde, oder, wie Miers vermuthet (S. 64), wegen Verwechslung der Axenzonen mit der Haupt-Radialzone. Jedenfalls

<sup>1)</sup> z. B. die Haupt-Radialzone (Diagonalzone)  $cm$  mit den Axenzonen  $ca$ ,  $cb$ , wie Miers bemerkt (S. 64).

<sup>2)</sup> Seite 68 Zeile 14  $\nu$  steht die Combination  $cuoynabefmwiap\Sigma$ . Sollte das zweite  $\Sigma$  eine Wiederholung oder ein Druckfehler statt  $z$  sein? Wahrscheinlich letzteres.



## 3.

Miller. Zirkel. Hessenb. Schrauf.	Mohs. Zippe. Hartm. Naum. Hausm.	Quenst.	Rose.	Rath.	Miers.	Miller.	Nau- mann.	[Haus- mann.]	[Mohs.] [Hartmann.] [Zippe.]	[Lévy.]	Gdt.
—	—	—	—	—	V	545	$\bar{P} \frac{2}{2}$	—	—	—	$1 \frac{4}{5}$
—	—	—	—	—	Q	232	$\frac{3}{2} \bar{P} \frac{3}{2}$	—	—	—	$1 \frac{2}{2}$
p	—	—	—	—	p	121	$2 \bar{P} \frac{2}{2}$	—	—	—	$1 \frac{2}{2}$
g	—	—	—	—	g	122	$\bar{P} \frac{2}{2}$	—	—	—	$\frac{1}{2} 1$
—	—	—	—	—	l'	588	$\bar{P} \frac{8}{8}$	—	—	—	$\frac{5}{8} 1$
μ	—	—	—	—	μ	233	$\bar{P} \frac{3}{2}$	—	—	—	$\frac{4}{3} 1$
—	—	—	—	—	θ	12·17·17	$\bar{P} \frac{17}{12}$	—	—	—	$\frac{17}{12} 1$
—	—	—	—	—	Z	344	$\bar{P} \frac{4}{4}$	—	—	—	$\frac{2}{4} 1$
—	—	—	—	—	K	455	$\bar{P} \frac{5}{2}$	—	—	—	$\frac{4}{5} 1$
χ	—	—	—	—	χ	433	$\frac{4}{3} \bar{P} \frac{4}{3}$	AE $\frac{4}{3}$	—	—	$\frac{4}{3} 1$
p	—	—	—	—	p	322	$\frac{3}{2} \bar{P} \frac{3}{2}$	AE $\frac{3}{2}$	—	—	$\frac{3}{2} 1$
—	—	—	—	—	E	855	$\frac{8}{5} \bar{P} \frac{8}{5}$	—	—	—	$\frac{8}{5} 1$
—	—	—	—	—	S	955	$\frac{9}{5} \bar{P} \frac{9}{5}$	—	—	—	$\frac{9}{5} 1$
—	—	—	—	—	P	19·10·10	$\frac{19}{10} \bar{P} \frac{19}{10}$	—	—	—	$\frac{19}{10} 1$
u	P	o	—	u	u	211	$2 \bar{P} \frac{2}{2}$	AE $\frac{2}{2}$	P	b <sup>1</sup>	$2 \frac{1}{2}$
φ	—	—	—	—	φ	311	$3 \bar{P} \frac{3}{3}$	—	—	—	$3 \frac{1}{3}$
—	—	—	—	—	Q	411	$4 \bar{P} \frac{4}{4}$	—	—	—	$4 \frac{1}{4}$
—	—	—	—	—	v <sup>1)</sup>	14·2·7	$2 \bar{P} \frac{7}{2}$	—	—	—	$2 \frac{7}{2}$
—	—	—	—	—	ϵ	613	$2 \bar{P} \frac{6}{6}$	—	—	—	$2 \frac{1}{3}$
ξ	—	—	—	—	ξ	412	$2 \bar{P} \frac{4}{4}$	—	( $\bar{P}r-1$ ) <sup>3</sup> ( $\bar{P} \cdot 1$ ) <sup>2</sup>	—	$2 \frac{1}{2}$
—	—	—	—	—	Δ	14·4·7	$2 \bar{P} \frac{7}{2}$	—	—	—	$2 \frac{7}{2}$
—	—	—	—	—	G	623	$2 \bar{P} \frac{3}{3}$	—	—	—	$2 \frac{2}{3}$
w	—	—	—	—	w	643	$2 \bar{P} \frac{3}{2}$	—	—	—	$2 \frac{3}{2}$
—	—	—	—	—	J	321	$3 \bar{P} \frac{3}{2}$	—	—	—	$3 \frac{2}{2}$
⊙, θ	—	—	—	—	⊙	312	$\frac{3}{2} \bar{P} \frac{3}{2}$	—	( $\bar{P}r-2$ ) <sup>3</sup> ( $\bar{P} \cdot 1$ ) <sup>3</sup>	—	$\frac{3}{2} \frac{1}{2}$
—	—	—	—	—	T	123	$\frac{4}{3} \bar{P} \frac{2}{2}$	—	—	—	$\frac{1}{3} \frac{2}{3}$
—	—	—	—	—	U	413	$\frac{4}{3} \bar{P} \frac{4}{3}$	—	—	—	$\frac{4}{3} \frac{1}{3}$
—	—	—	—	—	W	134	$\frac{3}{4} \bar{P} \frac{3}{4}$	—	—	—	$\frac{1}{4} \frac{3}{4}$
—	—	—	—	—	H	572	$\frac{5}{2} \bar{P} \frac{7}{2}$	—	—	—	$\frac{5}{2} \frac{7}{2}$
—	—	—	—	—	X	347	$\frac{4}{7} \bar{P} \frac{4}{7}$	—	—	—	$\frac{4}{7} \frac{4}{7}$

ieser griechische Buchstabe wurde ersetzt durch A, da er besonders in der Schrift kaum  
heiden ist von dem lateinischen v.

Bemerkungen. (Fortsetzung von S. 330.)

sind seine Elemente incorrect und somit auch seine Winkelangaben, die alle nicht direct Beobachtungen entsprechen, sondern im Anschluss an solche aus Elementen und Symbolen berechnet sind.

Danach erscheint es zwar gerechtfertigt, die Angaben dieser Autoren zum Vergleich heranzuziehen, nicht aber, auf sie allein gestützt, Formen als sichergestellt zu betrachten, die keiner der späteren Beobachter gefunden hat. Die Arbeiten von Dufrénoy und Zirkel bedürfen noch einer eingehenden Discussion.

**Dufrénoy.** Es ist auffallend, dass (1836) auf Taf. X auftreten die Fundorte:

Alais, Andreasberg, Pontgibaud, Cornwall, Serwoz, Kapnik,

in der Winkeltabelle dagegen:

Alais, Oberlahr, Pontgibaud, Cornwall, Serwoz, Kapnik,

dass also an Stelle von Andreasberg Oberlahr getreten ist; dies umsomehr, als in der Tabelle für Oberlahr die Flächen Pbfa auftreten, welche die Figur für Andreasberg zeigt. Im Text (1836) kommt Andreasberg nicht vor, Oberlahr mehrmals, doch ohne Hinweis auf die Figur. Es liegt die Vermuthung nahe, dass Andreasberg in der Figur ein Versehen sei. 1856 giebt Dufrénoy im Text (S. 240) Andreasberg, doch nur aus seiner eigenen Figur geschöpft, und S. 241 tritt der von Dufrénoy unbemerkte Widerspruch zu Tag, wo er schreibt: „Pour établir . . . j'ai réuni dans le tableau suivant les angles des cristaux . . . de Hartz . . .“ was nur Andreasberg meinen kann. In der Tabelle aber steht Oberlahr, das in Rheinpreussen liegt. Beide Fundorte sind bekannt, der Habitus der Figur spricht für Oberlahr. Dies scheint der wahre Fundort zu sein.

Zu Fig. 274 Taf. 97, 276, 281, 282, 283 Taf. 98 (1856) fehlt im Text die Angabe des Fundorts, und es ist mir nicht gelungen, denselben durch anderweite Angaben sicher zu stellen. S. 240 ist für Fig. 278 zugleich der Fundort Alais und Pontgibaud angegeben. Fig. 277 soll von Pontgibaud sein, hat aber mit der Fig. 5 (1836) für denselben Fundort keine Aehnlichkeit, dagegen soviel mit Fig. 278, dass die Vermuthung einer Verwechslung vorliegt. Dabei ist in Fig. 277 dieselbe Fläche mit  $e^2$  bezeichnet, die in Fig. 278  $e^1$  heisst. Dass dies dieselbe sei, zeigt die genau gleiche Richtung der Kanten in beiden Figuren. Die Figuren 1836 sind zum Theil stark verzeichnet. Fig. 279 (1856) soll wohl = Fig. 3 (1836) sein, doch stimmen die eingeschriebenen Symbole nicht.

In der Figur für Kapnik (Fig. 8) giebt Dufrénoy M. In der Winkeltabelle tritt T auf, während M fehlt.

Elementarwinkel giebt Dufrénoy 1836 nicht an. Die Elemente von 1856 entsprechen  $a : b : c = 0.9380 : 1 : 0.6137$ , lassen sich aber mit den Symbolen der Winkeltabelle nicht in Einklang bringen. Die Elemente Lévy's dagegen, von denen Dufrénoy behauptet, sie seien „Donnés sans doute par erreur“ sind ganz richtig. Sie lauten übersetzt in die derzeit übliche Schreibweise:  $a : b : c = 0.9380 : 1 : 0.8912$ . Die Winkeltabelle 1856 S. 242 ist eine Kopie derjenigen von 1836. Sie unterscheidet sich von dieser nur durch eine andere Bezeichnung der Flächen. In diesen Flächenzeichen aber sind so viele Fehler, dass, wenn sich schon aus der Tabelle 1836 nicht viel Nutzbares gewinnen lässt, die spätere ganz unbrauchbar ist.

Unverständlich ist auch Dufrénoy's Bemerkung (1836 S. 380): „on doit rappeler néanmoins cette circonstance singulière, que les cristaux les plus nets de Bournonite du Carnouailles, d'Oberlahr et d'Alais, que j'ai mesurés, ne présentent pas une seule face commune,“ da er doch in seiner Winkeltabelle für alle drei Fundorte die Fläche P, für Alais und Oberlahr aber Pba gemeinsam angiebt.

Sehen wir Dufrénoy's Mittheilung 1856 im Ganzen an, so finden wir auf drei Seiten so viele Fehler zusammengedrängt, als sich nicht leicht in der mineralogischen Literatur auf gleichem Raum zusammenfinden dürften. Eine Erklärung, wie dies möglich sei, können wir

(Fortsetzung S. 334)

## Bournonit.

## Unsichere Formen.

α.	Miers.	Zirkel. Hessen- berg.	Miller.	Miller.	Naumann.	Gdt.	
—	—	—	14·10	$\infty \bar{P} 14$	14 $\infty$	Miers <sup>1)</sup>	
—	—	—	410	$\infty \bar{P} 4$	4 $\infty$	Miers <sup>1)</sup>	
—	—	—	016	$\frac{1}{6} \bar{P} \infty$	0 $\frac{1}{6}$	Miers <sup>1)</sup>	
—	—	—	085	$\frac{8}{5} \bar{P} \infty$	0 $\frac{8}{5}$	Miers <sup>1)</sup>	
—	—	—	053	$\frac{5}{3} \bar{P} \infty$	0 $\frac{5}{3}$	Miers <sup>1)</sup>	
—	—	—	0·13·6	$\frac{13}{6} \bar{P} \infty$	0 $\frac{13}{6}$	Miers <sup>1)</sup>	
—	—	—	0·16·5	$\frac{16}{5} \bar{P} \infty$	0 $\frac{16}{5}$	Miers <sup>1)</sup>	
—	—	—	072	$\frac{7}{2} \bar{P} \infty$	0 $\frac{7}{2}$	Miers <sup>1)</sup>	
—	—	—	091	$\frac{9}{1} \bar{P} \infty$	0 9	Miers <sup>1)</sup>	
—	—	—	709	$\frac{7}{9} \bar{P} \infty$	$\frac{7}{9}$ 0	Miers <sup>1)</sup>	
σ	σ	—	405	$\frac{4}{5} \bar{P} \infty$	$\frac{4}{5}$ 0 = f	(Dufrénoy) = B'A $\frac{4}{5}$ (Hausmann) <sup>2)</sup>	
ν	k	—	403	$\frac{4}{3} \bar{P} \infty$	$\frac{4}{3}$ 0 =	— = AB' $\frac{4}{3}$ (Hausmann) <sup>2)</sup>	
ψ	ψ	—	702	$\frac{7}{2} \bar{P} \infty$	$\frac{7}{2}$ 0 = b <sub>2</sub>	(Dufrénoy) = AB' $\frac{7}{2}$ (Hausmann) = b <sub>2</sub> (Phillips) <sup>2)</sup>	
β	β	—	801	8 $\bar{P} \infty$	8 0 = c <sub>1</sub>	(Dufrénoy) = AB 8 (Hausmann) = c <sub>1</sub> (Phillips) <sup>2)</sup>	
τ	—	—	13·0·1	13 $\bar{P} \infty$	13·0 =	— = AB' 13 (Hausmann) = b <sub>1</sub> (Phillips) <sup>2)</sup>	
—	—	—	11·17·17	$\bar{P} \frac{17}{11}$	$\frac{17}{11}$ 1	Miers <sup>1)</sup>	
—	—	—	11·14·14	$\bar{P} \frac{14}{11}$	$\frac{14}{11}$ 1	Miers <sup>1)</sup>	
—	—	—	11·12·12	$\bar{P} \frac{12}{11}$	$\frac{12}{11}$ 1	Miers <sup>1)</sup>	
—	—	—	21·20·20	$\frac{21}{20} \bar{P} \frac{21}{20}$	$\frac{21}{20}$ 1	Miers <sup>1)</sup>	
—	—	—	544	$\frac{5}{4} \bar{P} \frac{5}{4}$	$\frac{5}{4}$ 1	Miers <sup>1)</sup>	
—	—	—	38·20·19	$\frac{38}{19} \bar{P} \frac{20}{19}$	$\frac{38}{19}$ $\frac{20}{19}$	Miers <sup>1)</sup>	
—	—	—	231	$\frac{3}{1} \bar{P} \frac{2}{3}$	2 3	Miers <sup>1)</sup>	
—	—	—	863	$\frac{8}{3} \bar{P} \frac{6}{8}$	$\frac{8}{3}$ 2	Miers <sup>1)</sup>	
—	—	—	34·11·22	$\frac{34}{11} \bar{P} \frac{22}{11}$	$\frac{34}{11}$ $\frac{22}{11}$	Miers <sup>1)</sup>	
r	r	r	431	$\frac{4}{3} \bar{P} \frac{1}{3}$	4 3	Miller (s. Bemerkungen)	
—	—	—	9·10·1	$\frac{10}{9} \bar{P} \frac{1}{10}$	9·10	Miers <sup>1)</sup>	
—	—	—	19·18·1	$\frac{19}{18} \bar{P} \frac{1}{18}$	19·18	Miers <sup>1)</sup>	

Ausserdem als ganz unsicher zu löschen:

q	—	—	131	$\frac{1}{3} \bar{P} 3$	1 3	Zirkel. Von Schrauf verworfen (Atlas-Text zu Taf. XXXVI.)
—	—	—	430	$\infty \bar{P} \frac{4}{3}$	$\frac{4}{3} \infty$	Hausmann = AB $\frac{4}{3}$ . Nach Miers wohl identisch 21 (u)
—	τ	—	507	$\frac{5}{7} \bar{P} \infty$	$\frac{5}{7}$ 0	Hausmann = B'A $\frac{5}{7}$ . Nach Miers wohl identisch 1 (y).

<sup>1)</sup> Miers<sup>1)</sup> bedeutet: Miers Min. Mag. 1884. 6. Seite 66 Tab. II.<sup>2)</sup> Vgl. Miers Min. Mag. 1884. 6. Seite 62 und 65.

Bemerkungen. (Fortsetzung von S. 332.)

finden, wenn wir uns die wahrscheinliche Art des Zustandekommens dieses Berichts vorstellen. Diese dürfte folgende gewesen sein. Dufrénoy nahm in der Hauptsache sein *Mémoire* von 1836 auf, fügte dazu ausser einigen Figuren, deren Quelle ich nicht auffinden konnte, Zeichnungen von Lévy, die er mit den eingezeichneten Symbolen aufnahm. Nun folgte der Versuch, Lévy's Figuren mit der Winkeltabelle in Einklang zu bringen und Lévy'sche Zeichen in diese einzustellen. Dieser Versuch misslang und nun suchte Dufrénoy einen Ausweg darin, dass er Lévy's Elemente als falsch bezeichnete und an Stelle solcher Zeichen, für die er zutreffende nicht finden konnte, beliebige oder gar keines setzte. Durch Druck- oder Schreibfehler ist das Vorliegende nicht zu erklären und es ist der Setzer gewiss vorsichtig gewesen, indem sich in den Winkeln nur ein einziger Druckfehler findet ( $88^{\circ}55'$  statt  $85^{\circ}55'$ ). Mohs' und Hausmann's Angaben hat Dufrénoy nicht benutzt,<sup>1)</sup> obwohl er erstere sicher zu Hand hatte. Gibt er doch in der Einleitung zu dem Atlas (Bd. 5) eine längere Erklärung Mohs'scher Symbole. Aus der Uebereinstimmung mit diesen Angaben wäre die Richtigkeit der Lévy'schen Elemente hervorgegangen.

Aus der ganzen Betrachtung geht hervor, dass man bei späteren Untersuchungen über den Bournonit sich aus dem *Mémoire* von 1836, soweit es Formenbeschreibung betrifft, kaum einen Nutzen versprechen darf, höchstens kann man die Messungen als Bestätigung heranziehen, zu an sich bereits sicher gestellten Beobachtungen, die Angaben 1856 jedoch sind am besten vollständig unbenutzt zu lassen.

Hausmann's AB8 und AB<sub>13</sub> geben, direkt umgewandelt in die Zeichen des Index, 8 $\infty$  und 13 $\cdot$ 0. Miers hat für erstere Form auf Grund der Voraussetzung, dass Zwillingbildung vorliege und unter Vergleich mit Phillips' Messungen und Figur das Symbol 018 entsprechend unserem 8 $\infty$  genommen. Ausserdem hat Miers Hausmann's AB<sub>3</sub><sup>4</sup> und B'A<sub>5</sub><sup>4</sup>, die sonst nirgends bestätigt sind, aufgenommen. Immerhin ist die Differenz der Winkel beträchtlich und dadurch, dass Hausmann nur berechnete Winkel giebt, also gegen die Beobachtung uns unbekannte Veränderungen vorgenommen hat, eine noch grössere Differenz zwischen Beobachtung und Rechnung für die nun acceptirten Symbole möglich. Einen Ueberblick giebt folgende kleine Zusammenstellung:

Miers.	Hausmann.	Index.	Winkel mit $\infty 0 = c$	
			Hausmann.	Aus Miller's Elementen.
$\tau$	AB <sub>13</sub>	13 $\cdot$ 0	$4^{\circ}06$	$4^{\circ}12$
$\beta$	AB8	8 $\infty$	$6^{\circ}13$	$6^{\circ}23$
		8 $\cdot$ 0		$6^{\circ}49$
$\nu$	AB <sub>3</sub> <sup>4</sup>	$\frac{4}{3}$ 0	$34^{\circ}55$	$35^{\circ}39$
$\sigma$	B'A <sub>5</sub> <sup>4</sup>	$\frac{4}{5}$ 0	$49^{\circ}20$	$50^{\circ}05$

Die Differenzen sind doch zu bedeutend, um Formen, die sonst nicht bekannt sind, unter Zuhilfenahme einer Vermuthung, dass nämlich für  $\beta$  die Zwillingbildung übersehen sei, als sichergestellt ansehen zu können.

<sup>1)</sup> Es müsste denn Fig. 281 von Mohs 1824 Taf. II Fig. 24 genommen sein.



Bemerkungen. (Fortsetzung von S. 334.)

**G. Rose** stellt bei seinem Vergleich das Bournonit mit Aragonit und Cerussit n (Bournonit) neben ( $\frac{4}{3}a : \infty b : c$ ), während n dem Symbol ( $a : \infty b : c$ ) nach Rose's Aufstellung entspricht. Es ist zum Vergleich mit dem Bournonit der Winkel  $96^{\circ}31'$  (Mohs) für den Cerussit der Supplement-Winkel ( $99^{\circ}42'$ ) heranzuziehen. Das unrichtige Symbol ist auf Zirkel übergegangen.

Die von **Zippe** (Mohs-Zippe Min. 1839. 2. 744) gegebene Correctur:

S. 531. Z. 10 vu nach  $(P-1)^2$  setze y

ist unrichtig. Vielmehr ist in Uebereinstimmung mit Hausmann, Miller u. a. auf der gleichen Seite 531 y für  $(P-1)^2$  verwendet worden und kann daher nicht zugleich für  $(P-1)^2$  ersetzt werden.

**Schrauf** giebt zu Fig. 8 Taf. XXXVII die Erklärung: abcefmnoxy — Lévy Descript. S. 406 Taf. LII Fig. 12. Diese Figur enthält allerdings eine sehr ähnliche Combination in Schrauf's Buchstaben geschrieben: abcelmnoxy. Also l statt f. In Wirklichkeit jedoch findet sich Schrauf's Figur nicht bei Lévy, wohl aber bei Mohs-Zippe Min. 1839. 2. Taf. V Fig. 35), sowie in Dana's System (1855 S. 80, 1873 S. 97).

**Zirkel's** „Versuch einer Monographie des Bournonit“ bedarf einer eingehenden Revision, um verwendbar zu sein. Eine solche, soweit sie ohne neue Beobachtungen möglich ist und soweit die Arbeit Formbeschreibung giebt, möge hier folgen. An den betreffenden Stellen werden wir hinweisen auf das, was andere Autoren bereits richtig gestellt haben.

S. 440 sagt Zirkel: „Miller-Brooke führen die Winkel:

$$(110) (010) = 43^{\circ}10'$$

$$(101) (001) = 41^{\circ}54'$$

woraus sich das Axenverhältniss ergibt:

$$1 : 0.937969 : 1 : 0.897149.$$

Das ist ungenau. Es giebt vielmehr Miller (Min. S. 201) die Grundwinkel:

$$011, 010 = 46^{\circ}17'; \quad 101, 001 = 41^{\circ}53.5'; \quad 110, 100 = 46^{\circ}50'$$

(ausgeglichen<sup>1)</sup>) auf das Axenverhältniss führen (nach obiger Schreibweise):

$$1 : 0.9380 : 1 : 0.8969.$$

Der Unterschied ist unbedeutend, doch sind die angeführten Winkel einmal in der That nicht Miller's Grundwinkel, dann ist es nicht zu verstehen, warum Zirkel einerseits die  $41^{\circ}53.5'$  (auf  $41^{\circ}54'$  abgerundet (resp. den abgerundeten Winkel aus dem Winkelverzeichniss entnommen), andererseits die Ausrechnung der Zahlenwerthe auf sechs Decimalen geführt hat, da schon durch die Abgleichung in der vierten Decimalen Differenzen auftreten.

Weiter erwähnt Zirkel nicht, dass Dana's Angaben nur Uebertragungen der Miller'schen sind, so dass er sie nicht nur selbstständig neben diese gestellt, sondern sogar vorausgeschickt hat, mit unerklärten Differenzen gegen diese. Hätte Zirkel beide Angaben verglichen, so würde er gefunden haben, dass Dana's 1.0662 wahrscheinlich ein Druckfehler ist, statt 1.06612. Auf die richtige Feststellung der Elemente im Anschluss an Miller aber wäre gerade die grösste Sorgfalt zu legen gewesen, da die betrachteten Winkel resp. Axenverhältnisse den Rechnungen zu Grund gelegt wurden.

<sup>1)</sup> Miller's Winkel sind unter sich ausgeglichen, jedoch auf ganze Minuten (der zweite auf  $\frac{1}{2}'$ ) abgerundet. Daher kommt es, dass, wenn man das eine oder andere Paar der Berechnung des Axenverhältnisses zu Grunde legt, Differenzen in der vierten Dezimale auftreten. Um sie zu beheben, ist ein neuer Ausgleich nöthig.

(Fortsetzung S. 336.)

*Bemerkungen.* (Fortsetzung von S. 335.)

Mohs' Elemente hat Zirkel abgedruckt, jedoch ohne sie in eine solche Form zu bringen, dass der Vergleich mit den Angaben der anderen Autoren direkt möglich wäre und ohne anzugeben, in welcher Beziehung Mohs' Aufstellung zu der der anderen steht. Er scheint sich darüber nicht im Klaren gewesen zu sein, was daraus zu schliessen ist, dass er S. 441 die abweichende Bedeutung von Mohs' Axen nicht erwähnt; auch geht dies aus den Auslassungen und Fehlern der Nebeneinanderstellung (S. 443) hervor.

Dann heisst es: „Dufrénoy drückt das Verhältniss der Prismenseite zur Prismenhöhe durch die Zahlen 105:47 aus, oder reducirt 1:0.8952 und bemerkt, dass das Verhältniss 20:13, welches Lévy dafür anführt, zweifelsohne ein irrthümliches sei.“ In dieser Angabe fehlt zunächst der von Dufrénoy und Lévy angeführte Prismenwinkel  $93^{\circ}40'$ , ohne den beide Angaben unvollständig sind. Ausserdem hat Zirkel offenbar die Bedeutung dieses Zahlenverhältnisses vollständig verkannt. Es scheint, dass er sich darunter vorstellte, das Verhältniss zweier Axenlängen analog seinem  $2a:c$ , denn nur so ist seinem „oder reducirt 1:0.8952,“ welches  $= \frac{105}{117} : 47$  ist, ein Sinn abzugewinnen, indem er darin ein Zusammenreffen sah mit 1:0.8968 (Dana), 1:0.8971 (Miller) und 1:0.8926 (Quenstedt). So war er auch nicht in der Lage zu entscheiden, ob Lévy's Angabe oder Dufrénoy's Behauptung richtig sei (Ueber die Frage s. o.).

Hausmann's Grundwerthe, die von den anderen wesentlich differiren, giebt er nicht an.

Nun folgt ein selbst abgeleitetes Axenverhältniss, gegründet auf zwei als genau bezeichnete Winkelmessungen. Eine solche Ableitung der Elemente, d. h. Grundwerthe für die gesammte Winkelberechnung, aus zwei gemessenen Winkeln bei dem vorliegenden Reichthum an Material kann nicht gerechtfertigt erscheinen, und es betrachtet Zirkel selbst diese nicht als Grundwerthe, indem er S. 450 sagt: „Als Grundlage der Berechnung sind, um die Differenzen in den verschiedenen Winkelbestimmungen einigermaßen auszugleichen, die Angaben Miller's gewählt, weil diese nahezu das Mittel der einzelnen abweichenden Messungen darstellen.“ Dann ist aber nicht einzusehen, warum Zirkel gerade die zwei Winkel an die bevorzugte Stelle neben die Elemente der anderen Autoren gestellt hat, ja durch die Bezeichnung „genau“ die Meinung hervorruft, als sollten diese Werthe den Vorzug vor den anderen verdienen. So hat es wohl Schrauf aufgefasst, indem er das hieraus umgerechnete Verhältniss 1:0.9409:0.898825 (Atlas 1872 Text zu Taf. XXXVI) an den Kopf seines Formenverzeichnisses stellt. Auch Rath scheint hierdurch irregeführt worden zu sein. So ist es wenigstens zu erklären, dass er (Zeitschr. Kryst. 1877. I. 603) der Meinung war, er habe mit den „von Zirkel bestimmten Fundamental-Winkeln“ gerechnet, während er faktisch die Miller'schen, von Zirkel benutzten, verwendete; sonst würde er für  $v(2):c$  nicht  $69^{\circ}37'$ , sondern  $69^{\circ}39'$  erhalten haben.

Die Buchstaben hkl beziehen sich bei Zirkel (S. 441) der Reihe nach auf die aufrechte, Längs- und Quer-Axe. Zugleich hat er die Aufstellung geändert, die grösste zur Vertical-Axe, die mittlere zur Längs-Axe und die kleinste zur Quer-Axe gemacht, hierin wie sonst in allem Aeusserlichen folgend der ausgezeichneten Arbeit Lang's „Versuch einer Monographie des Bleivitriols (Wien. Sitzb. 1859. 36. 249), wobei schliesslich die Symbole mit denen Miller's wieder zusammenfallen, die Figuren dagegen gedreht erscheinen. Diese Abnormität kann leicht zu Verwechselungen Anlass geben und es muss auf sie besonders hingewiesen werden. Am leichtesten entgeht man Irrthümern, indem man Zirkel's Symbole nach Miller'scher Art liest, d. h. nach der derzeit üblichen Auffassung, h und k vertauscht, die Figuren dagegen vor der Benutzung in Miller's Aufstellung umdreht. Lang's optische Gründe entfallen hier und es könnte der einzige Grund der Neuaufstellung für den Bournonit der sein, eine Analogie mit der Lang'schen Arbeit zu gewinnen. Doch giebt dies Zirkel nirgends ausdrücklich an.

(Fortsetzung S. 337.)



Bemerkungen. (Fortsetzung von S. 336.)

Es folgt nun der Satz: „Bei dieser Bezeichnungsweise der Axen stimmt die Axe a rein mit der Axe c bei Rose, Dana, Miller und Quenstedt, die Axe b mit a bei Quenstedt und b bei Rose, Dana und Miller, die Axe c endlich mit b bei Quenstedt a bei Rose, Dana und Miller.

Dieser Satz kann doppelten Sinn haben:

entweder er sagt aus: die c Axe von Rose, Dana, Miller und Quenstedt spiele dieselbe Rolle im Krystall wie a bei Zirkel u. s. w. (Orientirung im Krystall),

oder er sagt aus: dass die c Axe von Rose, Dana, Miller, Quenstedt ebenso aufrecht stehe, wie die a Axe bei Zirkel, die a Axe bei Quenstedt ebenso von vorn nach hinten laufe, wie die b Axe bei Zirkel u. s. w. (Orientirung im Raum).

Bei jeder dieser Annahmen sind die Angaben Zirkel's unrichtig. Das wahre Verhältniss ist aus der folgenden kleinen Tabelle übersehen werden. Wir setzen darin an Stelle des Verhältnisses 0.8969 = I; 1 = II; 0.9380 = III. Die Richtung oben-unten =  $\perp$ , vorn-hinten = l (längs), links-rechts = q (quer). Dann ist:

Zirkel.	Rose.	Dana.	Miller.	Quenstedt.
a $\perp$ II	c $\perp$ II	a $\perp$ I	c $\perp$ I	c $\perp$ $\frac{1}{2}$ I
b l III	a l I	b l III	b l III	a l III
c q I	b q $\frac{3}{2}$ III	c q II	a q II	b q II

3.: b l III Dana heisst: die Axe b (Dana) liegt längs (vorn-hinten) und ihr Werth im Verhältniss ist = 0.9380. Die  $\perp$  l q geben die Orientirung im Raum, die I II III die im Krystall, so dass entspricht:

Im Raum: a Zirkel = c Rose Miller Quenstedt = a Dana,  
b Zirkel = a Rose Quenstedt = b Dana Miller,  
c Zirkel = b Rose Quenstedt = c Dana = a Miller.

Im Krystall: a Zirkel = c Rose Dana = a Miller = b Quenstedt,  
b Zirkel = b Rose Dana = b Miller = a Quenstedt,  
c Zirkel = a Rose Dana = c Miller = c Quenstedt.

Über die Aufstellungsweise von Mohs, (Hartmann), Hausmann, Lévy, (Dufrénoy) vgl. wir bei Zirkel nichts.

Ueber die nöthigen Correcturen der S. 442 u. 443 folgenden Uebersichtstabelle vgl. S. 341.

S. 444. „Ausserdem führt Hausmann noch zwei Flächen an, nämlich AB $\frac{1}{2}$  aus der Zone cb (0.1.13) und BA $\frac{1}{2}$  (11.0.12) aus der Zone ac. Diese Flächen, deren Index eine ungewöhnliche Form hat, dürften zweifelsohne an den beim Bournonit so häufigen Zwillingings-Verwachsungen zweier oder mehrerer Individuen beobachtet worden sein und sind hypothetische Formen nicht weiter berücksichtigt worden.“

Hierzu ist zu bemerken, dass das Hausmann'sche Zeichen BA $\frac{1}{2}$  unrichtig umgedeutet ist. Es entspricht (12.0.11),<sup>1)</sup> dass ferner das Wort Index für das Gesamtsymbol doch nicht wohl verwenden lässt und weiter, dass die Form der Symbole (0.1.13) sowie (0.1.12), d. h. (0.1.1) (b.0.h+1) zu den häufigsten gehört, die Zahlen 11.12.13 wegen ihrer Form nicht gerade die gewöhnlichsten sind, jedoch durchaus nichts Unwahrscheinliches an sich haben. Zirkel hat in ihnen ohne Grund eine innere Unwahrscheinlichkeit vermuthet, und eine Erklärung aus Zwillingings-Verwachsungen herbeigezogen, die er nicht näher be-

<sup>1)</sup> vgl. Miers S. 64.

Bemerkungen. (Fortsetzung von S. 337.)

gründet und beide Formen verworfen, lediglich auf das Aussehen des Symbols hin, ohne Vergleich der Winkel und Elemente oder der Angabe anderer Autoren. Auch Autor betrachtet beide nicht als sichergestellt, jedoch aus anderen Gründen (s. o.). Unter der Form des Symbols versteht Zirkel offenbar nichts weiter als die Höhe der Zahlen.

„Die von Miller und Dana angeführten Flächen hatte ich mit alleiniger Ausnahme von t (014) sämtlich zu beobachten Gelegenheit.“ (S. 444.) Dies ist aus der Abhandlung nicht zu ersehen. Vielmehr treten unter den von Zirkel beobachteten Formen h t v nicht auf. h findet sich Fig. 24 und 27, t Fig. 27 bei den unsicher diskutierten Figuren Dufrénoy's von unbestimmtem Fundort. S. 458. v steht ebenfalls S. 458 und Fig. 27 mit dem Symbol (403); bei Miller, sowie S. 442, 446 ist v = (121). v (403) dürfte ein Schreibfehler sein statt v (403) einem aus Hausmann's  $AB\frac{1}{2}$  falsch umgewandelten Symbol. v (121) kommt nicht vor. r findet sich im Text nicht erwähnt, in Fig. 34 ist r eingezeichnet, wurde jedoch auf Schrauf's Veranlassung zurückgezogen. Die nun folgende Diskussion Dufrénoy'scher Angaben kann als ziemlich werthlos bezeichnet werden, da Zirkel weder die von Dufrénoy ausdrücklich citirte Originalarbeit (1836) zu Rath gezogen, noch dessen Elemente, auch nicht (wie Miers) die versteckten Zwillingsbildungen ins Auge gefasst hat, sondern sich allein mit den Figuren und der unbrauchbaren Winkeltabelle (1856) befasst. Lévy's Angaben und Figuren, die theilweise Aufschluss hätten geben können, zieht er gar nicht heran. Zeile 11 vu findet sich die unrichtige Umwandlung von Hausmann's  $AB\frac{1}{2}$  in (403) statt (304) und es merkt Zirkel nicht den Widerspruch, dass er hier den Winkel  $(403):c = 33^\circ 13'$ , dagegen S. 451  $(403):(001) = 50^\circ 5'$  anführt. Die ganze Argumentation S. 444 Z. 3 vu bis S. 445 Z. 2 vo stützt sich auf den Winkel  $32^\circ 30'$  der von Zirkel durch eine unrichtige Subtraction  $180 - 146^\circ 30' = 32^\circ 30'$  statt  $33^\circ 30'$  erhalten wurde und wird durch diese Richtigstellung gegenstandslos. S. 449 stellt Zirkel den hier richtig subtrahirten Winkel  $33^\circ 30'$  demselben  $32^\circ 31'$  (hc) gegenüber und zieht nun einen anderen Schluss daraus.

Ueber die Anzahl der vor Zirkel bekannten Formen s. Miers S. 61. Von den neuen Formen ist 311 (q) durch Schrauf gestrichen.

In der Tabelle S. 446 sind zunächst die Weiss'schen Zeichen nicht im Sinne Weiss' gebraucht, denn bei ihm bezieht sich stets a auf die Längs-, b auf die Quer-Axe, c auf die verticale Axe. Danach wären durchaus a und c zu vertauschen. Ferner sind die unrichtig umgewandelten Hausmann'schen Symbole zu verbessern und zu lesen:

Zeile 18 vu:	$\beta$ 108	$8P_\infty$	$8a : \infty b : c^1)$	$8_2$
" 17 "	$\gamma$ 203	$\frac{3}{2}P_\infty$	$3a : \infty b : 2c$	$\frac{3}{2}_2$
" 16 "	$v$ 304	$\frac{4}{3}P_\infty$	$4a : \infty b : 3c$	$\frac{4}{3}_2$

Unter den Buchstabenbezeichnungen kommt k zweimal vor für 034 und 450, letzteres neu von Zirkel.

Ueber die übrigen in dieser Tabelle zu verbessernden Fehler vgl. S. 341.

Nun folgt das Projectionsbild Taf. VII ebenfalls mit mehreren Fehlern: Abgesehen davon, dass die unrichtigen Symbole 801 · 302 · 403 durch richtige an der zugehörigen Stelle zu ersetzen (resp. zu cassiren) sind, soll es heissen:

	c 001	statt	c 010
Im Quadranten vorn links Zone mc:	223	"	233
	450	"	302 oben und unten in Zone ba,
	230	"	450 in derselben Zone,
	334	sitzt	alle viermal an falscher Stelle,
	p 211	ist	ganz ausgelassen.
S. 447 Zeile 11 vo ist zu lesen:	y (111)	statt	y (112).

<sup>1)</sup> Im Sinne der Tabelle.



Bemerkungen. (Fortsetzung von S. 338.)

Auf derselben Seite sagt Zirkel: „Krystalle mit mehr als 10 Flächen gehören schon zu den Seltenheiten.“ Dies kann leicht missverstanden werden. In diesem und dem folgenden Satz sowie häufig hat das Wort Flächen die Bedeutung von Einzelformen. Die Zahl der Flächen ist weit grösser.

Es folgt S. 447–450 eine Betrachtung über Schwanken in den Winkelangaben, woraus geschlossen wird, dass in der Natur wirklich die Winkel differiren, eine auch damals bereits sehr wohl bekannte Thatsache,<sup>1)</sup> wie Zirkel selbst hervorhebt. Es folgen neun Messungen von Zirkel, von denen die zweite mit einem Druckfehler behaftet ist.

Es ist zu lesen:  $(001) : (112) = 33^{\circ} 11'$  statt  $39^{\circ} 11'$ .

Um das Schwanken der Winkel in der Natur zu zeigen, sind herbeigezogen die Winkel von Dufrénoy, deren Identification jedoch so unsicher ist, dass sie nicht für das Vorhandensein von Winkeldifferenzen als Beleg dienen können. Es werden ausserdem citirt Angaben von Breithaupt, Quenstedt, Rose, jeder selbstständig, und doch haben alle diese nur Mohs' resp. Mohs-Zippe's Angaben copirt. Ganz regellos ist einmal ein Winkel von diesem, einmal von jenem herbeigeht, dazwischen wieder einmal einer von Hausmann. Da nun Dufrénoy entfällt, Miller, Mohs, Zippe und Hausmann aber gerechnete Winkel geben, so ist durch alle die einzelnen Nebeneinanderstellungen nicht das Geringste mehr ausgesagt, als wenn man die Axenverhältnisse von Miller, Mohs und Hausmann neben einander gestellt hätte. Nun bezeichnet Mohs sein Axenverhältniss nur als Näherung, das von Hausmann aber kann nicht als richtig angesehen werden. Damit fällt der ganze Inhalt von S. 449 ma (110) (100) bis S. 450 ...  $32^{\circ} 58'$ . Phillips' Messungen sind nicht betrachtet.

Im Einzelnen sind folgende Richtigstellungen zu machen:

S. 449 ma bei Breithaupt  $46^{\circ} 26'$  soll heissen (Mohs)  $46^{\circ} 50'$ ;  $46^{\circ} 26'$  ist = ob und das Complement zu  $43^{\circ} 34'$  (vgl. Zeite 17 vu).

Ueber hc vgl. Bemerkung zu S. 444.

ya  $57^{\circ} 37'$  sollte heissen  $37^{\circ} 7'$ .

S. 450:

„yc führen Rose und Quenstedt zu  $52^{\circ} 31'$  an; ersterer macht darauf aufmerksam, dass dieser Winkel bei Mohs den irrthümlichen Werth von  $57^{\circ} 31'$  besitzt, welcher mit den übrigen Winkelangaben von Mohs nicht übereinstimmt.“

Statt dieses ganzen Satzes wäre zu setzen:

„yc bei Mohs  $52^{\circ} 31'$ .“

Denn in Mohs' Original-Angabe (Grundr. 1824. 2. 561) ist der Winkel ganz richtig  $105^{\circ} 2'$ . Hartmann (Handwb. 1828. 325) hat den Druckfehler  $115^{\circ} 2'$  und ebenso Zippe (Mohs-Zippe Min. 1839. 2. 531). Auf Mohs-Zippe bezieht sich Rose's Bemerkung.

Von der nun folgenden Winkeltabelle sagt Miers S. 68: „Sie enthält 43 Fehler, die zu gross sind, um vernachlässigt werden zu können.“

Die hier nöthigen Verbesserungen sind im Einzelnen aus dem Correcturen-Verzeichniss S. 342 zu erschen. Sie sind ohne Neuberechnung vorgenommen auf Grund von Miers' Winkeltabelle.

Es folgt der beschreibende Theil mit 26 neuen Figuren. Eine vollständige Revision dieser Angaben wäre nur von Werth an der Hand des Materials, doch habe ich mir Untersuchungen am Material für den Augenblick principiell versagt, um nicht von der Beendigung der Hauptaufgabe, der Durchführung des Index, abgeleitet zu werden. Es mögen hierüber nur einige Bemerkungen folgen:

<sup>1)</sup> vgl. Lang Anglesit Wien. Sitzb. 1859 S. 262 flgde.

*Bemerkungen.* (Fortsetzung von S. 339.)

Fig. 3. (S. 454) von Dufrénoy entnommen, stammt von Lévy her (Taf. LI Fig. 6).

Fig. 5, 6, 24, 27, von Dufrénoy entnommen, sind ohne Fundorte, tragen die ganze Unsicherheit Dufrénoy'scher Angaben, die durch die Art, wie Zirkel daran Veränderungen vorgenommen (vgl. S. 458 zu Fig. 27), nicht behoben wird.

Fig. 15. „Eine Fig. 15 ähnliche Form giebt Dana.“ Sie findet sich vor Dana schon bei Mohs-Zippe (Fig. 35) und ist dieselbe, die Schrauf bringt unter Hinweis auf Lévy Fig. 12 (s. o. S. 335).

Fig. 24, 27. Ueber htv siehe oben.

Bei Besprechung der Zwillinge sagt Zirkel S. 159: „Zwei verschiedene Zwillingsgesetze lassen sich unterscheiden: das eine bis jetzt unberücksichtigte bringt bloß einfache Gestalten hervor.“ Der Sinn dieses Satzes ist mir nicht klar geworden. Haben wir da ein *Contradictio in adjecto* oder soll „einfach“ im Gegensatz zum Folgenden bedeuten wenig manichfach und leicht zu deuten? Faktisch sind Zwillinge dieses ersten Gesetzes keine Zwillinge, sondern parallele Verwachsungen, worauf bereits Hessenberg S. 214 aufmerksam macht.

Ferner heisst es S. 463 von dem Zwilling Fig. 34: „Die Zusammensetzungsverhältnisse dieses Krystalls fügen sich nicht den gewöhnlichen Gesetzen, jedenfalls ist keine Verwachsung nach m oder n dabei im Spiel, da die drei Endflächen vollkommen senkrecht aufeinander stehen.“ Nun ist aber ein Zwilling, bei dem die drei Pinakoide aufeinander vollkommen senkrecht bleiben, für holöedrische Gestalten des rhombischen Systems nach unseren jetzigen Vorstellungen von dem Wesen des Zwillinge überhaupt nicht denkbar, weder nach m oder n noch nach irgend einer Fläche überhaupt.

Derselbe Krystall hat durch Zirkel auch im Weiteren eine unzulässige Interpretation erfahren, bei der die Pinakoide mehrmals ihre Bedeutung wechseln und z. B. „die seitliche verticale Endfläche nach oben als b, nach unten als c verwendet wird.“ (S. 462.) Schrauf hat die Richtigstellung vorgenommen und setzt seine Fig. 17 Taf. XXXVII an Stelle von Zirkel's Fig. 34 unter Hinweis auf eine Mittheilung (Wien, Sitzb. 1873, Min. Beob. V), doch konnte ich dort nichts dergleichen finden; vielmehr behandeln die Min. Beob. V die Brochantiengruppe. Schrauf hat q und r gestrichen, dagegen  $n \Sigma x z \theta v$  zugefügt, sowie das Zwillingsgesetz klargelegt. Auf diesen Krystall bezieht sich auch Schrauf's Bemerkung zu Taf. XXXVI vor Fig. 1. Zirkel's Fig. 34 ist zu cassiren.

Auf den Fehler  $3^{\circ}40'$  statt  $7^{\circ}20'$  (S. 461 Z. 6 vu) hat Hessenberg S. 215 bereits aufmerksam gemacht.

Fassen wir die Betrachtungen über Zirkel's Arbeit zusammen, so geht daraus hervor, dass aus ihr nur Einzelnes zu verwenden ist, was auch bereits von Schrauf und Miers hervorgezogen worden ist. Im Ganzen bedarf trotz der schönen Arbeit von Miers der Bournonit einer noch eingehenderen Bearbeitung, in der die eigenartigen Verwachsungsverhältnisse im Kleinsten wie im Grossen zu Rath gezogen werden müssen.

rracturen.

n Handrb.	1828	—	Seite 325	Zeile 15	vo	lies	$105^{\circ}2'$	statt	$115^{\circ}2'$
ppe Min.	1839	2	" 531.	Die Seite 744	gegebene	Correctur:	„Zeile 10	vu	nach $(\bar{P}-1)^2$ setze $y$ “ ist unrichtig und hat zu entfallen.
"	"	"	Seite 531	Zeile 11	vu	lies	$105^{\circ}2'$	statt	$115^{\circ}2'$ <sup>1)</sup>
"	"	"	"	9	vu	"	$56^{\circ}9'$	"	$54^{\circ}48'$ <sup>1)</sup>
Pogg. Ann.	1849	76	" 293	" 6	vu	"	Mohs-Zippe	"	Mohs
"	"	"	"	Col.	Bournonit.	$n=96^{\circ}31'$	zu löschen,	dafür	$n=83^{\circ}29'$ eine Zeile tiefer einzusetzen.
"	"	"	"	Zeile 9	vo	lies	$(\omega a : \frac{4}{3} b : c)$	statt	$\omega a : \frac{4}{3} c$
Wien. Sitzb.	1862	45	" 442	" 4	"	"	$b : \omega a : \omega c$	"	$b \omega a : \omega c$
"	"	"	"	6	"	"	$a : \frac{4}{3} b : \omega c$	"	$a : \frac{2}{3} b : \omega c$
"	"	"	"	15	"	"	$i \frac{3}{2}$	"	$i \frac{3}{2}$
"	"	"	"	16	"	"	$a : b : \omega c$	"	$a : b : \omega e$
"	"	"	"	17	"	"	$i \frac{4}{3}$	"	$i \frac{4}{3}$
"	"	"	"	19	"	"	$i \frac{4}{3}$	"	$i \frac{4}{3}$
"	"	"	"	19	"	"	$\frac{4}{3} b : c : \omega a$	"	$b \frac{4}{3} c : \omega a$
"	"	"	"	20	"	"	$a : c : \omega b$	"	$\frac{4}{3} a : c : \omega b$
"	"	"	443	" 2	"	"	$a : \omega b : \omega c(r)$	"	$a : \omega b : \omega e(r)$
"	"	"	"	3	"	"	$c : \omega a : \omega b(k)$	"	$b : \omega a : \omega e(s)$
"	"	"	"	4	"	"	$b : \omega a : \omega c(s)$	"	$e : \omega a : \omega b(k)$
"	"	"	"	8	"	"	$\frac{3}{2} \bar{P}r$	"	$\cdot$ <sup>2)</sup>
"	"	"	"	14	"	"	$\bar{P}r-1$	"	$\bar{P}r-1$
"	"	"	"	17	"	"	$\cdot$	"	$\frac{3}{2} \bar{P}r$ <sup>2)</sup>
"	"	"	"	20	"	"	$2a : b : \omega c(n)$	"	$2a : b : \omega e(n)$
"	"	"	"	26	"	"	$\cdot$	"	$(\bar{P}-1)^2$
"	"	"	"	27	"	"	$\bar{P}-1$	"	$\cdot$
"	"	"	"	31 <sup>2)</sup>	"	"	$(\bar{P}-1)^2 = (\bar{P}r-1)^3$	zuzufügen	
"	"	"	"	32 <sup>2)</sup>	"	"	$(\bar{P}-1)^{\frac{3}{2}} = (\bar{P}r-2)^5$	zuzufügen	
"	"	"	446	" 1	vu	"	$\frac{3}{2} \bar{P}2$	statt	$\frac{2}{3} \bar{P}2$
"	"	"	"	3	"	"	$\frac{4}{3} \bar{P} \frac{4}{3}$	"	$i \frac{4}{3}$
"	"	"	"	3	"	"	$\frac{4}{3} \bar{P} \frac{4}{3}$	"	$\bar{P} \frac{3}{4}$
"	"	"	"	6	"	"	$\frac{3}{2} \bar{P} \frac{3}{2}$	"	$i \frac{3}{2}$
"	"	"	"	6	"	"	$\frac{3}{2} \bar{P} \frac{3}{2}$	"	$\bar{P} \frac{3}{2}$
"	"	"	"	15	"	"	$i \frac{4}{3}$	"	$\frac{4}{3}$
"	"	"	"	16	"	"	$\gamma 304 \frac{4}{3} \bar{P} \omega$	$4a : \omega b : 3c$	$\frac{4}{3} \frac{2}{2}$
"	"	"	"	"	"	"	statt $\gamma 403 \frac{2}{3} \bar{P} \omega$	$3a : \omega b : 4c$	$\frac{2}{3} \frac{2}{2}$
"	"	"	"	17	"	lies	$\gamma 203 \frac{2}{3} \bar{P} \omega$	$3a : \omega b : 2c$	$\frac{2}{3} \frac{2}{2}$
"	"	"	"	"	"	statt	$\gamma 302 \frac{2}{3} \bar{P} \omega$	$2a : \omega b : 3c$	$\frac{2}{3} \frac{2}{2}$
"	"	"	"	18	"	lies	$\beta 108 \frac{8}{3} \bar{P} \omega$	$8a : \omega b : c$	$\frac{8}{3} \frac{2}{2}$
"	"	"	"	"	"	statt	$\beta 801 \frac{1}{3} \bar{P} \omega$	$a : \omega b : 8c$	$\frac{1}{3} \frac{2}{2}$
"	"	"	"	24	"	lies	$a : b : \omega c$	statt	$a b : \omega c$
"	"	"	"	31	"	"	$\omega a : 4b : 5c$	"	$\omega a 4b : 5c$
"	"	"	447	" 11	vo	"	$y(111)$	"	$y(112)$
"	"	"	448	" 7	vu	"	$33^{\circ}11'$	"	$39^{\circ}11'$
"	"	"	449	" 14	vo	"	$46^{\circ}50'$	"	$46^{\circ}26'$

Vgl. G. Rose Pogg. Ann. 1849. 76. 293.

Vgl. Miers S. 64.

(Fortsetzung S. 342.)

Correcturen. (Fortsetzung von S. 341.)

Zirkel	Wien. Sitzb.	1862 45	Seite 449	Zeile	3 vu lies	57° 7	statt	57° 37
"	"	"	"	450	9	"	"	79° 14
"	"	"	"	"	7	66° 55	"	63° 38
"	"	"	"	"	7	51° 7	"	50° 7
"	"	"	"	"	6	57° 27	"	43° 6
"	"	"	"	"	5	18° 41	"	18° 31
"	"	"	"	"	"	37° 21	"	37° 17
"	"	"	"	"	2	54° 8	"	53° 41
"	"	"	"	451	10 vo	30° 13	"	29° 45
"	"	"	"	"	11	28° 59	"	28° 53
"	"	"	"	"	13	47° 33	"	47° 41
"	"	"	"	"	14	65° 2	"	63° 3
"	"	"	"	"	"	63° 48	"	63° 42
"	"	"	"	"	"	52° 21	"	52° 11
"	"	"	"	"	"	31° 50	"	31° 55
"	"	"	"	"	15	47° 2	"	46° 3
"	"	"	"	"	"	43° 14	"	43° 11
"	"	"	"	"	"	46° 12	"	47° 5
"	"	"	"	"	16	63° 15	"	63° 11
"	"	"	"	"	"	61° 19	"	60° 19
"	"	"	"	"	"	28° 51	"	28° 54
"	"	"	"	"	"	30° 33	"	30° 39
"	"	"	"	"	19	79° 54	"	79° 43
"	"	"	"	"	"	10° 6	"	10° 17
"	"	"	"	"	"	25° 21	"	25° 18
"	"	"	"	"	20	53° 1	"	51° 49
"	"	"	"	"	"	24° 45	"	62° 49
"	"	"	"	"	"	16° 16	"	19° 1
"	"	"	"	"	22 vu	78° 18	"	78° 42
"	"	"	"	"	20	50° 5	"	49° 5
"	"	"	"	"	19	42° 21	"	41° 13
"	"	"	"	"	18	25° 20	"	26° 20
"	"	"	"	"	16	39° 55	"	40° 55
"	"	"	"	"	"	(212)	"	(312)
"	"	"	"	"	13	60° 53	"	56° 32
"	"	"	"	"	10	26° 13	"	25° 13
"	"	"	"	"	7	(121)	"	(021)
"	"	"	"	"	6	(122)	"	(022)
"	"	"	"	"	4	36° 51	"	36° 41
"	"	"	"	"	2	68° 33	"	76° 47
"	"	"	"	452	5	54° 27	"	54° 23
"	"	"	"	"	7	23° 3	"	83° 33
"	"	"	"	"	8	42° 7	"	41° 50
"	"	"	"	"	11	35° 53	"	35° 32
"	"	"	"	459	12	dieselbe	"	eine andere
"	"	"	"	461	6	7° 20	"	3° 50
"	"	"	"	"	"	Taf. VII (Projectionsbild) lies c ooi statt c oio		
"	"	"	"	"	"	Im Quadranten vorn-links Zone		
"	"	"	"	"	"	mc lies 223 statt 233		

(Fortsetzung S. 343)



Correcturen. (Fortsetzung von S. 342.)

Wien. Sitzb.	1862	45	Taf. VII (Projectionsbild)	In Zone ba oben und unten lies 450 statt 302
"	"	"	"	In Zone ba lies 230 statt 450
"	"	"	"	Die Flächenpunkte 334 in allen Quadranten an richtige Stelle zu setzen
"	"	"	"	Die Flächenpunkte $\rho$ 211 ein- zusetzen.
"	"	"	"	Die den unrichtigen Symbolen 801, 302, 403 entsprechenden Punkte durch richtige 108, 203, 304 an richtiger Stelle zu er- setzen resp. zu cassiren.
nberg Senck. Abh.	1863	—	Seite 214 Zeile 3 vo	lies $\beta$ 108 $\frac{1}{8}\check{\rho}\infty$ $\infty a : 8 b : c$ statt $\beta$ 801 $8\check{\rho}\infty$ $\infty a : b : 8 c$
"	"	"	"	lies $\gamma$ 203 $\frac{2}{3}\check{\rho}\infty$ $\infty a : 3 b : 2 c$
"	"	"	"	statt $\gamma$ 302 $\frac{3}{2}\check{\rho}\infty$ $\infty a : 2 b : 3 c$
"	"	"	"	lies $\nu$ 304 $\frac{3}{2}\check{\rho}\infty$ $\infty a : 4 b : 3 c$
"	"	"	"	statt $\nu$ 403 $\frac{4}{3}\check{\rho}\infty$ $\infty a : 3 b : 4 c$
System	1873	"	96	7 vu lies 1-06612 statt 1-0662
"	"	"	"	" i-6 " i- $\check{\nu}$
"	"	"	"	" $\frac{7}{3}-\check{i}$ " $\frac{7}{3}-\check{2}$
"	"	"	"	" $\frac{3}{2}-\check{i}$ , $\frac{4}{3}-\check{i}$ , $8-\check{i}$ } zu streichen
"	"	"	"	" 5 " 3-3 }
"	"	"	"	lies 1-4 statt 1- $\check{\nu}$
Min. May.	1884	6	60	5 vo " 472 " 431
"	"	"	62 Col. 5 —	" ( $\bar{P}r-1$ )o " (Pr-1)o
"	"	"	64 Zeile 17 vu	" v " N
"	"	"	" 14 " }	" a " a
"	"	"	69 " 26 " }	" " "



Braunit.

Tetragonal.

Axenverhältniss.

a : c = 1 : 1.9704 (Gdt.)

[a : c = 1 : 1.393 ] (Miller. Des Cloizeaux.)

{ a : c = 1 : 0.985 } (Haidinger. Hartmann. Mohs-Zippe.  
Hartmann. Dana. Groth.)

{ " = 1 : 0.9856 } (Rath.)

Elemente.

$\left. \begin{matrix} c \\ p_o \end{matrix} \right\} = 1.9704$	$\lg c = 029456$	$\lg a_o = 970544$	$a_o = 0.5075$
---	------------------	--------------------	----------------

Transformation.

Haidinger. Hartmann. Dana. Mohs-Zippe. Hausmann. Schrauf.	Miller. Des Cloizeaux.	Gdt.
p q	$\frac{p+q}{2} \quad \frac{p-q}{2}$	$\frac{p}{2} \quad \frac{q}{2}$
(p+q) (p-q)	p q	$\frac{p+q}{2} \quad \frac{p-q}{2}$
2 p · 2 q	(p+q) (p-q)	p q

Miller. Schrauf. Gdt.	Haidinger.	Miller.	Naumann.	[Hausmann.]	[Haidinger.] [Mohs-Zippe]	Gdt.
c	o	001	o P	A	P-∞	o
e	P	112	$\frac{1}{2}$ P	P	P	$\frac{1}{2}$
s	s	111	P	EA $\frac{1}{2}$	P+2	1
x	z	211	2 P 2	BB2 · EA $\frac{1}{4}$	(P+1) <sup>3</sup>	2 1

Literatur.

Haidinger	Edinb. Trans.	1826	4	48	}	(Brachytypes Mangaberi)
"	Pogg. Ann.	1826	7	234		
Hartmann	Handb.	1828	—	368		
Mohs-Zippe	Min.	1839	2	463		
Haidinger (Des Cloizeaux)	Ann. Min.	1842	4	(1) 418		
Hausmann	Handb.	1847	2	(1) 222		
Miller	Min.	1852	—	232		
Schrauf	Atlas	1873	—	Taf. XXXVIII		
Rath	Zeitschr. Kryst.	1884	8	297.		

Bemerkungen.

In Schrauf's Atlas findet sich im Widerspruch mit den übrigen Autoren:  $x = 121$ . Die Form ist von Haidinger entlehnt, der sie mit  $z$  bezeichnet ( $P+1$ )<sup>3</sup>. Sie findet sich danach bei Mohs-Zippe (1839), Hausmann (1847), Miller (1852). Letzterer Autor hat ihr den Buchstaben  $x$  gegeben. Danach ist auch bei Schrauf zu setzen  $x = 24$  und die Correctur anzubringen:

Taf. XXXVIII lies:

$$\left. \begin{array}{l} x \\ 241 \\ a : 2a : 4c \\ 4P2 \\ b^{\frac{1}{2}} b^{\frac{1}{2}} h^1 \end{array} \right\} \text{statt} \left\{ \begin{array}{l} x \\ 121 \\ a : 2a : 2c \\ 2P2 \\ b^1 b^{\frac{1}{2}} h^1 \end{array} \right.$$

In dem von Schrauf gegebenen Axenverhältniss ist zu lesen:

$$a : a : c :: 1 : 1 : 0.985 \text{ statt } 1 : 1 : 0.9825$$

wie aus dem nebenstehenden von Haidinger entlehnten Winkel  $ce = 54^\circ 10.5$  hervorgeht.

Correcturen.

Schrauf Atlas 1873 Text zu Taf. XXXVIII Zeile 20 vu lies  $e (111)$  statt  $c (111)$

$$\left. \begin{array}{l} x \\ 241 \\ a : 2a : 4c \\ 4P2 \\ b^{\frac{1}{2}} b^{\frac{1}{2}} h^1 \end{array} \right\} \text{statt} \left\{ \begin{array}{l} x \\ 121 \\ a : 2a : 2c \\ 2P2 \\ b^1 b^{\frac{1}{2}} h^1 \end{array} \right.$$

" " " " " " " " 21 " " 0.985 statt 0.9825

Breithauptit.

Hexagonal.

Axenverhältnisse.

a : c = 1 : 0.7435 (G<sub>1</sub>)  
(1)

[a : c = 1 : 0.8585] (Dana. Schrauf.)  
(10)

{a : c = 1 : 1.9914} (Groth.)  
(10)

(a : c = 1 : 1.4871) (Miller.)  
(10)

Elemente.

c = 0.7435	lg c = 987128	lg a <sub>0</sub> = 036728	lg p <sub>0</sub> = 969519	a <sub>0</sub> = 2.3296	p <sub>0</sub> = 0.4957
		lg a'₀ = 012872		a'₀ = 1.3450	

Transformation.

Dana. Schrauf.	Miller.	Groth.	G <sub>1</sub>	G <sub>2</sub>
p q	$\frac{p+2q}{3} \frac{p-q}{3}$	$\frac{p+2q}{2} \frac{p-q}{2}$	2p · 2q	2 (p + 2q) 2 (p - q)
(p + 2q) (p - q)	p q	$\frac{3}{2} p \frac{3}{2} q$	2 (p + 2q) 2 (p - q)	6p · 6q
$\frac{2}{3} (p + 2q) \frac{4}{3} (p - q)$	$\frac{2}{3} p \frac{4}{3} q$	p q	$\frac{4}{3} (p + 2q) \frac{4}{3} (p - q)$	4p · 4q
$\frac{p}{2} \frac{q}{2}$	$\frac{p+2q}{6} \frac{p-q}{6}$	$\frac{p+2q}{4} \frac{p-q}{4}$	p q	(p + 2q) (p - q)
$\frac{p+2q}{6} \frac{p-q}{6}$	$\frac{p}{6} \frac{q}{6}$	$\frac{p}{4} \frac{q}{4}$	$\frac{p+2q}{3} \frac{p-q}{3}$	p q

No.	Schrauf. Gdt.	Miller.	Bravais.	Miller.	Naumann.	G <sub>1</sub>	G <sub>2</sub>
1	c	o	0001	111	oP	o	o
2	a	a	1010	211	∞P	∞o	∞
3	i	i	1011	100	P	1o	1
4	w	w	3031	722	3P	3o	3

Literatur.

<i>Miller</i>	<i>Min.</i>	1852	—	142
<i>Dana</i>	<i>System</i>	1873	—	61
<i>Schrauf</i>	<i>Atlas</i>	1873	—	Taf. XXXVIII
<i>Groth</i>	<i>Tab. Uebere.</i>	1882	—	15.



# Brewsterit.

## Monoklin.

### Axenverhältnisse.

$$a : b : c = 0.4046 : 1 : 0.1407 \quad \beta = 93^\circ 04' \text{ (Gdt.)}$$

$$[a : b : c = 0.4046 : 1 : 0.4222 \quad \beta = 93^\circ 04' \text{ (Schrauf.)}]$$

$$[a : b : c = 0.4046 : 1 : 0.4203 \quad \beta = 93^\circ 04' \text{ (Dana. Groth.)}]$$

$$\{a : b : c = 0.4048 : 1 : 0.7007 \quad \beta = 93^\circ 04' \text{ (Des Cloizeaux.)}\}$$

### Elemente.

= 0.4046	lg a = 960703	lg a <sub>0</sub> = 045874	lg p <sub>0</sub> = 954126	a <sub>0</sub> = 2.8757	p <sub>0</sub> = 0.3477
= 0.1407	lg c = 914829	lg b <sub>0</sub> = 085171	lg q <sub>0</sub> = 914767	b <sub>0</sub> = 7.1073	q <sub>0</sub> = 0.1405
= } 86°56'	lg h = } 999938	lg e = } 872834	lg $\frac{p_0}{q_0}$ = 039359	h = 0.9986	e = 0.0535
-β	lg sin μ	lg cos μ			

### Transformation.

Schrauf. Dana. Groth.	Descloiz. Lévy.	Gdt.
pq	$\frac{3p}{5} \frac{3q}{5}$	$\frac{3p}{5} \frac{3q}{5}$
$\frac{5}{3} p \frac{5}{3} q$	pq	$\frac{5p}{5} \frac{5q}{5}$
$\frac{p}{3} \frac{q}{3}$	$\frac{p}{5} \frac{q}{5}$	pq

No.	Gdt.	Miller. Schrauf.	Miller.	Naumann.	[Lévy.] [Descl.]	Gdt.
1	c	c	001	oP	p	o
2	b	b	010	∞P∞	g <sup>1</sup>	o∞
3	a	a	100	∞P∞	h <sup>1</sup>	∞ o
4	m	m	110	∞P	m	∞
5	t	t	120	∞P 2	g <sup>3</sup>	∞ 2
6	e	e	012	$\frac{1}{2}$ P∞	[e]	o $\frac{1}{2}$
7	f	—	056	$\frac{2}{5}$ P∞	e <sup>o</sup>	o $\frac{2}{5}$

Literatur.

<i>Haidinger</i>	<i>Pogg. Ann.</i>	1825	5	161
<i>Hartmann</i>	<i>Handb.</i>	1828	—	89
<i>Lévy</i>	<i>Descr.</i>	1838	2	246
<i>Mohs-Zippe</i>	<i>Min.</i>	1839	2	271
<i>Hausmann</i>	<i>Handb.</i>	1847	2	(1) 767
<i>Miller</i>	<i>Min.</i>	1852	—	442
<i>Mallet</i>	<i>Amer. Journ.</i>	1859 (2)	28	48
<i>Des Cloizeaux</i>	<i>Manuel</i>	1862	1	420
<i>Dana</i>	<i>System</i>	1873	—	445
<i>Schrauf</i>	<i>Atlas</i>	1873	—	Taf. XXXVIII.

# Brochantit.

1.

## Triklin.

### Axenverhältniss.

$$a : c = 0.4946 : 1 : 0.8103 \quad \alpha\beta\gamma = 90^\circ 57' ; 90^\circ 22' ; 90^\circ 08' \quad (\text{Gdt.})$$

$$[a : b : c = 0.8103 : 1 : 0.4946 \quad \alpha\beta\gamma = 89^\circ 52' ; 90^\circ 22' ; 89^\circ 03'] \quad (\text{Schrauf.})$$

$$a : b : c = 2.021 : 1 : 3.275 \quad \alpha\beta\gamma = 89^\circ 37' ; 90^\circ 57' ; 89^\circ 52' \} \quad (\text{Brezina.})$$

[Monoklin.]

$$((a : b : c = 0.7798 : 1 : 0.4833 \quad \beta = 90^\circ 32')) \quad (\text{Schrauf Atl. 1873.})$$

[Rhombisch.]

$$(a : b : c = 0.7803 : 1 : 0.4838) \quad (\text{Schrauf. Groth.})$$

$$[(a : b : c = 0.7789 : 1 : 0.2505)] \quad (\text{Miller. Rose. Schrauf 1860. Hausmann.})$$

$$[(a : b : c = 0.7739 : 1 : 0.2435)] \quad (\text{Kokscharow. Dana.})$$

$$\{(a : b : c = 0.6128 : 1 : 0.6453)\} \quad (\text{Mohs-Zippe.})$$

$$\{[a : b : c = 0.645 : 1 : 2.48 \quad ]\} \quad (\text{Lévy.})$$

### Elemente der Linear-Projection.

$a = 0.4946$	$a_0 = 0.6104$	$\alpha = 90^\circ 57'$	$x'_0 = -0.0064$	$d' = -0.0179$
$b = 1$	$b_0 = 1.2341$	$\beta = 90^\circ 22'$	$y'_0 = -0.0166$	$\delta' = 21^\circ 13'$
$c = 0.8103$	$c_0 = 1$	$\gamma = 90^\circ 08'$	$k = 0.9998$	

### Elemente der Polar-Projection.

$p_0 = 1.6381$	$\lambda = 89^\circ 02'$	$x_0 = 0.0066$	$d = 0.0179$
$q_0 = 0.8103$	$\mu = 80^\circ 37'$	$y_0 = 0.0167$	$\delta = 21^\circ 38'$
$r_0 = 1$	$\nu = 89^\circ 51'$	$h = 0.9998$	

### Transformation.

	Mohs-Zippe.	[Schrauf.] Groth. (Rhomb.)	Kokscharow, Dana, Miller, Rose, Hausm.	Schrauf.	Brezina.	Gdt.
	$\frac{1}{4} \frac{q}{p} \frac{p}{p}$	$\frac{q}{p} \frac{1}{2p}$	$\frac{2q}{p} \frac{1}{p}$	$+\frac{q}{p} + \frac{1}{2p}$	$+\frac{1}{4q} + \frac{p}{2q}$	$+\frac{p}{q} + \frac{1}{2q}$
$p$	$pq$	$q \cdot 2p$	$2q \cdot 4p$	$+\frac{q}{p} + \frac{1}{2p}$	$+\frac{p}{q} + \frac{1}{2q}$	$+\frac{1}{q} + \frac{2p}{q}$
$q$	$\frac{q}{2} \frac{p}{p}$	$pq$	$2p \cdot 2q$	$+\frac{p}{2} + \frac{q}{2}$	$+\frac{q}{2p} + \frac{1}{2p}$	$+\frac{1}{p} + \frac{q}{p}$
	$\frac{q}{4} \frac{p}{2}$	$\frac{p}{2} \frac{q}{2}$	$pq$	$+\frac{p}{2} + \frac{q}{2}$	$+\frac{q}{2p} + \frac{1}{p}$	$+\frac{2}{p} + \frac{q}{p}$
$1$	$\frac{q}{2} \frac{p}{p}$	$pq$	$2p \cdot 2q$	$pq$	$-\frac{q}{2p} - \frac{1}{2p}$	$\frac{1}{p} \frac{q}{p}$
$2$	$\frac{p}{2q} \frac{1}{2q}$	$\frac{1}{2q} \frac{p}{q}$	$\frac{1}{q} \frac{2p}{q}$	$\frac{1}{2q} \frac{p}{q}$	$pq$	$2q \cdot 2p$
$1$	$\frac{q}{2p} \frac{1}{p}$	$\frac{1}{p} \frac{q}{p}$	$\frac{2}{p} \frac{2q}{p}$	$\frac{1}{p} \frac{q}{p}$	$\frac{q}{2} \frac{p}{2}$	$pq$

(Fortsetzung S. 353.)

Literatur.

Rose	Reise n. Ural	1837	1	267
"	Pogg. Ann.	1837	42	468
Lévy	Descr.	1838	3	88
Mohs-Zippe	Min.	1839	2	184
Hausmann	Handb.	1847	2	(2) 1209
Miller	Min.	1852	—	553
Kokscharow	Mat. Min. Russl.	1858	3	260
Schrauf	Wien. Sitzb.	1860	39	892
"	Atlas	1873	—	Taf. XXXVIII
"	Wien. Sitzb.	1873	67	(1) 275 (Monogr.)
Dana	System	1873	—	664
Groth	Strassb. Samml.	1878	—	154
Brezina	Zeitschr. Kryst.	1879	3	375.

Bemerkungen.

Es spricht in den Zahlen vieles dafür, den Werth  $q$  der Symbole zu verdoppeln zu dem Axen-Verhältniss führen würde:

$$a : b : c = 0.2473 : 1 : 0.4051 \quad \alpha 37 \text{ unverändert.}$$

Noch mehr beobachtete Formen werden dies entscheiden.

Bei Schrauf (Wien. Sitzb. 1860. 39. 892) steht das Axen-Verhältniss:

$$\bar{a} : \bar{b} : c = 1 : 0.7789 : 0.2565$$

Aus Miller's und Rose's Winkel-Angabe:  $101, 001 = 14^\circ 4'$  resp.  $f : b = 104^\circ 4'$  ergibt sich andererseits das Axen-Verhältniss:

$$\bar{a} : \bar{b} : c = 1 : 0.7789 : 0.2505.$$

Da Schrauf aus diesen beiden Quellen geschöpft, liegt offenbar ein Druckfehler vor

Lévy's  $m$  (Brochantit) Descr. 1838. 3. 08 ist — Miller's  $v$  nicht, wie bei (Wien. Sitzb. 1873. 67. (1) 278) steht  $x$ .  $x$  dagegen ist von Miller, wie er selbst hervorhebt, gesetzt worden für Lévy's Prisma beim Königin (l. c. S. 9 Zweifel zu heben, ist wohl am besten zu setzen:

Schrauf Wien. Sitzb. 1873. 67. (1) 278 Zeile 19 vo Col. I lies  $m$  (Brochantit) statt  $m$  (Königin)

(Fortsetzung S. .)

## 2.

Miller. Zepha- rovich.	Kok- scharow.	Schrauf. Brezina.	Rose. Haus- mann.	Mohs- Zippe.	Miller.	Nau- mann.	[Haus- mann.]	[Mohs.] [Zippe.]	[Lévy]	Gdt.
a	—	a	—	—	001	o P	B'	—	—	o
b (a)	T	b	b	P	010	$\infty \bar{P} \infty$	B	$\bar{P}r + \infty$	p	o $\infty$
e	x	e'	f	o	210	$\infty \bar{P}'_2$	D	$\bar{P}r - 2$	a <sup>1</sup>	2 $\infty$
e	x	e	f	o	210	$\infty \bar{P}'_2$	D	$\bar{P}r - 2$	a <sup>1</sup>	2 $\infty$
i	—	i	—	—	110	$\infty \bar{P}$	—	—	—	$\infty \infty$
r	l	r'	$\frac{g}{2}$	d	021	$2, \bar{P}' \infty$	BB' <sub>2</sub>	P + $\infty$	e <sup>4</sup>	o 2
n	—	n'	—	—	043	$\frac{4}{3}, \bar{P}' \infty$	—	—	—	o $\frac{4}{3}$
m	M	m'	g	—	011	$\bar{P}' \infty$	E	—	—	o 1
$\lambda$	—	$\lambda$	—	—	016	$\frac{1}{2}, \bar{P}' \infty$	—	—	—	o $\frac{1}{2}$
$\mu$	—	$\mu$	—	—	037	$\frac{3}{2}, \bar{P}' \infty$	—	—	—	o $\frac{3}{2}$
m	M	m	g	—	011	$\bar{P}' \infty$	E	—	—	o 1
n	—	n	—	—	043	$\frac{4}{3}, \bar{P}' \infty$	—	—	—	o $\frac{4}{3}$
r	l	r	$\frac{g}{2}$	d	021	$2, \bar{P}' \infty$	BB' <sub>2</sub>	P + $\infty$	e <sup>4</sup>	o 2
v	—	v	—	M	101	$\bar{P}' \infty$	B'A $\frac{1}{2}$	$\bar{P}'_r$	m	1 o
x	—	x	—	—	102	$\frac{1}{2}, \bar{P}' \infty$	—	—	—	$\frac{1}{2}$ o
x	—	$\xi$	—	—	102	$\frac{1}{2}, \bar{P}' \infty$	—	—	—	$\frac{1}{2}$ o
p	—	p'	—	—	212	$\bar{P}'_2$	—	—	—	1 $\frac{1}{2}$
f	—	f	—	—	616	$\bar{P}'_6$	—	—	—	1 $\frac{1}{6}$
g	—	g	—	—	313	$\bar{P}'_3$	—	—	—	1 $\frac{1}{3}$
p	—	p	—	—	212	$\bar{P}'_2$	—	—	—	1 $\frac{1}{2}$
p	—	$\pi'$	—	—	212	$\bar{P}'_2$	—	—	—	1 $\frac{1}{2}$
g	—	$\gamma$	—	—	313	$\bar{P}'_3$	—	—	—	1 $\frac{1}{3}$
f	—	$\varphi$	—	—	616	$\bar{P}'_6$	—	—	—	1 $\frac{1}{6}$
p	—	$\pi$	—	—	212	$\bar{P}'_2$	—	—	—	1 $\frac{1}{2}$
o	—	$\omega$	—	—	211	$2, \bar{P}'_2$	—	—	—	2 1
o	—	o	—	—	211	$2, \bar{P}'_2$	—	—	—	2 1
s	—	$\sigma$	—	—	631	$6, \bar{P}'_2$	—	—	—	6 3
s	—	s	—	—	631	$6, \bar{P}'_2$	—	—	—	6 3
k	—	k	—	—	4·1·12	$\frac{1}{3}, \bar{P}'_4$	—	—	—	$\frac{1}{3}$ 12
k	—	x	—	—	4·1·12	$\frac{1}{3}, \bar{P}'_4$	—	—	—	$\frac{1}{3}$ 12
t	—	t	—	—	2·3·5	$\frac{2}{3}, \bar{P}'_{\frac{3}{2}}$	—	—	—	$\frac{2}{3}$ $\frac{3}{2}$
t	—	$\tau$	—	—	2·3·5	$\frac{2}{3}, \bar{P}'_{\frac{3}{2}}$	—	—	—	$\frac{2}{3}$ $\frac{3}{2}$

Bemerkungen. (Fortsetzung von S. 352.)

Bei Mohs-Zippe (Min. 1839. 2. 185) und Hausmann (Handb. 1847. 2. (2) 121) findet sich noch die Form  $P-\infty$  resp. A in unserer Aufstellung  $= \infty 0$ , welche die übrigen Autoren nicht kennen. Die Combination, in der diese Form auftritt, ist bei beiden dieselbe:  $P-\infty$ ,  $P+\infty$ ,  $\bar{P}r+\infty$  resp.  $2A \cdot 2B \cdot 2E$ . Für E ( $P+\infty$ ) ist der Winkel gegeben  $= 104^\circ 14'$ . Hierbei ist, wenn bei dieser Combination die Spaltbarkeit nicht constatirt ist, eine Verwechselung nicht ausgeschlossen, vielmehr ist es sehr leicht möglich, dass wir vor uns haben die Combination:

$$x (\frac{1}{2}0) \quad \xi (\frac{1}{2}0) \quad w (0\infty) \quad q (0)$$

unserer Aufstellung, indem für  $x\xi$ , Lévy beobachtete ca  $105^\circ$ , Schrauf angiebt (S. 185):

$$38^\circ 40'5 + 39^\circ 6'3 = 77^\circ 46'8 \text{ (äusserer Winkel} = 102^\circ 13')$$

Es wurde deshalb die Form  $\infty 0$  unserer Aufstellung  $\equiv A$  (Hausmann)  $= P-\infty$  (Mohs-Zippe) noch nicht als sicher nachgewiesen angesehen.

Bei Lévy findet sich im Text (S. 98)  $e^4$ , in der Figur dagegen (Taf. 65 Fig. 2)  $e^1$ . Letzteres hat Schrauf (Wien. Sitzb. 1873. 67. (1) 278) übernommen, doch geht aus Lévy's Elementen und der Transformation hervor, dass  $e^4$  richtig,  $e^1$  unrichtig ist.  $e^1$  wäre eine sehr steile Form.

Correcturen.

Lévy	Descr.	1838	Atlas	Taf. 65	Fig. 2	lies	$e^4$ $e^4$	statt	$e^1$ $e^1$
Mohs-Zippe	Min.	1839	—	S. 184	Z. 3	vu „	$132^\circ 5$ ; $97^\circ 0$	„	$97^\circ 0$ ; $132^\circ 5$
Schrauf	Wien. Sitzb.	1860	39	„	892	„ 9 vu „	0-2505	„	0-2505
„	„	1873	67 (1)	„	278	„ 10 vo Col. I. lies	m (Brochantit)	statt	—
„	„	„	„	„	„	20 vo „	„ m (Königin)	„	m
„	„	„	„	„	„	20 vu lies	$e^4$	statt	$e^1$
„	„	„	„	„	280	„ 2 vo „	212	„	212



**Bromsilber.**

Regulär.

No.	Gdt.	Miller. Schrauf.	Miller.	Naumann.	G <sub>1</sub>	G <sub>2</sub>	G <sub>3</sub>
1	c	a	001	∞O∞	o	o∞	∞o
2	d	d	101	∞O	1o	o1	∞
3	p	o	111	O	1	1	1

Literatur.

Miller Min. 1852 615  
Schrauf Atlas 1873 Taf. XXXVIII (Bromyrit).

# Brookit.

1.

## Monoklin? Rhombisch?

### Axenverhältnisse.

#### Monoklin.

$$a : b : c = 1.6828 : 1 : 0.9424 \quad \beta = 90^\circ 5' \text{ (Gdt.)}$$

$$[a : b : c = 0.8441 : 1 : 0.9389 \quad \beta = 90^\circ 20'] \text{ (Schrauf. 1 Typ. 1876)}$$

$$[ \quad \quad \quad = 0.8469 : 1 : 0.9379 \quad \beta = 90^\circ 39' ] \text{ ( " 2 " " )}$$

$$[ \quad \quad \quad = 0.8414 : 1 : 0.9434 \quad \beta = 90^\circ 6' ] \text{ ( " 3 " " )}$$

$$[ \quad \quad \quad = 0.8414 : 1 : 0.9424 \quad \beta = 90^\circ 5' ] \text{ (Schrauf 1883.)}$$

#### [Rhombisch.]

$$[[a : b : c = 0.8443 : 1 : 0.9444]] \text{ (Miller. Dana.)}$$

$$[[ \quad \quad \quad = 0.8416 : 1 : 0.9444]] \text{ (Kokscharow. Rath.)}$$

$$\{a : b : c = 0.596 : 1 : 0.556\} \text{ (Haidinger. Hartmann. Mohs-Zippe.)}$$

$$(a : b : c = 0.838 : 1 : 0.466) \text{ (Hausmann.)}$$

$$( \quad \quad \quad = 0.8416 : 1 : 0.4772) \text{ (Des Cloizeaux.)}$$

$$( \quad \quad \quad = 0.839 : 1 : 0.479) \text{ (Lévy.)}$$

$$[[a : b : c = 0.5941 : 1 : 1.1222]] \text{ (Groth.)}$$

$$[(a : b : c = 0.5639 : 1 : 0.5992)] \text{ (Breithaupt.)}$$

### Elemente.

= 1.6828	lg a = 0.22603	lg a <sub>0</sub> = 0.25179	lg p <sub>0</sub> = 9.74821	a <sub>0</sub> = 1.7856	p <sub>0</sub> = 0.5600
= 0.9424	lg c = 9.97424	lg b <sub>0</sub> = 0.02576	lg q <sub>0</sub> = 9.97424	b <sub>0</sub> = 1.0611	q <sub>0</sub> = 0.9424
= } 89°55'	lg h = } 0	lg e = } 7.16270	lg p <sub>0</sub> = 9.77397	h = 1	e = 0.0015
	lg sin μ	lg cos μ			

### Transformation.

Miller. Dana. Kokscharow. Rath. Schrauf. Bücking. Hessenberg.	Haidinger. Hartmann. Mohs-Zippe.	Lévy. Hausmann. Descloiz.	Groth.	Breithaupt.	Gdt.
$p \ q$	$q \ 2p$	$2p \cdot 2q$	$\frac{q}{2} \ p$	$\frac{1}{2p} \ \frac{q}{2p}$	$2p \ q$
$\frac{q}{2} \ p$	$p \ q$	$q \ 2p$	$\frac{p}{2} \ \frac{q}{2}$	$\frac{1}{q} \ \frac{p}{q}$	$q \ p$
$\frac{p}{2} \ \frac{q}{2}$	$\frac{q}{2} \ p$	$p \ q$	$\frac{q}{4} \ \frac{p}{2}$	$\frac{1}{p} \ \frac{q}{2p}$	$p \ \frac{q}{2}$
$q \ 2p$	$2p \ 2q$	$2q \cdot 4p$	$p \ q$	$\frac{1}{2q} \ \frac{p}{q}$	$2q \ 2p$
$\frac{q}{2p} \ \frac{1}{p}$	$\frac{1}{p} \ \frac{q}{p}$	$\frac{q}{p} \ 2$	$\frac{1}{2p} \ \frac{q}{2p}$	$p \ q$	$\frac{1}{p} \ \frac{q}{p}$
$\frac{p}{2} \ q$	$q \ p$	$p \cdot 2q$	$\frac{q}{2} \ \frac{p}{2}$	$\frac{1}{p} \ \frac{q}{p}$	$p \ q$

(Fortsetzung S. 359.)

Literatur.

Lévy	Thomson. Ann. Philos.	1825	9	140
Haidinger	Pogg. Ann.	1825	5	162
Hartmann	Handb.	1828	—	91
Lévy	Descr.	1838	3	349
Mohs-Zippe	Min.	1839	2	608
Hausmann	Handb.	1847	2	(1) 214
Breithaupt	Pogg. Ann.	1849	77	302 (Arkansit)
Rammelsberg	"	1849	77	586
Kokscharow	"	1850	79	454
Dana, J. D.	Amer. Journ.	1851 (2)	12	211
"	"	1851 (2)	12	397 (Eumanit)
Miller	Min.	1852	—	226
Ladrey	Compt. rend.	1852	34	56
Kokscharow	Mat. Min. Russl.	1853	1	61
"	"	1857	2	273
"	"	1870	6	204
Dana, J. D.	Amer. Journ.	1854 (2)	17	86
Grailich u. Lang	Wien. Sitzb.	1857	27	10
Hessenberg	Senck. Abh.	1858	2	251
Rath	Pogg. Ann.	1861	113	430
Dana, J. D.	System	1873	—	164
Leuchtenberg	Jahrb. Min.	1873	—	420
Schrauf	Atlas	1873	—	Taf. XXXIX u. XL
Des Cloizeaux	Manuel	1874	2	203
Schrauf	Wien. Sitzb.	1876	74	(1) 535
"	Zeitschr. Kryst.	1877	1	306
Rath	Pogg. Ann.	1876	158	405
"	Berl. Monatsb.	1875	—	534
Groth-Bücking	Strassb. Samml.	1878	—	109
Groth	Tab. Uehers.	1882	—	32
Zepharovich	Zeitschr. Kryst.	1884	8	577
Schrauf	"	1884	9	444

Bemerkungen }  
 Correcturen } s. Seite 360, 362.

No.	Gdt.	Miller. Schrauf. Zephar. Bücking. Hessen- berg.	Rath. Kok- scha- row.	Breit- haupt.	Lévy. Haid. Mohs- Zippe. Hartm. Hausm.	Miller.	Naumann.	[Hausm.]	[Mohs.] [Zippe.]	[Lévy.] [Descl.]	Gdt.
1	c	c	c	—	p	001	oP	A	P—∞	p	o
2	b	a	b	—	g <sup>1</sup>	010	∞P∞	B	Pr+∞	g <sup>1</sup>	o∞
3	a	ba	a	l	h <sup>1</sup>	100	∞P∞	B'	Pr+∞	h <sup>1</sup>	∞o
4	m	M	M	i	m	210	∞P <sub>2</sub>	E	(Pr+∞) <sup>3</sup> (Pr+∞) <sup>2</sup>	m	2∞
5	a	a	—	o	—	310	∞P <sub>3</sub>	—	—	h <sup>5</sup>	3∞
6	l	l	l	—	—	410	∞P <sub>4</sub>	—	—	—	4∞
7	e	e	—	—	—	920	∞P <sub>2</sub>	—	—	—	2∞
8	k	k	—	—	—	810	∞P <sub>8</sub>	—	—	h <sup>3</sup>	8∞
9	p	p	—	—	—	11·1·0	∞P <sub>11</sub>	—	—	h <sup>1/3</sup>	11∞
10	N	N	f	—	—	14·1·0	∞P <sub>14</sub>	—	—	—	14∞
11	T	T	—	—	—	089	$\frac{8}{9}$ P∞	—	—	—	o $\frac{8}{9}$
12	δ	—	—	s	—	011	P∞	—	—	e <sup>1/2</sup>	o1
13	d	d	d	—	e <sup>3/8</sup>	043	$\frac{4}{3}$ P∞	BA $\frac{3}{8}$	$\frac{4}{3}$ Pr	e <sup>3/8</sup>	o $\frac{4}{3}$
14	t	t	t	y	e <sup>1/4</sup>	021	2P∞	BA $\frac{1}{4}$	Pr+1	e <sup>1/4</sup>	o2
15	y	yY	y	—	a <sup>2</sup>	102	$\frac{1}{2}$ P∞	AB <sub>2</sub>	Pr—1	a <sup>2</sup>	— $\frac{1}{2}$ o
16	x	xX	x	—	a <sup>1</sup>	101	P∞	—	Pr	a <sup>1</sup>	—1o
17	χ	χ	w	—	—	112	$\frac{1}{2}$ P	—	—	—	$\frac{1}{2}$
18	e	eη	e	P	e <sup>3</sup>	111	P	BD' <sub>2</sub>	P	γ	+1
19	n	nv	n	—	—	221	2P	—	—	n	2
20	p	p	—	—	—	929	P <sub>2</sub>	—	—	—	1 $\frac{2}{9}$
21	v	vφ	v	—	i	313	P <sub>3</sub>	D'B $\frac{4}{3}$	( $\frac{4}{3}$ P—2) <sup>3</sup>	v	+1 $\frac{1}{3}$
22	P	P	—	—	—	14·5·14	P <sub>14</sub>	—	—	—	+1 $\frac{5}{14}$
23	z	zζ	z	n	b <sup>1/2</sup>	212	P <sub>2</sub>	P	(Pr—1) <sup>3</sup> (Pr—1) <sup>2</sup>	b <sup>1/2</sup>	+1 $\frac{1}{2}$
24	q	q	—	—	—	434	P <sub>4</sub>	—	—	—	1 $\frac{3}{4}$
25	x	—	q	—	—	232	$\frac{3}{2}$ P <sub>2</sub>	—	—	—	1 $\frac{3}{2}$
26	λ	—	i	—	—	121	2P <sub>2</sub>	—	—	—	12
27	o	ow	o	—	—	211	2P <sub>2</sub>	—	—	b <sup>1/4</sup>	+21
28	s	sσ	s	—	—	311	3P <sub>3</sub>	—	—	α	+31
29	g	g	—	—	—	18·4·9	2P <sub>2</sub>	—	—	—	2 $\frac{4}{9}$
30	q	q	—	—	—	643	2P <sub>2</sub>	—	—	—	2 $\frac{4}{3}$
31	w	wW	—	—	—	472	$\frac{7}{2}$ P <sub>4</sub>	—	—	w	+2 $\frac{7}{2}$
32	h	hH	—	—	—	251	5P <sub>2</sub>	—	—	h	+25
33	i	iJ	k	—	—	321	3P <sub>2</sub>	—	—	β	+32
34	u	us	u	—	—	741	$\frac{7}{2}$ P <sub>4</sub>	—	—	u	+2 $\frac{7}{2}$
35	r	rρ	r	—	—	421	4P <sub>2</sub>	—	—	b <sup>1/3</sup>	+42
36	π	—	—	—	—	326	$\frac{1}{2}$ P <sub>2</sub>	—	—	ζ	$\frac{1}{2}$ $\frac{1}{3}$
37	ε	—	—	—	—	234	$\frac{3}{2}$ P <sub>2</sub>	—	—	ε	$\frac{1}{2}$ $\frac{3}{4}$

(Fortsetzung S. 361.)

Bemerkungen.

Die Formen:  $u = \frac{1}{2} 2$  } bezeichnet Kokscharow (Mat. Min. Russl. 1850. I. 45.  
 $g = \frac{1}{2} \infty$  } Anm.) als unsicher.  
 $p = 11 \infty$

Schrauf (Atlas 1873 und Wien. Sitzb. 1876. 74. (1) 535) führt sie ebenfalls an, giebt jedoch keine eigenen Beobachtungen dafür. Für  $u$  giebt Des Cloizeaux (Man. 1874. 2. 203) Messungen von Marignac, für  $p$  eigene Messungen. Es erscheint danach nur noch  $g$  als unsicher und wurde deshalb in den Index nicht aufgenommen.

Hessenberg giebt (Senck. Abh. 1858. 2. 251) das Symbol  $\frac{1}{2} \bar{P} \infty (x)$  und bemerkt, dass die Buchstaben die von Miller gebraucht seien. Nun dürfte in Symbol oder Buchstaben ein Druckfehler sein, da bei Miller (Min. 1852. 226)  $x = \frac{1}{2} P \infty$  ist. Winkel giebt Hessenberg nicht an. Der Fig. 10 nach hat es den Anschein, als liege die Form in der Zone  $ez$ , was für  $\frac{1}{2} P \infty$  spricht; doch ist dies wegen Schmalheit der Flächen nicht sicher zu entnehmen. Für  $\frac{1}{2} P \infty$  spricht, dass Bücking (Groth Strassb. Sammlg. 1878. 110) an einem Krystall desselben Fundortes  $\frac{1}{2} P \infty$  wahrgenommen hat. Danach wäre zu lesen  $\frac{1}{2} \bar{P} \infty (y)$ . Die Frage ist von keiner sonderlichen Bedeutung, da  $x$  und  $y$  auch sonst nachgewiesene Formen sind.

Durch die sorgfältigen Untersuchungen von Schrauf (Zeitschr. Kryst. 1884. 9. 441) ist es sehr wahrscheinlich geworden, dass der Brookit dem monoklinen System angehört. Dies wurde auch hier angenommen, jedoch von der bei den übrigen monoklinen Mineralien beobachteten Art des Anschreibens in sofern abgewichen, als die  $\pm$  Formen nicht getrennt aufgeführt wurden. Dies hat darin seinen Grund, dass bei vielen noch nicht feststeht, ob sie auf der  $+$  oder  $-$  Seite liegen. Wo Schrauf dies festgestellt hat, wurde es bei dem Zeichen Gdt. vermerkt.

In den Transformations-Symbolen sind die Vorzeichen  $\pm$  nicht eingeschrieben.

Bemerkenswerth ist die bei dieser Aufstellung hervortretende Aehnlichkeit in den Zahlen des Axenverhältnisses zwischen Rutil, Anatas und Brookit.

Rutil:	$a : a : c = 1 : 1 : 0.6442$	$a : a : c = 1.552 : 1.552 : 1$	$\beta = 90^\circ$
Anatas:	$a : a : c = 1 : 1 : 1.7771$	$c : a : a = 1.777 : 1 : 1$	$\beta = 90^\circ$
Brookit:		$a : b : c = 1.683 : 1 : 0.942$	$\beta = 90^\circ 5'$



## 3.

Gdt.	Miller. Schrauf. Zephar. Bücking. Hessen- berg.	Rath. Kok- scha- row.	Breit- haupt.	Lévy. Haid. Mohs- Zippe. Hartm. Hausm.	Miller.	Naumann.	[Hausm.]	[Mohs.] [Zippe.]	[Lévy.] [Descl.]	Gdt.
f	f F	m	—	—	351	5 P 3	—	—	$\mu$	$\pm 3 \frac{5}{6}$
Q	Q	—	—	—	1·11·6	$\frac{11}{6} P \frac{11}{6}$	—	—	—	$-\frac{1}{6} \frac{11}{6}$
r	r	—	—	—	649	$\frac{2}{3} P \frac{2}{3}$	—	—	—	$-\frac{2}{3} \frac{2}{3}$
$\Sigma$	$\Sigma$	—	—	—	456	$\frac{2}{3} P \frac{2}{3}$	—	—	—	$-\frac{2}{3} \frac{2}{3}$
E	E	—	—	—	3·11·5	$\frac{11}{3} P \frac{11}{3}$	—	—	$\lambda$	$\frac{2}{3} \frac{11}{3}$
D	D	—	—	—	4·11·7	$\frac{11}{4} P \frac{11}{4}$	—	—	—	$+\frac{1}{4} \frac{11}{4}$
$\theta$	$\theta \theta$	$\theta$	—	—	579	$\frac{7}{3} P \frac{7}{3}$	—	—	$\delta$	$+\frac{5}{3} \frac{7}{3}$
$\Delta$	$\Delta$	—	—	—	8·10·13	$\frac{10}{13} P \frac{10}{13}$	—	—	—	$-\frac{8}{13} \frac{10}{13}$

Correcturen.

Hessenberg	Senck. Abb.	1858 2	S. 251 Z. 3 vo lies	Fig. 10	statt	Fig.
Rath	Pogg. Ann.	1861 113	" 431 " 5 vu "	$t = (\frac{1}{2}b : c : \infty a)$	"	$t_0 = (\frac{1}{2}b$
"	"	"	" 433 " 4 vu "	$(a : \frac{1}{2}b : c)$	"	$(\frac{1}{2}a : b$
"	"	"	" 433 " 4 vu "	$(\frac{2}{3}a : \frac{1}{2}b : c)$	"	$(\frac{1}{2}a : \frac{1}{2}b$
Schrauf	Atlas	1873 —	Text zu Taf. XXXIX Z. 2 vu lies $\frac{3}{2}P$	Z. 2 vu lies $\frac{3}{2}P$	"	$\frac{3}{2}P$
"	Wien. Sitzb.	1876 74(1)	S. 546 Z. 13 vo lies	$w(111)$	"	$w(11$
"	"	"	" 546 " 10 vu "	$h^{\frac{2}{3}}$	"	$h^{\frac{2}{3}}$
Naumann-Zirkel	Elem.	1877 —	" 354 " 21 vo "	$0.8416:1:0.9444$	"	$0.9444:1$
Schrauf	Zeitschr. Kryst.	1884 9	" 470 " 1 vu "	355	"	33

Brucit.

Hexagonal. Rhomboedrisch-hemiedrisch.

Axenverhältniss.

a : c = 1 : 1.5208 (G<sub>2</sub>)  
(1)

[a : c = 1 : 1.5208] (Hessenberg. Dana. Groth. Schrauf.)  
(10)

Elemente.

c = 1.5208	lg c = 018207	lg a <sub>0</sub> = 005649 lg a'₀ = 981793	lg p₀ = 000598	a₀ = 1.1389 a'₀ = 0.6576	p₀ = 1.0139
------------	---------------	---	----------------	-----------------------------	-------------

Transformation.

Hessenberg. Dana. Groth. Schrauf. Jeremejew. G <sub>1</sub> .	G <sub>2</sub> .
p q	(p+2q) (p-q)
$\frac{p+2q}{3} \frac{p-q}{3}$	p q

No.	Gdt.	Schrauf.	Bravais.	Miller.	Naumann.	Lévy. <sup>1)</sup>	G <sub>1</sub>	G <sub>2</sub>
1	c	c	0001	111	o R	a <sup>1</sup>	o	o
2	a	a	1120	101	∞ P 2	—	∞	∞ o
3	p	P	2021	511	+2 R	e <sup>5</sup>	+2 o	+2
4	r	R	1010	100	+ R	p	+1 o	+1
5	z	z	1013	441	— $\frac{1}{3}$ R	a <sup>4</sup>	— $\frac{1}{3}$ o	— $\frac{1}{3}$
6	e	—	1012	110	— $\frac{1}{2}$ R	—	— $\frac{1}{2}$ o	— $\frac{1}{2}$
7	h	h	7075	443	— $\frac{2}{3}$ R	e <sup>4</sup>	— $\frac{2}{3}$ o	— $\frac{2}{3}$
8	t	t	4041	755	—4 R	e <sup>7</sup>	—4 o	—4

<sup>1)</sup> Nach Schrauf.

Literatur.

<i>Lévy</i>	<i>Descript.</i>	1838	1	236
<i>Miller</i>	<i>Min.</i>	1852	—	269
<i>Dana, J. D.</i>	<i>Amer. Journ.</i>	1854 (2)	17	83
<i>Ross</i>	<i>D. Geol. Ges.</i>	1860	12	178
<i>Hessenberg</i>	<i>Senck. Abh.</i>	1861	4	40 (Min. Not. 4. 40.)
<i>Kenngott</i>	<i>Uebers.</i>	1862—65	—	120
<i>Dana, J. D.</i>	<i>System</i>	1873	—	175
<i>Schrauf</i>	<i>Atlas</i>	1873	—	Taf. XL.
<i>Jeremjew</i>	<i>Zeitschr. Kryst.</i>	1881	5	589.

Bemerkungen.

Auffallend ist, dass in der Reihe der Formen  $+2$ ;  $-4$  auftreten, statt wie zu erwarten  $-2$ ;  $+4$ . Doch erlauben die von Hessenberg zusammengestellten Combinationen nicht, eine Verwechslung der Vorzeichen anzunehmen.

Wegen der immerhin noch vorhandenen Unsicherheit wurde die allgemeine Buchsbezeichnung des hexagonalen Systems rhomboedrischer Hemiedrie (S. 141) noch nicht geführt, sondern Schrauf's Buchstaben vorläufig beibehalten.

Correcturen.

Schrauf Atlas 1873 Text zu Taf. XL Zeile 16 vu lies:  $\infty a : a' : a : 4c$  statt  $\infty a : a : c$   
 " " " " " " " 13 " " p " p<sup>1</sup>

**Brushit.****Monoklin.****Axenverhältnisse.**

$$a : b : c = 0.2064 : 1 : 0.3826 \quad \beta = 117^\circ 15' \text{ (Gdt.)}$$

$$[a : b : c = 0.3826 : 1 : 0.2064 \quad \beta = 117^\circ 15'] \text{ (Dana.)}$$

$$\{a : b : c = 0.7651 : 1 : 0.4128 \quad \beta = 117^\circ 15'\} \text{ (Schrauf.)}$$

**Elemente.**

0.2064	lg a = 931471	lg a <sub>0</sub> = 973197	lg p <sub>0</sub> = 026803	a <sub>0</sub> = 0.5395	p <sub>0</sub> = 1.8537
0.3826	lg c = 958274	lg b <sub>0</sub> = 041726	lg q <sub>0</sub> = 953165	b <sub>0</sub> = 2.6137	q <sub>0</sub> = 0.3401
62°45'	lg sin μ = 994891 lg h =	lg e = 966075 lg cos μ =	lg p <sub>0</sub> = 073638 q <sub>0</sub>	h = 0.8890	e = 0.4579

**Transformation.**

Dana.	Schrauf.	Gdt.
<b>p q</b>	$\begin{matrix} q \\ p \end{matrix}$	$\frac{1}{p} \quad \frac{q}{p}$
$p \cdot 2q$	<b>p q</b>	$\frac{1}{p} \quad \frac{2q}{p}$
$\frac{1}{p} \quad \frac{q}{p}$	$\frac{1}{p} \quad \frac{q}{2p}$	<b>p q</b>

No.	Schrauf. Gdt.	Miller.	Naumann.	Gdt.
1	b	010	$\infty P \infty$	0 $\infty$
2	c	100	$\infty P \infty$	$\infty 0$
3	n	011	$P \infty$	01
4	p	111	$+P$	-1

Literatur.

Moore	Amer. Journ.	1865 (2)	39	43
Dana, J. D.	System	1873	—	552
Schrauf	Atlas	1873	—	Taf. XL.



**Bunsenit.**

Regulär.

No.	Gdt.	Schrauf.	Miller.	Naumann.	Des Cloizeaux.	G <sub>1</sub>	G <sub>2</sub>	G <sub>3</sub>
1	c	h	100	∞O∞	p	o	o∞	∞o
2	p	o	111	O	a <sup>1</sup>	i	i	i

Literatur.

<i>Bergemann</i>	<i>Erdm. Journ.</i>	1856	75	243
<i>Dana</i>	<i>System</i>	1873	—	134
<i>Schrauf</i>	<i>Atlas</i>	1873	—	Taf. XL.

# Buntkupfererz.

Regulär.

No.	Gdt.	Miller. Schrauf.	Hart- mann.	Miller.	Naumann.	Haus- mann.	Mohs- Zippe.	Lévy.	G <sub>1</sub>	G <sub>2</sub>	G <sub>3</sub>
1	c	a	a	001	∞O∞	W	H	p	0	0∞	∞0
2	d	d	—	101	∞O	RD	D	—	10	01	∞
3	q	n	—	112	2O2	—	—	(a <sup>n</sup> )	$\frac{1}{2}$	12	21
4	p	o	P	111	O	O	O	a <sup>1</sup>	1	1	1

Literatur.

<i>Mohs</i>	<i>Grundr.</i>	1824	2	548
<i>Hartmann</i>	<i>Handb.</i>	1828	—	332
<i>Lévy</i>	<i>Descr.</i>	1838	2	16
<i>Mohs-Zippe</i>	<i>Min.</i>	1839	2	519
<i>Hausmann</i>	<i>Handb.</i>	1847	2	(1) 137
<i>Miller</i>	<i>Min.</i>	1852	—	180
<i>Schrauf</i>	<i>Atlas.</i>	1873	—	Taf XXXVI.

# Calcit.

1.

## Hexagonal. Rhomboedrisch-hemiedrisch.

### Axenverhältnisse.

$$a : c = 1 : 0.8543 \text{ (G}_2\text{)}$$

$$a : c = 1 : 0.8543 \text{ (Wollaston. Haüy.... G}_1\text{)}$$

$$n = 1 : 0.8546 \text{ (Kokscharow.)}$$

### Elemente.

$= 0.8543$	$\lg c = 993161$	$\lg a_0 = 030695$ $\lg a'_0 = 006839$	$\lg p_0 = 975552$	$a_0 = 2.0275$ $a'_0 = 1.1705$	$p_0 = 0.5695$
------------	------------------	---	--------------------	-----------------------------------	----------------

### Transformation.

Wollaston. Haüy. .... G <sub>1</sub>	G <sub>2</sub>
pq	(p+2q) (p-q)
$\frac{p+2q}{3} \quad \frac{p-q}{3}$	pq

Haüy. Mohs. Naum.	Miller.	Kok- scha- row.	Bravais.	Miller.	Naumann.	Haum.	Mohs- Zippe.	Haüy.	Lévy. Descl.	G <sub>1</sub>	G <sub>2</sub>	G <sub>2</sub>	$\frac{R}{3} = \frac{p-1}{3} \frac{q-1}{3}$
o	o	o	0001	111	oR	A	R—∞	A <sub>1</sub>	a <sup>1</sup>	o	o	o	—
u	q	u	1120	101	∞P 2	B	P+∞	D <sub>1</sub>	d <sup>1</sup>	∞	∞	∞	—
c	b	c	1010	211	∞R	E	R+∞	E <sub>2</sub>	e <sup>2</sup>	∞	∞	∞	—
ζ	ζ	—	3140	725	∞R 2	BB'2	(P+∞) <sup>2</sup>	$\frac{3}{2} \frac{3}{2} B'2$	ζ	3∞	$\frac{3}{2} \infty$	$\infty \frac{3}{2}$	—
—	—	—	2130	514	∞R 3	—	(P+∞) <sup>3</sup>	—	k	2∞	4∞	∞ 4	—
π	π	—	1123	210	$\frac{2}{3} P 2$	AB $\frac{3}{2}$	P	B <sub>2</sub>	b <sup>2</sup>	$\frac{1}{3}$	10	01	—
—	—	—	7·7·14·12	11·4·3	$\frac{7}{2} P 2$	—	(Hsb. Descl.)	—	s	$\frac{7}{2}$	$\frac{7}{2} 0$	0 $\frac{7}{2}$	—
—	—	—	2243	311	$\frac{4}{3} P 2$	—	2P	—	e <sub>3</sub>	$\frac{4}{3}$	20	02	—
A	α	—	4483	513	$\frac{8}{3} P 2$	BA $\frac{3}{2}$	P+2	—	α	$\frac{4}{3}$	40	04	—
ξ	ξ	—	2241	715	4 P 2	BA $\frac{1}{2}$	$\frac{3}{2} P+2$	$\frac{7}{3} \frac{7}{3} B'2$	ξ	2	60	06	—
—	—	—	7·7·14·3	816	$\frac{1}{3} P 2$	—	7P	—	Γ	$\frac{7}{3}$	70	07	—
—	—	—	8·8·16·3	917	$\frac{1}{3} P 2$	—	(Rath. Hsb.)	—	L	$\frac{8}{3}$	80	08	—
δ	—	—	3361	10·1·8	6 P 2	BA $\frac{1}{6}$	0P	$\frac{3}{2} \frac{3}{2} B'2$	δ	3	90	09	—
—	—	—	4481	13·1·11	8 P 2	—	(Rath)	—	G	4	120	012	—

(Fortsetzung S. 373.)

Literatur.

<i>Haüy</i>	<i>Traité Min.</i>	1822	1	302					
<i>Weiss</i>	<i>Berl. Abh.</i>	1822—23	—	217	(264)				
"	"	1836	—	207					
"	"	1840	—	137					
<i>Mohs</i>	<i>Grundr.</i>	1824	2	99					
<i>Wackernagel</i>	<i>Kastner Arch.</i>	1826	9	129					
<i>Hartmann</i>	<i>Handb.</i>	1828	—	283					
<i>Naumann</i>	<i>Pogg. Ann.</i>	1828	14	235					
<i>Lévy</i>	<i>Descr.</i>	1838	1	1					
<i>Mohs-Zippe</i>	<i>Min.</i>	1839	2	93					
<i>Hausmann</i>	<i>Handb.</i>	1847	2	(2)	1256				
<i>Zippe</i>	<i>Wien. Denkschr.</i>	1851	3	109					
<i>Miller</i>	<i>Min.</i>	1852	—	575					
<i>Hochstetter</i>	<i>Wien. Denkschr.</i>	1854	6	89					
<i>Sella</i>	<i>Torino Ac. Mem.</i>	[1855] 1858 (2)	17	289					
"	<i>Quadro.</i>	1856	—						
<i>Hessenberg</i>	<i>Senck. Abh.</i>	1861	3	262. 265. 267.	Min. Not. Nr. 3; 8. 1.				
"	"	1862	4	6. 12. 13.	" " " 4; 6. 1.				
"	"	1863	4	189. 190.	" " " 5; 9. 10.				
"	"	1866	6	1	" " " 7; 1.				
"	"	1870	7	257. 265.	" " " 9; 1. 9.				
"	"	1872	8	37	" " " 10; 37.				
"	"	1872	8	415. 423.	" " " 11; 9. 1.				
"	"	1875	10		" " " 12; 13. 1.				
<i>Rath</i>	<i>Pogg. Ann.</i>	1867	132	387. 517. 534.					
"	"	1868	135	572.					
"	"	1871	—	Ergz. Bd. 5 438					
"	"	1874	152	17					
"	"	1875	155	48					
"	"	1876	158	414					
"	<i>Zeitschr. Kryst.</i>	1877	1	604					
"	<i>Bonn. Verh. nat. Ver.</i>	1877	36	5 Folge, Bd. 4 Sep. 65. Berichtigung					
"	<i>Zeitschr. Kryst.</i>	1882	6	540					
<i>Peters</i>	<i>Jahrb. Min.</i>	1861	—	432					
<i>Zepharovich</i>	<i>Wien. Sitzb.</i>	1866	54	(1) 273					
<i>Websky</i>	<i>Min. Mitth.</i>	1872	2	63					
<i>Dana</i>	<i>System.</i>	1873	—	670					
<i>Des Cloizeaux</i>	<i>Manuel</i>	1874	2	97					
<i>Schnorr</i>	<i>Jahrb. Min.</i>	1874	—	631 Progr. Zwickau.					
<i>Kokscharow</i>	<i>Mat. Min. Russl.</i>	1875	7	59					
<i>Des Cloizeaux</i>	<i>Jahrb. Min.</i>	1877	—	161					
<i>Irby</i>	<i>On cryst. of calcite Diss. Bonn</i>	1878							
"	<i>Zeitschr. Kryst.</i>	1879	3	612					
<i>Groth</i>	<i>Strassb. Samml.</i>	1878	—	119					
<i>Hare</i>	<i>Zeitschr. Kryst.</i>	1880	4	299					
<i>Zepharovich</i>	<i>Zeitschr. Kryst.</i>	1881	5	269 Lotos 1878					
<i>Stroman</i>	<i>Ber. Oberhess. Ges.</i>	1882	22	284					

(Fortsetzung S.



## 2.

ly. sm. m.	Miller.	Kok- scha- row.	Bravais.	Miller.	Naumann.	Haus- mann.	Mohs- Zippe.	Hauy.	Lévy. Desc.	G <sub>1</sub>	G <sub>2</sub>	G <sub>2</sub> '	E = $\frac{p-1}{3} \frac{q-1}{3}$
—	—	28.0.28.1	19.9.9	+28R	—	$\frac{7}{4}R+4$	—	—	$e^{\frac{10}{9}}$	+28.0	+28.28	+28.28	+9
—	—	19.0.19.1	13.6.6	+19R	—	(Foullon)	—	—	—	+19.0	+19.19	+19.19	+6
sm.	—	16.0.16.1	11.5.5	+16R	HA $\frac{1}{16}$	R+4	—	—	$e^{\frac{11}{5}}$	+16.0	+16.16	+16.16	+5
ly.	—	13.0.13.1	9.4.4	+13R	—	13R	—	—	$e^{\frac{4}{13}}$	+13.0	+13.13	+13.13	+4
—	—	10.0.10.1	7.3.3	+10R	—	(Desc. Hsb.)	—	—	$e^{\frac{7}{10}}$	+10.0	+10.10	+10.10	+3
—	—	7.0.7.1	5.2.2	+7R	—	$\frac{7}{4}R+2$	—	—	$e^{\frac{11}{5}}$	+7.0	+7	+7	+2
—	—	6.0.6.1	13.5.5	+6R	—	(Sella)	—	—	$e^{\frac{13}{6}}$	+6.0	+6	+6	+3
—	—	11.0.11.2	8.3.3	+ $\frac{11}{2}R$	—	(Lévy)	—	—	$e^{\frac{8}{11}}$	+ $\frac{11}{2}$ .0	+ $\frac{11}{2}$	+ $\frac{11}{2}$	+ $\frac{3}{2}$
—	—	5.0.5.1	4.4.11	+5R	—	(Rath)	—	—	$e^{\frac{11}{4}}$	+5.0	+5	+5	+ $\frac{3}{4}$
m	m	4.0.4.1	1.1.3	+4R	HA $\frac{1}{4}$	R+2	$\frac{3}{2}e$	—	$e^3$	+4.0	+4	+4	+1
—	—	3.0.3.1	2.2.7	+3R	HA $\frac{1}{3}$	$\frac{3}{2}R+2$	—	—	$e^{\frac{7}{3}}$	+3.0	+3	+3	+ $\frac{2}{3}$
—	s	5.0.5.2	1.1.4	+ $\frac{5}{2}R$	—	$\frac{5}{8}R+2$	—	—	$e^4$	+ $\frac{5}{2}$ .0	+ $\frac{5}{2}$	+ $\frac{5}{2}$	+ $\frac{1}{2}$
r	P	10.1.1	1.0.0	+R	P	R	P	—	p	+10	+1	+1	0
II	—	2.0.2.3	7.1.1	+ $\frac{2}{3}R$	AH $\frac{3}{2}$	$\frac{1}{3}R+1$	—	—	a <sup>7</sup>	+ $\frac{2}{3}$ .0	+ $\frac{2}{3}$	+ $\frac{2}{3}$	$-\frac{1}{3}$
—	—	4.0.4.7	5.1.1	+ $\frac{4}{3}R$	—	(Hsb.)	—	—	a <sup>5</sup>	+ $\frac{4}{3}$ .0	+ $\frac{4}{3}$	+ $\frac{4}{3}$	$-\frac{1}{3}$
—	—	10.1.2	4.1.1	+ $\frac{1}{2}R$	—	R-1	—	—	a <sup>4</sup>	+ $\frac{1}{2}$ .0	+ $\frac{1}{2}$	+ $\frac{1}{2}$	$-\frac{1}{2}$
—	—	2.0.2.5	3.1.1	+ $\frac{2}{3}R$	—	$\frac{2}{3}R$	—	—	a <sup>3</sup>	+ $\frac{2}{3}$ .0	+ $\frac{2}{3}$	+ $\frac{2}{3}$	$-\frac{1}{3}$
u	—	10.1.4	2.1.1	+ $\frac{1}{4}R$	AH $\frac{1}{4}$	R-2	—	—	a <sup>2</sup>	+ $\frac{1}{4}$ .0	+ $\frac{1}{4}$	+ $\frac{1}{4}$	$-\frac{1}{4}$
—	—	1.0.1.5	2.2.1	$-\frac{1}{5}R$	—	$\frac{2}{5}R-1$	—	—	a $^{\frac{1}{2}}$	$-\frac{1}{5}$ .0	$-\frac{1}{5}$	$-\frac{1}{5}$	$-\frac{2}{5}$
—	—	7.0.7.20	9.9.2	$-\frac{7}{20}R$	—	Peters	—	—	—	$-\frac{7}{20}$ .0	$-\frac{7}{20}$	$-\frac{7}{20}$	$-\frac{9}{20}$
—	—	2.0.2.5	7.7.1	$-\frac{2}{5}R$	—	(Daub. Rath)	—	—	a $^{\frac{1}{2}}$	$-\frac{2}{5}$ .0	$-\frac{2}{5}$	$-\frac{2}{5}$	$-\frac{7}{5}$
e	g	1.0.1.2	1.1.0	$-\frac{1}{2}R$	G	R-1	B $\frac{1}{2}$	—	b <sup>1</sup>	$-\frac{1}{2}$ .0	$-\frac{1}{2}$	$-\frac{1}{2}$	$-\frac{1}{2}$
—	—	3.0.3.5	8.8.1	$-\frac{3}{5}R$	—	$\frac{6}{5}R-1$	$\frac{1}{2}e$	—	$e^{\frac{1}{6}}$	$-\frac{3}{5}$ .0	$-\frac{3}{5}$	$-\frac{3}{5}$	$-\frac{8}{5}$
—	—	2.0.2.3	5.5.1	$-\frac{2}{3}R$	—	(Hessb.)	—	—	$e^{\frac{1}{3}}$	$-\frac{2}{3}$ .0	$-\frac{2}{3}$	$-\frac{2}{3}$	$-\frac{5}{3}$
l	—	4.0.4.5	3.3.1	$-\frac{4}{5}R$	FA $\frac{5}{8}$	$\frac{2}{5}R+1$	$\frac{1}{2}e$	—	$e^{\frac{1}{5}}$	$-\frac{4}{5}$ .0	$-\frac{4}{5}$	$-\frac{4}{5}$	$-\frac{3}{5}$
—	—	7.0.7.8	5.5.2	$-\frac{7}{8}R$	—	$\frac{7}{4}R-1$	—	—	$e^{\frac{2}{5}}$	$-\frac{7}{8}$ .0	$-\frac{7}{8}$	$-\frac{7}{8}$	$-\frac{3}{8}$
ε	ε	1.0.1.1	2.2.1	$-R$	FA $\frac{1}{2}$	$-R$	$\frac{1}{2}e$	—	$e^{\frac{1}{10}}$	$-1.0$	$-1$	$-1$	$-\frac{1}{2}$
—	—	8.0.8.7	5.5.3	$-\frac{8}{5}R$	—	$\frac{4}{5}R+1$	—	—	$e^{\frac{5}{8}}$	$-\frac{8}{5}$ .0	$-\frac{8}{5}$	$-\frac{8}{5}$	$-\frac{7}{5}$
i	—	6.0.6.5	11.11.7	$-\frac{6}{5}R$	FA $\frac{5}{12}$	$\frac{3}{5}R+1$	—	—	$e^{\frac{7}{11}}$	$-\frac{6}{5}$ .0	$-\frac{6}{5}$	$-\frac{6}{5}$	$-\frac{11}{5}$
φ	—	5.0.5.4	3.3.2	$-\frac{5}{4}R$	FA $\frac{5}{2}$	$\frac{3}{8}R+1$	$\frac{1}{2}e$	—	$e^{\frac{3}{5}}$	$-\frac{5}{4}$ .0	$-\frac{5}{4}$	$-\frac{5}{4}$	$-\frac{3}{4}$
—	—	4.0.4.3	7.7.5	$-\frac{4}{3}R$	—	(Hessb.)	—	—	$e^{\frac{3}{7}}$	$-\frac{4}{3}$ .0	$-\frac{4}{3}$	$-\frac{4}{3}$	$-\frac{2}{3}$
—	—	7.0.7.5	4.4.3	$-\frac{7}{5}R$	—	$\frac{7}{10}R+1$	—	—	$e^{\frac{4}{3}}$	$-\frac{7}{5}$ .0	$-\frac{7}{5}$	$-\frac{7}{5}$	$-\frac{4}{5}$
h	—	3.0.3.2	5.5.4	$-\frac{3}{2}R$	FA $\frac{1}{3}$	$\frac{3}{4}R+1$	$\frac{1}{2}e$	—	$e^{\frac{4}{3}}$	$-\frac{3}{2}$ .0	$-\frac{3}{2}$	$-\frac{3}{2}$	$-\frac{5}{6}$
—	—	11.0.11.7	6.6.5	$-\frac{11}{8}R$	—	$\frac{11}{4}R+1$	—	—	$e^{\frac{5}{11}}$	$-\frac{11}{8}$ .0	$-\frac{11}{8}$	$-\frac{11}{8}$	$-\frac{9}{8}$
—	—	13.0.13.8	7.7.6	$-\frac{13}{8}R$	—	13R-3	—	—	$e^{\frac{8}{13}}$	$-\frac{13}{8}$ .0	$-\frac{13}{8}$	$-\frac{13}{8}$	$-\frac{7}{8}$
—	—	9.0.9.5	14.14.13	$-\frac{9}{2}R$	—	(Sansoni)	—	—	—	$-\frac{9}{2}$ .0	$-\frac{9}{2}$	$-\frac{9}{2}$	$-\frac{14}{5}$

(Fortsetzung S. 375.)

Literatur. (Fortsetzung von S. 372.)

Leuze	Wirt. Jahrb.	1882	38	91	}
"	Zeitschr. Kryst.	1883	7	400	
Sjögren	Zeitschr. Kryst.	1884	8	651	}
"	Stockh. Geol. Fdr. Fdrh.	1883	6	590	
Benkø	Zeitschr. Kryst.	1885	10	99	}
Foullon	Verh. geol. R. Anst.	1885	—	149	
"	Jahrb. geol. R. Anst.	1885	85	47	}
Sansoni	Zeitschr. Kryst.	1885	10	545	
Rath	Niederrh. Ges.	1885	8. Juni.		

Bemerkungen  
 Correcturen

s. Seite 376. 378. 380. 382. 384. 386. 388—390.

## 3.

uy. ism. hs. um.	Miller.	Kok- scha- row.	Bravais.	Miller.	Naumann.	Haus- mann.	Mohs- Zippe.	Hauy.	Lévy. Descl.	$G_1$	$G_2$	$G'_2$	$E = \frac{p-1}{3} \frac{q-1}{3}$
f	f	2021	111	— 2 R	$FA\frac{1}{4}$	$R\frac{1}{4}$	$E'E$	$e^1$	— 20	— 2	— 2	— 1	— 1
—	—	9094	13·13·14	— $\frac{2}{4}$ R	—	$\frac{2}{2}$ R—1	—	$e^{\frac{1}{4}}$	— 20	— $\frac{2}{4}$	— $\frac{2}{4}$	— $\frac{2}{4}$	— $\frac{1}{3}$
g	—	5052	778	— $\frac{2}{2}$ R	$FA\frac{1}{2}$	— $\frac{2}{2}$ R+2	—	$e^{\frac{2}{2}}$	— 20	— $\frac{2}{2}$	— $\frac{2}{2}$	— $\frac{2}{2}$	— $\frac{2}{3}$
—	—	11·0·11·4	556	— $\frac{1}{4}$ R	—	$\frac{1}{2}$ R—1	—	$e^{\frac{1}{4}}$	— 11·0	— $\frac{1}{4}$	— $\frac{1}{4}$	— $\frac{1}{4}$	— $\frac{2}{3}$
$\psi$	—	3031	445	— 3 R	—	(Naumann)	—	$e^{\frac{3}{2}}$	— 30	— 3	— 3	— 3	— $\frac{4}{3}$
$\chi$	—	7072	334	— $\frac{2}{2}$ R	$FA\frac{1}{2}$	$\frac{2}{4}$ R+1	$\frac{1}{2}$ e	$e^{\frac{2}{2}}$	— 20	— $\frac{2}{2}$	— $\frac{2}{2}$	— $\frac{2}{2}$	— $\frac{2}{3}$
$\eta$	d	4041	557	— 4 R	$FA\frac{1}{2}$	— R+2	$\frac{1}{2}$ e	$e^{\frac{2}{2}}$	— 40	— 4	— 4	— 4	— $\frac{2}{3}$
—	—	9092	11·11·16	— $\frac{2}{2}$ R	—	(Rath)	—	$e^{\frac{1}{2}}$	— 20	— $\frac{2}{2}$	— $\frac{2}{2}$	— $\frac{2}{2}$	— $\frac{1}{3}$
s	z	5051	223	— 5 R	$FA\frac{1}{10}$	$\frac{5}{2}$ R+3	$\frac{1}{2}$ e	$e^{\frac{5}{2}}$	— 50	— 5	— 5	— 5	— 2
d	—	8081	335	— 8 R	—	R+3	$\frac{1}{2}$ e	$e^{\frac{8}{2}}$	— 80	— 8	— 8	— 8	— 3
—	—	9091	10·10·17	— 9 R	—	(Sanson)	—	$e^{\frac{9}{2}}$	— 90	— 9	— 9	— 9	— $\frac{1}{3}$
—	$\gamma$	11·0·11·1	447	— 11 R	—	$\frac{1}{2}$ R+1	—	$e^{\frac{1}{2}}$	— 11·0	— 11·11	— 11·11	— 11·11	— 4
—	k	14·0·14·1	559	— 14 R	$FA\frac{1}{2}$	$\frac{7}{4}$ R+3	$\frac{1}{2}$ e	$e^{\frac{14}{2}}$	— 14·0	— 14·14	— 14·14	— 14·14	— 5
—	—	17·0·17·1	6·6·11	— 17 R	—	(Descl.)	—	$e^{\frac{1}{10}}$	— 17·0	— 17·17	— 17·17	— 17·17	— 6
$\tau$	$\tau$	2135	320	— $\frac{1}{2}$ R <sup>3</sup>	$Alh\frac{1}{2}K\frac{1}{2}$	$(\frac{2}{3}P-2)^3$	$B\frac{1}{2}$	$b^{\frac{1}{2}}$	— $\frac{2}{3}$	$\frac{1}{2}$	— $\frac{2}{3}$	$\frac{1}{2}$	$\frac{1}{2}$
—	—	3148	530	— $\frac{1}{2}$ R <sup>5</sup>	—	(P-3) <sup>5</sup>	—	$b^{\frac{5}{2}}$	— $\frac{3}{2}$	$\frac{1}{2}$	— $\frac{3}{2}$	$\frac{1}{2}$	$\frac{1}{2}$
$\varphi$	—	4·3·7·10	730	$+\frac{1}{10}R^7$	$GK\frac{2}{5}$	$(\frac{2}{3}P-2)^7$	$B\frac{1}{10}$	$b^{\frac{7}{10}}$	$+\frac{2}{5}$	$\frac{3}{10}$	$+\frac{1}{10}$	$\frac{1}{10}$	$\frac{1}{10}$
—	—	7·4·11·15	11·4·0	$+\frac{1}{3}R^{\frac{1}{3}}$	—	(Rath, Hessb.)	—	$b^{\frac{1}{4}}$	$+\frac{7}{15}$	$\frac{4}{15}$	$+\frac{1}{15}$	$\frac{1}{15}$	$\frac{1}{15}$
t	t	2134	310	$+\frac{1}{2}R^3$	$GK_2$	(P-2) <sup>3</sup>	$B\frac{3}{2}$	$b^3$	$+\frac{1}{2}$	$\frac{1}{2}$	$+\frac{1}{2}$	$\frac{1}{2}$	$\frac{1}{2}$
—	—	5279	720	$+\frac{1}{3}R^{\frac{2}{3}}$	—	(Sella)	—	$b^{\frac{2}{3}}$	$+\frac{2}{3}$	$\frac{2}{3}$	$+\frac{1}{3}$	$\frac{1}{3}$	$\frac{1}{3}$
w	w	3145	410	$+\frac{2}{3}R^2$	$GK\frac{3}{2}$	$(\frac{2}{3}P)^2$	$B\frac{3}{4}$	$b^4$	$+\frac{2}{3}$	$\frac{1}{3}$	$+\frac{1}{3}$	$\frac{1}{3}$	$\frac{1}{3}$
—	—	7·2·9·11	920	$+\frac{5}{11}R^{\frac{9}{11}}$	—	(Rath)	$B\frac{5}{11}$	—	$+\frac{7}{11}$	$\frac{2}{11}$	$+\frac{1}{11}$	$\frac{5}{11}$	$\frac{1}{11}$
—	—	4156	510	$+\frac{1}{2}R^{\frac{3}{2}}$	—	(P-1) <sup>3</sup>	—	$b^5$	$+\frac{4}{5}$	$\frac{1}{5}$	$+\frac{1}{5}$	$\frac{1}{5}$	$\frac{1}{5}$
q	—	5167	610	$+\frac{2}{3}R^{\frac{2}{3}}$	$GK\frac{2}{3}$	$(\frac{2}{3}P)^{\frac{2}{3}}$	$B\frac{2}{3}$	$b^6$	$+\frac{2}{3}$	$\frac{1}{3}$	$+\frac{1}{3}$	$\frac{1}{3}$	$\frac{1}{3}$
—	—	11·2·13·15	13·2·0	$+\frac{2}{3}R^{\frac{1}{3}}$	—	(Sanson)	—	—	$+\frac{1}{15}$	$\frac{2}{15}$	$+\frac{1}{15}$	$\frac{2}{15}$	$\frac{1}{15}$
c	—	6178	710	$+\frac{2}{3}R^{\frac{2}{3}}$	$GK\frac{2}{3}$	$(\frac{2}{3}P)^{\frac{2}{3}}$	—	$b^7$	$+\frac{2}{3}$	$\frac{1}{3}$	$+\frac{1}{3}$	$\frac{1}{3}$	$\frac{1}{3}$
—	—	7189	810	$+\frac{2}{3}R^{\frac{2}{3}}$	—	(Sella)	—	$b^8$	$+\frac{2}{3}$	$\frac{1}{3}$	$+\frac{1}{3}$	$\frac{1}{3}$	$\frac{1}{3}$
—	—	8·1·9·10	910	$+\frac{7}{10}R^{\frac{9}{10}}$	—	$(\frac{7}{10}P)^{\frac{9}{10}}$	—	$b^9$	$+\frac{8}{10}$	$\frac{1}{10}$	$+\frac{1}{10}$	$\frac{7}{10}$	$\frac{1}{10}$
—	—	9·1·10·11	10·1·0	$+\frac{8}{11}R^{\frac{10}{11}}$	—	(Sanson)	—	—	$+\frac{9}{11}$	$\frac{1}{11}$	$+\frac{1}{11}$	$\frac{8}{11}$	$\frac{1}{11}$
—	—	13·1·14·15	14·1·0	$+\frac{2}{3}R^{\frac{2}{3}}$	—	(Rath)	—	—	$+\frac{1}{13}$	$\frac{1}{13}$	$+\frac{1}{13}$	$\frac{1}{13}$	$\frac{1}{13}$
—	—	11·1·12·10	11·0·1	$+\frac{6}{5}R^{\frac{1}{5}}$	—	(Zephar.)	—	—	$+\frac{1}{10}$	$\frac{1}{10}$	$+\frac{1}{10}$	$\frac{1}{10}$	$\frac{1}{10}$
—	—	17·2·19·15	17·0·2	$+\frac{1}{2}R^{\frac{1}{2}}$	—	(Zephar.)	—	$d^{\frac{1}{2}}$	$+\frac{1}{15}$	$\frac{2}{15}$	$+\frac{1}{15}$	$\frac{2}{15}$	$\frac{1}{15}$
—	—	7186	701	$+\frac{4}{3}R^{\frac{1}{3}}$	—	(P) <sup>3</sup>	—	$d^7$	$+\frac{2}{3}$	$\frac{1}{3}$	$+\frac{1}{3}$	$\frac{1}{3}$	$\frac{1}{3}$
—	—	19·3·22·16	19·0·3	— $R^{\frac{1}{8}}$	—	(Sanson)	—	—	$+\frac{1}{18}$	$\frac{3}{18}$	$+\frac{2}{18}$	$\frac{1}{18}$	$\frac{1}{18}$

(Fortsetzung S. 377.)

### Bemerkungen.

#### **Allgemeine Bemerkungen.**

Bei der grossen Anzahl von Formen und der Ausdehnung der Literatur schien es wünschenswerth, um für jede Form schnell die Quelle finden zu können, eine diesbezügliche Angabe zu machen. Es wurde daher für die Formen, die sich bei Zippe nicht finden, der Autor, der sie eingeführt hat, namhaft gemacht. Diese Angaben wurden in der Rubrik Mohs-Zippe untergebracht, da sie diese in dem genannten Sinn ergänzen.

Ueber die Eintheilung der Formen in Gruppen und die entsprechende Wahl der Buchstaben vgl. Einleitung Seite 141. Die Buchstaben sind so gewählt, dass in jeder Gruppe möglichst gleichartige sich befinden und dass möglichst wenig Wiederholungen desselben Buchstabens stattfinden. Dadurch wird es in den meisten Fällen möglich sein, die Gruppen-Zeichen wegzulassen und sie durch eine allgemeine Bemerkung zu ersetzen.

Bei den Formen der Reihe  $-\frac{1}{2}q$  wurden die Buchstaben ausser dem Gruppenzeichen noch durchstrichen. Dies geschah, da die angewandten Buchstaben schon verwendet sind, das Zeichen : etwas schwerfällig und  $\circ$  für Formen  $-\frac{1}{2}q$  eine bequeme Andeutung der Halbierung ist. Es liegen endlich diese Formen in der Nähe des Projectionsmittelpunktes dicht beisammen und soll der Buchstabe wenig Platz einnehmen. Es wird daher meist statt  $\circ$   $\circ$   $\pi$  setzen sein. Jedoch sollte für diese wenigen Formen keine neue Gruppe gemacht werden. Um somit anzudeuten, dass die Formen zur Gruppe III gehören, andererseits  $\circ$  die bequemere Schreibweise sein dürfte, wurde in dem Index beides combinirt eingeschrieben. Also  $\circ$   $\pi$  u. s. w.

#### **Unsichere Formen.**

Unsichere Formen haben keinen Werth. Trotzdem wurde eine Reihe derselben angeführt, die eine gewisse Wahrscheinlichkeit für sich haben, einestheils um anzudeuten, dass sie nicht übersehen wurden, dann aus dem Grunde, weil bei erneuter sicherer Beobachtung ein Zurückgreifen auf die alte unsichere Angabe doch erwünscht erscheint. Das Verzeichniss der unsicheren Formen ist jedoch nicht vollständig.



## 4.

	Hauy. Hausm. Mohs. Naum.	Miller.	Kok- scha- row.	Bravais.	Miller.	Naumann.	Haus- mann.	Mohs- Zippe.	Hauy.	Lévy. Descl.	G <sub>1</sub>	G <sub>2</sub>	G <sub>2</sub> '	E = $\frac{p-1}{3} \frac{q-1}{3}$
=	ν Hsm. ν	ν		6175	601	+ R <sup><math>\frac{7}{3}</math></sup>	KG <sup><math>\frac{5}{3}</math></sup>	(P) <sup><math>\frac{7}{3}</math></sup>	$\frac{5}{3}$ D	d <sup>6</sup>	+ $\frac{5}{3} \frac{1}{3}$ + $\frac{8}{3} 1$	+ 1 $\frac{8}{3}$	0 $\frac{1}{3}$	
=	σ Hsm. σ	σ		5164	501	+ R <sup><math>\frac{3}{2}</math></sup>	KG <sup><math>\frac{2}{3}</math></sup>	(P) <sup><math>\frac{3}{2}</math></sup>	$\frac{5}{2}$ D	d <sup>5</sup>	+ $\frac{5}{2} \frac{1}{2}$ + $\frac{7}{2} 1$	+ 1 $\frac{7}{2}$	0 $\frac{1}{2}$	
=	n n	—		4153	401	+ R <sup><math>\frac{5}{3}</math></sup>	KG <sup><math>\frac{3}{3}</math></sup>	(P) <sup><math>\frac{5}{3}</math></sup>	$\frac{4}{3}$ D	d <sup>4</sup>	+ $\frac{4}{3} \frac{1}{3}$ + 2 1	+ 1 2	0 $\frac{1}{3}$	
	—	—	—	19.5.24.14	19.0.5	+ R <sup><math>\frac{12}{7}</math></sup>	—	(Sanson)	—	—	+ $\frac{12}{7} \frac{5}{7}$ + $\frac{22}{7} 1$	+ 1 $\frac{22}{7}$	0 $\frac{5}{7}$	
	—	—	—	7295	702	+ R <sup><math>\frac{9}{5}</math></sup>	—	(P) <sup><math>\frac{9}{5}</math></sup>	—	d <sup><math>\frac{7}{2}</math></sup>	+ $\frac{7}{2} \frac{5}{2}$ + $\frac{11}{2} 1$	+ 1 $\frac{11}{2}$	0 $\frac{5}{2}$	
=	λ λ	—		3142	301	+ R <sup>2</sup>	KG <sup><math>\frac{1}{2}</math></sup>	(P) <sup>2</sup>	$\frac{3}{2}$ D	d <sup>3</sup>	+ $\frac{3}{2} \frac{1}{2}$ + $\frac{5}{2} 1$	+ 1 $\frac{5}{2}$	0 $\frac{1}{2}$	
	4 4	—		5273	502	+ R <sup><math>\frac{7}{3}</math></sup>	KG <sup><math>\frac{2}{3}</math></sup>	(P) <sup><math>\frac{7}{3}</math></sup>	$\frac{8}{3}$ D	d <sup><math>\frac{5}{2}</math></sup>	+ $\frac{5}{2} \frac{3}{2}$ + 3 1	+ 1 3	0 $\frac{3}{2}$	
=	r v	r		2131	201	+ R <sup>3</sup>	KG <sup><math>\frac{1}{3}</math></sup>	(P) <sup>3</sup>	$\frac{2}{3}$ D	d <sup>2</sup>	+ 2 1 + 4 1	+ 1 4	0 1	
=	—	—	—	17.9.26.8	17.0.9	+ R <sup><math>\frac{13}{4}</math></sup>	—	(P) <sup><math>\frac{13}{4}</math></sup>	—	d <sup><math>\frac{17}{9}</math></sup>	+ $\frac{17}{9} \frac{8}{9}$ + $\frac{35}{9} 1$	+ 1 $\frac{35}{9}$	0 $\frac{8}{9}$	
	—	—	—	9.5.14.4	905	+ R <sup><math>\frac{7}{2}</math></sup>	—	(Sanson)	—	—	+ $\frac{7}{2} \frac{5}{2}$ + $\frac{19}{2} 1$	+ 1 $\frac{19}{2}$	0 $\frac{5}{2}$	
=	2 δ	h		7.4.11.3	704	+ R <sup><math>\frac{11}{3}</math></sup>	KG <sup><math>\frac{3}{11}</math></sup>	(P) <sup><math>\frac{11}{3}</math></sup>	$\frac{1}{3}$ D	d <sup><math>\frac{7}{4}</math></sup>	+ $\frac{7}{4} \frac{3}{4}$ + 5 1	+ 1 5	0 $\frac{3}{4}$	
	— V	—		5382	503	+ R <sup>4</sup>	—	(P) <sup>4</sup>	—	d <sup><math>\frac{5}{3}</math></sup>	+ $\frac{5}{3} \frac{3}{3}$ + $\frac{11}{3} 1$	+ 1 $\frac{11}{3}$	0 $\frac{3}{3}$	
	—	—	n	8.5.13.3	805	+ R <sup><math>\frac{13}{3}</math></sup>	—	(P) <sup><math>\frac{13}{3}</math></sup>	—	d <sup><math>\frac{8}{5}</math></sup>	+ $\frac{8}{5} \frac{3}{5}$ + 6 1	+ 1 6	0 $\frac{3}{5}$	
y	y y	y		3251	302	+ R <sup>5</sup>	KG <sup><math>\frac{1}{5}</math></sup>	(P) <sup>5</sup>	$\frac{3}{5}$ D	d <sup><math>\frac{3}{2}</math></sup>	+ 3 2 + 1 7	+ 1 7	0 2	
	—	—	—	19.13.32.6	19.0.13	+ R <sup><math>\frac{16}{5}</math></sup>	—	(Hessenb.)	—	d <sup><math>\frac{19}{13}</math></sup>	+ $\frac{19}{13} \frac{13}{13}$ + $\frac{15}{13} 1$	+ 1 $\frac{15}{13}$	0 $\frac{13}{13}$	
	—	—	—	10.7.17.3	10.0.7	+ R <sup><math>\frac{17}{3}</math></sup>	—	(P) <sup><math>\frac{17}{3}</math></sup>	$\frac{18}{3}$ D	d <sup><math>\frac{19}{7}</math></sup>	+ $\frac{19}{7} \frac{7}{7}$ + 8 1	+ 1 8	0 $\frac{7}{7}$	
	—	—	—	7.5.12.2	705	+ R <sup>6</sup>	—	(Sanson)	—	—	+ $\frac{7}{2} \frac{5}{2}$ + $\frac{17}{2} 1$	+ 1 $\frac{17}{2}$	0 $\frac{5}{2}$	
	—	—	—	11.8.19.3	11.0.8	+ R <sup><math>\frac{19}{3}</math></sup>	—	(Rath)	—	d <sup><math>\frac{11}{8}</math></sup>	+ $\frac{11}{8} \frac{8}{8}$ + 9 1	+ 1 9	0 $\frac{8}{8}$	
	—	—	—	23.17.40.6	23.0.17	+ R <sup><math>\frac{20}{3}</math></sup>	—	(Sanson)	—	—	+ $\frac{23}{6} \frac{17}{6}$ + $\frac{19}{6} 1$	+ 1 $\frac{19}{6}$	0 $\frac{17}{6}$	
σ Ms. N. ζ	—	—		4371	403	+ R <sup>7</sup>	KG <sup><math>\frac{1}{7}</math></sup>	(P) <sup>7</sup>	$\frac{4}{7}$ D	d <sup><math>\frac{4}{5}</math></sup>	+ 4 3 + 10.1	+ 1.10	0 3	
	—	—	—	9.7.16.2	907	+ R <sup>8</sup>	—	(Sanson)	—	—	+ $\frac{9}{2} \frac{7}{2}$ + $\frac{23}{2} 1$	+ 1 $\frac{23}{2}$	0 $\frac{7}{2}$	
μ	μ	—		5491	504	+ R <sup>9</sup>	KG <sup><math>\frac{1}{9}</math></sup>	(P) <sup>9</sup>	$\frac{1}{9}$ D	d <sup><math>\frac{5}{4}</math></sup>	+ 5 4 + 13.1	+ 1.13	0 4	
	h	—		6.5.11.1	605	+ R <sup>11</sup>	KG <sup><math>\frac{1}{11}</math></sup>	(P) <sup>11</sup>	—	d <sup><math>\frac{6}{5}</math></sup>	+ 6 5 + 16.1	+ 1.16	0 5	
=	— $\frac{1}{2}$	—		13.11.24.2	13.0.11	+ R <sup>12</sup>	KG <sup><math>\frac{1}{12}</math></sup>	(P) <sup>12</sup>	—	d <sup><math>\frac{13}{11}</math></sup>	+ $\frac{13}{11} \frac{11}{11}$ + $\frac{35}{11} 1$	+ 1 $\frac{35}{11}$	0 $\frac{11}{11}$	
	—	—	—	7.6.13.1	706	+ R <sup>13</sup>	—	(P) <sup>13</sup>	—	d <sup><math>\frac{7}{6}</math></sup>	+ 7 6 + 19.1	+ 1.19	0 6	
	—	—	—	17.15.32.2	17.0.15	+ R <sup>16</sup>	—	(Sanson)	—	—	+ $\frac{17}{2} \frac{15}{2}$ + $\frac{47}{2} 1$	+ 1 $\frac{47}{2}$	0 $\frac{15}{2}$	
	—	—	—	9.8.17.1	908	+ R <sup>17</sup>	—	(Sjögren)	—	—	+ 9 8 + 25.1	+ 1.25	0 8	
	—	—	—	4265	511	+ $\frac{2}{3}$ R <sup>3</sup>	—	( $\frac{2}{3}$ P) <sup>3</sup>	—	e <sub>5</sub>	+ $\frac{4}{3} \frac{2}{3}$ + $\frac{8}{3} \frac{2}{3}$	- 2 $\frac{2}{3}$	- 1 $\frac{1}{3}$	
	—	—	—	3254	411	+ $\frac{1}{4}$ R <sup>5</sup>	—	(P-2) <sup>5</sup>	—	e <sub>4</sub>	+ $\frac{2}{4} \frac{1}{2}$ + $\frac{7}{4} \frac{1}{4}$	- 2 $\frac{1}{4}$	- 1 $\frac{1}{4}$	
	— $\frac{1}{2}$	—		4.3.7.5	522	- $\frac{1}{5}$ R <sup>7</sup>	FA <sup><math>\frac{1}{5}</math></sup> GK <sup><math>\frac{3}{5}</math></sup>	( $\frac{2}{5}$ P-1) <sup>7</sup>	—	e <sub><math>\frac{5}{2}</math></sub>	- $\frac{4}{5} \frac{3}{5}$ - 2 $\frac{1}{5}$	- 2 $\frac{1}{5}$	- 1 $\frac{3}{5}$	
	— $\frac{1}{2}$	—		6.4.10.7	733	- $\frac{2}{7}$ R <sup>5</sup>	FA <sup><math>\frac{1}{7}</math></sup> GK <sup><math>\frac{2}{7}</math></sup>	( $\frac{4}{7}$ P-1) <sup>5</sup>	—	e <sub><math>\frac{7}{3}</math></sub>	- $\frac{6}{7} \frac{4}{7}$ - 2 $\frac{2}{7}$	- 2 $\frac{2}{7}$	- 1 $\frac{4}{7}$	
	— $\frac{1}{2}$	—		2131	211	- $\frac{1}{2}$ R <sup>3</sup>	G-KG <sup><math>\frac{1}{3}</math></sup>	(P-1) <sup>3</sup>	—	e <sub>2</sub>	- 1 $\frac{1}{2}$ - 2 $\frac{1}{2}$	- 2 $\frac{1}{2}$	- 1 $\frac{1}{2}$	
n Naum. Ω	—	—		10.4.14.9	955	- $\frac{2}{3}$ R <sup><math>\frac{7}{3}</math></sup>	FA <sup><math>\frac{2}{3}</math></sup> KG <sup><math>\frac{2}{3}</math></sup>	-( $\frac{2}{3}$ P) <sup><math>\frac{7}{3}</math></sup>	—	e <sub><math>\frac{9}{5}</math></sub>	- $\frac{10}{9} \frac{4}{9}$ - 2 $\frac{2}{9}$	- 2 $\frac{2}{9}$	- 1 $\frac{8}{9}$	
	—	—	—	6285	533	- $\frac{4}{5}$ R <sup>2</sup>	—	(Sanson)	—	—	- $\frac{6}{5} \frac{2}{5}$ - 2 $\frac{4}{5}$	- 2 $\frac{4}{5}$	- 1 $\frac{3}{5}$	

(Fortsetzung S. 379.)

Bemerkungen. (Fortsetzung von S. 376.)**Bemerkungen über die einzelnen Formen.**

- + 18·18 v. Rath giebt (Pogg. Ann. 1867. 132. 387) die Formen + 18 R. Trotz der guten Uebereinstimmung von Messung und Rechnung scheint das Symbol zweifelhaft, da es sich der Formenreihe nicht anschliesst. Statt seiner wäre zu vermuthen + 19·19 oder +  $\frac{3}{2}$ . Die Winkel, die allerdings am besten mit 18 stimmen, kommen  $\frac{3}{2}$  näher als 19, wie folgende Zusammenstellung zeigt:

	$\angle : + 4$	$\angle$ der Zwill.-Kante.
berech. + $\frac{3}{2}$	10°54·4	6°37·8
" + 18·18	10°59·9	6°26·8
" + 19·19	11°10·0	6°06·6
v. Rath beob.	10°58·	6°23

Für + 19·19 oder +  $\frac{3}{2}$  spricht noch der Umstand, dass auch + 19·1 sowie +  $\frac{3}{2}$  bekannt sind. Eine Controlmessung des wohl noch vorhandenen Krystalls wäre von Interesse.

+ 18 R findet sich wieder angeführt von Foullon, Jahrb. Geol. R. A. 1885. 35. 47 (speciell S. 96). Hier haben wir es ziemlich sicher mit + 19·19 zu thun. Von den durch Foullon gemessenen Winkeln ist der gegen + 1 (R) als der sicherste anzusehen. Nun ist:

$$\begin{array}{l} \text{berechnet: } + 18 \cdot 18 : + 1 = 42^\circ 10' \\ \text{" } + 19 \cdot 19 : + 1 = 42^\circ 20' \end{array} \left. \vphantom{\begin{array}{l} \text{berechnet: } + 18 \cdot 18 : + 1 = 42^\circ 10' \\ \text{" } + 19 \cdot 19 : + 1 = 42^\circ 20' \end{array}} \right\} \text{Beobachtet: } 42^\circ 17'$$

Nach gepflogener Besprechung stimmt auch Foullon der Ansicht bei, dass wir + 19·19 vor uns haben.

- 17·17 Die Form — 17 R vermuthet zuerst Des Cloizeaux (Man. 1874. 2. 104) <sup>11</sup> für  
— 16·16 Hessensbergs — 16 R aus Gründen innerer Wahrscheinlichkeit. In der That ist  
— 17 R eine einfache Form, sie entspricht — 6 anderer Krystallsysteme, während  
— 16 R unwahrscheinlich ist.

Bei Zippe findet sich (Tab. S. 12) 16 R', doch ist dies nur ein Druckfehler statt 16 R, wie aus Tab. S. 1 und den Figuren 38. 47. 48 hervorgeht.

16 R bei Irby (S. 51) dagegen ist ein Druckfehler statt — 16 R.

Hare (Zeitschr. Kryst. 1880. 4. 299) glaubt wieder — 16 R gefunden zu haben. Doch geht aus seinen Winkeln hervor, dass — 17 vorliegt. Es zeigt dies die folgende Zusammenstellung:

Winkel zur Basis: berechnet für — 16 R: 86°22·5

" — 17 R: 86°35·2

v. Hare beobachtet: 86°32·3

Neuerdings giebt Foullon (Verh. Geol. R. A. 1885) abermals — 16 R an, doch liegt auch hier wieder — 17 R vor. Von seinen Messungen kann zur Bestimmung des Symbols wohl nur das von ihm gegebene Mittel der Winkel zu — 2 R benutzt werden. Nun ist:

berechnet: der Winkel zu — 2 R für : — 16 R = 23°15·2

" — 17 R = 23°27·9

beobachtet im Mittel : 23°24·5

Es ist also schon aus den Messungen — 17 R vorzuziehen.

(Fortsetzung S. 380)



## 5.

auy. m. obs. aum.	Miller.	Kok- scha- row.	Bravais.	Miller.	Naumann.	Haus- mann.	Mohs- Zippe.	Hauy.	Lévy. Descl.	G <sub>1</sub>	G <sub>2</sub>	G <sub>3</sub>	R = p-1 q-1 3 3
Hy	—	—	4153	322	—	R <sup>5</sup>	—	(P) <sup>5</sup> E <sup>3</sup> E <sup>3</sup> E	e <sub>2/3</sub>	— $\frac{4}{3}$ $\frac{1}{3}$	—2 1	—2 1	—1 $\frac{2}{3}$
—	—	—	10·2·12·7	755	—	R <sup>5</sup>	—	(Dana)	e <sub>2/3</sub>	— $\frac{10}{3}$ $\frac{2}{3}$	—2 $\frac{8}{3}$	—2 $\frac{8}{3}$	—1 $\frac{5}{3}$
—	—	—	6174	433	—	R <sup>7</sup>	—	( $\frac{2}{3}$ P+1) <sup>5</sup>	e <sub>2/3</sub>	— $\frac{6}{3}$ $\frac{1}{3}$	—2 $\frac{5}{3}$	—2 $\frac{5}{3}$	—1 $\frac{2}{3}$
—	—	—	8195	544	—	R <sup>9</sup>	—	( $\frac{7}{10}$ P+1) <sup>9</sup>	e <sub>2/3</sub>	— $\frac{8}{3}$ $\frac{1}{3}$	—2 $\frac{7}{3}$	—2 $\frac{7}{3}$	—1 $\frac{5}{3}$
—	—	—	16·1·17·9	988	—	R <sup>17</sup>	—	( $\frac{10}{3}$ P-1) <sup>17</sup>	e <sub>2/3</sub>	— $\frac{16}{3}$ $\frac{1}{3}$	—2 $\frac{5}{3}$	—2 $\frac{5}{3}$	—1 $\frac{8}{3}$
—	—	—	5162	323	—	R <sup>3</sup>	—	(P+1) <sup>3</sup>	e <sub>2/3</sub>	— $\frac{16}{3}$ $\frac{1}{3}$	—2 $\frac{2}{3}$	—2 $\frac{2}{3}$	—1 $\frac{10}{3}$
o	♂	β	8·2·10·3	535	—	R <sup>5</sup>	FA <sub>1</sub> ·K <sub>0</sub> <sup>5</sup>	(P+1) <sup>5</sup>	e <sub>2/3</sub>	— $\frac{10}{3}$ $\frac{2}{3}$	—4 2	—2 4	—1 $\frac{5}{3}$
x	x	x	3141	212	—	R <sup>2</sup>	FA <sub>1</sub> ·K <sub>0</sub> <sup>1</sup>	(P+1) <sup>2</sup> E' B' D <sup>2</sup>	e <sub>1/3</sub>	—3 1	—5 2	—2 5	—1 2
—	—	—	4261	313	—	R <sup>3</sup>	FA <sub>1</sub> ·K <sub>0</sub> <sup>3</sup>	(P+1) <sup>3</sup>	e <sub>1/3</sub>	—4 2	—8 2	—2 8	—1 3
—	—	—	5381	414	—	R <sup>4</sup>	—	(P+1) <sup>4</sup>	e <sub>1/3</sub>	—5 3	—11 2	—2 11	—1 4
—	—	—	11·2·13·6	756	—	R <sup>13</sup>	—	—	—	— $\frac{11}{3}$ $\frac{1}{3}$	— $\frac{2}{3}$ $\frac{2}{3}$	+4 $\frac{8}{3}$	+1 $\frac{8}{3}$
—	—	—	9·2·11·5	645	—	R <sup>11</sup>	—	(Sella)	T	— $\frac{9}{3}$ $\frac{2}{3}$	— $\frac{13}{3}$ $\frac{2}{3}$	+4 $\frac{7}{3}$	+1 $\frac{5}{3}$
—	—	—	16·4·20·9	11·7·9	—	R <sup>5</sup>	—	(Sanson)	—	— $\frac{16}{3}$ $\frac{4}{3}$	— $\frac{8}{3}$ $\frac{4}{3}$	+4 $\frac{7}{3}$	+1 $\frac{6}{3}$
—	—	—	7294	534	—	R <sup>5</sup>	FA <sub>1</sub> ·K <sub>0</sub> <sup>5</sup>	( $\frac{2}{3}$ P+1) <sup>5</sup>	θ	— $\frac{7}{3}$ $\frac{1}{3}$	— $\frac{14}{3}$ $\frac{2}{3}$	+4 $\frac{7}{3}$	+1 $\frac{2}{3}$
—	—	—	12·4·16·7	957	—	R <sup>2</sup>	—	( $\frac{7}{3}$ P+1) <sup>2</sup>	w	— $\frac{12}{3}$ $\frac{4}{3}$	— $\frac{20}{3}$ $\frac{8}{3}$	+4 $\frac{7}{3}$	+1 $\frac{7}{3}$
p	—	—	5273	423	—	R <sup>7</sup>	FA <sub>1</sub> ·K <sub>0</sub> <sup>7</sup>	(P) <sup>7</sup>	p	— $\frac{5}{3}$ $\frac{2}{3}$	—3 1	+4 1	+1 $\frac{8}{3}$
Hy p	—	—	8·4·12·5	735	—	R <sup>3</sup>	FA <sub>1</sub> ·K <sub>0</sub> <sup>3</sup>	( $\frac{2}{3}$ P+1) <sup>3</sup> E <sup>7</sup> B' D <sup>3</sup>	π	— $\frac{8}{3}$ $\frac{4}{3}$	— $\frac{16}{3}$ $\frac{4}{3}$	+4 $\frac{7}{3}$	+1 $\frac{5}{3}$
Ms. u	—	—	3251	312	—	R <sup>5</sup>	—	(P-1) <sup>5</sup>	u	— $\frac{3}{3}$ 1	— $\frac{7}{3}$ $\frac{1}{3}$	+4 $\frac{7}{3}$	+1 $\frac{2}{3}$
—	—	—	12·8·20·7	13·1·7	—	R <sup>5</sup>	—	(Hessenb.)	□	+ $\frac{12}{3}$ $\frac{8}{3}$	+4 $\frac{4}{3}$	+4 $\frac{4}{3}$	+1 $\frac{7}{3}$
—	—	—	5161	412	—	R <sup>3</sup>	—	(P+2) <sup>3</sup>	x	+5 1	+7 4	+4 7	+1 2
—	—	—	6281	513	—	R <sup>2</sup>	—	(P+2) <sup>2</sup> e D <sup>3</sup> D <sup>1</sup>	v	+6 2	+10 4	+4 10	+1 3
—	—	—	* 8·4·12·1	715	—	R <sup>3</sup>	—	(P+2) <sup>3</sup>	y	+8 4	+16 4	+4 16	+1 5
—	—	—	10·5·15·4	837	—	R <sup>3</sup>	—	(Sanson)	—	— $\frac{10}{3}$ $\frac{5}{3}$	—5 $\frac{2}{3}$	—5 $\frac{2}{3}$	—2 $\frac{2}{3}$
—	—	—	24·8·32·7	21·3·11	—	R <sup>2</sup>	—	( $\frac{7}{3}$ P+2) <sup>2</sup>	Ω	+ $\frac{24}{3}$ $\frac{8}{3}$	+ $\frac{40}{3}$ $\frac{16}{3}$	—8 $\frac{16}{3}$	—3 $\frac{7}{3}$
z	—	—	16·8·24·5	15·1·9	—	R <sup>3</sup>	FA <sub>1</sub> ·K <sub>0</sub> <sup>3</sup>	( $\frac{2}{3}$ P+2) <sup>3</sup> e D <sup>3</sup> D <sup>1</sup>	z	+ $\frac{16}{3}$ $\frac{8}{3}$	+ $\frac{32}{3}$ $\frac{8}{3}$	—8 $\frac{8}{3}$	—3 $\frac{8}{3}$
—	—	—	14·9·23·4	12·3·11	—	R <sup>3</sup>	—	(Rath)	—	— $\frac{14}{3}$ $\frac{9}{3}$	—8 $\frac{2}{3}$	—8 $\frac{2}{3}$	—3 $\frac{1}{3}$
—	—	—	16·4·20·3	9·5·11	—	R <sup>3</sup>	—	(Hessb. Rath)	N	— $\frac{16}{3}$ $\frac{4}{3}$	—8 4	—8 4	—3 1
—	—	—	6171	324	—	R <sup>5</sup>	—	( $\frac{5}{8}$ P+3) <sup>5</sup>	λ	—6 1	—8 5	—8 5	—3 2
—	—	—	9·1·10·1	436	—	R <sup>4</sup>	—	(P+3) <sup>4</sup>	n	—9 1	—11 8	—8 11	—3 4
—	—	—	28·7·35·9	17·10·18	—	R <sup>3</sup>	—	(Hessb.)	—	— $\frac{28}{3}$ $\frac{7}{3}$	— $\frac{14}{3}$ $\frac{7}{3}$	+7 $\frac{7}{3}$	+2 $\frac{10}{3}$
—	—	—	9·5·14·8	945	—	R <sup>7</sup>	—	—	—	— $\frac{9}{3}$ $\frac{5}{3}$	— $\frac{19}{3}$ $\frac{1}{3}$	— $\frac{1}{3}$ $\frac{19}{3}$	— $\frac{1}{3}$ $\frac{8}{3}$
γ	—	—	5384	523	—	R <sup>4</sup>	G·K <sub>0</sub> <sup>4</sup>	(P-1) <sup>4</sup> E <sup>5</sup> B' D <sup>4</sup>	γ	— $\frac{5}{3}$ $\frac{2}{3}$	— $\frac{11}{3}$ $\frac{1}{3}$	— $\frac{1}{3}$ $\frac{11}{3}$	— $\frac{1}{3}$ $\frac{2}{3}$
—	q	—	4372	413	—	R <sup>7</sup>	—	(Kok.)	—	—2 $\frac{3}{3}$	—5 $\frac{1}{3}$	— $\frac{1}{3}$ 5	— $\frac{1}{3}$ 2
—	—	—	5492	514	—	R <sup>9</sup>	—	(P-1) <sup>9</sup>	β	— $\frac{5}{3}$ 2	— $\frac{13}{3}$ $\frac{1}{3}$	— $\frac{1}{3}$ $\frac{13}{3}$	— $\frac{1}{3}$ $\frac{2}{3}$

(Fortsetzung S. 381.)

Bemerkungen. (Fortsetzung von S. 378.)

Aus Allem dem geht hervor, dass in der That  $-16R$  zur Zeit unbekannt ist,  $-17R$  dagegen mehrmals beobachtet wurde.

In diesem Resultat liegt eine schöne Bestätigung der in den Zahlenreihen  $G_2$  resp. E sich aussprechenden Gesetzmässigkeiten, die an anderer Stelle eingehender entwickelt werden sollen und auf Grund deren sich vorhersagen liess, dass wahrscheinlich nicht  $-18.18$  und  $+16.16$ , sondern  $+19.19$  und  $-17.17$  vorliege.

Die Form  $-6 = -6R$  wird von Hessenberg (Min. Not. 1875. 12. 13) angegeben, jedoch ohne Messungen. Die berechneten Winkel wurden mit dem Anleggoniometer ungefähr controlirt. Es ist danach durchaus nicht ausgeschlossen, dass statt der unwahrscheinlichen Form  $-6$  die einfachere  $-\frac{13}{2}$  vorliege. Jedenfalls ist das Symbol unsicher.

$-\frac{1}{10}R$  führt Irby an, weist jedoch selbst darauf hin, dass Hessenberg diese Form nicht am Calcit, sondern am Dolomit fand. Somit ist  $-\frac{1}{10}R$  für Calcit zu streichen.

$-\frac{1}{4} = -\frac{1}{4}R$  betrachtet Irby als zweifelhaft. Es findet sich bei Zippe und Hausmann ohne Angabe der Combination, ist durch Miller (Min. 1852. 575) jedenfalls von Hausmann übernommen (k); ebenso ist es in Des Cloizeaux's Manuel übergegangen ( $e^2$ ). Doch konnte ich nirgends eine sichere Beobachtungs-Angabe finden. Es dürfte danach in der That  $-\frac{1}{4}$  noch nicht als sicher festgestellt zu betrachten sein.

$+8 = HA\frac{1}{8}$ ;  $+14.14 = HA\frac{1}{14}$  finden sich bei den anderen Autoren nicht. Auch Hausmann giebt für sie nur berechnete Winkel, keine Combination noch Figur. Sie sind deshalb nicht als sicher zu betrachten. Zippe setzt  $HA\frac{1}{8} = -8 = 8R'$ , was dem Symbol Hausmann's nicht entspricht. Sollten bei Hausmann die  $\pm$  Formen gleicher Neigung vertauscht sein?

Zippe hat (Wien. Denkschr. 1852. 3. Sep. Seite 3 der Tab.) Hausmann's  $AH\frac{3}{2}$  übernommen, jedoch unrichtig umgewandelt. Es soll danach heissen  $-\frac{1}{3}R + 1 = \frac{2}{3}R = \frac{2}{3}c : a : a : \infty a$  statt,  $\frac{1}{3}R + 1 = \frac{2}{3}R' = \frac{2}{3}c : a' : a' : \infty a$ . Zippe's Angabe ist von Irby (lc. S. 32) übernommen und deshalb dort die Worte: „According to Zippe in a Comb. of Hausmann's (55I) (2II) (11I)“ zu löschen, hingegen S. 30 No. 2 zuzufügen. „According to Hausmann in comb. (55I) (2II) (11I).“ Hausmann's Angabe findet sich Handb. 1847. 2. (2) 1262 und lautet Comb.  $2A \cdot 6E \cdot 6AH\frac{3}{2} \cdot 6FA\frac{1}{2}$ .

$-16.16 = -R\frac{13}{2}$  von Lévy angegeben von Des Cloizeaux (ε) und Irby nach dieser Quelle reproducirt, scheint nach Zippe's Bemerkung nicht recht sichergestellt.

Zippe giebt (S. 18 Sep. Tab.) nach Lévy die Form  $d\frac{1}{2}d\frac{1}{2}d\frac{1}{2}$ , was heissen soll  $d\frac{1}{2}d\frac{1}{2}b\frac{1}{2}$ ; auch sind für diese Form das Mohs'sche und Haidinger'sche Symbol abzuändern in  $(\frac{2}{3}P+1)\frac{2}{2}$  resp.  $\frac{2}{2}S'\frac{2}{2}$ .

Bei Zippe (Sep. Tab. S. 19) ist das Lévy'sche Symbol  $d\frac{1}{2}d\frac{1}{10}b\frac{1}{2}$ , sowie das entsprechende Weiss'sche nicht richtig umgewandelt. Es soll heissen:  $(\frac{2}{3}P+1)\frac{2}{2}$  resp.  $\frac{2}{2}S'\frac{2}{2}$  statt  $(\frac{2}{3}P+1)\frac{2}{2}$  resp.  $\frac{2}{2}S'\frac{2}{2}$ .

(Fortsetzung S. 382.)

## 6.

sy. sym. h. un.	Miller.	Kok- scha- row.	Bravais.	Miller.	Naumann.	Haus- mann.	Mohs- Zippe.	Haüy.	Lévy. Descl.	G <sub>1</sub>	G <sub>2</sub>	G <sub>3</sub>	R = p-1 q-1 3 3
-	—	—	11·9·20·4	11·2·9	— $\frac{1}{2}$ R <sup>10</sup>	—	(Hab. Descl.)	—	⊙	— $\frac{1}{4}$ $\frac{2}{4}$	— $\frac{2}{4}$ $\frac{1}{2}$	— $\frac{1}{2}$ $\frac{2}{4}$	— $\frac{1}{2}$ $\frac{1}{2}$
-	—	—	7·6·13·2	716	— $\frac{1}{2}$ R <sup>13</sup>	—	(P-1) <sup>13</sup>	—	Δ	— $\frac{1}{2}$ 3	— $\frac{1}{2}$ $\frac{1}{2}$	— $\frac{1}{2}$ $\frac{1}{2}$	— $\frac{1}{2}$ $\frac{1}{2}$
-	—	—	7295	16·10·11	— R <sup>5</sup>	—	(Sella)	—	Λ	— $\frac{1}{4}$ $\frac{2}{4}$	— $\frac{1}{5}$ 1	— 1 $\frac{1}{5}$	— $\frac{2}{5}$ $\frac{1}{5}$
-	—	—	3142	745	— R <sup>2</sup>	—	(Descl.)	—	Q	— $\frac{3}{2}$ $\frac{1}{2}$	— $\frac{5}{2}$ 1	— 1 $\frac{1}{2}$	— $\frac{3}{2}$ $\frac{1}{2}$
Hy. θ	—	—	2131	524	— R <sup>3</sup> FA <sub>8</sub> GK <sub>2</sub>	—	(P) <sup>3</sup> $\frac{2}{4}$ B <sup>1</sup> D <sup>2</sup>	θ	—	— 2 1	— 4 1	— 1 4	— $\frac{2}{3}$ $\frac{1}{3}$
-	—	—	7181	827	— R <sup>5</sup>	—	— (P) <sup>5</sup>	—	ψ	— 7 1	— 7 1	— 1 7	— $\frac{2}{3}$ $\frac{1}{3}$
-	—	—	15·5·20·4	13·2·7	+ $\frac{3}{2}$ R <sup>2</sup>	—	+ ( $\frac{3}{2}$ P+2)	—	—	+ $\frac{1}{4}$ $\frac{2}{4}$	+ $\frac{2}{4}$ $\frac{1}{2}$	+ $\frac{2}{4}$ $\frac{1}{2}$	+ $\frac{1}{4}$ $\frac{1}{2}$
-	—	—	4261	11·1·7	+ 2 R <sup>3</sup>	—	— (P+1) <sup>3</sup>	—	D	+ 4 2	+ 8 2	+ 8 2	+ $\frac{1}{3}$ $\frac{1}{3}$
-	—	—	73·10·5	634	— $\frac{4}{3}$ R <sup>2</sup>	—	( $\frac{4}{3}$ P+1) <sup>2</sup>	—	χ	— $\frac{1}{3}$ $\frac{2}{3}$	— $\frac{1}{3}$ $\frac{2}{3}$	— $\frac{1}{3}$ $\frac{2}{3}$	— $\frac{1}{3}$ $\frac{2}{3}$
-	—	—	13·5·18·7	10·5·8	— $\frac{4}{3}$ R <sup>2</sup>	—	( $\frac{4}{3}$ P+1) <sup>2</sup>	—	—	— $\frac{1}{3}$ $\frac{2}{3}$	— $\frac{2}{3}$ $\frac{1}{3}$	— $\frac{2}{3}$ $\frac{1}{3}$	— $\frac{1}{3}$ $\frac{2}{3}$
-	—	—	32·12·44·13	23·11·21	— $\frac{4}{3}$ R <sup>11</sup>	—	(Rath)	—	—	— $\frac{1}{3}$ $\frac{1}{3}$	— $\frac{1}{3}$ $\frac{1}{3}$	— $\frac{1}{3}$ $\frac{1}{3}$	— $\frac{1}{3}$ $\frac{1}{3}$
-	—	—	32·8·40·21	23·15·17	— $\frac{4}{3}$ R <sup>3</sup>	—	(Sansoni)	—	—	— $\frac{1}{3}$ $\frac{1}{3}$	— $\frac{1}{3}$ $\frac{1}{3}$	— $\frac{1}{3}$ $\frac{1}{3}$	— $\frac{1}{3}$ $\frac{1}{3}$
-	—	—	8·2·10·5	17·11·13	— $\frac{4}{3}$ R <sup>3</sup>	—	(Sansoni)	—	—	— $\frac{1}{3}$ $\frac{1}{3}$	— $\frac{1}{3}$ $\frac{1}{3}$	— $\frac{1}{3}$ $\frac{1}{3}$	— $\frac{1}{3}$ $\frac{1}{3}$
-	—	—	8·6·14·3	23·5·19	— $\frac{4}{3}$ R <sup>7</sup>	—	(Sansoni)	—	—	— $\frac{1}{3}$ 2	— $\frac{2}{3}$ $\frac{1}{3}$	— $\frac{2}{3}$ $\frac{1}{3}$	— $\frac{2}{3}$ $\frac{1}{3}$
-	—	—	70·21·91·13	58·12·33	+ $\frac{4}{3}$ R <sup>13</sup>	—	(Sansoni)	—	—	+ $\frac{1}{3}$ $\frac{1}{3}$	+ $\frac{1}{3}$ $\frac{1}{3}$	+ $\frac{1}{3}$ $\frac{1}{3}$	+ $\frac{1}{3}$ $\frac{1}{3}$
-	—	—	49·18·67·20	35·17·32	— $\frac{4}{3}$ R <sup>37</sup>	—	(Rath. Descl.)	—	—	— $\frac{1}{3}$ $\frac{1}{3}$	— $\frac{1}{3}$ $\frac{1}{3}$	— $\frac{1}{3}$ $\frac{1}{3}$	— $\frac{1}{3}$ $\frac{1}{3}$

Bemerkungen. (Fortsetzung von S. 380.)

Zippe macht (Sep. Tab. 19) die Angabe  $(\frac{2}{3}P+2)\frac{2}{3} = \frac{2}{3}S^2$ , was nicht übereinstimmt.  $\frac{2}{3}S^2$  scheint durch die Angabe in Fig. 5 und Seite 32 bestätigt und wäre danach zu lesen:  $(\frac{2}{3}P+2)^2$ . Des Cloizeaux setzt statt dieser Form  $\Sigma = (31 \cdot 5 \cdot 17)$ , was Irby nicht annehmen will. Die Form wurde nur einmal durch Zippe beobachtet.

Bei  $\frac{7}{4}S'\frac{2}{3}\frac{2}{3}$  Zippe (Sep. Tab. 19) ist ausser Unsicherheit der Form das Weiss'sche und das Mohs- und Haidinger'sche Symbol in Widerspruch. Weiss' Symbol würde entsprechen:  $\frac{2}{3}S'\frac{2}{3}\frac{2}{3}$  resp. —  $(\frac{2}{3}P)\frac{2}{3}\frac{2}{3}$ .  $\frac{7}{4}S'\frac{2}{3}\frac{2}{3}$  entsprechend müsste Weiss' Symbol lauten:  $\frac{1}{2}c : \frac{1}{2}a' : \frac{1}{2}a' : \frac{1}{2}a'$ .

Bei  $\frac{1}{2}S'\frac{1}{2}\frac{1}{2}$  ist ebenfalls das Weiss'sche Symbol und die anderen in Widerspruch. Nach ihm müsste es heissen:  $(\frac{1}{2}P)\frac{1}{2}\frac{1}{2}$  resp.  $\frac{1}{2}S'\frac{1}{2}\frac{1}{2}$ , oder wenn Haidinger-Mohs' Symbol richtig  $\frac{1}{2}c : \frac{1}{2}a : \frac{1}{2}a : \frac{1}{2}a$ . Die Frage ist ohne Bedeutung, da die Form doch jedenfalls unsicher ist. Nimmt man die beiden letzten Angaben zusammen, so dürfte die Correctur in dem Weiss'schen Zeichen vorzunehmen und zu lesen sein:

bei 42 Bournon  $\frac{1}{2}c \dots$  statt  $\frac{1}{2}c \dots$

" 53 "  $\frac{1}{2}c \dots$  "  $\frac{1}{2}c \dots$

Bei  $\frac{3}{2}S'\frac{2}{3}\frac{2}{3}$  Zippe (Tab. S. 21) sind die verschiedenen Symbole unter sich im Widerspruch. In dem Weiss'schen Symbol ist wohl zu lesen  $\frac{1}{2}a'$  statt  $\frac{1}{2}a$ , dann stimmt es in sich und mit Lévy. Demnach müsste das Haidinger'sche und Mohs'sche Symbol lauten:  $\frac{3}{2}S'\frac{2}{3}\frac{2}{3}$  resp. —  $(\frac{3}{2}P)\frac{2}{3}\frac{2}{3}$ . Eine eingehende Discussion scheint kaum nöthig, da aus den mancherlei Widersprüchen die Form doch nicht als sicher betrachtet werden kann.

—  $\frac{4}{3}\frac{1}{3}$  Bei Mohs-Zippe findet sich (Min. 1839. 2. 94). Die Angabe  $(\frac{4}{3}P-2)^3$  (τ Naum.) Die Originalstelle bei Naumann konnte ich nicht auffinden, doch liegt hier wahrscheinlich ein Fehler vor und müsste es heissen  $(\frac{4}{3}P-1)^3$ . Obige Angabe ist übergegangen auf Hausmann, der schreibt (Handb. 1847. 2. (2) 1259.)  $AH_5 \cdot KG_1$  (τ Naum.). Zippe dagegen (Wien. Denkschr. 1851. Tab. 20) führt an:  $(\frac{4}{3}P-1)^3 = \frac{1}{3}S'^3$  (τ Naumann). Miller giebt ebenfalls (320)  $\tau = -\frac{4}{3}\frac{1}{3}(G_1)$ . Auch findet sich die Form bereits bei Hauy  $B = 7$ . Danach ist zu corrigiren, wie unten angegeben.

—  $\frac{2}{3}\frac{1}{3} = -\frac{1}{3}R^{\frac{2}{3}}$  erwähnt Irby nicht. Es findet sich bei Zippe (Tab. 20)  $= (\frac{4}{3}P-1)^{\frac{1}{3}}$  = 24 Bournon und ist auf Des Cloizeaux übergegangen  $= b^{\frac{2}{3}}$ . Da Zippe die Form für unsicher ansieht und eine Bestätigung nicht gefunden werden konnte, so ist sie nicht als festgestellt anzusehen.

—  $\frac{1}{5}\frac{1}{5} = +\frac{1}{4}\frac{1}{5} = -\frac{1}{5}R^{13} = 825$  erwähnt Irby nicht. Es findet sich bei Zippe nach Lévy und wird wegen Krümmung der Flächen für unsicher gehalten. Des Cloizeaux führt die Form als k an. Da eine bestätigende Beobachtung nicht gefunden werden konnte, wurde die Form trotz ihrer inneren Wahrscheinlichkeit als unsicher betrachtet.

—  $2\frac{5}{7} = 544 = -\frac{7}{3}R^{\frac{5}{7}} = e_{\frac{5}{2}}$  von Irby (S. 52) als unsicher angesehen, hat doch durch die Discussion Websky's (Min. Mitth. 1872. 2. 65) so hohe Wahrscheinlichkeit erlangt, dass diese Form besonders im Hinblick auf ihre innere Wahrscheinlichkeit unter die sicher gestellten aufgenommen wurde.

—  $2\frac{5}{3} = -\frac{5}{3}R\frac{1}{3}$  giebt Irby S. 52 als zweifelhaft nach Zippe und nochmals S. 57 nach Dana. Sie wurde 1882 von Rath bestätigt und ist wohl als festgestellt zu betrachten.

(Fortsetzung S. 384.)



Calcit. Unsichere Formen.

1.

Bravais.	Miller.	Naumann.	Hausmann.	Mohs-Zippe.	Hy.	Lévy. Descl.	G <sub>1</sub>	G <sub>2</sub>	G <sub>2</sub>	E = p-1 q-1 3 3
5.5.10.9	832	$\frac{1}{9}P_2$	—	$\frac{5}{3}P$	—	—	$\frac{5}{9}$	$\frac{5}{3}0$	$0\frac{5}{3}$	—
18.0.18.1	37.17.17	+ 18R	—	(Rath)	—	—	+ 18.0	+ 18.18	+ 18.18	+ $\frac{17}{3}$
9092	20.7.7	+ $\frac{2}{3}R$	—	(Descl.)	—	$e^{\frac{20}{7}}$	+ $\frac{2}{3}0$	+ $\frac{2}{3}$	+ $\frac{2}{3}$	+ $\frac{7}{6}$
14.0.14.3	31.11.11	+ $\frac{1}{3}R$	—	(Descl.)	—	$e^{\frac{10}{3}}$	+ $\frac{1}{3}0$	+ $\frac{1}{3}$	+ $\frac{1}{3}$	+ $\frac{11}{9}$
17.0.17.4	38.13.13	+ $\frac{1}{4}R$	—	(Dana)	—	—	+ $\frac{1}{4}0$	+ $\frac{1}{4}$	+ $\frac{1}{4}$	+ $\frac{13}{12}$
7074	116	+ $\frac{1}{4}R$	—	(Hy. Descl.)	—	$e^6$	+ $\frac{1}{4}0$	+ $\frac{1}{4}$	+ $\frac{1}{4}$	+ $\frac{1}{4}$
3.0.3.10	16.7.7	+ $\frac{3}{10}R$	—	(Descl.)	—	$a^{\frac{10}{7}}$	+ $\frac{3}{10}0$	+ $\frac{3}{10}$	+ $\frac{3}{10}$	— $\frac{7}{30}$
1.0.1.10	11.11.8	— $\frac{1}{10}R$	—	(Hessenb.)	—	—	— $\frac{1}{10}0$	— $\frac{1}{10}$	— $\frac{1}{10}$	— $\frac{11}{30}$
1014	552	— $\frac{1}{4}R$	AF2	—R—2	—	$a^{\frac{2}{3}}$	— $\frac{1}{4}0$	— $\frac{1}{4}$	— $\frac{1}{4}$	— $\frac{5}{12}$
9098	17.17.10	— $\frac{2}{8}R$	—	(Hessenb.)	—	$e^{\frac{10}{7}}$	— $\frac{2}{8}0$	— $\frac{2}{8}$	— $\frac{2}{8}$	— $\frac{17}{24}$
10.0.10.7	17.17.13	— $\frac{1}{10}R$	—	(Websky)	—	—	— $\frac{1}{10}0$	— $\frac{1}{10}$	— $\frac{1}{10}$	— $\frac{17}{21}$
13.0.13.9	22.22.17	— $\frac{1}{9}R$	—	(Sanson)	—	—	— $\frac{1}{9}0$	— $\frac{1}{9}$	— $\frac{1}{9}$	— $\frac{22}{27}$
7074	11.11.10	— $\frac{1}{4}R$	—	(Hessenb.)	—	—	— $\frac{1}{4}0$	— $\frac{1}{4}$	— $\frac{1}{4}$	— $\frac{11}{12}$
12.0.12.5	17.17.19	— $\frac{1}{5}R$	—	(Descl.)	—	$e^{\frac{10}{7}}$	— $\frac{1}{5}0$	— $\frac{1}{5}$	— $\frac{1}{5}$	— $\frac{17}{15}$
6061	7.7.11	— 6R	—	(Hessenb.)	—	—	— 6 0	— 6	— 6	— $\frac{7}{3}$
10.0.10.1	11.11.19	— 10R	—	(Sanson)	—	—	— 10.0	— 10.10	— 10.10	— $\frac{1}{3}$
13.0.13.1	14.14.25	— 13R	—	(Sanson)	—	—	— 13.0	— 13.13	— 13.13	— $\frac{1}{3}$
7.2.9.16	970	— $\frac{5}{16}R$	—	(Hauy)	B $\frac{7}{8}$	—	— $\frac{7}{16}0$	— $\frac{7}{16}$	+ 1 $\frac{7}{16}$	0 $\frac{7}{16}$
4159	540	— $\frac{1}{3}R$	—	( $\frac{2}{3}P-1$ ) $\frac{5}{3}$	—	$b^{\frac{5}{4}}$	— $\frac{5}{9}0$	— $\frac{5}{9}$	+ 1 $\frac{5}{9}$	0 $\frac{5}{9}$
11.3.14.8	11.0.3	+ $R^{\frac{7}{4}}$	KG $\frac{4}{5}$	(P) $\frac{7}{4}$	—	$d^{\frac{11}{3}}$	+ $\frac{11}{8}0$	+ $\frac{11}{8}$	+ 1 $\frac{11}{8}$	0 $\frac{3}{8}$
8.7.15.1	807	+ $R^{15}$	—	(P) $^{15}$	—	$d^{\frac{8}{7}}$	+ 8.7	+ 22.1	+ 1.22	0 7
7.3.10.2	525	— 2 $R^{\frac{5}{2}}$	—	(P+1) $\frac{5}{2}$	—	$e^{\frac{5}{2}}$	— $\frac{5}{2}0$	— $\frac{5}{2}$	— 2 $\frac{5}{2}$	— 1 $\frac{5}{2}$
19.13.32.3	16.3.16	— 2 $R^{\frac{16}{3}}$	—	(Sjögren)	—	—	— $\frac{16}{3}0$	— 15.2	— 2.15	— 1 $\frac{16}{3}$
13.9.22.2	11.2.11	— 2 $R^{\frac{11}{3}}$	—	(Sjögren)	—	—	— $\frac{11}{3}0$	— $\frac{11}{3}$	— 2 $\frac{11}{3}$	— 1 $\frac{11}{3}$
23.2.25.12	13.11.12	— $\frac{7}{4}R^{\frac{25}{12}}$	—	( $\frac{7}{4}P$ ) $\frac{25}{12}$	—	X	— $\frac{25}{12}0$	— $\frac{25}{12}$	+ 4 $\frac{7}{4}$	+ 1 $\frac{11}{12}$
7.6.13.5	825	— $\frac{1}{3}R^{13}$	—	( $\frac{2}{3}P-1$ ) $^{13}$	—	x	— $\frac{13}{3}0$	— $\frac{13}{3}$	+ 4 $\frac{7}{3}$	+ 1 $\frac{5}{3}$
28.7.35.9	17.10.18	— $\frac{7}{3}R^{\frac{5}{3}}$	—	—( $\frac{7}{3}P$ ) $\frac{5}{3}$	—	—	— $\frac{28}{9}0$	— $\frac{14}{3}$	+ 7 $\frac{7}{3}$	+ 2 $\frac{10}{9}$
32.2.34.3	23.9.11	+ 10 $R^{\frac{17}{5}}$	—	( $\frac{3}{5}P+4$ ) $\frac{17}{5}$	—	III	+ $\frac{32}{5}0$	— 12.10	+ 10.12	+ 3 $\frac{11}{5}$
14.4.18.1	11.3.7	+ 10 $R^{\frac{9}{5}}$	—	(Descl.)	—	II	+ 14.4	+ 22.10	+ 10.22	+ 9 7
20.3.23.2	15.5.8	+ $\frac{1}{2}R^{\frac{23}{7}}$	—	( $\frac{1}{2}P$ ) $\frac{23}{7}$	—	—	+ 10.2	+ 13 $\frac{17}{2}$	+ 13 $\frac{17}{2}$	+ 4 $\frac{5}{2}$
35.4.39.1	25.10.14	+ 31 $R^{\frac{39}{14}}$	—	(Lev. Irb.)	—	—	+ 35.4	+ 43.31	+ 31.43	+ 10.14
18.5.23.15	532	— $\frac{1}{2}R^{\frac{7}{2}}$	—	(P-1) $\frac{7}{2}$	—	σ	— $\frac{6}{2}0$	— $\frac{3}{2}$	— $\frac{3}{2}$	— $\frac{5}{2}$
6.5.11.2	615	— $\frac{1}{2}R^{11}$	—	(Descl.)	—	φ	— 3 $\frac{5}{2}$	— 8 $\frac{1}{2}$	— 8 $\frac{1}{2}$	— 3 $\frac{1}{2}$

(Fortsetzung S. 385.)

Bemerkungen. (Fortsetzung von S. 382.)

Hausmann führt an die beiden Symbole:  $FA\frac{1}{2}KG\frac{1}{2}$  und  $FA\frac{1}{2}GK2$ . Beide sind trotz ihres verschiedenen Aussehens identisch  $= -41 (G_2) = -R^3 = \emptyset (Hy.)$  In den Combinationen führt Hausmann von beiden nur  $FA\frac{1}{2}GK2$  auf. Es ist danach die Angabe über das erstere Symbol zu streichen.

$q = (28.13.26) = -\frac{2}{3}\frac{1}{2}$  findet sich bei Des Cloizeaux. Doch konnte ich keine zugehörige Beobachtung finden. Diese Form wurde deshalb als zweifelhaft angesehen.

$\mu$  (Descl.) ist zweifelhaft. Des Cloizeaux giebt dafür im Text S. 103  $\mu = d\frac{1}{2}r\frac{1}{2}b\frac{1}{2}$ , bei der Figur Taf. XLV Fig. 268  $\mu = d\frac{1}{2}r\frac{1}{2}d\frac{1}{2}r\frac{1}{2}b\frac{1}{2}$  (nicht wie Irby angiebt S. 96  $d\frac{1}{2}r\frac{1}{2}d\frac{1}{2}r\frac{1}{2}b\frac{1}{2}$ ). S. 104 motivirt Des Cloizeaux, warum er das erstere Symbol vorzieht. Die Flächen sind etwas gekrümmt. Auch differiren Messung und Rechnung zu bedeutend, um daraus die Annahme des so complicirten Symbols zu gestatten:

Des Cloizeaux giebt an:  $\mu e^{\frac{2}{3}}$  berechn.  $164^\circ 21'$  beob.  $163^\circ 30'$  Diff. =  $51'$   
 $\mu d^2$  „  $144^\circ 19'$  „  $145^\circ$  — Diff. =  $41'$

Es ist vielmehr höchst wahrscheinlich, dass die Form  $\mu$  identisch ist mit  $\lambda = -85$ , eine Form mit theoretisch einfachem und daher wahrscheinlichem Symbol. Hierfür berechnet sich:

$\lambda e^{\frac{2}{3}} = -85 : +10.10 = 163^\circ 35'$  beob. Descl.  $163^\circ 30'$  Diff. =  $5'$   
 $\lambda d^2 = -85 : +41 = 34^\circ 19'$  „  $35^\circ$  — Diff. =  $41'$

Also bessere Uebereinstimmung wie oben.

Hessenberg citirt (Min. Not. 1875. 12. 13) Des Cloizeaux's  $\mu$  mit dem Zeichen  $-\frac{2}{3}R\frac{2}{3}\frac{1}{2}$  (?); dies stimmt mit keinem der Symbole Des Cloizeaux's für  $\mu$ , vielmehr müsste es heissen:  $-\frac{3}{2}R\frac{2}{3}\frac{1}{2}$ .

Die Correctur der Angaben Irby's von Schnorr's Symbolen wurde nach dem Referat (Jahrb. Min. 1874. 631) vorgenommen. Die Originalarbeit (Programm der Realschule zu Zwickau) war mir nicht zugänglich. Schnorr's Formen sind an sich nicht unwahrscheinlich. Statt  $\frac{1}{2}R\frac{2}{3}\frac{1}{2}$  können wir setzen  $\frac{1}{2}R\frac{2}{3}\frac{1}{2}$ , dann ist:

$$\frac{1}{2}R\frac{2}{3}\frac{1}{2} = 1\frac{1}{2} (G_2)$$

$$\frac{1}{2}R\frac{2}{3}\frac{1}{2} = 1\frac{1}{2} (G_2).$$

Also Formen der ersten || Zone. Immerhin sind die Symbole unsicher.

$+ \frac{1}{2}R\frac{1}{2}\frac{1}{2}$  von Zepharovich aufgestellt (Wien. Sitzb. 1866. 54. (1) 273) wird von Groth (Strassb. Samml. 1878. 22) erwähnt, ist jedoch nach Zepharovich selbst nur ein genähertes Zeichen und somit unsicher. Irby setzt dafür  $+ \frac{2}{3}R\frac{2}{3}\frac{1}{2}$ , doch ist dies ebenfalls unsicher.

Zu den Angaben von J. D. Dana (System 1873. 670) ist Folgendes zu bemerken:

$\frac{3}{10}; \frac{7}{4}; \frac{1}{2}; \frac{2}{9}; -\frac{1}{2}; -\frac{1}{4}$  } sind als unsicher zu betrachten vgl. Irby S. 51 fglde.  
 $\frac{1}{3}\frac{2}{3}; \frac{3}{5}\frac{1}{4}; \frac{5}{4}\frac{1}{3}; 2\frac{1}{4}; -\frac{1}{3}\frac{5}{3}$  }

$18.18$  ist nach Rath angeführt und unsicher. Vgl. Bemerk. S. 378.

$\frac{1}{4}$ . Ich konnte nicht finden, aus welcher Quelle diese Form genommen ist. Sie wurde deshalb vorläufig als unsicher angesehen.

$\frac{1}{5}\frac{1}{3}$  soll heissen  $-\frac{1}{5}\frac{1}{3}$  von Zippe (Denkschr. Tab. Sep. 24); dort ist jedoch ein Druckfehler und es soll heissen  $\frac{1}{5}S\frac{1}{3}$  statt  $\frac{1}{5}S\frac{1}{3}$  (vgl. S. 20). Uebrigens ist die Form unsicher (s. S. 382).

(Fortsetzung S. 386.)



## Unsichere Formen.

## 2.

is.	Miller.	Naumann.	Hausmann.	Mohs-Zippe.	Hy.	Lévy-Descl.	G <sub>1</sub>	G <sub>2</sub>	G <sub>3</sub>	E = p-1 q-1 3 3
07	21·15·29	— $\frac{3}{7}R^{\frac{2}{19}}$	—	(Descl.)	—	$\mu$	— $\frac{4}{7} \frac{9}{9}$	— 8 $\frac{3}{7}$	— 8 $\frac{3}{7}$	— 3 $\frac{1}{7}$
01	19·3·21	— 8 R <sup>5</sup>	—	(Hessenb.)	—	—	— 24 · 16	— 56 · 8	— 8 · 56	— 3 · 19
2	12·3·7	+ $\frac{1}{2}R^{\frac{1}{11}}$	—	( $\frac{1}{2}P$ ) $\frac{1}{11}$	—	—	+ $\frac{1}{2} \frac{2}{2}$	+ $\frac{2}{2} \frac{1}{2}$	— 17 $\frac{1}{2}$	— 6 $\frac{1}{6}$
21	14·11·22	— 10 R <sup>5</sup>	—	(Sanson)	—	—	— 11 · 1	— 13 · 10	— 13 · 10	— $\frac{1}{3} \frac{1}{3}$
1	19·16·32	— 15 R <sup>17</sup>	—	(Sanson)	—	—	— 16 · 1	— 18 · 15	— 18 · 15	— $\frac{1}{3} \frac{1}{3}$
11	11·10·20	— 29 R <sup>31</sup>	—	(Descl.)	—	B	— 30 · 1	— 32 · 29	— 29 · 32	— 10 · 11
11	114·54·61	— 161 R <sup>23</sup>	—	(322 P—1) $\frac{2}{23}$	—	—	— 168 · 7	— 182 · 161	— 161 · 182	— 54 · 61
4	41·4·25	+ 2 R <sup>11</sup>	—	(Hessenb.)	—	$\Psi$	+ $\frac{1}{4} \frac{2}{2}$	+ $\frac{2}{4} \frac{2}{2}$	+ 2 $\frac{2}{4}$	+ $\frac{1}{3} \frac{2}{3}$
3	15·2·10	+ 3 R <sup>25</sup>	—	( $\frac{3}{2}P+2$ ) $\frac{2}{5}$	—	$\Phi$	+ $\frac{1}{3} \frac{8}{3}$	+ 11 · 3	+ 3 · 11	+ $\frac{2}{3} \frac{1}{3}$
3	7·2·6	— R <sup>13</sup>	—	(P) $\frac{1}{3}$	—	$\varepsilon$	— $\frac{8}{3} \frac{5}{3}$	— 6 1	— 1 6	— $\frac{2}{3} \frac{2}{3}$
5	937	— $\frac{6}{3}R^{\frac{1}{3}}$	—	(Sanson)	—	—	— 2 $\frac{6}{3}$	— $\frac{2}{3} \frac{4}{3}$	— $\frac{2}{3} \frac{4}{3}$	— $\frac{2}{3} \frac{4}{3}$
4	26·5·19	— $\frac{1}{4}R^{15}$	—	(Sanson)	—	—	— 2 $\frac{7}{4}$	— $\frac{1}{2} \frac{1}{4}$	— $\frac{1}{2} \frac{1}{4}$	— $\frac{1}{6} \frac{1}{2}$
1	13·7·17	— 6 R <sup>5</sup>	—	(Descl.)	—	$\eta$	— 8 2	— 12 · 6	— 6 · 12	— $\frac{2}{3} \frac{1}{3}$
9	319·157·171	— $\frac{1}{3}R^{\frac{3}{33}}$	—	( $\frac{2}{3}P+1$ ) $\frac{3}{33}$	—	—	— $\frac{4}{9} \frac{1}{9}$	— 55 $\frac{1}{3}$	— 55 $\frac{1}{3}$	— $\frac{5}{6} \frac{1}{3}$
5	21·1·17	+ $\frac{2}{3}R^{19}$	—	(Descl.)	—	f	+ 4 $\frac{1}{3}$	+ $\frac{5}{3} \frac{2}{3}$	+ $\frac{5}{3} \frac{2}{3}$	+ $\frac{5}{3} \frac{2}{3}$
7	37·1·17	+ $\frac{6}{3}R^3$	—	(Rath.)	—	—	+ $\frac{1}{7} \frac{6}{7}$	+ $\frac{2}{7} \frac{6}{7}$	+ $\frac{2}{7} \frac{6}{7}$	+ $\frac{1}{21} \frac{1}{21}$
35	61·1·27	+ $\frac{3}{3}R^{\frac{1}{4}}$	—	(Hessenb.)	—	—	+ $\frac{1}{7} \frac{6}{7}$	+ $\frac{1}{35} \frac{3}{35}$	+ $\frac{1}{35} \frac{3}{35}$	+ $\frac{2}{35} \frac{1}{35}$
	...	+ $\frac{1}{12}R^{\frac{1}{10}}$	—	(Zephar.)	—	—	+ $\frac{5}{100} \frac{1}{100}$	+ $\frac{8}{100} \frac{1}{100}$	+ $\frac{8}{100} \frac{1}{100}$	+ $\frac{7}{100} \frac{1}{100}$
3	38·2·31	+ $\frac{1}{3}R^{23}$	—	(Sella.)	—	—	+ 4 $\frac{1}{3}$	+ $\frac{3}{3} \frac{1}{3}$	+ $\frac{3}{3} \frac{1}{3}$	+ $\frac{3}{9} \frac{1}{9}$
3	31·5·17	+ $\frac{8}{3}R^2$	—	(Descl.)	—	$\Sigma$	+ 4 $\frac{4}{3}$	+ $\frac{2}{3} \frac{8}{3}$	+ $\frac{2}{3} \frac{8}{3}$	+ $\frac{1}{9} \frac{8}{9}$
36	28·27·37	— $\frac{1}{4}R^{\frac{1}{9}}$	—	( $\frac{5}{8}P+1$ ) $\frac{1}{9}$	—	—	— $\frac{5}{36} \frac{1}{18}$	— $\frac{2}{12} \frac{1}{4}$	— $\frac{2}{12} \frac{1}{4}$	— $\frac{3}{36} \frac{1}{4}$
	17·11·10	— $\frac{6}{3}R^{\frac{9}{7}}$	—	(Sanson)	—	—	— $\frac{7}{6} \frac{1}{3}$	— $\frac{1}{6} \frac{6}{6}$	— $\frac{1}{6} \frac{6}{6}$	— $\frac{1}{18} \frac{1}{6}$
12	65·26·55	— $\frac{7}{6}R^{\frac{2}{9}}$	—	(Sanson)	—	—	— $\frac{2}{4} \frac{1}{12}$	— $\frac{1}{12} \frac{7}{6}$	— $\frac{1}{12} \frac{7}{6}$	— $\frac{6}{36} \frac{1}{18}$
36	45·23·32	— $\frac{1}{12}R^{\frac{7}{3}}$	—	(Rath.)	—	—	— $\frac{2}{36} \frac{1}{18}$	— $\frac{1}{4} \frac{1}{12}$	— $\frac{1}{4} \frac{1}{12}$	— $\frac{2}{4} \frac{2}{36}$
36	31·30·37	— $\frac{3}{3}R^{\frac{5}{4}}$	—	(Descl.)	—	o	— $\frac{6}{36} \frac{7}{36}$	— $\frac{2}{12} \frac{3}{3}$	— $\frac{2}{12} \frac{3}{3}$	— $\frac{3}{36} \frac{5}{6}$
6	958	— $\frac{3}{3}R^{\frac{1}{9}}$	—	(Descl.)	—	y	— $\frac{1}{6} \frac{2}{3}$	— $\frac{7}{3} \frac{3}{3}$	— $\frac{7}{3} \frac{3}{3}$	— $\frac{2}{3} \frac{5}{6}$
	11·5·10	— $\frac{7}{3}R^{\frac{7}{3}}$	—	( $\frac{3}{2}P+1$ ) $\frac{7}{3}$	—	w	— $\frac{2}{3} \frac{1}{3}$	— $\frac{2}{3} \frac{3}{3}$	— $\frac{2}{3} \frac{3}{3}$	— $\frac{1}{6} \frac{5}{6}$
20	23·16·19	— $\frac{7}{3}R^{\frac{3}{2}}$	—	(Dana.)	—	—	— $\frac{7}{4} \frac{7}{20}$	— $\frac{2}{20} \frac{7}{3}$	— $\frac{2}{20} \frac{7}{3}$	— $\frac{2}{20} \frac{4}{3}$
36	40·29·33	— $\frac{1}{12}R^{\frac{2}{31}}$	—	(Rath.)	—	—	— $\frac{6}{36} \frac{1}{36}$	— $\frac{7}{3} \frac{1}{12}$	— $\frac{1}{12} \frac{7}{3}$	— $\frac{2}{36} \frac{1}{12}$
27	44·28·45	— $\frac{1}{9}R^{\frac{8}{9}}$	—	(Rath.)	—	—	— $\frac{7}{27} \frac{1}{27}$	— $\frac{3}{9} \frac{1}{9}$	— $\frac{3}{9} \frac{1}{9}$	— $\frac{4}{27} \frac{2}{27}$
45	51·34·40	— $\frac{1}{12}R^{\frac{9}{57}}$	—	(Rath.)	—	—	— $\frac{7}{45} \frac{1}{45}$	— $\frac{1}{5} \frac{1}{12}$	— $\frac{1}{5} \frac{1}{12}$	— $\frac{1}{15} \frac{2}{45}$
8	956	— $\frac{7}{8}R^{\frac{1}{7}}$	—	(Lévy.)	—	—	— $\frac{1}{8} \frac{1}{2}$	— $\frac{1}{8} \frac{7}{8}$	— $\frac{1}{8} \frac{7}{8}$	— $\frac{2}{8} \frac{2}{8}$
3	25·4·20	— $\frac{1}{3}R^{15}$	—	(Hessenb.)	—	—	— $\frac{8}{3} \frac{7}{3}$	— $\frac{2}{3} \frac{1}{3}$	— $\frac{2}{3} \frac{1}{3}$	— $\frac{2}{9} \frac{4}{9}$
	17·8·10	— $\frac{3}{3}R^3$	—	(Hessenb.)	—	—	— $\frac{6}{3} \frac{3}{3}$	— $\frac{1}{5} \frac{3}{3}$	— $\frac{1}{5} \frac{3}{3}$	— $\frac{1}{15} \frac{8}{15}$

(Fortsetzung S. 387.)

Index.

Bemerkungen. (Fortsetzung von S. 384.)

$\frac{2}{3} \frac{2}{3}$  soll heissen  $-\frac{2}{3} \frac{2}{3}$  nach Zippe's unsicherer Angabe (l. c. 24); dort ist jedoch ein Druckfehler und zwar soll es heissen:  $\frac{2}{3} S' \frac{2}{3}$  statt  $\frac{2}{3} S \frac{2}{3}$  (vgl. S. 21). Die Form ist später durch Websky bestätigt.

$\frac{2}{3} \frac{2}{3}$  nach Zippe ist unsicher, vgl. S. 582.

$3 \frac{2}{3} \frac{2}{3} = (\frac{3}{2} P + 2) \frac{2}{3} \frac{2}{3} = \Phi$  (Desc.) ist unsicher.

$-\frac{2}{3} \frac{2}{3} = -(\frac{3}{2} P)^2$  Zippe ist unsicher.

$-\frac{2}{3} \frac{2}{3} = -\frac{4}{3} \frac{2}{3} \cdot \frac{2}{3} (G_2)$  wurde wegen Complicirtheit des Symbols als zweifelhaft angesehen, da Dana, der die Form von Bergen Hill abbildet, die beobachteten Winkel nicht giebt. Eine Controlmessung des wohl noch im Besitz Dana's befindlichen Krystalls dürfte zur Bestätigung oder Verwerfung nöthig nöthig sein. — Irby erwähnt die Form nicht.

$-\frac{1}{3} \frac{2}{3}$  nach Zippe unsicher.

Irby giebt folgende neue Formen von complicirtem Symbol, die nicht als sichergestellt angesehen werden können:

$+3 \frac{1}{2} = +\frac{1}{2} R \frac{1}{3}$	Agaëte (S. 60) zwei Grenzen des Lichtstreifens einer gekrümmten Fläche.
$+1 \frac{4}{3} \frac{2}{3} = +\frac{2}{3} R \frac{5}{3}$	
$+1 \frac{7}{2} \frac{2}{3} = +\frac{2}{3} R \frac{5}{3}$	Interpretirt aus Zepharovich $\frac{1}{2} R \frac{1}{3}$ (S. 42).
$+\frac{8}{3} \frac{1}{3} = +\frac{1}{3} R \frac{1}{3}$	Agaëte (S. 58, 59) Lichtbild stets in die Länge gezogen.
$-\frac{1}{2} \frac{1}{2} = -\frac{1}{2} R \frac{5}{3}$	Lake Superior (S. 64) Fläche gestreift. Vielleicht Scheinfläche.
$-\frac{2}{3} \frac{2}{3} = -\frac{2}{3} R \frac{5}{3}$	Lake Superior (S. 63).
$-\frac{1}{2} \frac{4}{3} = -\frac{4}{3} R \frac{1}{3}$	Gestreift. Beide nicht scharf getrennt, in einander übergehend.
$-\frac{2}{3} \frac{2}{3} = -\frac{2}{3} R \frac{1}{3}$	Lake Superior (S. 64, 65). Ihre Trennung von einer anderen Fläche ( $\beta$ ) nicht scharf.
$-\frac{1}{2} \frac{2}{3} = -\frac{1}{2} R \frac{1}{3}$	Lake Superior.
$-\frac{1}{2} \frac{2}{3} = -\frac{2}{3} R \frac{1}{3}$	Treppenförmig abgestuft. Irby ist nicht sicher, ob das Symbol nicht (45.19.27) sei (S. 66).
$-\frac{6}{5} \frac{2}{3} = -\frac{1}{5} R \frac{1}{3}$	Lake Superior (S. 67). Herausgenommen aus einer Reihe vicinaler Flächen.

II:  $= +\frac{4}{3} \frac{1}{3} (G_2) = -8 \frac{1}{3} (G'_2)$  rührt von Lévy her. Dieser giebt dafür (Descr. 1838. I. 29) einmal  $(d^{\frac{1}{3}} d^{\frac{1}{3}} b^{\frac{1}{3}})$ , das andere Mal  $(d^{\frac{1}{3}} d^{\frac{1}{3}} d^{\frac{1}{3}})$ ; bei den angezogenen Figuren (23 und 24 Taf. 2) dagegen steht  $(d^{\frac{1}{3}} d^{\frac{1}{3}} b^{\frac{1}{3}})$ . Von allen diesen kann nur das erste Symbol richtig sein, wie aus dem Zonenverband mit  $e^3$  hervorgeht. So haben es auch Zippe und nach ihm Des Cloizeaux ( $\Omega$ ) angenommen und ist entsprechend zu corrigiren.

Irby's Fehler sind theilweise in Groth's Referat (Zeitschr. Kryst. 1879) eingegangen und machen dort die anzuführenden Correcturen nöthig.

Die Symbole  $-\frac{1}{3} \frac{1}{3}$ ;  $-\frac{1}{3} \frac{2}{3}$ ;  $-\frac{1}{4}$ ;  $-\frac{1}{7}$  erscheinen verdächtig, da sowohl p als q für das Vorzeichen  $+$  sprechen. Sollte in Bezug auf dieses eine Verwechslung vorliegen?

(Fortsetzung S. 388.)

## Unsichere Formen.

3.

avais.	Miller.	Naumann.	Hausmann.	Mohs-Zippe.	Hy.	Lévy. Descl.	G <sub>1</sub>	G <sub>2</sub>	G <sub>3</sub>	E = $\frac{p-1}{3} \quad \frac{q-1}{3}$
10·5	17·11·13	— $\frac{5}{3} R^{\frac{3}{3}}$	—	(Rath.)	—	—	— $\frac{8}{3} \frac{2}{3}$	— $\frac{12}{3} \frac{6}{3}$	— $\frac{12}{3} \frac{6}{3}$	— $\frac{12}{3} \frac{11}{3}$
5·18·5	28·13·26	— $\frac{8}{3} R^{\frac{2}{3}}$	—	(Descl.)	—	q	— $\frac{12}{3} \frac{1}{3}$	— $\frac{23}{3} \frac{8}{3}$	— $\frac{23}{3} \frac{8}{3}$	— $\frac{23}{3} \frac{13}{3}$
2·37·15	62·32·49	— $\frac{17}{3} R^{\frac{37}{3}}$	—	(Hessenb.)	—	—	— $\frac{3}{3} \frac{2}{3}$	— $\frac{47}{3} \frac{17}{3}$	— $\frac{47}{3} \frac{17}{3}$	— $\frac{47}{3} \frac{23}{3}$
13·6	914	+ $\frac{1}{2} R^{\frac{13}{3}}$	—	(Irby.)	—	—	+ $\frac{4}{3} \frac{6}{3}$	+ 3 $\frac{1}{2}$	+ 3 $\frac{1}{2}$	+ $\frac{3}{3} \frac{7}{3}$
10·5	713	+ $\frac{2}{3} R^{\frac{5}{3}}$	—	(Irby.)	—	—	+ $\frac{6}{3} \frac{4}{3}$	+ $\frac{14}{3} \frac{2}{3}$	+ $\frac{14}{3} \frac{2}{3}$	+ $\frac{3}{3} \frac{7}{3}$
3·55·8	35·7·20	+ $\frac{28}{3} R^{\frac{55}{3}}$	—	(Irby.)	—	—	+ $\frac{21}{3} \frac{13}{3}$	+ $\frac{17}{3} \frac{28}{3}$	+ $\frac{17}{3} \frac{28}{3}$	+ $\frac{3}{3} \frac{7}{3}$
16·11	10·7·6	— $\frac{19}{3} R^{\frac{8}{3}}$	—	(Irby.)	—	—	— $\frac{11}{3} \frac{21}{3}$	— $\frac{19}{3} \frac{19}{3}$	— $\frac{19}{3} \frac{19}{3}$	— $\frac{19}{3} \frac{7}{3}$
17·9	12·2·5	+ $\frac{1}{3} R^{\frac{17}{3}}$	—	(Irby.)	—	—	+ $\frac{10}{3} \frac{7}{3}$	+ $\frac{8}{3} \frac{1}{3}$	+ 3 $\frac{1}{3}$	+ $\frac{3}{3} \frac{8}{3}$
24·13	15·7·9	— $\frac{8}{3} R^{\frac{3}{3}}$	—	(Irby.)	—	—	— $\frac{16}{3} \frac{8}{3}$	— $\frac{23}{3} \frac{8}{3}$	— $\frac{23}{3} \frac{8}{3}$	— $\frac{13}{3} \frac{7}{3}$
40·21	25·11·15	— $\frac{4}{3} R^{\frac{40}{3}}$	—	(Irby.)	—	—	— $\frac{26}{3} \frac{2}{3}$	— $\frac{18}{3} \frac{4}{3}$	— $\frac{18}{3} \frac{4}{3}$	— $\frac{23}{3} \frac{11}{3}$
17·9	32·14·19	— $\frac{5}{3} R^{\frac{17}{3}}$	—	(Irby.)	—	—	— $\frac{12}{3} \frac{2}{3}$	— $\frac{23}{3} \frac{5}{3}$	— $\frac{23}{3} \frac{5}{3}$	— $\frac{23}{3} \frac{14}{3}$
80·41	50·21·30	— $\frac{27}{3} R^{\frac{40}{3}}$	—	(Irby.)	—	—	— $\frac{21}{3} \frac{21}{3}$	— $\frac{102}{3} \frac{21}{3}$	— $\frac{102}{3} \frac{21}{3}$	— $\frac{29}{3} \frac{21}{3}$
104·56	65·30·39	— $\frac{17}{3} R^{\frac{104}{3}}$	—	(Irby.)	—	—	— $\frac{92}{3} \frac{8}{3}$	— $\frac{132}{3} \frac{17}{3}$	— $\frac{132}{3} \frac{17}{3}$	— $\frac{98}{3} \frac{13}{3}$

Bemerkungen. (Fortsetzung von S. 386.)

Von den durch Sansoni, Zeitschr. Kryst. 1885. 10. 545, neu angegebenen Formen wurden die folgenden als unsicher angesehen:

- 10 R. Sansoni sagt von dieser Form S. 564: „Das Rhomboeder hat krumme Flächen mit ungleichen Erhebungen u. s. w.“ Der eine beobachtete Reflex stimmt mit  $-\frac{1}{2}R$  überein, dessen Winkel zu  $R = 51^{\circ}29'$  ist. Die Form — 10 R ist nicht als gesichert anzusehen.
- 13 R. Die Beobachtung Sansoni's S. 564 ist für diese Form als neu nicht entscheidend, da die Flächen als etwas krumme bezeichnet werden. S. 577 ist die Form wohl ausgebildet genannt und die Winkel  $130^{\circ}2' - 130^{\circ}13'$  als beobachtet gegeben. — 14 R würde, den Winkel  $130^{\circ}28'$  erfordern. — 14 R. ist eine bekannte Form, die in die ganze Reihe passt, während — 13 R nicht in wichtigen Verbänden liegt. Sollte nicht auch hier — 14 R vorliegen? Es wurde — 13 R als noch der Bestätigung bedürftig angesehen.
- $\frac{7}{6}R$   $4^{\circ}$ . „Das Skalenoeder hat rauhe Flächen (S. 572), aber in der Nähe der negativen Ränder besser ausgebildet.“ Die Form liegt ausser allem Verband, und es wurde bei der immerhin mangelhaften Ausbildung der Flächen das Symbol nicht als sicher angesehen.
- $\frac{1}{4}R$  15. Sansoni bezeichnet (S. 557) die Flächen als gekrümmt und klein. S. 559 als kaum messbar; danach ist das complicirte Symbol nicht als gesichert anzusehen.
- $\frac{5}{3}R$   $1^{\circ}$ . Die Flächen dieser Form (S. 564) sind schmal und etwas gekrümmt, auch differiren die beobachteten Winkel bedeutend. Danach ist die Form nicht als genügend sicher gestellt anzusehen.
- 10 R  $\frac{5}{3}$ . (S. 553.) Die Winkelwerthe schwanken bedeutend, und betrachtet Sansoni selbst das Zeichen nur als wahrscheinlich.
- 15 R  $\frac{1}{4}$ . (S. 561.) Flächen etwas abgerundet. Auch die Winkelwerthe nicht unbedeutend differirend. Danach ist das Zeichen dieser Form unsicher.
- $\frac{5}{6}R$   $\frac{2}{3}$ . (S. 572.) Flächen gekrümmt und die Winkel nicht soweit übereinstimmend, dass das Symbol als gesichert gelten könnte.

Correcturen.

Descr.									
	1838	1 S. 29 Z. 14	vu lies	$d^{\frac{1}{2}} d^{\frac{1}{2}} b^{\frac{1}{2}}$	statt	$d^{\frac{1}{2}} d^{\frac{1}{2}} d^{\frac{1}{2}}$			
"	"	Atlas Taf. 2 Fig. 23, 24	" i =	$d^{\frac{1}{2}} d^{\frac{1}{2}} b^{\frac{1}{2}}$	"	$d^{\frac{1}{2}} d^{\frac{1}{2}} b^{\frac{1}{2}}$			
"	"	1 S. 48 Z. 2	vo "	Fig. 54	"	Fig. 53			
"	"	" " " 9	" "	Fig. 55	"	Fig. 54			
"	"	" " 66	10 vu	$e^{\frac{2}{3}}$	"	$e^{\frac{2}{3}}$			
"	"	" " 46	11 vo	$e^{\frac{2}{3}}$	"	$e^{\frac{2}{3}}$			
"	"	Atlas Taf. 9 Fig. 134	oben	$a^7$	"	$a^1$	1)		
"	"	" " " "	unten u. r.	$a^7$	"	$a^3$	1)		
"	"	1 S. 76 Z. 8	vu	zuzufügen $a^7$					
Zippe	Min.	1839 2 (2) "	94 " 5 vo	lies $(\frac{2}{3} P - 1)^3$	statt	$(\frac{2}{3} P - 2)^3$			
	Wien. Denkschr.	1852 3 Sep. 20	der Tab. Col. 1	" $(\frac{2}{3} P - 1)^3$	"	$(\frac{2}{3} P - 1)^3$			
"	"	" " 21	" 4 "	$e_3$	"	$e^5$			
"	"	" " 2	" 2 "	$6 R^1$	"	$6 R$			
"	"	" " 4	" 6 "	$FA \frac{1}{2} \frac{1}{8}$	"	$HA \frac{1}{2} \frac{1}{8}$			
"	"	" " 5	" 1 "	$\frac{1}{2} R - 1$	"	$\frac{1}{2} R - R$			
"	"	" " 6	" 1 "	$-\frac{1}{2} R + 1$	"	$\frac{1}{2} R + 1$			
"	"	" " 6	" 2 "	$\frac{2}{3} R$	"	$\frac{2}{3} R^1$			
"	"	" " 6	" 4 "	$\frac{2}{3} c : a : a : \infty a$	"	$\frac{2}{3} c : a' : a' : \infty a$			
"	"	" " 6	" 2 "	$\frac{2}{3} R^1$	"	$\frac{2}{3} R$			
"	"	" " 11	" 1 "	$\frac{2}{3} R$	"	$\frac{2}{3} R^1$			
"	"	" " 11	" 1 "	$\frac{2}{3} R^1$	"	$\frac{2}{3} B^1$			
"	"	" " 13	" 2 "	$\frac{1}{2} S' \frac{1}{2}$	"	$\frac{1}{2} S' \frac{1}{2}$			
"	"	" " 16	" 2 "	$S^7$	"	$S^9$			
"	"	" " 18	" 1 "	$(\frac{2}{3} P + 1)^{\frac{2}{3}}$	"	$(\frac{2}{3} P + 1)^{\frac{2}{3}}$			
"	"	" " 18	" 2 "	$\frac{2}{3} S' \frac{2}{3}$	"	$\frac{2}{3} S' \frac{2}{3}$			
"	"	" " 18	" 3 "	$d^{\frac{1}{2}} d^{\frac{1}{2}} b^{\frac{1}{2}}$	"	$d^{\frac{1}{2}} d^{\frac{1}{2}} d^{\frac{1}{2}}$			
"	"	" " 19	" 1 "	$(\frac{2}{3} P + 1)^{\frac{2}{3}}$	"	$(\frac{2}{3} P + 1)^{\frac{2}{3}}$			
"	"	" " 19	" 2 "	$\frac{2}{3} S' \frac{2}{3}$	"	$\frac{2}{3} S' \frac{2}{3}$			
"	"	" " 19	" 1 "	$(\frac{2}{3} P + 2)^2$	"	$(\frac{2}{3} P + 2)^{\frac{2}{3}}$			
"	"	" " 21	" 4 "	$e^{\frac{2}{3}}$	"	$e^{\frac{2}{3}}$			
"	"	" " 27	" 5 "	$\frac{2}{3} c$	"	$\frac{1}{2} a$			
"	"	" " 27	" 5 "	$a : \frac{1}{2} a : a$	"	$a' : \frac{1}{2} a' : a$			
"	"	" " 27	" 5 "	$3 c$	"	$4 c$			
"	"	" " 24	" 1 "	$\frac{1}{2} S' \frac{1}{2}$	"	$\frac{1}{2} S' \frac{1}{2}$			
"	"	" " 24	" 1 "	$\frac{1}{2} S' \frac{1}{2}$	"	$\frac{1}{2} S' \frac{1}{2}$			
"	"	" " 1	" 6 ist:	$HA \frac{1}{2}$ zu löschen					
"	"	" " 12	" 1 lies	$16 R$	statt	$16 R^1$			
"	"	" " 20	" 6 }	$FA \frac{2}{3} \cdot GK \frac{1}{2}$	"	$AH \frac{5}{2} \cdot GK \frac{1}{2}$			
mann	Handb.	1847 2 (2) S. 1259 Z. 18	vo	" $(FA \frac{1}{2} \cdot KG \frac{1}{2}) = 104^\circ 38'$ ; $144^\circ 24'$ ; $132^\circ 59'$ zu löschen.					
"	"	" " " " 18 u. 17	vu	$(FA \frac{1}{2} \cdot KG \frac{1}{2}) = 104^\circ 38'$ ; $144^\circ 24'$ ; $132^\circ 59'$ zu löschen.					
	Quadro	1856 — " 65	" 4 vu	lies $-\frac{2}{3} R^3$	statt	$\frac{2}{3} R^3$			
J. D.	System	1873 — " 673	" 1 "	" $-\frac{1}{2} \frac{1}{2}$	"	$\frac{1}{2} \frac{1}{2}$			
"	"	" — " 674	" 16 "	" $-\frac{2}{3} \frac{2}{3}$	"	$\frac{2}{3} \frac{2}{3}$			

1) Vgl. Irby, Dissert. S. 31.

Correcturen. (Fortsetzung von S. 389.)

<i>Irby</i>	<i>Cryst. of Calcite</i>	1878	— S. 32 Z. 3,4	vo die Worte „According to Zippe.
				bis . . . . (111) <sup>2</sup> zu streichen.
			30 „ 6 „	die Worte „According to Ham
				in a comb. (551) (211) (111) <sup>2</sup> sind
			41 „ 18 vo	lies $\frac{1}{2} R^5$ statt $-\frac{1}{2} R$
			41 „ 2 vu	„ $21 \cdot 3 \cdot 11$ „ $21 \cdot 3 \cdot 1$
			42 „ 14 vo	„ $11 \cdot 3 \cdot 5$ „ $11 \cdot 3 \cdot 1$
			49 „ 2 vu	„ $11 \cdot 3 \cdot 5$ „ $11 \cdot 3 \cdot 1$
			40 „ 12 vo	„ $-\frac{2}{3} R \frac{1}{2}$ „ $-\frac{1}{3} R$
			41 „ 15 vu	„ $-\frac{1}{3} R \frac{1}{2}$ „ $-\frac{1}{3} R$
			49 „ 15 „	„ $-\frac{1}{3} R \frac{1}{2}$ „ $-\frac{1}{3} R$
			39 „ 11 „	„ $41 R$ „ $41 R$
			51 „ 9 „	„ $-16 R$ „ $16 R$
			51 „ 8 „	„ $-25 R$ „ $25 R$
			53 „ 8 vo	„ $-\frac{1}{4} R \frac{1}{2}$ „ $\frac{1}{4} R$
			54 „ 7 „	„ $\frac{1}{2} R \frac{1}{2}$ „ $\frac{1}{2} R \frac{1}{2}$
			56 „ 1 vu	„ $(d^{10} d^{14} b^{19})$ „ $(d^{10} d^{14})$
			51 „ 2 „	„ $\frac{1}{2} R \frac{1}{2}$ „ $\frac{1}{2} R$
			51 „ 1 „	„ $\frac{1}{2} R \frac{1}{2}$ „ $\frac{1}{2} R$
			46 „ 2 „	„ $66 \cdot 29 \cdot 16$ „ $61 \cdot 29$
			48 „ 13 vo	„ $66 \cdot 29 \cdot 16$ „ $61 \cdot 29$
			47 „ 7 „	„ $54 \cdot 30 \cdot 40$ „ $52 \cdot 30$
			49 „ 5 vu	„ $54 \cdot 30 \cdot 40$ „ $52 \cdot 30$
			63 „ 17 „	„ $-\frac{2}{3} R \frac{1}{2}$ „ $-\frac{2}{3} R$
			53 „ 4 vo	„ $10 R \frac{1}{2}$ „ $10 R$
			53 „ 2 vu	„ $61 \cdot 1 \cdot 27$ „ $61 \cdot 1$
			23 „ 14 „	„ einmal (111) „ 211
	(Referat) <i>Zeitschr. Kryst.</i>	1879	3 Calcit S. 614 Z. 23,24	vo „nach Zippe... (bis).
				zu streichen.
			618 „ 23 vo	lies $-\frac{2}{3} R \frac{1}{2}$ ( $6 \cdot 11 \cdot 17$ )
				statt $-\frac{2}{3} R \frac{1}{2}$ ( $6 \cdot 11$ )
			622 „ 27 „	„ $18 \cdot 49 \cdot 67 \cdot 20$ statt $18 \cdot 4$
			27 „ „	„ $\frac{2}{3} R \frac{1}{2}$ „ $\frac{2}{3} R$
			623 „ 14 vo	„ $-16 R$ „ $16$
			15 „ „	„ $-25 R$ „ $25$
			18 „ „	„ $\frac{1}{4} R \frac{1}{2}$ „ $\frac{1}{4} R$
			18 „ „	„ $\frac{2}{3} R \frac{1}{2}$ „ $\frac{2}{3} R$
			18 vu	„ $10 R \frac{1}{2}$ „ $10$
			17 „ „	„ $\frac{1}{2} R \frac{1}{2}$ „ $\frac{1}{2} R$
			15 „ „	„ $\frac{1}{3} R \frac{1}{2}$ „ $\frac{1}{3} R$
			8 „ „	„ $\frac{1}{3} R \frac{1}{2}$ „ $\frac{1}{3} R$
			624 „ 17 vo	„ $d^{10} d^{14} b^{19}$ „ $d^{10} d^{14}$
			23 „	„ zu vereinigen mit S. 62
			621 „ 18 „	„ $18$ „ $18$
			1 vu	„ $1$ vu
			23 vo	„ $66 \cdot 29 \cdot 16$ statt $61$
			622 „ 17 vu	„ $54 \cdot 30 \cdot 40$ „ $52$
Hare		1880	4 S. 299 Z. 18 u. flg.	lies $-17 R$ ( $0 \cdot 17 \cdot 17 \cdot 1$ )
				statt $-16 R$ ( $0 \cdot 16 \cdot 16 \cdot 1$ )
Sansoni		1885	10 „ 560 „ 18 vu	lies $\frac{1}{3} R \frac{1}{2}$ statt $\frac{1}{3} R \frac{1}{2}$ .

1) Vgl. Zeitschr. Kryst. 1881. 5. 666.



Caledonit.

1.

Monoklin.

Axenverhältnisse.

$a : b : c = 1.0894 : 1 : 1.5771$   $\beta = 90^{\circ}42$  (Schrauf. Gdt.)

Rhombisch:  $[a : b : c = 0.9163 : 1 : 1.403]$  (Hausmann. Miller. Dana. Groth.)

"  $\{a : b : c = 0.7126 : 1 : 0.6530\}$  (Mohs. Haidinger. Hessenberg.)

Elemente.

$= 1.0894$	$\lg a = 003719$	$\lg a_0 = 983933$	$\lg p_0 = 016067$	$a_0 = 0.6908$	$p_0 = 1.4477$
$= 1.5771$	$\lg c = 019786$	$\lg b_0 = 980214$	$\lg q_0 = 019783$	$b_0 = 0.6341$	$q_0 = 1.5770$
$= \left. \begin{matrix} 80 - \beta \\ 90^{\circ}42 \end{matrix} \right\}$	$\lg h = \left. \begin{matrix} \\ \lg \sin \mu \end{matrix} \right\} 999997$	$\lg e = \left. \begin{matrix} \\ \lg \cos \mu \end{matrix} \right\} 808696$	$\lg \frac{p_0}{q_0} = 996284$	$h = 0.9999$	$e = 0.0122$

Transformation.

Mohs. Haidinger. Hessenberg.	Hausmann. Miller. Dana. Groth.	Schrauf. Gdt.
$p\ q$	$\frac{1}{q} \frac{p}{q}$	$\pm \frac{p}{q} \frac{1}{q}$
$\frac{q}{p} \frac{1}{p}$	$p\ q$	$\pm q\ p$
$\frac{p}{q} \frac{1}{q}$	$q\ p$	$p\ q$

No.	Gdt.	Miller. Greg. Schrauf.	Brooke. Haus- mann.	Miller.	Naumann.	[Haus- mann.]	[Mohs.] [Zippe.]	Gdt.
1	c	c	P	001	o P	A	$P_r + \infty$	o
2	b	b	—	010	$\infty P \infty$	—	—	$o \infty$
3	a	a	h	100	$\infty P \infty$	B	$P_r + \infty$	$\infty o$
4	m	m	M	110	$\infty P$	E	$P_r$	$\infty$
5	d	—	$a^1$	011	$P \infty$	—	—	o 1
6	x	x	$a^2$	021	$2 P \infty$	$B' A \frac{1}{2}$	$P_r - 1$	o 2
7	e	e	c	101	$— P \infty$	D	$P + \infty$	$+ 1 o$
8	f	f	—	102	$— \frac{1}{2} P \infty$	—	—	$+ \frac{1}{2} o$
9	i	i	—	105	$— \frac{1}{3} P \infty$	—	—	$+ \frac{1}{3} o$

(Fortsetzung S. 393.)

Literatur.

Brooke	[Thomson Ann. Phil.]	1822	4	117]	}
"	Schweigg. Journ.	1826	36	301	
Hartmann	Handwb.	1828	—	74	
Mohs-Zippe	Min.	1839	2	154	
Hausmann	Handb.	1847	2	(2) 1217	
Miller	Min.	1852	—	561	
Greg u. Lettsom	Man.	1858	—	403	
Hessenberg	Senck. Abh.	1870	7	304 (Min. Not. 1870. 9. 48)	
Schrauf	Wien. Sitzb.	1871	64	(1) 179	
"	Atlas	1873	—	Taf. XL	
<b>Dana, J. D.</b>	<b>System</b>	<b>1873</b>	<b>—</b>	<b>625.</b>	

*Bemerkungen* }  
*Correcturen* } s. Seite 394.

## 2.

No.	Gdt.	Miller. Greg. Schrauf.	Brooke. Haus- mann.	Miller.	Naumann.	[Haus- mann.]	[Mohs.] [Zippe.]	Gdt.
10	k	k	—	106	$-\frac{1}{6}P_{\infty}$	—	—	$+\frac{1}{6}0$
11	g	g	—	108	$-\frac{1}{3}P_{\infty}$	—	—	$+\frac{1}{3}0$
12	h	h	—	10-16	$-\frac{1}{6}P_{\infty}$	—	—	$+\frac{1}{6}0$
13	H	H	—	10-24	$-\frac{1}{24}P_{\infty}$	—	—	$+\frac{1}{24}0$
14	$\chi$	$\chi$	—	10-20	$+\frac{1}{20}P_{\infty}$	—	—	$-\frac{1}{20}0$
15	$\omega$	—	—	10-12	$+\frac{1}{12}P_{\infty}$	—	—	$-\frac{1}{12}0$
16	$\gamma$	$\gamma$	—	10-10	$+\frac{1}{10}P_{\infty}$	—	—	$-\frac{1}{10}0$
17	$\psi$	$\psi$	—	103	$+\frac{1}{3}P_{\infty}$	—	—	$-\frac{1}{3}0$
18	$\varphi$	$\varphi$	—	102	$+\frac{1}{2}P_{\infty}$	—	—	$-\frac{1}{2}0$
19	$\eta$	$\eta$	c	101	$+P_{\infty}$	D	$P + \infty$	-10
20	$\delta$	$\delta$	—	201	$+2P_{\infty}$	—	—	-20
21	t	t	$e^3 c^3$	221	$-2P$	—	—	+2
22	r	r	$e^2 c^2$	111	$-P$	P	—	+1
23	s	s	$e^1 c^1$	223	$-\frac{2}{3}P$	$AE\frac{2}{3}$	—	$+\frac{2}{3}$
24	$\Sigma$	$\Sigma$	—	335	$+\frac{2}{3}P$	—	—	$-\frac{2}{3}$
25	$\sigma$	$\sigma$	$e^1 c^1$	223	$+\frac{2}{3}P$	$AE\frac{2}{3}$	—	$-\frac{2}{3}$
26	$\rho$	$\rho$	$e^2 c^2$	111	$+P$	P	—	-1
27	$\tau$	$\tau$	$e^3 c^3$	221	$+2P$	—	—	-2
28	l	—	—	212	$+P_2$	—	—	$-1\frac{1}{2}$

Bemerkungen.

Statt des von Mohs-Zippe (Min. 1839. 2. 154) gegebenen Symbols  $\check{P}r$  ist zu setzen  $\check{P}r-1$ , damit Uebereinstimmung werde zwischen Winkel und Symbol, sowie mit den andern Autoren. Es gilt dann die Transformation:

$$pq \text{ (Mohs-Zippe)} = \frac{1}{q} \frac{p}{q} \text{ (Hausmann).}$$

Auch kann Uebereinstimmung erzielt werden durch die Correctur:

$$\check{P}r+1 \text{ statt } \check{P}r$$

dann würde die Transformation gelten:

$$pq \text{ (Mohs-Zippe)} = \frac{2}{p} \frac{q}{p} \text{ (Hausmann).}$$

Hausmann giebt nach Brooke die Buchstaben  $c^1 c^2 c^3$ . Hessenberg nach denselben  $e^1 e^2 e^3$ . Die Originalarbeit war mir nicht zugänglich und in dem Auszug (Schweiz. Journ.) treten die genannten Buchstaben nicht auf. Die Frage, welche Buchstaben Brooke gegeben habe, ist nicht wichtig, da eine Verwechslung nicht möglich ist.

Correcturen.

Mohs-Zippe	Min.	1839	2	Seite	154	Zeile	6	wo	lies	$\check{P}r-1$	statt	$\check{P}r$
Miller	Min.	1852	—	"	561	"	1	vu	"	95°0	"	85°0.

Carnallit.

Rhombisch.

Axenverhältnisse.

$a : b : c = 0.5968 : 1 : 0.3891$  (Des Cloizeaux. Groth. Gdt.)

$[a : b : c = 0.5936 : 1 : 0.6940]$  (Hessenberg.)

Elemente.

$= 0.5968$	$\lg a = 977583$	$\lg a_0 = 963310$	$\lg p_0 = 036690$	$a_0 = 0.4296$	$p_0 = 2.3276$
$= 1.3891$	$\lg c = 014273$	$\lg b_0 = 985727$	$\lg q_0 = 014273$	$b_0 = 0.7199$	$q_0 = 1.3891$

Transformation.

Hessenberg.	Groth. Descloizeaux. Gdt.
$p\ q$	$\frac{p}{2}\ \frac{q}{2}$
$2\ p\ 2\ q$	$p\ q$

No.	Hessenberg. Gdt.	Miller.	Naumann.	Descloiz.	Gdt.
1	c	001	o P	p	o
2	a	010	$\infty \check{P} \infty$	$g^1$	$o \infty$
3	m	110	$\infty P$	m	$\infty$
4	d	023	$\frac{2}{3} \check{P} \infty$	$e^{\frac{2}{3}}$	$o \frac{2}{3}$
5	e	011	$\check{P} \infty$	$e^1$	o 1
6	f	021	$2 \check{P} \infty$	$e^{\frac{1}{2}}$	o 2
7	i	101	$\check{P} \infty$	—	1 o
8	s	113	$\frac{1}{3} P$	$b^{\frac{2}{3}}$	$\frac{1}{3}$
9	o	112	$\frac{1}{2} P$	$b^1$	$\frac{1}{2}$
10	k	111	P	$b^{\frac{1}{2}}$	1

Literatur.

<i>Hessenberg.</i>	<i>Smek. Abb.</i>	1866	6	12
<i>Des Cloizeaux</i>	<i>Nouv. rech.</i>	1867	—	46
<i>Groth</i>	<i>Strassb. Samml.</i>	1878	—	19
"	<i>Tab. Ueberr.</i>	1882	—	41.



**Carollit.**

**Regulär.**

No.	Gdt.	Miller.	Naumann.	G <sub>1</sub>	G <sub>2</sub>	G <sub>3</sub>
1	p	111	O	1	1	1

Literatur.

Faber *Amer. Journ.* 1852 (2) 13 418  
Dana, J. D. *System* 1873 — 69

---

**Cerit.****Rhombisch.****Axenverhältnisse.**

$a : b : c = 0.9988 : 1 : 0.8127$  (Nordenskjöld, Des Cloiseaux, Schrauf.)

**Elemente.**

0.9988	$\lg a = 999948$	$\lg a_0 = 008955$	$\lg p_0 = 991045$	$a_0 = 1.2290$	$p_0 = 0.8137$
0.8127	$\lg c = 990993$	$\lg b_0 = 009007$	$\lg q_0 = 990993$	$b_0 = 1.2305$	$q_0 = 0.8127$

No.	Nordsk. Schrauf. Gdt.	Miller.	Naumann.	Des Cloiseaux.	Gdt.
1	c	001	oP	p	o
2	a	010	$\infty \bar{P} \infty$	$g^1$	$0 \infty$
3	b	100	$\infty \bar{P} \infty$	$h^1$	$\infty 0$
4	p	110	$\infty P$	m	$\infty$
5	q	130	$\infty \bar{P} 3$	$g^2$	$\infty 3$
6	n	011	$\bar{P} \infty$	$e^1$	0 1
7	m	101	$\bar{P} \infty$	$a^1$	1 0
8	t	301	$3 \bar{P} \infty$	$a^{\frac{1}{3}}$	3 0
9	r	321	$3 \bar{P} \frac{3}{2}$	r	3 2
10	s	134	$\frac{3}{2} \bar{P} 3$	—	$\frac{1}{2} \frac{3}{2}$
11	o	523	$\frac{3}{2} \bar{P} \frac{3}{2}$	—	$\frac{3}{2} \frac{3}{2}$

Literatur.

Nordenskjöld *Stockh. Vet. Ak. Förel.* 1873 80 13  
*Des Cloiseaux Manuel* 1874 2 XXI  
*Schrauf Atlas* 1877 — Taf. XII

# Cerussit.

1.

## Rhombisch.

### Axenverhältniss.

$$a : b : c = 0.8437 : 1 : 1.3827 \text{ (Gdt.)}$$

$$[a : b : c = 0.6102 : 1 : 0.7232] \text{ (Hausmann. Kokscharow. Miller. Dana. Des Cloizeaux. Groth. Liweh.)}$$

$$\{a : b : c = 0.7231 : 1 : 0.6101\} \text{ (Mohs. Zippe.)}$$

$$(a : b : c = 0.6102 : 1 : 0.3616) \text{ (Schrauf.)}$$

$$[(a : b : c = 0.6108 : 1 : 1.453)] \text{ (Lévy.)}$$

### Elemente.

= 0.8437	lg a = 992619	lg a <sub>0</sub> = 978546	lg p <sub>0</sub> = 021454	a <sub>0</sub> = 0.6102	p <sub>0</sub> = 1.6388
= 1.3827	lg c = 014073	lg b <sub>0</sub> = 985927	lg q <sub>0</sub> = 014073	b <sub>0</sub> = 0.7232	q <sub>0</sub> = 1.3827

### Transformation.

Lévy.	Hausmann. Miller. Dana. Descloizeaux. Kokscharow. Groth. Liweh.	Mohs-Zippe.	Schrauf.	Gdt.
pq	2p · 2q	$\frac{1}{2p} \frac{q}{p}$	4p · 4q	$\frac{p}{q} \frac{1}{2q}$
$\frac{p}{2} \frac{q}{2}$	pq	$\frac{1}{p} \frac{q}{p}$	2p · 2q	$\frac{p}{q} \frac{1}{q}$
$\frac{1}{2p} \frac{q}{2p}$	$\frac{1}{p} \frac{q}{p}$	pq	$\frac{2}{p} \frac{2q}{p}$	$\frac{1}{q} \frac{p}{q}$
$\frac{p}{4} \frac{q}{4}$	$\frac{p}{2} \frac{q}{2}$	$\frac{2}{p} \frac{q}{p}$	pq	$\frac{p}{q} \frac{2}{q}$
$\frac{p}{2q} \frac{1}{2q}$	$\frac{p}{q} \frac{1}{q}$	$\frac{q}{p} \frac{1}{p}$	$\frac{2p}{q} \frac{2}{q}$	pq

Miller. Kokscharow. Schmidt. Mügge. Laug. Seligmann. Liweh.	Hauy. Hausm. Mohs. Hartmann Rose.	Schrauf. Zephar.	Miller.	Naumann.	[Hausm.]	[Mohs-Zippe.]	[Hauy.]	[Lévy.]	[Desc.]	Gdt.
b	l	a	001	oP	B	$\bar{P}r + \infty$	'J'	g <sup>1</sup>	g <sup>1</sup>	o
c	kh	c	010	$\infty \bar{P} \infty$	A	$\bar{P}r + \infty$	$\bar{B}$	p	p	o $\infty$
a	g	b	100	$\infty \bar{P} \infty$	B'	P — $\infty$	'E'	h <sup>1</sup>	h <sup>1</sup>	$\infty o$

(Fortsetzung S. 403.)

Schmidt, Index.

Literatur.

Hauy	Traité Min.	1822	3	365
Mohs	Grundr.	1824	2	149
Hartmann	Handb.	1828	—	67
Lévy	Descr.	1838	2	429
Mohs-Zippe	Min.	1839	2	137
Hausmann	Handb.	1847	2	(2) 1223
Rose, G.	Pogg. Ann.	1849	76	291
Miller	Min.	1852	—	565
Schrauf	Wien. Sitzb.	1860	29	912
Kokscharow	Mat. Min. Russl.	1870	6	100 u. 118
"	"	1875	7	156 (Lang)
Schrauf	Min. Mith.	1873	3	203
Dana, J. D.	System	1873	—	700
Lang	Verh. Min. Ges. Petersb.	1874(2)	9	152 (Ref. Kokscharow Mat. Min. R.)
Des Cloiseaux	Mamel	1874	2	153
Schrauf	Atlas	1877	—	Taf. XLI—XLIII
Grödenck	Zeitschr. Kryst.	1879	3	324
Schigmann	Jahrb. Min.	1880	—	137
"	Zeitschr. Kryst.	1882	6	102
Zepharovich	"	1881	5	269 (Bleiberg) Lotos 1878
Schmidt, A.	"	1882	6	545 (Telekes Zus. Stellung)
Miers	"	1882	6	598 (Lacroix)
Mügge	Jahrb. Min.	1882	2	39
"	Zeitschr. Kryst.	1884	8	544
Liweh	"	1884	9	512.

Bemerkungen }  
 Correcturen } siehe S. 404 u. 406.



2.

Miller. Kokcharow. Schmidt. Mügge. Lang. Seligmann. Liweh.	Hauy. Hausm. Mohs. Hartmann. Rose.	Schrauf. Zephar.	Miller.	Naumann.	[Hausm.]	[Mohs-Zippe.]	[Hauy.]	[Lévy.]	[Descl.]	Gdt.
l	—	L	210	$\infty \bar{P} 2$	—	—	—	—	—	$2 \infty$
$\pi$	—	—	320	$\infty \bar{P} \frac{3}{2}$	—	—	—	—	—	$\frac{3}{2} \infty$
e	—	e	110	$\infty P$	—	—	—	—	—	$\infty$
y	y	y	120	$\infty \bar{P} 2$	$AB' 2$	$\bar{P} r + 1$	—	$a^4$	$a^2$	$\infty 2$
d	—	d	130	$\infty \bar{P} 3$	—	—	—	$a^6$	$a^3$	$\infty 3$
a	—	—	150	$\infty \bar{P} 5$	—	—	—	—	—	$\infty 5$
h	—	—	0·1·14	$\frac{1}{4} \bar{P} \infty$	—	—	—	—	—	$0 \frac{1}{4}$
g	—	—	0·1·10	$\frac{1}{10} \bar{P} \infty$	—	—	—	—	—	$0 \frac{1}{10}$
n	—	—	019	$\frac{1}{9} \bar{P} \infty$	—	—	—	—	—	$0 \frac{1}{9}$
$\zeta$	—	—	018	$\frac{1}{8} \bar{P} \infty$	—	—	—	—	—	$0 \frac{1}{8}$
u	—	u	017	$\frac{1}{7} \bar{P} \infty$	—	—	—	—	$e^{\frac{1}{7}}$	$0 \frac{1}{7}$
t	—	t	016	$\frac{1}{6} \bar{P} \infty$	—	—	—	—	$e^{\frac{1}{6}}$	$0 \frac{1}{6}$
n	—	n	015	$\frac{1}{5} \bar{P} \infty$	—	—	—	—	$e^{\frac{1}{5}}$	$0 \frac{1}{5}$
z	z	z	014	$\frac{1}{4} \bar{P} \infty$	$BA \frac{1}{4}$	$(\bar{P} + \infty)^4$	$\frac{1}{4} J$	—	$e^{\frac{1}{4}}$	$0 \frac{1}{4}$
v	x	v	013	$\frac{1}{3} \bar{P} \infty$	$BA \frac{1}{3}$	$(\bar{P} + \infty)^3$	—	—	$e^{\frac{1}{3}}$	$0 \frac{1}{3}$
i	u	i	012	$\frac{1}{2} \bar{P} \infty$	$BA \frac{1}{2}$	$(\bar{P} r + \infty)^2 = (\bar{P} + \infty)^2$	$\frac{3}{2} J$	$e^1$	$e^{\frac{1}{2}}$	$0 \frac{1}{2}$
f	—	—	067	$\frac{6}{7} \bar{P} \infty$	—	—	—	—	—	$0 \frac{6}{7}$
e	—	—	078	$\frac{7}{8} \bar{P} \infty$	—	—	—	—	—	$0 \frac{7}{8}$
k	P	k	011	$\bar{P} \infty$	D	$P + \infty$	P	$e^2$	$e^1$	0 1
q	—	q	032	$\frac{3}{2} \bar{P} \infty$	—	—	—	—	$e^{\frac{3}{2}}$	$0 \frac{3}{2}$
x	s	x	021	$2 \bar{P} \infty$	$AB 2$	$(\bar{P} r + \infty)^2 = (\bar{P} + \infty)^2$	$\frac{2}{3} B$	$e^4$	$e^2$	0 2
$\gamma$	—	$\gamma$	031	$3 \bar{P} \infty$	—	—	—	—	—	0 3
c	—	—	061	$6 \bar{P} \infty$	—	—	—	—	—	0 6
l'	—	—	108	$\frac{1}{8} \bar{P} \infty$	—	—	—	—	—	$\frac{1}{8} 0$
r	e	r	103	$\frac{1}{3} \bar{P} \infty$	$BB' 3$	$\frac{3}{4} \bar{P} r + 2$	$2 J^2$	$g^2$	$g^2$	$\frac{1}{3} 0$
$\chi$	—	—	102	$\frac{1}{2} \bar{P} \infty$	—	—	—	—	—	$\frac{1}{2} 0$
$\nabla$	—	—	305	$\frac{3}{5} \bar{P} \infty$	—	—	—	—	$g^4$	$\frac{3}{5} 0$
m	M	m	101	$\bar{P} \infty$	E	$\bar{P} r$	M	m	m	1 0
f	—	f	503	$\frac{5}{3} \bar{P} \infty$	—	$\frac{5}{3} \bar{P} r$	—	—	$h^4$	$\frac{5}{3} 0$
$\varphi$	—	$\varphi$	113	$\frac{1}{3} P$	—	—	—	—	—	$\frac{1}{3}$
s	v	s	112	$\frac{1}{2} P$	$BD' 2$	$(\bar{P} r)^3 = (\bar{P})^2$	—	$b^1 b^{\frac{1}{3}} g^{\frac{1}{3}}$	$e_3$	$\frac{1}{2}$
p	t	p	111	P	P	P	—	$b^1$	$b^{\frac{1}{2}}$	1
u	—	—	332	$\frac{3}{2} P$	—	—	—	—	—	$\frac{3}{2}$
$\theta$	—	—	331	3 P	—	—	—	—	—	3
$\eta$	—	—	14·1·14	$\bar{P} 14$	—	—	—	—	—	$1 \frac{1}{14}$
$\varepsilon$	—	$\varepsilon$	313	$\bar{P} 3$	—	—	—	—	—	$1 \frac{1}{3}$

(Fortsetzung S. 405.)

Bemerkungen.

Liweh hat bei seiner Angabe, dass vom Cerussit 49 Formen bekannt seien (Zeitschr. Kryst. 1884. 9. 522), die Arbeit von Mügge (Jahrb. Min. 1882. 2. 39, Zeitschr. Kryst. 1884. 8. 544) mit 9 neuen Formen übersehen.

*Correcturen* siehe S. 406.

## 3.

Miller. Koksharov. Schmidt. Hägge. Lang. Seligmann. Livch.	Hauy. Hausm. Mohs. Hartm. Rose.	Schrauf. Zephar.	Miller.	Naumann.	[Hausm.]	[Mohs-Zippe.]	[Hauy.]	[Lévy.]	[Descl.]	Gdt.
$\tau$	—	$\tau$	212	$\bar{P} 2$	—	—	—	—	$b^{\frac{1}{2}}$	1 $\frac{1}{2}$
$o$	$o$	$o$	121	$2 \bar{P} 2$	AE 2	$(\bar{P}r)^3 = (\bar{P})^2$	—	$b^2$	$b^1$	1 2
$g$	—	$g$	131	$3 \bar{P} 3$	—	—	—	$b^3$	$b^{\frac{3}{2}}$	1 3
$h$	—	$h$	141	$4 \bar{P} 4$	—	—	—	—	$b^2$	1 4
$\beta$	—	$\beta$	133	$\bar{P} 3$	—	—	—	—	—	$\frac{1}{3}$ 1
$\lambda$	—	$l$	377	$\bar{P} \frac{2}{3}$	—	—	—	—	$x$	$\frac{2}{3}$ 1
$\alpha$	—	$\alpha$	122	$\bar{P} 2$	—	—	—	—	—	$\frac{1}{2}$ 1
$u$	—	—	322	$\frac{3}{2} \bar{P} \frac{3}{2}$	—	—	—	—	—	$\frac{3}{2}$ 1
$w$	$w$	$w$	211	$2 \bar{P} 2$	B'D 2	$P-1$	—	—	$a_3$	2 1
$\Delta$	—	$\Delta$	311	$3 \bar{P} 3$	—	—	—	—	—	3 1
$\mu$	—	—	342	$2 \bar{P} 3$	—	—	—	—	—	$\frac{3}{2}$ 2
$\rho$	—	$\rho$	324	$\frac{3}{2} \bar{P} \frac{3}{2}$	—	—	—	—	—	$\frac{3}{2}$ $\frac{1}{2}$
$\xi$	—	—	349	$\frac{4}{3} \bar{P} \frac{4}{3}$	—	—	—	—	—	$\frac{1}{3}$ $\frac{4}{3}$
$\psi$	—	—	143	$\frac{4}{3} \bar{P} 4$	—	—	—	—	—	$\frac{1}{3}$ $\frac{4}{3}$
$\delta$	—	$\delta$	526	$\frac{5}{6} \bar{P} \frac{5}{2}$	—	—	—	—	—	$\frac{5}{6}$ $\frac{1}{3}$
$\omega$	—	—	145	$\frac{4}{3} \bar{P} 4$	—	—	—	—	—	$\frac{1}{3}$ $\frac{4}{3}$
$\alpha$	—	—	315	$\frac{3}{2} \bar{P} 3$	—	—	—	—	—	$\frac{3}{2}$ $\frac{1}{3}$
$\eta$	—	—	325	$\frac{3}{2} \bar{P} \frac{3}{2}$	—	—	—	—	—	$\frac{3}{2}$ $\frac{2}{3}$
$\sigma$	—	—	137	$\frac{3}{2} \bar{P} 3$	—	—	—	—	—	$\frac{1}{2}$ $\frac{3}{2}$

Correcturen.

*Danz. System* 1873 — Seite 700 Zeile 16 vo lies i—j statt i—j  
*Liueh Zeitschr. Krypt.* 1884 9 „ 521 „ 15 „ „ e „ a

# Chabasit.

1.

Hexagonal-rhomboedrisch-hemiedrisch.

Axenverhältniss.

$$a : c = 1 : 1.086 \text{ (G}_2\text{.)}$$

(1)

$$a : c = 1 : 1.086 \text{ (Lévy. Des Cloizeaux. Groth.)}$$

$$" = 1 : 1.1303 \text{ (Rath. Arzruni. Phakolith.)}$$

$$" = 1 : 1.1286 \text{ (Rath. Phakolith.)}$$

$$" = 1 : 1.093 \text{ (Phillips. Mohs-Zippe. Hausmann.)}$$

Elemente.

$c = 1.086$	$\lg c = 0.03583$	$\lg a_0 = 0.20273$	$\lg p_0 = 985974$	$a_0 = 1.5949$	$p_0 = 0.7240$
		$\lg a'_0 = 996417$		$a'_0 = 0.9208$	

Transformation.

Mohs-Zippe. Hausmann. Rath. Des Cloizeaux. Groth. G <sub>1</sub>	G <sub>2</sub>
p q	(p + 2 q) (p - q)
$\frac{p+2q}{3} \quad \frac{p-q}{3}$	p q

Gdt.	Hauy. Hausm. Mohs. Hartm. Tammann.	Miller.	Rath.	Dana.	Schrauf.	Bravais.	Miller.	Naumann.	Haus- mann.	Mohs. Zippe.	Hauy. Lévy.	Descl.	G <sub>1</sub>	G <sub>2</sub>
c	—	o	c	—	c	0001	111	o R	A	—	—	a <sup>1</sup>	0	0
b	u	a	a	—	b	1120	101	∞ P 2	B	P + ∞	—	d <sup>1</sup>	∞	∞ 0
t	P	t	t	t	t	1123	210	$\frac{2}{3}$ P 2	—	—	—	b <sup>2</sup>	$\frac{1}{3}$	1 0
u	—	—	—	—	—	1122	521	P 2	D	—	—	—	$\frac{1}{2}$	$\frac{3}{2}$ 0
v	—	—	—	—	—	2243	311	$\frac{4}{3}$ P 2	BA $\frac{3}{2}$	—	—	—	$\frac{2}{3}$	2 0
w	—	—	—	—	—	4483	513	$\frac{8}{3}$ P 2	BA $\frac{3}{8}$	—	—	—	$\frac{5}{8}$	4 0

(Fortsetzung S. 409.)

Literatur.

<b>Hauy</b>	<b>Traité Min.</b>	1822	3	163
<b>Mohs</b>	<b>Grundr.</b>	1824	2	265
<b>Hartmann</b>	<b>Handb.</b>	1828	—	351
<b>Tamman</b>	<b>Inaug. Diss.</b>	1836	—	(Stuttgart)
<b>Lévy</b>	<b>Descr.</b>	1838	2	250
<b>Mohs-Zippe</b>	<b>Min.</b>	1839	2	255
<b>Hausmann</b>	<b>Handb.</b>	1847	2	(1) 780
<b>Miller</b>	<b>Min.</b>	1852	—	448
<b>Des Cloizeaux</b>	<b>Manuel</b>	1862	1	407
<b>Rath</b>	<b>Berl. Monatsb.</b>	1875	—	523
"	<b>Pogg. Ann.</b>	1876	158	387
<b>Schrauf</b>	<b>Atlas</b>	1877	—	Taf. XLIII
<b>Streng</b>	<b>Jahrb. Min.</b>	1877	—	725
"	<b>Ber. Oberhess. Ges.</b>	1877	16	74
<b>Groth</b>	<b>Strassb. Samml.</b>	1878	—	237
<b>Becke</b>	<b>Min. Petr. Mith.</b>	1880	3	391.

Chabasit.

*Bemerkungen* }  
*Correcturen* } s. Seite 410.



## 2.

Gdt.	Hauy. Hausm. Mohs. Hartm. Tammann.	Miller.	Rath.	Dana.	Schrauf.	Bravais.	Miller.	Naumann.	Haus- mann.	Mohs. Zippe.	Hauy.	Desel. Lévy.	$\theta_1$	$\theta_2$
x	—	—	—	—	—	2241	715	4 P 2	BA $\frac{1}{2}$	—	—	—	2	60
r	—	r	p	—	r	1011	100	R	P	R	P	p	+ 10	+ 1
t	—	—	—	—	—	3034	10·1·1	+ $\frac{2}{3}$ R	—	—	—	—	+ $\frac{2}{3}$ 0	+ $\frac{2}{3}$
d	—	—	—	—	—	2023	711	+ $\frac{2}{3}$ R	—	—	—	—	+ $\frac{2}{3}$ 0	+ $\frac{2}{3}$
e	n	e	—	—	e	1012	110	— $\frac{1}{2}$ R	G	R—1	B	b <sup>1</sup>	— $\frac{1}{2}$ 0	— $\frac{1}{2}$
f	—	—	r	—	—	2023	551	— $\frac{2}{3}$ R	—	—	—	—	— $\frac{2}{3}$ 0	— $\frac{2}{3}$
g	—	—	—	—	—	3032	554	— $\frac{2}{3}$ R	—	—	—	—	— $\frac{2}{3}$ 0	— $\frac{2}{3}$
s	r	s	n	—	s	2021	111	— 2 R	FA $\frac{1}{2}$	R+1	E <sup>11</sup> E	e <sup>1</sup>	— 20	— 2
h	—	—	—	—	—	9094	14·13·13	— $\frac{2}{3}$ R	—	—	—	—	— $\frac{2}{3}$ 0	— $\frac{2}{3}$
o	o	—	—	o	—	2134	310	+ $\frac{1}{2}$ R 3	GK 2	—	—	b <sup>3</sup>	+ $\frac{1}{2}$ $\frac{1}{2}$	+ 1 $\frac{1}{2}$
$\beta$	—	—	—	—	—	11·1·12·13	12·1·0	+ $\frac{1}{3}$ R $\frac{2}{3}$	—	—	—	b <sup>12</sup>	+ $\frac{1}{3}$ $\frac{1}{3}$	+ 1 $\frac{1}{3}$
i	i	—	—	—	p	12·1·13·14	13·1·0	+ $\frac{1}{4}$ R $\frac{3}{4}$	GK $\frac{7}{6}$	—	—	b <sup>13</sup>	+ $\frac{1}{4}$ $\frac{1}{4}$	+ 1 $\frac{1}{4}$

Bemerkungen.

Bereits Hausmann hat den Phakolith, Gmelinit und Levyn als Varietäten mit dem Chabasit vereinigt (Handb. 1847. 2. (1) 780—785).

---

Gewinnungen.

Müller	Mün.	1852	Seite 448 Zeile 8 zu lies 51° 26 statt 50° 45
Schönfeld	A. Atlas	1877	vor Taf. XLIII Z. 4 zu lies $\infty P_2$ statt $\infty R_2$
-	-	-	$\frac{1}{2} P_2$ - $\frac{1}{2} R_2$

Chalcomenit.

Monoklin.

Axenverhältnisse.

$a : b : c = 0.4920 : 1 : 0.7222 \quad \beta = 90^{\circ}51 \text{ (Gdt.)}$   
 $[a : b : c = 0.7222 : 1 : 0.2460 \quad \beta = 90^{\circ}51] \text{ (Des Cloizeaux, Groth.)}$

Elemente.

$a = 0.4920$	$\lg a = 0.69197$	$\lg a_0 = 0.83331$	$\lg p_0 = 0.16669$	$a_0 = 0.6813$	$p_0 = 1.4679$
$c = 0.7222$	$\lg c = 9.85866$	$\lg b_0 = 0.14134$	$\lg q_0 = 9.85861$	$b_0 = 1.3846$	$q_0 = 0.7221$
$\left. \begin{matrix} \mu = \\ 180 - \beta \end{matrix} \right\} 89^{\circ}09$	$\left. \begin{matrix} \lg h = \\ \lg \sin \mu \end{matrix} \right\} 9.99995$	$\left. \begin{matrix} \lg e = \\ \lg \cos \mu \end{matrix} \right\} 8.17128$	$\lg \frac{p_0}{q_0} = 0.30808$	$h = 0.9999$	$e = 0.0148$

Transformation.

Descloiz. Groth.	Gdt.
$p \ q$	$\frac{2}{p} \ \frac{q}{p}$
$\frac{2}{p} \ \frac{2q}{p}$	$p \ q$

No.	Gdt.	Miller.	Naumann.	[Descl.]	Gdt.
1	c	001	oP	$h^1$	o
2	a	100	$\infty P \infty$	p	$\infty o$
3	m	011	$P \infty$	m	o1
4	f	104	$-\frac{1}{2} P \infty$	$o \frac{1}{8}$	$+\frac{1}{2} o$
5	g	201	$+\frac{1}{2} P \infty$	$a^1$	$-2 o$
6	δ	112	$-\frac{1}{2} P$	δ	$+\frac{1}{2}$
7	ε	131	$-3 P 3$	ε	$+13$
8	β	161	$-6 P 6$	β	$+16$

Literatur.

<i>Des Cloiseaux u. Demour</i>	<i>Compt. rend.</i>	1881	92	837	}
"	<i>Bull. soc. min.</i>	1881	4	51	
<i>Des Cloiseaux</i>	<i>Jahrb. Min.</i>	1882	2	204	}
"	<i>Min. Mitt.</i>	1882	5	90	

Chalcomorphit.

Hexagonal-holoedrisch.

Axenverhältnisse.

$a : c = 1 : 3.2896 \text{ (G}_1\text{)}$   
(1)

$[a : c = 1 : 1.8993] \text{ (Rath. Schrauf. G}_1\text{)}$   
(10)

Elemente.

2896	$\lg c = 051714$	$\lg a_0 = 972142$ $\lg a'_0 = 948286$	$\lg p_0 = 034105$	$a_0 = 0.5265$ $a'_0 = 0.3040$	$p_0 = 2.1930$
------	------------------	---	--------------------	-----------------------------------	----------------

Transformation.

Rath. Schrauf. G <sub>1</sub>	G <sub>2</sub>
p q	(p + 2 q) (p - q)
$\frac{p + 2 q}{3} \frac{p - q}{3}$	p q

No.	Schrauf. Gdt.	Bravais.	Miller.	Naumann.	G <sub>1</sub>	G <sub>2</sub>
1	c	0001	111	o P	o	o
2	a	1010	211	∞ P	∞ o	∞
3	p	1011	100	P	1 o	1

Literatur.

Rath	Pogg. Ann.	1874	Ergänz.-Bd. 6	376.
Schrauf	Atlas	1877	Text von Taf. XLIII	



Chalcosiderit.

Triklin.

Axenverhältnisse.

$a : b : c = 0.7646 : 1 : 1.0182 \quad \alpha \beta \gamma = 107^{\circ}41'; 92^{\circ}59'; 93^{\circ}30' \text{ (Gdt.)}$   
 $[a : b : c = 1.0182 : 1 : 0.7646 \quad \alpha \beta \gamma = 93^{\circ}30'; 92^{\circ}59'; 107^{\circ}41' \text{ (Maskelyne.)}]$

Elemente der Linear-Projection.

a = 0.7646	a <sub>0</sub> = 0.7509	α = 107°41'	x'₀ = -0.3038	d' = -0.312
b = 1	b₀ = 0.9821	β = 92°59'	y'₀ = -0.0707	δ' = 13°06'
c = 1.0182	c₀ = 1	γ = 93°30'	k = 0.9501	

Elemente der Polar-Projection.

p₀ = 1.2711	λ = 72°03'	x₀ = 0.0495	d = 0.312
q₀ = 1.0187	μ = 85°44'	y₀ = 0.3081	δ = 9°08'
r₀ = 1	ν = 85°22'	h = 0.9501	

Transformation.

Maskelyne.	Gdt.
p q	$\frac{1}{p} \frac{q}{p}$
$\frac{1}{p} \frac{q}{p}$	p q

No.	Maskel. Gdt.	Miller.	Naumann.	Gdt.
1	a	001	o P	o
2	b	010	∞ P̄ ∞	o ∞
3	m	011	P̄ ∞	o 1
4	n	011	P̄ ∞	o 1
5	g	021	2 P̄ ∞	o 2
6	π	052	$\frac{5}{2}$ P̄ ∞	o $\frac{5}{2}$
7	μ	072	$\frac{7}{2}$ P̄ ∞	o $\frac{7}{2}$
8	d	051	5 P̄ ∞	o 5
9	u	101	P̄ ∞	1 o
10	k	101	P̄ ∞	1 o

Literatur.

Maskelyne Journ. Chem. Soc. 1875 July.

Childrenit.

Rhombisch.

Axenverhältnisse.

a : b : c = 0.5254 : 1 : 0.7776 (Gdt.)

[a : b : c = 0.7776 : 1 : 0.5254] (E. S. Dana's Aufst. entsprechend.)

(a : b : c = 0.6757 : 1 : 0.6430) (Miller. J. D. Dana. Schrauf.)  
( " = 0.6748 : 1 : 0.6592) (Cooke für Hebron.)  
( " = 0.6676 : 1 : 0.6469) (Cooke für Tavistock.)  
( " = 0.671 : 1 : 0.639 ) (Haidinger. Mohs-Zippe. Hausmann.)  
{ " = 0.9523 : 1 : 1.422 } (Lévy.)

Elemente.

a = 0.5254	lg a = 972049	lg a <sub>0</sub> = 982973	lg p <sub>0</sub> = 017027	a <sub>0</sub> = 0.6757	p <sub>0</sub> = 1.480
c = 0.7776	lg c = 989076	lg b <sub>0</sub> = 010924	lg q <sub>0</sub> = 989076	b <sub>0</sub> = 1.2860	q <sub>0</sub> = 0.7776

Transformation.

Haidinger. Zippe. Hartm. Hausmann. Miller. J. D. Dana. Cooke. Schrauf.	E. S. Dana. Groth.	Gdt.
p q	$\frac{q}{p} \frac{2}{p}$	$\frac{p}{q} \frac{2}{q}$
$\frac{2}{q} \frac{2p}{q}$	p q	$\frac{1}{p} \frac{q}{p}$
$\frac{2p}{q} \frac{2}{q}$	$\frac{1}{p} \frac{q}{p}$	p q

Gdt.	Miller. Greg u. Lettsom. Schrauf.	E. S. Dana.	Haidinger. Zippe. Hartmann. Hausmann.	Miller.	Naumann.	[Haus- mann.]	[Haidinger.] [Hartmann.] [Zippe.]	[Lévy.]	Gdt.
a	a	a	P	∞01	0 P	B	$\check{P}r+\infty$	p	0
p	p	b	f	010	$\infty \check{P} \infty$	A	$P-\infty$	—	∞∞
n	n	J	a	011	$\check{P} \infty$	(BA $\frac{1}{2}$ )	$(\frac{1}{2} \check{P}r+2)$	e <sup>1</sup>	01
t	—	p	—	111	P	—	—	—	1
s	s	s	e	121	2 $\check{P}$ 2	P	P	h <sup>1</sup>	12
r	r	—	b	131	3 $\check{P}$ 3	(AE $\frac{1}{2}$ )	$(\frac{1}{2} P)$	i	13

Literatur.

Brooke	Quart. Journ. sci.	1824	16	274
Haidinger	Pogg. Ann.	1825	5	163
Hartmann	Handb.	1828	—	97
Lévy	Descr.	1838	3	409
Mohs-Zippe	Min.	1839	2	609
Hausmann	Handb.	1847 (2)	2	1085
Miller	Min.	1852	—	519
Dana, J. D.	System	1855	—	424
Greg u. Lettsom	Manuel	1858	—	81
Cooke	Amer. Journ.	1863 (2)	36	258
Dana, J. D.	System	1873	—	579
Schrauf	Atlas	1877	—	Taf. XLIII
Brush u. Dana, E. S.	Amer. Journ.	1878 (3)	16	35
"	Zeitschr. Kryst.	1878	2	531
Dana, E. S.	System	1882	App. 3	24
Groth	Tab. Uebere.	1882	—	69.

Bemerkungen }  
 Correcturen } s. Seite 419 u. 420.

Bemerkungen.

Bei Lévy (Descr. 1838. 3. 409) sind die Symbole des Textes mit denen der Figur nicht übereinstimmung. Im Text steht  $P m b b e$ , eine unvollständige und daher unverständliche. In der Fig. 2 Taf. 81 dagegen steht  $p b^1 e^1 i = b^1 b^{\frac{1}{2}} g^{\frac{1}{2}}$ . Die Identification wurde der Figur vorgenommen und dürfte wohl richtig sein, obwohl die Symbole der Figur dem Axenverhältniss nicht passen. Nach dem Axenverhältniss würde das Transformations- $mol$  lauten:  $p q$  (Lévy) =  $q \cdot 2 p$  (Gdt.).

Die Angaben von Haidinger, die Zippe und Hausmann übernommen haben, beruhen auf den Angaben von Brooke, dessen Originalarbeit (Quart. Journ. Sci. 1874. 16. 274) nicht zugänglich war. Die Symbole stimmen nur theilweise mit den Angaben der anderen Autoren überein. Da Miller die Sammlung von Brooke benutzt hat (Min. 1852. 520), dürfte in seinen Angaben eine Revision der Brooke'schen enthalten und diese, soweit sie den anderen nicht stimmen, zu vernachlässigen sein. Es wurden die Symbole von Haidinger-Zippe und Hausmann nach ihrer wahrscheinlichen Identification neben die anderen gestellt.

In J. D. Dana's System (1873. 570) stehen zwei Figuren scheinbar in gleicher Orientierung nebeneinander. Es ist aber die Orientierung verschieden, die Symbole richtig in die entsprechenden Ecken eingeschrieben. Bei dem ähnlichen Aussehen in beiden Aufstellungen sind leicht Verwechslungen möglich. Fig. 485 stammt von Cooke, 484 findet sich schon in Dana's System Fig. 424. Sollte sie von Brooke entlehnt sein? Die Form  $\frac{3}{2} - \frac{5}{2}$ , die Dana anführt, findet sich in der Quelle, Figur oder Winkelangabe, findet sich sonst nirgends angegeben. Sie wurde auf der Angabe des Symbols hin nicht aufgenommen, da eine Verwechslung nicht ausgeschlossen ist.

Groth giebt (Tabell. Uebers. 1882. 69) das Axenverhältniss  $a : b : c = 0.7399 : 1 : 0.4756$  für die Aufstellung E. S. Dana's. Doch ist die Umrechnung fehlerhaft. Nach den Angaben Miller's erhalten wir in dieser Aufstellung  $0.7776 : 1 : 0.5254$  nach denen von Miller für Hebron  $0.7571 : 1 : 0.5118$ , für Tavistock  $0.7730 : 1 : 0.5160$ .

*Correcturen* siehe S. 420.

Correcturen.

<i>Dane, J. D. System.</i>	1855	Seite 424	Zeile 9. vu	hes	Brooke	statt	Lévy
"	1873	" 579	" 17 vo				
<i>Groth Tab. Uebere.</i>	1882	" 69	" 7 vu	"	Pyramide s	"	Pyramide s
"	"	"	" 11 vu	"	07776:1:0-5454	"	07399:1:0-5454

# Chiolith.

## Tetragonal.

### Axenverhältnisse.

$a : c = 1 : 1.077$  (Kokscharow 1851. Miller.)

"  $= 1 : 1.0418$  (Kokscharow 1862. Schrauf. Groth.)

[Rhombisch  $a : b : c = 0.528 : 1 : ?$ ] (Kenngott.)

No.	Miller. Schrauf. Gdt.	Miller.	Naumann.	Gdt.
? 1	n	102	$\frac{1}{2} P \infty$	$\frac{1}{2} 0$
2	o	111	P	1
?? 3	x	117	$\frac{1}{2} P$	$\frac{1}{2}$





# Chloanthit.

Regulär.

No.	Gdt.	Miller.	Miller.	Naumann.	Hausmann.	Mohs-Zippe.	Lévy.	G <sub>1</sub>	G <sub>2</sub>	G <sub>3</sub>
1	c	a	001	∞O∞	W	H	p	o	0∞	∞0
2	e	—	102	∞O 2	—	—	—	$\frac{1}{2}$ o	0 2	∞ 2
3	d	d	101	∞O	RD	D	b <sup>1</sup>	1 o	0 1	∞
4	q	—	112	2 O 2	—	C <sub>1</sub>	a <sup>2</sup>	$\frac{1}{2}$	1 2	2 1
5	p	o	111	O	O	O	a <sup>1</sup>	1	1	1

Literatur.

<i>Lévy</i>	<i>Descr.</i>	1838	3	244
<i>Mohs-Zippe</i>	<i>Min.</i>	1839	2	504
<i>Hausmann</i>	<i>Handb.</i>	1847	2	(1) 65 u. (2) 1560
<i>Miller</i>	<i>Min.</i>	1857	—	144
<i>Groth</i>	<i>Strassb. Samml.</i>	1878	—	45

Bemerkungen.

Haidinger und nach ihm Miller bezeichnen das reguläre  $\text{NiAs}_2$  als Rammelsbergit. Das rhombische nennt Breithaupt, der es zuerst abschied, Weissnickelkies, Miller Chloanthit. Dana, Weisbach, Groth u. a. nennen das reguläre Mineral Chloanthit, das rhombische Rammelsbergit. Letztere Benennung dürfte die jetzt allgemein geltende sein und wurde derselben auch hier gefolgt.

Chlorit - Gruppe.

Cronstedtit.

Hexagonal. Rhomboedrisch - hemiedrisch.

Axenverhältnisse.

[a : c = 1 : 3.439] (G<sub>2</sub>)  
(10)

[a : c = 1 : 3.439] (Zepharovich. Schrauf. G<sub>1</sub>.)  
[ " = 1 : 3.435] (Groth.)  
[ " = 1 : 3.256] (Vrba.)

Elemente.

a = 3.439	lg c = 053643	lg a <sub>0</sub> = 970213 lg a'₀ = 946357	lg p₀ = 036034	a₀ = 0.5037 a'₀ = 0.2908	p₀ = 2.293
-----------	---------------	---	----------------	-----------------------------	------------

Transformation.

Zepharovich. Schrauf. Vrba = G <sub>1</sub> .	G <sub>2</sub> .
p q	(p + 2 q) (p - q)
$\frac{p + 2 q}{3} \frac{p - q}{3}$	p q

No.	Gdt.	Miller.	Schrauf.	Vrba.	Bravais.	Miller.	Naumann.	G <sub>1</sub> .	G <sub>2</sub> .
1	o	o	c	c	0001	111	o R	o	o
2	b	b	—	—	1010	211	∞ R	∞ o	∞
3	p	r	r	—	1011	100	R	1 o	1
4	a	—	—	r	2021	511	2 R	2 o	2
5	l	—	R	—	3031	722	3 R	3 o	3

Literatur.

Mohs-Zippe	Min.	1839	2	667 (Sideroschisolith.)
Miller	Min.	1852	—	423
Zepharovich	Wien. Sitzb.	1875	71	(1) 276
Schrauf	Atlas	1877	—	Taf. L.
Groth	Tab. Ubers.	1882	—	97
Vrba	Sitzb. böhm. Ges.	1886	—	15 Jan.

Bemerkungen.

An Stelle von Zepharovich's  $\frac{1}{2}R\frac{3}{2} = \frac{11}{16}\frac{1}{2}(G_2)$  (11·7 18·16) setzt Schrauf  $s = \frac{1}{2}R$   
 $= -\frac{7}{2}\frac{3}{2}(G_2)$  (5166). Bei der Unklarheit der krystallographischen Verhältnisse des Cronstedtit  
 wurde dies complicirte Symbol nicht als sichergestellt angesehen.

Correcturen.

Mohs-Zippe	Min.	1839	2	Seite 667	Z.	4	vu	lies	387	statt	378
Schrauf	Atlas	1877	Text zu	Taf. L	"	6	"	"	(10·13·5)	"	(10·13·5)
"	"	"	"	"	"	7	"	"	$-\frac{2}{3}R\frac{3}{2}$	"	$\frac{1}{2}R\frac{3}{2}$
"	"	"	"	"	"	8	"	"	$\frac{1}{2}a':\frac{1}{6}a':a':\frac{1}{6}c$	"	$\frac{1}{2}a':\frac{1}{6}a':a':\frac{1}{6}c$
Vrba	Sitzb. böhm. Ges.	1886	Sep. Seite	4	"	13	"	"	(11·7·18·16)	"	(11·7·18·16)

Chlorit-Gruppe.

Kämmererit.

Hexagonal.

Axenverhältnisse.

$a:c = 1:3.047$  ( $G_1$ )  
(1)

$[a:c = 1:3.047]$  (Kokscharow =  $G_1$ )  
(10)

$\{a:c = 1:2.032\}$  (Schrauf.)  
(10)

Elemente.

3.047	$\lg c = 0.48387$	$\lg a_o = 975469$ $\lg a'_o = 951613$	$\lg p_o = 0.30778$	$a_o = 0.5684$ $a'_o = 0.3282$	$p_o = 2.0313$
-------	-------------------	---	---------------------	-----------------------------------	----------------

Transformation.

Schrauf.	Kokscharow. $G_1$	$G_2$
$p\ q$	$\frac{2}{3}p\ \frac{2}{3}q$	$\frac{2}{3}(p+2q)\ \frac{2}{3}(p-q)$
$\frac{2}{3}p\ \frac{2}{3}q$	$p\ q$	$(p+2q)\ (p-q)$
$\frac{p+2q}{2}\ \frac{p-q}{2}$	$\frac{p+2q}{3}\ \frac{p-q}{3}$	$p\ q$

Gdt.	Kokscharow.	Schrauf.	Bravais.	Miller.	Naumann.	$G_1$	$G_2$
P	P	P	0001	111	0 P	0	0
a	—	a	1010	211	$\infty$ P	$\infty$ 0	$\infty$
v	u	u	3034	10.1.1	$\frac{3}{2}$ P	$\frac{3}{2}$ 0	$\frac{3}{2}$
$\xi$	x	$\xi$	5054	14.1.1	$\frac{5}{4}$ P	$\frac{5}{4}$ 0	$\frac{5}{4}$
w	y	w	4043	11.1.1	$\frac{4}{3}$ P	$\frac{4}{3}$ 0	$\frac{4}{3}$
$\zeta$	z	$\zeta$	3032	811	$\frac{3}{2}$ P	$\frac{3}{2}$ 0	$\frac{3}{2}$
$\rho$	(r)	$\rho$	3031	722	3 P	3 0	3
$\mu$	m	$\mu$	4041	311	4 P	4 0	4
$\sigma$	s	$\sigma$	5051	11.4.4	5 P	5 0	5

Literatur zu Kämmererit, Klinochlor, Pennin.

Kokscharow	Mat. Min. Russl.	1857	2	7	1
"	"	1866	5	45	1
Des Cloizeaux	Manuel	1862	1	442	
Hessenberg	Senck. Abb.	1866	6	28	(Min. Not. No. 27. 28.)
Dana	System	1873	—	497	
Schrauf	Min. Mitth.	1874	4	161	
"	Atlas	1877	—	Taf. XLIV	
Groth	Tab. Uebers.	1882	—	96.	



# Chlorit-Gruppe.

## Klinochlor.

### 1.

#### Monoklin.

##### Axenverhältnisse.

$$a:b:c = 0.5773:1:1.7062 \quad \beta = 117^\circ 9' \text{ (Gdt.)}$$

$$[a:b:c = 0.5774:1:0.8531 \quad \beta = 117^\circ 9'] \text{ (Kokscharow. Des Cloiseaux. Hessenberg.)}$$

$$(a:b:c = 0.5768:1:1.1386 \quad \beta = 90^\circ 20') \text{ (Schrauf.)}$$

$$\{a:b:c = 0.5774:1:0.7817 \quad \beta = 103^\circ 56'\} \text{ (Naumann.)}$$

$$[(a:b:c = 0.5774:1:3.1272 \quad \beta = 103^\circ 56')] \text{ (Groth.)}$$

##### Elemente.

$a = 0.5773$	$\lg a = 976144$	$\lg a_0 = 952941$	$\lg p_0 = 047059$	$a_0 = 0.3384$	$p_0 = 2.9552$
$b = 1.7062$	$\lg c = 023203$	$\lg b_0 = 976797$	$\lg q_0 = 018133$	$b_0 = 0.5861$	$q_0 = 1.5182$
$\beta = 117^\circ 9'$	$\lg h = 994930$ $\lg \sin \mu$	$\lg e = 965927$ $\lg \cos \mu$	$\lg \frac{p_0}{q_0} = 028926$	$h = 0.8898$	$e = 0.4563$

##### Transformation.

Kokscharow. Des Cloiseaux. Hessenberg. Dana.	Schrauf.	Naumann.	Groth.	Gdt.
$p q$	$\frac{2p}{3+2p} \frac{2q}{3+2p}$	$\frac{p}{p+1} \frac{q}{p+1}$	$\frac{4p}{p+1} \frac{4q}{p+1}$	$\frac{p}{2} \frac{q}{2}$
$\frac{3p}{2-2p} \frac{3q}{2-2p}$	$p q$	$\frac{3p}{p+2} \frac{3q}{p+2}$	$\frac{12p}{p+2} \frac{12q}{p+2}$	$\frac{3p}{4-4p} \frac{3q}{4-4p}$
$-\frac{p}{p+1} \frac{q}{p+1}$	$-\frac{2p}{p+3} \frac{2q}{p+3}$	$p q$	$4p \cdot 4q$	$-\frac{p}{2p+2} \frac{q}{2p+2}$
$-\frac{p}{p+4} \frac{q}{p+4}$	$-\frac{p}{2p+6} \frac{q}{2p+6}$	$\frac{p}{4} \frac{q}{4}$	$p q$	$-\frac{p}{2p+8} \frac{q}{2p+8}$
$2p \cdot 2q$	$\frac{4p}{3+4p} \frac{4q}{3+4p}$	$\frac{2p}{2p+1} \frac{2q}{2p+1}$	$\frac{8p}{2p+1} \frac{8q}{2p+1}$	$p q$

(Fortsetzung S. 431.)

Bemerkungen zu Kämmererit, Klinochlor, Pennin.

Die einzelnen Mineralien der Chlorit-Gruppe sind nicht scharf von einander geschieden, weder der Pennin vom Kämmererit, noch dieser vom Klinochlor. Ersteres bewirkt, dass Dana (System 1873. 495) beide vereinigt und ihre Formen gemischt aufzählt und Groth (Tab. Uebers. 1822. 9) den Kämmererit eine Varietät des Pennin nennt. Auf den Zusammenhang des Pennin und Kämmererit mit Klinochlor hat besonders Schrauf (Atlas Ten. z. Taf. 44) hingewiesen.

Wahrscheinlich dürften alle drei wieder zu einer einheitlichen Reihe sich vereinigen lassen, wobei möglicherweise ein Ueberschreiten der Grenzen der Krystallsysteme stattfindet in ähnlicher Weise wie bei den Humiten, den Feldspäthen und wohl auch den Mineralien der Glimmer-Gruppe.

Bei der Zusammenstellung der Formen wurde Schrauf's Trennung in die drei Arten festgehalten und besonders an dessen Angaben Anschluss genommen, mit Ergänzung zu Kokscharow, Hessenberg, Dana. Die Elemente wurden anders gewählt als dies von Schrauf geschehen, um einfachere Symbole zu erhalten. Eine gründliche Klarlegung könnte nur durch eine zusammenfassende Arbeit an der Hand reichen und guten Materials unter Berücksichtigung des specifischen Gewichts, der optischen und chemischen Verhältnisse geschehen, dieselbe könnte von allgemeiner theoretischer Bedeutung sein.

**Klinochlor.** Schrauf's  $c$  ist offenbar identisch mit Kokscharow's und Hessenberg's  $c$ , Des Cloizeaux's  $z$ , doch ist das Symbol unrichtig. Es muss heissen:

$$c (4.12.5) = -\frac{1}{3}P_3 \text{ statt } c (261) = -6P_3.$$

Die älteren Angaben vor Kokscharow's Untersuchung, der zuerst den Klinochlor als monoklin unter den Chloriten ausschied, wurden nicht herangezogen.

## 2.

No.	Gdt.	Schrauf.	Kok-scharow. Hessen- berg.	Naumann.	Miller.	Naumann.	[Descloiz.]	Gdt.
1	P	P	P	P	001	oP	p	o
2	b	b	h	h	010	$\infty P \infty$	$g^1$	$o \infty$
3	M	M	M	m	110	$\infty P$	m	$\infty$
4	v	v	v	—	130	$\infty P_3$	$g^2$	$\infty 3$
5	e	e	—	—	0-11-16	$\frac{1}{2} P \infty$	$e^{\frac{1}{2}}$	$o \frac{1}{2}$
6	$\eta$	$\eta$	—	—	056	$\frac{2}{3} P \infty$	$e^{\frac{2}{3}}$	$o \frac{2}{3}$
7	$\theta$	—	—	—	0-11-12	$\frac{1}{2} P \infty$	$e^{\frac{1}{2}}$	$o \frac{1}{2}$
8	$\lambda$	—	—	—	098	$\frac{2}{3} P \infty$	$e^{\frac{2}{3}}$	$o \frac{2}{3}$
9	k	k	k	—	032	$\frac{3}{2} P \infty$	$e^{\frac{3}{2}}$	$o \frac{3}{2}$
10	t	t	t	t	021	$2 P \infty$	$e^{\frac{1}{2}}$	$o 2$
11	x	x	x	—	201	$-2 P \infty$	$o^{\frac{1}{2}}$	$+ 2 o$
12	y	y	y	—	103	$+ \frac{1}{3} P \infty$	$a^{\frac{2}{3}}$	$-\frac{1}{3} o$
13	i	i	i	—	102	$+ \frac{1}{2} P \infty$	$a^1$	$-\frac{1}{2} o$
14	f	f	f	—	203	$+ \frac{2}{3} P \infty$	—	$-\frac{2}{3} o$
15	z	z	z	—	201	$+ 2 P \infty$	$a^{\frac{1}{2}}$	$- 2 o$
16	d	d	d	—	331	$- 3 P$	$d^{\frac{1}{2}}$	$+ 3$
17	u	u	u	—	111	$- P$	$d^{\frac{1}{2}}$	$+ 1$
18	n	n	n	n	113	$+ \frac{1}{3} P$	$b^{\frac{2}{3}}$	$-\frac{1}{3}$
19	m	m	m	—	338	$+ \frac{3}{8} P$	$b^{\frac{2}{3}}$	$-\frac{3}{8}$
20	o	o	o	o	112	$+ \frac{1}{2} P$	$b^{\frac{1}{2}}$	$-\frac{1}{2}$
21	w	w	w	—	131	$- 3 P_3$	w	$+ 1 3$
22	c	(c)	c	—	133	$+ P_3$	$\epsilon$	$-\frac{1}{3} 1$
23	s	s	s	—	134	$+ \frac{3}{4} P_3$	s	$-\frac{1}{4} \frac{3}{4}$

Correcturen.

Hessenberg *Smek. Abb.* 1866 6 Seite 30 Zeile 5 vu lies  $\infty P_3$  statt  $a_3?$   
 Schrauf *Atlas* 1877 Text zu Taf. XLIV Z. 6—10 vo lies  $c$  statt  $c$

$$\left. \begin{array}{l} 4:12:5 \\ 15a^1:5b:12c \\ -12P_3 \\ b^{\frac{1}{2}}d^{\frac{1}{2}}g^{\frac{1}{2}} \end{array} \right\} \text{ statt } \left\{ \begin{array}{l} c \\ 2a^1:b \\ -c \\ b^{\frac{1}{2}}d^{\frac{1}{2}}g^{\frac{1}{2}} \end{array} \right.$$

Chlorit-Gruppe.

Pennin.

Hexagonal.

Axenverhältnisse.

$a : c = 1 : 3.027 \text{ (G}_1\text{.)}$   
(1)

$[a : c = 1 : 2.018] \text{ (Schrauf.)}$   
(10)

$\{a : c = 1 : 3.495\} \text{ (Dana. Groth.)}$   
(10)

$\{ \text{ " } = 1 : 3.538 \} \text{ (Des Cloizeaux.)}$

Elemente.

$c = 3.027$	$\lg c = 0.48101$	$\lg a_0 = 975755$ $\lg a'_0 = 951899$	$\lg p_0 = 0.30492$	$a_0 = 0.5722$ $a'_0 = 0.3304$	$p_0 = 2.0180$
-------------	-------------------	---	---------------------	-----------------------------------	----------------

Transformation.

Schrauf.	Dana. Des Cloizeaux. Groth.	G <sub>1</sub>	G <sub>2</sub>
$p \ q$	$\frac{p+2q}{3} \ \frac{p-q}{3}$	$\frac{2(p+2q)}{3} \ \frac{2(p-q)}{3}$	$2 \ p \cdot 2 \ q$
$(p+2q) \ (p-q)$	$p \ q$	$2 \ p \cdot 2 \ q$	$2(p+2q) \ 2(p-q)$
$\frac{p+2q}{2} \ \frac{p-q}{2}$	$\frac{p}{2} \ \frac{q}{2}$	$p \ q$	$(p+2q) \ (p-q)$
$\frac{p}{2} \ \frac{q}{2}$	$\frac{p+2q}{6} \ \frac{p-q}{6}$	$\frac{p+2q}{3} \ \frac{p-q}{3}$	$p \ q$

No.	Gdt.	Schrauf.	Bravais.	Miller.	Naumann.	[Des Cloizeaux.]	G <sub>1</sub>	G <sub>2</sub>
1	P	P	0001	111	0 R	a'	0	0
2	g	—	1010	211	∞ R	—	∞ 0	∞
3	φ	φ	8-0-8-13	771	— $\frac{8}{13}$ R	—	— $\frac{8}{13}$ 0	— $\frac{8}{13}$
4	y	y	4045	331	— $\frac{4}{5}$ R	—	— $\frac{4}{5}$ 0	— $\frac{4}{5}$
5	f	—	7075	443	— $\frac{7}{5}$ R	—	— $\frac{7}{5}$ 0	— $\frac{7}{5}$
6	i	i	2021	111	— 2 R	p	— 2 0	— 2

Bemerkungen.

**Pennis.** Die Symbole  $-2R_2$ ,  $-\frac{1}{13}R_2$ ,  $-\frac{1}{13}R_2$  in Schrauf's Atlas bedeuten die hexaedrische Form von  $2P_2$ ,  $\frac{1}{13}P_2$ ,  $\frac{1}{13}P_2$ . Diese ungewöhnliche Bedeutung wird man in den Symbolen nicht vermuthen, sie vielmehr halten für  $-2R^2$  u. s. w. Es wäre doch wohl besser zu schreiben  $-2P_2$ ,  $-\frac{1}{13}P_2$ ,  $-\frac{1}{13}P_2$  oder  $-\frac{2P_2}{2}$  u. s. w. Statt  $a^{\frac{1}{2}}$   $a^{\frac{12}{13}}$   $a^{\frac{1}{13}}$  ist zu lesen:  $a^1$   $a^{\frac{12}{13}}$   $a^{\frac{1}{13}}$ .

# Chlorocalcit.

Regulär.

No.	Gdt.	Schrauf.	Miller.	Naumann.	G <sub>1</sub>	G <sub>2</sub>	G <sub>3</sub>
1	c	a	100	∞O∞	o	o∞	∞o
2	d	d	110	∞O	1o	o1	∞
3	p	o	111	O	1	1	1



Literatur.

**Senck** **Napoli** Acad. Nat. Mineral. [1873] 1874 6 Sep. S. 37  
**Schrauf** **Atlas** 1877 Text zu Taf. XLIV.

Chlorocalcit.

[1873] 1874 6 Sep.

S. 37  
1877 Text zu Taf. XLIV.

Chlorsilber.

Regulär.

No.	Gdt.	Miller.	Miller.	Naumann.	Hausmann.	Mohs.	Lévy.	G <sub>1</sub>	G <sub>2</sub>	G <sub>3</sub>
1	c	a	∞01	∞O∞	W	H	p	0	0∞	∞0
2	d	d	101	∞O	RD	D	b'	10	01	∞
3	q	n	112	2O2	Tr1	—	—	$\frac{1}{2}$	12	21
4	p	o	111	O	O	O	a'	1	1	1
5	u	—	212	2O	PO1	—	—	$1\frac{1}{2}$	$\frac{1}{2}1$	2

Chlorsilber.

Literatur.

<i>Mohs</i>	<i>Grundr.</i>	1824	2	172
<i>Hartmann</i>	<i>Handb.</i>	1828	—	407
<i>Lévy</i>	<i>Descr.</i>	1838	2	370
<i>Mohs-Zippe</i>	<i>Min.</i>	1839	2	158
<i>Hausmann</i>	<i>Handb.</i>	1847	2	(2) 1470
<i>Miller</i>	<i>Min.</i>	1852	—	613
<i>Dana</i>	<i>System</i>	1873	—	114

Lévy giebt noch die Symbole  $a^4(\frac{1}{4})$  und  $a^{\frac{1}{2}}(\frac{1}{2})$ . In die Figur sind diese Symbole eingeschrieben (Taf. 50 Fig. 2), und es liegt der Verdacht vor, ob diese sonst nicht gegebenen Symbole nicht heissen sollten  $a^2(\frac{1}{2})$  und  $a^{\frac{1}{2}}(\frac{1}{2})$ , die Hausmann kennt. Sie in das Formenverzeichniss nicht aufgenommen.

## Chromeisenerz.

Regulär.

Gdt.	Miller.	Miller.	Naumann.	Hausmann.	Mohs-Zippe.	Lévy.	G <sub>1</sub>	G <sub>2</sub>	G <sub>3</sub>
d	—	101	∞O	—	—	—	10	01	∞
m	—	113	3 O 3	—	—	—	$\frac{1}{3}$	13	31
p	o	111	O	O	O	a'	1	1	1

Literatur.

**Lévy**  
**Mohs-Zippe**  
**Hausmann**  
**Miller**  
**Kokscharow**  
**Lang**  
 "

## Chromeisenerz.

<i>Descript.</i>	1838	3	176
<i>Min.</i>	1839	2	432
<i>Handb.</i>	1847	2	(1) 417
<i>Min.</i>	1852	—	262
<i>Mat. Min. Russl.</i>	1857	2	262
<i>Wien. Sitzb.</i>	1870	61	(2) 473
<i>Pogg. Ann.</i>	1870	140	324.

Chryoberyll.

Rhombisch.

Axenverhältnisse.

a : b : c = 0.8485 : 1 : 0.8621 (Gdt.)

[a : b : c = 0.470 : 1 : 0.580] (Mohs-Zippe. Hausmann. Miller.  
Kokscharow. Klein. Groth. Dana.)

{ a : b : c = 0.580 : 1 : 0.470 } (Schrauf.) .

{ " = 0.579 : 1 : 0.466 } (Des Cloizeaux.)

Elemente.

a = 0.8485	lg a = 992865	lg a <sub>0</sub> = 999309	lg p <sub>0</sub> = 000691	a <sub>0</sub> = 0.9842	p <sub>0</sub> = 1.0160
c = 0.8621	lg c = 993556	lg b <sub>0</sub> = 006444	lg q <sub>0</sub> = 993556	b <sub>0</sub> = 1.1600	q <sub>0</sub> = 0.8621

Transformation.

Mohs-Zippe. Hausmann. Miller. Kokscharow. Dana. Klein. Groth.	Lévy. Schrauf. Des Cloizeaux.	Hauy.	Gdt.
p q	$\frac{1}{p} \frac{q}{p}$	$\frac{3}{2} p \cdot q$	$\frac{2}{q} \frac{p}{q}$
$\frac{1}{p} \frac{q}{p}$	p q	$\frac{3}{2} \frac{q}{p}$	$\frac{2}{q} \frac{2p}{q}$
$\frac{3}{2} p \cdot q$	$\frac{3}{2} \frac{3q}{2p}$	p q	$\frac{4p}{3q} \frac{2}{q}$
$\frac{p}{q} \frac{2}{q}$	$\frac{q}{p} \frac{2}{p}$	$\frac{3p}{2q} \frac{2}{q}$	p q

	Miller. Kokscharow. Schrauf. Klein. Gdt.	Rose.	Mohs. Hartmann. Zippe. Hauy. Hausm.	Miller.	Naumann.	[Hausmann.]	[Mohs.] [Hartmann.] [Zippe.]	[Hauy.]	[Lévy.] [Descl.]	Gdt.
1	a	b	T	001	0 P	B	Pr + ∞	T	g <sup>1</sup>	0
2	b	a	P	010	∞ P̄ ∞	—	—	P	—	∞ ∞
3	c	—	M	100	∞ P̄ ∞	B'	P̄r + ∞	M	p	∞ 0

(Fortsetzung S. 443.)

Chrysoberyll.

Literatur.

Haüy	Traité Min.	1822	2	393
Mohs	Grundr.	1824	2	348
Hartmann	Handb.	1828	—	108
Lévy	Descr.	1838	1	414
Mohs-Zippe	Min.	1839	2	342
Rose, G.	Pogg. Ann.	1839	48	570
"	Schrift. russ. min. Ges.	1842	1	CXVIII
"	Reise n. Ural	1842	2	379
Des Cloizeaux	Ann. chim. phys.	1845 (3)	13	329 (Cymophane)
Hausmann	Handb.	1847	2	(1) 430
Miller	Min.	1852	—	267
Hessenberg	Jahrb. Min.	1862	—	871
Kokscharow	Mat. Min. Russl.	1862	4	54
"	"	1866	6	113
"	"	1870	6	225
Frischmann	Münch. Sitzb.	1867	1	429
Klein	Jahrb. Min.	1869	—	548
"	"	1871	—	479
Dana	System	1873	—	155
Schrauf	Atlas	1877	—	Taf. XLV
Cathrein	Zeitschr. Kryst.	1882	6	257
"	Jahrb. Min.	1883	1	Ref. 182.

*Bemerkungen* }  
*Correcturen* } siehe S. 444.



## 2.

No.	Miller. Kochsch. Schrauf. Klein. Gdt.	Rose.	Mohs. Hartm. Zippe. Hauy. Hausm.	Miller.	Naumann.	[Haus- mann.]	[Mohs.] [Hartmann.] [Zippe.]	[Hauy.]	[Lévy.] [Descl.]	Gdt.
4	x	—	K	110	$\infty P$	D'	$\bar{P}r$	—	$a^1$	$\infty$
5	y	—	—	120	$\infty \bar{P}_2$	—	—	—	$a^{\frac{1}{2}}$	$\infty 2$
6	z	—	—	230	$\infty \bar{P}_3$	—	—	—	$a^{\frac{2}{3}}$	$\infty \frac{3}{2}$
7	$\rho$	—	—	023	$\frac{2}{3} \bar{P}_\infty$	—	—	—	—	$0 \frac{2}{3}$
8	k	—	—	011	$\bar{P}_\infty$	—	—	—	—	0 1
9	i ( $\mu$ )	—	i	021	$2 \bar{P}_\infty$	D	$\bar{P}r$	$\bar{B}$	m	0 2
10	d	—	—	103	$\frac{1}{3} \bar{P}_\infty$	—	—	—	—	$\frac{1}{3} 0$
11	f	—	—	407	$\frac{4}{3} \bar{P}_\infty$	$BB'_2$	—	—	—	$\frac{4}{3} 0$
12	r	—	s	203	$\frac{2}{3} \bar{P}_\infty$	$BB'_3$	$(\bar{P} + \infty)^3$	$2GG^2$	$e^{\frac{1}{3}}$	$\frac{2}{3} 0$
13	s	—	z	101	$\bar{P}_\infty$	$BB'_2$	$(\bar{P}r + \infty)^3 (\bar{P} + \infty)^2$	$G^{\frac{3}{2}} G$	$e^{\frac{1}{2}}$	1 0
14	u	—	—	403	$\frac{4}{3} \bar{P}_\infty$	—	—	—	—	$\frac{4}{3} 0$
15	m	—	—	201	$2 \bar{P}_\infty$	—	—	—	$e^1$	2 0
16	p	—	—	113	$\frac{1}{3} P$	—	—	—	—	$\frac{1}{3}$
17	n	n	n	111	P	$BD'_2$	—	$A^{\frac{3}{2}} \frac{3}{2} AC'G^2$	$e^3$	1
18	o	o	o	221	$2 P$	P	P	$A^{\frac{3}{2}} \frac{3}{2} A$	$b^{\frac{1}{2}}$	2
19	w	—	f	121	$2 \bar{P}_2$	—	—	$A^{\frac{3}{2}} \frac{3}{2} A$	—	1 2
20	v	—	—	421	$4 \bar{P}_2$	—	—	—	$b^1$	4 2

Bemerkungen.

Mohs (Grundr. 1824. 2. 348) und nach ihm Zippe (Mohs-Zippe Min. 1839. 2. 348) und Hartmann (Handwb. 1848. 209) geben für  $n$   $(P)^3 = 13$  (131), während alle andern Autoren  $n = 12$  (121) anführen. Da Mohs-Zippe und Hartmann weder Zeichnung noch Winkel geben, so ist eine sichere Entscheidung nicht möglich, doch liegt die Wahrscheinlichkeit vor, dass das Symbol  $(P)^3$  einem Druckfehler statt  $(Pr)^3 = (P)^2$  seine Entstehung verdankt. Somit ist die Form 13 (131) noch nicht als bekannt anzusehen.

Bei J. D. Dana (System 1873. 155) sind die Winkel aus Miller (Min. 1852. 267) entnommen, damit ist nicht in Uebereinstimmung das angegebene Axen-Verhältniss. Es ist vielmehr zu lesen: 1:234 statt 1:2285.

Lévy's Aufstellung ist dieselbe, wie die von De Cloizeaux und Schrauf. In den Angaben für Lévy's Grundform kann das Verhältniss Basiskante : Höhe = 5 : 12 nicht richtig sein. Vermuthlich soll es heissen 12 : 5, welchem das Axen-Verhältniss entspräche:

$$a : b : c = 0.580 : 1 : 0.482.$$

Der Zeichnung nach entspricht Schrauf's Fig. 4 Lévy's Fig. 9, nicht, wie es im Text heisst, Fig. 7. Ausserdem giebt Schrauf in der Figur  $z = \frac{2}{3}0 = \infty \frac{2}{3}$  (Index), Lévy dagegen  $a^2 = 20 = \infty 2$  des Index, Schrauf  $s = 02 = 10$  (Index), Lévy  $e^2 = 01 = 20$  (Index).  $a^2$  ist von Des Cloizeaux angegeben.

Correcturen.

Kokscharow	Mat. Min. Russl.	1866	5	Seite 113	Paginirung lies	113	statt	311
"	"	1870	6	" 225	Zeile 2 vo "	113	"	311
Dana, J. D.	System	1873	—	" 155	" 4 vu "	1:234	"	1:2285
Schrauf	Atlas	1877	Text z.	Taf XLV Fig. 4	" Fig. 9	"	"	Fig. 7

Claudetit.

Rhombisch.

Axenverhältniss.

$a : b : c = 0.3500 : 1 : 0.3757$  (Gdt.)

$[a : b : c = 0.3757 : 1 : 0.3500]$  (Groth.)

Elemente.

0.3500	lg a = 954407	lg a <sub>0</sub> = 996923	lg p <sub>0</sub> = 003077	a <sub>0</sub> = 0.9316	p <sub>0</sub> = 1.0734
0.3757	lg c = 957484	lg b <sub>0</sub> = 042516	lg q <sub>0</sub> = 957484	b <sub>0</sub> = 2.6617	q <sub>0</sub> = 0.3757

Transformation.

Groth.	Gdt.
p q	$\frac{1}{p} \frac{q}{p}$
$\frac{1}{p} \frac{q}{p}$	p q

No.	Groth. Gdt.	Miller.	Naumann.	Gdt.
1	a	001	o P	o
2	b	100	∞ P ∞	∞ o
3	m	012	$\frac{1}{2}$ P ∞	o $\frac{1}{2}$
4	p	011	P ∞	o 1
5	μ	052	$\frac{2}{3}$ P ∞	o $\frac{2}{3}$
6	v	051	5 P ∞	o 5
7	δ	12.0.1	12 P ∞	12.0
8	o	111	P	1
9	γ	12.12.1	12 P	12.12
10	n	171	7 P 7	1 7
11	β	12.24.1	24 P 2	12.24
12	α	12.48.1	48 P 4	12.48

Literatur.

Groth *Pogg. Ann.* 1869 137 414.

# Cölestin.

## 1.

### Rhombisch

#### Axenverhältnisse.

$$a : b : c = 0.7779 : 1 : 1.2825 \text{ (Dauber. Gdt.)}$$

$$\begin{aligned} a : b : c &= 0.7808 : 1 : 1.2830 \text{ (Miller. Dana.)} \\ &= 0.7789 : 1 : 1.2800 \text{ (Groth.)} \\ &= 0.7812 : 1 : 1.2819 \text{ (Schmidt.)} \\ &= 0.7790 : 1 : 1.2753 \text{ (Arzruni. Rüdgersdorf.)} \\ &= 0.7824 : 1 : 1.2841 \text{ (Arzruni. Mokkatam.)} \\ &= 0.7795 : 1 : 1.2812 \text{ (Babcock.)} \\ &= 0.770 : 1 : 1.251 \text{ (Hauy.)} \\ &= 0.7813 : 1 : 1.244 \text{ (Lévy.)} \end{aligned}$$

$$\{ a : b : c = 0.611 : 1 : 0.782 \} \text{ (Mohs-Zippe. Hausmann.)}$$

$$[ a : b : c = 0.7794 : 1 : 0.6086 ] \text{ (Grailich u. Lang.)}$$

$$[ \quad \quad = 0.7800 : 1 : 0.6084 ] \text{ (Schrauf.)}$$

#### Elemente.

0.7779	lg a = 989092	lg a <sub>0</sub> = 978286	lg p <sub>0</sub> = 021714	a <sub>0</sub> = 0.6065	p <sub>0</sub> = 1.6487
1.2825	lg c = 010806	lg b <sub>0</sub> = 989194	lg q <sub>0</sub> = 010806	b <sub>0</sub> = 0.7797	q <sub>0</sub> = 1.2825

#### Transformation.

Mohs-Zippe. Hausmann.	Grailich. Lang. Schrauf.	Miller. Dana. Groth. Dauber. Schmidt. Hauy. Levy. Arzruni. Babcock. Gdt.
$p \ q$	$\frac{1}{p} \ \frac{q}{p}$	$\frac{p}{q} \ \frac{1}{q}$
$\frac{1}{p} \ \frac{q}{p}$	$p \ q$	$\frac{1}{q} \ \frac{p}{q}$
$\frac{p}{q} \ \frac{1}{q}$	$\frac{q}{p} \ \frac{1}{p}$	$p \ q$

uy. ret. hs. um. sch. ism.	Phillips	Hugard	Babcock	Miller.	Schrauf Schmidt Auer- bach.	Websky	Miller.	Naumann.	[Hausm.]	[Mohs-Zippe.]	Hauy.	Lévy.	Gdt.
	p	p	P	c	a	P	∞01	0P	B	$\bar{P}r + \infty$	P	p	o
	h	g <sup>1</sup>	—	a	b	—	010	∞ $\bar{P}$ ∞	A	$P - \infty$	—	—	o∞
	f	h <sup>1</sup>	—	b	c	s	100	∞ $\bar{P}$ ∞	B'	$\bar{P}r + \infty$	<sup>1</sup> H <sup>1</sup>	h <sup>1</sup>	∞o

(Fortsetzung S. 449.)

Literatur.

<i>Hauy</i>	<i>Traité Min.</i>	1822	2	30
<i>Mohs</i>	<i>Grundr.</i>	1824	2	145
<i>Hartmann</i>	<i>Handwb.</i>	1828	—	262
<i>Suckow</i>	<i>Pogg. Ann.</i>	1833	29	504
<i>Lévy</i>	<i>Descr.</i>	1838	1	220
<i>Mohs-Zippe</i>	<i>Min.</i>	1839	2	126
<i>Hausmann</i>	<i>Handb.</i>	1847	2	(2) 1116
<i>Hugard</i>	<i>Ann. Min.</i>	1850 (4)	13	3—26
<i>Miller</i>	<i>Min.</i>	1852	—	527
<i>Websky</i>	<i>D. Geol. Ges.</i>	1857	9	303
<i>Grailich u. Lang</i>	<i>Wien. Sitzb.</i>	1857	27	33
<i>Dauber</i>	<i>Pogg. Ann.</i>	1859	108	447
<i>Schrauf</i>	<i>Wien. Sitzb.</i>	1860	39	915
<i>Kokscharow</i>	<i>Mat. Min. Russl.</i>	1866	5	5
<i>Auerbach</i>	<i>Wien. Sitzb.</i>	1869	59	549 (Zstellig.)
<i>Arzruni</i>	<i>D. Geol. Ges.</i>	1872	24	477 (Rüdersdorf. Mokkatam. Zstellig. d. Axen-Verh.)
<i>Dana</i>	<i>System</i>	1873	—	619
<i>Schrauf</i>	<i>Atlas</i>	1877	—	Taf. XLVII u. XLVIII
<i>Hauer</i>	<i>Zeitschr. Kryst.</i>	1880	4	634 (Banat)
<i>Babcock</i>	"	1881	5	395
"	<i>Jahrb. Min.</i>	1879	—	835 (Jühnde)
<i>Schmidt, Al.</i>	<i>Zeitschr. Kryst.</i>	1882	6	99
<i>Lasaulz</i>	"	1882	6	203 (Ville sur Saulx)
<i>Pansbianco</i>	<i>Att. Soc. Ven. Trent.</i>	1884	9	Sep. 2—9.

*Bemerkungen* }  
*Correcturen* } s. S. 450 u. 452.

## 2.

Hauy. Soret. Mohs. Naum. Kokschr. Hauem.	Phillips	Hugard.	Babcock	Miller.	Schrauf Schmidt Auer- bach.	Websky	Miller.	Naumann.	[Hauem.]	[Mohs-Zippe.]	Hauy.	Lévy.	Gdt.
—	—	—	—	—	p	m	210	$\infty \bar{P} 2$	—	—	—	—	$2\infty$
—	—	—	—	—	t	—	530	$\infty \bar{P} \frac{5}{3}$	—	—	—	—	$\frac{5}{3}\infty$
—	—	—	—	—	u	—	320	$\infty \bar{P} \frac{3}{2}$	—	—	—	—	$\frac{3}{2}\infty$
—	—	—	—	—	w	—	750	$\infty \bar{P} \frac{7}{3}$	—	—	—	—	$\frac{7}{3}\infty$
—	—	—	—	—	$\gamma$	—	650	$\infty \bar{P} \frac{6}{5}$	—	—	—	—	$\frac{6}{5}\infty$
M	M	M	M	m	m	M	110	$\infty P$	D'	$\bar{P}r$	M	m	$\infty$
t(?)	—	$g^3$	—	n	n	t	120	$\infty \bar{P} 2$	—	—	—	—	$\infty 2$
—	$c^1$	—	—	$\xi$	$\xi$	—	0-1-12	$\frac{1}{12} \bar{P} \infty$	—	—	—	—	$0 \frac{1}{12}$
—	—	$e^8$	—	—	$\rho$	—	018	$\frac{1}{8} \bar{P} \infty$	—	—	—	—	$0 \frac{1}{8}$
—	—	$e^5$	—	—	r	—	015	$\frac{1}{5} \bar{P} \infty$	—	—	—	—	$0 \frac{1}{5}$
—	—	—	—	—	—	—	014	$\frac{1}{4} \bar{P} \infty$	—	—	—	—	$0 \frac{1}{4}$
—	—	—	—	i	i	—	013	$\frac{1}{3} \bar{P} \infty$	$BA \frac{1}{3}$	$\frac{3}{4} \bar{P}r + 2$	—	—	$0 \frac{1}{3}$
—	—	$e^2$	—	h	$\varepsilon_1$	—	012	$\frac{1}{2} \bar{P} \infty$	—	—	—	—	$0 \frac{1}{2}$
—	—	—	—	$\zeta$	$\varepsilon$	—	023	$\frac{2}{3} \bar{P} \infty$	—	—	—	—	$0 \frac{2}{3}$
Q	—	$e^1$	o	o	M(o)	o	011	$\bar{P} \infty$	D	$\bar{P}r$	$\frac{1}{E}$	$e^1$	$0 \frac{1}{E}$
—	—	$e^{\frac{1}{2}}$	—	—	$\varepsilon$	$\varepsilon_0$	021	$2 \bar{P} \infty$	—	—	—	—	$0 \frac{2}{1}$
h	—	$a^8$	—	—	$\delta$	—	108	$\frac{1}{8} \bar{P} \infty$	—	—	—	—	$\frac{1}{8} 0$
—	—	—	—	—	$\lambda$	—	2-0-11	$\frac{1}{11} \bar{P} \infty$	—	—	—	—	$\frac{1}{11} 0$
l	$a^1$	$a^4$	—	l	l	l	102	$\frac{1}{2} \bar{P} \infty$	$BB'4$	$(\bar{P} + \infty)^4$	$\bar{A}$	$a^4$	$\frac{1}{2} 0$
—	—	—	—	—	v	—	207	$\frac{2}{7} \bar{P} \infty$	—	—	—	—	$\frac{2}{7} 0$
g	—	—	—	g	g	—	103	$\frac{1}{3} \bar{P} \infty$	$BB'3$	$(\bar{P} + \infty)^3$	—	—	$\frac{1}{3} 0$
d	$a^2$	$a^2$	d	d	d	d	102	$\frac{1}{2} \bar{P} \infty$	$BB'2$	$(\bar{P}r + \infty)^2$	$\bar{A}$	$a^2$	$\frac{1}{2} 0$
—	$a^3$	$a^{\frac{4}{3}}$	—	e	e	—	304	$\frac{3}{4} \bar{P} \infty$	—	—	—	—	$\frac{3}{4} 0$
—	—	$a^1$	—	—	k	—	101	$\bar{P} \infty$	—	—	—	—	$1 0$
—	—	—	—	—	$\alpha$	—	115	$\frac{1}{5} P$	—	—	—	—	$\frac{1}{5}$
q	—	—	—	q	q	—	114	$\frac{1}{4} P$	$BD'4$	$(\bar{P})^4$	—	—	$\frac{1}{4}$
f	—	—	—	f	f	—	113	$\frac{1}{3} P$	$BD'3$	$(\bar{P})^3$	—	—	$\frac{1}{3}$
—	—	—	—	—	s	—	112	$\frac{1}{2} P$	—	—	—	—	$\frac{1}{2}$
z	—	$b^{\frac{1}{2}}$	s	z	(o)z	z	111	P	P	P	$\frac{1}{B}$	$b^{\frac{1}{2}}$	1
—	—	—	—	—	$z^2$	—	221	$2 P$	—	—	—	—	2
—	—	—	—	—	$\beta$	—	121	$2 \bar{P} 2$	—	—	—	—	$1 2$
—	—	—	—	—	$\theta$	—	131	$3 \bar{P} 3$	—	—	—	—	$1 3$
—	—	—	—	—	$y^3$	$y_3$	1-16-16	$\bar{P} 16$	—	—	—	—	$\frac{1}{16} 1$
—	—	—	—	—	$y^2$	$y_2$	166	$\bar{P} 6$	—	—	—	—	$\frac{1}{6} 1$
—	—	$i^n$ (?)	—	$\chi$	$\chi(k)$	—	144	$\bar{P} 4$	—	—	—	—	$\frac{1}{4} 1$
—	—	—	—	—	$\eta$	—	277	$\bar{P} \frac{7}{2}$	—	—	—	—	$\frac{7}{2} 1$
n	—	$i^c$	—	$\psi$	$\psi$	$\psi$	133	$\bar{P} 3$	$DB' \frac{1}{3}$	$(\frac{1}{3} P - 2)^3$	$\frac{2}{3} \bar{P}^3$	$\frac{1}{3} \bar{P}^3$	$\frac{1}{3} 1$

(Fortsetzung S. 451.)



Cölestin.

Bemerkungen.

Arzruni giebt (D. Geol. Ges. 1872. 24. 490) folgende Zusammenstellung der Verhältnisse:

Erie-See . . . . .	0.7696 : 1 : 1.2551	Arzruni
Rüdersdorf . . . . .	0.7790 : 1 : 1.2753	"
Bex und Herrengrund . . . . .	0.7790 : 1 : 1.2801	Auerbach
Sicilien . . . . .	0.7803 : 1 : 1.2824	"
Dornburg . . . . .	0.7808 : 1 : 1.2831	"
Bristol . . . . .	0.7817 : 1 : 1.2847	"
Mokkatam . . . . .	0.7824 : 1 : 1.2841	"
Pschow . . . . .	0.7875 : 1 : 1.2830	Websky.

Von den von Hugard angegebenen [redacted] en Formen (Ann. Min. 1850. (4) 18. 3) v  
nur die aufgenommen, die Auerbach [redacted] (Wien. Sitzb. 1869. 59. 549), der die Hu  
schen Angaben geprüft hat. Einer ern [redacted] üfung wurden sie vorläufig nicht unterzo

## 3.

Hauy. Soret. Mohs. Naum. Koksch. Hausm.	Philipps	Hugard.	Babcock	Miller.	Schrauf Schmidt Auer- bach.	Websky	Miller.	Naumann.	[Hausm.]	[Mohs-Zippe.]	Hauy.	Lévy.	Gdt.
y	—	—	—	y	y	y	122	$\frac{1}{2} P_2$	$DB \frac{1}{2} (P_r - 1)^2 (P - 1)^2$	—	—	—	$\frac{1}{2} 1$
—	—	—	—	—	w	w	5·12·10	$\frac{5}{3} P_{12}$	—	—	—	—	$\frac{1}{2} 8$
—	—	—	—	s	$\mu$	$\mu$	132	$\frac{3}{2} P_3$	—	—	—	—	$\frac{1}{2} 3$
—	—	—	—	—	$\tau$	$\tau$	142	$\frac{2}{3} P_4$	—	—	—	—	$\frac{1}{2} 2$
—	—	—	—	—	v	v	324	$\frac{3}{4} P_{\frac{3}{2}}$	—	—	—	—	$\frac{3}{4} \frac{1}{2}$
—	—	ih (?)	—	$\pi$	$\mu^1$	$\mu_1$	143	$\frac{4}{3} P_4$	—	—	—	—	$\frac{1}{3} \frac{4}{3}$
—	—	—	—	—	$H^2$	—	153	$\frac{3}{4} P_5$	—	—	—	—	$\frac{1}{3} \frac{5}{3}$
—	—	—	—	—	—	—	382	$\frac{4}{3} P_6$	—	—	—	—	$\frac{3}{4} 4$
—	—	—	—	—	x	—	135	$\frac{3}{4} P_3$	—	—	—	—	$\frac{1}{3} \frac{3}{4}$
—	—	—	—	—	—	—	215	$\frac{2}{3} P_2$	—	—	—	—	$\frac{2}{3} \frac{1}{3}$
—	—	—	—	—	$\varphi^1$	$\varphi_1$	146	$\frac{3}{4} P_4$	—	—	—	—	$\frac{1}{6} \frac{2}{3}$
—	—	—	—	—	—	$\mu_2$	187	$\frac{8}{9} P_8$	—	—	—	—	$\frac{1}{4} \frac{8}{9}$
—	—	—	—	—	$\varphi^2$	$\varphi_2$	169	$\frac{2}{3} P_6$	—	—	—	—	$\frac{1}{6} \frac{2}{3}$
—	—	—	—	—	$\mu^3$	$\mu_3$	1·24·23	$\frac{24}{23} P_{24}$	—	—	—	—	$\frac{1}{23} \frac{24}{23}$
—	—	—	—	—	$\varphi^3$	$\varphi_3$	1·16·24	$\frac{16}{24} P_{16}$	—	—	—	—	$\frac{1}{24} \frac{16}{24}$
—	—	—	—	—	$\mu^0$	$\mu_0$	253	$\frac{3}{4} P_{\frac{5}{2}}$	—	—	—	—	$\frac{3}{4} \frac{5}{2}$

Correcturen.

<i>Haug</i>	<i>Traité Min.</i>	1822	2	Seite	33	Zeile 7	vu	lies	'H'	statt	'G'
<i>Suckow</i>	<i>Pogg. Ann.</i>	1833	29	"	505	"	9	vo	"	P <sub>∞</sub>	P <sub>∞</sub>
<i>Auerbach</i>	<i>Wien. Sitzb.</i>	1869	59 (1)	"	557	"	1	vu	"	e <sup>2</sup>	c <sup>1</sup>
<i>Dana</i>	<i>System</i>	1873	—	"	619	"	14	vu	"	$\frac{2}{3} - \frac{1}{4}$	$\frac{2}{3} - \frac{1}{4}$

# Colemanit.

## Monoklin.

### Axenverhältniss.

$$a : b : c = 0.7747 : 1 : 0.5418 \quad \beta = 110^\circ 13' \text{ (Hiörtdahl. Gdt.)}$$

$$a : b : c = 0.7769 : 1 : 0.5416 \quad \beta = 110^\circ 17' \text{ (Rath.)}$$

$$a : b : c = 0.7748 : 1 : 0.5410 \quad \beta = 110^\circ 9' \text{ (Jackson.)}$$

### Elemente.

a = 0.7747	lg a = 988913	lg a <sub>0</sub> = 015529	lg p <sub>0</sub> = 984471	a <sub>0</sub> = 1.4298	p <sub>0</sub> = 0.6994
c = 0.5418	lg c = 973384	lg b <sub>0</sub> = 026616	lg q <sub>0</sub> = 970622	b <sub>0</sub> = 1.8457	q <sub>0</sub> = 0.5084
$\mu = \begin{cases} 69^\circ 47' \\ 180 - \beta \end{cases}$	$\lg h = \begin{cases} 997238 \\ \lg \sin \mu \end{cases}$	$\lg e = \begin{cases} 953854 \\ \lg \cos \mu \end{cases}$	$\lg \frac{p_0}{q_0} = 013849$	h = 0.9384	e = 0.3456

No.	Jackson. Gdt.	Hiörtdahl.	Rath.	Miller.	Naumann.	Gdt.
1	g	c	c	001	oP	o
2	m	b	b	010	∞P∞	o∞
3	n	a	a	100	∞P∞	∞o
4	t	p	n	210	∞P2	2∞
5	s	g	m	110	∞P	∞
6	z	f	—	120	∞P2	∞2
7	c	q	e	011	P∞	o1
8	a	k	d	021	2P∞	o2
9	V	—	—	101	— P∞	+1o
10	λ	s	—	201	— 2P∞	+2o
11	i	r	—	101	+ P∞	—1o
12	h	p	h	201	+ 2P∞	—2o
13	W	—	—	301	+ 3P∞	—3o
14	Ψ	—	—	401	+ 4P∞	—4o
15	U	—	—	601	+ 6P∞	—6o
16	G	—	—	771	— 7P	+7
17	σ	y	p	331	— 3P	+3
18	b	o	o	111	— P	+1
19	y	w	u	111	+ P	—1
20	v	m	i	221	+ 2P	—2
21	q	—	—	331	+ 3P	—3
22	w	u	q	131	— 3P3	+13
23	r	—	—	232	+ 3P3	—13
24	d	i	t	121	+ 2P2	—12
25	x	—	—	131	+ 3P3	—13
26	k	e	—	311	— 3P3	+31
27	o	l	—	211	+ 2P2	—21
28	θ	—	—	311	+ 3P3	—31
29	B	—	—	411	+ 4P4	—41
30	p	—	—	412	+ 2P4	—21
31	ε	n	—	231	+ 3P3	—23
32	Q	—	—	241	+ 4P2	—24
33	γ	—	—	321	+ 3P3	—32
34	w	—	—	721	+ 7P3	—72

Literatur.

Bodewig u. Rath	Ver. Rhod. Westf.	1884	—	333
Jackson	Bull. California Ac. Sc.	1885	No. 2.	3.
Hjörtdahl	Zeitschr. Kryst.	1885	10	25.

Bemerkungen.

Bodewig und Rath geben eine zweite Aufstellung mit fast rechtwinkligen Axen und dem Verhältnisse:

$$a : b : c = 1.4790 : 1.05414 \quad \beta = 90^\circ 7'.$$

Es ist, wenn wir diese Aufstellung mit Rath-Bodewig II. bezeichnen:

$$pq \text{ (Hjörtdahl, Jackson, Rath-Bodewig I.)} = (2p+1) q \text{ (Rath-Bodewig II.)}$$

$$pq \text{ (Rath-Bodewig II.)} = \frac{p-1}{2} q \text{ (Hjörtdahl, Jackson, Rath-Bodewig I.)}$$

Doch führt diese Aufstellung zu unnatürlich complicirten Symbolen.

Ausser den angeführten Formen giebt Jackson noch die folgenden, die jedoch als unsicher anzusehen sind:

- $P = \infty \frac{1}{2}$  (10.19.0) (S. 10) Fläche sehr schmal. Reflex breit ohne feste Grenzen.  
 $J = \infty \frac{1}{3}$  (370) | (S. 9) Je einmal beobachtet; klein, schlechte Reflexe, starke Winkelabweichung.  
 $H = \infty 3$  (130) |  
 $\Delta = +\frac{1}{2}$  (19.19.6) (S. 11) Nur einmal beobachtet. Messung nach einer gestörten Fläche von  $\infty$  (110). Wohl eine Vicinalfläche des bekannten  $+3$  (331).

Die Formen  $+10$  (V),  $-30$  (W),  $+7$  (G),  $-3$  (q),  $-2\frac{1}{2}$  (p),  $-32$  (7) und  $-72$  (w) finden sich in dem Appendix II. von Jackson's Arbeit (S. 31).

Columbit.

1.

Rhombisch.

Axenverhältniss.

$a : b : c = 0.8216 : 1 : 2.4546$  (Gdt.)  
 $[a : b : c = 0.4074 : 1 : 0.3347]$  (Schrauf.)  
 $(a : b : c = 0.8148 : 1 : 0.6692)$  (Groth.)  
 $\{a : b : c = 0.829 : 1 : 0.877\}$  (Rose. Hausmann. Miller.)  
Dana. Des Cloizeaux.)  
 $[(a : b : c = 0.345 : 1 : 0.398)]$  (Breithaupt.)

Elemente.

$a = 0.8216$	$\lg a = 991466$	$\lg a_0 = 952468$	$\lg p_0 = 047532$	$a_0 = 0.3347$	$p_0 = 2.9876$
$c = 2.4546$	$\lg c = 038998$	$\lg b_0 = 961002$	$\lg q_0 = 038998$	$b_0 = 0.4074$	$q_0 = 2.4546$

Transformation.

Rose. Hausmann. Miller. Dana. Des Cloizeaux.	Schrauf.	Groth.	Breithaupt.	Gdt.
$p\ q$	$3p \cdot q$	$q \frac{3p}{2}$	$\frac{1}{q} \frac{3p}{q}$	$\frac{1}{3p} \frac{q}{3p}$
$\frac{p}{3} \cdot q$	$p\ q$	$q \frac{p}{2}$	$\frac{1}{p} \frac{q}{p}$	$\frac{1}{q} \frac{p}{q}$
$\frac{2q}{3} \cdot p$	$2q \cdot p$	$p\ q$	$\frac{1}{p} \frac{2q}{p}$	$\frac{1}{2q} \frac{p}{2q}$
$\frac{q}{3p} \cdot \frac{1}{p}$	$\frac{q}{p} \cdot \frac{1}{p}$	$\frac{1}{p} \frac{q}{2p}$	$p\ q$	$\frac{p}{q} \cdot \frac{1}{q}$
$\frac{1}{3p} \cdot \frac{q}{p}$	$\frac{1}{p} \cdot \frac{q}{p}$	$q \frac{1}{2p}$	$\frac{p}{q} \cdot \frac{1}{q}$	$p\ q$

No.	Gdt.	Dana.	Miller.	Schrauf. Maske- lyne. Strüver.	Rose. Haus- mann.	Breit- haupt.	Miller.	Naumann.	[Haus- mann.]	[Descl.]	Gdt.
1	b	M	b	A (b)	a	f	001	oP	B'	h <sup>1</sup>	o
2	a	M	a	B (a)	b	P	010	∞P̄∞	B	g <sup>1</sup>	o∞
3	c	P	c	C (c)	c	—	100	∞P̄∞	A	p	∞o

(Fortsetzung S. 457.)

Literatur.

Dana, J. D.	Amer. Journ.	1837	32	149
Rose, G.	Pogg. Ann.	1845	64	171 u. 336
Hausmann	Handb.	1847	2	(2) 964
Miller	Min.	1852	—	471
Des Cloiseaux	Ann. Min.	1855 (5)	8	398 (Baierin)
Breithaupt	Berg- u. Hüt.-Ztg. (Hartmann)	1858	17	61 (Grönlandit)
Schrauf	Wien. Stab.	1861	44	(2) 445 (Monogr.)
Maskelyne	Phil. Mag.	1863 (4)	25	41
Nordenskjöld	Pogg. Ann.	1864	122	610
Dana, J. D.	System	1873	—	515
Schrauf	Atlas	1877	—	Taf. XLIX
Rath	Zeitschr. Kryst.	1880	4	432
Scharizer	"	1880	4	633
Groth	Tab. Uebers.	1882	—	63
Strüver	Zeitschr. Kryst.	1885	10	85.

Bemerkungen }  
 Correcturen } s. Seite 458.



## 2.

No.	Gdt.	Dana.	Miller.	Schrauf. Maske- lyne. Strüver.	Rose. Haus- mann.	Breit- haupt.	Miller.	Naumann.	[Haus- mann.]	[Descl.]	Gdt.
4	i	a	—	i	—	i	110	$\infty P$	—	$e^1$	$\infty$
5	e	$\bar{e}$	h	e	2 f	—	120	$\infty \bar{P}_2$	$BA \frac{1}{2}$	$e^{\frac{1}{2}}$	$\infty 2$
6	y	$\bar{e}$	g	y	2 g	—	016	$\frac{1}{6} \bar{P}_\infty$	$B'B_2$	—	$0 \frac{1}{6}$
7	z	—	—	z	—	—	015	$\frac{1}{3} \bar{P}_\infty$	$(B'B_3)$	—	$0 \frac{1}{3}$
8	m	e	m	m	g	o	013	$\frac{1}{3} \bar{P}_\infty$	E	m	$0 \frac{1}{3}$
9	g	$\bar{e}$	l	g	$\frac{1}{3} g$	n	011	$\bar{P}_\infty$	$BB'_3$	$g^2$	0 1
10	d	—	—	—	—	—	106	$\frac{1}{6} \bar{P}_\infty$	—	—	$\frac{1}{6} 0$
11	$\lambda$	—	—	—	—	—	308	$\frac{3}{8} \bar{P}_\infty$	—	—	$\frac{3}{8} 0$
12	h	—	v	h	—	—	102	$\frac{1}{2} \bar{P}_\infty$	$AB' \frac{1}{2}$	$a^2$	$\frac{1}{2} 0$
13	$\mu$	—	—	—	—	—	508	$\frac{5}{8} \bar{P}_\infty$	—	—	$\frac{5}{8} 0$
14	f	—	—	f	—	—	203	$\frac{2}{3} \bar{P}_\infty$	—	$a^2$	$\frac{2}{3} 0$
15	k	—	d	k	$\frac{1}{3} d$	M	101	$\bar{P}_\infty$	$AB'_3$	$a^3$	1 0
16	l	—	y	l	—	—	201	$2 \bar{P}_\infty$	$AB'_6$	$a^6$	2 0
17	x	—	—	x	—	—	116	$\frac{1}{6} P$	—	—	$\frac{1}{6}$
18	o	—	o	o	o	—	113	$\frac{1}{3} P$	P	$b^{\frac{1}{2}}$	$\frac{1}{3}$
19	$\beta$	—	—	$\beta$	—	—	112	$\frac{1}{2} P$	—	$\beta$	$\frac{1}{2}$
20	u	$\bar{o}$	u	u	u	p	111	P	$DB' \frac{1}{3}$	u	1
21	a	—	—	a	—	—	313	$\bar{P}_3$	—	—	$1 \frac{1}{3}$
22	n	$\bar{o}''$	n	n	n	—	121	$2 \bar{P}_2$	$EA \frac{1}{2} \cdot DB' \frac{1}{6}$	n	1 2
23	$\varphi$	—	—	$\varphi$	—	—	141	$4 \bar{P}_4$	—	—	1 4
24	r	—	—	r	—	—	199	$\bar{P}_9$	—	r	$\frac{1}{9} 1$
25	s	—	—	s	—	—	122	$P_2$	—	s	$\frac{1}{2} 1$
26	t	—	—	t	—	—	124	$\frac{1}{2} \bar{P}_2$	—	t	$\frac{1}{4} \frac{1}{2}$
27	$\sigma$	—	—	$\sigma$	—	—	316	$\frac{1}{2} \bar{P}_3$	—	—	$\frac{1}{2} \frac{1}{6}$
28	$\pi$	—	—	$\pi$	—	—	123	$\frac{2}{3} \bar{P}_2$	—	$e^3$	$\frac{1}{3} \frac{2}{3}$

Bemerkungen.

Strüver sagt (Zeitschr. Kryst. 1885, 10, 85): er habe Schrauf's Axen-Verhältnis Orientirung (Monographie des Columbit nicht Atlas der Krystallformen) angenommen. der That fallen beide Angaben zusammen, wie aus den Figuren und dem Projectionsbild vorgeht, nur ist Symbol und Axenverhältniss im Atlas nach Miller'scher Art zu lesen dass sich a und h auf die Queraxe beziehen), in der Monographie nach der jetzt allgemein angenommenen Art, dass sich a und h auf die (kurze) Längsaxe beziehen. Der Unterschied liegt nicht in der Aufstellung, sondern in der Synonymik Buchstaben.

Breithaupt's  $P_{44} = \frac{1}{2} \frac{1}{2} 1$  dürfte wohl mit  $s = \frac{1}{2} 1$  identisch sein.

Hausmann's  $B'B\frac{1}{2}$  erwähnt Schrauf in seiner Monographie nicht. Es bedeute unserer Aufstellung  $0\frac{1}{2}7$  (0.5.27) und dürfte wohl identisch sein mit  $z = 0\frac{1}{2}$  (015).

Correcturen.

Rose, G. Pogg. Ann. 1845 64 S. 173 Z. 9 vo lies  $\infty a : \frac{1}{2} b : c$  statt  $\frac{1}{2} a : \infty b : c$   
 Schrauf Wien. Sitzb. 1861 44 „ 454 „ 10 vo „  $g^1 (100)$  „  $b (100)$ .

Connellit.

Hexagonal - holoeidrisch.

Axenverhältniss.

$a : c = 1 : 2.0031 \text{ (G}_1\text{)}$   
(1)

$a : c = 1 : 1.1565 \text{ (Maskelyne. Schrauf. Dana. G}_1\text{.)}$   
(10)

Elemente.

= 2.0031	lg c = 0.30170	lg a <sub>0</sub> = 993686	lg p <sub>0</sub> = 0.12561	a <sub>0</sub> = 0.8647	p <sub>0</sub> = 1.3354
		lg a' <sub>0</sub> = 969830		a' <sub>0</sub> = 0.4992	

Transformation.

Maskelyne. Schrauf. Dana. G <sub>1</sub>	G <sub>2</sub>
p q	(p + 2q) (p - q)
$\frac{p+2q}{3} \quad \frac{p-q}{3}$	p q

Miller. Schrauf. Gdt.	Maskelyne.	Dana.	Bravais.	Miller.	Naumann.	G <sub>1</sub> .	G <sub>2</sub>
a	b	—	1010	211	∞P	∞0	∞
b	a	—	1120	101	∞P 2	∞	∞0
r	r z }	—	1011	100	P	1 0	1
o	o w }	w	11.2.13.3	924	$\frac{1}{3}P\frac{1}{3}$	$\frac{1}{3}\frac{2}{3}$	5 3

Literatur.

Miller	Min.	1852	—	680
Maskelyne	Phil. Mag.	1863 (4)	25	39
Dane, J. D.	System	1873	—	687
Schrauf	Atlas	1877	—	Taf. L.

Copiapit.

Rhombisch.

Axenverhältniss.

$a:b:c = 0.81:1:?$  (Bertrand.)

No.	Gdt.	Miller.	Naumann.	Bertrand.	Gdt.
1	c	001	oP	p	o
2	b	010	$\infty P \infty$	$g^1$	$o \infty$
3	a	100	$\infty P \infty$	$h^1$	$\infty o$
4	m	110	$\infty P$	m	$\infty$

Literatur.

Bertrand *Bull. soc. min.* 1881 4 11  
Neumann-Zirkel *Elem.* 1881 — 447.

Coquimbit.

Hexagonal.

Axenverhältniss.

$a : c = 1 : 2.7098 \text{ (G}_1\text{)}$   
 $\text{(1)}$   
 $a : c = 1 : 1.5645 \text{ (Arzruni. Groth. . . G}_1\text{.)}$   
 $\text{(10)}$   
 $\text{w} = 1 : 1.562 \text{ (Rose.)}$   
 $(a : c = 1 : 2.705) \text{ (Miller. Schrauf.)}$   
 $\text{(10)}$

Elemente.

c = 2.7098	lg c = 0.43294	lg a <sub>o</sub> = 980562	lg p <sub>o</sub> = 0.25685	a <sub>o</sub> = 0.6392	p <sub>o</sub> = 1.8065
		lg a' <sub>o</sub> = 956706		a' <sub>o</sub> = 0.3690	

Transformation.

Miller. Schrauf.	Rose. Arzruni. Groth. Hausmann. G <sub>1</sub> .	G <sub>2</sub>
p q	(p + 2q) (p − q)	3p · 3q
$\frac{p + 2q}{3} \frac{p - q}{3}$	p q	(p + 2q) (p − q)
$\frac{p}{3} \frac{q}{3}$	$\frac{p + 2q}{3} \frac{p - q}{3}$	p q

No.	Gdt.	Rose.	Miller.	Bravais.	Miller.	Naumann.	Hausm.	G <sub>1</sub>	G <sub>2</sub>
1	o	c	o	0001	111	oP	A	o	o
2	a	g	a	1010	211	∞P	E	∞o	∞
3	b	—	b	1120	101	∞P 2	—	∞	∞o
4	z	—	—	1013	522	$\frac{1}{3}$ P	—	$\frac{1}{3}$ o	$\frac{1}{3}$
5	y	—	—	1012	411	$\frac{1}{2}$ P	—	$\frac{1}{2}$ o	$\frac{1}{2}$
6	x	r	x	1011	100	P	P	1o	1
7	d	—	—	1122	521	P 2	—	$\frac{1}{2}$	$\frac{3}{2}$ o
8	e	—	—	1121	412	2 P 2	—	1	3o



Literatur.

Rose	Pogg. Ann.	1833	27	310	—
Hausmann	Handb.	1847	2	(2) 1201	
Miller	Min.	1852	—	552	
Schrauf	Wien. Sitzb.	1860	39	895	
Dana, J. D.	System	1873	—	650	
Arzruni	Zeitschr. Kryst.	1879	3	516	

Bemerkungen.

In Haidinger's Min. 1845. 489 ist die Figur den unrichtigen Winkelwerte sprechend viel zu flach, vgl. Rose. Betreffs der Correcturen vgl. Arzruni Zeitschr. 1879. S. 517.

Correcturen.

Rose	Pogg. Ann.	1833	27	Seite 311	Zeile 6 vo	lies	g	statt
"	"	1833	27	" 311	" 7 vo	"	c	"
Haidinger	Min.	1845	—	" 489	" 14 vu	"	122° 0'	"
Hausmann	Handb.	1847	2 (2)	" 1201	" 11 vu	"		"
Miller	Min.	1852	—	" 552	" 3 vo	"	75° 15'	" 4
"	"	1852	—	" 552	" 9 vo	"	61° 0'	" 2
Schrauf	Wien. Sitzb.	1860	39	" 895	" 10 vo	"	0-3696	" 1
"	"	1860	39	" 895	" 11 vo	"	75° 15'	" 4
Dana	System	1873	—	" 650	" 12 vu	"	119°	"
"	"	1873	—	" 650	" 12 vu	"	151°	"
Naumann-Zirkel	Elem.	1877	—	" 440	" 5 vo	"	122°	"
"	"	1877	—	" 440	" 5 vo	"	1-562	" 1

# Cordierit.

1.

Rhombisch.

Axenverhältnisse.

$$a : b : c = 0.9511 : 1 : 1.7033 \text{ (Gdt.)}$$

$$\{a : b : c = 0.575 : 1 : 2.02\} \text{ (Lévy.)}$$

$$[a : b : c = 0.5871 : 1 : 0.5584] \text{ (Miller, Des Cloizeaux, Rath, Groth, Kokscharow.)}$$

$$[ \quad \quad = 0.5773 : 1 : 0.5773 ] \text{ (Hausmann 1859.)}$$

$$[ \quad \quad = 0.5773 : 1 : 0.5959 ] \text{ (Tamnau, Hausmann 1847, Mohs-Zippe.)}$$

Elemente.

$a = 0.9511$	$\lg a = 997823$	$\lg a_0 = 974694$	$\lg p_0 = 025306$	$a_0 = 0.5584$	$p_0 = 1.7908$
$c = 1.7033$	$\lg c = 023129$	$\lg b_0 = 976871$	$\lg q_0 = 023129$	$b_0 = 0.5871$	$q_0 = 1.7033$

Transformation.

Mohs-Zippe. Hausm. Miller. Tamnau, Rath. Descl. Groth. Kokscharow.	Lévy.	Gdt.
$p q$	$\frac{p}{4} \frac{q}{4}$	$\frac{1}{q} \frac{p}{q}$
$4p \cdot 4q$	$p q$	$\frac{1}{4q} \frac{p}{q}$
$\frac{q}{p} \frac{1}{p}$	$\frac{q}{4p} \frac{1}{4p}$	$p q$

No.	Gdt.	Miller.	Rath.	Hausmann.	Miller.	Nau- mann.	[Descl.]	[Hausm.]	[Mohs.] [Hartm.] [Zippe.]	[Lévy.]	Gdt.
1	a	a	b	l	001	oP	$g^1$	B	$Pr + \infty$	$g^1$	o
2	b	b	a	k	010	$\infty P \infty$	$h^1$	B'	$Pr + \infty$	$h^1$	$0 \infty$
3	c	c	c	M	100	$\infty P \infty$	p	A	$P - \infty$	p	$\infty 0$
4	f	—	—	—	210	$\infty P 2$	$a^2$	$AB'2$	—	—	$2 \infty$
5	e	—	—	—	110	$\infty P$	$a^1$	D'	—	—	$\infty$
6	d	d	d	d	013	$\frac{1}{3} P \infty$	$g^2$	$BB'3$	$(P + \infty)^3$	$g^2$	$0 \frac{1}{3}$

(Fortsetzung S. 467.)

Goldschmidt, Index.

Literatur.

Mohs	Grundr.	1824	2	306	
Hartmann	Handb.	1828	—	426	
Tamrau	Pogg. Ann.	1828	12	495	
Lévy	Descript.	1838	2	149	
Mohs-Zipps	Min.	1839	2	358	
Hausmann	Handb.	1847	2	(1) 553	
Miller	Min.	1852	—	325	
Kokscharow	Mat. Min. Russl.	1858	8	253	
Hausmann	Ueber Krystall-Formen des	Cordierit.			Göttingen 1859
Des Cloiseaux	Manuel	1862	1	354	
Rath	Pogg. Ann.	1874	152	40	} (Laacher See)
"	Jahrb. Min.	1874	—	865.	

## 2.

Gdt.	Miller.	Rath.	Hausmann.	Miller.	Nau- mann.	[Descl.]	[Hausm.]	[Mohs.] [Hartm.] [Zippe.]	[Lévy.]	Gdt.
m	m	m	T	011	$\bar{P}\infty$	m	E	$P+\infty$	m	01
q	—	—	—	104	$\frac{1}{2}\bar{P}\infty$	$e^{\frac{1}{2}}$	—	—	$e^1$	$\frac{1}{2}0$
$\sigma$	—	—	—	207	$\frac{2}{3}\bar{P}\infty$	—	$BA\frac{2}{3}$	—	—	$\frac{2}{3}0$
p	—	—	—	102	$\frac{1}{2}\bar{P}\infty$	$e^{\frac{1}{2}}$	$BA\frac{1}{2}$	$\bar{P}r+\frac{1}{2}$	$e^2$	$\frac{1}{2}0$
n	n	n	n	101	$\bar{P}\infty$	$e^1$	D	$\bar{P}r$	? ( $e^3$ )	10
l	—	—	—	201	$2\bar{P}\infty$	—	$AB_2$	—	—	20
h	—	—	—	122	$\bar{P}_2$	$b^{\frac{1}{2}}$	—	—	$b^1$	$\frac{1}{2}1$
i	—	—	—	477	$\bar{P}_\frac{1}{2}$	—	$EA\frac{1}{2}$	—	—	$\frac{1}{2}1$
r	r	r	P	111	P	$b^{\frac{1}{2}}$	P	P	$b^2$	1
s	s	s	s	211	$2P_2$	$b^1$	$AE_2$	$P-1$	? ( $b^3$ )	21
t	—	—	—	411	$4P_4$	—	$AE_4$	—	—	41
w	—	—	—	131	$3P_3$	w	—	—	—	13
o	o	o	o	113	$\frac{1}{3}P$	—	$BB'_3 \cdot EA\frac{1}{3}$	$(P)^3$	—	$\frac{1}{3}$
$\pi$	—	—	—	213	$\frac{2}{3}P_2$	—	$BB'_3 \cdot EA\frac{2}{3}$	—	—	$\frac{2}{3}\frac{1}{3}$
$\rho$	—	—	—	18·5·15	$\frac{5}{8}P\frac{1}{5}$	—	? ( $BB'_3 \cdot EA\frac{5}{8}$ )	—	—	$\frac{5}{8}\frac{1}{5}$
u	—	u	—	413	$\frac{4}{3}P_4$	—	—	—	—	$\frac{4}{3}\frac{1}{3}$

Bemerkungen.

An Stelle der von Hausmann (Krystf. des Cordierit. Göttingen 1839 S. 9 u. 11, sowie Handb. 1847. 2. (1) 553) citirten Form  $(BB'_3 \cdot AE'_2)$ , die nach unserer Aufstellung  $\frac{2}{3} \frac{1}{3}$  entsprechen würde, wurde  $\frac{2}{3} \frac{1}{3}$  gesetzt, da der hierfür nach unserem Axenverhältniss erforderliche Winkel dem von Hausmann angegebenen näher kommt.

Es entspricht für  $\frac{2}{3} \frac{1}{3} : 0 \frac{1}{3}$   $61^\circ 51'$   
 $\frac{2}{3} \frac{1}{3} : 0 \frac{1}{3}$   $62^\circ 49'$

Hausmann giebt Handb. 1847:  $61^\circ 11'$   
 1859:  $61^\circ 56'$

Allerdings sind diese Winkelwerthe Hausmann's, die berechnete sind, nur Näherungen, da die Messung mit dem Anlegegoniometer erfolgte und ungenau war. Das geht ausser der eigenen Angabe Hausmann's schon daraus hervor, dass er derselben Form einmal den  $\angle 61^\circ 56'$ , das andere Mal  $61^\circ 11'$  giebt. Da jedoch das Symbol dieser Form nicht aus dem Zonenverband gewonnen werden konnte, so dürfte es sich empfehlen, bei der Auswahl des Symbols den angegebenen Winkeln möglichst nahe zu bleiben. Immerhin bedarf dies Symbol ebenso wie  $\frac{2}{3} \frac{1}{3}$  einer Bestätigung, die in Göttingen, wo das Originalstück von Bodenmais, an dem Hausmann seine Messungen machte, sich vorfinden dürfte, vielleicht zu erhalten wäre. Die Vermuthung liegt nahe, dass Hausmann's Form  $BB'_3 \cdot AE'_2$  identisch sei mit  $u = \frac{2}{3} \frac{1}{3}$  (Index) =  $u \frac{2}{3} P \frac{1}{3}$  (Rath), welche Form zwei wichtigen Zonen angehört. Allerdings würde diese einen Winkel von  $64^\circ 17'$  gegen  $0 \frac{1}{3}$  erfordern.

Lévy's Elemente weichen wesentlich ab von denen der anderen Autoren. Jedenfalls gilt in der Hauptsache die Transformation  $pq$  (Lévy) =  $4p \cdot 4q$  (Mohs. Miller. Descf.), doch stimmen die Formen im Einzelnen nicht mit den Angaben der anderen Autoren:  $e^1$  fällt wahrscheinlich zusammen mit Hausmann's  $BA \frac{2}{3}$ ,  $b^1$  mit  $EA \frac{2}{3}$ .  $e^3 b^3$  geben bei direkter Umwandlung  $\frac{2}{3} 0$ ,  $\frac{2}{3} 1$ , doch dürften sie mit 10, 20 zu identificiren sein. Im Formenverzeichniss wurden sie neben diese gestellt. Bei der Abweichung der Grundwerthe und bei Fehlen der Winkelangabe ist eine sichere Entscheidung nicht möglich.

Correcturen.

Mohs-Zippe Min. 1839 2 Seite 358 Zeile 11 vu lies:  $134^\circ 57'$ ;  $96^\circ 53'$  statt  $96^\circ 53$ ;  $134^\circ 57'$ .

**Corynit.****Regulär.**

No.	Gdt.	Miller.	Naumann.	G <sub>1</sub>	G <sub>2</sub>	G <sub>3</sub>
1	p	111	o	1	1	1

Literatur.

Zepharovich	Wien. Sitzb.	1865	51 (1)	117
Dana, J. D.	System	1873	—	74



# Cotunnit.

## Rhombisch.

$$a : b : c = 0.5937 : 1 : 1.1904 \text{ (Groth. Gdt.)}$$

$$[a : b : c = 0.5941 : 1 : 0.5951] \text{ (Schabus.)}$$

$$\{a : b : c = 0.8426 : 1 : 0.5016\} \text{ (Miller. Dana.)}$$

$$(a : b : c = 0.9995 : 1 : 1.6805) \text{ (Schrauf.)}$$

## Elemente.

$a = 0.5937$	$\lg a = 977357$	$\lg a_0 = 969788$	$\lg p_0 = 030212$	$a_0 = 0.4987$	$p_0 = 2.0050$
$c = 1.1904$	$\lg c = 007569$	$\lg b_0 = 992431$	$\lg q_0 = 007569$	$b_0 = 0.8401$	$q_0 = 1.1904$

## Transformation.

Schab.	Miller. Dana.	Schrauf.	Groth. Gdt.
$p \ q$	$\frac{q}{p} \ \frac{2}{p}$	$\frac{p}{q} \ \frac{1}{q}$	$\frac{p}{2} \ \frac{q}{2}$
$\frac{2}{q} \ \frac{2p}{q}$	$p \ q$	$\frac{1}{p} \ \frac{q}{2p}$	$\frac{1}{q} \ \frac{p}{q}$
$\frac{p}{q} \ \frac{1}{q}$	$\frac{1}{p} \ \frac{2q}{p}$	$p \ q$	$\frac{p}{2q} \ \frac{1}{2q}$
$2p \cdot 2q$	$\frac{q}{p} \ \frac{1}{p}$	$\frac{p}{q} \ \frac{1}{2q}$	$p \ q$

No.	Gdt.	Miller.	Schrauf.	Schabus.	Miller.	Naumann.	[Schabus.]	Gdt.
1	a	a	a	o	001	o P	P — ∞	o
2	b	b	c	P	010	∞ P̄ ∞	P̄r + ∞	o ∞
3	c	c	—	—	100	∞ P̄ ∞	—	∞ o
4	r	r	ρ	v	012	$\frac{1}{2}$ P̄ ∞	P̄r	o $\frac{1}{2}$
5	m	m	μ	—	011	P̄ ∞	—	o 1
6	q	—	q	u	021	2 P̄ ∞	P̄r + 2	o 2
7	e	e	e	—	101	P̄ ∞	—	1 o
8	p	—	r	p	112	$\frac{1}{2}$ P	P	$\frac{1}{2}$
9	s	s	s	q	111	P	P + 1	1

Literatur.

Schabus	Wien: Stab.	1890	4	456
Miller	Mia.	1852	—	616
Dana	System.	1873	—	117
Schrauf	Atlas	1877	—	Taf. L.

**Cuban.****Regulär.**

No.	Gdt.	Miller.	Naumann.	Descloiz.	G <sub>1</sub>	G <sub>2</sub>	G <sub>3</sub>
1	c	001	$\infty O \infty$	—	0	$0 \infty$	$\infty 0$
? 2	D	307	$\infty O \frac{7}{3}$	$b \frac{7}{3}$	$\frac{3}{2} 0$	$0 \frac{7}{3}$	$\frac{7}{3} \infty$
3	e	102	$\infty O 2$	—	$\frac{1}{2} 0$	$0 2$	$2 \infty$

Cuban.

atur.

<i>Miller</i>	<i>Min.</i>	1852	—	182
<i>Des Cloizeaux</i>	<i>Manuel</i>	1862	1	6.

Cuspidin.

Monoklin.

Axenverhältnisse.

$a : b : c = 0.7150 : 1 : 1.9507 \quad \beta = 90^{\circ}20 \text{ (Rath 1882. Gdt.)}$

$a : b : c = 0.7247 : 1 : 1.9623 \quad \beta = 90^{\circ}56 \text{ (Rath 1881.)}$

$\text{„} \quad = 0.7243 : 1 : 1.9342 \quad \beta = 90^{\circ}38 \text{ (Rath 1882.)}$

mbisch.]  $[a : b : c = 0.7173 : 1 : 1.9376 \quad \beta = 90^{\circ}] \text{ (Scacchi.)}$

Elemente.

$= 0.7150$	$\lg a = 985431$	$\lg a_o = 956412$	$\lg p_o = 043588$	$a_o = 0.3665$	$p_o = 2.7282$
$= 1.9507$	$\lg c = 029019$	$\lg b_o = 970981$	$\lg q_o = 029018$	$b_o = 0.5126$	$q_o = 1.9506$
$= \left. \begin{matrix} 90^{\circ}20 \\ \beta \end{matrix} \right\}$	$\left. \begin{matrix} \lg h = \\ \lg \sin \mu \end{matrix} \right\} 999999$	$\left. \begin{matrix} \lg e = \\ \lg \cos \mu \end{matrix} \right\} 776475$	$\lg \frac{p_o}{q_o} = 014570$	$h = 1$	$e = 0.0058$

No.	Rath. Gdt.	Miller.	Naumann.	Gdt.
1	c	001	o P	o
2	b	010	$\infty$ P $\infty$	o $\infty$
3	l	110	$\infty$ P	$\infty$
4	k	014	$\frac{1}{4}$ P $\infty$	o $\frac{1}{4}$
5	g	012	$\frac{1}{2}$ P $\infty$	o $\frac{1}{2}$
6	d	011	P $\infty$	o 1
7	e	101	— P $\infty$	+ 1 o
8	h	103	— $\frac{1}{3}$ P $\infty$	+ $\frac{1}{3}$ o
9	f	101	+ P $\infty$	— 1 o
10	n	111	— P	+ 1
11	p	113	— $\frac{1}{3}$ P	+ $\frac{1}{3}$
12	$\pi$	113	+ $\frac{1}{3}$ P	— $\frac{1}{3}$
13	v	111	+ P	— 1
14	s	121	+ 2 P 2	— 1 2
15	q	233	— P $\frac{3}{2}$	+ $\frac{2}{3}$ 1
16	t	211	— 2 P 2	+ 2 1
17	m	$\bar{4}32$	+ 2 P $\frac{4}{3}$	— 2 $\frac{3}{2}$
? 18	r	12.11.4	— 3 P $\frac{11}{2}$	+ 3 $\frac{11}{4}$

Literatur.**Scacchi****Rath**

"

"

"

"

"

<i>Napoli Rend. ac.</i>	1876	—	Oct.	}
<i>Zeitschr. Kryst.</i>	1877	1	398	
<i>Niederrh. Ges.</i>	1881	—	Nov.	}
"	1882	—	Jan.	
"	1883	—	Juni	
<i>Jahrb. Min.</i>	1883	1	Ref. 173	}
<i>Zeitschr. Kryst.</i>	1884	8	38	
"	1884	9	567	

Cuspidin.

Correctur S. 667

# Cyanit.

## Triklin.

### Axenverhältnisse.

$$\begin{aligned}
 :c &= 0.8991 : 1 : 0.6968 & \alpha\beta\gamma &= 90^\circ 23'; 100^\circ 18'; 106^\circ 01' & ABC &= 93^\circ 24'; 100^\circ 50'; 106^\circ 21' \\
 & & & & & \text{(Bauer.)} \\
 &= 0.9164 : 1 : 0.7100 & \alpha &= 90^\circ 00'; 100^\circ 48.5'; 106^\circ 23' & \beta &= 93^\circ 13.5'; 101^\circ 16'; 106^\circ 40' \\
 & & & & & \text{(Rath 1879.)} \\
 &= 0.8994 : 1 : 0.7090 & \alpha &= 90^\circ 05'; 101^\circ 02'; 105^\circ 44' & \beta &= 93^\circ 15'; 101^\circ 30'; 106^\circ 04' \\
 & & & & & \text{(Rath 1881.)}
 \end{aligned}$$

### Elemente der Linear-Projection.

$a = 0.8991$	$a_0 = 1.2903$	$\alpha = 90^\circ 23'$	$x'_0 = -0.1879$	$d' = -0.1881$
$b = 1$	$b_0 = 1.4351$	$\beta = 100^\circ 18'$	$y'_0 = -0.0067$	$\delta' = 87^\circ 57.7'$
$c = 0.6968$	$c_0 = 1$	$\gamma = 106^\circ 01'$	$k = 0.9821$	

### Elemente der Polar-Projection.

$p_0 = 0.8062$	$\lambda = 86^\circ 36.2'$	$x_0 = 0.1785$	$d = 0.1881$
$q_0 = 0.7132$	$\mu = 79^\circ 10.0'$	$y_0 = 0.0593$	$\delta = 71^\circ 38.2'$
$r_0 = 1$	$v = 73^\circ 38.5'$	$h = 0.9821$	

No.	Gdt.	Bauer.	Rath.	Miller.	Naumann.	Descloiz.	Gdt.
1	p	P	p	001	o P	p	o
2	t	T	t	010	$\infty \bar{P} \infty$	$g^1$	$o \infty$
3	m	M	m	100	$\infty \bar{P} \infty$	$h^1$	$\infty o$
4	n	d	—	310	$\infty \bar{P}^1 3$	$h^2$	$3 \infty$
5	e	k	e	210	$\infty \bar{P}^1 2$	$h^3$	$2 \infty$
6	i	l	i	110	$\infty P^1$	t	$\infty$
7	b	q	—	120	$\infty \bar{P}^1 2$	—	$\infty 2$
8	k	o	k	110	$\infty^1 P$	m	$\infty \infty$
9	s	—	s	120	$\infty^1 \bar{P} 2$	$^3 g$	$\infty 2$
10	q	n	q	011	$\bar{P}^1 \infty$	$i^1$	$o 1$
11	v	r	v	011	$\bar{P}^1 \infty$	$e^1$	$o 1$
12	f	—	f	021	$2 \bar{P}^1 \infty$	—	$o 2$
13	h	—	h	203	$\frac{2}{3} \bar{P}^1 \infty$	—	$\frac{2}{3} o$
14	l	—	l	304	$\frac{3}{4} \bar{P}^1 \infty$	$a^{\frac{4}{3}}$	$\frac{3}{4} o$
15	x	—	x	101	$\bar{P}^1 \infty$	$a^1$	$1 o$
16	d	—	d	221	$2 P^1$	—	2
17	o	—	o	111	$\bar{P}$	—	1 1
18	u	—	u	221	$2 \bar{P}$	—	2 2
19	r	—	r	111	$\bar{P}$	—	1
20	y	—	y	121	$2 \bar{P}$	—	1 2
21	z	—	z	122	$\bar{P}^1 2$	—	$\frac{1}{2} 1$
22	w	—	w	211	$2 \bar{P} 2$	—	2 1
23	g	—	g	312	$\frac{3}{2} \bar{P}^1 3$	—	$\frac{3}{2} \frac{1}{2}$



Literatur.

<i>Des Cloizeaux</i>	<i>Mannel</i>	1862	1	185
<i>Schrauf</i>	<i>Atlas</i>	1877	—	Taf. I.
<i>Bauer</i>	<i>Zeitschr. Kryst.</i>	1879	3	87
"	<i>D. Geol. Ges.</i>	1878	30	283
"	"	1879	31	244
"	"	1880	32	717
<i>Rath</i>	<i>Bull. Soc. Min.</i>	1878	1	62
"	<i>Zeitschr. Kryst.</i>	1879	3	1
"	<i>Zeitschr. Kryst.</i>	1881	5	17.

# **Danalith.**

**Regulär. Tetraedrisch-hemiedrisch.**

No.	Gdt.	Miller.	Naumann.	G <sub>1</sub>	G <sub>2</sub>	G <sub>3</sub>
1	d	101	∞ O	1 0	0 1	∞
2	p	111	+ O	+ 1	1	1
3	π	111	— O	— 1	— 1	— 1

Danalith.

eratur.

Cooke	Amer. Journ.	1866	(2)	42	73
Dana	System	1873	—	265	

# Danburit.

1.

Rhombisch.

Axenverhältnisse.

$$a : b : c = 0.8817 : 1 : 0.9183 \text{ (Gdt.)}$$

$$[a : b : c = 0.5444 : 1 : 0.4808] \text{ (E. S. Dana. Hintze. Groth.)}$$

$$[ \quad \quad = 0.5445 : 1 : 0.4801 ] \text{ (Schuster 1884.)}$$

Elemente.

= 0.8817	lg a = 994532	lg a <sub>0</sub> = 998234	lg p <sub>0</sub> = 001766	a <sub>0</sub> = 0.9602	p <sub>0</sub> = 1.0415
= 0.9183	lg c = 996298	lg b <sub>0</sub> = 003702	lg q <sub>0</sub> = 996298	b <sub>0</sub> = 1.0890	q <sub>0</sub> = 0.9183

Transformation.

Dana. Hintze. Groth. Schuster.	Gdt.
p q	$\frac{2}{q} \quad \frac{2p}{q}$
$\frac{2}{p} \quad \frac{q}{p}$	p q

No.	Gdt.	Dana. Hintze. Schuster.	Miller.	Naumann.	Gdt.
1	b	b	001	o P	o
2	a	a	010	∞ P ∞	o ∞
3	c	c	100	∞ P ∞	∞ o
4	z	z	310	∞ P 3	3 ∞
5	ζ	ζ	320	∞ P $\frac{2}{3}$	$\frac{2}{3}$ ∞
6	d	d	110	∞ P	∞
7	x	x	130	∞ P 3	∞ 3
8	n	n	012	$\frac{1}{2}$ P ∞	o $\frac{1}{2}$
9	τ	τ	035	$\frac{2}{3}$ P ∞	o $\frac{2}{3}$
10	A	—	058	$\frac{2}{3}$ P ∞	o $\frac{2}{3}$
11	ξ	ξ (x)	023	$\frac{2}{3}$ P ∞	o $\frac{2}{3}$
12	B	—	0.7.10	$\frac{7}{10}$ P ∞	o $\frac{7}{10}$
13	C	—	057	$\frac{2}{3}$ P ∞	o $\frac{2}{3}$
14	D	—	079	$\frac{2}{3}$ P ∞	o $\frac{2}{3}$
15	E	u	045	$\frac{2}{3}$ P ∞	o $\frac{2}{3}$
16	F	—	056	$\frac{2}{3}$ P ∞	o $\frac{2}{3}$
17	ρ	ρ	067	$\frac{2}{3}$ P ∞	o $\frac{2}{3}$
18	G	—	0.10.11	$\frac{10}{11}$ P ∞	o $\frac{10}{11}$

(Fortsetzung S. 483.)

Literatur.

Brusk u. Dana, E. S.	Amer. Journ.	1880 (3)	20	111	}
"	Zeitschr. Kryst.	1881	5	183	
Schuster	Min. Petr. Mitt.	1882	5	397	}
Hintze	Zeitschr. Kryst.	1883	7	296 u. 591	
Lüdecke	Nat. V. f. Thüring.	1883	—	567	}
Schuster	Min. Petr. Mitt.	1884	6	301—514. Zus. Stell. S.	
Grünhut	Zeitschr. Kryst.	1885	9	116.	

Bemerkungen }  
 Correcturen } s. Seite 484.

## 2.

No.	Gdt.	Dana. Hintze. Schuster.	Miller.	Naumann.	Gdt.
19	H	—	0·14·15	$\frac{1}{3}P_{\infty}$	$0\frac{1}{3}$
20	I	l	011	$P_{\infty}$	0 1
21	K	—	0·20·19	$\frac{2}{3}P_{\infty}$	$0\frac{2}{3}$
22	v	v	0·10·9	$\frac{1}{9}P_{\infty}$	$0\frac{1}{9}$
23	m	m	043	$\frac{4}{3}P_{\infty}$	$0\frac{4}{3}$
24	$\mu$	$\mu$	053	$\frac{5}{3}P_{\infty}$	$0\frac{5}{3}$
25	J	J	021	$2P_{\infty}$	0 2
26	k	k	031	$3P_{\infty}$	0 3
27	q	q	108	$\frac{1}{8}P_{\infty}$	$\frac{1}{8}0$
28	i	i	105	$\frac{1}{5}P_{\infty}$	$\frac{1}{5}0$
29	h	h	2·0·11	$\frac{1}{11}P_{\infty}$	$\frac{1}{11}0$
30	p	p	104	$\frac{1}{4}P_{\infty}$	$\frac{1}{4}0$
31	g	g	207	$\frac{2}{7}P_{\infty}$	$\frac{2}{7}0$
32	f	f	103	$\frac{1}{3}P_{\infty}$	$\frac{1}{3}0$
33	w	w	102	$\frac{1}{2}P_{\infty}$	$\frac{1}{2}0$
34	t	t	101	$P_{\infty}$	1 0
35	$\delta$	$\delta$	112	$\frac{1}{2}P$	$\frac{1}{2}$
36	r	r	111	P	1
37	o	o	221	$2P$	2
38	$\lambda$	$\lambda$	.212	$P_2$	$1\frac{1}{2}$
39	e	e	121	$2P_2$	1 2
40	s	s	131	$3P_3$	1 3
41	v	v	211	$2P_2$	2 1
42	u	u	411	$4P_4$	4 1
43	$\sigma$	$\sigma$	4·10·7 (Hintze. Unsicher.)	$\frac{1}{7}P_{\frac{1}{2}}$	$\frac{1}{7}P_{\frac{1}{2}}$
44	—	y	14·13·2	$7P_{\frac{1}{3}}$	$7\frac{1}{3}$

Bemerkungen.

Lüdecke führt (Nat. Ver. f. Thür. 1833. 567) noch auf die Formen:

$$4P_{\infty} \quad 8P_{\infty} \quad 16P_{\infty}$$

die sich bei anderen Autoren nicht finden. Doch ist zu vermuthen, dass hier ein Druckfehler vorliegt und wir die Formen:

$$4P_{\infty} \quad 8P_{\infty} \quad 16P_{\infty}$$

die Dana bereits anführt, vor uns haben. Dies um so mehr, als Lüdecke (S. 568) sagt: Eine Varietät zeichnet sich durch das gewöhnliche und einseitige Auftreten einer Reihe von Brachydomen aus. In dem Formenverzeichniss aber findet sich kein einziges Brachydoma.

Die von Grünhut vorgeschlagene Neuauftellung (Zeitschr. Kryst. 1885. 9. 116) empfiehlt sich nicht, da sie zu complicirten Symbolen führt. Auch dürfte sie nirgends Eingang finden.

Hintze's Symbol (Zeitschr. Kryst. 1883. 7. 300)  $\frac{2}{3}P\frac{1}{2}$  ist ein Schreib- oder Druckfehler statt  $\frac{2}{3}P\frac{1}{3}$  (vgl. S. 298). Wenn man aber einmal das Symbol ändert, so dürfte die übliche Schreibweise  $\frac{2}{3}P\frac{1}{2}$  vorzuziehen sein. Das Symbol  $y$  ist durch eine Winkelmessung nebst Ergänzung zum vollen Winkel  $d\lambda$  und den Zonenverbund gegeben. Da Hintze diese Messung nur als approximativ bezeichnet, so wurde das Symbol vorläufig nicht als sicher gestellt angesehen.

Schuster verwendet in dem ersten Theil seiner ausgezeichneten Arbeit den Buchstaben  $x$  für  $(130) = o\frac{2}{3}$  unserer Aufstellung. Da dieser Buchstaben bereits von Dana für eine andere Form verwendet worden, setzt er im zweiten Theil dafür  $\xi$ .

Der griechische Buchstaben  $\nu$  unterscheidet sich nur schwer in der Schrift vom lateinischen  $v$ . Um Verwechselungen zu verhüten, wurde an Stelle von Schuster's  $\nu$  der Buchstaben  $E$  gesetzt.

Correcturen.

Kobell Gesch. d. Min. 1864 — Seite 693 Zeile 12 vu lies 522 statt 521

Hintze Zeitschr. Kryst. 1883 7 „ 300 „ 17 vo „  $\frac{2}{3}P\frac{1}{2} = \frac{1}{2}P\frac{1}{2}$  „  $\frac{2}{3}P\frac{1}{2}$



# Datolith.

## 1.

### Monoklin.

#### Axenverhältnisse.

$$b : c = 0.6329 : 1 : 0.6345 \quad \beta = 90^\circ 9' \text{ (Rammelsberg, Groth, Liweh, Gdt.)}$$

$$\begin{aligned} [a : b : c = 1.2655 : 1 : 0.6364 \quad \beta = 90^\circ 6' ] & \text{ (Des Cloizeaux.)} \\ [ \quad \quad \quad = 1.2657 : 1 : 0.6344 \quad \beta = 90^\circ 9' ] & \text{ (Dauber, Kokscharow.)} \\ [ \quad \quad \quad = 1.245 : 1 : 0.627 \quad \beta = 91^\circ 42' ] & \text{ (Mohs-Zippe, Hausmann.)} \\ (a : b : c = 0.634 : 1 : 1.268 \quad \beta = 90^\circ 10') & \text{ (Lévy S. 182, Humboldt.)} \\ \{ a : b : c = 0.6364 : 1 : 0.3163 \quad \beta = 90^\circ 6' \} & \text{ (Dana.)} \\ \{ (a : b : c = 1.246 : 1 : 1.256 \quad \beta = 91^\circ 42' ) \} & \text{ (Quenstedt.)} \\ \{ ( \quad \quad \quad = 1.266 : 1 : 1.266 \quad \beta = 90^\circ 8' ) \} & \text{ (Schröder.)} \end{aligned}$$

#### (Rhombisch.)

$$\begin{aligned} [(a : b : c = 0.7916 : 1 : 0.500)] & \text{ (Miller.)} \\ [( \quad \quad \quad = 0.790 : 1 : 0.510)] & \text{ (Lévy S. 179.)} \end{aligned}$$

#### Elemente.

$= 0.6329$	$\lg a = 980134$	$\lg a_0 = 999891$	$\lg p_0 = 000109$	$a_0 = 0.9975$	$p_0 = 1.0025$
$= 0.6345$	$\lg c = 980243$	$\lg b_0 = 019757$	$\lg q_0 = 980243$	$b_0 = 1.5760$	$q_0 = 0.6345$
$= \frac{1}{0-\beta} \left. \begin{matrix} 90^\circ 9' \\ \lg h = \frac{1}{\lg \sin \mu} \end{matrix} \right\} 0$	$\lg e = \frac{1}{\lg \cos \mu} \left. \begin{matrix} 741797 \\ \lg \cos \mu \end{matrix} \right\}$	$\lg \frac{p_0}{q_0} = 019866$	$h = 1.000$	$e = 0.0026$	

#### Transformation.

Lévy, S. 182.	Mohs-Zippe. Hausmann. Dauber. Kokscharow. Des Cloizeaux.	Dana.	Schröder. Quenstedt.	Lévy, S. 179. Miller.	Rammelsberg. Groth. Liweh. Gdt.
$pq$	$\frac{1}{p} \frac{q}{p}$	$4p \cdot 4q$	$\frac{1}{2p} \frac{q}{2p}$	$\frac{q}{p} \frac{1}{p}$	$\frac{1}{2p} \frac{q}{p}$
$\frac{1}{p} \frac{q}{p}$	$pq$	$\frac{4}{p} \frac{4q}{p}$	$\frac{p}{2} \frac{q}{2}$	$q \cdot p$	$\frac{p}{2} \cdot q$
$\frac{p}{4} \frac{q}{4}$	$\frac{4}{p} \frac{q}{p}$	$pq$	$\frac{2}{p} \frac{q}{2p}$	$\frac{q}{p} \frac{4}{p}$	$\frac{2}{p} \frac{q}{p}$
$\frac{1}{2p} \frac{q}{p}$	$2p \cdot 2q$	$\frac{2}{p} \frac{4q}{p}$	$pq$	$2q \cdot 2p$	$p \cdot 2q$
$\pm \frac{1}{q} \frac{p}{q}$	$\pm q \cdot p$	$\pm \frac{4}{q} \frac{4p}{q}$	$\pm \frac{q}{2} \frac{p}{2}$	$pq$	$\pm \frac{q}{2} \cdot p$
$\frac{1}{2p} \frac{q}{2p}$	$2pq$	$\frac{2}{p} \frac{2q}{p}$	$\frac{p}{2} \frac{q}{2}$	$q \cdot 2p$	$pq$

(Fortsetzung S. 487.)

Literatur.

Mohs	Grundr.	1824	2	253
Phillips-Lévy	Pogg. Ann.	1827	10	331 (Haytorik)
Hartmann	Handb.	1828	—	130
Weiss, C. S.	Berl. Ak. Abh.	1828	—	63 (Haytorik)
Quenstedt	Pogg. Ann.	1835	36	245
Lévy	Descr.	1838	1	179 u. 182 (Humboldt)
Mohs-Zippe	Min.	1839	2	241
Hausmann	Handb.	1847	2	(2) 907
Haidinger	Wien. Sitzb.	1849	2	215 }
"	Pogg. Ann.	1849	78	75 }
Miller	Min.	1852	—	408
Hess	Pogg. Ann.	1854	98	380
Schröder	"	1855	94	235
"	"	1856	98	34
Dauber	"	1858	108	116
Des Cloiseaux	Manuel	1862	1	167 u. 540
Rammelsberg	D. Geol. Ges.	1869	21	807
Dana, E. S.	Amer. Journ.	1872 (3)	4	161 }
"	Min. Min.	1874	4	1 }
Dana, J. D.	System.	1873	—	380
Groth	Straussb. Samml.	1878	—	186
Bombicci	Zeitschr. Kryst.	1878	2	505
Vrba	"	1880	4	358 (Kuchelbad)
"	"	1881	5	425 (Thelnz i. Tyrol)
Lehmann, J.	"	1881	5	529 (Niederkirchen)
Kokscharow	Mat. Min. Russl.	1881	8	139
Liweh	Zeitschr. Kryst.	1883	7	569
Emerson	Amer. Journ.	1883 (3)	24	270 }
"	Zeitschr. Kryst.	1884	9	86. }

Bemerkungen }  
 Correcturen } s. Seite 488. 490.

## 2.

Haiding. Mohs. Zippe. Hartm. Hausm.	Schröder.	Dauber.	Miller.	Dana.	Liweh.	Quen- stedt.	Miller.	Naumann.	[Hausmann.]	[Mohs.] [Zippe.]	[Lévy.] (Monokl.)	[Lévy.] (Rhomb.)	[Descl.]	Gdt.
b	b	c	c	a	c	P	001	o P	A	P — ∞	h <sup>1</sup>	p	p	o
u	u	b	b	b	b	a	010	∞ P ∞	B'	Pr + ∞	—	h <sup>1</sup>	g <sup>1</sup>	o ∞
s	s	a	a	c	a	b	100	∞ P ∞	B	Pr + ∞	p	g <sup>1</sup>	h <sup>1</sup>	∞ 0
—	—	—	—	Ω	—	—	410	∞ P 4	—	—	—	—	—	4 ∞
—	—	σ	σ	σ	—	—	210	∞ P 2	—	—	—	—	h <sup>2</sup> <sub>200</sub>	2 ∞
t	t	t	t	t	—	—	320	∞ P $\frac{3}{2}$	BB' <sub>3</sub>	—	—	—	h <sup>2</sup>	$\frac{3}{2}$ ∞
g	g	g	g	g	g	g	110	∞ P	BB' <sub>2</sub>	(Pr + ∞) <sup>2</sup> (Pr + ∞) <sup>2</sup> e <sup>2</sup>	—	g <sup>3</sup>	h <sup>3</sup>	∞
—	—	—	—	h	—	—	340	∞ P $\frac{3}{2}$	BB' <sub>3</sub>	—	—	—	h <sup>3</sup>	$\frac{3}{2}$ ∞
—	—	—	—	—	k	—	230	∞ P $\frac{3}{2}$	—	—	—	—	—	$\frac{3}{2}$ ∞
f	f	m	m	m	m	M	120	∞ P 2	E	P + ∞	e <sup>1</sup>	m	m	∞ 2
—	—	—	—	—	—	—	490	∞ P $\frac{2}{3}$	B'B <sub>2</sub>	—	—	—	—	$\frac{2}{3}$ ∞
—	—	—	—	s	—	—	140	∞ P 4	B'B <sub>2</sub>	—	—	—	g <sup>3</sup>	∞ 4
—	—	—	—	η	—	—	014	$\frac{1}{4}$ P ∞	—	—	—	—	—	0 $\frac{1}{4}$
—	—	—	—	Δ	—	—	012	$\frac{1}{2}$ P ∞	—	—	—	—	—	0 $\frac{1}{2}$
—	—	—	—	e	e	—	023	$\frac{2}{3}$ P ∞	—	—	—	—	e <sup>3</sup> <sub>300</sub>	0 $\frac{2}{3}$
d	d	d	d	M	M	n	011	P ∞	D'	Pr	m	a <sup>1</sup>	e <sup>1</sup>	0 1
r	—	r	r	r	r	—	032	$\frac{3}{2}$ P ∞	B'A <sub>2</sub>	$\frac{3}{2}$ Pr + 1	—	—	e <sup>3</sup> <sub>300</sub>	0 $\frac{3}{2}$
o	o	o	o	o	o	v	021	2 P ∞	B'A <sub>2</sub>	Pr + 1	—	a <sup>1</sup> <sub>100</sub>	e <sup>1</sup> <sub>100</sub>	0 2
—	—	—	—	l	—	—	031	3 P ∞	—	—	—	—	—	0 3
—	—	—	—	p	—	—	301	— 3 P ∞	—	—	—	—	0 $\frac{1}{3}$	+ 3 0
—	γ	u	u	u	—	ξ	201	— 2 P ∞	BA <sub>2</sub>	—	—	—	0 $\frac{1}{2}$	+ 2 0
—	—	—	v	v	—	—	302	— $\frac{3}{2}$ P ∞	—	—	—	—	0 $\frac{1}{2}$	+ $\frac{3}{2}$ 0
a	a	x	x	x	—	x	101	— P ∞	BA <sub>2</sub>	Pr + 1	o <sup>2</sup>	—	0 $\frac{1}{2}$	+ 1 0
—	—	—	f	f	—	—	203	— $\frac{2}{3}$ P ∞	—	—	—	—	0 $\frac{2}{3}$	+ $\frac{2}{3}$ 0
—	—	—	φ	φ	—	—	102	— $\frac{1}{2}$ P ∞	—	—	—	—	0 <sup>1</sup>	+ $\frac{1}{2}$ 0
—	y	—	s	s	—	—	103	— $\frac{1}{3}$ P ∞	—	—	—	—	0 $\frac{1}{3}$	+ $\frac{1}{3}$ 0
—	—	ψ	—	ψ	—	—	104	— $\frac{1}{4}$ P ∞	—	—	—	—	0 <sup>2</sup>	+ $\frac{1}{4}$ 0
—	z	—	—	z	—	—	104	+ $\frac{1}{4}$ P ∞	—	—	—	—	a <sup>2</sup>	— $\frac{1}{4}$ 0
—	—	—	—	Σ	—	—	103	+ $\frac{1}{3}$ P ∞	—	—	—	—	—	— $\frac{1}{3}$ 0
—	—	—	—	Π	—	—	102	+ $\frac{1}{2}$ P ∞	—	—	—	—	—	— $\frac{1}{2}$ 0
x	γ	—	—	ξ	ξ	x'	101	+ P ∞	BA <sub>2</sub>	—	—	—	a <sup>1</sup> <sub>100</sub>	— 1 0
—	—	—	—	—	—	—	201	+ 2 P ∞	—	—	—	—	—	— 2 0
—	—	—	—	—	—	—	401	+ 4 P ∞	—	—	—	—	—	— 4 0
—	—	—	—	γ	γ	—	221	— 2 P	—	—	—	—	γ	+ 2
—	—	—	—	—	P	—	10·10·9	— $\frac{1}{9}$ P	—	—	—	—	—	+ $\frac{1}{9}$ 0
—	—	—	—	—	Λ	—	111	— P	—	—	—	—	—	+ 1

(Fortsetzung S. 489.)

Bemerkungen.

Quenstedt giebt an (Pogg. Ann. 1835. 36. 257) als von Mohs herrührend die Formen:

$$-(Pr-1)^5 = [\frac{1}{2}a' : \frac{1}{2}b : \frac{1}{2}c] = -\frac{1}{2} \frac{2}{2} \text{ (Index)}$$

$$-(P+1)^5 = [\frac{1}{2}a' : b : c] = -3 \frac{2}{2} \text{ (Index)}$$

doch konnte ich dieselben weder bei Mohs noch bei einem anderen Autor auffinden. Auch Quenstedt hat sie nicht beobachtet.

Quenstedt's [ c : 2b :  $\frac{1}{2}a'$  ] =  $-\frac{4}{3} 1$  (Index) haben die anderen Autoren nicht, ebenso wenig m' = [  $\frac{1}{2}a' : b : \frac{1}{2}c$  ] =  $-\frac{3}{2} 1$  (Index)

doch sind beide von Quenstedt mit Sicherheit erkannt und daher aufzunehmen.

Bei Quenstedt (Pogg. Ann. 1835. 36. Taf. 3 Fig. 4) sind die Buchstaben s und m' zu vertauschen. Es geht dies aus dem Symbol und den Projectionsbildern Fig. 1 und 2 hervor.

In der Buchstabenbezeichnung wurde im Allgemeinen die von Dana gegebene beibehalten. s kommt bei diesem zweimal vor. Es wurde das eine Mal durch S ersetzt. Ebenso dürfte es nicht statthaft sein,  $\theta$  neben  $\theta$  zu führen, die nur zwei Schreibweisen desselben Buchstabens sind.  $\theta$  wurde durch t ersetzt.

Die Formenzahl ist bereits so gross, dass in nicht langer Zeit die Buchstaben nicht mehr ausreichen werden. Um den dann nöthigen Behelf vorzubereiten, wurden die Formen durch zwei starke Linien in drei Gruppen getheilt, und mag es sich empfehlen, die Buchstaben der zweiten Gruppe (34—58) mit ., die der dritten (59 bis Schluss) mit : zu versehen (s. Calcit), wobei dann eine Wiederholung derselben Buchstaben nicht mehr stört.

## 3.

Maiding. Mohs. Zippe. Hartm. Hausm.	Schröder.	Dauber.	Miller.	Dana.	Liweh.	Quen- stedt.	Miller.	Naumann.	[Hausmann.]	[Mohs.] [Zippe.]	[Lévy.] (Monckl.)	[Lévy.] (Rhomh.)	[Descl.]	Gdt.
—	—	—	w	w	—	—	223	$-\frac{2}{3}P$	—	—	—	—	x	$+\frac{2}{3}$
—	—	—	θ	θ	θ	—	112	$-\frac{1}{2}P$	—	—	—	—	—	$+\frac{1}{2}$
—	—	—	—	—	d	—	225	$-\frac{2}{3}P$	—	—	—	—	—	$+\frac{2}{3}$
—	—	p	p	q	q	—	113	$-\frac{1}{3}P$	—	—	—	—	q	$+\frac{1}{3}$
—	—	—	—	θ	—	—	112	$+\frac{1}{2}P$	—	—	—	—	—	$+\frac{1}{2}$
e	e	e	e	ε	—	s	223	$+\frac{4}{3}P$	—	—	—	—	—	$+\frac{4}{3}$
h	α	h	h	α	α	σ	111	$+P$	$BD'_2$	$-(\tilde{Pr})^3$	$(\tilde{P})^2$	$b^1$	—	ε — 1
—	q	z	z	Q	—	ρ	221	$+2P$	$B'A\frac{2}{3}BD'\frac{2}{3}$	$-(\tilde{Pr}-1)^2$	$(\tilde{P}-1)^2$	—	α	— 2
—	—	—	—	—	—	—	121	$-2P_2$	—	—	—	—	$d^{\frac{1}{2}}$	$+1_2$
—	—	—	—	T	—	—	212	$+P_2$	—	—	—	—	—	$-1\frac{1}{2}$
—	—	—	—	—	—	—	311	$-3P_3$	—	—	—	—	—	$+3_1$
—	—	—	—	W	—	—	211	$-2P_2$	—	—	—	—	—	$+2_1$
—	—	—	—	L	—	—	322	$-\frac{3}{2}P\frac{3}{2}$	—	—	—	—	—	$+\frac{3}{2}_1$
P	p	n	n	n	—	r	122	$-P_2$	P	$+P$	$d^{\frac{1}{2}}$	$b^{\frac{1}{2}}$	$d^{\frac{1}{2}}$	$+\frac{1}{2}_1$
—	δ	ξ	ζ	δ	—	p	144	$-P_4$	—	—	—	—	δ	$+\frac{1}{4}_1$
n	—	β	—	v	—	r'	122	$+P_2$	P'	$-P$	—	$b^{\frac{1}{2}}$	$b^{\frac{1}{2}}$	$-\frac{1}{2}_1$
—	—	—	—	—	—	m'	344	$+P\frac{4}{3}$	—	—	—	—	—	$-\frac{3}{4}_1$
—	—	—	—	—	—	—	433	$+\frac{4}{3}P\frac{4}{3}$	—	—	—	—	—	$-\frac{4}{3}_1$
—	λ	φ	—	λ	—	l	322	$+\frac{3}{2}P\frac{3}{2}$	—	—	$b^{\frac{3}{2}}$	—	λ	$-\frac{3}{2}_1$
l	m	l	l	μ	—	—	211	$+2P_2$	$BD'_4$	$-(\tilde{P})^4$	$b^2$	—	μ	$-2_1$
m	—	k	z	z	—	—	522	$+\frac{5}{2}P\frac{5}{2}$	$BD'_5$	$-(\tilde{P})^5$	—	—	z	$-\frac{5}{2}_1$
—	—	—	—	w	—	—	311	$+3P_3$	—	—	—	—	—	$-3_1$
—	—	—	—	—	Φ	—	261	$-6P_3$	—	—	—	—	—	$+2_6$
—	—	—	y	—	z	—	241	$-4P_2$	—	—	—	—	$d^{\frac{1}{2}}$	$+2_4$
—	—	—	y	y	—	—	241	$+4P_2$	—	—	—	—	—	$-2_4$
—	—	—	X	—	—	—	261	$+6P_3$	—	—	—	—	—	$-2_6$
—	μ	i	—	U	—	μ	342	$-2P\frac{4}{3}$	—	—	—	—	u	$+\frac{3}{2}_2$
q	β	q	q	β	—	π	142	$-2P_4$	$B'D_2$	$(\tilde{Pr})^3$	$(\tilde{P})^2$	—	$a_3$	$+\frac{1}{2}_2$
—	—	—	—	R	—	—	184	$-2P_8$	—	—	—	—	—	$+\frac{1}{4}_2$
—	—	—	—	B	—	—	142	$+2P_4$	—	—	—	$a_3$	—	$-\frac{1}{2}_2$
i	—	—	—	i	—	μ'	342	$+2P\frac{4}{3}$	$B'A\frac{1}{3}BD'\frac{2}{3}$	$-(\tilde{Pr})^5$	$(\tilde{P}+1)^{\frac{3}{2}}$	—	—	$-\frac{3}{2}_2$
—	—	—	—	C	—	—	542	$+\frac{5}{2}P\frac{5}{2}$	—	—	—	—	—	$-\frac{5}{2}_2$
—	—	—	—	Ψ	—	—	214	$-\frac{1}{2}P_2$	—	—	—	—	—	$+\frac{1}{2}_4$
—	—	—	—	H	—	—	162	$+3P_6$	—	—	—	—	—	$-\frac{1}{2}_3$
—	—	—	—	V	—	—	182	$+4P_8$	—	—	—	—	—	$-\frac{1}{4}_4$
—	—	—	—	—	—	—	312	$-\frac{3}{2}P_4$	—	—	—	—	—	$+\frac{3}{2}_2$
—	—	—	—	D	—	—	362	$-3P_2$	—	—	—	—	—	$+\frac{3}{2}_3$

(Fortsetzung S. 401.)

# Datolith.

## Correcturen.

Quenstedt	Pogg. Ann.	1835	36	Taf. 3 Fig. 4 die Buchstaben s und m' zu ver
Lévy	Descr.	1838	1	Seite 180 Zeile 7 vu lies a <sub>1</sub> statt
Dana, E. S.	Min. Mitt.	1874	4	" 5 " 5 vu Col. 7 " k "
"	"	"	"	" 6 " 11 vu Col. 5 " 16-9-1 "

## 4.

ing. is. pe. m. sm.	Schröder.	Dauber.	Miller.	Dana.	Liweh.	Quen- stedt.	Miller.	Naumann.	[Hausmann.]	[Mohs.] [Zippe.]	[Lévy.] (Monokl.)	[Lévy.] (Rhomb.)	[Descl.]	Gdt.
—	—	—	—	J	—	—	1·12·4	+ 3 P <sub>12</sub>	—	—	—	—	—	$\frac{1}{4} 3$
—	—	—	—	—	—	—	9·12·4	+ 3 P <sub>4</sub>	—	—	—	—	—	$\frac{2}{4} 3$
—	—	—	—	F	—	—	12·15·5	+ 3 P <sub>2</sub>	—	—	—	—	—	$\frac{1}{5} 3$
—	—	—	—	E	—	—	431	+ 4 P <sub>4</sub>	—	—	—	—	—	4 3
—	—	—	—	N	—	—	123	— $\frac{2}{3}$ P <sub>2</sub>	—	—	—	—	—	+ $\frac{1}{3} \frac{2}{3}$
—	—	—	—	Γ	—	—	213	— $\frac{2}{3}$ P <sub>2</sub>	—	—	—	—	—	+ $\frac{2}{3} \frac{1}{3}$
—	—	—	—	ζ	—	—	1·4·12	+ $\frac{1}{3}$ P <sub>4</sub>	—	—	—	—	z	— $\frac{1}{12} \frac{1}{3}$
—	—	—	—	K	—	—	451	+ 5 P <sub>4</sub>	—	—	—	—	—	— 4 5
—	—	—	p	π	—	—	164	+ $\frac{3}{2}$ P <sub>6</sub>	B A $\frac{2}{3}$ ·D' B $\frac{1}{2}$	— (P—1) <sup>3</sup>	—	—	π	— $\frac{1}{4} \frac{2}{3}$
—	—	—	—	G	—	—	891	+ 9 P <sub>8</sub>	—	—	—	—	—	— 8 9
—	—	χ	—	χ	—	—	235	— $\frac{2}{3}$ P <sub>2</sub>	—	—	—	—	ζ	+ $\frac{2}{3} \frac{2}{3}$

## Unsichere Formen.

—	—	—	—	Ξ	—	—	132	— $\frac{3}{2}$ P <sub>3</sub>	—	—	—	—	—	+ $\frac{1}{2} \frac{3}{2}$
—	—	—	—	τ	—	—	943	+ 3 P <sub>4</sub>	—	—	—	—	—	— 3 $\frac{4}{3}$
—	—	—	—	θ	—	—	741	+ 7 P <sub>4</sub>	—	—	—	—	—	— 7 4



11

Descloizit.

1.

Monoklin.

Axenverhältniss.

$a : b : c = 0.6480 : 1 : 0.8023 \quad \beta = 90^{\circ}34 \text{ (Websky. Gdt.)}$   
 $[a : b : c = 1.6046 : 1 : 1.2960 \quad \beta = 90^{\circ}34'] \text{ (Groth.)}$

[Rhombisch.]

$\{a : b : c = 0.619 : 1 : 0.829 \} \text{ (Des Cloizeaux.)}$   
 $(a : b : c = 0.8323 : 1 : 0.6511) \text{ (Zippe.)}$   
 $(\quad \quad = 0.8312 : 1 : 0.6498) \text{ (Schrauf.)}$

Elemente.

0.6480	$\lg a = 981158$	$\lg a_0 = 990724$	$\lg p_0 = 009276$	$a_0 = 0.8077$	$p_0 = 1.2381$
0.8023	$\lg c = 990434$	$\lg b_0 = 009566$	$\lg q_0 = 990432$	$b_0 = 1.2464$	$q_0 = 0.8023$
$\left. \begin{array}{l} 89^{\circ}26 \end{array} \right\}$	$\left. \begin{array}{l} \lg h = \\ \lg \sin \mu \end{array} \right\} 999998$	$\left. \begin{array}{l} \lg e = \\ \lg \cos \mu \end{array} \right\} 799520$	$\lg \frac{p_0}{q_0} = 018844$	$h = 1$	$e = 0.0099$

Transformation.

Groth.	Descloiz.	Zippe. Schrauf.	Websky. Gdt.
$p \ q$	$\frac{1}{p} \ \frac{2q}{p}$	$p \cdot 2q$	$\frac{1}{p} \ \frac{2q}{p}$
$\pm \frac{1}{p} \ \frac{q}{2p}$	$p \ q$	$\frac{1}{p} \ \frac{q}{p}$	$\pm p \ q$
$\pm p \ \frac{q}{2}$	$\frac{1}{p} \ \frac{q}{p}$	$p \ q$	$\pm \frac{1}{p} \ \frac{q}{p}$
$\frac{1}{p} \ \frac{q}{2p}$	$p \ q$	$\frac{1}{p} \ \frac{q}{p}$	$p \ q$

No.	Websky. Gdt.	Miller.	Naumann.	Des Cloizeaux.	Gdt.
1	c	001	o P	—	o
2	b	010	$\infty P \infty$	—	$o \infty$
3	a	100	$\infty P \infty$	—	$\infty o$

(Fortsetzung S. 495.)

Literatur.

<i>Des Cloiseaux</i>	<i>Ann. Chim. Phys.</i>	1854 (3)	41	78
<i>Schrauf</i>	<i>Wien. Stab.</i>	1860	89	913
<i>Zippe</i>	"	1861	44	(1) 197
<i>Schrauf</i>	<i>Pogg. Ann.</i>	1862	117	349
<i>Welsky</i>	<i>Berl. Monatsh.</i>	1880	—	672 }
"	<i>Zeitschr. Krypt.</i>	1881	5	542 }
<i>Groth</i>	<i>Tek. Uebere.</i>	1882	—	65

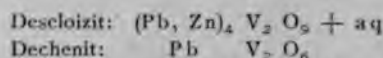
*Bemerkungen* s. Seite 496.

## 2.

No.	Websky. Gdt.	Miller.	Neumann.	Des Cloizeaux.	Gdt.
4	n	510	$\infty P 5$	—	$5\infty$
5	m	110	$\infty P$	m	$\infty$
6	d	012	$\frac{1}{2} P \infty$	—	$0 \frac{1}{2}$
7	u	011	$P \infty$	—	0 1
8	v	021	$2 P \infty$	—	0 2
9	e	102	$+\frac{1}{2} P \infty$	—	$-\frac{1}{2} 0$
10	o	111	— P	$b^{\frac{1}{2}}$	+ 1
11	t	1·1·10	$-\frac{1}{10} P$	—	$+\frac{1}{10}$
12	g	111	+ P	$b^{\frac{1}{2}}$	— 1
13	w	134	$+\frac{2}{3} P 3$	—	$-\frac{1}{3} \frac{2}{3}$
14	q	782	$+\frac{4}{9} P \frac{8}{9}$	—	$-\frac{2}{3} \frac{4}{9}$
15	i	641	$+\frac{6}{8} P \frac{3}{2}$	—	— 6 4
16	k	861	$+\frac{8}{3} P \frac{1}{3}$	—	— 8 6

Bemerkungen.

Es besteht eine noch nicht vollständig geklärte Streitfrage, ob die als Vanadinit bezeichneten Mineralien mit dem Descloizit zu vereinigen seien. Schrauf, indem er annimmt, dass Damour wegen starker Verunreinigung des Materials Bergemann und Nessler zu wenig Vanadinsäure, dagegen Wasser gefunden habe, betrachtet den Descloizit als veränderten Dechenit. Nun haben neuere Analysen von Rammelsberg und Döhring den Wassergehalt (2,5) und den niederen Vanadinsäure-Gehalt (gegen 46–49 pCt. (Bergemann, Nessler) bestätigt. Es scheinen danach in der That Mineralien vorzuliegen:



doch dürften alle gemessenen Krystalle dem Descloizit angehören, sicher sind Krystalle vom Descloizit zur Analyse gekommen, während Bergemann und Nessler von Dechenit krystallinische Massen zur Analyse hatten. Sonach dürfte Groth's Einreihung des Descloizit (Tab. Uebers. 1882. 63 als richtig anzusehen sein, das dazu gestellte Krystallsystem und die Verhältnisse dagegen noch der Begründung entbehren, so lange nicht Messungen und Analysen am gleichen Material vollzogen sind.

Es hat diese chemische Frage hier nur deshalb ihren Ort gefunden, um die Auslassung des krystallographisch noch unbestimmten Dechenit aus diesem Index zu motiviren.

Unterlage zur Beurtheilung dieser Frage mögen die folgenden Literatur-Angaben dienen:

Bergemann	Pogg. Ann.	1850	80	393
Damour u. Des Cloizeaux	Ann. Chim. Phys.	1854 (3)	41	78
Zippe	Wien, Sitzb.	1861	44	(1) 197
Schrauf	Pogg. Ann.	1862	116	355
Tschermak	"	1862	117	349
Rammelsberg	Min. Chemie.	1875	—	289 u. 293
"	D. Geol. Ges.	1880	32	709
Döhring	"	1880	32	711
Rammelsberg-Döhring	Zeitschr. Kryst.	1881	5	592
Dana, E. S.	System Append. 3	1882	—	36
Groth	Tab. Uebers.	1882	—	63 u. 65.

Des Cloizeaux giebt noch als unsicher die Formen:  $e^{\frac{2}{3}} = o^{\frac{2}{3}}$  und  $e^{\frac{4}{3}} = o^{\frac{4}{3}}$ .

**Desmin.**

Rhombisch (?)

Axenverhältnisse.

$$a : b : c = 0.928 : 1 : 0.756 \text{ (Mohs. Zippe. Hausmann. Miller. Des Cloizeaux. Gdt.)}$$

$$[a : b : c = 0.9295 : 1 : 1.379] \text{ (Lévy.)}$$

[Monoklin ?]

$$(a : b : c = 0.7624 : 1 : 1.1939 \quad \beta = 129^\circ 11') \text{ (Lasaulx. Groth.)}$$

Elemente.

a = 0.928	lg a = 996755	lg a <sub>0</sub> = 008903	lg p <sub>0</sub> = 991097	a <sub>0</sub> = 1.2275	p <sub>0</sub> = 0.8146
c = 0.756	lg c = 987852	lg b <sub>0</sub> = 012148	lg q <sub>0</sub> = 987852	b <sub>0</sub> = 1.323	q <sub>0</sub> = 0.756

Transformation.

Lévy.	Lasaulx. Groth.	Mohs-Zippe. Hausmann. Miller. Des Cloizeaux. Gdt.
$\frac{p}{2} \frac{q}{2}$	$\frac{1}{2p-1} \frac{2q}{2p-1}$	$2p \cdot 2q$
$\frac{p+1}{2p} \frac{q}{2p}$	$\frac{p}{q}$	$\frac{p+1}{p} \frac{q}{p}$
$\frac{p}{2} \frac{q}{2}$	$\frac{1}{p-1} \frac{q}{p-1}$	$p \cdot q$

No.	Gdt.	Miller.	Hausm. Mohs. Hartm. Zippe.	Lasaulx.	Miller.	Naum.	Hausm.	Mohs Hartm. Zippe.	Descl.	Lévy.	Gdt.
1	c	c	P	p	001	0P	A	P—∞	p	p	0
2	a	a	T	T	010	∞P̄∞	B	P̄r+∞	g <sup>1</sup>	g <sup>1</sup>	∞∞
3	b	b	M	M	100	∞P̄∞	B'	P̄r+∞	h <sup>1</sup>	h <sup>1</sup>	∞0
4	m	m	d	i	110	∞P	E	P+∞	m	m	∞
5	d	—	—	—	032	$\frac{2}{3}$ P̄∞	—	—	e <sup>2</sup>	—	0 $\frac{2}{3}$
6	e	e	—	—	101	P̄∞	—	—	a <sup>1</sup>	—	10
7	r	r	r	r	111	P	P	P	b <sup>1</sup>	b <sup>1</sup>	1
8	s	—	—	—	252	$\frac{2}{3}$ P̄ $\frac{2}{3}$	—	—	—	—	1 $\frac{2}{3}$
9	t	—	—	—	131	3 P̄3	—	—	—	—	13

Goldschmidt, Index.





Diamant.

Regulär.

No.	Gdt.	Hauy.	Miller.	Miller.	Naumann.	Hausmann.	Mohs-Zippe.	Hauy.	Lévy. Descloiz.	G <sub>1</sub>	G <sub>2</sub>	G <sub>3</sub>
1	c	r	a	∞01	∞O∞	W	H	A <sub>1</sub>	p	0	∞∞	∞0
2	a	—	—	103	∞O <sub>3</sub>	—	—	—	—	$\frac{1}{3}$ 0	30	3∞
3	e	—	—	102	∞O <sub>2</sub>	—	—	—	—	$\frac{1}{2}$ 0	20	2∞
4	b	—	g	203	∞O $\frac{3}{2}$	—	—	—	b $\frac{3}{2}$	$\frac{2}{3}$ 0	$\frac{3}{2}$ 0	$\frac{3}{2}$ ∞
5	i	—	i	304	∞O $\frac{4}{3}$	—	—	—	b $\frac{4}{3}$	$\frac{3}{4}$ 0	$\frac{4}{3}$ 0	$\frac{4}{3}$ ∞
6	A	—	—	100·11	∞O $\frac{1}{10}$	—	—	—	—	$\frac{1}{10}$ 0	$\frac{1}{10}$ 0	$\frac{1}{10}$ ∞
7	d	o	d	101	∞O	RD	D	<sup>1</sup> B <sup>1</sup>	b <sup>1</sup>	10	10	∞
8	l	—	—	115	5O <sub>5</sub>	—	—	—	—	$\frac{1}{5}$	51	51
9	q	—	—	112	2O <sub>2</sub>	—	—	—	—	$\frac{1}{2}$	21	21
10	p	P	o	111	O	O	O	P	a <sup>1</sup>	1	1	1
11	u	n	p	212	2O	—	—	<sup>2</sup> B <sup>2</sup>	a $\frac{1}{2}$	$1\frac{1}{2}$	$1\frac{1}{2}$	2
12	x	—	s	213	3O $\frac{3}{2}$	—	—	—	s	$\frac{2}{3}$ $\frac{1}{3}$	$\frac{3}{2}$ $\frac{1}{2}$	32
13	Σ	—	—	415	5O $\frac{5}{4}$	—	—	—	—	$\frac{4}{5}$ $\frac{1}{5}$	$\frac{5}{4}$ $\frac{1}{4}$	54
14	Φ	—	—	516	6O $\frac{6}{5}$	—	—	—	—	$\frac{6}{5}$ $\frac{1}{5}$	$\frac{6}{5}$ $\frac{1}{5}$	65

Literatur:

Berg	Zeit. Ma.	1870	4	479
Bischoff	Geogr.	1873	2	359
Bismarck	Statist.	1878	—	119
Lery	Geogr.	1878	2	426
Mein-Elger	Ma.	1873	2	146
Neumann	Statist.	1877	2	(1) 4
Miller	Ma.	1872	—	111
Wies, A.	Wiss. Stb.	1880	18	962
Des Champs	Ma.	1873	2	17
Deschamps	Geogr. Exped. de Bismarck	Berlin 1876	Sep.	aus Berl. Ak.
"	Statist. Exped.	1878	2	93
Geogr.	Geogr. Statist.	1878	—	4
Wies, Ch. E.	Zeit. Ma.	1880	2	1.

Diaphorit.

Rhombisch.

Axenverhältnisse.

$a : b : c = 0.6698 : 1 : 1.3617$  (Gdt.)  
[ $a : b : c = 0.4919 : 1 : 0.7344$ ] (Zepharovich. Groth.)

Elemente.

a = 0.6698	lg a = 982595	lg a <sub>0</sub> = 969187	lg p <sub>0</sub> = 030813	a <sub>0</sub> = 0.4919	p <sub>0</sub> = 2.0330
c = 1.3617	lg c = 013408	lg b <sub>0</sub> = 986592	lg q <sub>0</sub> = 013408	b <sub>0</sub> = 0.7344	q <sub>0</sub> = 1.3617

Transformation.

Zepharovich. Groth.	Gdt.
p q	$\frac{p}{q} \cdot \frac{1}{q}$
$\frac{p}{q} \cdot \frac{1}{q}$	p q

No.	Zepharovich. Gdt.	Miller.	Naumann.	Gdt.
1	a	001	0 P 2	0
2	b	100	∞ P̄ ∞	∞ 0
3	x	110	∞ P	∞
4	ψ	120	∞ P̄ 2	∞ 2
5	w	012	$\frac{1}{2}$ P̄ ∞	0 $\frac{1}{2}$
6	q	035	$\frac{3}{5}$ P̄ ∞	0 $\frac{3}{5}$
7	v	023	$\frac{2}{3}$ P̄ ∞	0 $\frac{2}{3}$
8	r	011	P̄ ∞	0 1
9	u	021	2 P̄ ∞	0 2
10	α	10.11	$\frac{1}{11}$ P̄ 0	$\frac{1}{11}$ 0
11	ρ	105	$\frac{1}{5}$ P̄ ∞	$\frac{1}{5}$ 0
12	π	103	$\frac{1}{3}$ P̄ ∞	$\frac{1}{3}$ 0
13	k	50.12	$\frac{5}{12}$ P̄ ∞	$\frac{5}{12}$ 0
14	n	102	$\frac{1}{2}$ P̄ ∞	$\frac{1}{2}$ 0
15	m	101	P̄ ∞	1 0
16	t	301	3 P̄ ∞	3 0
17	y	121	2 P̄ 2	1 2
18	i	141	4 P̄ 4	1 4
19	d	144	P̄ 4	$\frac{1}{4}$ 1
20	z	122	P̄ 2	$\frac{1}{2}$ 1
21	ω	341	4 P̄ $\frac{3}{4}$	3 4
22	o	143	$\frac{4}{3}$ P̄ 4	$\frac{4}{3}$ $\frac{4}{3}$
23	e	543	$\frac{5}{3}$ P̄ $\frac{4}{3}$	$\frac{5}{3}$ $\frac{4}{3}$

Diaphorit.

Literatur.

Zepharovich *Wien. Sitzb.* 1871 **63** (1) 130  
Groth *Tab. Uebers.* 1882 — 27.

Diaspor.

1.

Rhombisch.

Axenverhältnisse.

a : b : c = 0.6443 : 1 : 1.0670 (Gdt.)

[ a : b : c = 0.9372 : 1 : 0.6038 ] (Rath. Dana. Groth.)  
[ " = 0.9347 : 1 : 0.5926 ] (Miller.)

{ a : b : c = 0.4686 : 1 : 0.3019 } (Kokscharow.)  
{ " = 0.4673 : 1 : 0.2963 } (Hausmann. Kenngott.)

Elemente.

a = 0.6443	lg a = 980909	lg a <sub>0</sub> = 978093	lg p <sub>0</sub> = 021907	a <sub>0</sub> = 0.6038	p <sub>0</sub> = 1.6560
c = 1.0670	lg c = 002816	lg b <sub>0</sub> = 997184	lg q <sub>0</sub> = 002816	b <sub>0</sub> = 0.9372	q <sub>0</sub> = 1.0670

Transformation.

Miller. Dana. Rath. Groth.	Hausmann. Kenngott. Kokscharow. Marignac.	Gdt.
p q	p · 2 q	$\frac{1}{q} \frac{p}{q}$
$p \frac{q}{2}$	p q	$\frac{2}{q} \frac{2p}{q}$
$\frac{q}{p} \frac{1}{p}$	$\frac{q}{p} \frac{2}{p}$	p q

No.	Gdt.	Kok- scha- row.	Miller.	Haid. Hausm.	Ma- rignac.	Rath.	Miller.	Naumann.	[Haus- mann.]	Gdt.
1	b	T	a	M	L	b	001	o P	B	o
2	a	p	—	—	—	a	010	∞ P ∞	—	o ∞
3	c	—	c	—	—	—	100	∞ P ∞	A	∞ o
4	n	l	—	—	—	n	015	$\frac{1}{2}$ P ∞	—	o $\frac{1}{2}$
5	z	z	—	—	—	z	013	$\frac{1}{2}$ P ∞	—	o $\frac{1}{2}$
6	l	—	l	—	S	—	012	$\frac{1}{2}$ P ∞	—	o $\frac{1}{2}$

(Fortsetzung S. 505.)

Literatur.

Mohs	Grundr.	1824	2	644
Hartmann	Handb.	1828	—	117
Rose, G.	Reise Ural	1837	1	249
Haidinger	Pogg. Ann.	1844	61	309
Marignac	Arch. sc. Phys. et Nat.	1847 (4)	6	296
Hausmann	Handb.	1847	2	(1) 351
Miller	Min.	1852	—	272
Kenngott	Wien. Sitzb.	1852	9	595
Kokscharow	Mat. Min. Russl.	1858	3	169
"	"	1866	5	44
Rath	Pogg. Ann.	1864	122	400 (Campolungo)
Dana	System	1873	—	168
Rath	Zeitschr. Kryst.	1881	5	259 (Greiner).

*Bemerkungen* }  
*Correcturen* } s. Seite 506.

## 2.

No.	Gdt.	Kok- scha- row.	Miller.	Haid. Hausm.	Ma- rignac.	Rath.	Miller.	Naumann.	[Haus- mann.]	Gdt.
7	K	k	k	s	R	K	023	$\frac{2}{3} \bar{P} \infty$	BB'3	$0 \frac{2}{3}$
8	y	y	—	—	—	y	011	$\bar{P} \infty$	—	0 1
9	M	M	d	p	M	M	021	$2 \bar{P} \infty$	E	0 2
10	m	m	—	—	—	m	809	$\frac{8}{3} \bar{P} \infty$	—	$\frac{8}{3} 0$
11	e	n	e	—	1 <sup>2</sup>	e	101	$\bar{P} \infty$	—	1 0
12	f	—	—	—	—	f	201	$2 \bar{P} \infty$	—	2 0
13	p	—	p	—	—	p	111	P	—	1
14	s	o	s	n	m	s	221	$2 P$	P	2
15	x	x	—	—	—	x	313	$\bar{P}_3$	—	$1 \frac{1}{3}$
16	t	—	—	—	—	t	121	$2 \bar{P}_2$	—	1 2
17	r	r	—	—	—	—	4·10·1	$10 \bar{P} \frac{2}{2}$	—	4·10



Bemerkungen.

Als Axenverhältniss nach Haidinger wurde dasjenige angeführt, das Hausmann aus einem Theil der Haidinger'schen Winkel berechnet hat. Bei Haidinger stimmen die Angaben der Winkel für  $\alpha$  unter sich nicht überein und geben sie demgemäss auch Hausmann und Miller anders an. Dies kann die Ursache sein, dass das von Haidinger berechnete Axenverhältniss (Pogg. Ann. 1844. 61. 309):

$$a : b : c = 1 : \sqrt{1.75} : \sqrt{0.125}$$

sich mit den Angaben der anderen Autoren nicht in Uebereinstimmung bringen lässt. Durch erscheint auch die Form  $\alpha = \frac{2}{3}$ , die gemäss den angegebenen Winkeln von Hausmann und Miller übernommen, später nicht beobachtet wurde, als zweifelhaft. Es dürften bei Haidinger Fehler in den Winkeln für  $\alpha$  sein. So ist auffallend, dass  $151^{\circ}54'$  für  $\alpha$  und  $128^{\circ}$  angegeben ist.

Marignac hat Haidinger's Winkelangaben zu  $\alpha$  auf eine Form:  $\frac{3}{4} : \frac{1}{2}$  unserer Aufstellung gedeutet (vgl. Kennigott Wien. Sitzb. 1852. 9. 614), die Rath anführt als  $i = (a : \frac{1}{4}b : \frac{7}{2}c) = 4P\frac{1}{3}$ . Statt letzteren liess er lesen:  $\frac{1}{3}P\frac{1}{4}$ . (Pogg. Ann. 1864. 122. 401) und J. D. Dana giebt, jedenfalls von Rath übernommen,  $4 - \frac{1}{3}$  statt  $\frac{1}{3} - \frac{1}{4}$ . Alle diese Angaben dürften am besten zu streichen sein, zusammen mit der unsicheren Form  $\alpha = i$ .

Kennigott's Auslegung der Rose'schen Angaben (Wien. Sitzb. 1852. 9. 613) ist richtig und beruht der Irrthum darauf, dass während Rose die Winkel  $128^{\circ}$  und  $134^{\circ}$  gegen das Prisma angegeben (Reise Ural 1837. I. 24), Kennigott diese als Winkel gegen das Pinakoid  $\infty O\infty$  ansieht. Danach entfällt das Symbol  $\infty O\frac{1}{3}$  Kennigott. Da die Orientirung der Rose'schen Krystalle nicht ganz sicher ist, so wäre wohl eine wahrscheinliche, doch keine sichere Deutung zu erzielen und wurde deshalb unterlassen. Bei erneuter Untersuchung von Material desselben Fundorts dürfte sie sich mit Exaktheit ausführen lassen.

Bei Dana findet sich noch die Angabe  $i - \frac{1}{3} = \alpha\frac{2}{3}$  unserer Aufstellung. Für diese konnte ich nirgends eine Quelle oder Winkelangaben finden. Sie wurde daher als nicht gesichert vorläufig nicht aufgenommen.

Unsichere Formen.

No.		Miller.	Naumann.	Gdt.	
1	—	032	$\frac{3}{2}P\infty$	$\alpha\frac{2}{3}$	$= i - \frac{1}{3}$ (Dana.)
2	o	229	$\frac{2}{3}P$	$\frac{2}{3}$	$= BD'9$ (Hausmann nach Haidinger.)
3	i	6.7.28	$\frac{1}{4}P\frac{7}{2}$	$\frac{3}{4}\frac{1}{4}$	$= (a : \frac{1}{4}b : \frac{7}{2}c)$ (Rath nach Marignac.)

Correcturen.

Rath	Pogg. Ann.	1864	122	Seite	400	Zeile	8	vu	lies	(3a : b : c)	statt	(2a : b : c)
"	"	"	"	"	401	"	18	vo	"	$\frac{1}{3}P\frac{1}{4}$	"	$4P\frac{1}{3}$
"	"	"	"	"	400	"	3	vu	"	$\infty P\frac{1}{2}$	"	$\infty P\infty$
Dana, J. D. System		1873	—	"	168	"	19	vu	"	$\frac{2}{3} - \frac{1}{3}$	"	$\frac{2}{3} - \frac{1}{3}$
"	"	"	"	"	168	"	19	vu	"	$\frac{1}{3} - \frac{1}{4}$	"	$4 - \frac{1}{3}$

Dickinsonit.

Monoklin.

Axenverhältniss.

a : b : c = 1.7322 : 1 : 1.200    β = 118°30' (Dana, E.S. Brush. Gdt.)

Elemente.

= 1.7322	lg a = 023860	lg a <sub>0</sub> = 015942	lg p <sub>0</sub> = 984058	a <sub>0</sub> = 1.4435	p <sub>0</sub> = 0.6927
= 1.200	lg c = 007918	lg b <sub>0</sub> = 992082	lg q <sub>0</sub> = 002308	b <sub>0</sub> = 0.8333	q <sub>0</sub> = 1.0546
= } 61°30'	lg h = } 994390	lg e = } 967866	lg $\frac{p_0}{q_0}$ = 981750	h = 0.8788	e = 0.4772
10 - β	lg sin μ	lg cos μ			

No.	Brush. Dana. Gdt.	Miller.	Naumann.	Gdt.
1	c	001	o P	o
2	b	010	∞ P ∞	o ∞
3	a	100	∞ P ∞	∞ o
4	x	301	—3 P ∞	3 o
5	p	111	+ P	—1
6	s	221	+2 P	—2

Literatur.

<i>Brush u. Dana, E. S.</i>	<i>Zeitschr. Kryst.</i>	1878	2	342 (Penfield.)
<i>Dana, E. S.</i>	<i>System Append. 3</i>	1882	—	37

Bemerkungen.

Der Habitus der Krystalle entspricht der rhomboedrischen Hemiedrie des hexag Systems und damit stimmen überein trigonale Zeichnungen auf den Spaltungsflächen. sprechen die optischen Verhältnisse gegen dies System.

# Hexagonal. Rhomboedrisch-tetartoedrisch.

## Axenverhältnisse.

$$a : c = 1 : 1.0561 \text{ (G}_2\text{)}$$

(1)

$$[a : c = 1 : 1.0561] \text{ (Miller. Des Cloizeaux = G}_1\text{.)}$$

$$\{a : c = 1 : 0.5342\} \text{ (Breithaupt. Websky. Kokscharow.)}$$

$$\{ \text{ „ } = 1 : 0.5281 \} \text{ (Dana. Groth.)}$$

$$\{ \text{ „ } = 1 : 0.529 \} \text{ (Hausmann.)}$$

## Elemente.

$c = 1.0561$	$\lg c = 0.02370$	$\lg a_0 = 0.21486$ $\lg a'_0 = 997630$	$\lg p_0 = 984761$	$a_0 = 1.6401$ $a'_0 = 0.9469$	$p_0 = 0.7041$
--------------	-------------------	--	--------------------	-----------------------------------	----------------

## Transformation.

Breithaupt. Websky. Dana. Kokscharow. Hausmann. Groth.	Miller. Des Cloizeaux. G <sub>1</sub> .	G <sub>2</sub> .
$p \ q$	$-\frac{p}{2} \ \frac{q}{2}$	$-\frac{p+2q}{2} \ \frac{p-q}{2}$
$-2p \cdot 2q$	$p \ q$	$(p+2q) \ (p-q)$
$-\frac{2}{3}(p+2q)\frac{2}{3}(p-q)$	$\frac{p+2q}{3} \ \frac{p-q}{3}$	$p \ q$

No.	Gdt.	Miller.	Websky.	Koksch.	Bravais.	Miller.	Naumann.	[Mohs- Zippe.]	Haüy.	Descl.	G <sub>1</sub>	G <sub>2</sub>	$\frac{p-1}{3} \ \frac{q-1}{3}$
1	b	a	g	g	1010	101	$\infty P_2$	$P+\infty$	D	d <sup>1</sup>	$\infty 0$	$\infty$	—
2	θ	k	—	—	2130	514	$\infty R_3$	—	—	k	$2\infty$	$4\infty$	—
3	ζ	g	—	—	3140	725	$\infty R_2$	—	—	γ	$3\infty$	$\frac{2}{3}\infty$	—
4	τ	l	—	—	7180	523	$\infty R_4$	—	—	λ	$7\infty$	$\frac{2}{3}\infty$	—
5	p.	r	2r <sup>1</sup>	s	1011	100	$+R$	$R+1$	E'E	p	$+1 \ 0$	$+1$	0
6	δ.	e	R	R	1012	110	$-\frac{1}{2}R$	R	—	b <sup>1</sup>	$-\frac{1}{2} \ 0$	$-\frac{1}{2}$	$-\frac{1}{2}$
7	z.	i	—	—	1011	221	—R	—	—	e <sup>2</sup>	$-1 \ 0$	$-1$	$-\frac{2}{3}$
8	H:	x	x	x	3142	301	$+R_2$	—	—	d <sup>3</sup>	$+\frac{2}{3} \ \frac{1}{3}$	$+1 \ \frac{2}{3}$	$0 \ \frac{1}{3}$
9	C:	z	z	z	7186	701	$+R_4$	—	—	d <sup>7</sup>	$+\frac{7}{6} \ \frac{1}{6}$	$+1 \ \frac{2}{3}$	$0 \ \frac{1}{6}$
10	λ:	—	u	u	17.1.18.6	17.0.1	$+R_8$	—	—	—	$+\frac{17}{16} \ \frac{1}{16}$	$+1 \ \frac{15}{16}$	$0 \ \frac{1}{16}$
11	μ:	—	o	—	18.1.19.20	19.1.0	$+\frac{17}{20}R_4$	$\frac{1}{2}$	—	—	$+\frac{17}{20} \ \frac{1}{20}$	$+1 \ \frac{17}{20}$	$0 \ \frac{3}{20}$
12	e:	—	v	—	2132	211	$-\frac{1}{2}R_3$	—	—	e <sub>2</sub>	$-1 \ \frac{1}{2}$	$-2 \ \frac{1}{2}$	$-1 \ \frac{1}{2}$
13	g:	t	—	—	4153	322	—R <sub>3</sub>	—	—	—	$-\frac{4}{3} \ \frac{1}{3}$	$-2 \ 1$	$-1 \ 0$

Literatur.

Haug	Traité Min.	1822	3	477
Mohs	Grundr.	1824	2	193
Hartmann	Handwb.	1828	—	494
Breithaupt	Schweigg. Journ.	1831	62	221
Mohs-Zippe	Min.	1839	2	173
Websky	Pogg. Ann.	1846	69	543
Hausmann	Handb.	1847	2	(1) 745
Miller	Min.	1852	—	403
Schrauf	Wien. Sitzb.	1860	39	891
Des Cloizeaux	Manuel	1862	1	121
Kokscharow	Mat. Min. Russl.	1870	6	285
"	"	1875	7	218
Dana	System	1873	—	401
Groth	Strassb. Samml.	1878	—	203.

Bemerkungen.

Breithaupt's Bestimmungen (Schweigger Journ. 1831. 62. 221) wurden von Websky revidirt (Pogg. 1846. 69. 543) und es erhielten dabei o und u andere Symbole. o deshalb, weil Breithaupt's Symbol mit seiner Figur (Fig. 1 Taf. 1) nicht übereinstimmt; wonach o eine stumpfere Form ist als r. u setzt Websky  $= R\frac{2}{8}$  statt  $+R\frac{2}{6}$  in besserer Uebereinstimmung mit dem Winkel. Erstere Form würde nicht  $3^{\circ}25$ , sondern  $4^{\circ}25$  mit r einschliessen. Websky's Symbol v (S. 545) enthält einen Druckfehler  $v = (\frac{3}{8}a : \frac{3}{10}a : \frac{3}{2}a : c)$  statt  $v = (\frac{3}{8}a : \frac{3}{10}a : \frac{3}{2}a : c)$  der es unverständlich macht. Seite 548 findet sich das richtige Symbol, jedoch als b bezeichnet. Das dürfte der Grund sein, warum Kokscharow (Mat. Min. Russl. 1870. 6. 289) dies Symbol als unwahrscheinlich bezeichnet, während es nach Entfernung des Druckfehlers ein sehr einfaches ist.

Kokscharow hat die Form  $g = \infty P_2$  weggelassen, für u x z o die Vorzeichen + statt — gesetzt. Auch kann seine Bemerkung, eine Fläche von dem Symbol Websky's für o könne nicht in der Zone s u x liegen, entfallen, da die Lage in der genannten Zone einem solchen Symbol in der That zukommt.

Miller hat (Min. 1852. 403) die Symbole für v u abermals geändert. Da jedoch neuere Messungen nicht gegeben sind, so dürfte die Abweichung nur auf Grund anderer Betrachtung der Breithaupt-Websky'schen Messungen geschehen sein, für die jedoch ein Grund nicht vorliegt.

Miller's Symbole finden sich reproducirt bei Schrauf (Wien. Sitzb. 1860. 39. 891), wo (071) ausgelassen ist, ebenso bei Des Cloizeaux (Manuel 1862. I. 121), wobei  $d^{11}v$  (Descl.) = uv (Miller) ist. Auch hier nur Wiederholung der Miller'schen Angaben, aber keine Bestätigung gegenüber Websky.

J. D. Dana hat (System 1873 402) Breithaupt's Figur copirt und seine Symbole eingeschrieben ohne den Widerspruch zwischen Figur und Symbol zu bemerken.

Correcturen.

Websky	Pogg. Ann.	1846	69	S. 545	Z. 10	vu	lies	$v = (\frac{3}{8}a : \frac{3}{10}a : \frac{3}{2}a : c)$	statt	$v = (\frac{3}{8}a : \frac{3}{10}a : \frac{3}{2}a : c)$
"	"	"	"	"	14	"	"	$2r^1$	"	$2r$
"	"	"	"	548	"	7	vo	v	"	b
"	"	"	"	"	9	"	"	g	"	d
Schrauf	Wien. Sitzb.	1860	39	"	891	"	18	vu	"	0-9470
"	"	"	"	"	17	"	ist:	(071)	zuzufügen.	
Kokscharow	Mat. Min. Russl.	1870	6	"	289	"	12, 11, 10,	2	vu	lies in allen Symbolen — statt +
"	"	"	"	"	2,	1	vu	die Worte	"eine . . . . fallen"	zu löschen.
Dana	System	1873	—	"	402	Fig. 383	lies	$-\frac{17}{10}^{\frac{19}{17}}$	statt	$-\frac{17}{10}^{\frac{19}{17}}$
"	"	"	"	"	"	"	"	$-2^{\frac{2}{8}}$	"	$-2^{\frac{2}{6}}$

# Dolerophanit.

## Monoklin.

### Axenverhältnisse.

$$a : b : c = 1.4752 : 1 : 1.2096 \quad \beta = 122^\circ 54' \text{ (Gdt.)}$$

$$[a : b : c = 1.4752 : 1 : 1.4808 \quad \beta = 113^\circ 52'] \text{ (Scacchi.)}$$

$$\{a : b : c = 1.4808 : 1 : 1.4752 \quad \beta = 113^\circ 52'\} \text{ (Dana, E. S.)}$$

### Elemente.

= 1.4752	lg a = 016885	lg a <sub>0</sub> = 008620	lg p <sub>0</sub> = 991379	a <sub>0</sub> = 1.2196	p <sub>0</sub> = 0.8200
= 1.2096	lg c = 008264	lg b <sub>0</sub> = 991735	lg q <sub>0</sub> = 000672	b <sub>0</sub> = 0.8267	q <sub>0</sub> = 1.0156
= } 57°06'	lg h = } 992408 lg sin μ }	lg e = } 973494 lg cos μ }	lg $\frac{p_0}{q_0}$ = 990707	h = 0.8396	e = 0.5432

### Transformation.

Scacchi.	Dana.	Gdt.
$\frac{pq}{p \quad q}$	$\frac{1}{p} \quad \frac{q}{p}$	$-\frac{4p}{3(p+1)} \quad \frac{4q}{3(p+1)}$
$\frac{1}{p} \quad \frac{q}{p}$	$\frac{pq}{p \quad q}$	$-\frac{4}{3p+1} \quad \frac{4q}{3p+1}$
$-\frac{3p}{3p+4} \quad \frac{3q}{3p+4}$	$-\frac{4+3p}{3p} \quad \frac{q}{p}$	$\frac{pq}{p \quad q}$

No.	Scacchi. Gdt.	Miller.	Naumann.	Gdt.
1	A	001	0 P	0
2	C	010	∞ P ∞	0 ∞
3	g	100	∞ P ∞	∞ 0
4	t	110	∞ P	∞
5	h	803	$-\frac{8}{3} P \infty$	$+\frac{8}{3} 0$
6	d	101	$+\frac{1}{3} P \infty$	$-\frac{1}{3} 0$
7	B	403	$+\frac{4}{3} P \infty$	$-\frac{4}{3} 0$
8	e	201	$+\frac{2}{3} P \infty$	$-\frac{2}{3} 0$
9	f	401	$+\frac{4}{3} P \infty$	$-\frac{4}{3} 0$
10	τ	883	$-\frac{8}{3} P$	$+\frac{8}{3}$
11	r	112	$+\frac{1}{2} P$	$-\frac{1}{2}$
12	s	111	$+\frac{1}{3} P$	$-\frac{1}{3}$
13	n	133	$+\frac{1}{3} P_3$	$-\frac{1}{3} 1$
14	q	312	$+\frac{2}{3} P_3$	$-\frac{2}{3} \frac{1}{2}$
15	p	314	$+\frac{2}{3} P_3$	$-\frac{2}{3} \frac{1}{4}$
16	m	269	$+\frac{2}{3} P_3$	$-\frac{2}{3} \frac{2}{3}$

Literatur.

Scacchi	Napoli Att. Ac.	1873	5	22
Dana, E. S.	System App. 2	1875	—	17.

Bemerkungen.

Die Aufstellung ist derart, dass in dem Axenverhältniss eine Analogie mit dem wahrscheinlich isomorphen Lanarkit gefunden werden kann. Doch ist der Vergleich unsicher wegen der noch bestehenden Unklarheit der Formenreihe des Dolerophanit, noch mehr als des Lanarkit.

Vielleicht empfiehlt es sich, statt der gewählten Symbole  $\frac{p}{2} \frac{q}{2}$  zu nehmen.

Es bezieht sich allgemein bei Scacchi a und h auf die verticale, b und k auf die Längs-, c und l auf die Quer-Axe. Danach ist zu lesen:

$$hkl \text{ (Scacchi)} = klh \text{ (Autor).}$$

Correcturen.

Scacchi	Note. min. [Att. Ac. Napoli]	1873	5	S. 23	Z. 4	vo	lies	128° 51'	statt	129° 51'
"	"	"	"	" 23	" 8	vo	"	74° 9'	"	73° 47'
Dana	Syst. App. 2	1875	—	" 17	" 21	vu	"	— 1 — $\frac{3}{2}$	"	1 — $\frac{3}{2}$

# Dolomit.

1.

Hexagonal. Rhomboedrisch-hemiedrisch.

Axenverhältniss.

$$a : c = 1 : 0.8322 \text{ (Mohs-Zippe} = G_2\text{)}$$

$$[a : c = 1 : 0.8322] \text{ (Lévy. Hausmann. Miller. Des Cloizeaux.}$$

$$[a : c = 1 : 0.8322] \text{ (Lévy. Hausmann. Miller. Des Cloizeaux.}$$

$$\text{Dana. Hintze. Groth} = G_1.)$$

$$[a : c = 1 : 0.8319] \text{ (Kokscharow.)}$$

Elemente.

$= 0.8322$	$\lg c = 992023$	$\lg a_0 = 031833$ $\lg a'_0 = 007977$	$\lg p_0 = 974414$	$a_0 = 2.0812$ $a'_0 = 1.2017$	$p_0 = 0.5548$
------------	------------------	---	--------------------	-----------------------------------	----------------

Transformation.

Lévy. Hausmann. Des Cloizeaux. Miller. Dana. Kokscharow. Hintze. Groth. $G_1$ .	Mohs-Zippe. $G_2$ .
$pq$	$(p+2q) (p-q)$
$\frac{p+2q}{3} \quad \frac{p-q}{3}$	$pq$

Kok- scharow. Miller.	Groth.	Hauy. Hausm. Mohs. Hartm. Zippe.	Bravais.	Miller.	Naumann.	Hausm.	Mohs- Zippe. Hartm.	Hauy.	Lévy. Descl.	$G_1$	$G_2$	$G'_2$	$\frac{p-1}{3} \quad \frac{q-1}{3}$
o	c	o	0001	111	oR	A	$R-\infty$	$\frac{A}{1}$	$a^1$	o	o	o	—
a	—	u	1120	101	$\infty P 2$	B	$P+\infty$	$\frac{1}{D}$	$d^1$	$\infty$	$0\infty$	$0\infty$	—
—	h	—	4489	731	$\frac{8}{3} P 2$	—	—	—	—	$\frac{4}{3}$	$0\frac{4}{3}$	$0\frac{4}{3}$	—
—	—	—	7071	522	+7 R	—	—	—	—	+7 o	+7	+7	+2
—	—	—	6061	13.5.5	+6 R	—	—	—	—	+6 o	+6	+6	+3
m	—	m	4041	311	+4 R	$HA\frac{1}{4}$	$R+2$	$\frac{3}{e}$	$e^3$	+4 o	+4	+4	+1
r	r	P	3031	722	+3 R	—	—	—	$e^{\frac{2}{3}}$	+3 o	+3	+3	+2
—	—	—	1011	100	+ R	P	R	P	p	+1 o	+1	+1	o
—	—	—	14.0.14.17	15.1.1	+1 R	—	—	—	$a^{15}$	+14 o	+14	+14	—17

(Fortsetzung S. 515.)

Goldschmidt, Index.



Literatur.

<i>Hauy</i>	<i>Traité Min.</i>	1822	1	418 u. 427
<i>Mohs</i>	<i>Grundr.</i>	1824	2	109 u. 113
<i>Hartmann</i>	<i>Handb.</i>	1828	—	277
<i>Lévy</i>	<i>Descr.</i>	1838	1	115
<i>Mohs-Zippe</i>	<i>Min.</i>	1839	2	101
<i>Hausmann</i>	<i>Handb.</i>	1847	2	(2) 1332
<i>Miller</i>	<i>Min.</i>	1852	—	581—585
<i>Sella</i>	<i>Studi s. Min. Sarda. Turin. Ac.</i>	1856 (2)	17	13, 18, 19
<i>Hessenberg</i>	<i>Senck. Abb.</i>	1861	3	267 (Min. Not. No. 3. 1.)
<i>Dana</i>	<i>System</i>	1873	—	682
<i>Des Cloizeaux</i>	<i>Manuel</i>	1874	2	127
<i>Kokscharow</i>	<i>Mat. Min. Russl.</i>	1875	7	5 u. 181
<i>Groth</i>	<i>Strassb. Samml.</i>	1878	—	127, 131
<i>Hintze</i>	<i>Zeitschr. Kryst.</i>	1883	7	438.

*Bemerkungen* }  
*Correcturen* } s. Seite 516.

## 2.

r.	Groth.	Hauy. Hausm. Mohs. Hartm. Zippe.	Bravais.	Miller.	Naumann.	Haus- mann.	Mohs- Zippe. Hartm.	Hauy.	Lévy. Descl.	G <sub>1</sub>	G <sub>2</sub>	G <sub>2</sub>	R = $\frac{p-1}{3} \frac{q-1}{3}$
-	—	—	4045	13·1·1	+ $\frac{4}{3}$ R	—	—	—	—	+ $\frac{4}{3}$ 0	+ $\frac{4}{3}$	+ $\frac{4}{3}$	— $\frac{1}{3}$
-	—	—	3034	10·1·1	+ $\frac{3}{2}$ R	—	—	—	—	+ $\frac{3}{2}$ 0	+ $\frac{3}{2}$	+ $\frac{3}{2}$	— $\frac{1}{2}$
-	—	—	4047	511	+ $\frac{4}{3}$ R	—	—	—	a <sup>5</sup>	+ $\frac{4}{3}$ 0	+ $\frac{4}{3}$	+ $\frac{4}{3}$	— $\frac{1}{3}$
-	d	—	2025	311	+ $\frac{2}{3}$ R	—	—	—	a <sup>3</sup>	+ $\frac{2}{3}$ 0	+ $\frac{2}{3}$	+ $\frac{2}{3}$	— $\frac{1}{3}$
-	—	—	1014	211	+ $\frac{1}{4}$ R	—	—	—	—	+ $\frac{1}{4}$ 0	+ $\frac{1}{4}$	+ $\frac{1}{4}$	— $\frac{1}{4}$
-	—	—	1·0·1·10	11·11·8	— $\frac{1}{10}$ R	—	—	—	a <sup>8</sup> 11	— $\frac{1}{10}$ 0	— $\frac{1}{10}$	— $\frac{1}{10}$	— $\frac{11}{10}$
-	—	g	1012	110	— $\frac{1}{2}$ R	G	R—1	B <sub>1</sub>	b <sup>1</sup>	— $\frac{1}{2}$ 0	— $\frac{1}{2}$	— $\frac{1}{2}$	— $\frac{1}{2}$
-	e	—	4045	331	— $\frac{4}{3}$ R	—	—	—	e <sup>3</sup>	— $\frac{4}{3}$ 0	— $\frac{4}{3}$	— $\frac{4}{3}$	— $\frac{2}{3}$
-	—	—	3032	554	— $\frac{3}{2}$ R	—	—	—	e <sup>4</sup>	— $\frac{3}{2}$ 0	— $\frac{3}{2}$	— $\frac{3}{2}$	— $\frac{5}{6}$
-	f	f	2021	111	— 2 R	FA <sub>2</sub>	R+1	E <sup>11</sup> E	e <sup>1</sup>	— 2 0	— 2	— 2	— 1
-	—	—	5051	322	— 5 R	—	—	—	—	— 5 0	— 5	— 5	— 2
-	—	—	8081	533	— 8 R	—	—	—	e <sup>5</sup>	— 8 0	— 8	— 8	— 3
-	—	r	2131	201	+ R <sup>3</sup> KG <sub>3</sub>	(P) <sup>3</sup>	—	—	d <sup>2</sup>	+ 2 1	+ 4 1	+ 1 4	0 1
-	—	—	5382	503	+ R <sup>4</sup>	—	—	—	d <sup>3</sup>	+ $\frac{5}{2}$ $\frac{3}{2}$	+ $\frac{11}{2}$ 1	+ 1 $\frac{11}{2}$	0 $\frac{3}{2}$
-	—	y	3251	302	+ R <sup>5</sup>	—	—	$\frac{3}{2}$ D	—	+ 3 2	+ 7 1	+ 1 7	0 2
-	—	—	4265	511	+ $\frac{2}{3}$ R <sup>3</sup>	—	—	—	e <sub>5</sub>	+ $\frac{4}{3}$ $\frac{2}{3}$	+ $\frac{8}{3}$ $\frac{2}{3}$	— 2 $\frac{2}{3}$	— 1 $\frac{1}{3}$
-	—	—	20·1·21·21	62·2·1	+ $\frac{19}{21}$ R <sup>19</sup>	—	—	—	—	+ $\frac{20}{21}$ $\frac{1}{21}$	+ $\frac{23}{21}$ $\frac{19}{21}$	— 2 $\frac{19}{21}$	— 1 $\frac{6}{21}$
l	—	—	5161	412	+ 4 R <sup>3</sup>	—	—	—	x	+ 5 1	+ 7 4	+ 4 7	+ 1 2
-	—	—	9·1·10·2	723	+ 4 R <sup>3</sup>	—	—	—	e	+ $\frac{9}{2}$ $\frac{1}{2}$	+ $\frac{11}{2}$ 4	+ 4 $\frac{11}{2}$	+ 1 $\frac{3}{2}$
-	—	—	5492	514	— $\frac{1}{2}$ R <sup>9</sup>	—	—	—	β	— $\frac{5}{2}$ 2	— $\frac{13}{2}$ $\frac{1}{2}$	— $\frac{1}{2}$ $\frac{13}{2}$	— $\frac{1}{2}$ $\frac{3}{2}$

Bemerkungen.

Bei Hausmann (Handwb. 1847. 2. (2) 133) ist aufgeführt die Form  $E(u) = \infty R$ . Statt dessen muss es heissen  $B(u) = \infty P_2$ . Die Hausmann'sche Angabe ist von Mohs entlehnt (Grundr. 1824. 2. 471), der für  $P + \infty$  den Buchstaben u gebraucht und die gute Combination wie Hausmann:

$R : R = \infty : R + 1 : P + \infty : (P)^2$  (Mohs)  $= 6P : 2A : 6B$  (nicht E)  $6FA\frac{1}{2} : 12KG\frac{1}{2}$  (Hausmann).  $\infty P_2$  findet sich wieder bei Miller (Min. 1852. 581)  $= a$  (101) und Dana (System 1873. 682)  $= i-2$  und Des Cloizeaux (Man. 1874. 2. 128)  $= d^2$ .  $\infty R$  fand sich nur noch bei Naumann-Zirkel (Elem. 1877. 401) und dürfte auch diese Angabe, die wie bei Hausmann ohne Zeichnung und Winkelangabe dasteht, auf einem Irrthum beruhen und statt  $\infty R$  zu setzen sein  $\infty P_2$ ; danach wäre auch die Anmerkung am Fuss derselben Seite richtig zu stellen. Die Form  $\infty R$  dürfte beim Dolomit überhaupt noch nicht beobachtet sein.

Die Form  $+\frac{1}{10}R$  (Zeitschr. Kryst. 1883. 7. 10) ist ein Hinweis für identisch mit  $+\frac{1}{2}R$  gegeben. Hessenberg's Winkel gut übereinstimmend beobachtet nicht gesehen, hat wenig Wahrscheinlichkeit.

Des Cloizeaux giebt noch die Form  $-\frac{1}{10}R$  an (Man. 1874. 2. 130 Anm.) Beides sind einzelstehende Vicinalflächen (Des Cloizeaux Manual 1874. 2. 130 Anm.)

$-\frac{3}{2}R = -\frac{3}{2}R$  findet sich bei Messungen, Combination und Figur.  $-4R = -4R$  giebt Groth an (Elem. 1877. 401) die Zeichnung äusserst schmal und trotzdem sehr gut mit der Rechnung übereinstimmend. Ich gebe doch, dass die Form der Beschaffenheit des Dolomitformen passt. Zu erwarten wäre  $-\frac{1}{2}R$  oder  $-5R$ .

Zur Buchstabenbezeichnung wurden für die gleichen Formen die gleichen Zeichen gegeben, wie beim Calcit, und so auch die Buchstaben mit Punkten  $\cdot : \cdot$  gesetzt, obwohl für den Dolomit allein ja ohne diese auskommt.

Die Formen des Breunerit (Mesitinspath, Pistomesit) und Ankerit (Braunspath) sind denen des Dolomit eingereiht. Wir können für den Breunerit das Axenverhältniss  $a : c (10) = 1 : 0.81$  ( $G_1$ ) annehmen, für den Ankerit  $a : c (10) = 1 : 0.83$ .

Correcturen.

Hausmann	Handb.	1847	2 (2)	Seite 1333	Zeile 5 vo	lies	B	statt	E
"	"	"	"	"	"	10 vo	B	-	E
Naumann-Zirkel	Elem.	1877	—	"	401	"	5 vo	"	$\infty P_2$

# Dufrenoyzit. (Rath.)

Rhombisch.

Axenverhältniss.

$$a : b : c = 0.938 : 1 : 1.531 \text{ (Berendes. Rath. Groth. Gdt.)}$$

Elemente.

$a = 0.938$	$\lg a = 997220$	$\lg a_0 = 978722$	$\lg p_0 = 021278$	$a_0 = 0.6127$	$p_0 = 1.6322$
$c = 1.531$	$\lg c = 018498$	$\lg b_0 = 981502$	$\lg q_0 = 018498$	$b_0 = 0.6532$	$q_0 = 1.5310$

No.	Gdt.	Berendes.	Rath.	Miller.	Naumann.	Gdt.
1	c	c	c	001	o P	o
2	b	b	b	010	$\infty \bar{P} \infty$	$0 \infty$
3	a	a	a	100	$\infty \bar{P} \infty$	$\infty 0$
4	m	m	m	110	$\infty P$	$\infty$
5	l	l	$\frac{1}{2} f$	012	$\frac{1}{2} \bar{P} \infty$	$0 \frac{1}{2}$
6	k	k	$\frac{2}{3} f$	023	$\frac{2}{3} \bar{P} \infty$	$0 \frac{2}{3}$
7	i	i	f	011	$\bar{P} \infty$	$0 1$
8	h	h	$\frac{1}{4} d$	104	$\frac{1}{4} \bar{P} \infty$	$\frac{1}{4} 0$
9	g	g	$\frac{1}{2} d$	102	$\frac{1}{2} \bar{P} \infty$	$\frac{1}{2} 0$
10	f	f	$\frac{2}{3} d$	203	$\frac{2}{3} \bar{P} \infty$	$\frac{2}{3} 0$
11	d	d	d	101	$\bar{P} \infty$	$1 0$
12	e	e	2 d	201	2 $\bar{P} \infty$	2 0
13	q	o	o	111	P	1
14	p	p	2 o	221	2 P	2

Literatur.

Des Cloizeaux	Ann. Min.	1855	(5)	8	389	
Heuser	Pogg. Ann.	1856		97	120	(Binnit)
Berendes	Inaug. Diss. Bonn.	1864				
Rath	Pogg. Ann.	1864		122	373	

Bemerkungen.

Die Angaben von Des Cloizeaux und Heuser lassen sich nicht in sichere Uebereinstimmung mit denen von Berendes und Rath bringen. Die Ursache liegt im Material und sagt Rath darüber (Pogg. Ann. 1864. 122. 379): „(es) ist nicht mit Bestimmtheit zu sehen, ob auch nur ein Dufrenoyisit-Krystall diesen Mineralogen bekannt war.“

Im Anschluss an Rath würde der Name Dufrenoyisit für das rhombische Binnit für das reguläre Material verwendet. Sartorius v. Waltershausen, Heuser u. A. gebrauchen den Namen umgekehrt.

Die Berendes'schen Buchstaben wurden beibehalten, nur q für o gesetzt. Letzterer Buchstabe ist für häufige Formen ausser der Basis principiell vermieden, da er nach seinem Aussehen leicht zu Verwechselungen mit dem Zahlensymbol o = (001) führen kann.

Ueber die Beziehung des Axen-Verhältnisses des Dufrenoyisit zu dem von Emplektit, Skleroklas, Zinckenit, Wolfsbergit s. Emplektit.

Durangit.

Monoklin.

Axenverhältnisse.

b : c = 0.7715 : 1 : 0.8223    β = 115° 13 (Des Cloizeaux. Groth. Gdt.)

Elemente.

= 0.7715	lg a = 988734	lg a <sub>0</sub> = 997231	lg p <sub>0</sub> = 002769	a <sub>0</sub> = 0.9382	p <sub>0</sub> = 1.0658
= 0.8223	lg c = 991503	lg b <sub>0</sub> = 008497	lg q <sub>0</sub> = 987154	b <sub>0</sub> = 1.2161	q <sub>0</sub> = 0.7439
= } 64° 47 - β }	lg h = } 995651 lg sin μ }	lg e = } 962945 lg cos μ }	lg $\frac{p_0}{q_0}$ = 015615	h = 0.9047	e = 0.4260

No.	Gdt.	Miller.	Naumann.	Des Cloizeaux.	Gdt.
1	b	010	∞P∞	g <sup>1</sup>	0∞
2	a	100	∞P∞	h <sup>1</sup>	∞0
3	m	110	∞P	m	∞
4	e	021	2P∞	e <sup><math>\frac{1}{2}</math></sup>	0 2
5	p	111	— P	d <sup><math>\frac{1}{2}</math></sup>	+ 1
6	k	112	+ $\frac{1}{2}$ P	b <sup>1</sup>	— $\frac{1}{2}$
7	π	111	+ P	b <sup><math>\frac{1}{2}</math></sup>	— 1

Literatur.

<i>Des Cloizeaux</i>	<i>Ann. Chim. Phys.</i>	1875 (5) 4	401
<i>Groth</i>	<i>Strassb. Samml.</i>	1878 —	181.

Dysanalyt.

Regulär.

No.	Gdt.	Miller.	Naumann.	G <sub>1</sub>	G <sub>2</sub>	G <sub>3</sub>
1	c	∞01	∞0∞	0	0∞	∞0



Literatur.

Knop Zeitschr. Kryst. 1877 I 284.

Edingtonit.

Tetragonal.

Axenverhältnisse.

a : c = 1 : 0.953 (Gdt.)

a : c = 1 : 0.9543 (Miller.)

[a : c = 1 : 0.6727] (Haidinger. Hartmann. Mohs. Zippe.)

[ " = 1 : 0.6747] (Haidinger. Hartmann. Mohs. Zippe.  
Hausmann. Dana. Groth.)

(a : c = 1 : 1.3450) (Des Cloizeaux.)

Elemente.

$\left. \begin{matrix} c \\ p_o \end{matrix} \right\} = 0.953$	$lg\ c = 997909$	$lg\ a_o = 002091$	$a_o = 1.0493$
--	------------------	--------------------	----------------

Transformation.

Haidinger. Mohs. Zippe. Hartmann. Hausmann. Dana. Groth.	Des Cloizeaux.	Miller. Gdt.
$p\ q$	$\frac{p}{2}\ \frac{q}{2}$	$\frac{p+q}{2}\ \frac{p-q}{2}$
$2\ p \cdot 2\ q$	$p\ q$	$(p+q)\ (p-q)$
$(p+q)\ (p-q)$	$\frac{p+q}{2} \cdot \frac{p-q}{2}$	$p\ q$

No.	Miller. Greg. Gdt.	Haidinger. Hartmann. Mohs. Zippe.	Miller.	Naumann.	[Hausmann.]	[Mohs.] [Hartmann.] [Zippe.]	[Descl.]	Gdt.
1	a	m	100	$\infty P \infty$	E	$P \perp \infty$	m	$\infty 0$
2	s	—	103	$\frac{1}{3} P \infty$	—	—	$b^3$	$\frac{1}{3} 0$
3	n	n	102	$\frac{1}{2} P \infty$	AE2	$P - 2$	$b^2$	$\frac{1}{2} 0$
4	e	P	101	$P \infty$	P	P	$b^1$	1 0

Literatur.

<i>Haidinger</i>	<i>Pogg. Ann.</i>	1825	5	193
<i>Hartmann</i>	<i>Handwb.</i>	1828	—	133
<i>Mohs-Zippe</i>	<i>Min.</i>	1839	2	275
<i>Hausmann</i>	<i>Handb.</i>	1847	2 (1)	798
<i>Miller</i>	<i>Min.</i>	1852	—	458
<i>Greg u. Lettsom</i>	<i>Manuel</i>	1858	—	191
<i>Des Cloizeaux</i>	<i>Manuel</i>	1862	1	429
<i>Dana J. D.</i>	<i>System</i>	1873	—	417
<i>Groth</i>	<i>Tab. Uebers.</i>	1882	—	113

Bemerkungen.

Bei Haidinger (*Pogg. Ann.* 1825. 5, 193) und nach ihm bei Hartmann und Mohs-Zippe ist das Axenverhältniss  $a = \sqrt{0.905}$  in Widerspruch mit den Winkeln der Grundform. Ersteres giebt in unserer Schreibweise

$$a : c = 0.6727$$

$$\text{letzteres } a : c = 0.6747$$

Offenbar ist der letztere Werth aus dem zweiten gegebenen Winkel  $\frac{P-2}{2} (n) =$  berechnet. Derselbe Gegensatz besteht zwischen der Angabe des Elements bei Miller bei Des Cloizeaux. Miller legt zu Grund den Winkel:  $101 : 001 = 43^\circ 39.5$ , entsprechend

$$a : c = 1 : 0.9543 = 1 : 0.6747 \sqrt{2}.$$

Des Cloizeaux  $b^2 : b^2 = 129^\circ 8'$ , woraus

$$a : c = 1 : 1.345 = 1 : 2.06725.$$

Neuere Messungen sind nicht angegeben und daher wohl das Mittel

$$a : c = 1 : 0.6737 \text{ resp. } 1 : 0.953$$

als der wahrscheinlichste Werth anzunehmen.

# Eggonit.

## Triklin.

### Axenverhältniss.

$$a : b : c = 0.5985 : 1 : 1.123 \quad \alpha \beta \gamma = 91^\circ 0'; 90^\circ 23'; 90^\circ 50' \text{ (Gdt.)}$$

$$[a : b : c = 0.8907 : 1 : 0.5329 \quad \alpha \beta \gamma = 90^\circ 23'; 90^\circ 50'; 91^\circ 0'] \text{ (Schrauf.)}$$

### Elemente der Linear-Projection.

$a = 0.5985$	$a_o = 0.5329$	$\alpha = 91^\circ 0'$	$x'_o = -0.0070$	$d' = -0.0188$
$b = 1$	$b_o = 0.8905$	$\beta = 90^\circ 23'$	$y'_o = -0.0174$	$\delta' = 21^\circ 42'$
$c = 1.123$	$c_o = 1$	$\gamma = 90^\circ 50'$	$k = 0.9998$	

### Elemente der Polar-Projection.

$p_o = 1.8763$	$\lambda = 88^\circ 59.6'$	$x_o = 0.0067$	$d = 0.0188$
$q_o = 1.1231$	$\mu = 89^\circ 36.2'$	$y_o = 0.0175$	$\delta = 20^\circ 46.7'$
$r_o = 1$	$\nu = 89^\circ 09.6'$	$h = 0.9998$	

### Transformation.

Schrauf.	Gdt.
$p \ q$	$\frac{2}{3} \frac{2}{q} \frac{p}{3 \ q}$
$\frac{2}{3} \frac{q}{p}$	$p \ q$

No.	Schrauf. Gdt.	Miller.	Naumann.	Gdt.
1	b	001	o P	o
2	a	010	$\infty \check{P} \infty$	o $\infty$
3	s	011	$\check{P} \infty$	o 1
4	$\sigma$	011	$\check{P} \infty$	o 1
5	$\eta$	101	$\check{P} \infty$	1 o
6	$\varepsilon$	101	$\check{P} \infty$	1 o

Eggonit.

Literatur.

Schrauf *Zeitschr. Kryst.* 1879 3 352.

Eis.

Hexagonal.

Axenverhältnisse.

$a : c = 1 : 2.800 \text{ (G}_1\text{.)}$   
(1)

$\underset{(10)}{a} : c = 1 : 1.617 \text{ (Nordenskjöld}_1\text{.)}$

$\underset{(10)}{[a : c = 1 : 1.400]} \text{ (Nordenskjöld}_2\text{. Groth.)}$

Elemente.

$c = 2.800$	$\lg c = 0.44716$	$\lg a_o = 979140$ $\lg a'_o = 955284$	$\lg p_o = 0.27107$	$a_o = 0.6186$ $a'_o = 0.3571$	$p_o = 1.8667$
-------------	-------------------	---	---------------------	-----------------------------------	----------------

Transformation.

Nordenskjöld <sub>1</sub> . Groth.	Nordenskjöld <sub>2</sub> . G <sub>1</sub> .	G <sub>2</sub> .
$p \ q$	$\frac{p+2q}{2} \ \frac{p-q}{2}$	$\frac{2}{3} p \ \frac{2}{3} q$
$\frac{2(p+2q)}{3} \ \frac{2(p-q)}{3}$	$p \ q$	$(p+2q) \ (p-q)$
$\frac{2}{3} p \ \frac{2}{3} q$	$\frac{p+2q}{3} \ \frac{p-q}{3}$	$p \ q$

No.	Gdt.	Nordenskjöld.	Miller.	Bravais.	Miller.	Naumann.	Des Cloizeaux.	G <sub>1</sub> .	G <sub>2</sub> .
1	o	—	o	0001	111	o P	p	o	o
2	m	m	a	1010	211	∞ P 2	m	∞ o	∞
3	n	—	—	1120	101	∞ P	—	∞	∞ o
4	r	r	—	1012	110	$\frac{1}{2}$ P	—	$\frac{1}{2}$ o	$\frac{1}{2}$
5	s	s	—	1011	100	P	—	1' o	1
6	t	t	—	4041	311	4 P	—	4 o	4

# Eis.

Ver.

<i>Berthard</i>	<i>Schnepper Journ.</i>	1821	32	1
<i>Smithson</i>	<i>Thomson Ann. Phil.</i>	1823 (2)	5	340
<i>Galle</i>	<i>Pogg. Ann.</i>	1840	49	241
<i>Müller</i>	<i>Mis.</i>	1852	—	256
<i>Leydolt</i>	<i>Wien. Sitzb.</i>	1851	7	477
<i>Franko u. Geinitz</i>	<i>Gez. Ins. Dresden</i>	1860	—	—
<i>Nordenskjöld</i>	<i>Pogg. Ann.</i>	1861	114	612
<i>[Abich]</i>	<i>Pogg. Ann.</i>	1872	146	475
<i>Grath</i>	<i>Tab. Ueberz.</i>	1882	—	32.

Nordenskjöld hat vom Eis Krystalle beobachtet, die dem tetragonalen oder rhombischen System angehören (Pogg. Ann. 1861. 114 615). Die ebenfalls beobachteten Gestalten von quadratischem Querschnitt lassen auf das tetragonale System schliessen.

Leydolt (Botzenhart's) Angabe des Elementes  $R = 117^{\circ}23'$ ;  $a = \sqrt{1.265}$  weder in sich, noch lässt sie sich mit den Angaben Nordenskjölds in Einklang bringen.

Eisen.

Regulär.

No.	Gdt.	Miller.	Miller.	Naumann.	G <sub>1</sub>	G <sub>2</sub>	G <sub>3</sub>
1	c	a	∞01	∞O∞	o	o∞	∞o
2	p	o	111	O	1	1	1



Literatur.

<i>Des Cloizeaux</i>	<i>Ann. Chim. Phys.</i>	1875(5)4	401
<i>Groth</i>	<i>Strassb. Samml.</i>	1878	— 181.

Dysanalyt.

Regulär.

No.	Gdt.	Miller.	Naumann.	G <sub>1</sub>	G <sub>2</sub>	G <sub>3</sub>
1	c	∞01	∞0∞	0	0∞	∞0

Literatur.

<i>Hauy</i>	<i>Traité Min.</i>	1822	4	5
<i>Mohs</i>	<i>Grundr.</i>	1824	2	471
<i>Hartmann</i>	<i>Handwb.</i>	1828	—	143
<i>Naumann</i>	<i>Lehrb. Kryst.</i>	1830	1	503
<i>Lévy</i>	<i>Descr.</i>	1838	3	110
<i>Mohs-Zippe</i>	<i>Min.</i>	1839	2	441
<i>Hausmann</i>	<i>Handb.</i>	1847	2	(1) 232
<i>Miller</i>	<i>Min.</i>	1852	—	236
<i>Kokscharow</i>	<i>Mat. Min. Russl.</i>	1853	1	3
<i>Dana, J. D.</i>	<i>System</i>	1855	—	113
<i>Hessenberg</i>	<i>Senck. Abh.</i>	1863	4	223
"	"	1864	5	233
<i>Rath</i>	<i>Pogg. Ann.</i>	1866	128	420 (Eiterkopf)
<i>Hessenberg</i>	<i>Senck. Abh.</i>	1869	7	33
"	"	1870	7	308
<i>Strüver</i>	<i>Torino Att. Ac.</i>	1872	7	377 (Sep. 1—53. Ematite di Trar-
"	<i>(Jahrb. Min.</i>	1872	—	424) (Referat über diese Arbeit)
<i>Dana, J. D.</i>	<i>System</i>	1873	—	140
<i>Scacchi</i>	<i>Napoli Mem. Ac.</i>	1875	6	3
<i>Bücking</i>	<i>Zeitschr. Kryst.</i>	1877	1	562 (Ref. Jahrb. Min. 1877. 939)
"	"	1878	2	416
<i>Lasaulx</i>	"	1879	3	294 (Biancavilla)
<i>Hare</i>	"	1880	4	297 (Reichenstein)
<i>Rath</i>	"	1882	6	192 (Ascension)
<i>Schmidt, A.</i>	"	1883	7	547 (Hargita Geb.).

*Bemerkungen* }  
*Correcturen* } s. Seite 534. 536—538.

## 2.

m.	Hauy. Hausm.	Mohs. Hartm. Zippe.	Scacchi.	Bravais.	Willer.	Naumann.	Haus- mann.	Mohs. Hartm. Zippe.	Hauy.	Lévy. Dufren.	$\theta_1$	$\theta_2$	$\theta_3$	$R = \frac{p-1}{3} \frac{q-1}{3}$
—	—	—	1123	210	$\frac{2}{3}P2$	—	P	—	$b^{\frac{1}{2}}$	$\frac{1}{3}$	10	01	—	—
—	—	—	2245	11·5·7	$\frac{4}{3}P2$	—	—	—	—	$\frac{2}{3}$	$\frac{2}{3}0$	$0\frac{2}{3}$	—	—
n	n	i	2243	311	$\frac{4}{3}P2$	BA $\frac{3}{2}$	P+1	E <sup>33</sup> E	e <sub>3</sub>	$\frac{4}{3}$	20	02	—	—
—	—	k	4483	513	$\frac{8}{3}P2$	—	—	—	—	$\frac{4}{3}$	40	04	—	—
—	—	—	3362	11·2·7	$\frac{3}{2}P2$	—	—	—	—	$\frac{2}{3}$	$\frac{2}{3}0$	$0\frac{2}{3}$	—	—
—	—	k <sub>1</sub>	5·5·10·3	614	$\frac{10}{3}P2$	—	—	—	—	$\frac{5}{3}$	50	05	—	—
t	t	k <sub>2</sub>	2241	715	4P2	—	$\frac{3}{2}P+3$	E <sup>32</sup> E <sup>2</sup> B <sup>1</sup>	d <sub>1</sub> d <sub>2</sub> d <sub>3</sub>	2	60	06	—	—
—	—	k <sub>3</sub>	7·7·14·3	816	$\frac{14}{3}P2$	—	—	—	—	$\frac{7}{3}$	70	07	—	—
—	—	k <sub>4</sub>	8·8·16·3	917	$\frac{16}{3}P2$	—	—	—	—	$\frac{8}{3}$	80	08	—	—
—	—	k <sub>5</sub>	3361	10·1·8	6P2	—	—	—	—	3	90	09	—	—
—	u	—	4041	311 + 4R	—	R+2	—	e <sup>3</sup>	+40	+4	+4	+1	—	—
—	—	—	5052	411 + $\frac{5}{2}R$	—	—	—	e <sup>4</sup>	+ $\frac{5}{2}0$	+ $\frac{5}{2}$	+ $\frac{5}{2}$	+ $\frac{1}{2}$	—	—
—	—	—	2021	511 + 2R	—	—	—	—	+20	+2	+2	+ $\frac{1}{2}$	—	—
—	—	—	5054	14·1·1 + $\frac{5}{2}R$	—	—	—	—	+ $\frac{5}{2}0$	+ $\frac{5}{2}$	+ $\frac{5}{2}$	+ $\frac{1}{2}$	—	—
P	P	A	1011	100 + R	P	R	p	p	+10	+1	+1	0	—	—
—	—	—	5058	611 + $\frac{5}{2}R$	—	—	—	a <sup>6</sup>	+ $\frac{5}{2}0$	+ $\frac{5}{2}$	+ $\frac{5}{2}$	— $\frac{1}{6}$	—	—
—	—	—	4047	511 + $\frac{4}{3}R$	—	—	—	—	+ $\frac{4}{3}0$	+ $\frac{4}{3}$	+ $\frac{4}{3}$	— $\frac{1}{3}$	—	—
—	—	—	1012	411 + $\frac{1}{2}R$	—	—	—	a <sup>4</sup>	+ $\frac{1}{2}0$	+ $\frac{1}{2}$	+ $\frac{1}{2}$	— $\frac{1}{6}$	—	—
—	—	—	2025	311 + $\frac{2}{3}R$	—	—	—	—	+ $\frac{2}{3}0$	+ $\frac{2}{3}$	+ $\frac{2}{3}$	— $\frac{1}{3}$	—	—
s	s	—	1014	211 + $\frac{1}{2}R$	AH <sub>4</sub>	R—2	A <sub>2</sub>	a <sup>2</sup>	+ $\frac{1}{2}0$	+ $\frac{1}{2}$	+ $\frac{1}{2}$	— $\frac{1}{2}$	—	—
—	—	—	1·0·1·16	655 + $\frac{1}{16}R$	AH <sub>16</sub>	R—4	—	—	+ $\frac{1}{16}0$	+ $\frac{1}{16}$	+ $\frac{1}{16}$	— $\frac{1}{16}$	—	—
—	—	—	1·0·1·23	887 + $\frac{1}{23}R$	—	—	—	—	+ $\frac{1}{23}0$	+ $\frac{1}{23}$	+ $\frac{1}{23}$	— $\frac{1}{23}$	—	—
y	y	—	1018	332 + $\frac{1}{8}R$	AF <sub>4</sub>	R—3	AB <sup>3</sup> B <sup>1</sup>	a <sup>3</sup>	— $\frac{1}{8}0$	— $\frac{1}{8}$	— $\frac{1}{8}$	— $\frac{3}{8}$	—	—
—	—	—	1015	221 + $\frac{1}{5}R$	—	—	—	a <sup>1/2</sup>	— $\frac{1}{5}0$	— $\frac{1}{5}$	— $\frac{1}{5}$	— $\frac{2}{5}$	—	—
—	—	—	1014	552 + $\frac{1}{4}R$	—	—	—	—	— $\frac{1}{4}0$	— $\frac{1}{4}$	— $\frac{1}{4}$	— $\frac{1}{2}$	—	—
—	—	—	2027	331 + $\frac{2}{3}R$	—	—	—	a <sup>1/3</sup>	— $\frac{2}{3}0$	— $\frac{2}{3}$	— $\frac{2}{3}$	— $\frac{1}{3}$	—	—
b	—	d	1012	110 + $\frac{1}{2}R$	G	R—1	—	b <sup>1</sup>	— $\frac{1}{2}0$	— $\frac{1}{2}$	— $\frac{1}{2}$	— $\frac{1}{2}$	—	—
—	—	—	5057	441 + $\frac{5}{2}R$	—	—	—	—	— $\frac{5}{2}0$	— $\frac{5}{2}$	— $\frac{5}{2}$	— $\frac{1}{2}$	—	—
—	—	—	4045	331 + $\frac{4}{3}R$	—	—	—	—	— $\frac{4}{3}0$	— $\frac{4}{3}$	— $\frac{4}{3}$	— $\frac{1}{3}$	—	—
l	—	—	1011	221 + R	FA $\frac{1}{2}$	—	e	e <sup>2</sup>	—10	—1	—1	— $\frac{2}{3}$	—	—
—	—	—	5054	332 + $\frac{1}{2}R$	—	—	—	—	— $\frac{1}{2}0$	— $\frac{1}{2}$	— $\frac{1}{2}$	— $\frac{1}{2}$	—	—
—	—	—	3032	554 + $\frac{3}{2}R$	FA $\frac{3}{2}$	—	—	—	— $\frac{3}{2}0$	— $\frac{3}{2}$	— $\frac{3}{2}$	— $\frac{3}{2}$	—	—
u	k	—	2021	111 + 2R	FA $\frac{1}{4}$	R+1	E <sup>11</sup> E	e <sup>1</sup>	—20	—2	—2	—1	—	—
—	—	—	5051	322 + 5R	—	—	—	—	—50	—5	—5	—2	—	—
—	—	—	2135	320 + $\frac{1}{2}R^3$	—	—	—	—	— $\frac{1}{2}1$	— $\frac{1}{2}$	+1 $\frac{1}{2}$	0 $\frac{1}{2}$	—	—
—	—	—	2134	310 + $\frac{1}{4}R^3$	—	—	—	b <sup>3</sup>	+ $\frac{1}{4}1$	+1 $\frac{1}{4}$	+1 $\frac{1}{4}$	0 $\frac{1}{4}$	—	—
—	—	f	2131	201 + R <sup>3</sup>	—	—	—	—	+21	+41	+41	+10	—	—

(Fortsetzung S. 535.)

Bemerkungen.

$-\frac{1}{6}R$  findet sich bei Dana (System 1855. 113), jedoch ohne Figur und Winkel-Angabe, dagegen fehlt in dem Formverzeichniss, das bereits Lévy (1838) und Miller (1852) bekannte  $-\frac{1}{3}R$ . Es ist daher wohl ein Druckfehler anzunehmen. Die Form ist in die späteren Auflagen übergegangen und erscheint hier neben  $-\frac{1}{3}R$ . Strüver hat sie aufgenommen mit Berufung auf Dana und nach ihm Bücking. Doch dürfte es nicht gerechtfertigt erscheinen auf diese unsichere Angabe Danas die Form als nachgewiesen anzusehen. Hessenberg führt sie in seinem Formenverzeichniss (Senck. Abh. 1864. 5. 238) nicht auf, dagegen gibt er eine Beobachtung für diese Form (Senck. Abh. 1869. 7. 4), betrachtet jedoch die ihm vorliegenden Flächen nicht als ächte. Endlich beschreibt Lasaulx die Form (Zeitschr. Kryst. 1879. 3. 294) jedoch mit der Charakterisirung „oscillatorisch mit  $-\frac{1}{2}R$  wechselnd und einer Rundung der Kante zwischen  $-\frac{1}{2}R$  und  $0R$  bildend“. Auch dies ist also keine ächte Fläche. Das gleiche gilt von A. Schmidt's Angabe (Zeitschr. Kryst. 1883. 7. 55) und ist die Form nach alle dem noch nicht als nachgewiesen anzusehen.

$-\frac{1}{3}R_3$  Diese Form ist zuerst von Kokscharow beobachtet (Mat. Min. Russl. 1853. I. 5), doch schreibt er in der ganzen Arbeit  $\frac{1}{3}R_3$ , während aus seinen Figuren und Messungen mit Sicherheit zu entnehmen dass es  $-\frac{1}{3}R_3$  heissen muss. So gibt auch Strüver das Symbol an mit Bezugnahme auf Kokscharow.

Der Anblick der Zahlenreihen ( $G_2$ ), sowie des Projectionsbildes führt zu der Meinung, es müssten mit Vertauschung der Vorzeichen die Symbolzahlen halbirt werden, also für  $-z$  unserer Aufstellung  $+1$  u. s. w. zu setzen sein. Doch sprechen die Zahlen der excentrischen Symbole  $E = \frac{p-1}{3} \frac{q-1}{3}$  für Beibehaltung der gewählten Aufstellung. Das Zurücktreten der Zone  $+1q$  gegenüber  $-2q$  und  $+4q$  entspricht, wie aus den E-Symbolen zu ersehen, einem Zurücktreten der Axenzonen gegenüber den ersten Parallelzonen, eine Erscheinung, die wir ganz analog in den anderen Krystallsystemen wiederfinden. Genau das hier vom Eisenglanz Gesagte gilt von dem Korund und Titaneisenerz. Diese Bemerkung möge hier Platz finden zur Motivirung der angenommenen Aufstellung.

$+\frac{4}{3}R$  } ist von Naumann (Lehrb. Kryst. 1830. I. 504) angegeben und es ist Strüver  
 $+\frac{7}{12}R$  } (l. c. S. 34) zu dem Resultat gekommen, dass die Form einer Bestätigung bedürfe. Ich glaube, dass eine Bestätigung in Hessenberg's Beobachtung der Flächen zu finden ist, die er mit dem unwahrscheinlichen Symbol  $+\frac{7}{12}R$  belegt (Senck. Abh. 1869. 7. 58). Er hat dafür gemessen den Winkel gegen  $R = 165^\circ$ , während  $+\frac{4}{3}R$   $164^\circ 20'$  (Aeusserer Winkel) erfordert. Es wurde demgemäss die an sich wahrscheinliche Form  $+\frac{4}{3}R$  aufgenommen,  $+\frac{7}{12}R$  dagegen weggelassen.

$+\frac{1}{6}R$  wurde bisher nur von Hessenberg beobachtet (Senck. Abh. 1869. 7. 33). Er sagt darüber (S. 34). Seine Flächen sind glänzend, aber nichts weniger als gut ausgebildet, zeigen sich im Gegentheil parallel ihrer kürzeren Diagonale mehr oder weniger seicht gefurcht, mitunter auch mit Anlage zum Muscheligen“. Trotz der guten Uebereinstimmung der Messungen unter sich wie mit der Rechnung dürfte daher noch eine Bestätigung abzuwarten sein. In der Reihe der Zahlen wäre  $+\frac{1}{10}$  statt  $+\frac{1}{6}$  zu erwarten.

Hessenberg giebt (Senck. Abh. 1869. 7. 34) die Form  $\zeta = -\frac{5}{26}R$  die  $-\frac{1}{3}R$  nahe liegt und sucht das complicirte Symbol dadurch wahrscheinlich zu machen, dass er angiebt die Form liege in der Zone  $\frac{2}{3}P_2 : \frac{1}{3}R$ . Dies trifft für das Symbol  $-\frac{5}{26}R$  nicht zu, worauf Stüver hinweist (Eratite d. Travers. 1872. S. 35), vielmehr wäre das Symbol  $-\frac{1}{21}R$  erforderlich.

(Fortsetzung S. 536.)

## 3.

Hauy. Hausm.	Mohs. Hartm. Zippe.	Seacchi.	Bravais.	Miller.	Naumann.	Haus- mann.	Mohs. Hartm. Zippe.	Hauy.	Lévy. Dufrén.	G <sub>1</sub>	G <sub>2</sub>	G <sub>2</sub>	R = $\frac{p-1}{3} \frac{q-1}{3}$
—	—	—	29·4·33·31	31·2·2	$+\frac{2}{3}R^{\frac{2}{3}}$	—	—	—	—	$+\frac{2}{3}\frac{4}{3} + \frac{2}{3}\frac{4}{3}$	$+\frac{2}{3}\frac{4}{3}$	$-2\frac{2}{3}$	$-1\frac{2}{3}$
—	—	m <sub>4</sub>	8·2·10·9	911	$+\frac{2}{3}R^{\frac{2}{3}}$	—	—	—	—	$+\frac{2}{3}\frac{2}{3} + \frac{2}{3}\frac{2}{3}$	$+\frac{2}{3}\frac{2}{3}$	$-2\frac{2}{3}$	$-1\frac{2}{3}$
—	—	m <sub>3</sub>	7298	811	$+\frac{2}{3}R^{\frac{2}{3}}$	—	—	—	—	$+\frac{2}{3}\frac{1}{3} + \frac{2}{3}\frac{1}{3}$	$+\frac{2}{3}\frac{1}{3}$	$-2\frac{2}{3}$	$-1\frac{2}{3}$
—	—	m <sub>2</sub>	6287	711	$+\frac{2}{3}R^{\frac{2}{3}}$	—	—	—	—	$+\frac{2}{3}\frac{2}{3} + \frac{2}{3}\frac{2}{3}$	$+\frac{2}{3}\frac{2}{3}$	$-2\frac{2}{3}$	$-1\frac{2}{3}$
g	—	m <sub>1</sub>	5276	611	$+\frac{1}{2}R^{\frac{7}{3}}$	—	—	—	e <sub>6</sub>	$+\frac{2}{3}\frac{1}{3} + \frac{2}{3}\frac{1}{3}$	$+\frac{2}{3}\frac{1}{3}$	$-2\frac{2}{3}$	$-1\frac{1}{6}$
—	—	m	4265	511	$+\frac{2}{3}R^{\frac{2}{3}}$	—	—	—	e <sub>5</sub>	$+\frac{2}{3}\frac{2}{3} + \frac{2}{3}\frac{2}{3}$	$+\frac{2}{3}\frac{2}{3}$	$-2\frac{2}{3}$	$-1\frac{1}{3}$
h-g	g	—	3254	411	$+\frac{1}{4}R^{\frac{5}{3}}$	PA <sub>2</sub> -6K <sub>4</sub> (P-2) <sup>5</sup>	E <sup>44</sup> R	e <sub>4</sub>	$+\frac{2}{3}\frac{1}{3} + \frac{2}{3}\frac{1}{3}$	$+\frac{2}{3}\frac{1}{3}$	$-2\frac{2}{3}$	$-1\frac{1}{4}$	
—	—	—	4375	522	$-\frac{1}{3}R^{\frac{7}{3}}$	—	—	—	—	$-\frac{2}{3}\frac{2}{3} - 2\frac{2}{3}$	$-2\frac{2}{3}$	$-1\frac{2}{3}$	
—	—	—	6·4·10·7	733	$-\frac{2}{3}R^{\frac{5}{3}}$	—	—	—	—	$-\frac{2}{3}\frac{2}{3} - 2\frac{2}{3}$	$-2\frac{2}{3}$	$-1\frac{2}{3}$	
—	—	—	2132	211	$-\frac{1}{2}R^{\frac{3}{3}}$	PA <sub>2</sub> -6K <sub>2</sub> (P-1) <sup>3</sup>	—	—	—	$-1\frac{1}{2} - 2\frac{1}{2}$	$-2\frac{1}{2}$	$-1\frac{1}{2}$	
—	—	—	4261	313	$-2R^{\frac{3}{3}}$	—	—	—	e <sub>3</sub>	$-4\frac{2}{3} - 8\frac{2}{3}$	$-2\frac{2}{3}$	$-8\frac{2}{3}$	
—	—	—	3252	312	$-\frac{1}{2}R^{\frac{5}{3}}$	—	—	—	—	$-\frac{2}{3}\frac{1}{3} - 2\frac{2}{3}$	$+\frac{2}{3}\frac{1}{3}$	$+\frac{2}{3}\frac{1}{3}$	
—	—	—	5161	412	$+\frac{1}{4}R^{\frac{2}{3}}$	—	—	—	—	$+5\frac{1}{3} + 7\frac{4}{3}$	$+\frac{4}{3}\frac{7}{3}$	$+1\frac{2}{3}$	
—	—	—	6281	513	$+\frac{1}{4}R^{\frac{2}{3}}$	—	—	—	—	$+6\frac{2}{3} + 10\frac{4}{3}$	$+\frac{4}{3}\frac{10}{3}$	$+1\frac{2}{3}$	
—	—	—	15·7·22·2	13·2·9	$+\frac{1}{4}R^{\frac{11}{3}}$	—	—	—	—	$+1\frac{2}{3}\frac{2}{3} + 2\frac{2}{3}\frac{4}{3}$	$+\frac{4}{3}\frac{2}{3}$	$+1\frac{2}{3}$	
—	—	—	10·1·11·3	546	$-3R^{\frac{1}{3}}$	—	—	—	—	$-\frac{1}{3}\frac{1}{3} - 4\frac{3}{3}$	$+7\frac{3}{3}$	$+2\frac{2}{3}$	
—	—	—	2138	431	$-\frac{1}{8}R^{\frac{3}{3}}$	—	—	—	—	$-\frac{1}{4}\frac{1}{8} - \frac{1}{2}\frac{1}{8}$	$-\frac{1}{2}\frac{1}{8}$	$-\frac{1}{2}\frac{1}{8}$	
—	—	—	6·4·10·5	713	$+\frac{2}{3}R^{\frac{5}{3}}$	—	—	—	—	$+\frac{2}{3}\frac{2}{3} + \frac{2}{3}\frac{2}{3}$	$+\frac{2}{3}\frac{2}{3}$	$+\frac{2}{3}\frac{2}{3}$	
—	—	—	14·7·21·20	16·9·5	$-\frac{2}{3}R^{\frac{5}{3}}$	—	—	—	—	$-\frac{2}{3}\frac{2}{3} - \frac{2}{3}\frac{2}{3}$	$-\frac{2}{3}\frac{2}{3}$	$-\frac{2}{3}\frac{2}{3}$	
—	—	—	4267	531	$-\frac{2}{3}R^{\frac{5}{3}}$	—	—	—	b <sub>1</sub> d <sub>1</sub> <sup>1</sup>	$-\frac{2}{3}\frac{2}{3} - \frac{2}{3}\frac{2}{3}$	$-\frac{2}{3}\frac{2}{3}$	$-\frac{2}{3}\frac{2}{3}$	
—	—	—	8·6·14·13	11·5·3	$-\frac{2}{3}R^{\frac{7}{3}}$	—	—	—	—	$-\frac{2}{3}\frac{2}{3} - \frac{2}{3}\frac{2}{3}$	$-\frac{2}{3}\frac{2}{3}$	$-\frac{2}{3}\frac{2}{3}$	



Bemerkungen. (Fortsetzung von S. 534.)

Nun erfordert

 $-\frac{1}{2} R : R$  den Winkel  $75^{\circ}07$  $-\frac{4}{21} R : R$  "  $74^{\circ}08$  $-\frac{5}{26} R : R$  "  $74^{\circ}29$ und es wurde von Hessenberg gemessen:  $\mu : R$  der Winkel  $75^{\circ}00$  $\zeta : R$  "  $74^{\circ}33$ 

Es ist demnach  $\zeta$  von  $-\frac{1}{2} R$  ebenso weit entfernt, wie von dem durch den Zonenverlauf, welchen Hessenberg zur Motivirung des Symbols heranzieht, bedingten  $-\frac{4}{21} R$ . Da diese Motivirung entfällt, ist  $\zeta$  wohl als eine Vicinalfläche von  $-\frac{1}{2} R$  anzusehen und wurde deshalb aus dem Formenverzeichniss weggelassen.

Dies schliesst jedoch nicht aus, dass gerade diese Beobachtungen Hessenbergs vom genetischen Standpunkt ein hohes Interesse verdienen. Hessenberg sagt S. 36.

„Um sein Zonensystem reichgliedriger zu vervollständigen, erzeugte der werdende Eisenglanz-Krystall in dem Kreuzungspunkt zweier Reihen alsbald eine neue Fläche, wie es auch auf weniger einfacher parametrischer Grundlage und zwar gemeinschaftlich mit und ganz dicht neben einer anderen von im Gegentheil sehr einfachem Symbol. Es ist als soll zweien entgegengesetzten Ansprüchen zu gleicher Zeit Rechnung getragen werden, einerseits dem zonenbildenden Impuls des entstehenden Krystalls, dann aber auch zugleich seinem Bestreben, Gestalten von einfachen Axenverhältnissen zu erzeugen.“ Diese Idee stimmt vollständig mit den Erfahrungen überein, die ich bei der Discussion der Formenreihen und Projectionsbilder gemacht habe und an anderer Stelle darlegen werde. Nur hat Hessenberg nicht die richtige Consequenz aus seiner Idee in Bezug auf die Zahlen des Symbols gezogen. Diese müsste etwa so lauten: Es liegen hier 2 Wirkungen vor

1. Das Bestreben der Rhomboederzone zur Erzeugung einer Fläche  $-\frac{1}{2} R$ .

2. Das Bestreben der Zone  $+\frac{1}{2} R : \frac{2}{3} P_2$  im Schnitt mit der Rhomboederzone eine Fläche  $-\frac{4}{21} R$  anzulegen.

Das Resultat beider Wirkungen ist eine Fläche von mittlerer Lage, also  $-\frac{1}{2} (\frac{1}{2} + \frac{4}{21}) R = -\frac{41}{42} R$ .

Dem entspricht ein Winkel gegen  $+R$  von  $74^{\circ}31'$ . In der That stellt sich der von Hessenberg beobachtete Winkel im Durchschnitt seiner 9 Messungen (S. 35 u. 38) zu  $74^{\circ}31'$ .

Dies ist eine Erklärung der Bildung vicinaler Flächen durch Ablenkung, auf die wir später zurückkommen werden. Sie beweist aber gerade, dass Hessenberg's Fläche eine vicinale war und als solche von der Aufnahme in den Index auszuschliessen ist.

$+\frac{1}{6} R_2$  Hessenberg's ist nicht genügend sichergestellt, (S. 39), „da bei der Beschaffenheit der Flächen keine einfachen, scharfen Spiegelbilder abzugewinnen sind und ausserdem Messung und Rechnung nicht unbedeutend differiren.“

Bei Dufrénoy (Min 1845. 2. 567—573) finden sich folgende drei Formen angegeben, die andere Autoren nicht kennen.  $e^0 = +\frac{1}{4}$ ;  $a^{\frac{2}{3}} = -\frac{2}{3}$ ;  $b^1 d^{\frac{1}{2}} d^{\frac{1}{3}} = \frac{3}{2} o (G_2)$ . Von diesen ist die letztere Angabe jedenfalls auf einen Druckfehler zurückzuführen. Es soll heissen (S. 569)  $b^1 d^{\frac{1}{2}} d^{\frac{1}{3}}$ , wie auch in der Winkeltabelle angegeben.  $e^0$  steht nur S. 569 ohne jede nähere Angabe.  $a^{\frac{2}{3}}$  fehlt unter den S. 569 zusammengestellten Rhomboedern und schien bei der Complicirtheit des Symbols und der allgemeinen Unsicherheit Dufrénoy'scher Angaben der Bestätigung zu bedürfen. Ueber diese Unsicherheit vgl. Bournonit Bemerkungen, ferret: Dauber, Wien. Sitzb. 1860. 42. 34 (Rothbleierz), Rethwisch Inaug. Diss. 1885. 35. Aber auch beim Eisenglanz macht sich diese Unsicherheit bemerkbar, so ist Fig. 104 Taf. 69 von Lévy (Descript. 1838 Taf. 67 Fig. 25) entnommen; statt Lévy's richtigem Symbol ( $d^1 d^{\frac{1}{2}} b^{\frac{1}{3}}$ ) steht aber bei Dufrénoy's Figur ( $d^1 d^{\frac{1}{2}} d^{\frac{1}{3}}$ ) und im Text S. 571 ( $d^1 d^{\frac{1}{2}} d^{\frac{1}{3}}$ ). Aus diesen Gründen wurden die genannten 3 Formen nicht unter die sicher bestimmten aufgenommen.

Bücking giebt in zwei Abhandlungen (Zeitschr. Kryst. 1877. I. 562 und 1878. 2. 416) 22 neue Formen als sicher bestimmt an, die folgendermassen charakterisirt sind:

(Fortsetzung S. 537.)



*Bemerkungen.* (Fortsetzung von S. 536.)

No.	Buchstabe nach Bücking.	Symbol.			Zeitschr.		Bücking's Charakterisirung der Flächen.
		Naumann.	G <sub>1</sub>	G <sub>2</sub>	Bd.	Seite.	
1	v	$-\frac{2}{3}R$	$-\frac{2}{3}o$	$-\frac{2}{3}$	1 2	570 419	sehr klein, uneben und wenig glänzend. klein, aber eben und glänzend. Winkel zur Basis $81^{\circ}34' - 82^{\circ}10'$ .
2	W	$-7R$	$-7o$	$-7$	1	573	sehr klein. Gemessen der Winkel zur Basis $84^{\circ}33'$ .
3	Q	$\frac{2}{3}P$	$\frac{2}{3}$	$\frac{2}{3}o$	1	566	matt, stark gekrümmt, allmählich in die Flächen des Skalenoeders D verlaufend.
4	z	$\frac{1}{3}P$	$\frac{1}{3}o$	$\frac{1}{3}o$	1	573	schmal, berechnet aus dem Mittel von 6 Messungen von $14^{\circ}4\frac{1}{2}'$ bis $16^{\circ}3'$ .
5	H	$+\frac{1}{3}R$	$+\frac{2}{3}\frac{2}{3}$	$+\frac{3}{8}\frac{1}{3}$	1	569	nur ganz schmal, in horizontaler Richtung stark gekrümmt.
6	B	$+\frac{2}{3}R$	$+\frac{2}{3}\frac{2}{3}$	$+\frac{3}{8}\frac{2}{3}$	1 1	564 566	besitzt so gerund. Flächen, dass die stumpfe Polkante kaum deutlich hervortritt. stark gekrümmt, matt und klein.
7	r	$+\frac{7}{13}R$	$+\frac{7}{13}\frac{7}{13}$	$+\frac{7}{13}\frac{7}{13}$	1	571	wird erst bei genauer Betrachtung der Flächen $r = +R$ sichtbar. Vollkommen eben und glänzend.
8	J	$+\frac{6}{19}R$	$+\frac{7}{19}\frac{4}{19}$	$+\frac{1}{19}\frac{3}{19}$	1	570	in verticaler und horizontaler Richtung stark gekrümmt.
9	F	$+\frac{4}{13}R$	$+\frac{9}{13}\frac{5}{13}$	$+\frac{2}{13}\frac{4}{13}$	1	569	im Ganzen eben. Differenz zw. Rechnung und Messung $16', 25'$ . Die berechneten Werthe $y = 34^{\circ}0'$ ; $V = 17^{\circ}18'$ fallen ausserhalb der Beobachtung.
10	D	$+\frac{7}{22}R$	$+\frac{1}{22}\frac{4}{22}$	$+\frac{2}{22}\frac{7}{22}$	1	566	sowohl in verticaler als horizontaler Rich- tung sehr stark gerundet, namentlich durch oscillatorische Combination mit einem negativen Skalenoeder, welches eine deutliche Streifung hervorruft.
11	K	$+\frac{8}{25}R$	$+\frac{1}{25}\frac{8}{25}$	$+\frac{3}{25}\frac{8}{25}$	1	570	in verticaler und horizontaler Richtung stark gekrümmt.
12	E	$+\frac{2}{11}R$	$+\frac{1}{11}\frac{7}{11}$	$+\frac{2}{11}\frac{2}{11}$	1	567	matt und in horizontaler Richtung wellig gebogen. Stark gekrümmt (S. 568).
13	G	$-\frac{7}{19}R$	$-\frac{1}{19}\frac{8}{19}$	$-\frac{3}{19}\frac{7}{19}$	1	565	besitzen eine beim Messen sich deutlich geltend machende Krümmung.
14	M	$-\frac{7}{18}R$	$-\frac{7}{18}\frac{7}{18}$	$-\frac{1}{18}\frac{7}{18}$	1 2	569 419	glatt und glänzend. Die Messungen der Winkel stimmen jedoch, da die Flächen sehr klein sind, mit den dem Zeichen entsprechenden nur theilweise überein. S. 419 z. Th. gerundet.
15	A	$-\frac{1}{27}R$	$-\frac{2}{27}\frac{1}{27}$	$-\frac{4}{27}\frac{1}{27}$	1	564	stark glänzend aber uneben, durch kleine flache Erhöhungen und Vertiefungen, und besonders in der Richtung von links nach rechts stark gekrümmt.
16	.	$\infty R$	$\frac{2}{3}\infty$	$\frac{1}{4}\infty$	2	418	äusserst schmal und etwas gerundet.
17	II	$+\frac{5}{4}R$	$+\frac{5}{4}o$	$+\frac{5}{4}$	2	421	schmal aber glatt und eben. Winkel zur Basis $63^{\circ}25'$ ; $62^{\circ}41'$ ; $63^{\circ}17'$ .
18	θ	$+2R$	$+2o$	$+2$	2	421	schmal aber glatt und eben. Winkel zur Basis $73^{\circ}12'$ ; $72^{\circ}56'$ ; $72^{\circ}20'$ .
19	.	$-\frac{5}{9}R$	$-\frac{5}{9}o$	$-\frac{5}{9}$	2	419	ganz schmal. Winkel zur Basis $40^{\circ}30' -$ $41^{\circ}38'$ . 4 Messungen.
20	.	$-\frac{8}{11}R$	$-\frac{8}{11}o$	$-\frac{8}{11}$	2	419	ganz schmal, nur approximative Messung.
21	Δ	$-\frac{1}{5}R$	$-\frac{9}{20}\frac{1}{5}$	$-\frac{1}{20}\frac{1}{5}$	2	420	klein; bessere Messungen als für S (die allerdings ungenügend sind).
22	Σ	$-\frac{7}{2}R$	$-\frac{1}{4}\frac{1}{4}$	$-\frac{1}{4}\frac{7}{2}$	2	419	zum Theil gerundet. (Starke Differenz zwischen Messung und Rechnung.)

(Fortsetzung S. 538.)



Bemerkungen. (Fortsetzung von S. 537.)

Von diesen Formen sind die Symbole für Q H B J D K E G A (16)  $\Sigma$  wegen Rundung der Flächen als unsicher zurückzuweisen, ebenso F und M wegen ungenügender Uebereinstimmung zwischen Messung und Rechnung, (20) beruht nur auf approximativer Messung. Von den übrigen zeigt  $\pi$  eine Differenz von  $1^\circ 58'$  zwischen den Beobachtungen, (19) von  $\tau$ ,  $\theta$  von  $52'$ ,  $\Pi$  von  $44'$ . Wie weit die als besser wie die ungenügenden von S bezeichneten Messungen von  $\Delta$  selbst als genügend scharf anzusehen sind, lässt sich aus dem Text nicht erkennen, doch liegt die Vermuthung nahe, dass  $\Delta$  ein einfaches Zeichen zukomme, z. B.  $-\frac{1}{2}(G_2)$ .  $\tau$  ist entschieden eine Vicinalfläche der Basis und wurde als solche in den Index nicht aufgenommen. Dem für W gemessenen Winkel von  $84^\circ 33'$  würde besser das an sich wahrscheinlichere Symbol  $-\frac{1}{2}R = -\frac{1}{2}(G_2)$  entsprechen, das  $84^\circ 24'$  erfordert gegen  $84^\circ 1'$  für  $-7R$ .

Für  $\nu$  differiren die Winkelmessungen zur Basis von  $81^\circ 34' - 82^\circ 10'$ , also um  $36'$ . Es nähert sich diesem Winkel der für die bekannte Fläche  $-5R$  erforderliche von  $82^\circ 44'$  so sehr, ja er differirt von der Maximalbeobachtung weniger als diese von der Minimalbeobachtung, dass zumal bei der Kleinheit und z. Th. schlechten Ausbildung der Flächen die Identität beider Formen nicht ausgeschlossen erscheint und das unwahrscheinliche  $-\frac{3}{2}$  jedenfalls noch der Bestätigung bedarf.

Es könnten danach von Bücking's 22 neuen Formen allenfalls  $\theta = +2R = +2(G_2)$  und  $\pi = +\frac{1}{2}R = +\frac{1}{2}(G_2)$  bei der Einfachheit der Symbole trotz der starken Winkeldifferenz als wirklich nachgewiesen angesehen werden, doch wäre auch für sie eine exaktere Bestätigung zu wünschen.

Correcturen.

Bücking giebt ein Correcturenverzeichniss. Zeitschr. Kryst. 1878. 2. 424 für seine erste Arbeit, 1877 (l. c.)

Breithaupt Voll. Char. d. Min. Syst. 1832 — S. 236 Z. 9 vu lies  $\frac{4}{3}P^1$  statt  $\frac{2}{3}P^1$   
Kokscharow Mat. Min. Russl. 1853 1 " 5 " 7 vo "  $\frac{1}{2}(\frac{1}{2}a:b:\frac{1}{2}b):\frac{1}{2}b) = -\frac{1}{2}(\frac{2}{3}P^2) = -\frac{1}{3}R_1$   
statt  $\frac{1}{2}(\frac{1}{2}a:b:\frac{1}{2}b):\frac{1}{2}b) = -\frac{1}{2}(\frac{2}{3}P^2) = -\frac{1}{3}R_1$

die entsprechende Correctur ist anzubringen: S. 5 Z. 12 vu, S. 8 Z. 15 vo, S. 12 Z. 7 u. 15 vu, S. 14 Z. 7 vu.

Dufrénoy	Min.	1856	2	Seite 571	Zeile 9	vo	lies	$d^2$	statt	$d_2$
"	"	"	"	"	"	"	"	$d^1 d^{\frac{1}{2}} b^{\frac{1}{2}}$	"	$d^1 d^{\frac{1}{2}} d^{\frac{1}{2}}$
"	"	"	"	(Atlas) Taf. 69	Fig. 104	"	"	$(d^1 d^{\frac{1}{2}} b^{\frac{1}{2}})$	"	$(d^1 d^{\frac{1}{2}} d^{\frac{1}{2}})$
Hessenberg	Senck. Abh.	1865	5	Seite 39	Zeile 3	vu	"	$\chi$	"	$\lambda$
"	"	1869	7	" 35	" 1	vo	"	$-\frac{1}{2}R$	"	$\frac{1}{2}R$
"	"	"	"	" 39	" 1	"	"	$\frac{1}{6}R \frac{1}{6}R 2$	"	$\frac{1}{6}R$
2 " / " 0 " 6 / " 1 "										
[Strüver] Ref. Jahrb. Min.		1872	—	" 424	" 13	"	"	$\frac{1}{3}R \frac{1}{3}R$	"	$\frac{1}{3}R \frac{1}{3}R$
"	"	"	—	"	"	"	"	ist zuzufügen:	"	$-\frac{1}{3}R_5$
"	"	"	—	"	"	" 14	"	$-3R \frac{1}{9}$	"	$-3R \frac{1}{9}$
Bücking	Zeitschr. Kryst.	1878	2	" 423	" 16	vu	"	10	"	01

# Eisenspath.

Hexagonal. Rhomboedrisch-hemiedrisch.

Axenverhältnisse.

$$a : c = 1 : 0.8184 \text{ (Mohs-Zippe} = G_2.) \\ (1)$$

$$a : c = 1 : 0.8184 \text{ (Lévy. Hausmann. Miller. Schrauf. Des Cloizeaux. Klein} = G_1.) \\ (10)$$

Elemente.

$c = 0.8184$	$\lg c = 991297$	$\lg a_0 = 032559$ $\lg a'_0 = 008703$	$\lg p_0 = 973688$	$a_0 = 2.1163$ $a'_0 = 1.2219$	$p_0 = 0.5456$
--------------	------------------	---	--------------------	-----------------------------------	----------------

Transformation.

Lévy. Hausmann. Miller. Des Cloizeaux. Dana. Schrauf = $G_1$ .	Mohs-Zippe = $G_2$ .
$p \ q$	$(p+2q) \ (p-q)$
$\frac{p+2q}{3} \ \frac{p-q}{3}$	$p \ q$

Gdt.	Miller.	Mohs-Hartm. Hausm.	Bravais.	Miller.	Naumann.	Hausmann.	Mohs-Hartm. Zippe.	Lévy. Descl.	$G_1$	$G_2$	$G'_2$	$E = \frac{p-1}{3} \ \frac{q-1}{3}$
o	o	o	0001	111	oR	A	$R-\infty$	$a^1$	o	o	o	—
a	a	u	1120	101	$\infty P_2$	B	$P+\infty$	$d^1$	$\infty$	$\infty 0$	$\infty 0$	—
b	b	c	1010	211	$\infty R$	E	$R+\infty$	$e^2$	$\infty 0$	$\infty$	$\infty$	—
$\lambda$	$\approx$	—	2243	311	$\frac{2}{3} P_2$	$BA\frac{2}{3}$	—	$e_3$	$\frac{2}{3}$	20	02	—
m	m	m	4041	311	+4 R	$HA\frac{1}{2}$	$R+2$	$e^3$	+40	+4	+4	+1
p	r	P	1011	100	+ R	P	R	p	+10	+1	+1	0
g	e	g	1012	110	$-\frac{1}{2} R$	G	$R-1$	$b^1$	$-\frac{1}{2} 0$	$-\frac{1}{2}$	$-\frac{1}{2}$	$-\frac{1}{2}$
f	f	f	2021	111	-2 R	$FA\frac{1}{2}$	$R+1$	$e^1$	-20	-2	-2	-1
Q	—	—	7073	10-10-11	$-\frac{2}{3} R$	—	—	$e^{\frac{11}{10}}$	$-\frac{2}{3} 0$	$-\frac{2}{3}$	$-\frac{2}{3}$	$-\frac{10}{9}$
$\Phi$	s	s	5051	223	-5 R	$FA\frac{1}{10}$	$\frac{5}{8} R+3$	$e^{\frac{3}{2}}$	-50	-5	-5	-2
II	—	—	8081	335	-8 R	—	—	$e^{\frac{5}{3}}$	-80	-8	-8	-3
K	v	—	2131	201	+ R <sub>3</sub>	$KG\frac{1}{3}$	—	$d^2$	+21	+41	+14	01
q	—	—	4261	313	-2 R <sub>3</sub>	—	—	—	-42	-82	-28	-13

# Eisenspath.

## Corr.

Mohs	Grundr.	1824	2	118
Hartmann	Handwb.	1828	—	401
Lévy	Descript.	1838	3	162
Möhs-Zippe	Min.	1839	2	109
Breithaupt	Pogg. Ann.	1843	58	278
Hausmann	Handb.	1847	2	(2) 1354
Miller	Min.	1852	—	586
Kenngott	Pogg. Ann.	1856	97	99
Schrauf	Wien. Sitzb.	1860	39	894
Quenstedt	Min.	1863	—	422
Dana	System	1873	—	688
Des Cloizeaux	Manuel	1874	2	142
Groth	Tab. Uebers.	1882	—	45
Klein	Min.	1884	1	258

Angabe in Wien. Sitzb. 1860. 39, 894) der Form (323) beruht jeder  
 oder statt (322).

Dana hat System 1873. 688) die Axen-Angabe  $a = 0.81715$ , die nicht mit de  
 R:R und O:R übereinstimmt. Es sollte heissen:  $a = 0.8184$ .  
 rs. 1882. 45) dürfte von Dana entnommen und der Ueberein  
 stimmung zu ändern sein.

Breithaupt giebt (Pogg. Ann. 1843. 58, 278) die Form  $P^1 = 2 P 2$  an, ent  
 unserm 30 ( $G_2$ ); doch stimmen dafür die angegebenen Winkel  $125^\circ - 125\frac{1}{4}^\circ$  Polkant  
 Basiskanten nicht. Quenstedt (Min. 1863. 422) setzt für Breithaupts Form  $\frac{2}{3} P 2$   
 welche Angabe Klein (Jahrb. Min. 1884. I. 260) citirt und welcher Deutung  
 Weisbach (nach brieflicher Mittheilung) anschliesst. Immerhin differirt auch hi  
 berechnete Winkel der Basiskanten  $130^\circ 46'$  zu sehr von dem beobachteten, als das  
 Form als gesichert ansehen könnte.

## Correcturen.

Hartmann	Handwb.	1828	—	Seite	402	Zeile	16 vo	lies:	$\frac{2}{3} R + 3$	statt	
Schrauf	Wien. Sitzb.	1860	39	"	894	"	12	"	"	(322)	"
Dana J. D.	System	1873	—	"	688	"	4 vu	"	"	0.8184	"
Groth	Tab. Uebers.	1882	—	"	45	"	17 vo	"	"	0.8184	"

# Eisenvitriol.

## Monoklin.

### Axenverhältnisse.

$$b : c = 1.1828 : 1 : 1.5427 \quad \beta = 104^\circ 16' \text{ (Zepharovich (Künstl.). Groth. Gdt.)}$$

$$\begin{aligned} a : b : c &= 1.1803 : 1 : 1.5420 & \beta &= 104^\circ 24' \text{ (Zepharovich.)} \\ " &= 1.1800 : 1 : 1.5457 & \beta &= 104^\circ 20' \text{ (Miller, Dana.)} \\ " &= 1.1804 : 1 : 1.5412 & \beta &= 104^\circ 27' \text{ (Schrauf.)} \\ " &= 1.1793 : 1 : 1.5441 & \beta &= 104^\circ 22' \text{ (Senff.)} \\ " &= 1.1704 : 1 : 1.5312 & \beta &= 103^\circ 27' (!) \text{ (Rammelsberg.)} \\ " &= 1.1753 : 1 : 1.539 & \beta &= 104^\circ 19' \text{ (Mohs, Zippe, Hausmann.)} \end{aligned}$$

### Elemente.

$a = 1.1828$	$\lg a = 0.07291$	$\lg a_0 = 9.88463$	$\lg p_0 = 0.11537$	$a_0 = 0.7667$	$p_0 = 1.3043$
$c = 1.5427$	$\lg c = 0.18828$	$\lg b_0 = 9.81172$	$\lg q_0 = 0.17468$	$b_0 = 0.6482$	$q_0 = 1.4951$
$\mu = \left. \begin{array}{l} 75^\circ 44' \\ 180 - \beta \end{array} \right\}$	$\lg h = \left. \begin{array}{l} 9.98640 \\ \lg \sin \mu \end{array} \right\}$	$\lg e = \left. \begin{array}{l} 9.39170 \\ \lg \cos \mu \end{array} \right\}$	$\lg \frac{p_0}{q_0} = 9.94069$	$h = 0.9692$	$e = 0.2464$

No.	Gdt.	Miller.	Rammels- berg. Zephar.	Mohs. Rose. Hartm. Hausm.	Miller.	Naumann.	Hausmann.	Mohs. Zippe.	Gdt.
1	c	c	c	b	001	o P	A	P— $\infty$	o
2	b	b	b	u	010	$\infty P \infty$	B'	$\overline{P}r + \infty$	o $\infty$
3	a	a	—	h	100	$\infty P \infty$	B	$\overline{P}r + \infty$	$\infty$ o
4	m	m	p	f	110	$\infty P$	E	P + $\infty$	$\infty$
5	e	e	$\frac{q}{3}$	—	013	$\frac{1}{3} P \infty$	—	—	o $\frac{1}{3}$
6	o	o	q	o	011	$P \infty$	D'	$\overline{P}r$	o 1
7	u	—	—	—	301	$-3 P \infty$	—	—	+ 3 o
8	v	v	r	v	101	$- P \infty$	$\overline{D}$	+ $\overline{P}r$	+ 1 o
9	w	w	$\frac{r}{3}$	g	103	$-\frac{1}{3} P \infty$	$\overline{A}B_3$	$\frac{4}{3} \overline{P}r - 2$	+ $\frac{1}{3}$ o
10	s	—	—	—	105	+ $\frac{1}{3} P \infty$	—	—	— $\frac{1}{3}$ o
11	t	t	r'	t	101	+ $P \infty$	$\overline{D}$	— $\overline{P}r$	— 1 o
12	r	r	o	P	111	— P	P	P	+ 1
13	$\alpha$	—	$\frac{q}{2}$	—	112	$-\frac{1}{2} P$	—	—	+ $\frac{1}{2}$
14	$\beta$	—	o $\frac{1}{2}$	—	121	$-2 P 2$	—	—	+ 1 2
15	$\gamma$	—	o $\frac{1}{2}$	—	121	+ 2 $P 2$	B'D <sub>2</sub>	$-(\overline{P}2)^2 - (\overline{P})^2$	— 1 2
16	$\delta$	—	$\frac{1}{2}$ o	—	211	$-2 P 2$	—	—	+ 2 1

Literatur.

Hauy	Théor. Min.	1803	4	140
Mohs	Grundr.	1824	2	51
(Mohs-Rose)	Pogg. Ann.	1826	7	239
Hartmann	Handb.	1828	—	548
Mohs-Zippe	Min.	1839	2	42
Hauemann	Handb.	1847	2 (2)	1195
Miller	Min.	1852	—	550
Rammelsberg	Pogg. Ann.	1854	91	325
Schrauf	Wien. Sitzb.	1860	39	894
Dana	System.	1873	—	646
Zepharovich	Wien. Sitzb.	1879	79 (1)	183
"	Zeitschr. Kryst.	1880	4	105.

Bemerkungen.

Hauy sieht die Formen des Eisenvitriols als rhomboedrisch-hexagonal an.

Rammelsberg's Messungen und das daraus abgeleitete Axenverhältniss weichen so stark von den Angaben der andern Autoren ab, worauf bereits Zepharovich hinweist (Wien. Sitzb. 1879. 79. (1) 187), dass eine Erklärung dafür aus dem Material kaum zu erwarten ist. Da die Angaben der andern Autoren gut übereinstimmen, so dürfte eine Revision von Rammelsberg's Messungen angezeigt sein.

Rammelsberg giebt (Pogg. Ann. 1854. 91. 326) das Symbol  $r \frac{2}{3} = a : \frac{2}{3} c : \infty b$  entsprechend unserm  $+\frac{2}{3}0$  (904), während nach der Figur etwa  $+\frac{1}{3}0$  zu erwarten wäre. Der nach Brooke angegebene Winkel  $c : r \frac{2}{3} = 159^{\circ}0$  beweist jedoch, dass die vorliegende Form das bereits bekannte  $g$  (Mohs) =  $w$  (Miller) =  $+\frac{1}{3}0$  ist, wofür z. B. Miller angiebt  $cw = 20^{\circ}54$ . Somit ist Rammelsberg's Symbol zu löschen. (Vgl. Zepharovich Wien. Sitzb. 1879. 79. (1) 191. Fussnote 3).

Das Axenverhältniss nach Senff ist von Zepharovich entnommen, der sich auf Naumann's Mineralogie bezieht. Senff's Originalangaben konnte ich nicht auffinden.

Schrauf giebt (Wien. Sitzb. 1860. 39. 894) ausser dem von Rammelsberg angegebenen (904) noch (104). Aus welcher Quelle dies geschöpft, konnte ich nicht finden. Vielleicht ebenfalls aus Brookes mir nicht zugänglichen Angaben? Ohne Prüfung der Quelle konnte (104) nicht aufgenommen werden.

Correcturen.

Rammelsberg Pogg. Ann. 1854 91 Seite 326 Zeile 6 vu lies  $o = a : b : c$  statt  $o = a : b : \frac{1}{2}c$

Eleonorit.

Monoklin.

Axenverhältnisse.

$a : b : c = 2.755 : 1 : 4.0157 \quad \beta = 131^{\circ}27'$  (Streng.)

Elemente.

2.755	lg a = 044012	lg a <sub>0</sub> = 983636	lg p <sub>0</sub> = 016364	a <sub>0</sub> = 0.6861	p <sub>0</sub> = 1.4576
4.0157	lg c = 060376	lg b <sub>0</sub> = 939624	lg q <sub>0</sub> = 047855	b <sub>0</sub> = 0.2490	q <sub>0</sub> = 3.0099
} 48°33'	lg h =	lg e =	lg $\frac{p_0}{q_0}$ = 968509	h = 0.7495	e = 0.6620
	lg sin μ = 987479	lg cos μ = 982084			

No.	Gdt.	Miller.	Naumann.	Gdt.
1	c	001	o P	o
2	a	100	∞ P ∞	∞ o
3	f	111	— P	+ 1
4	g	111	+ P	— 1

Literatur.

<b>Breithaupt</b>	<i>Pogg. Ann.</i>	1849	77	134
<b>Miller</b>	<i>Min.</i>	1852	—	614
<b>Dufrénoy</b>	<i>Compt. Rend.</i>	1853	37	968
<b>Groth</b>	<i>Strassb. Samml.</i>	1878	—	19.

Embolit.

Embolit.

Regulär.

No.	Gdt.	Miller.	Miller.	Naumann.	G <sub>1</sub>	G <sub>2</sub>	G <sub>3</sub>
1	c	a	∞01	∞O∞	0	0∞	∞0
2	d	—	101	∞O	1 0	0 1	∞
3	p	o	111	O	1	1	1



Literatur.

Breithaupt	Pogg. Ann.	1849	77	134
Miller	Min.	1852	—	614
Dufrénoy	Compt. Rend.	1853	37	968
Groth	Strassb. Samml.	1878	—	19.

Emplektit.

Rhombisch.

Axenverhältnisse.

a : b : c = 0.7738 : 1 : 0.9601 (Gdt.)

[a : b : c = 0.9601 : 1 : 0.7738] (Weisbach. Dana.)  
{a : b : c = 0.7977 : 1 : 0.6518} (Dauber.)  
(a : b : c = 0.5385 : 1 : 0.6204) (Groth.)

Elemente.

a = 0.7738	lg a = 988863	lg a <sub>0</sub> = 990631	lg p <sub>0</sub> = 009369	a <sub>0</sub> = 0.8060	p <sub>0</sub> = 1.2408
c = 0.9601	lg c = 998232	lg b <sub>0</sub> = 001768	lg q <sub>0</sub> = 998232	b <sub>0</sub> = 1.0416	q <sub>0</sub> = 0.9601

Transformation.

Dauber.	Weisbach.	Groth.	Gdt.
p q	$p \cdot \frac{2}{5} q$	$\frac{5 q}{7 p} \cdot \frac{2}{p}$	$\frac{1}{p} \cdot \frac{5 q}{6 p}$
$p \cdot \frac{2}{3} q$	p q	$\frac{5 q}{6 p} \cdot \frac{2}{p}$	$\frac{1}{p} \cdot \frac{q}{p}$
$\frac{2}{q} \cdot \frac{14 p}{5 q}$	$\frac{2}{q} \cdot \frac{12 p}{5 q}$	p q	$\frac{q}{2} \cdot \frac{6 p}{5}$
$\frac{1}{p} \cdot \frac{6 q}{5 p}$	$\frac{1}{p} \cdot \frac{q}{p}$	$\frac{2}{3} q \cdot 2 p$	p q

No.	Gdt.	Dauber. Weisbach.	Miller.	Naumann.	Gdt.
1	c	a	001	0 P	0
2	b	b	010	∞ P̄ ∞	0 ∞
3	u	u	023	$\frac{2}{3} P̄ ∞$	0 $\frac{2}{3}$
4	g	g	056	$\frac{5}{6} P̄ ∞$	0 $\frac{5}{6}$
5	z	z	011	P̄ ∞	0 1
6	y	y	021	2 P̄ ∞	0 2
7	x	x	071	7 P̄ ∞	0 7
8	d	d	101	P ∞	1 0
9	k	k	301	3 P ∞	3 0

Literatur.

<i>Schneider</i>	<i>Pogg. Ann.</i>	1853	90	166
<i>Dauber</i>	"	1854	92	241
<i>Weisbach</i>	"	1866	128	435
<i>Dana</i>	<i>System</i>	1873	—	86
<i>Groth</i>	<i>Tab. Ubers.</i>	1882	—	25.

Bemerkungen.

Die Mineralien Emplektit, Skleroklas, Wolfsbergit, Zinckenit bilden eine isomorphe Gruppe. Es herrscht jedoch in der Beurtheilung der Formen aller dieser Mineralien eine gewisse Unsicherheit, trotzdem sehr zuverlässige Beobachter sich mit ihnen beschäftigt haben. Das hat in Folgendem seinen Grund. Der Habitus aller ist ein ähnlicher; nur beim Zinckenit weicht er ab. Es sind bei den vollständiger bekannten, Emplektit und Skleroklas, zwei Axenzonen entwickelt, in deren einer die Beobachtungen klar sind, während in der anderen Unsicherheit herrscht, deshalb; weil in ihr die schmalen Flächen stark gerieft und zum Theil mehr oder minder gerundet sind<sup>1)</sup> und es endlich nicht ausgeschlossen erscheint, dass nach einer der Flächen dieser Zone, wie dies beim Zinckenit bereits durch G. Rose (Pogg. Ann. 1826. 7. 93) angenommen wurde, auch bei den anderen Viellingsbildungen vorliegen. Hierzu kommt, dass bei den Nachrichten über den Skleroklas Verwechslungen

<sup>1)</sup> Vgl. Rath Pogg. Ann. 1862. 22. 385 (Skleroklas). — Dauber Pogg. Ann. 1854. 92. 241. Weisbach Pogg. Ann. 1866. 128. 437 (Emplektit).

Bemerkungen. (Fortsetzung von S. 548.)

mit anderen Mineralien vorgekommen sind, weshalb Rath die Angaben der früheren Beobachter Sartorius von Waltershausen, Heusser, Marignac, Des Cloizeaux nur mit Auswahl annimmt. Da Rath's Ausmusterung besonders von Seiten Des Cloizeaux's ohne Widerspruch geblieben ist, so habe ich nur des ersteren Angaben herangezogen.

Groth hat versucht, die Gruppe einheitlich aufzustellen und giebt eine Zusammenstellung von Winkeln, die er für unter sich entsprechend hält (Tab. Uebers. 1882. 25 u. 26), doch ist weder die gemeinsame Aufstellung glücklich gewählt, da durch sie complicirte Symbole zu Tage kämen, noch auch die Nebeneinanderstellung der Formen des Zinckenit und Wolfsbergit neben die der beiden anderen naturgemäss. Zur Begründung des Gesagten diene das Folgende:

In Groth's Aufstellung würde der Emplektit folgende Formenreihe zeigen:

$\frac{5}{2}o$  (u);  $\frac{5}{2}o$  (g);  $\frac{5}{2}o$  (z);  $\frac{5}{2}o$  (y);  $5o$  (x);  $o2$  (d);  $o6$  (k)

statt:  $o\frac{5}{2}$  „;  $o\frac{5}{2}$  „;  $o1$  „;  $o2$  „;  $o7$  „;  $1o$  „;  $3o$  „ unserer Aufstellung.

Andererseits hat Groth für den Zinckenit den Winkel  $14^{\circ}42'$  ( $P\infty$ ) mit  $16^{\circ}1'$  beim Skleroklas verglichen, statt sein Complement  $75^{\circ}18'$  mit  $75^{\circ}5'$  des Emplektit (k);  $59^{\circ}21'$  ( $\infty P$ ) stellt er neben die nicht beobachteten Winkel  $[56^{\circ}40']$  und  $[56^{\circ}36']$ , während dessen Hälfte  $29^{\circ}40'$  höchst wahrscheinlich dem  $29^{\circ}42'$  des Skleroklas entspricht. Beim Wolfsbergit gehört  $50^{\circ}30'$  ( $\infty P$ ) neben  $51^{\circ}4'$  (Skleroklas) und  $51^{\circ}8'$  (Emplektit) statt neben  $48^{\circ}57'$ ;  $67^{\circ}36'$  ( $\infty P$ ) neben das von Rath beobachtete  $oP : 4P\infty = 001 : 041 = 67^{\circ}58'$  statt neben ein nicht beobachtetes  $[66^{\circ}28']$ .

Obwohl bei Allen, besonders aber beim Zinckenit noch viel Unsicherheit besteht, dürfte doch die folgende Nebeneinanderstellung naturgemäss sein.

Winkel gegen die Spaltungsfläche  $c = o$  (001).

Aufstellung des Index.		Buchstabenbezeichnung nach:					Emplektit.	Skleroklas.	Wolfsbergit.	Zinckenit.
Lehstab.	Symbol.	Rose.	Miller.	Dauber.	Weisbach.	Rath.				
d	10 (101)	$\frac{5}{2}$ (W)	n (W)	d (E)	d (E)	2f (S)	$51^{\circ}40'$ (Dauber) $51^{\circ}08'$ (Weisb.)	$51^{\circ}10'$ (Rath) $51^{\circ}14'$ (Heusser)	$50^{\circ}30'$ (Rose)	—
h	20 (201)	g (W)	m (W)	—	—	4f (S)	—	$67^{\circ}58'$ (Rath) $68^{\circ}04'$ (Heusser)	$67^{\circ}36'$ (Rose)	—
k	30 (301)	P (Z)	u (Z)	k (E)	k (E)	—	$74^{\circ}48'$ (Dauber) $75^{\circ}05'$ (Weisb.)	—	—	$75^{\circ}18'$ (Rose)
—	—	M (Z)	m (Z)	—	—	$\frac{1}{2}d$ (S)	—	$29^{\circ}52'$ (Rath)	—	$29^{\circ}40'$ (Rose)
u	$o\frac{5}{2}$ (023)	—	—	—	u (E)	$\frac{5}{2}d$ (S)	$32^{\circ}37'$ (Weisb.)	$32^{\circ}30'$ (Rath)	—	—
g	$o\frac{5}{2}$ (056)	—	—	g (E)	g (E)	$\frac{5}{2}d$ (S)	$39^{\circ}39'$ (Dauber)	$39^{\circ}22'$ (Rath)	—	—
z	01 (011)	—	—	—	z (E)	$\frac{5}{2}d$ (S)	$43^{\circ}50'$ (Weisb.)	$43^{\circ}35'$ (Marign.)	—	—
y	02 (021)	—	—	—	y (E)	$\frac{5}{2}d$ (S)	$62^{\circ}30'$ (Weisb.)	$62^{\circ}$ (Rath)	—	—
x	07 (071)	—	—	—	x (E)	5d (S)	$81^{\circ}15'$ (Weisb.)	$80^{\circ}07'$ (Rath)	—	—

In der Abkürzung bedeutet: (E) = Emplektit, (S) = Skleroklas, (W) = Wolfsbergit, (Z) = Zinckenit.

Groth hat seine Aufstellung von Rath entnommen, wie dieser sie dem Skleroklas gegeben hat; jedoch hat Rath bei der Wahl seiner Elemente ein Verfahren eingeschlagen, das nicht korrekt sein dürfte. Es lagen ihm viele Beobachtungen aus den zwei domatischen Zonen vor, aus denen sich ein Axenverhältniss für möglichst einfache Symbole hätte ableiten lassen. Statt dessen hat Rath, jedenfalls bestimmt durch die Anschauung, dass die Pyramide das Primäre sein müsse, eine solche (o), die er nur an einem Krystall gesehen hatte, seiner Bestimmung der Grundwerthe untergelegt. Auf diese, wie es scheint, nicht sehr sichere Pyramidenfläche gründet sich somit Rath's Aufstellung des Skleroklas, die Groth ohne Rücksicht auf die Symbole auf die ganze Gruppe übertragen hat. Auch Rath's Zahlenreihe

(Fortsetzung S. 550.)

Bemerkungen. (Fortsetzung von S. 549.)

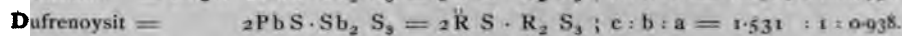
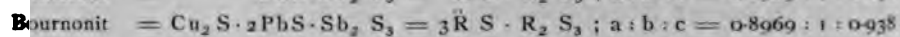
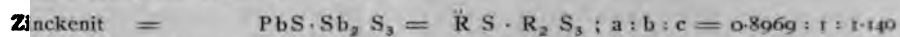
ist sic in Folge der von ihm angeführten Ursachen der Unsicherheit (Pogg. Ann. 1864. 22.  
385) u unnatürlich, sondern wegen der ungünstigen Aufstellung.

Wir wollen zum Vergleich der Elemente dieser Gruppe die Werthe  $p_0$  und  $q_0$  neben  
einander stellen:

Name.	$p_0$	$q_0$
Emplektit	1.241	0.960
Skleroklas	1.241	0.956
Wolfsbergit	1.213	?
Zinckenit	1.271	1.140

Die starke Abweichung der beiden letzteren von den ersteren kann in ihrer Natur liegen,  
möglichlicherweise, wenn unsere sehr unvollständige Kenntniss von ihnen sich erweitert, be-  
hoben werden.

In Bezug auf die Viellingsbildung des Zinckenit, deren Analogon möglicherweise die  
starke Riefung auch bei den anderen Mineralien der Gruppe hervorgebracht haben könnte,  
ist zu erinnern an die Rädelerzbildung beim Bournonit. Es hat ausserdem der Zinckenit  
mit dem Bournonit noch weitere Aehnlichkeit, und dieser wieder mit dem Dufrenoyssit in  
Zusammensetzung und Elementen. Es ist:



Enargit.

Rhombisch.

Axenverhältnisse.

$a : b : c = 0.8248 : 1 : 0.8711$  (Gdt.)

$[a : b : c = 0.8711 : 1 : 0.8248]$  (Dauber. Zepharovich.)

Elemente.

$a = 0.8248$	$\lg a = 991635$	$\lg a_0 = 997628$	$\lg p_0 = 002372$	$a_0 = 0.9468$	$p_0 = 1.0561$
$c = 0.8711$	$\lg c = 994007$	$\lg b_0 = 005993$	$\lg q_0 = 994007$	$b_0 = 1.1480$	$q_0 = 0.8711$

Transformation.

Dauber. Dana. Zepharovich.	Gdt.
$p\ q$	$\frac{1}{p} \ \frac{q}{p}$
$\frac{1}{p} \ \frac{q}{p}$	$p\ q$

No.	Gdt.	Dauber.	Rath.	Miller.	Miller.	Naumann.	Gdt.
1	a	a	—	b	001	oP	o
2	b	b	—	a	010	$\infty \bar{P} \infty$	o $\infty$
3	c	—	—	c	100	$\infty \bar{P} \infty$	$\infty 0$
4	s	s	—	—	110	$\infty P$	$\infty$
5	θ	—	—	—	150	$\infty \bar{P} 5$	$\infty 5$
6	r	—	r	—	013	$\frac{1}{3} \bar{P} \infty$	$0 \frac{1}{3}$
7	d	—	—	—	012	$\frac{1}{2} \bar{P} \infty$	$0 \frac{1}{2}$
8	e	—	—	—	034	$\frac{3}{4} \bar{P} \infty$	$0 \frac{3}{4}$
9	g	g	m	m	011	$\bar{P} \infty$	o 1
10	h	—	n	—	021	$2 \bar{P} \infty$	o 2
11	l	—	l	—	031	$3 \bar{P} \infty$	o 3
12	m	m	—	—	102	$\frac{1}{2} \bar{P} \infty$	$\frac{1}{2} 0$
13	k	k	—	—	101	$\bar{P} \infty$	1 o
14	n	n	—	—	201	$2 \bar{P} \infty$	2 o
15	λ	—	—	—	301	$3 \bar{P} \infty$	3 o
16	o	o	—	—	111	P	1
17	p	p	—	—	211	$2 \bar{P} 2$	2 1
18	q	—	—	—	511	$5 \bar{P} 5$	5 1
19	L	—	—	—	231	$3 \bar{P} \frac{3}{2}$	2 3

Literatur.

Breithaupt	Pogg. Ann.	1850	80	383
Miller	Min.	1852	—	636
Dauber	Pogg. Ann.	1854	92	237
Dana	System	1873	—	107
Zepharovich	Zeitschr. Kryst.	1879	3	600 Matzenköpfel b. Brixlegg
Rath	"	1880	4	426
Zettler	Jahrb. Min.	1880	1	Ref. 159 }
"	Zeitschr. Kryst.	1882	6	637 }
Groth	Tab. Uebers.	1882	—	30

Bemerkungen.

Dana giebt, mit Bezugnahme auf Dauber, unter Uebernahme von dessen Winkeln das Axenverhältniss  $a:b:c = 0.94510:1:1.1480$ , was in der üblichen Bedeutung der Axen entspricht:  $a:b:c = 0.8711:1:0.8233$ , während Dauber selbst angiebt:  $a:b:c = 0.8711:1:0.8248$ . Da Dana seine Werthe von Dauber entnommen, so liegt wohl ein Rechenfehler vor und ist zu corrigiren, wie unten angegeben. Dana's Werth hat Groth in seine tabellarische Uebersicht übernommen, und ist demgemäss auch dort der Dauber'sche Werth herzustellen.

Correcturen.

Dana	System	1873	—	Seite 107	Zeile 9 vu lies	140 29	statt	140 20
"	"	"	—	" "	" 15 " "	0.9468	"	0.94510
Groth	Tab. Uebers.	1882	—	" 30	" 7 vo "	0.8248	"	0.8233
Zettler	Zeitschr. Kryst.	1882	6	" 637	" 3 vu "	o P (001)	"	o P (101)

**Eosit.****Tetragonal.****Axenverhältniss.**

$$a : c = 1 : 1.3758 \text{ (Schrauf.)}$$

**Elemente.**

$\left. \begin{array}{l} c \\ p_o \end{array} \right\} = 1.3758$	$\lg c = 0.13856$	$\lg a_o = 0.86144$	$a_o = 0.7268$
--	-------------------	---------------------	----------------

No.	Schrauf.	Miller.	Naumann.	Gdt.
1	c	∞01	oP	o
2	p	111	P	1



Literatur.

Schrauf	Wien. Sitzb.	1871	63 (1)	176	(Leadhills)
"	Proc. Roy. Soc.	1871	—	451	

# Eosphorit.

## Rhombisch.

### Axenverhältnisse.

$$a : b : c = 0.5150 : 1 : 0.7768 \text{ (Gdt.)}$$

$$[a : b : c = 0.7768 : 1 : 0.5150] \text{ (E. S. Dana. Groth.)}$$

### Elemente.

$a = 0.5150$	$\lg a = 971181$	$\lg a_0 = 982150$	$\lg p_0 = 017850$	$a_0 = 0.6615$	$p_0 = 1.508$
$c = 0.7768$	$\lg c = 989031$	$\lg b_0 = 010969$	$\lg q_0 = 989031$	$b_0 = 1.2873$	$q_0 = 0.7768$

### Transformation.

E. S. Dana. Groth.	Gdt.
$p \ q$	$\frac{1}{p} \ \frac{q}{p}$
$\frac{1}{p} \ \frac{q}{p}$	$p \ q$

No.	Gdt.	E. S. Dana.	Miller.	Naumann.	Gdt.
1	a	a	$\infty 01$	$0 P$	0
2	p	b	$\infty 01$	$\infty \check{P} \infty$	$0 \infty$
3	n	J	$011$	$\check{P} \infty$	$0 \ 1$
4	g	g	$021$	$2 \check{P} \infty$	$0 \ 2$
5	t	p	$111$	$P$	1
6	q	q	$232$	$\frac{3}{2} \check{P} \frac{3}{2}$	$1 \frac{3}{2}$
7	s	s	$121$	$2 \check{P} \ 2$	$1 \ 2$

Literatur.

<i>Brush u. Dana, E. S.</i>	<i>Amer. Journ.</i>	1878	(3)	16	35	}
"	<i>Zeitschr. Kryst.</i>	1878		2	531	
<i>Dana, E. S.</i>	<i>System</i>	1882	App.	3	24	
<i>Groth</i>	<i>Tab. Uebers.</i>	1882		—	69	

Bemerkungen.

Die Buchstaben wurden von dem isomorphen Childrenit nach Miller's Bezeichnung herübergenommen.

# Epidot.

## 1.

### Monoklin.

#### Axenverhältniss.

$$a : b : c = 1.5807 : 1 : 1.8057 \quad \beta = 115^\circ 24' \quad (\text{Kokscharow. Klein. Bücking. Groth. Gdt.})$$

$$\begin{aligned} a : b : c &= 1.5786 : 1 : 1.8034 \quad \beta = 115^\circ 23' \quad (\text{Kokscharow jun.}) \\ " &= 1.5778 : 1 : 1.8034 \quad \beta = 115^\circ 26' \quad (\text{Websky.}) \\ " &= 1.5836 : 1 : 1.8153 \quad \beta = 115^\circ 27' \quad (\text{Des Cloiseaux.}) \\ [a : b : c &= 1.8018 : 1 : 1.5767 \quad \beta = 115^\circ 24'] \quad (\text{Miller.}) \\ \{a : b : c &= 3.256 : 1 : 1.5766 \quad \beta = 90^\circ 33'\} \quad (\text{Mohs-Zippe. Hausmann. Naumann.}) \\ \{ " &= 3.244 : 1 : 1.572 \quad \beta = 90^\circ 26'\} \quad (\text{Zepharovich.}) \\ (a : b : c &= 0.7916 : 1 : 1.6377 \quad \beta = 90^\circ 25') \quad (\text{Schrauf.}) \end{aligned}$$

#### Elemente.

$a = 1.5807$	$\lg a = 0.19885$	$\lg a_0 = 994220$	$\lg p_0 = 005780$	$a_0 = 0.8754$	$p_0 = 1.1423$
$c = 1.8057$	$\lg c = 0.25665$	$\lg b_0 = 974335$	$\lg q_0 = 021250$	$b_0 = 0.5538$	$q_0 = 1.6312$
$\mu = \frac{1}{180} \beta \left. \begin{matrix} 64^\circ 36' \\ 180 \end{matrix} \right\}$	$\lg h = \left. \begin{matrix} 995585 \\ \lg \sin \mu \end{matrix} \right\}$	$\lg e = \left. \begin{matrix} 963239 \\ \lg \cos \mu \end{matrix} \right\}$	$\lg p_0 = 984530$	$h = 0.9033$	$e = 0.4289$

#### Transformation.

Hauy. Lévy.	Miller.	Naumann. Hessenberg. Zepharovich.	Schrauf.	Weiss.	Marignac. Kokscharow. Des Cloiseaux. Klein. Websky. Bücking. Becker. Gdt.
$p \ q$	$-p \ q$	$-(2p+1) \ q$	$\frac{1}{2p+1} \ \frac{2q}{2p+1}$	$\frac{5-3p}{1+p} \ \frac{8q}{1+p}$	$\frac{1}{p} \ \frac{q}{p}$
$-p \ q$	$p \ q$	$(2p-1) \ q$	$\frac{1}{2p-1} \ \frac{2q}{2p-1}$	$\frac{5+3p}{1-p} \ \frac{8q}{1-p}$	$-\frac{1}{p} \ \frac{q}{p}$
$-\frac{p+1}{2} \ q$	$\frac{p+1}{2} \ q$	$p \ q$	$\frac{1}{p} \ \frac{2q}{p}$	$\frac{13+3p}{1-p} \ \frac{16q}{1-p}$	$-\frac{2}{p+1} \ \frac{2q}{p+1}$
$-\frac{p+1}{2p} \ \frac{q}{2p}$	$\frac{p+1}{2p} \ \frac{q}{2p}$	$\frac{1}{p} \ \frac{q}{2p}$	$p \ q$	$\frac{13p+3}{p-1} \ \frac{8q}{p-1}$	$-\frac{2}{p+1} \ \frac{q}{p+1}$
$\frac{5-p}{3+p} \ \frac{q}{3+p}$	$\frac{p-5}{p+3} \ \frac{q}{p+3}$	$\frac{p-13}{3+p} \ \frac{q}{3+p}$	$\frac{p+3}{p-13} \ \frac{2q}{p-13}$	$p \ q$	$\frac{3+p}{5-p} \ \frac{q}{5-p}$
$\frac{1}{p} \ \frac{q}{p}$	$-\frac{1}{p} \ \frac{q}{p}$	$-\frac{2+p}{p} \ \frac{q}{p}$	$-\frac{p}{p+2} \ \frac{2q}{p+2}$	$\frac{5p-3}{p+1} \ \frac{8q}{p+1}$	$p \ q$

(Fortsetzung S. 559.)

Literatur.

Weiss, C. S.	Berl. Ak. Abh.	1818/19	—	242
Haüy	Traité Min.	1822	2	568
Mohs	Grundr.	1824	2	322
Haidinger	Edinb. Journ.	1824	10	305
Hartmann	Handb.	1828	—	47
Naumann	Kryst.	1830	2	91
Lévy	Deser.	1838	2	115
Mohs-Zippe	Min.	1839	2	319
Hausmann	Handb.	1847	2	(1) 561
Marignac	Arch. sc. phys. nat.	1847	4	148
Miller	Min.	1852	—	307
Hessenberg	Senck. Abh.	1856	2	178
"	"	1858	2	250
Kokscharow	Mat. Min. Russl.	1858	3	268
Zepharovich	Wien. Sitzb.	1859	34	480
"	"	1862	45	(1) 381 (Zermatt)
Des Cloizeaux	Mammel	1862	1	243 u. 254 (Piemontit)
Rath	Pogg. Ann.	1862	115	472
Zepharovich	Prag. Sitzb.	1865	(2)	63 (Zöptau)
Becker	Inaug. Diss.	1868	—	26 (Striegau)
Schrauf	Wien. Sitzb.	1871	64	(1) 159
Brezina	Min. Mitth.	1871	1	49 (Sulzbach)
Klein	Jahrb. Min.	1872	—	113 (Sulzbach)
Rath	Pogg. Ann.	1874	Erg. 6	368
"	D. Geol. Ges.	1875	—	377
Bücking	Zeitschr. Kryst.	1878	2	407
"	"	1879	3	661 (Correctur)
Lüdecke	Halle Sitzb.	1879	—	
Laspeyres	Zeitschr. Kryst.	1880	4	436 (Piemontit)
Rath	"	1881	5	254
Kokscharow (Sohn)	Mat. Min. Russl.	1881	8	43
Des Cloizeaux	Bull. soc. min.	1883	6	23.

Bemerkungen }  
 Correcturen } siehe S. 560. 562. 564—568.

## 2.

okscharov. Klein. Bücking.	Hany. Rose. Mohr. Weiss. Hartmann Hausm.	Miller. Hessenb.	Schrauf.	Marignac.	Miller.	Naumann.	[Hausm.]	[Mohr-Zippe.]	[Hany.]	[Lévy.]	Descl.	Gdt.
M	M	m	c	P	001	o P	B	$\bar{P}r + \infty$	M	$h^1$	p	o
P	P	b	b	L	010	$\infty P \infty$	A	$\bar{P}r + \infty$	P	$g^1$	$g^1$	$o \infty$
T	T	t	t	T	100	$\infty P \infty$	E	$-\bar{P}r$	T	p	$h^1$	$\infty o$
—	—	—	y	—	310	$\infty P 3$	—	—	—	—	—	$3 \infty$
u	u	u	u	N	210	$\infty P 2$	$EA \frac{1}{2}$	$-(\bar{P}r-1)\frac{3}{2}(\bar{P}-1)^2$	$\frac{1}{2}B$	$e^2$	$h^3$	$2 \infty$
t	—	—	$\tau$	—	320	$\infty P \frac{3}{2}$	—	—	—	—	$h^5$	$\frac{3}{2} \infty$
z	z	z	z	M	110	$\infty P$	P	$-\bar{P}$	$\frac{1}{2}B$	$e^1$	m	$\infty$
$\eta$	—	—	G	—	120	$\infty P 2$	—	—	—	—	$g^3$	$\infty 2$
—	—	—	$\Xi$	—	150	$\infty P 5$	—	—	—	—	$g^3$	$\infty 5$
p	—	—	—	—	016	$\frac{1}{2}P \infty$	—	—	—	—	—	$o \frac{1}{2}$
$\Sigma$	—	—	—	—	015	$\frac{1}{2}P \infty$	—	—	—	—	—	$o \frac{1}{2}$
—	—	—	Q	—	029	$\frac{2}{3}P \infty$	—	—	—	—	—	$o \frac{2}{3}$
$\gamma$	—	—	$\gamma$	—	013	$\frac{1}{2}P \infty$	—	—	—	—	$e^3$	$o \frac{1}{2}$
k	h	k	k	$l^{\frac{1}{2}}$	012	$\frac{1}{2}P \infty$	$BA \frac{1}{2}$	$(\bar{P} + \infty)^4$	$\frac{1}{2}C$	$h^3$	$e^2$	$o \frac{1}{2}$
o	o	o	o	l	011	$P \infty$	$BA \frac{1}{2}$	$(\bar{P}r + \infty)\frac{3}{2}(\bar{P} + \infty)^2$	$\frac{1}{2}C$	m	$e^1$	$o 1$
g	—	—	g	—	301	$-3 P \infty$	—	—	—	—	$o \frac{1}{2}$	$+ 3 o$
h	—	—	$\theta$	$t^2$	201	$-2 P \infty$	—	—	—	$o^2$	$o \frac{1}{2}$	$+ 2 o$
e	—	—	e	t	101	$-P \infty$	$D^1$	$-\frac{3}{2}\bar{P}r + 2$	$\frac{1}{2}E$	—	$o^1$	$+ 1 o$
$\theta$	k	—	—	—	304	$-\frac{3}{2}P \infty$	$BB^1_4$	—	$\frac{3}{2}H$	—	—	$+ \frac{3}{2} o$
—	—	—	—	—	305	$-\frac{3}{2}P \infty$	—	—	—	—	—	$+ \frac{3}{2} o$
m	—	—	m	—	102	$-\frac{1}{2}P \infty$	—	—	—	—	$o^2$	$+ \frac{1}{2} o$
—	—	—	—	—	103	$-\frac{1}{2}P \infty$	—	—	—	—	—	$+ \frac{1}{2} o$
$\Omega$	—	—	$\Omega$	$t^{\frac{1}{2}}$	105	$-\frac{1}{2}P \infty$	—	—	—	—	$o^5$	$+ \frac{1}{2} o$
—	—	—	—	—	105	$+ \frac{1}{2}P \infty$	—	—	—	$a^{\frac{1}{2}}$	—	$-\frac{1}{2} o$
$\omega$	i	—	S	—	104	$+ \frac{1}{2}P \infty$	$BB^1_6$	—	$G^4$	—	—	$-\frac{1}{2} o$
$\sigma$	—	—	R	—	103	$+ \frac{1}{2}P \infty$	—	—	—	$a^{\frac{1}{2}}$	$a^3$	$-\frac{1}{2} o$
i	s(i)	i	i	$\tau^{\frac{1}{2}}$	102	$+ \frac{1}{2}P \infty$	$BB^1_3$	$\frac{3}{2}\bar{P}r + 2$	$G^2$	—	$a^2$	$-\frac{1}{2} o$
s	s(Mohr)	S	$\sigma$	—	203	$+ \frac{3}{2}P \infty$	$BB^1_2$	$\bar{P}r + 1$	—	—	$a^{\frac{3}{2}}$	$-\frac{3}{2} o$
N	—	—	N	—	304	$+ \frac{3}{2}P \infty$	—	—	—	—	$a^{\frac{3}{2}}$	$-\frac{3}{2} o$
r	r	r	r	$\tau$	101	$+ P \infty$	$E^1$	$+ \bar{P}r$	$1G^1$	$a^1$	$a^1$	$-1 o$
L	—	—	L	$\tau^{\frac{2}{3}}$	706	$+ \frac{2}{3}P \infty$	—	—	—	—	$a^{\frac{2}{3}}$	$-\frac{2}{3} o$
$\beta$	—	—	$\beta$	—	403	$+ \frac{4}{3}P \infty$	—	—	—	—	$a^{\frac{4}{3}}$	$-\frac{4}{3} o$
k	—	—	K	$\tau^{\frac{3}{2}}$	302	$+ \frac{3}{2}P \infty$	—	—	—	—	$a^{\frac{3}{2}}$	$-\frac{3}{2} o$
l	l	l	a	$\tau^2$	201	$+ 2 P \infty$	$B^1$	$P - \infty$	$2G$	$a^2$	$a^{\frac{1}{2}}$	$-2 o$

(Fortsetzung S. 561.)

Bemerkungen.

Bei Zepharovich (Wien. Sitzb. 1859. 34. 480 und 1862. 45. (1) 381) sind die Naumann'schen und Miller'schen Zeichen insofern im Widerspruch gegen die übliche Beziehung als  $+mPn$  nicht  $= hkl$  sondern  $= hkl$  gesetzt ist. Wohl legt Miller oft und so auch beim Epidot die  $+$  Symbole auf die Seite des stumpfen Winkels der Normales  $001:100$ . Zum Zweck der Transformation jedoch von Naumann'schen in Miller'sche Zeichen und zur Bildung des Transformations-Symbols müssen wir eine Beziehung festhalten. Wir gehen deshalb bei der Transformation der Zeichen von Zepharovich aus von denen nach Naumann'scher Schreibweise und sind dann in Uebereinstimmung mit Naumann und Hessenberg, die die gleiche Aufstellung haben wie Zepharovich. Unser Transformations-Symbol gilt deshalb nicht für die Miller'schen Zeichen, die Zepharovich schreibt; nähmen wir diese, so wäre zu transformiren:

$$pq \text{ (Zepharovich)} = \frac{2}{p-1} \frac{2q}{p-1} \text{ (Kokscharow ... Gdt.)}$$

Auch bei Schrauf (Wien. Sitzb. 1871. 64. (1) 164) ist der gleiche Widerspruch zwischen  $+$  und  $-$ , jedoch in etwas anderer Weise entstanden. Schrauf geht von Miller'schen Symbolen aus und fügt dazu Naumann'sche Symbole in dem Sinn, dass die  $+$  Formen nach vorn liegen. Im Uebrigen bezieht er sich bei seiner Vergleichstabelle zur Transformation (S. 167) auf Zepharovich's Miller'sche Zeichen. Um in diesem ganzen complicirten Verhältniss Verwirrung in den Vorzeichen zu vermeiden, ist es am besten, bei Zepharovich nur die Naumann'schen, bei Schrauf nur die Miller'schen Zeichen zu verwenden und beide in dem üblichen Sinn zu verstehen. In Schrauf's Transformations-Tabelle ist dann zu setzen  $u$  statt  $\bar{u}$ .

$-\frac{3}{2}0$  entsprechend Hessenberg's  $-\frac{1}{2}P\infty$  und Schrauf's D (401) ist als unsicher zu betrachten (vgl. Bücking Zeitschr. Kryst. 1878. 2. 396); ebenso ist  $-\frac{1}{2}0 = a_{\frac{1}{11}}$  (Des Cloiseaux) = F (11-03) (Schrauf) als unsicher weggelassen worden (vgl. ebenda).

Marignac's  $\epsilon^{10}$  würde unserem  $-\frac{10}{3}\frac{10}{7}$  entsprechen. Dafür setzt Des Cloiseaux

(Man. 1862. 247)  $\eta = b^{\frac{1}{2}}b^{\frac{1}{2}}h^1$ , entsprechend unserem  $-\frac{7}{2}\frac{3}{2}$ ; Zepharovich (Wien. Sitzb. 1859. 34. 484) setzt  $\frac{2}{3}P$  entsprechend unserem  $-\frac{10}{3}\frac{4}{3}$ . Aus Marignac's Winkeln  $\epsilon^{10}:\epsilon^{10} = 67^\circ 20'$ ;  $\epsilon^{10}:T = 36^\circ 21'$  (Durchschnitt) berechnet sich  $p = -3.41$ ;  $q = 1.43$ , ein Werth, der von  $-\frac{10}{3}\frac{4}{3}$  ziemlich ebenso entfernt ist, wie von  $-\frac{7}{2}\frac{3}{2}$ . Bei der so bestehenden Unsicherheit wurde keines der angeführten Symbole als festgestellt angesehen.

Becker führt (Inaug. Diss. 1868. 28) die neuen Formen an:

$$\pi = -\frac{9}{16}0; \sigma = -\frac{2}{3}\frac{9}{16}0; \tau = +22.0; \upsilon = +70$$

$$\varphi = -1.17; \chi = -1\frac{2}{3}\frac{9}{16}; \omega = -\frac{4}{3}\frac{1}{16}$$

Diese sind wohl alle vielleicht mit Ausnahme von  $\upsilon$  als Vicinalflächen anzusehen, während  $\upsilon$  aus der Beschreibung (S. 30) nicht als genügend sichergestellt angesehen werden kann. Sie wurden deshalb alle aus dem Formenverzeichniss weggelassen (vgl. Klein Jahrb. Min. 1872. 114).

Die Grundform Mohs' und Hausmann's ist dieselbe, die Naumann angenommen hat. Es ist jedoch bei den beiden ersteren Autoren die Symmetrie-Ebene horizontal gelegt. Um in Naumann's Aufstellung zu gelangen, ist zu setzen:

$$\pm pq \text{ (Mohs-Zippe)} = \pm qp \text{ (Naumann)}$$

$$\pm pq \text{ (Hausmann)} = \pm \frac{q}{p} \frac{1}{p} \text{ (Naumann).}$$

(Fortsetzung S. 562.)

	Kokscharow. Klein. Bäcking.	Haas. Rose. Mohr. Weiss. Hartmann Haas.	Miller. Hessing.	Schrauf. Marignac.	Miller. Naumann.	[Haas.]	[Mohr-Zippe.]	[Haas.][Lévy.]	Descl.	Gdt.
<b>f</b>	f	—	f	f	$\tau^3$	301 + 3 P $\infty$	—	—	a <sup>3</sup>	a <sup>3</sup> — 30
<b>D</b>	—	—	—	—	—	401 + 4 P $\infty$	—	—	—	— 40
<b>d</b>	d	d	d	d	m	111 — P	BD'3	— (P) <sup>3</sup>	d <sup>1</sup>	d <sup>1</sup> + 1
<b>v</b>	v	—	—	v	—	112 — $\frac{1}{2}$ P	—	—	d <sup>1</sup>	+ $\frac{1}{2}$
<b>e</b>	e	—	—	e	m <sup>1</sup>	113 — $\frac{1}{3}$ P	—	—	d <sup>2</sup>	+ $\frac{1}{3}$
<b>v</b>	$\mu$	—	—	—	—	116 — $\frac{1}{6}$ P	—	—	—	+ $\frac{1}{6}$
<b>i</b>	$\lambda$	—	—	—	—	1115 — $\frac{1}{15}$ P	—	—	—	+ $\frac{1}{15}$
<b><math>\pi</math></b>	O	—	—	$\pi$	—	114 + $\frac{1}{4}$ P	—	—	—	+ $\frac{1}{4}$
<b>p</b>	p	—	—	p	—	113 + $\frac{1}{3}$ P	—	—	b <sup>3</sup>	— $\frac{1}{3}$
<b>x</b>	x	x	x	x	—	112 + $\frac{1}{2}$ P	BD'3	+ (P) <sup>3</sup>	a <sup>3</sup>	b <sup>1</sup> — $\frac{1}{2}$
<b>n</b>	n	n	n	n	$\mu$	111 + P	P'	+ P	E'	b <sup>2</sup> — 1
<b>q</b>	q	q	q	q	$\mu^2$	221 + 2 P	—	P <sub>r</sub>	E <sup>2</sup> B <sup>2</sup> C <sup>1</sup>	b <sup>1</sup> d <sup>3</sup> g <sup>2</sup> — 2
<b><math>\theta</math></b>	—	—	—	$\theta$	—	121 — 2 P <sub>2</sub>	—	—	—	$\theta$ + 12
<b>E</b>	—	—	—	—	—	313 + P <sub>3</sub>	—	—	—	— 13
<b>H</b>	a	e	—	H	v	212 + P <sub>2</sub>	E'A <sub>2</sub>	—	E	v — 12
<b>s</b>	—	—	—	s	—	323 + P <sub>2</sub>	E'A <sub>2</sub>	—	—	s — 13
<b>Z</b>	Z	—	—	z	—	232 + $\frac{2}{3}$ P <sub>2</sub>	—	—	—	z — 13
<b><math>\Phi</math></b>	$\Phi$	—	—	—	—	353 + $\frac{2}{3}$ P <sub>2</sub>	—	—	—	— 13
<b><math>\varphi</math></b>	$\varphi$	—	—	$\varphi$	$\varphi^2$	121 + 2 P <sub>2</sub>	—	—	—	$\varphi$ — 12
<b><math>\Delta</math></b>	$\Delta$	—	—	—	—	131 + 3 P <sub>3</sub>	—	—	—	— 13
<b><math>\delta</math></b>	$\delta$	—	—	$\delta$	—	141 + 4 P <sub>4</sub>	—	—	—	— 14
<b>E</b>	—	—	—	E	—	151 + 5 P <sub>5</sub>	—	—	—	$\varepsilon$ — 15
<b><math>\Delta</math></b>	—	—	—	$\Delta$	$\delta$	161 + 6 P <sub>6</sub>	—	—	—	$\delta$ — 16
<b>a</b>	—	—	—	—	—	171 + 7 P <sub>7</sub>	—	—	—	— 17
<b>b</b>	$\chi$	—	—	—	—	611 — 6 P <sub>6</sub>	—	—	—	+ 61
<b>w</b>	w	—	—	w	—	211 — 2 P <sub>2</sub>	—	—	—	w + 21
<b><math>\Sigma</math></b>	—	—	—	$\Sigma$	—	122 — P <sub>2</sub>	—	—	—	+ $\frac{1}{2}$ 1
<b>P</b>	—	—	—	P	r	144 — P <sub>4</sub>	—	—	—	p + $\frac{1}{4}$ 1
<b><math>\psi</math></b>	a	—	—	$\psi$	$\varphi$	122 + P <sub>2</sub>	—	—	—	$\psi$ — $\frac{1}{2}$ 1
<b>B</b>	b	—	—	B	—	233 + P <sub>2</sub>	—	—	—	$\beta$ — $\frac{2}{3}$ 1
<b>M</b>	y	y	y	M	—	211 + 2 P <sub>2</sub>	B'A <sub>2</sub>	P <sub>r</sub> —1	E <sup>1</sup>	b <sup>1</sup> $\pi$ — 21
<b><math>\chi</math></b>	c	—	—	$\chi$	—	311 + 3 P <sub>3</sub>	—	—	—	$\chi$ — 31
<b>b</b>	R	—	—	—	—	411 + 4 P <sub>4</sub>	—	—	—	— 41
<b>a</b>	—	—	—	a	—	231 — 3 P <sub>2</sub>	—	—	—	a + 23
<b>e</b>	—	—	—	—	—	412 + 2 P <sub>4</sub>	—	—	—	— 21
<b>J</b>	V	—	—	J	—	623 + 2 P <sub>6</sub>	—	—	—	k — 23

(Fortsetzung S. 563.)



Bemerkungen. (Fortsetzung von S. 560.)

Es empfiehlt sich zuerst diese Umwandlung vorzunehmen und von dem Naumann'schen Zeichen erst auf ein anderes überzugehen, deshalb, weil erst bei der normalen Lage der Symmetrie-Ebene die Zeichen  $\pm$  die übliche Bedeutung erhalten und durch unrichtige Anwendung des Vorzeichens Fehler entstehen. Deshalb wurden die Transformationen für Mohs und Hausmann in die Tabelle der Transformationen nicht aufgenommen.

Schrauf hat in seiner Zusammenstellung (Wien. Sitzb. 1871. 64. (1) 163—167) in den Symbolen nach Miller theilweise die Vorzeichen des ersten Index geändert, wahrscheinlich absichtlich, um die Fläche 001 nach vorn abfallen zu lassen. Da jedoch die Tabelle des Zweck der Identification hat, so dürfte ein solches Verfahren nicht angezeigt sein, umsoweniger, wenn es nicht besonders hervorgehoben wird, sondern es wären wohl die Symbole so zu copiren, wie sie sich bei dem citirten Autor finden. In diesem Sinn wurde die Correctur vorgenommen, die um so mehr berechtigt erscheinen dürfte, als bei manchen Symbolen Miller's Vorzeichen stehen geblieben sind.

Nach Brezina's Mittheilung sind in dessen Arbeit (Min. Mitth. 1871. I. 49—52) in Uebereinstimmung mit Rosenbusch's Vermuthung (Mikr. Physiogr. d. petrogr. wicht. Min. Stuttgart 1873 S. 337) die unten gegebenen Correcturen anzubringen.

Bücking hat in seiner ausgedehnten Arbeit (Zeitschr. Kryst. 1878. 2. 321—415) in die Literatur 149 neue Formen eingeführt, von denen später eine —  $\frac{5}{11}0$  zurückgezogen wurde (Zeitschr. Kryst. 1879. 3. 661). Von diesen neuen Formen liegen nicht weniger als 107 in einer Zone  $\pm p0$ , aus welcher bereits 21 Formen bekannt waren, wozu noch vier nicht genügend sicher gestellte Formen treten, die Becker angiebt (Inaug. Diss. 1868. 28), nämlich  $+220$ ,  $+70$ ,  $-\frac{20}{11}0$ ,  $-\frac{9}{16}0$ , so dass die Zahl der Formen in dieser Zone 132 betragen würde. Diese Formenreihe deckt die Zone in ihrer ganzen Erstreckung ziemlich gleichmässig zu und macht sie, die wichtigste beim Epidot, zu Schlüssen unbrauchbar, da man in einer solchen dicht und gleichmässig mit Flächen überzogenen Zone Alles und Nichts finden kann. Es wäre erforderlich, durch kritische Diskussion der Beobachtungen die freien und echten typischen Formen zu gewinnen und von den influenzirten, den Vicinal- und Scheinflächen abzusondern (vgl. Einleitung S. 146 bis 149). Auch dürfte auf möglicherweise vorhandene versteckte Zwillingbildung ein besonderes Augenmerk zu richten sein.

Bücking hat die Reflexe der Reihe nach vermerkt, und in diese ziemlich continuirliche Reihe von Zeit zu Zeit, meist ohne nähere Begründung der Auswahl, Symbole eingesetzt; denn der Hinweis auf bestehenden, aber nicht im speciellen Fall beobachteten Zonenverband kann nur ausnahmsweise bei wichtigen Verbänden als genügender Grund der Wahl angesehen werden. Ebenso wenig ist ein Grund wie der S. 358 angeführte stichhaltig, dass die Zahl 13 gegenüber 12 den Vorzug verdiene, da sie beim Epidot besonders häufig sei; abgesehen davon, dass ein solcher Schluss im Allgemeinen nicht zutrifft, ist die Zahl 13 als Index von keinem Beobachter vor Bücking constatirt worden.

Bücking hat eine Anzahl Flächen nur als oscillatorische Streifungen auf grösseren Flächen constatirt. Das Studium solcher Bildungen hat gewiss hohes Interesse, aber die Lage des Reflexes unmittelbar zur Bestimmung einer typischen Fläche zu benutzen, dürfte doch nicht gerechtfertigt sein.

Alle neuen Symbole Bücking's aus der Hauptradialzone (Pyramiden der Hauptreihe) gehören schmalen und zugleich gerundeten Flächen an. Manche Formen sind nur durch approximative Messung bestimmt, andere lassen, da sie gestreift und uneben sind, die Möglichkeit zu, dass sie Scheinflächen seien.

Eine grosse Anzahl der angegebenen Formen sind entschieden vicinale.

Eine kritische Sichtung, die wohl nur einen kleinen Theil der Formen als typisch

(Fortsetzung S. 564.)

## 4.

	Gdt.	Kokscharow. Klein. Böcking.	Hauy. Rose. Mohs. Weiss. Hartmann Hausm.	Miller. Hessenb.	Schrauf.	Marignac.	Miller.	Naumann.	[Hausm.]	[Mohs-Zippe.]	[Hauy.]	[Lévy.]	Descl.	Gdt.
1	$\alpha$	—	—	—	$\alpha$	—	521	— 5	$P \frac{5}{2}$	—	—	—	x	+ 5 2
2	$\zeta$	$\zeta$	—	—	$\zeta$	—	521	+ 5	$P \frac{5}{2}$	—	—	—	—	— 5 2
13	$\Gamma$	$\Xi$	—	—	$\Gamma$	$\gamma^{\frac{1}{2}}$	512	+ $\frac{5}{2}$	$P 5$	—	—	—	$\gamma$	— $\frac{5}{2} \frac{1}{2}$
74	$\omega$	—	—	—	$\omega$	—	123	+ $\frac{3}{2}$	$P 2$	—	—	—	$\omega$	— $\frac{3}{2} \frac{3}{2}$
75	$\lambda$	—	—	—	$\lambda$	$n^{\frac{2}{3}}$	213	— $\frac{3}{2}$	$P 2$	—	—	—	$\lambda$	+ $\frac{3}{2} \frac{1}{2}$
76	$\Psi$	—	—	—	$\Psi$	—	413	+ $\frac{3}{2}$	$P 4$	—	—	—	—	— $\frac{3}{2} \frac{1}{2}$
77	$\mu$	—	—	—	$\mu$	—	423	+ $\frac{3}{2}$	$P 2$	—	—	—	—	— $\frac{3}{2} \frac{3}{2}$

Bemerkungen. (Fortsetzung von S. 562.)

bestehen lassen dürfte, konnte auf Grund der vorliegenden Angaben über Flächenbeschaffenheit und Einzelbeobachtungen nicht geführt werden und muss es einer erneuten Kritik der Hand des Materials vorbehalten bleiben, die nöthige Klärung zu bringen. Bis dahin schien es nicht gerechtfertigt, die von Bücking aufgestellten Formen unter die aufgestellten typischen aufzunehmen, mit Ausnahme der vier folgenden, deren Nachweis Sicherheit aus Bücking's Angaben hervorzugehen schien, nämlich:  $\Phi = -1\frac{1}{2}$ ;  $R = -41$  und  $+\frac{1}{2}0$ .

Um jedoch bei späteren Arbeiten das Angegebene leicht vergleichen und in die Diskussion ziehen zu können, wurden im Folgenden Bücking's neue Formen nebst Seite der Anführung, der Zahl der Beobachtungen und der Angabe über Flächenbeschaffenheit zusammengestellt.

## Bücking's neue Formen. Zeitschr. Kryst. 1878. 2. 321 (407).

$\Delta$  = Differenz zwischen Messung und Rechnung.

$d$  = Differenz der Messungen unter sich.

No.	Buchstabe.	Symbol.	Zahl d. Beob.	Seite.	Beschaffenheit der Flächen.	No.	Buchstabe.	Symbol.	Zahl d. Beob.	Seite.	Beschaffenheit der Flächen.	
1	U	$\frac{2}{3}0\infty$	1	332	verhältnissmässig breit u. eben.	19	—	$+\frac{1}{2}1$	1	336	schmal entwickelt	
2	—	$0\frac{1}{2}0$	3	332	schmal und etwas gerundet.						genaue Messung.	
3	—	$0\frac{1}{1}1$	3	333	schmal und etwas gerundet.	20	—	$+\frac{1}{2}2$	2	336	sehr schmal u. wenig	
4	$\Psi$	$0\frac{1}{2}$	1	333	sehr schmal, aber ziemlich eben. $\Delta = 18'$ .	21	—	$+\frac{1}{2}2$	1	337	schmal, auch wenig	
5	—	$0\frac{1}{1}$	1	333	verhältnissm. breite u. ebene Fläche v. mattem Aussehen.	22	$\Theta$	$-1\frac{1}{2}$	1	338	schmale gestreifte Fläche	
6	—	$0\frac{1}{1}1$	3	333	sehr schmal, ziemlich eben und glänzend.	23	$\Phi$	$-1\frac{1}{2}$	1	338	schmal, aber vollkommen und spiegelnd.	
7	—	$0\frac{3}{1}1$	2	333	schmale aber glänzend. Fläche.	24	$\Lambda$	$-1\frac{1}{2}$	2	339	schmal, aber ziemlich und spiegelnd.	
8	—	$0\frac{1}{1}1$	1	333	schmale aber stark glänz. Fl.	25	—	$-1\frac{1}{2}$	2	339	schmal u. nicht sehr scharf ausgeh.	
9	—	$0\frac{1}{2}1$	1	334	an 1 Kryst. breit u. eben, an d. andern ganz schmal. $17^{\circ}6' - 17^{\circ}24'$ ; $0\frac{1}{2}$ erfordert $18^{\circ}4'$ zur Basis.]	26	W	$-1\frac{1}{2}$	1	400	ziemlich gross, 1 Fl.	
10	—	$0\frac{1}{1}0$	1	334	verhältnissm. grosse Fläche; beobachtet $19^{\circ}0'$ zur Basis.	27	$\Gamma$	$-1\frac{1}{2}$	1	400	untergeordnet, 1 Fl.	
11	—	$0\frac{1}{1}0$	1	334	sehr schmale, etwas gerundete Fläche, welche keinen scharfen Reflex lieferte.	28	$\xi$	$-1\frac{1}{2}$	1	340	ganz schmal, aber gut	
12	—	$0\frac{3}{2}$	1	334	die mittlere von 3 helleren Partien eines zusammenhängenden Reflexes.						bar; nur auf einer vorhanden. [Messung besser mit $1\cdot27$ .]	
13	—	$0\frac{1}{1}1$	1	335	sehr schmal.	29	R	$-4$	1	2	369	aus 2 Zonen bestimmt
14	—	$+\frac{1}{2}0$	1	336	schmal, etwas gerundet.	30	B	$-\frac{1}{2}$	1	1	341	klein und uneben
15	—	$+\frac{1}{2}1$	1	336	schmal, ziemlich eben.						approx.; durch Zonen bestätigt.	
16	—	$+\frac{1}{2}1$	1	336	ganz schmal; etwas gerundet.	31	—	$-\frac{1}{2}$	1	1	341	klein und glänzend
17	—	$+\frac{1}{2}0$	2	336	beide Male ganz schmal, etwas gerundet.	32	C	$-\frac{1}{2}$	1	1	341	schmal aber ziemlich
18	—	$+\frac{1}{2}0$	1	336	ganz schmal und gerundet.						schmal aber ziemlich wegen Krümmung nur annähernd zu gestreift, sehr klein gerundet.	

(Fortsetzung S. 56)



Bemerkungen. (Fortsetzung von S. 564.)

Symbol.	Zahl d. Beob.	Seite.	Beschaffenheit der Flächen.	No.	Buchstabe.	Symbol.	Zahl d. Beob.	Seite.	Beschaffenheit der Flächen.	
— 100	1	1	340	klein, keine sehr genauen Messungen möglich; approximative Messung.	59	—	50	2	355	schmal. [d = 14'.]
— 2	1	1	383	Gestreift an einem Zwilling.	60	—	50	5	355	gewöhnl. schmal oder als Streifung auf einer der grösseren benachbarten Flächen, einmal breiter.
— 5	1	1	340	schmal, nur auf der rechten Seite vorhanden.				1	394	als oscillatorische Streifung [ohne Winkelangabe].
— 4	1	1	386	in oscillatorischer Combination.	61	—	220	4	355	schmal.
— 5	1	1	383	gestreift an einem Zwilling.	62	—	2	2	355	einmal breit, einmal schmal.
— 100	4	1	383	matt, annähernde Messung.				—	376	nur ganz schmal.
— 20	1	1	383	sehr klein.	63	—	120	7	355	bald schmal, bald etwas breiter, in letzterem Fall oft ein wenig gerundet.
— 150	6	1	342	klein, matt, Messung. approximativ; Zone [qf] u. [Muy].	64	—	100	7	354	oft ziemlich breit.
— 330	2	358		als Streifung auf dem Orthopinakoid.	65	—	230	14	354	bald schmal und dann bisweilen als Streifung entwickelt, bald breiter und dann oft etwas matt. Winkel z. Basis 97°44' — 98. [— 30 erfordert 98°38'.]
— 260	3	358		als Streifung auf dem Orthopinakoid nachgewiesen.	66	—	170	6	354	zum Theil zieml. breit, Winkel zur Basis 97°26' — 97°37'.
— 220	2	357		als Streifung auf dem Orthopinakoid beobachtet.	67	—	220	1	354	ziemlich breit.
— 200	3	357		an einem Kryst. ziemlich breit, an 2 andern schmal.	68	—	170	1	354	etwas breiter, als sonst die selteneren Hemidom. zu sein pflegen.
— 180	3	357		schmal.	69	—	30	1	354	ziemlich breit und matt.
— 160	3	357		2mal schmal als Streifung auf dem Orthopinakoid und einmal ziemlich breit entwickelt.	70	—	130	1	353	ohne Angabe der Flächen-Beschaffenheit.
— 150	1	357		als Streifung auf dem Orthopinakoid beobachtet.	71	—	30	1	353	ziemlich breit, aber matt.
— 140	2	357		schmal.	72	—	220	3	353	schmal.
— 130	7	357		ziemlich breit, meist glänzend, aber auch matt.	73	—	120	3	353	schmal.
— 120	4	357		schmal, zuweilen breit.	74	—	20	4	353	ganz schmal und glänzend, nur einmal breit u. matt. [d = 20'.]
— 110	4	357		schmal.	75	—	20	3	353	schmal. [d = 19'.]
— 100	3	356		schmal.	76	—	200	2	353	ziemlich breit. [d = 10'.]
	374			klein, Messung. approximativ.	77	—	130	1	353	schmal.
— 90	5	356		gewöhnlich nur als Streifung auf dem Orthopinakoid.	78	—	170	1	353	ziemlich breit. [Δ = 12'.]
— 80	4	356		gewöhnlich schmal oder als Streifung einmal auch ziemlich breit. [d = 19'.]	79	—	230	2	352	neben — 20 einmal schmal, einmal breit.
— 70	4	356		einmal etwas breiter, aber von matter Beschaffenheit.	80	—	130	2	352	trotz matten Aussehens und Kleinheit der Flächen Messungen ziemlich genau.
— 270	3	356		schmal; dürfte mit diesem Zeichen zu belegen sein.	81	—	110	1	352	über Flächen-Beschaffenheit keine Angabe.
— 250	3	356		an 2 Kryst. ziemlich schmal, an dem dritten breit u. matt.	82	—	20	1	352	schmal.
— 60	2	356		einmal breit, einmal schmal.						
	374			approx. gemessen.						

(Fortsetzung S. 566.)

*Bemerkungen.* (Fortsetzung von S. 565.)

No.	Buchstabe.	Symbol.	Zahl d. Beob.	Seite.	Beschaffenheit der Flächen.	No.	Buchstabe.	Symbol.	Zahl d. Beob.	Seite.	Beschaffenheit der F	
83	—	$\frac{7}{4}0$	1	352	über Flächen - Beschaffenheit keine Angabe.	104	—	$\frac{5}{8}0$	1	348	schmal.	
				362	ohne nähere Angabe.					374	nur annähernde Messchen klein.	
84	—	$\frac{17}{10}0$	3	352	einmal matt, die andern Male glänzend.	105	—	$\frac{9}{11}0$	2	348	ganz schmal.	
85	—	$\frac{5}{3}0$	3	352	über Flächen - Beschaffenheit keine Angabe.	106	—	$\frac{11}{14}0$	3	347	zum Theil schmale Theil Streifung.	
86	—	$\frac{8}{3}0$	1	351	schmal. [ $\Delta = 10'$ .]	107	—	$\frac{29}{2}0$	6	347	bald schmal, bald zu bald als Streifung.	
87	F	$\frac{17}{7}0$	1	351	schmal; dürfte mit ziemlicher Sicherheit als (11.0.7) zu deuten sein.	108	—	$\frac{8}{11}0$	4	347	zum Theil breit.	
				1	396	ohne nähere Angabe.	109	—	$\frac{3}{2}0$	5	346	schmale Fläche. [d
							110	—	$\frac{13}{20}0$	4	346	schmal. [d = 24']; 4 welche d. berechne 44°32' verhältnissm nahe kommen.
88	—	$\frac{11}{10}0$	1	351	schmal.	111	—	$\frac{7}{11}0$	7	346	tritt in Gestalt ziem oder auch schmal auf d. grösseren l Hemidomenfläche	
89	—	$\frac{17}{10}0$	1	351	ziemlich breit. [ $\Delta = 11'$ .]					1	394	als oscillator. Strei
90	—	$\frac{7}{2}0$	3	350	keine Angabe über Flächen - Beschaffenheit.							Winkelangabe].
				1	394	als oscillator. Streifung [ohne Winkelangabe].	112	—	$\frac{8}{3}0$	6	346	schmal.
91	—	$\frac{17}{10}0$	1	350	nicht sehr schmal; etwas matt.	113	—	$\frac{13}{21}0$	4	345	schmal, wohl auch als schmale Fläch	
92	—	$\frac{2}{3}0$	5	350	theils schmal und nur als Streifung, theils ziemlich breit ausgebildet. [d = 24'.]	114	—	$\frac{2}{3}0$	3	345	Streifung auf der Hemidomenfläche men eben; ziemlic flexe.	
				378								schmal, nur einma breit; theils glän matt.
93	—	$\frac{8}{7}0$	3	350	schmal; der eine der 3 Reflexe sehr verwaschen.							ziemlich breit.
				363	schmal, fein gestreift und matt.	115	—	$\frac{11}{13}0$	4	345	schmal, nur einma breit; theils glän matt.	
94	—	$\frac{2}{3}0$	1	349	schmal.	116	—	$\frac{4}{7}0$	1	345	ziemlich breit.	
95	—	$\frac{11}{10}0$	1	349	schmal.					1	405	schmal.
96	—	$\frac{14}{13}0$	1	349	schmal.	117	—	$\frac{2}{3}0$	5	345	3mal schmal, 2mal e	
				1	394	als oscillator. Streifung [ohne Winkelangabe].	118	—	$\frac{6}{11}0$	3	345	an 1 Kryst. breit, a dern schmal.
97	—	$\frac{28}{3}0$	1	349	schmal.					1	394	als oscillator. Strei
98	—	$\frac{19}{17}0$	3	349	schmal und als Streifung auf dem benachbart. Hemidoma — 10.	119	—	$\frac{8}{13}0$	7	344	Winkelangabe].	
99	—	$\frac{14}{14}0$	1	349	schmal.	120	—	$\frac{11}{11}0$	1	344	an 7 Kryst., welche auch — $\frac{1}{2}0$ zeigt	
100	—	$\frac{9}{10}0$	4	348	an 3 Kryst. schmal, aber recht glänzend u. lieferte deutliche Reflexe; am 4. Kryst. etwas breiter, aber Winkel mehr abweichend.							an 3 Kryst., welche g auch — $\frac{1}{2}0$ zeigen.
101	—	$\frac{5}{3}0$	3	348	schmale Fläche.							Daneben noch m chen zwischen — — $\frac{1}{2}0$ .
102	—	$\frac{13}{13}0$	4	348	schmale Streifung auf den benachbarten grösseren Hemidomen. [d = 17'.]	121	—	$\frac{7}{12}0$	1	344	ganz schmal, nur ein — $\frac{1}{2}0$ .	
103	—	$\frac{11}{13}0$	3	348	ganz schmal. [d = 23½'.]							

(Fortsetzung S. 56



Bemerkungen. (Fortsetzung von S. 566.)

Buchstabe.	Symbol.	Zahl d. Beob.	Seite.	Beschaffenheit der Flächen.	No.	Buchstabe.	Symbol.	Zahl d. Beob.	Seite.	Beschaffenheit der Flächen.
2	— $\frac{5}{11}$ o	1	344	nach Bd. 3 S. 661 zu streichen.	135	— $+\frac{1}{3}$ o	1	396	ohne Angabe d. Fl.-Beschaffenheit; in Zone (010-113).	
3	— $\frac{5}{9}$ o	?	374	ohne Angabe über Flächen-Beschaffenheit.	136	— $+\frac{11}{15}$ o	1	359	schmal, vollkommen eben und spiegelnd.	
4	— $\frac{30}{16}$ o	1	344	schmal.	137	— $+\frac{5}{6}$ o	1	359	schmal.	
5	— $\frac{3}{16}$ o	1	343	sehr schmal.	138	— $+\frac{2}{9}$ o	1	359	schmal.	
		1	393	ohne Angabe der Flächen-Beschaffenheit. [ $\Delta = 18'$ ]	139	— $+\frac{11}{15}$ o	1	359	breit, stark gestreift.	
	— $\frac{1}{7}$ o	1	343	schmal; Winkel annähernd bestimmt, schwach Krümmung.	140	— $+\frac{2}{3}$ o	1	359	schmal.	
	— $\frac{1}{8}$ o	1	393	ohne Angabe der Flächen-Beschaffenheit.	141	— $+\frac{13}{14}$ o	1	359	schmal, ziemlich glänzend.	
	— $\frac{1}{9}$ o	1	343	schmal; Messung zieml. genau.	142	— $+\frac{7}{2}$ o	1	386	schmal und etwas matt.	
	— $\frac{1}{9}$ o	1	377	sehr klein.				390	ohne Angabe der Flächen-Beschaffenheit.	
	— $\frac{1}{16}$ o	2	343	1 mal schmal, etwas gerundet; am 2. Kryst. als Streifung auf der Basis.	143	— $+\frac{1}{6}$ o	1	358	schmal, etwas matt; Messung approximativ.	
	— $\frac{1}{18}$ o	?	374	ohne Angabe der Flächen-Beschaffenheit.	144	— $+\frac{9}{10}$ o	1	363	ganz schmal.	
	— $+\frac{1}{25}$ o	2	360	verhältnissmässig breit.	145	— $+\frac{12}{10}$ o	1	387	schmal und etwas matt.	
	— $+\frac{1}{16}$ o	1	360	sehr schmal.				390	ohne Angabe der Flächen-Beschaffenheit.	
	— $+\frac{2}{9}$ o	1	393	ohne Angabe der Flächen-Beschaffenheit.	146	— $+\frac{13}{10}$ o	1	358	schmal. [Messung würde besser mit $+\frac{12}{10}$ stimmen.]	
	— $+\frac{1}{4}$ o	3	359	schmal. [ $d = 30'$ ]	147	— $+\frac{17}{10}$ o	1	358	als Streifung auf dem Orthopinakoid.	
					148	— $+\frac{18}{10}$ o	1	363	etwas breiter als $+\frac{9}{10}$ .	

Correcturen siehe S. 568.

Correcturen.

<i>Hartmann Handb.</i>	1828	Seite 48	Zeile 9	vu lies	$\frac{Pr-1}{(P)^2}$	statt	$\frac{Pr-1}{(P)^2}$
"	"	"	14	"	$\frac{1}{2}$	"	$\frac{1}{2}$
"	"	"	6	"	$\frac{1}{11}a : \frac{1}{2}b : c$	"	$\frac{1}{11}a : \frac{1}{2}b : c$
<i>Zepharovich Wien. Sitzb.</i>	1862	45(1)	388	Col. 3	$\frac{(P-1)^2}{2}$	"	$\frac{(P-2)^2}{2}$
"	"	"	162	6 vu	221	"	321
"	"	"	6	"	$b^2 \cdot 221$	"	$b^2 \cdot 321$
<i>Schrauf</i>	1871	64(1)	163	15	102	"	102
"	"	"	"	13	m 100	"	m 100
"	"	"	"	13	M	"	m
"	"	"	"	7	zuzufügen: $y = \frac{1}{11}a : \frac{1}{2}b : c$ (Weiss)		
"	"	"	"	6	$q = \frac{1}{11}a : \frac{1}{2}b : c$ (Weiss)		
"	"	"	164	12 vu lies	$\frac{1}{2}(B)$	statt	$\frac{1}{2}(B)$
"	"	"	"	20 vu	$0^2, 105, -\frac{1}{2}P\infty$	"	$0^2, 103, \frac{1}{2}P$
"	"	"	"	11	$\frac{1}{2}P4$	"	$\frac{1}{2}P4$
"	"	"	"	10	141	"	141
"	"	"	"	4	$\frac{1}{2}P2$	"	$\frac{1}{2}P2$
"	"	"	"	2	111	"	111
"	"	"	165	Z. 1 d. Tab. vo	101	"	101
"	"	"	"	3	302	"	302
"	"	"	"	5	201	"	201
"	"	"	"	8	103	"	103
"	"	"	"	9	T	"	t (Weiss)
"	"	"	"	14	101	"	101
"	"	"	"	19	211	"	211
"	"	"	"	Zeile 2 vu	$\frac{1}{2}a : \frac{1}{2}b : c$	"	$\frac{1}{2}a : \frac{1}{2}b : c$
"	"	"	"	23	zuzufügen $e = a : 2b : \infty c$ (Weiss)		
"	"	"	167	Z. 3 d. Tab. vo lies	111	statt	111
"	"	"	166	11	1-10-1	"	1-10-1
"	"	"	"	13	310	"	310
"	"	"	"	17	$x \cdot 521 - 5P\frac{1}{2}$	"	$x \cdot 541 - 5P\frac{1}{2}$
"	"	"	"	18	732	"	732
"	"	"	176	Zeile 5 vu	111	"	111
"	"	"	166	2	$\omega, \tau, \upsilon$	"	$\omega, \tau, \upsilon$
"	"	"	177	11 vo	$\lambda (21 \cdot 5 \cdot 24)$	"	$5 \cdot 21 \cdot 24$
"	"	"	"	4	$-\frac{1}{2}P\frac{1}{2}$	"	$\frac{1}{2}P\frac{1}{2}$
<i>Brezina Min. Mith.</i>	1871	1	50	15, 20	T	"	r
"	"	"	"	17, 19	r	"	T
"	"	"	51	22	$i y P q' y' i'$	"	$l y P q' y' l$
<i>Bücking Zeitschr. Kryst.</i>	1878	2	358	15, 17 vu	(17-0-1)	"	(17-0-1)
"	"	"	377	15 vo	(13-0-14)	"	(13-0-14)
"	"	"	410	11	a	"	a
"	"	"	414	19 vu	Becker	"	"
"	"	"	"	18	Bücking	"	"
<i>Kokscharow (Sohn) Gen. Mess. an Epid.</i>	1879	Seite 88	Zeile 4	vu lies	$\frac{1}{2}$	statt	$\frac{1}{2}$

**Epistilbit.****Monoklin.****Axenverhältnisse.**

$$a : b : c = 0.5061 : 1 : 0.5763 \quad \beta = 124^\circ 03' \text{ (Trechmann I. Gdt.)}$$

$$a : b : c = 0.5043 : 1 : 0.5801 \quad \beta = 125^\circ 07' \text{ (Tenne.)}$$

$$" = 0.5119 : 1 : 0.5739 \quad \beta = 124^\circ 11' \text{ (Lüdecke. Reissit.)}$$

$$[a : b : c = 0.4194 : 1 : 0.2881 \quad \beta = 90^\circ 40' \text{ (Trechmann II.)}]$$

$$[ " = 0.4125 : 1 : 0.2900 \quad \beta = 90^\circ ] \text{ (Groth.)}$$

**Rhombisch.**

$$\{a : b : c = 0.4125 : 1 : 0.2900\} \text{ (Rose. Mohs-Zippe. Hausmann. Miller. Des Cloizeaux (1862). Dana. Websky.)}$$

$$\{ " = 0.411 : 1 : 0.295 \} \text{ (Lévy.)}$$

**Elemente.**

$a = 0.5061$	$\lg a = 970424$	$\lg a_0 = 994359$	$\lg p_0 = 005641$	$a_0 = 0.8782$	$p_0 = 1.1387$
$c = 0.5763$	$\lg c = 976065$	$\lg b_0 = 023935$	$\lg q_0 = 967897$	$b_0 = 1.7352$	$q_0 = 0.4775$
$\mu = \left. \begin{matrix} 55^\circ 57' \\ 180 - \beta \end{matrix} \right\}$	$\left. \begin{matrix} \lg h = \\ \lg \sin \mu \end{matrix} \right\} 991832$	$\left. \begin{matrix} \lg e = \\ \lg \cos \mu \end{matrix} \right\} 974812$	$\lg \frac{p_0}{q_0} = 037744$	$h = 0.8286$	$e = 0.5599$

**Transformation.**

Rose. Mohs-Zippe. Lévy. Hausmann. Miller. Descl. (1862). Dana. Websky. Groth. Trechm. II.	Tenne. Lüdecke. Trechmann I.
$p q$	$\frac{p-1}{2} \frac{q}{2}$
$(2p+1) 2q$	$p q$

No.	Gdt.	Rose. Mohs. Zippe. Hausmann. Trechmann. Websky. Tenne.	Miller.	Quenst.	Miller.	Naum.	[Hausm.]	[Mohs] [Zippe] (1862)	[Lévy.] [Descl.]	Descl. 1879.	Gdt.
1	t	t	t	t	001	o P	D'	$\bar{P}r$	$a^1$	p	o
2	r	r	—	—	010	$\infty P \infty$	B	$\bar{P}r + \infty$	$g^1$	$g^1$	$o \infty$
3	m	M	m	z	110	$\infty P$	E	$P + \infty$	m	m	$\infty$
4	u	u	u	n	011	$P \infty$	$BD'2$	$(P)^{2*}$	$e_3$	$e^1$	o 1
5	c	—	—	—	101	$+ P \infty$	—	—	—	$a^1$	— 1 o
6	s	s	s	v	112	$+ \frac{1}{2} P$	D	$\bar{P}r$	$e^1$	$b^1$	— $\frac{1}{2}$
7	p	—	—	—	111	$+ P$	—	—	—	$b^{\frac{1}{2}}$	— 1

\*) nicht  $(\bar{P}-1)^2$  s. Bemerkungen.



Literatur.

Rosa	Pogg. Ann.	1826	6	183
Hartmann	Handb.	1828	—	340
Lévy	Descr.	1838	2	248
Mohs-Zippe	Min.	1839	2	270
Hausmann	Handb.	1847	2	(1) 766
Miller	Min.	1852	—	441
Des Cloizeaux	Manuel	1862	1	422
Websky	D. Geol. Ges.	1869	21	100
Hessenberg	Senck. Abh.	1870	7	278 (Min. Not. 9, 22) Reissit
Dana	System	1873	—	443
Quenstedt	Min.	1877	—	407
Groth	Strassb. Samml.	1878	—	239
Des Cloizeaux	Bull. soc. min.	1879	2	161
"	Zeitschr. Kryst.	1880	4	412
Tenne	Jahrb. Min.	1880	1	285
"	Zeitschr. Kryst.	1882	6	100
Lüdecke	Jahrb. Min.	1881	1	162
"	Zeitschr. Kryst.	1882	6	315
Groth	Tab. Uebers.	1882	—	114
Hintze	Zeitschr. Kryst.	1884	8	605.

Bemerkungen.

Bei Mohs-Zippe (Min. 1839. 2. 270) sind die Elemente aus den gegebenen Winkeln und Parameterverhältnissen nicht im Einklang. Die letzteren Angaben sind richtig, wenn die beiden Wurzelwerthe vertauscht; die Winkel dagegen bedürfen der Correctur, wie Hausmann (Handb. 1847. 2. (1) 767) angebracht hat. Danach muss es heissen:

$$P = 153^{\circ}18' ; 111^{\circ}56' ; 74^{\circ}31'$$

$$a : b : c = 1 : \sqrt{11.886} : \sqrt{2.022}$$

Bei Mohs-Zippe findet sich die Angabe:  $(P-1)^2 (u) = 149^{\circ}27' ; 142^{\circ}41' ; 49^{\circ}0'$ . Nicht richtig ist, obwohl Symbol und Winkel übereinstimmen. Die Form ist wie die übliche von G. Rose entlehnt (Pogg. Ann. 1826. 6. 183), wo es heisst:

$$u = a : \frac{1}{2}b : c \quad \text{Beob.: } t : u = 154^{\circ}51'.$$

Danach ist sicher:  $u = 12 (121)$  und bei Mohs-Zippe zu corrigiren:

$$(P)^2 = 129^{\circ}14' ; 117^{\circ}23' ; 84^{\circ}42'$$

wie es Hausmann angiebt.

Die von Groth (Tab. Uebers. 1882. 114) vorgeschlagene Aufstellung ist die alte Aufstellung von Rose (1826). Ob zu dieser zurückzukehren sei, lässt sich aus den bis jetzt liegenden Daten nicht feststellen. Es möge jedoch darauf hingewiesen werden, dass Winkel  $\beta = 124-125^{\circ}$  auch beim Harmotom und Philippsit sich findet.

Correcturen.

Mohs-Zippe	Min.	1830	2	Seite	270	Zeile	10	vu	lies $(\bar{P})^2 = 129^{\circ}14'; 117^{\circ}23'; 84^{\circ}42'$ statt $(\bar{P}-1)^2 = 149^{\circ}27'; 142^{\circ}41'; 49^{\circ}0'$
"	"	"	"	"	"	"	13	"	lies $P = 153^{\circ}18'; 111^{\circ}56'; 74^{\circ}31'$ statt $P = 153^{\circ}36'; 111^{\circ}59'; 74^{\circ}2'$
"	"	"	"	"	"	"	12	"	lies $1 : \sqrt{11.886} : \sqrt{2.022}$ statt $1 : \sqrt{2.022} : \sqrt{11.886}$
Kobell	Geol. d. Min.	1864	—	"	480	"	6	lies	1826 statt 1827
Dana	System	1873	—	"	443	"	2	"	0.703 " 1.422

Epsomit.

Rhombisch.

Axenverhältnisse.

a : b : c = 0.9901 : 1 : 0.5709 (Miller. Dana. Schrauf. Groth. Gdt.)

a : b : c = 0.9918 : 1 : 0.5713 (Mohs-Zippe. Hausmann.)

Elemente.

a = 0.9901	lg a = 999568	lg a <sub>0</sub> = 023912	lg p <sub>0</sub> = 976088	a <sub>0</sub> = 1.7343	p <sub>0</sub> = 0.5766
c = 0.5709	lg c = 975656	lg b <sub>0</sub> = 024344	lg q <sub>0</sub> = 975656	b <sub>0</sub> = 1.7516	q <sub>0</sub> = 0.5709

No.	Miller Gdt.	Mohs. Zippe. Hausm.	Hartm.	Haüy.	Miller.	Naumann.	Haus- mann.	Mohs. Hartmann. Zippe.	Haüy.	Gdt.
1	a	o	o	o	010	∞P <sub>∞</sub>	B	P <sub>r</sub> +∞	<sup>1</sup> G <sup>1</sup>	∞∞
2	b	p	p	o	100	∞P <sub>∞</sub>	B'	P <sub>r</sub> +∞	<sup>1</sup> G <sup>1</sup>	∞0
3	m	M	M	M	110	∞P	E	P+∞	M	∞
4	f	f	μ	s	120	∞P <sub>2</sub>	BB' <sub>2</sub>	(P <sub>r</sub> +∞) <sup>2</sup> ·(P+∞) <sup>2</sup>	<sup>3</sup> G <sup>3</sup>	∞2
5	v	n	n	—	011	P <sub>∞</sub>	B	P <sub>r</sub>	—	01
6	r	r	r	r	021	2P <sub>∞</sub>	BA <sub>2</sub> <sup>1</sup>	P <sub>r</sub> +1	<sup>2</sup> A	02
7	n	m	m	—	101	P <sub>∞</sub>	D'	P <sub>r</sub>	—	10
8	x	q	q	r	201	2P <sub>∞</sub>	B'A <sub>2</sub> <sup>1</sup>	P <sub>r</sub> +1	<sup>2</sup> A	20
9	z	l	l	l	111	P	P	P	<sup>1</sup> B	1
10	t	t	t	—	121	2P <sub>2</sub>	BD' <sub>2</sub>	(P <sub>r</sub> ) <sup>3</sup> =(P) <sup>2</sup>	—	12
11	s	s	s	—	211	2P <sub>2</sub>	B'D <sub>2</sub>	(P <sub>r</sub> ) <sup>3</sup> =(P) <sup>2</sup>	—	21

Literatur.

<i>Hauy</i>	<i>Traité Min.</i>	1822	2	51
<i>Mohs</i>	<i>Grunde.</i>	1824	2	59
<i>Hartmann</i>	<i>Handb.</i>	1828	—	61
<i>Mohs-Zippe</i>	<i>Min.</i>	1839	2	51
<i>Hausmann</i>	<i>Handb.</i>	1847	2	(2) 1185
<i>Miller</i>	<i>Min.</i>	1852	—	546
<i>Schrauf</i>	<i>Wien. Sitzb.</i>	1860	39	903
<i>Rouville</i>	<i>Compt. rend.</i>	1878	87	703
<i>Gröth</i>	<i>Tab. Uebers.</i>	1882	—	54

Bemerkungen.

Rouville giebt (Compt. rend. 1878. 87. 703) für natürliche Krystalle die Form  $g^1 a^2 c^2$ , die er beim ersten Anblick zu erkennen glaubte, jedoch ohne Angabe der Elemente  $a^2$  wurde neu sein; ein Symbol  $c^2$  kommt im rhombischen System nicht vor. Es konnte danach Rouville's Zeichen nicht aufgenommen werden.

Hauy betrachtete den Epsomit als tetragonal.

Correcturen.

<i>Hartmann</i>	<i>Handb.</i>	1828	—	Seite 62	Zeile 1	wo lies	$\bar{Pr} + \infty$	statt	$\bar{Pr}$
<i>Mohs-Zippe</i>	<i>Min.</i>	1839	2	—	51	— 15 —	55	—	54

Erythrosiderit.

Rhombisch.

Axenverhältnisse.

$a : b : c = 0.7014 : 1 : 0.6754$  (Gdt.)

$[a : b : c = 0.6754 : 1 : 0.7014]$  (Scacchi.)

Elemente.

$= 0.7014$	$\lg a = 984597$	$\lg a_0 = 001641$	$\lg p_0 = 998359$	$a_0 = 1.0385$	$p_0 = 0.9629$
$= 0.6754$	$\lg c = 982956$	$\lg b_0 = 017044$	$\lg q_0 = 982956$	$b_0 = 1.4806$	$q_0 = 0.6754$

Transformation.

Scacchi.	Gdt.
$p\ q$	$\frac{1}{p} \ \frac{q}{p}$
$\frac{1}{p} \ \frac{q}{p}$	$p\ q$

No.	Gdt.	Scacchi.	Miller.	Naumann.	Gdt.
1	b	B	001	o P	o
2	n	n	011	$\bar{P} \infty$	o 1
3	e	e	101	$\bar{P} \infty$	1 o
4	d	d	201	2 $\bar{P} \infty$	2 o

Literatur.

Scacchi Napoli Att. Ac. 1874 (1873) 6 Sep. Seite 42.

Ettringit.

Hexagonal-holoedrisch.

Axenverhältniss.

$a:c = 1:0.817$  ( $G_1$ )  
(1)

$[a:c = 1:0.4717]$  ( $G_2$ )  
(1)

$\{a:c = 1:0.9434\}$  (Lehmann.)  
(10)

Elemente.

$c = 0.817$	$\lg c = 991222$	$\lg a_o = 032634$ $\lg a'_o = 008778$	$\lg p_o = 973613$	$a_o = 2.1200$ $a'_o = 1.2240$	$p_o = 0.5447$
-------------	------------------	---	--------------------	-----------------------------------	----------------

Transformation.

Lehmann.	$G_1$	$G_2$
$p\ q$	$2\ p \cdot 2\ q$	$2\ (p+2q)\ 2\ (p-q)$
$\frac{p}{2}\ \frac{q}{2}$	$p\ q$	$(p+2q)\ (p-q)$
$\frac{p+2q}{6}\ \frac{p-q}{6}$	$\frac{p+2q}{3}\ \frac{p-q}{3}$	$p\ q$

No.	Gdt.	Miller.	Bravais.	Naumann.	$G_1$	$G_2$
1	o	111	0001	o P	o	o
2	a	211	1010	$\infty$ P	$\infty$ o	$\infty$
3	p	100	1011	P	1 o	1
4	q	111	2021	2 P	2 o	2

Ettringit.

Literatur.

Lehmann, J.	Jahrb. Min.	1874	—	273	
"	Niederrhein. Gesellsch.	1874	31	1	
Dana	System Append. 2,	1875	—	19.	

# Euchroit.

## Rhombisch.

### Axenverhältnisse.

$$a : b : c = 0.586 : 1 : 0.963 \text{ (Gdt.)}$$

$$[a : b : c = 0.6088 : 1 : 1.038] \text{ (Haidinger. Mohs. Hartmann. Zippe. Des Cloizeaux. Hausmann. Miller.)}$$

$$\{a : b : c = 0.963 : 1 : 0.586\} \text{ (Schrauf. Dana.)}$$

### Elemente.

$a = 0.586$	$\lg a = 976790$	$\lg a_0 = 978427$	$\lg p_0 = 021573$	$a_0 = 0.6085$	$p_0 = 1.6434$
$c = 0.963$	$\lg c = 998363$	$\lg b_0 = 001637$	$\lg q_0 = 998363$	$b_0 = 1.0384$	$q_0 = 0.9630$

### Transformation.

Haidinger. Mohs. Hartm. Zippe. Haus- mann. Miller. Descloizeaux.	Schrauf. Dana.	Gdt.
$p \ q$	$\frac{q}{p} \ \frac{1}{p}$	$\frac{p}{q} \ \frac{1}{q}$
$\frac{1}{q} \ \frac{p}{q}$	$p \ q$	$\frac{1}{p} \ \frac{q}{p}$
$\frac{p}{q} \ \frac{1}{q}$	$\frac{1}{p} \ \frac{q}{p}$	$p \ q$

No.	Miller. Gdt.	Haid. Mohs. Zippe. Hartm. Hausm.	Miller.	Naumann.	[Haus- mann.]	[Haidinger.] [Mohs.] [Hartmann.] [Zippe.]	[Descl.]	Gdt.
1	a	k	001	oP	B	$\check{P}r + \infty$	$g^1$	o
2	c	P	010	$\infty \check{P} \infty$	A	$P - \infty$	—	$o \infty$
3	n	n	011	$\check{P} \infty$	D	$\check{P}r$	$e^1$	o 1
4	l	l	102	$\frac{1}{2} P \infty$	$BB^1_2$	$(\check{P}r + \infty)^3 (\check{P} + \infty)^2$	$g^3$	$\frac{1}{2} o$
5	s	s	203	$\frac{2}{3} \check{P} \infty$	$BB^1_{\frac{2}{3}}$	$(\check{P}r + \infty)^3 (\check{P} + \infty)^{\frac{2}{3}}$	$g^3$	$\frac{2}{3} o$
6	m	M	101	$P \infty$	E	$P + \infty$	m	1 o



Literatur.

<i>Haidinger</i>	<i>Edinb. Journ.</i>	1825	2	133
"	<i>Schweigger Journ.</i>	1825	45	231
"	<i>Pogg. Ann.</i>	1825	5	165
<i>Hartmann</i>	<i>Handb.</i>	1828	—	494
<i>Mohs-Zippe</i>	<i>Min.</i>	1839	2	174
<i>Des Cloizeaux</i>	<i>Ann. chim. phys.</i>	1845 (3)	13	423
<i>Hausmann</i>	<i>Handb.</i>	1847	2	(2) 1029
<i>Miller</i>	<i>Min.</i>	1852	—	510
<i>Schrauf</i>	<i>Wien. Sitzb.</i>	1860	39	890
<i>Dana</i>	<i>System</i>	1873	—	566
<i>Groth</i>	<i>Strassb. Samml.</i>	1878	—	170.

# Eudialyt.

Hexagonal. Rhomboedrisch - hemiedrisch.

Axenverhältnisse.

$$a : c = 1 : 2 \cdot 1116 \text{ (G}_2\text{.)}$$

(1)

$$a : c = 1 : 2 \cdot 121 \text{ (Mohs. Zippe.)}$$

$$= 1 : 1 \cdot 2113 \text{ (Nordenskjöld.)}$$

$$\left[ \begin{smallmatrix} a : c \\ (10) \end{smallmatrix} = 1 : 2 \cdot 116 \right] \text{ (Miller. Kokscharow. Des Cloizeaux. Lang = G}_1\text{.)}$$

$$\left[ \begin{smallmatrix} a : c \\ (10) \end{smallmatrix} = 1 : 2 \cdot 121 \right] \text{ (Hausmann. Lévy.)}$$

$$\left\{ \begin{smallmatrix} a : c \\ (10) \end{smallmatrix} = 1 : 0 \cdot 5279 \right\} \text{ (Dana.)}$$

Elemente.

$c = 2 \cdot 1116$	$\lg c = 032461$	$\lg a_0 = 991395$ $\lg a'_0 = 967539$	$\lg p_0 = 014852$	$a_0 = 0 \cdot 8203$ $a'_0 = 0 \cdot 4736$	$p_0 = 1 \cdot 4078$
--------------------	------------------	---	--------------------	---	----------------------

Transformation.

Dana.	Lévy. Hausmann. Miller. Kokscharow. Des Cloizeaux. Lang = G <sub>1</sub> .	Mohs-Zippe. Nordenskjöld = G <sub>2</sub> .
$p \ q$	$\frac{p}{4} \ \frac{q}{4}$	$\frac{p+2q}{4} \ \frac{p-q}{4}$
$4 \ p \cdot 4 \ q$	$p \ q$	$(p+2q) \ (p-q)$
$\frac{4}{3} (p+2q) \ \frac{4}{3} (p-q)$	$\frac{p+2q}{3} \ \frac{p-q}{3}$	$p \ q$

Gdt.	Miller. (1852) Kok. Lang.	Mohs. Hartm. Hausm.	Miller. (1840)	Nordsk.	Miller.	Bravais.	Naum.	Haus- mann.	Mohs. Hartm. Zippe.	Lévy. Descl.	G <sub>1</sub>	G <sub>2</sub>	E = $\frac{p-1}{3} \ \frac{q-1}{3}$	
o	o	o	o	o	111	0001	o R	A	R—∞	a <sup>1</sup>	o	o	—	—
a	a	u	u	b	101	1120	∞P <sub>2</sub>	B	P+∞	d <sup>1</sup>	∞	∞o	—	—
b	b	c	c	a	211	1010	∞R	E	R+∞	e <sup>2</sup>	∞o	∞	—	—
π	n	—	—	p	210	1123	$\frac{4}{3} P_2$	—	—	—	$\frac{1}{3}$	1 o	—	—
λ	—	—	—	r	311	2243	$\frac{4}{3} P_2$	—	—	—	$\frac{2}{3}$	2 o	—	—
p	r	p	p	—	100	1011	+ R	P	R	p	+ 1 o	+ 1	o	o
x	y	—	—	—	611	5058	+ $\frac{2}{3} R$	—	—	—	+ $\frac{2}{3} o$	+ $\frac{5}{8}$	—	$\frac{1}{8}$
f	—	—	—	—	411	1012	+ $\frac{1}{2} R$	AH <sub>2</sub>	—	—	+ $\frac{1}{2} o$	+ $\frac{1}{2}$	—	$\frac{1}{6}$
d	z	z	z	—	211	1014	+ $\frac{1}{2} R$	AH <sub>4</sub>	—	a <sup>2</sup>	+ $\frac{1}{4} o$	+ $\frac{1}{4}$	—	$\frac{1}{4}$
α	h	—	—	—	221	1015	— $\frac{1}{3} R$	—	—	—	— $\frac{1}{3} o$	— $\frac{1}{3}$	—	$\frac{2}{3}$
β	e	b <sup>1</sup>	x	—	110	1012	— $\frac{1}{2} R$	G	R—1	b <sup>1</sup>	— $\frac{1}{2} o$	— $\frac{1}{2}$	—	$\frac{1}{2}$
φ	s	e <sup>1</sup>	s	—	111	2021	— 2 R	FA $\frac{1}{2}$	—	e <sup>1</sup>	— 2 o	— 2	—	1
H:	—	—	—	—	301	3142	+ R <sup>2</sup>	—	—	—	+ $\frac{3}{2} \frac{1}{2}$	+ $\frac{5}{2} 1$	+ $\frac{1}{2} o$	—
K:	t	—	t	—	201	2132	+ R <sup>3</sup>	—	—	d <sup>2</sup>	+ 2 1	+ 4 1	+ 1 o	—

Literatur.

Mohs	Grundr.	1824	2	646
Hartmann	Handwb.	1828	—	168
Lévy	Descr.	1838	1	412
Mohs-Zippe	Min.	1839	2	326
Miller	Pogg. Ann.	1840	50	522
Hausmann	Handb.	1847	2	(1) 891
Miller	Min.	1852	—	357
Des Cloizeaux	Manuel	1862	1	160
Lang	Phil. Mag.	1863 (4)	25	436
Nordenskjöld	Vet. Ac. Förh.	1870	—	559
Dana	System	1873	—	245
Kokscharow	Mat. Min. Russl.	1878	8	29
"	Zeitschr. Kryst.	1879	3	439.

Correcturen.

Kobell *Gesch. d. Min.* 1864 Seite 553 Zeile 10 vo lies 1847 statt 1848.

Eudnophit.

Rhombisch.

Axenverhältnisse.

$a : b : c = 0.6394 : 1 : 0.5773$  (Gdt.)

$[a : b : c = 0.5773 : 1 : 0.6394]$  (Des Cloizeaux.)

Elemente.

$a = 0.6394$	$\lg a = 980577$	$\lg a_0 = 004437$	$\lg p_0 = 995563$	$a_0 = 1.1076$	$p_0 = 0.9029$
$c = 0.5773$	$\lg c = 976140$	$\lg b_0 = 023860$	$\lg q_0 = 976140$	$b_0 = 1.7322$	$q_0 = 0.5773$

Transformation.

Des Cloizeaux.	Gdt.
$p\ q$	$\frac{1}{p}\ \frac{q}{p}$
$\frac{1}{p}\ \frac{q}{p}$	$p\ q$

No.	Miller. Gdt.	Weibye.	Miller.	Naumann.	[Descl.]	Gdt.
1	b	—	001	o P	—	o
2	a	s	010	∞ P ∞	g	o ∞
3	c	—	100	∞ P ∞	—	∞ o
4	m	d	011	P ∞	m	o 1
5	o	o	101	P ∞	a <sup>1</sup>	1 o

Literatur.

<i>Weibye</i>	<i>Pogg. Ann.</i>	1850	79	303
<i>Dana</i>	<i>Amer. Journ.</i>	1852 (2)	10	245
<i>Miller</i>	<i>Min.</i>	1852	—	447
<i>Des Cloizeaux</i>	<i>Manuel</i>	1862	1	395.

**Euklas.**

1.

**Monoklin.****Axenverhältnisse.**

$$a : b : c = 0.3332 : 1 : 0.3237 \quad \beta = 100^\circ 16' \text{ (Gdt.)}$$

$$[a : b : c = 0.3237 : 1 : 0.3332 \quad \beta = 100^\circ 16'] \text{ (Schabus, Des Cloizeaux, Kokscharow, Becke.)}$$

$$\{a : b : c = 0.6474 : 1 : 0.6664 \quad \beta = 100^\circ 16'\} \text{ (Dana.)}$$

$$(a : b : c = 0.6757 : 1 : 0.3316 \quad \beta = 108^\circ 53') \text{ (Mohs, Zippe, Hausmann, Miller.)}$$

$$[(a : b : c = 0.5043 : 1 : 0.4212 \quad \beta = 101^\circ 42')] \text{ (Rammelsberg I.)}$$

$$\{(a : b : c = 0.6303 : 1 : 0.6318 \quad \beta = 101^\circ 42')\} \text{ (Rammelsberg II. Groth.)}$$

$$[a : b : c = 0.7786 : 1 : 0.6632 \quad \beta = 124^\circ 50'] \text{ (Lévy.)}$$

**Elemente.**

a = 0.3332	lg a = 952270	lg a <sub>0</sub> = 001256	lg p <sub>0</sub> = 998744	a <sub>0</sub> = 1.0293	p <sub>0</sub> = 0.9715
c = 0.3237	lg c = 951014	lg b <sub>0</sub> = 048986	lg q <sub>0</sub> = 950313	b <sub>0</sub> = 3.0894	q <sub>0</sub> = 0.3185
$\mu = \begin{cases} 180 - \beta \\ 79^\circ 44' \end{cases}$	$\lg h = \begin{cases} 999299 \\ \lg \sin \mu \end{cases}$	$\lg e = \begin{cases} 925098 \\ \lg \cos \mu \end{cases}$	$\lg \frac{p_0}{q_0} = 048431$	h = 0.9840	e = 0.1782

**Transformation.**

(Siehe S. 587.)

Gdt.	Schab. Rambg. Kokscharow. Becke.	Miller.	Hauy. Hartm. Mohs. Zippe. Hausm.	Phill.	Miller.	Nau- mann.	[Hausm.]	[Mohs.] [Zippe.]	[Schabus.]	[Hauy.]	[Lévy.]	[Descl.]	Gdt.
M	M	q	M	T	001	oP	B'	$\bar{P}r + \infty$	$\bar{P}r + \infty$	—	h <sup>1</sup>	h <sup>1</sup>	o
T	T	b	T	P	010	$\infty P \infty$	B	$\bar{P}r + \infty$	$\bar{P}r + \infty$	T	g <sup>1</sup>	g <sup>1</sup>	o ∞
t	t	—	—	—	100	$\infty P \infty$	—	—	P—∞	—	—	p	∞ o
n	n	n	n	b <sub>2</sub>	110	$\infty P$	P'	—P	$\bar{P}r$	$\frac{1}{2} \frac{2}{1} \frac{1}{1}$ ABC	b <sup>1</sup>	e <sup>1</sup>	∞
O	—	—	—	—	6.11.0	$\infty P \frac{1}{2}$	—	—	—	—	—	e <sup>1</sup> <sub>1/2</sub>	$\infty \frac{1}{2}$
o	o	o	o	b <sub>1</sub>	120	$\infty P 2$	B $\bar{D}'_2$	—(P) <sup>2</sup>	$\bar{P}r + 1$	$\frac{1}{2}$ A	i''	e <sup>1</sup> <sub>2</sub>	∞ 2
q	q	—	—	—	130	$\infty P 3$	—	—	—	—	—	e <sup>1</sup> <sub>3</sub>	∞ 3
R	R	—	—	—	140	$\infty P 4$	—	—	—	—	—	e <sup>1</sup> <sub>4</sub>	∞ 4
H	H	—	—	—	160	$\infty P 6$	—	—	—	—	—	e <sup>1</sup> <sub>6</sub>	∞ 6
θ	θ	—	—	—	0.1.20	$\frac{1}{2} P \infty$	—	—	—	—	—	h <sup>1</sup> <sub>2/3</sub>	o $\frac{1}{2}$
η	η	—	—	—	0.1.16	$\frac{1}{3} P \infty$	—	—	( $\bar{P} + \infty$ ) <sup>16</sup>	—	—	h <sup>1</sup> <sub>3/5</sub>	o $\frac{1}{3}$
ζ	ζ	—	—	—	010	$\frac{1}{5} P \infty$	—	—	( $\bar{P} + \infty$ ) <sup>9</sup>	—	—	h <sup>1</sup> <sub>5</sub>	o $\frac{1}{5}$

(Fortsetzung S. 585.)

Literatur.

<i>Haüy</i>	<i>Mem. Mus. hist. nat.</i>	1819	5	278	
"	<i>Traité Min.</i>	1822	2	528	
<i>Mohs</i>	<i>Grundr.</i>	1824	2	358	
<i>Lévy</i>	<i>Edinb. phil. journ.</i>	1826	14	129	
"	<i>Pogg. Ann.</i>	1827	9	283	
<i>Hartmann</i>	<i>Handwb.</i>	1828	—	489	
<i>Phillips</i>	<i>Min.</i>	1837	—	98	
<i>Lévy</i>	<i>Descr.</i>	1838	2	88	
<i>Mohs-Zippe</i>	<i>Min.</i>	1839	2	351	
<i>Weiss, C. S.</i>	<i>Berl. Abh.</i>	1841	—	249	
<i>Hausmann</i>	<i>Handb.</i>	1847	2	(1) 601	
<i>Miller</i>	<i>Min.</i>	1852	—	335	
<i>Schabus</i>	<i>Wien. Sitzb.</i>	1852	8	507	
"	<i>Pogg. Ann.</i>	1853	88	608	
"	<i>Wien. Denkschr.</i>	1854	6	57	
<i>Kokscharow</i>	<i>Mat. Min. Ruasl.</i>	1858	3	97	
"	"	1862	4	51	
<i>Des Cloizeaux</i>	<i>Manuel</i>	1862	1	480	
<i>Rammelsberg</i>	<i>D. Geol. Ges.</i>	1869	21	807	
<i>Dana</i>	<i>System</i>	1873	—	379	
<i>Kulibin</i>	<i>Zeitschr. Kryst.</i>	1879	3	435	
"	<i>Verh. russ. Min. Ges.</i>	1879(2)	14	147	(Ural)
<i>Guyot</i>	<i>Zeitschr. Kryst.</i>	1881	5	250	(Boa Vista Brasil)
<i>Becke</i>	<i>Min. Petr. Mith.</i>	1882	4	147	
"	<i>Jahrb. Min.</i>	1882	2	Ref. 209	Alpen
<i>Groth</i>	<i>Tabell. Uebers.</i>	1882	—	85	
<i>Des Cloizeaux</i>	<i>Bull. soc. min.</i>	1882	5	317.	

*Bemerkungen* }  
*Correcturen* } s. S. 587 u. 588.

## 2.

idt.	Schab. Rambg. Koksche. Becke.	Miller.	Hauy. Hartm. Mohs. Zippe. Hausm.	Phill.	Miller.	Nau- mann.	[Hausm.]	[Mohs.] [Zippe.]	[Schabus.]	[Hauy.]	[Lévy.]	[Descl.]	Gdt.
<b>e</b>	<b>z</b>	—	—	—	014	$\frac{1}{2} P_{\infty}$	—	—	$(P+\infty)^4$	—	—	$h^{\frac{3}{2}}$	$o \frac{1}{2}$
<b>δ</b>	<b>δ</b>	—	—	—	023	$\frac{2}{3} P_{\infty}$	—	—	$(P+\infty)^{\frac{3}{2}}$	—	—	$h^5$	$o \frac{2}{3}$
<b>h</b>	<b>h</b>	—	h	$c_{11}$	056	$\frac{5}{6} P_{\infty}$	$B'B^{\frac{1}{2}}$	$(P+\infty)^{\frac{1}{2}}$	$(P+\infty)^{\frac{5}{6}}$	$G^{\frac{3}{2}} G$	—	$h^{11}$	$o \frac{5}{6}$
<b>N</b>	<b>N</b>	k	$h^3$	$c_9$	011	$P_{\infty}$	$B'B_2$	$(P+\infty)^2$	$P+\infty$	—	$h^3$	m	$o 1$
<b>Q</b>	—	—	—	$c_7$	0·10·9	$\frac{10}{9} P_{\infty}$	—	—	$(P+\infty)^{\frac{10}{9}}$	—	—	—	$o \frac{10}{9}$
<b>γ</b>	<b>γ</b>	—	—	—	076	$\frac{7}{6} P_{\infty}$	—	—	$(P+\infty)^{\frac{7}{6}}$	—	—	—	$o \frac{7}{6}$
<b>l</b>	<b>l</b>	l	l	$c_3$	043	$\frac{4}{3} P_{\infty}$	$B'B^{\frac{2}{3}}$	$(P+\infty)^{\frac{2}{3}}$	$(P+\infty)^{\frac{4}{3}}$	$G^{\frac{3}{2}} G$	$h^5$	$g^7$	$o \frac{4}{3}$
<b>β</b>	<b>β</b>	q	—	$c_4$	032	$\frac{3}{2} P_{\infty}$	$B'B^{\frac{1}{2}}$	$(P+\infty)^{\frac{1}{2}}$	$(P+\infty)^{\frac{3}{2}}$	—	—	$g^5$	$o \frac{3}{2}$
<b>α</b>	<b>α</b>	—	—	$c_3$	095	$\frac{9}{5} P_{\infty}$	$[B'B^{\frac{1}{5}}]$	—	$(P+\infty)^{\frac{9}{5}}$	—	—	$g^{\frac{7}{2}}$	$o \frac{9}{5}$
<b>s</b>	<b>s</b>	s	s	$c_1$	021	$2 P_{\infty}$	E	$P+\infty$	$(P+\infty)^2$	—	m	$g^3$	$o 2$
<b>L</b>	<b>L</b>	—	—	—	031	$3 P_{\infty}$	—	—	$(P+\infty)^3$	—	—	$g^2$	$o 3$
<b>P</b>	<b>P</b>	m	P	M	101	$+ P_{\infty}$	$D'$	$P_r$	$-P_r$	—	—	$a^1$	$-1 0$
<b>g</b>	<b>g</b>	c	t	—	201	$+ 2 P_{\infty}$	A	$P-\infty$	$-P_r-1$	—	—	$a^2$	$-2 0$
<b>z</b>	<b>z</b>	—	—	—	401	$+ 4 P_{\infty}$	—	—	$-P_r-2$	—	—	$a^4$	$-4 0$
<b>σ</b>	—	—	—	—	551	$- 5 P$	—	—	—	—	—	$σ$	$+ 5$
<b>r</b>	<b>r</b>	r	r	$b_3$	111	— P	$B'D_3$	$-(P)^3$	$+ P$	$\frac{1}{8} AG^5 C^2$	$d^1$	$d^{\frac{1}{2}}$	$+ 1$
<b>d</b>	<b>d</b>	d	d	d	111	$+ P$	P	$+P$	$-P$	$\frac{C}{i}$	$a_2$	$b^{\frac{1}{2}}$	$- 1$
<b>i</b>	<b>i</b>	i	i	$b_1$	141	$- 4 P_4$	$B'D_3 B'D_4$	$-(P_r)^7$	$+(P)^4$	$\frac{1}{2} AG^5 C^2$	$i^1$	$λ$	$+ 1 4$
<b>u</b>	<b>u</b>	u	u	$b_2$	121	$- 2 P_2$	$B'D_3 B'D_2$	$-(P_r-1)^5$	$+(P)^2$	$\frac{1}{4} AG^5 C^2$	i	u	$+ 1 2$
<b>v</b>	<b>v</b>	—	—	—	323	$- P^{\frac{3}{2}}$	—	—	$+(P)^{\frac{3}{2}}$	—	—	$δ$	$+ 1 \frac{2}{3}$
<b>θ</b>	<b>θ</b>	—	—	—	121	$+ 2 P_2$	—	—	—	—	—	y	$- 1 2$
<b>f</b>	<b>f</b>	f	f	d	131	$+ 3 P_3$	$BD_3$	$(P)^3$	$-(P)^3$	$\frac{C}{i}$	$b^{\frac{1}{3}}$	$φ$	$- 1 3$
<b>U</b>	—	—	—	—	233	$- P^{\frac{3}{2}}$	—	—	—	—	—	$d^{\frac{1}{3}}$	$+ \frac{2}{3} 1$
<b>a</b>	<b>a</b>	v	a	—	211	$+ 2 P_2$	$AB_2$	$P_r-1$	$-P-1$	—	—	$b^1$	$- 2 1$
<b>b</b>	<b>b</b>	—	—	—	241	$+ 4 P_2$	—	—	$-(P-1)^4$	—	—	$β$	$- 2 4$
<b>c</b>	<b>c</b>	—	—	—	251	$+ 5 P^{\frac{3}{2}}$	—	—	$-(P-1)^5$	—	—	$χ$	$- 2 5$
<b>k</b>	<b>k</b>	—	—	—	$4 \cdot 13 \cdot 2$	$+ \frac{1}{2} P^{\frac{1}{2}}$	—	—	$-(P-1)^{\frac{1}{2}}$	—	—	k	$- 2 \frac{1}{2}$
<b>x</b>	<b>x</b>	—	—	—	281	$+ 8 P_4$	—	—	$-(P-1)^8$	—	—	x	$- 2 8$
<b>A</b>	—	—	—	—	421	$- 4 P_2$	—	—	—	—	—	q	$+ 4 2$
<b>e</b>	<b>e</b>	—	—	—	132	$+ \frac{3}{2} P_3$	—	—	$-(P+1)^{\frac{3}{2}}$	$E^{\frac{3}{2}} C^2 G^3$	$a_4$	$ε$	$- \frac{1}{2} \frac{3}{2}$
<b>w</b>	<b>w</b>	—	—	—	371	$+ 7 P^{\frac{7}{2}}$	—	—	$-(\frac{3}{2} P-1)^7$	—	$i^{1111}$	w	$- 3 7$
<b>Ξ</b>	—	—	—	—	$1 \cdot 3 \cdot 12$	$+ \frac{1}{4} P_3$	—	—	—	—	—	$α$	$- \frac{1}{2} \frac{1}{2}$
<b>y</b>	<b>y</b>	—	—	—	$1 \cdot 10 \cdot 6$	$+ \frac{5}{3} P_{10}$	—	—	$-(\frac{3}{2} P_r+3)^{\frac{5}{3}}$	—	—	—	$- \frac{1}{6} \frac{5}{3}$
<b>ψ</b>	—	—	—	—	791	$+ 9 P^{\frac{9}{2}}$	—	—	—	—	—	z	$- 7 9$
<b>p</b>	<b>p</b>	—	—	—	$5 \cdot 13 \cdot 2$	$+ \frac{1}{2} P^{\frac{1}{2}}$	—	—	—	—	—	$π$	$- \frac{5}{2} \frac{1}{2}$
<b>m</b>	<b>m</b>	—	—	—	305	$+ \frac{5}{3} P_3$	—	—	$-(\frac{3}{2} P)^{\frac{5}{2}}$	—	$i^{111}$	$μ$	$- \frac{5}{3} \frac{5}{3}$



Bemerkungen.

Bei Phillips finden sich noch die Formen:  $c_2$   $c_6$   $c_8$   $c_{10}$   $c_{12}$   $c_{13}$  welche Schabus und Hausmann deuten als:

Phillips.	Schabus.		Hausmann.	
	Symbol.	Index.	Symb.	Index.
$c_2$	$(P + \infty)^{\frac{2}{3}}$	$0 \frac{2}{3}$	$B'B \frac{2}{3}$	$0 \frac{2}{3}$
$c_6$	$(P + \infty)^{\frac{1}{3}}$	$0 \frac{1}{3}$	—	—
$c_8$	$(P + \infty)^{\frac{1}{6}}$	$0 \frac{1}{6}$	—	—

Phillips.	Schabus.	
	Symbol.	Index.
$c_{10}$	$(P + \infty)^{\frac{1}{2}}$	$0 \frac{1}{2}$
$c_{12}$	$(P + \infty)^{\frac{1}{4}}$	$0 \frac{1}{4}$
$c_{13}$	$(P + \infty)^{\frac{1}{8}}$	$0 \frac{1}{8}$

Die Formen sind in Phillips' Verzeichniss nicht aufgeführt. Sie sind eine Bestätigung der Schabus'schen Messung  $0 \frac{2}{3}$  (Index), wofür Schabus  $c_2$  setzt.

Die Formen sind auch von Schabus in sein Verzeichniss aufgenommen. Es dürfte danach gerechtfertigt erscheinen, die Formen symbolisirt Hausmann mit  $B'B \frac{1}{3}$ , entsprechend  $c_3$  mit  $B'B \frac{1}{6}$ , entsprechend  $0 \frac{1}{6}$ .

Schabus p führt (Seite 73) falsches Symbol an, wie aus Fig. 20 Taf. 2 hervorgeht. Es soll heissen  $-(\frac{1}{2}P - 1)^{\frac{1}{2}}$  statt  $+\frac{1}{2}(P - 1)^{\frac{1}{2}}$ . In den beigesetzten Hädinger'schen und Naumann'schen Symbolen ist das Vorzeichen richtig. Des Cloizeaux hat für diese Form  $\pi = b^{\frac{1}{2}} d^{\frac{1}{2}} g^{\frac{1}{2}}$  gesetzt, entsprechend  $-\frac{1}{2} \frac{1}{2}$  des Index, während Schabus p =  $-\frac{1}{2} 7$  sein würde. Des Cloizeaux's Symbol stimmt mit dem in seiner Projektionstafel gezeichneten Zonenverband von  $\pi$  mit  $\lambda m y \chi e^{\frac{1}{2}}$ . Auch stimmt der für  $\pi:\pi$  berechnete Winkel =  $80^{\circ}22'$  mit Schabus Messung  $80^{\circ}50'$  besser überein, als der für  $-\frac{1}{2} 7: -\frac{1}{2} 7$  erforderliche. Es wurde daher im Index Schabus p durch Des Cloizeaux's  $\pi$  ersetzt.

Die von Rammelsberg zum Zweck der Analogie mit Datalogit vorgeschlagene Aufstellung (D. Geol. Ges. 1869. 21. 807) im Index als Aufstellung Rammelsberg II bezeichnet, ist von Groth in seiner tabellarischen Uebersicht angenommen worden. Sie lässt sich jedoch unmöglich festhalten, da für sie die Symbole unnatürlich complicirt ausfallen. Auch Rammelsberg hat diese Aufstellung nicht durchgeführt, sondern nur angedeutet. Seine Symbole beziehen sich auf das Axenverhältniss  $a:b:c = 0.5043:1:0.4212$   $\beta = 101^{\circ}42' =$  Rammelsberg I des Index.

Für die Aufstellung in Hartmann's Handwb. gilt die Transformation:

$$p q \text{ (Hartmann)} = \frac{4}{5p-1} \frac{10q}{5p-1} \text{ oder } \frac{20}{24p-5} \frac{48p}{24p-5} \text{ (Gdt.)}$$

beide nur genähert, jedoch zur Identification verwendbar.

Transformation. (Siehe S. 583.)

Schab. Becke. Descl. Kokscharow.	Mohs-Zippe. Hausm. Miller.	Dana.	Rammels- berg I.	Rammelsberg II. Groth.	Haüy.	Lévy.	Gdt.
$p q$	$-(2p+1)q$	$p \frac{q}{2}$	$\frac{p-1}{p+1} \frac{q}{p+1}$	$\frac{5(p-1)}{6(p+1)} \frac{2q}{3(p+1)}$	$-\frac{2}{3}(p+1)\frac{q}{2}$	$(p-\frac{2}{3})\frac{q}{2}$	$\frac{1}{p} \frac{q}{p}$
$-\frac{p+1}{2} q$	$p q$	$-\frac{p+1}{2} \frac{q}{2}$	$\frac{p+3}{p-1} \frac{2q}{p-1}$	$\frac{5(p+3)}{6(p-1)} \frac{4q}{3(p-1)}$	$\frac{2}{3}(p-1)\frac{q}{2}$	$-(\frac{p}{2}+1)\frac{q}{2}$	$-\frac{2}{p+1} \frac{2q}{p+1}$
$p \cdot 2q$	$-(2p+1)2q$	$p q$	$\frac{p-1}{p+1} \frac{2q}{p+1}$	$\frac{5(p-1)}{6(p+1)} \frac{4q}{3(p+1)}$	$-\frac{2}{3}(p+1)\frac{q}{2}$	$(p-\frac{2}{3})q$	$\frac{1}{p} \frac{2q}{p}$
$\frac{1+p}{1-p} \frac{2q}{1-p}$	$\frac{p+3}{p-1} \frac{2q}{p-1}$	$\frac{1+p}{1-p} \frac{q}{1-p}$	$p q$	$\frac{2}{3} p \cdot \frac{2}{3} q$	$-\frac{5}{2(p-1)} \frac{5q}{4(p-1)}$	$-\frac{3p+1}{2(p-1)} \frac{q}{p-1}$	$-\frac{p-1}{p+1} \frac{2q}{p+1}$
$\frac{5+6p}{5-6p} \frac{15q}{5-6p}$	$\frac{15+6p}{5-6p} \frac{15q}{5-6p}$	$\frac{5+6p}{5-6p} \frac{15q}{10-12p}$	$\frac{2}{3} p \cdot \frac{2}{3} q$	$p q$	$\frac{25}{2(6p-5)} \frac{75q}{8(6p-5)}$	$\frac{5+18p}{10-12p} \frac{15q}{10-12p}$	$-\frac{6p-5}{6p+5} \frac{15q}{6p+5}$
$-(\frac{2}{3}p+1)\frac{q}{2}$	$(\frac{2}{3}p+1)\frac{q}{2}$	$-(\frac{2}{3}p+1)\frac{q}{2}$	$(\frac{5}{2p}+1)\frac{2q}{p}$	$\frac{5}{6}(\frac{5}{2p}+1)\frac{4q}{3p}$	$p q$	$-(\frac{2}{3}p+\frac{2}{3})\frac{q}{2}$	$-\frac{5}{4p+5} \frac{8q}{4p+5}$
$(p+\frac{1}{2})2q$	$-(2p+2)2q$	$(p+\frac{1}{2})q$	$\frac{2p-1}{2p+3} \frac{4q}{2p+3}$	$\frac{5(2p-1)}{6(2p+3)} \frac{8q}{3(2p+3)}$	$-\frac{2}{3}(p+\frac{2}{3})\frac{q}{2}$	$p q$	$\frac{2}{2p+1} \frac{4q}{2p+1}$
$\frac{1}{p} \frac{q}{p}$	$-\frac{p+2}{p} \frac{q}{p}$	$\frac{1}{p} \frac{q}{2p}$	$\frac{1-p}{1+p} \frac{q}{1+p}$	$\frac{5(1-p)}{6(1+p)} \frac{2q}{3(1+p)}$	$-\frac{5}{4p} \frac{(p+1)q}{8p}$	$\frac{2-p}{2p} \frac{q}{2p}$	$p q$

Correcturen.

Lévy	Pogg. Ann.	1827	9 S. 285 Z.	7 vu	lies	$(d^{\frac{1}{2}} b^{\frac{1}{2}} g^{\frac{1}{2}})$	statt	$(d^{\frac{1}{2}} b^{\frac{1}{2}} g)$
"	Descript	1838	2 " 89 " 7, 12	vo	"	$(d^{\frac{1}{2}} b^{\frac{1}{2}} g^{\frac{1}{2}})$	"	$(d^{\frac{1}{2}} b^{\frac{1}{2}} g^{\frac{1}{2}})$
Mohs-Zippe	Min.	1839	2 " 351 "	8 vu	"	$-\frac{(Pr-1)^2}{2}$	"	$-\frac{(Pr-1)^2}{2}$
"	"	"	" " " " "	vu	"	$-\frac{(Pr)^2}{2}$	"	$-\frac{(\frac{1}{2}Pr+2)^2}{2}$
"	"	"	" " 352 " 1, 3, 9	vu	"	"	"	"
Hausmann	Handb.	1847	2 (1) " 602 "	4 vo	"	P (d Häuy)	"	P <sup>1</sup> (d Häuy)
Schabus	Wien. Sitzb.	1852	8 " 509 "	12 vo	"	$-(Pr-1)^2$	"	$-(Pr-1)^2$
"	"	"	" " " " "	10 vo	"	$-\frac{Pr-1}{2}$	"	$-\frac{Pr-1}{2}$
"	"	"	" " " " "	11 vo	"	$-(\frac{1}{2}Pr-1)^2$	"	$(\frac{1}{2}Pr-1)^2$
"	Pogg. Ann.	1853	88 " 610 "	2 vu	"	"	"	"
"	"	"	" " 611 "	11 vo	"	$(\infty P \infty) (T)$	"	$\infty P \infty (T)$
"	Wien. Denkschr.	1854	6 " 73 "	6 vu	"	$-(\frac{1}{2}Pr-1)^2$	"	$+(\frac{1}{2}Pr-1)^2$
"	"	"	" " 60 "	13 vu	"	$-\frac{(\frac{1}{2}Pr+3)^2}{2}$	"	$-\frac{(\frac{1}{2}Pr+2)^2}{2}$
Dana	System	1873	— " 379 "	20 vu	"	$\frac{1^3}{6} - \frac{1^0}{6}$	"	$\frac{1^3}{6} - \frac{1^0}{6}$
Des Cloizeaux <sup>1)</sup>	Bull. soc. min.	1882	— " 318 "	12 vu	"	332	"	116.

<sup>1)</sup> Auf diesen Fehler hat bereits Groth (Zeitschr. Kryst. 1884. 9. 594) aufmerksam gemacht.

Eulytin.

Regulär. Tetraedrisch-hemiedrisch.

No.	Gdt.	Miller.	Miller.	Naumann.	Hausmann.	Mohr-Zippe.	Descl.	$\theta_1$	$\theta_2$	$\theta_3$
1	c	a	001	$\infty O \infty$	W	H	p	o	$o \infty$	$\infty o$
2	d	d	101	$\infty O$	—	$\frac{\cdot}{-}$	—	10	o 1	$\infty$
3	p	o	111	+ O	O	O	—	+ 1	+ 1	+ 1
4	q	n	112	+ 2 O 2	+ Tr 1	+ C <sub>1</sub>	—	+ $\frac{1}{2}$	+ 1 2	+ 2 1
5	l	—	115	+ 5 O 5	—	—	—	+ $\frac{1}{3}$	+ 1 5	+ 5 1
6	q	—	112	— 2 O 2	— Tr 1	— C <sub>1</sub>	—	— $\frac{1}{2}$	— 1 2	— 2 1

Literatur.

<i>Breithaupt</i>	<i>Pogg. Ann.</i>	1827	9	275
<i>Hartmann</i>	<i>Handeb.</i>	1828	—	559
<i>Mohs-Zippe</i>	<i>Min.</i>	1839	2	566
<i>Hausmann</i>	<i>Handb.</i>	1847	2	(1) 872
<i>Miller</i>	<i>Min.</i>	1852	—	350
<i>Des Cloizeaux</i>	<i>Manuel</i>	1862	1	527
<i>Rath</i>	<i>Pogg. Ann.</i>	1869	136	416
<i>Groth</i>	<i>Strassb. Samml.</i>	1878	—	204
<i>Bertrand</i>	<i>Bull. soc. min.</i>	1881	4	61.

Euxenit.

Rhombisch.

Axenverhältniss.

$a : b : c = 0.303 : 1 : 0.364$  (Gdt.)

$[a : b : c = 0.364 : 1 : 0.303]$  (Groth. Brögger.)

Elemente.

$a = 0.303$	$\lg a = 948144$	$\lg a_0 = 992034$	$\lg p_0 = 007966$	$a_0 = 0.8324$	$p_0 = 1.2013$
$c = 0.364$	$\lg c = 956110$	$\lg b_0 = 043890$	$\lg q_0 = 956110$	$b_0 = 2.7472$	$q_0 = 0.364$

Transformation.

Groth. Brögger.	Gdt.
$p\ q$	$\frac{1}{p} \ \frac{q}{p}$
$\frac{1}{p} \ \frac{q}{p}$	$p\ q$

No.	Gdt.	Groth.	Miller.	Naumann.	Gdt.
1	c	—	001	oP	o
2	b	b	010	$\infty \tilde{P} \infty$	$0 \infty$
3	m	m	011	$\tilde{P} \infty$	o 1
4	d	d	102	$\frac{1}{2} P \infty$	$\frac{1}{2} 0$
5	p	p	111	P	1

Literatur.

Kennigott	Uebers.	1844-49 (1852)	—	197	}
"	"	1855 (1856)	—	88	
Dahl	Erdm. Journ.	1855	64	444	
Groth	Strassb. Samml.	1878	—	255	
Brögger	Zeitschr. Kryst.	1879	3	483	Vergleich m. Aeschynit u. Polykraz

## Correcturen und Nachträge.

**Bemerkung.** Die Correcturen und Nachträge wurden einseitig gedruckt, damit man im Stande sei, letztere nach Wunsch auszuschneiden und, besonders bei durchschossenen Exemplaren, an entsprechender Stelle einzukleben.

Seite 7 Zeile 7 vo lies  $c_0$  statt  $h_0$ .

„ 13 „ 4 vu flgde.:

Es empfiehlt sich doch wohl, statt des Namens Primärformen im Gegensatz zu binär und ternär, das analog abgeleitete Singulärformen zu setzen, da der Begriff der Primärformen hier und der Primärform, als Ausgang der Formenentfaltung, sich doch nicht vollständig decken und so Unklarheiten entstehen könnten.

Danach ist zu corrigiren:

„ 13 Zeile 3 vu lies singulär statt primär.

„ „ „ 2 „ „ } Singulärformen „ Primärformen.  
 „ 14 „ 2 vo „ }

„ 15 Fussnote ist zuzufügen:

Man vergleiche auch C. S. Weiss Berl. Ak.-Abh. 1818—1819. 227.

„ 30 Fussnote zuzufügen:

Hier nur einiges zur Motivirung eines im Index verwendeten Ausdrucks. Wir haben für das hexagonale System, was bisher nicht geschehen ist, unterscheiden zwischen zwei verschiedenen Arten rhomboedrischer Hemiedrie, je nachdem die ternären Pyramiden der Hauptreihe  $\pm p$  halbfächig auftreten, oder die binären (domatischen) Formen  $\pm p_0$ . Wir wollen die erste Art, deren typischer Repräsentant der Calcit ist, nach dem derzeitigen Gebrauch rhomboedrische Hemiedrie nennen, die zweite, zu der, abgesehen von der tetartoedrischen Theilung, der Quarz, sowie wahrscheinlich der Zinnober gehört, domatische Hemiedrie.

Die aufgestellte Behauptung fällt damit zusammen, dass dem Spaltungs-rhomboeder des Calcit das Zeichen  $\pm 1$ , der scheinbaren Hauptpyramide des Quarz (Diploeder) das Symbol  $\pm 10$  zukomme, resp. dass für den Calcit die Symbolreihe  $G_2$ , für Quarz  $G_1$  den Vorzug verdiene. Dass dies der Fall sei, ergibt sich direct aus dem Anblick der Zahlenreihen. Die eingehendere Discussion soll an anderer Stelle geführt werden.

Im regulären System entspricht der rhomboedrischen Hemiedrie die tetraedrische, der domatischen die pentagonale.

Im tetragonalen System ist die analoge Unterscheidung zu machen zwischen der sphenoidischen Hemiedrie, bei welcher die ternären Pyramiden der Hauptreihe  $p$  ( $hhl$ ) halbfächig auftreten und der Hemiedrie mit halbfächigen binären (domatischen) Pyramiden  $p_0$  ( $hol$ ), die wir wieder die domatische nennen wollen. Der Kupferkies z. B. ist wohl als domatisch-hemiedrisch anzusehen.





Seite 36 zuzufügen:

**Tetragonales System. Symbole  $G_1$  und  $G_2$ .**

Im tetragonalen System haben wir, ebenso wie im hexagonalen, zwei a priori gleichwerthige Arten der Aufstellung, die bei gleicher Verticalaxe um  $45^\circ$  gegeneinander gedreht sind. Wir wollen sie ebenfalls mit  $G_1$  und  $G_2$  bezeichnen. Nach Analogie mit dem hexagonalen System können wir gleich die Transformations-Symbole und die Formeln zur Umrechnung der Elemente geben (vgl. S. 100).

Es ist:

$$\text{Transformation: } pq (G_1) \div (p+q) (p-q) (G_2)$$

$$pq (G_2) \div \frac{p+q}{2} \frac{p-q}{2} (G_1)$$

$$\text{Elemente: } p_0 = c_1 \quad ; \quad a_0 = \frac{1}{c_1}$$

$$p_0 = c_{10} \sqrt{2} \quad ; \quad a_0 = \frac{1}{c_{10} \sqrt{2}}$$

Während im Index für das hexagonale System stets beide Reihen ( $G_1$  und  $G_2$ ) angeschrieben wurden, ist im tetragonalen System meist nur die eine Reihe gegeben. In einigen wichtigen Fällen beide.

Seite 42 Monoklines System nach „Naumann“ einzuschieben „Schabus“.  
 „ „ Rhombisches „ „ „Senfft“ „ „Nordenskjöld“.  
 „ „ Zeile 11 vu das Wort „meist“ zu löschen.

Seite 43 Zeile 9 vo zuzufügen: (vgl. S. 65 flgde.).

„ 49 nach Zeile 7 ist folgende Einschiebung zu machen:

Eine Verkürzung der Weiss'schen Symbole findet sich bei Wackernagel (Quarz. Kastner, Archiv. 1825. 5. 80) für das hexagonale System. Für die abgekürzten Zeichen gilt die Umwandlung:

$$\boxed{\frac{1}{s} c : \frac{1}{t} a : \frac{1}{n} a} \quad (\text{Wackernagel}) = \frac{n}{s} \frac{t-n}{s} (G_1)$$

Das volle Weiss'sche Zeichen dafür wäre:

$$\frac{1}{t-n} a : \frac{1}{t} a : \frac{1}{n} a : \frac{1}{s} c$$

„ 50 Monoklines System lies:

$$a_n = - \frac{n+1}{2} \frac{n-1}{2} \quad \text{statt} \quad a^n = - \frac{n+1}{2} \frac{n-1}{2}$$

$$o_n = + \frac{n+1}{2} \frac{n-1}{2} \quad \text{„} \quad o^n = + \frac{n+1}{2} \frac{n-1}{2}$$



Bei Lévy finden sich für das reguläre System tetraedrischer Hemiedrie noch die folgenden Symbole, gestützt auf das Tetraeder als Grundform mit beigefügter Bedeutung:

$p = +1$	$a^3 = -\frac{1}{2}$ $a^1 = -1$ $a^2 = 10$	$b^1 = 0$ $b^3 = +\frac{1}{2}$	$i = b^1 b^3 b^6 = 1\frac{2}{3}$
----------	--	-----------------------------------	----------------------------------

„ 59 „ 5 vu „ 1  $\frac{2}{3}$  „ 1  $\frac{1}{3}$

„ 71 Zeile 14 vu lies:  $\lg \cos \mu$  statt  $\lg \mu$

„ 97 „ 5 vu „  $(p+n)q$  „  $(p+q)q$

**Gesucht:** Der Winkel zur Basis  $\delta = pq : o$ .

$$\operatorname{tg} \delta = p_0 \sqrt{p^2 + q^2}$$

**Beispiel: Anatas.**  $s = \frac{5}{19} \frac{1}{19}$ ;  $p_0 = 1.7771$ ;  $\text{tg sc} = \frac{5}{19} \frac{1}{19}$ ;  $D = p_0 \sqrt{\left(\frac{5}{19}\right)^2 + \left(\frac{1}{19}\right)^2}$   
 $= \frac{p_0}{19} \sqrt{26} = \frac{1.7771}{19} \sqrt{26}$ ;  $\text{sc} = 25^\circ 36'$

Seite 122 " " " " "Controle" " " " " "Column 6

Wo im regulären System im Fall der Hemiedrie zwischen + und — Formen gleichen Zahlensymbols unterschieden wird, wurde für beide der gleiche Buchstabe gesetzt, für die — Formen jedoch mit einem Punkt versehen.

z. B.:  $q = \frac{1}{2}$  resp.  $= +\frac{1}{2}$ ;  $q = -\frac{1}{2}$

" " " 20 "  $\mathfrak{F}:-8\frac{3}{2}$  "  $\mathfrak{F}:-8\frac{5}{2}$

1. The first part of the document is a list of the names of the persons who were present at the meeting. The names are listed in alphabetical order.

ite 141 zuzufügen:

In ähnlicher Weise, wie für das reguläre System, erscheint es auch für das hexagonale System rhomboedrischer Hemiedrie nicht empfehlenswerth, für complicirte Symbole, bei welchen eine Wiederholung unwahrscheinlich ist, Buchstaben zu fixiren. Eine richtige Auswahl kann aber erst geschehen auf Grund einer statistischen Zusammenstellung, analog der für das reguläre System (S. 138—140) gegebenen, nachdem die Fragen der Aufstellung der Krystalle in weiterer Ausdehnung entschieden sind und das Material vervollständigt und besser geklärt sein wird. Ist ein solcher Moment eingetreten, so bedarf die Buchstabenbezeichnung einer Neubearbeitung.

Vorläufig empfiehlt es sich, Buchstaben mit neuen Gruppenzeichen zuzufügen und zwar zunächst  $B| = B:$  (sprich: B, 4 Punkt),  $B| \cdot = B:$  (sprich B, 5 Punkt),  $B|:$  u. s. w. (vgl. S. 134). Später wird man für die sich wiederholenden Formen die Buchstaben fixiren, gewisse Reihen für spätere Fixirung offen halten, andere zu verschiedenartiger Benutzung freigeben für Symbole, die sich nicht wiederholen.

Durch die Discussion wird man ein Anhalten gewinnen, welche Formen eine allgemeine Wahrscheinlichkeit für sich haben, deren Wiederholung daher zu erwarten ist und welche nur ganz lokalen Bedingungen ihre Entstehung verdanken und demgemäss wohl vereinzelt bleiben werden. Ist nun ein neuer Buchstabe auszusuchen, so ist zunächst zu entscheiden, ob das neue Symbol eine innere Wahrscheinlichkeit für ein Auftreten auch bei anderen Mineralien hat; in diesem Fall ist ein Buchstabe auszusuchen, der zur Fixirung ausersehen ist. Ist das Symbol derart, dass es voraussichtlich vereinzelt bleibt, so ist unter den Buchstaben zu wählen, die zu wechselnder Verwendung freigegeben sind.

Bei der Auswahl der Buchstaben, abgesehen vom Gruppenzeichen, ist auch voraussichtliche Wiederholung in dem Mineral selbst möglichst zu vermeiden.

ite 149 nach der letzten Zeile zuzufügen:

Man vergleiche: **Frankenheim** Pogg. Ann. 1855 96 347  
**Hessenberg** Senck. Abh. 1856 2 186

ite 151 nach Zeile 16 vo einzufügen:

**Bull. soc. franc.** = Bulletin de la société française de minéralogie 1886 Bd. 9  
 Die Société minéralogique de France hat 1886 ihren Namen in den obigen abgeändert.)



Seite 159 u. 160 Abiohit an gehöriger Stelle zuzufügen:

*Des Cloizeaux Ann. Chim. Phys.* 1845 (3) 13 419 (Aphanésite)  
 $a : b : c = 1.914 : 1 : 3.850$   $\beta = 100^\circ 42'$  (Des Cloizeaux)

Des Cloizeaux	$h^1$	p	m	$o^1$	$a^{\frac{7}{10}}$
entspr. Gdt.	o	∞o	o 1	+ 10	— $\frac{2}{3}$ o

Des Cloizeaux's Aufstellung ist mit der Miller's gleich.

Seite 181 u. 182 Amalgam. An entsprechender Stelle zuzufügen:

Naumann	a	s	—	m	b	r	—	e
entspr. Gdt.	c	a	e	d	q	p	u	x

*Naumann Lehrb. Kryst.* 1830 I 246

Seite 189 Amphibol. Col. Schrauf . . . lies e (l) statt e.

[Es setzt nämlich Schrauf l für (130). Danach könnte die Correctur e statt l (S. 192) für Koch entfallen.]

Seite 227 Antimonglanz. Zeile 4 vo lies: 15.27.5 statt 15.25.5.

Seite 231—233 Apatit.

„ 231 Nr. 5 Col. Naumann lies f statt —

„ 233 „ 25 „ „ „ b „ —

„ 232 nach Zeile 4 vo einzufügen:

*Naumann Lehrb. Kryst.* 1830 I 504

„ „ zuzufügen:

Bemerkungen. In Naumann-Zirkel's Elem. d. Min. 1877 485 ist das Axenverhältniss gegeben:  $a : c = 1 : 0.7346$ , während die Winkelangaben sich auf das Verhältniss:  $a : c = 1 : 0.7323$  beziehen. (Vgl. Hintze, Zeitschr. Kryst. 1883 7 591 Fussnote.)

Seite 298 Beryll. Nach Zeile 12 vo zuzufügen:

*Kokscharow Verh. Petersb. Min. Ges.* 1872 7 No. 171  
 „ *Jahrb. Min.* 1873 — 422 1

„ 300 zuzufügen:

Kokscharow giebt (1872) die Formen:

$$\begin{aligned} \frac{1}{2} 1 (17.16.33.16) &= \frac{2}{3} P \frac{1}{3} \\ \frac{1}{3} 1 (14.13.27.13) &= \frac{2}{3} P \frac{2}{3} \\ \frac{1}{9} 1 (10.9.19.9) &= \frac{1}{9} P \frac{1}{9} \end{aligned}$$

Die Ungleichmässigkeit in den Neigungen dieser Flächen gegen das benachbarte  $s = 1$  erlaubt nicht, eines dieser Symbole als sicher anzusehen. Wahrscheinlich sind diese Flächen als vicinale von 1 zu betrachten.















